




PROLUNGAMENTO DELLA S.S. n° 9 "TANGENZIALE NORD di REGGIO EMILIA" NEL TRATTO DA S. PROSPERO STRINATI A CORTE TEGGE

PROGETTO DEFINITIVO

COORDINAMENTO GRUPPO DI PROGETTAZIONE:

 **COMUNE DI REGGIO EMILIA**
ing. David Zilioli - Dirig. U.diP. Area Nord

IL PROGETTISTA:

dott. ing. Andrea Burchi
Ordine Ingegneri di Bologna n° 7927A



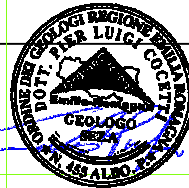
IL COORDINATORE PER LA SICUREZZA IN FASE DI PROGETTAZIONE:

dott. ing. Rodolfo Biondi
Ordine Ingegneri di Modena n° 1256



IL GEOLOGO:

dott. geol. Pier Luigi Cocetti
Ordine Geologi della Regione Emilia Romagna n° 455



GRUPPO DI PROGETTAZIONE:


SITECO
ing. Andrea Burchi

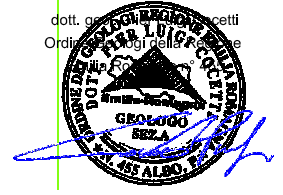
PROGETTISTA

dott. ing. Andrea Burchi
Ordine Ingegneri di Bologna n° 7927A



**TECNICO COMPETENTE
(O PROGETTISTA SPECIALISTICO)**

dott. geol. Pier Luigi Cocetti
Ordine Geologi della Regione Emilia Romagna n° 455



VISTO: IL RESPONSABILE
DEL PROCEDIMENTO

ing. Angela Maria Carbone

VISTO: IL RESPONSABILE
UNITA' DEL COORDINAMENTO

ing. Nicola Dinnella

PROTOCOLLO

DATA

05_GEOTECNICA RELAZIONE GEOTECNICA GENERALE-ALLEGATO A

CODICE PROGETTO

PROGETTO

LIV. PROG.

N. PROG.

COBO27

D

1101

NOME FILE

05.2 T00GEO0GETRE02A.DWG

REVISIONE

SCALA:

CODICE
ELAB.

T00GEO0GETRE02

A

-

C

B

A

EMISSIONE

settembre 2013

geol. M. Cocetti

geol. P. Cocetti

ing. A. Burchi

REV.

DESCRIZIONE

DATA

REDATTO

VERIFICATO

APPROVATO

ALLEGATO A

INTERPRETAZIONI PROVE DI LABORATORIO

INDICE

•	ELABORAZIONE LIMITI DI ATTEMBERG	Pag. 1
	FASE 1(Blue):	
	Sondaggio S1	Pag. 3
	Sondaggio S2	Pag. 9
	Sondaggio S3	Pag. 14
	FASE 2 (Green):	
	Sondaggio S4	Pag. 21
	Sondaggio S5	Pag. 28
	Sondaggio S6	Pag. 31
	Sondaggio S7	Pag. 38
	Sondaggio S8	Pag. 42
	Sondaggio S9	Pag. 45
	FASE 3 (Red):	
	Sondaggio SA	Pag. 51
	Sondaggio SB	Pag. 57
	Sondaggio SD	Pag. 61
	Sondaggio SE	Pag. 69
•	ELABORAZIONE PROVE TRIASSIALI	Pag. 73
	FASE 1 (Blue):	
	Sondaggio S1	Pag. 74
	Sondaggio S2	Pag. 86
	Sondaggio S3	Pag. 96
	FASE 2 (Green):	
	Sondaggio S4	Pag. 108
	Sondaggio S5	Pag. 122
	Sondaggio S6	Pag. 128
	Sondaggio S7	Pag. 142
	Sondaggio S8	Pag. 150
	Sondaggio S9	Pag. 155
	FASE 3 (Red):	
	Sondaggio SA	Pag. 166
	Sondaggio SB	Pag. 174
	Sondaggio SD	Pag. 180
	Sondaggio SE	Pag. 188
•	ELABORAZIONE PROVE EDOMETRICHE	Pag. 194
	FASE 1 (Blue):	
	Sondaggio S2	Pag. 195
	Sondaggio S3	Pag. 206
	FASE 2 (Green):	
	Sondaggio S4	Pag. 219
	Sondaggio S7	Pag. 234
	FASE 3 (Red):	
	Sondaggio SA	Pag. 243
	Sondaggio SB	Pag. 252
	Sondaggio SD	Pag. 259
	Sondaggio SE	Pag. 268

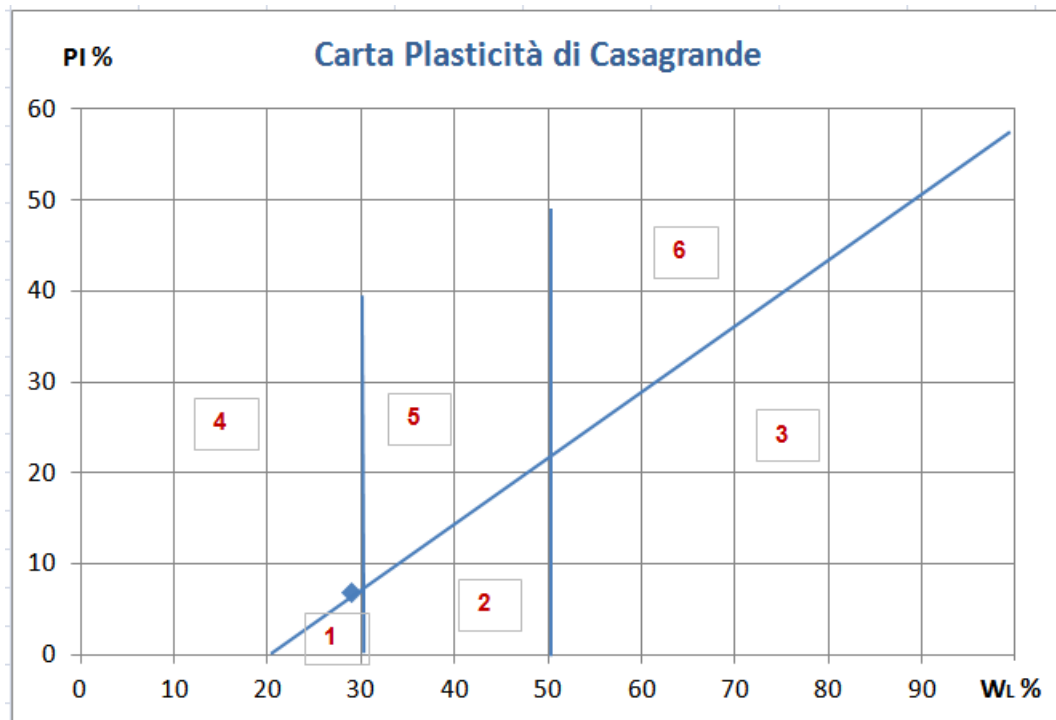
ELABORAZIONE LIMITI DI ATTERBERG

LIMITI DI ATTERBERG

Fase 1 (blu)

SONDAGGIO 1

Campione C1



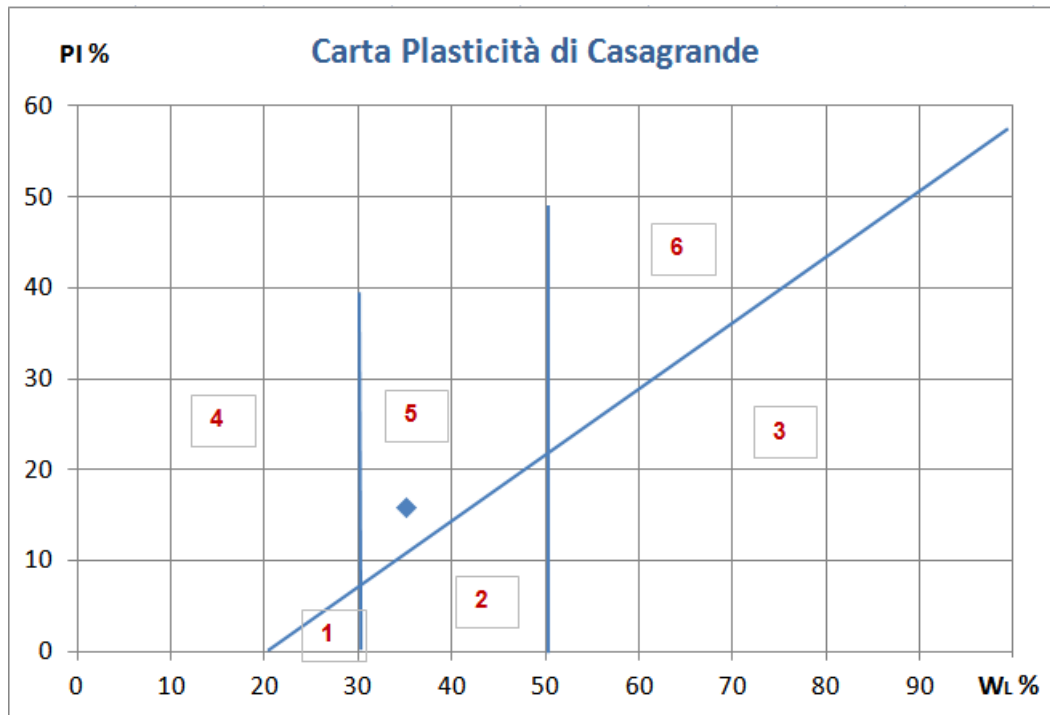
LEGENDA:

- 1) Limi Inorganici di bassa compressibilità
- 2) Limi inorganici di media compressibilità e limi organici
- 3) Limi inorganici di alta compressibilità ed argille organiche
- 4) Argille inorganiche di bassa plasticità
- 5) Argille inorganiche di media plasticità
- 6) Argille inorganiche di alta plasticità

LIMITI DI ATTERBERG			
WL	29	Limite liquido	
W _P	22	Limite plastico	
PI	7	Indice Plasticità	

SONDAGGIO 1

Campione C2



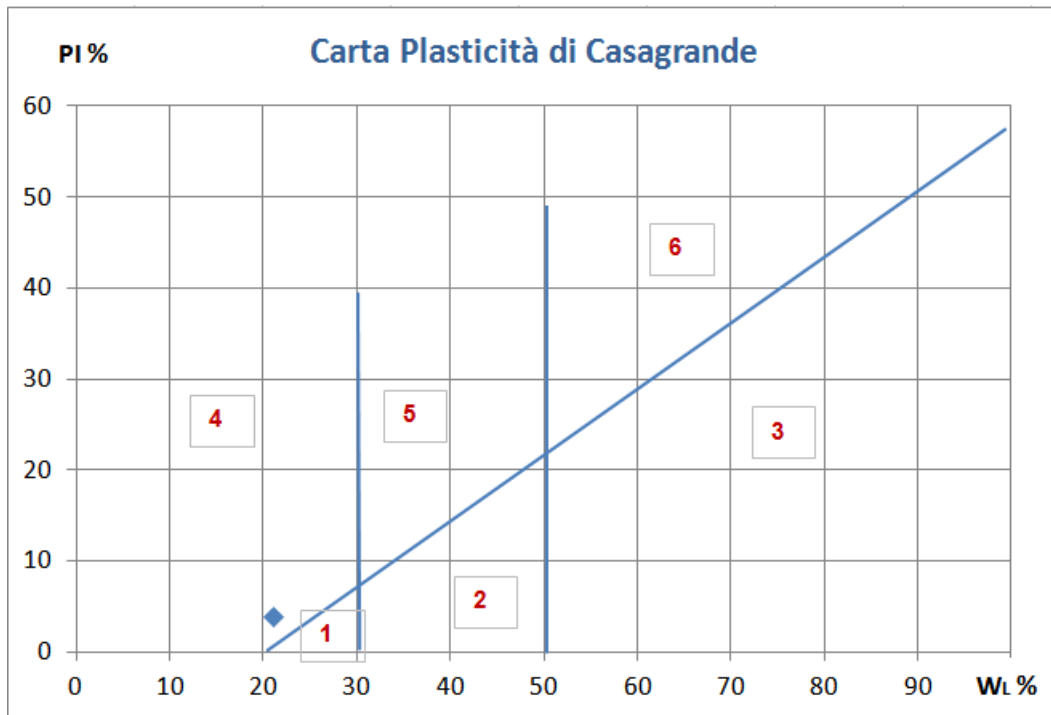
LEGENDA:

- 1) Limi Inorganici di bassa compressibilità
- 2) Limi inorganici di media compressibilità e limi organici
- 3) Limi inorganici di alta compressibilità ed argille organiche
- 4) Argille inorganiche di bassa plasticità
- 5) Argille inorganiche di media plasticità
- 6) Argille inorganiche di alta plasticità

LIMITI DI ATTERBERG			
WL	35	Limite liquido	
W _P	19	Limite plastico	
PI	16	Indice Plasticità	

SONDAGGIO 1

Campione C3



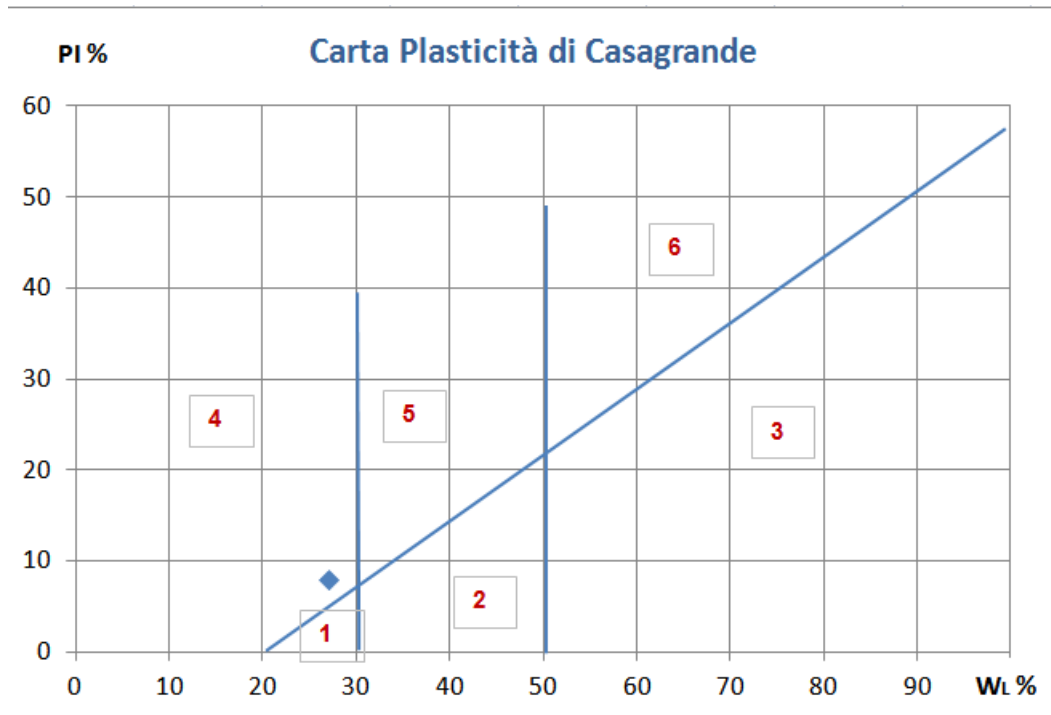
LEGENDA:

- 1) Limi Inorganici di bassa compressibilità
- 2) Limi inorganici di media compressibilità e limi organici
- 3) Limi inorganici di alta compressibilità ed argille organiche
- 4) Argille inorganiche di bassa plasticità
- 5) Argille inorganiche di media plasticità
- 6) Argille inorganiche di alta plasticità

LIMITI DI ATTEMBERG			
WL	21	Limite liquido	
W _P	17	Limite plastico	
PI	4	Indice Plasticità	

SONDAGGIO 1

Campione C4



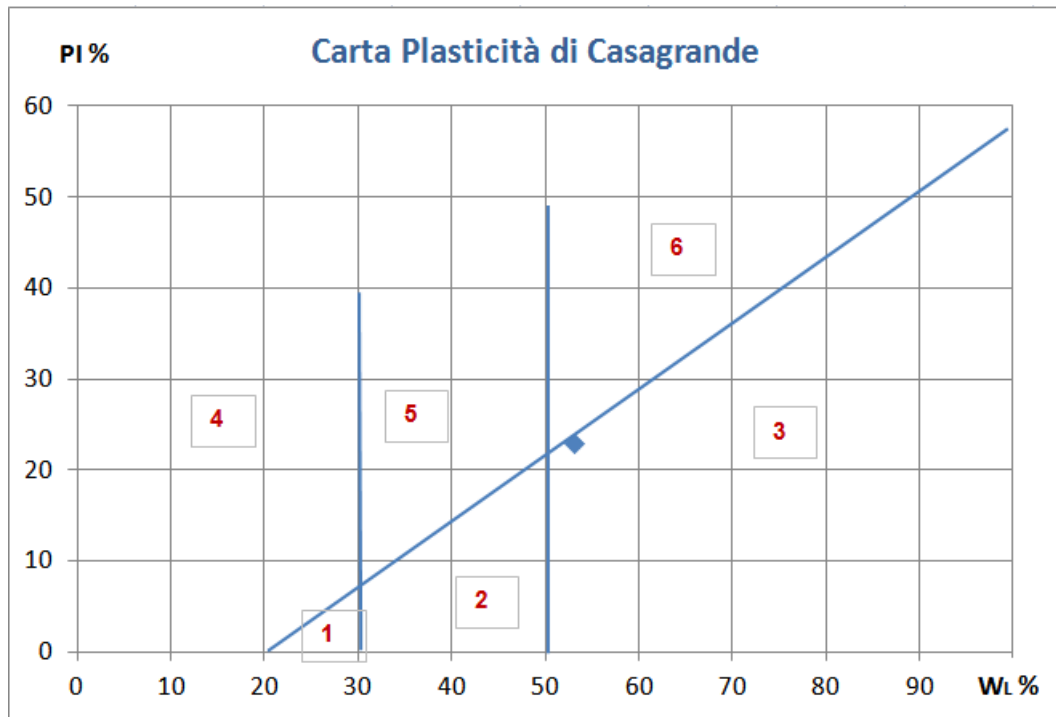
LEGENDA:

- 1) Limi Inorganici di bassa compressibilità
- 2) Limi inorganici di media compressibilità e limi organici
- 3) Limi inorganici di alta compressibilità ed argille organiche
- 4) Argille inorganiche di bassa plasticità
- 5) Argille inorganiche di media plasticità
- 6) Argille inorganiche di alta plasticità

LIMITI DI ATTERBERG			
WL	27	Limite liquido	
W _P	19	Limite plastico	
PI	8	Indice Plasticità	

SONDAGGIO 1

Campione C5

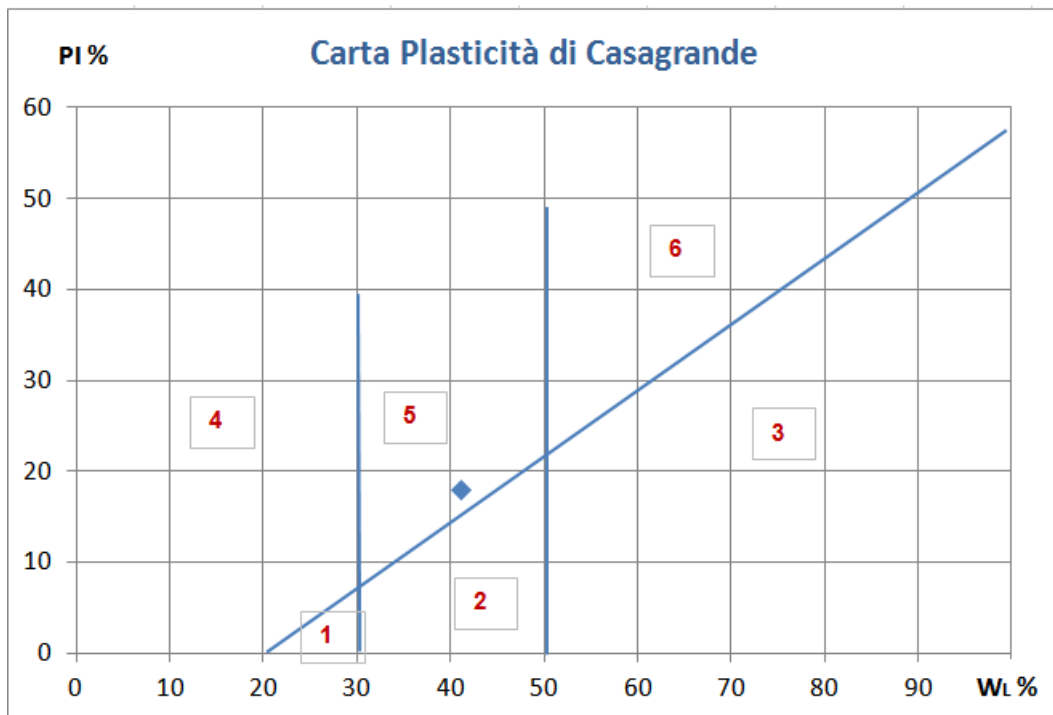


LEGENDA:

- 1) Limi Inorganici di bassa compressibilità
- 2) Limi inorganici di media compressibilità e limi organici
- 3) Limi inorganici di alta compressibilità ed argille organiche
- 4) Argille inorganiche di bassa plasticità
- 5) Argille inorganiche di media plasticità
- 6) Argille inorganiche di alta plasticità

LIMITI DI ATTEMBERG			
WL	53	Limite liquido	
W _P	30	Limite plastico	
PI	23	Indice Plasticità	

SONDAGGIO 1
Campione C6



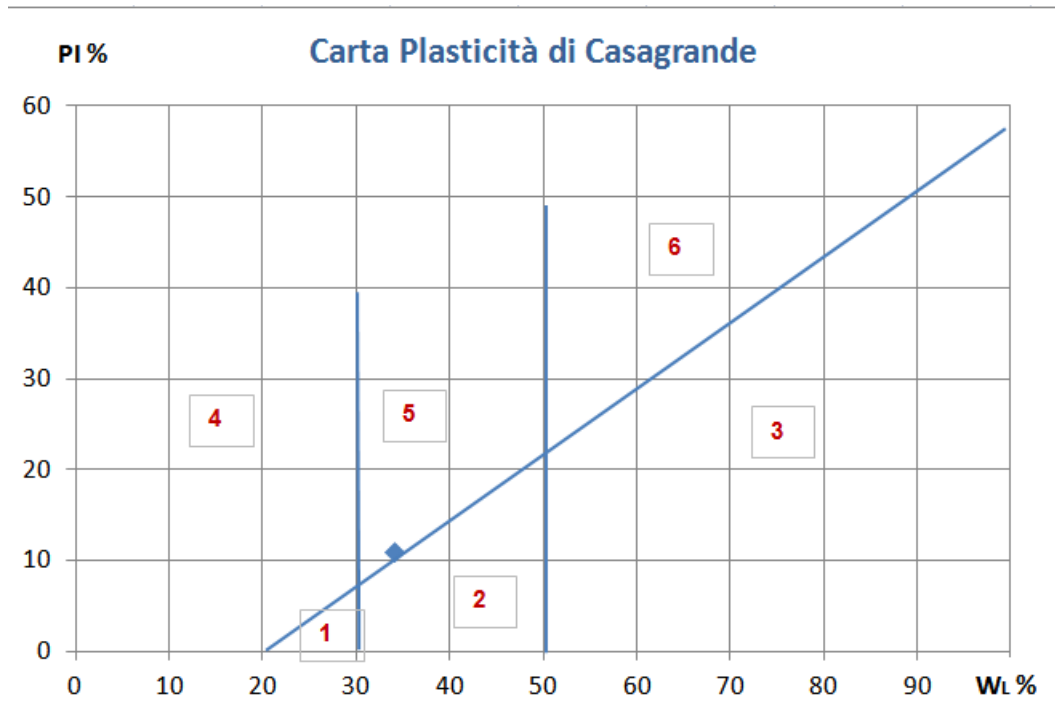
LEGENDA:

- 1) Limi Inorganici di bassa compressibilità
- 2) Limi inorganici di media compressibilità e limi organici
- 3) Limi inorganici di alta compressibilità ed argille organiche
- 4) Argille inorganiche di bassa plasticità
- 5) Argille inorganiche di media plasticità
- 6) Argille inorganiche di alta plasticità

LIMITI DI ATTERBERG		
W _L	41	Limite liquido
W _P	23	Limite plastico
PI	18	Indice Plasticità

SONDAGGIO 2

Campione C1



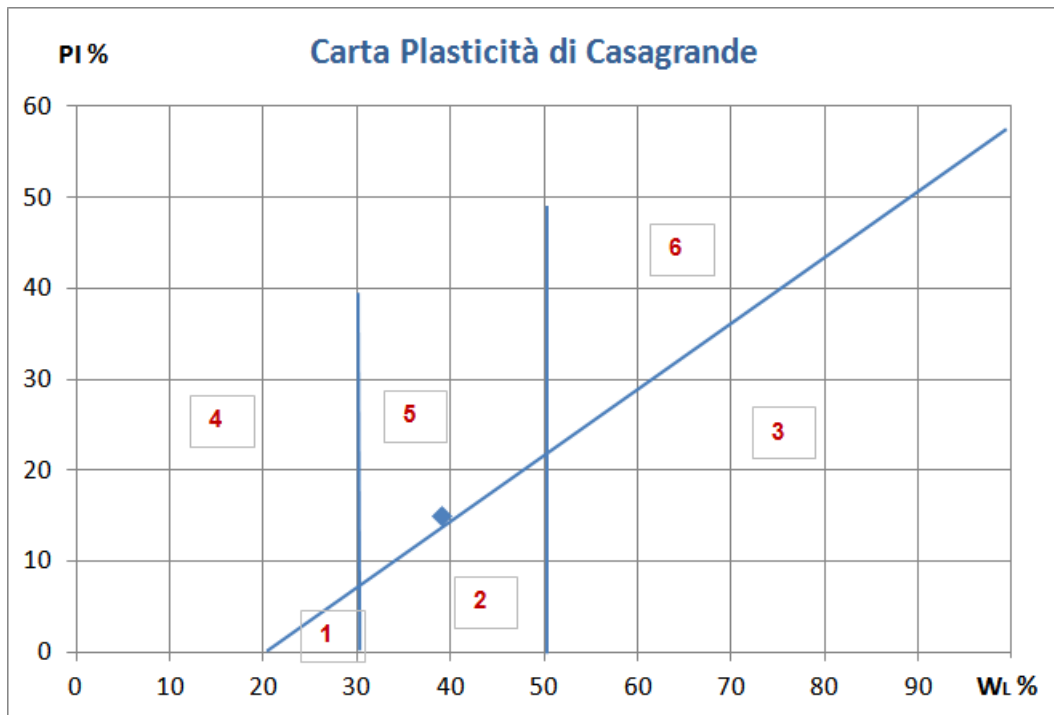
LEGENDA:

- 1) Limi Inorganici di bassa compressibilità
- 2) Limi inorganici di media compressibilità e limi organici
- 3) Limi inorganici di alta compressibilità ed argille organiche
- 4) Argille inorganiche di bassa plasticità
- 5) Argille inorganiche di media plasticità
- 6) Argille inorganiche di alta plasticità

LIMITI DI ATTERBERG			
W _L	34	Limite liquido	
W _P	23	Limite plastico	
PI	11	Indice Plasticità	

SONDAGGIO 2

Campione C2



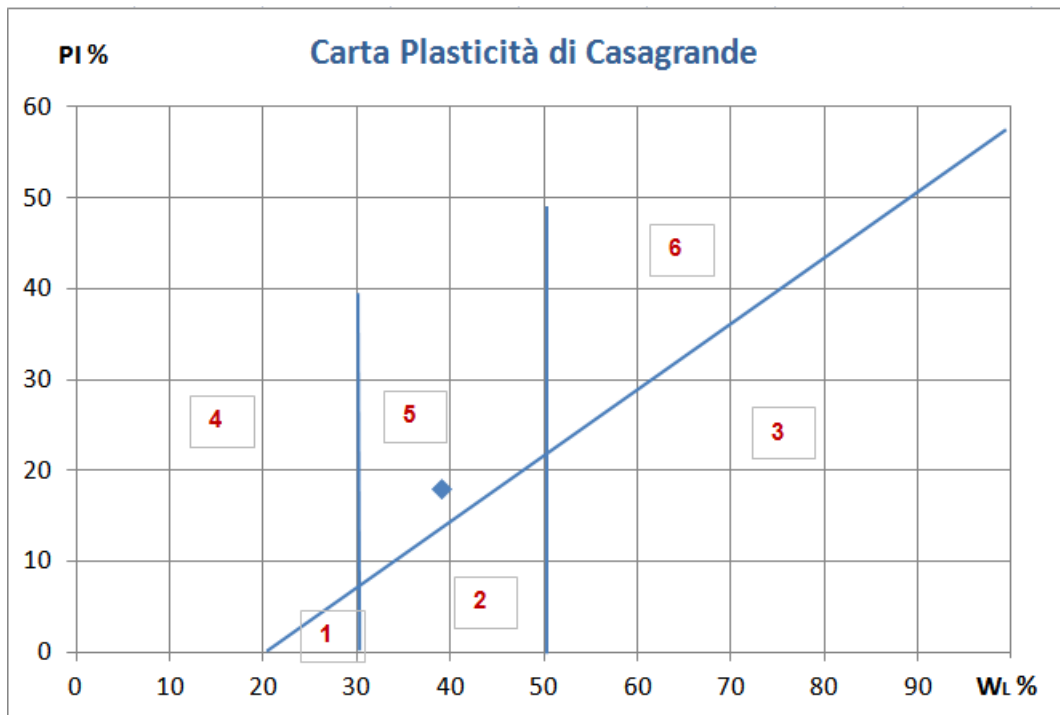
LEGENDA:

- 1) Limi Inorganici di bassa compressibilità
- 2) Limi inorganici di media compressibilità e limi organici
- 3) Limi inorganici di alta compressibilità ed argille organiche
- 4) Argille inorganiche di bassa plasticità
- 5) Argille inorganiche di media plasticità
- 6) Argille inorganiche di alta plasticità

LIMITI DI ATTEMBERG			
W _L	39	Limite liquido	
W _P	24	Limite plastico	
PI	15	Indice Plasticità	

SONDAGGIO 2

Campione C3



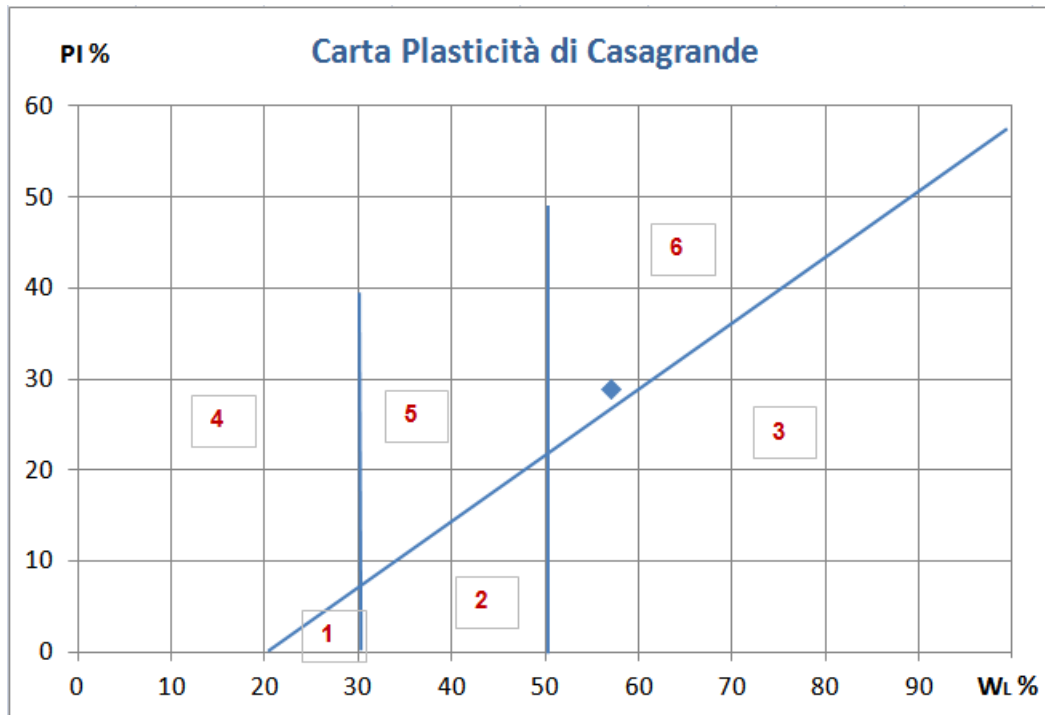
LEGENDA:

- 1) Limi Inorganici di bassa compressibilità
- 2) Limi inorganici di media compressibilità e limi organici
- 3) Limi inorganici di alta compressibilità ed argille organiche
- 4) Argille inorganiche di bassa plasticità
- 5) Argille inorganiche di media plasticità
- 6) Argille inorganiche di alta plasticità

LIMITI DI ATTERBERG			
W _L	39	Limite liquido	
W _P	21	Limite plastico	
PI	18	Indice Plasticità	

SONDAGGIO 2

Campione C4



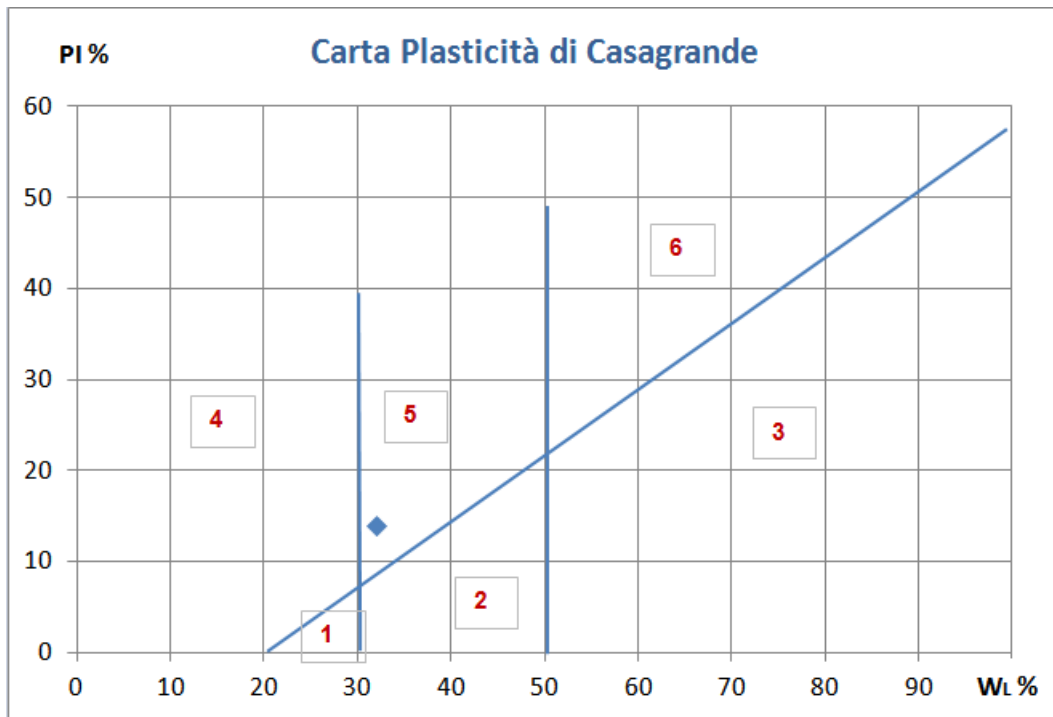
LEGENDA:

- 1) Limi Inorganici di bassa compressibilità
- 2) Limi inorganici di media compressibilità e limi organici
- 3) Limi inorganici di alta compressibilità ed argille organiche
- 4) Argille inorganiche di bassa plasticità
- 5) Argille inorganiche di media plasticità
- 6) Argille inorganiche di alta plasticità

LIMITI DI ATTERBERG			
WL	57	Limite liquido	
W _p	28	Limite plastico	
PI	29	Indice Plasticità	

SONDAGGIO 2

Campione C5



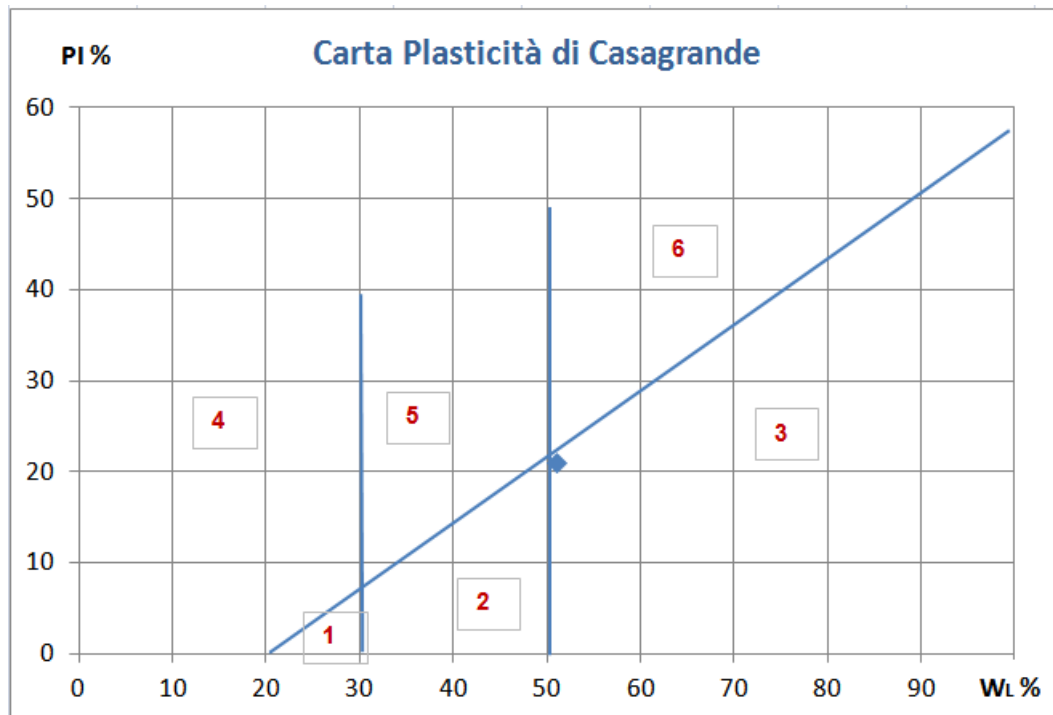
LEGENDA:

- 1) Limi Inorganici di bassa compressibilità
- 2) Limi inorganici di media compressibilità e limi organici
- 3) Limi inorganici di alta compressibilità ed argille organiche
- 4) Argille inorganiche di bassa plasticità
- 5) Argille inorganiche di media plasticità
- 6) Argille inorganiche di alta plasticità

LIMITI DI ATTEMBERG			
WL	32	Limite liquido	
WP	18	Limite plastico	
PI	14	Indice Plasticità	

SONDAGGIO 3

Campione C1



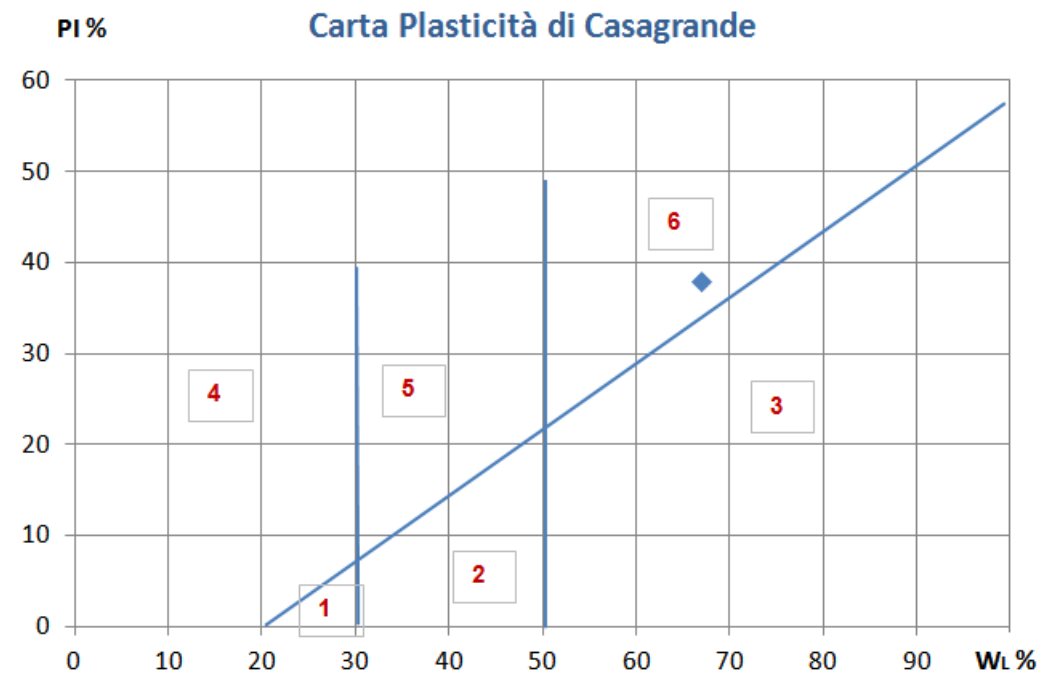
LEGENDA:

- 1) Limi Inorganici di bassa compressibilità
- 2) Limi inorganici di media compressibilità e limi organici
- 3) Limi inorganici di alta compressibilità ed argille organiche
- 4) Argille inorganiche di bassa plasticità
- 5) Argille inorganiche di media plasticità
- 6) Argille inorganiche di alta plasticità

LIMITI DI ATTEMBERG			
WL	51	Limite liquido	
W _P	30	Limite plastico	
PI	21	Indice Plasticità	

SONDAGGIO 3

Campione C2



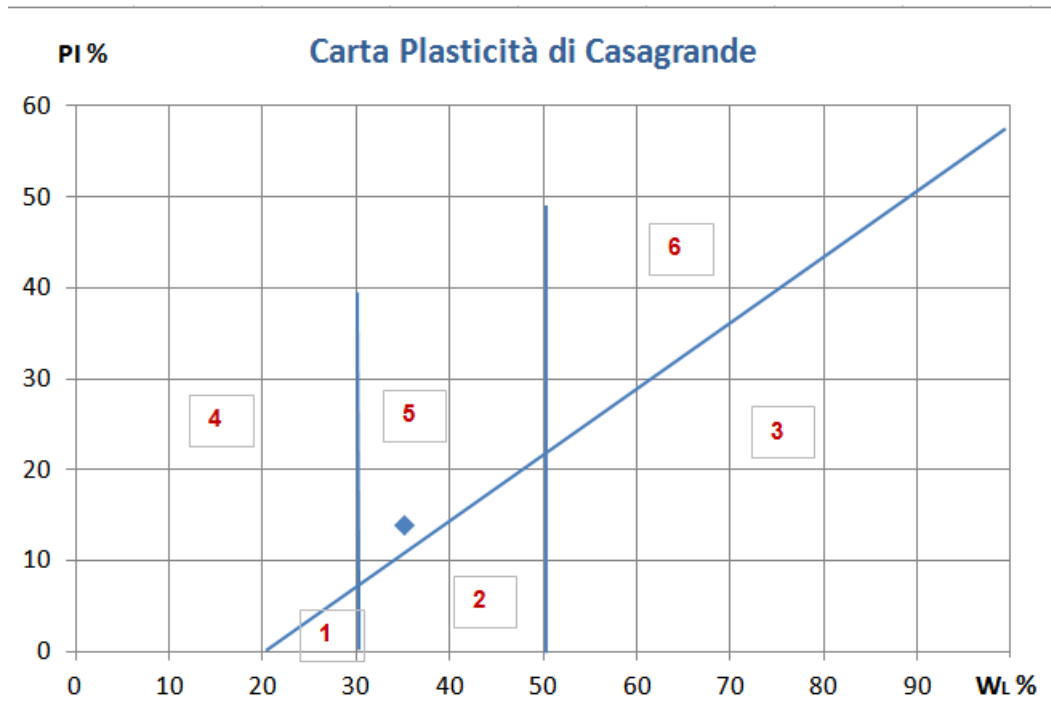
LEGENDA:

- 1) Limi Inorganici di bassa compressibilità
- 2) Limi inorganici di media compressibilità e limi organici
- 3) Limi inorganici di alta compressibilità ed argille organiche
- 4) Argille inorganiche di bassa plasticità
- 5) Argille inorganiche di media plasticità
- 6) Argille inorganiche di alta plasticità

LIMITI DI ATTEMBERG			
W _L	67	Limite liquido	
W _P	29	Limite plastico	
PI	38	Indice Plasticità	

SONDAGGIO 3

Campione C3



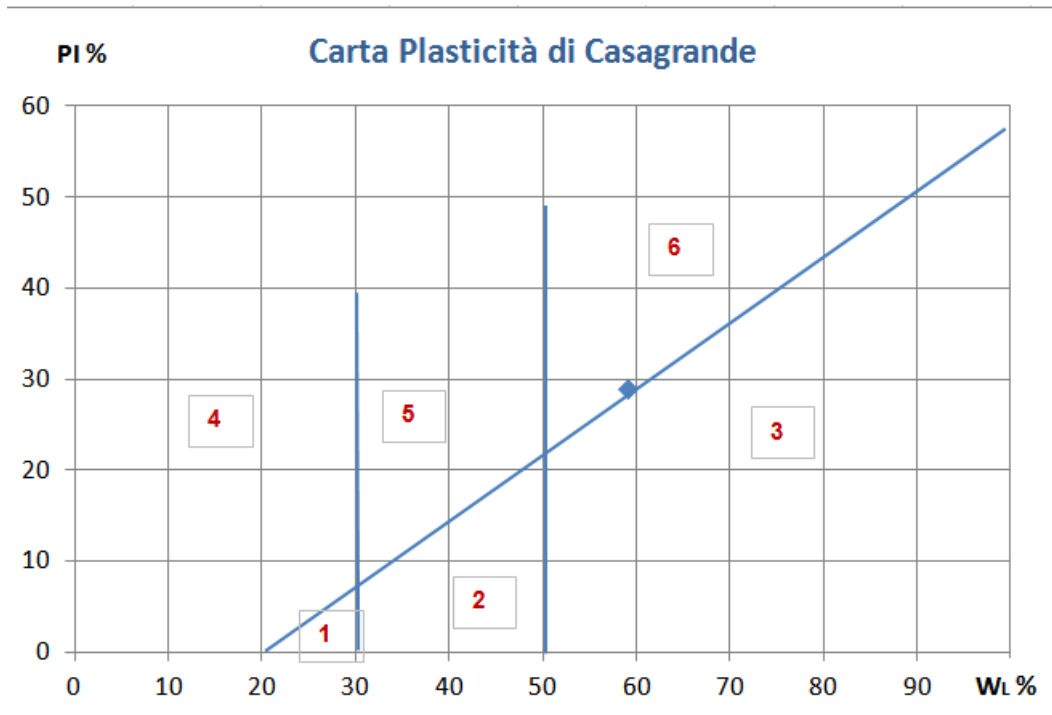
LEGENDA:

- 1) Limi Inorganici di bassa compressibilità
- 2) Limi inorganici di media compressibilità e limi organici
- 3) Limi inorganici di alta compressibilità ed argille organiche
- 4) Argille inorganiche di bassa plasticità
- 5) Argille inorganiche di media plasticità
- 6) Argille inorganiche di alta plasticità

LIMITI DI ATTEMBERG			
WL	35	Limite liquido	
W _P	21	Limite plastico	
PI	14	Indice Plasticità	

SONDAGGIO 3

Campione C4



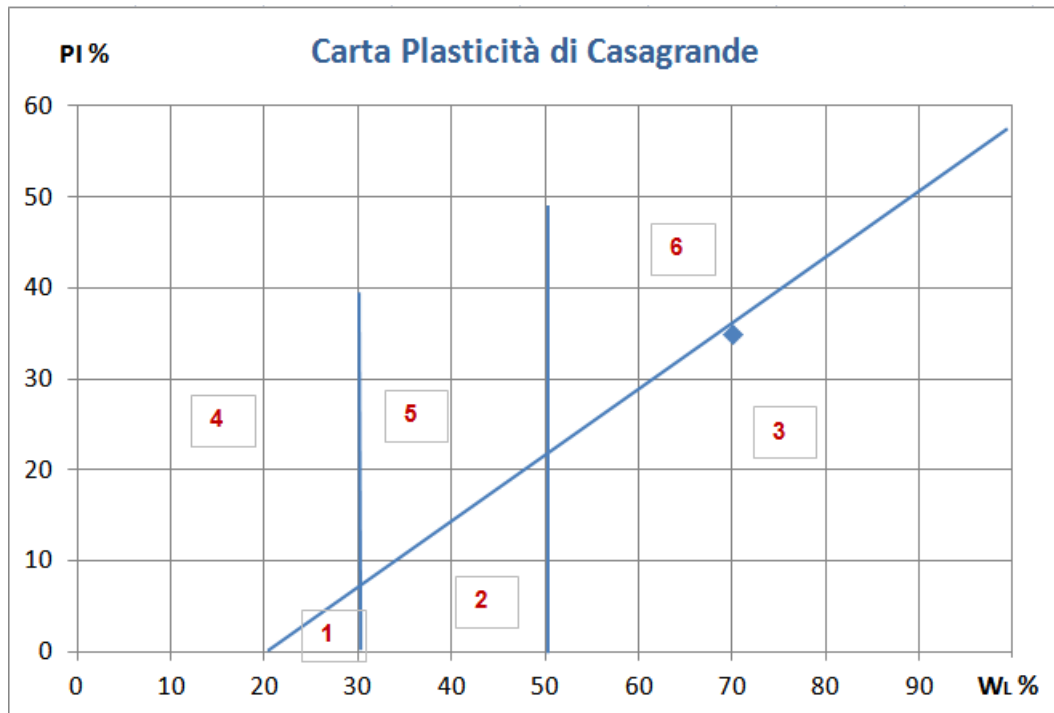
LEGENDA:

- 1) Limi Inorganici di bassa compressibilità
- 2) Limi inorganici di media compressibilità e limi organici
- 3) Limi inorganici di alta compressibilità ed argille organiche
- 4) Argille inorganiche di bassa plasticità
- 5) Argille inorganiche di media plasticità
- 6) Argille inorganiche di alta plasticità

LIMITI DI ATTEMBERG			
WL	59	Limite liquido	
Wp	30	Limite plastico	
PI	29	Indice Plasticità	

SONDAGGIO 3

Campione C5



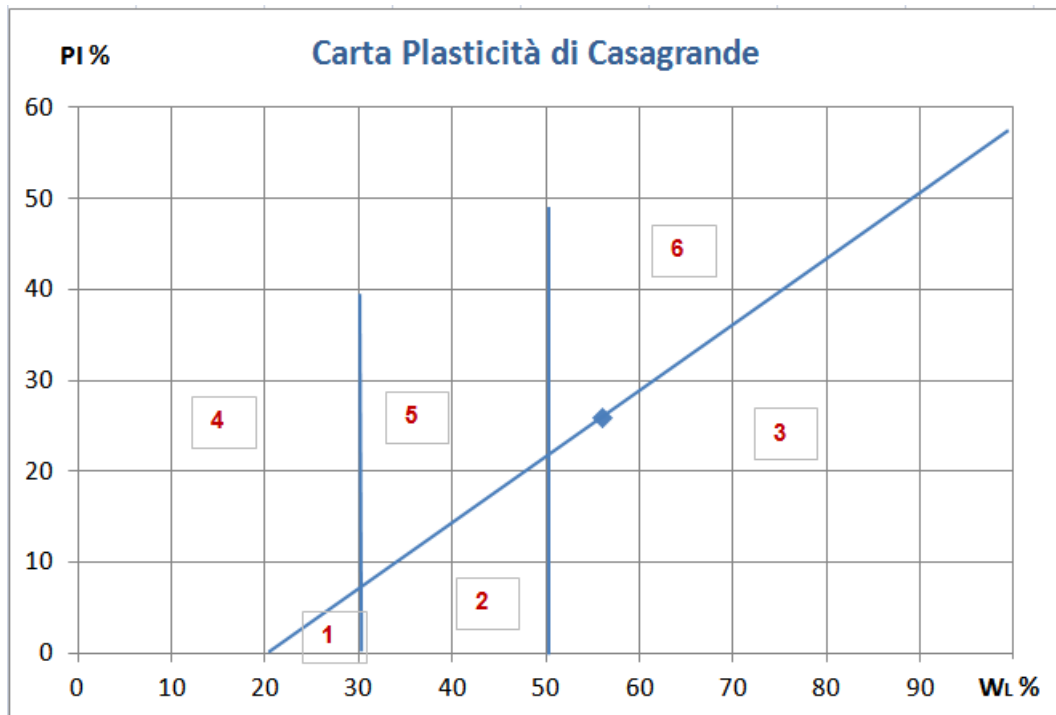
LEGENDA:

- 1) Limi Inorganici di bassa compressibilità
- 2) Limi inorganici di media compressibilità e limi organici
- 3) Limi inorganici di alta compressibilità ed argille organiche
- 4) Argille inorganiche di bassa plasticità
- 5) Argille inorganiche di media plasticità
- 6) Argille inorganiche di alta plasticità

LIMITI DI ATTEMBERG			
WL	70	Limite liquido	
W _P	35	Limite plastico	
PI	35	Indice Plasticità	

SONDAGGIO 3

Campione C6



LEGENDA:

- 1) Limi Inorganici di bassa compressibilità
- 2) Limi inorganici di media compressibilità e limi organici
- 3) Limi inorganici di alta compressibilità ed argille organiche
- 4) Argille inorganiche di bassa plasticità
- 5) Argille inorganiche di media plasticità
- 6) Argille inorganiche di alta plasticità

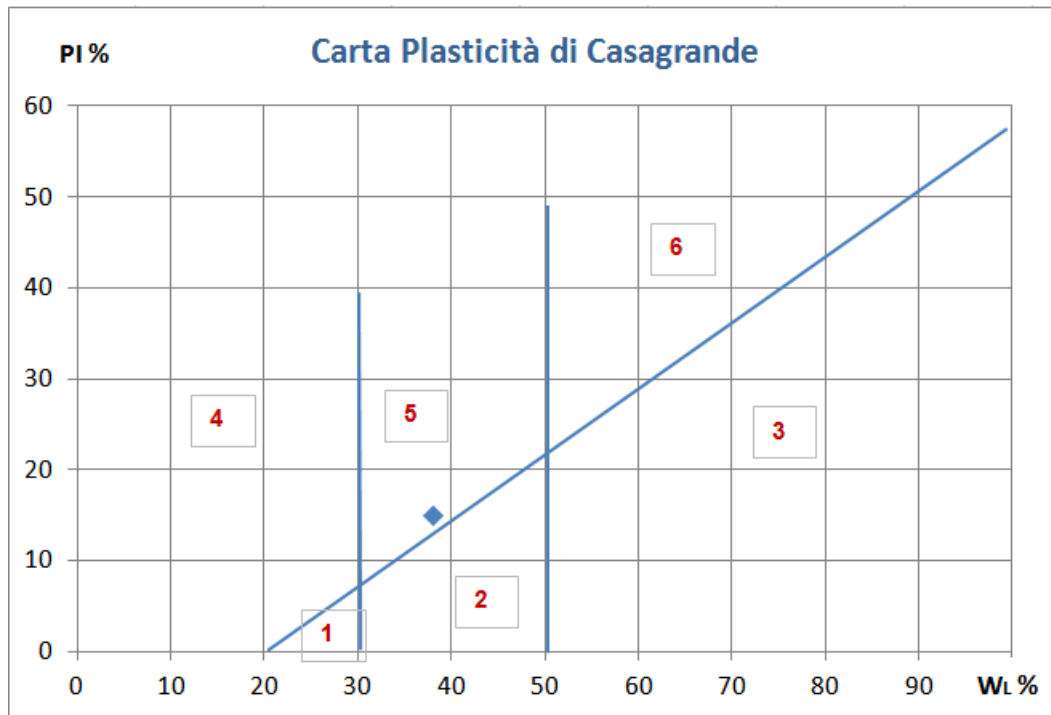
LIMITI DI ATTEMBERG			
WL	56	Limite liquido	
W _P	30	Limite plastico	
PI	26	Indice Plasticità	

LIMITI DI ATTERBERG

Fase 2 (Green)

SONDAGGIO 4

Campione C1



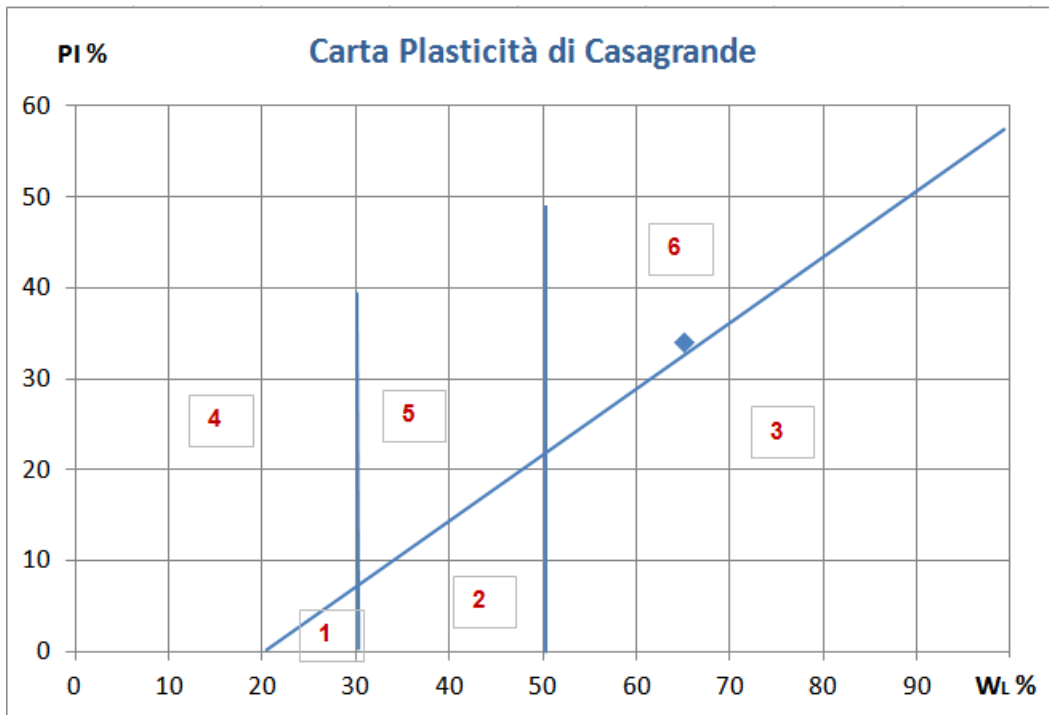
LEGENDA:

- 1) Limi Inorganici di bassa compressibilità
- 2) Limi inorganici di media compressibilità e limi organici
- 3) Limi inorganici di alta compressibilità ed argille organiche
- 4) Argille inorganiche di bassa plasticità
- 5) Argille inorganiche di media plasticità
- 6) Argille inorganiche di alta plasticità

LIMITI DI ATTEMBERG			
WL	38	Limite liquido	
W _P	23	Limite plastico	
PI	15	Indice Plasticità	

SONDAGGIO 4

Campione C2



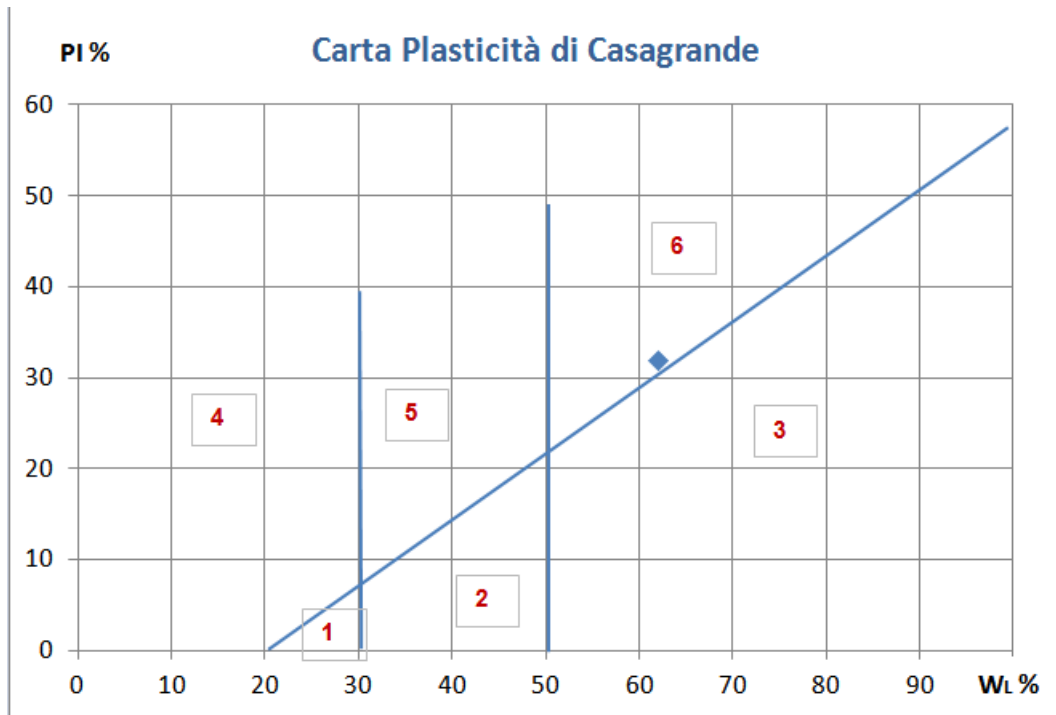
LEGENDA:

- 1) Limi Inorganici di bassa compressibilità
- 2) Limi inorganici di media compressibilità e limi organici
- 3) Limi inorganici di alta compressibilità ed argille organiche
- 4) Argille inorganiche di bassa plasticità
- 5) Argille inorganiche di media plasticità
- 6) Argille inorganiche di alta plasticità

LIMITI DI ATTERBERG			
W _L	65	Limite liquido	
W _P	31	Limite plastico	
PI	34	Indice Plasticità	

SONDAGGIO 4

Campione C3



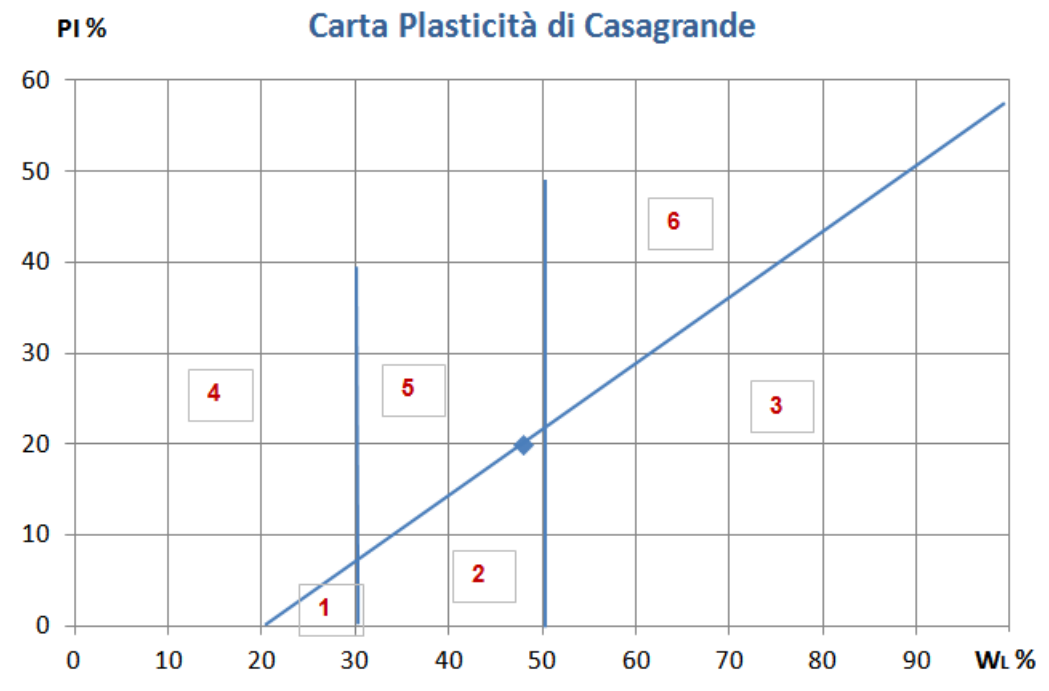
LEGENDA:

- 1) Limi Inorganici di bassa compressibilità
- 2) Limi inorganici di media compressibilità e limi organici
- 3) Limi inorganici di alta compressibilità ed argille organiche
- 4) Argille inorganiche di bassa plasticità
- 5) Argille inorganiche di media plasticità
- 6) Argille inorganiche di alta plasticità

LIMITI DI ATTEMBERG			
W _L	62	Limite liquido	
W _P	30	Limite plastico	
PI	32	Indice Plasticità	

SONDAGGIO 4

Campione C4



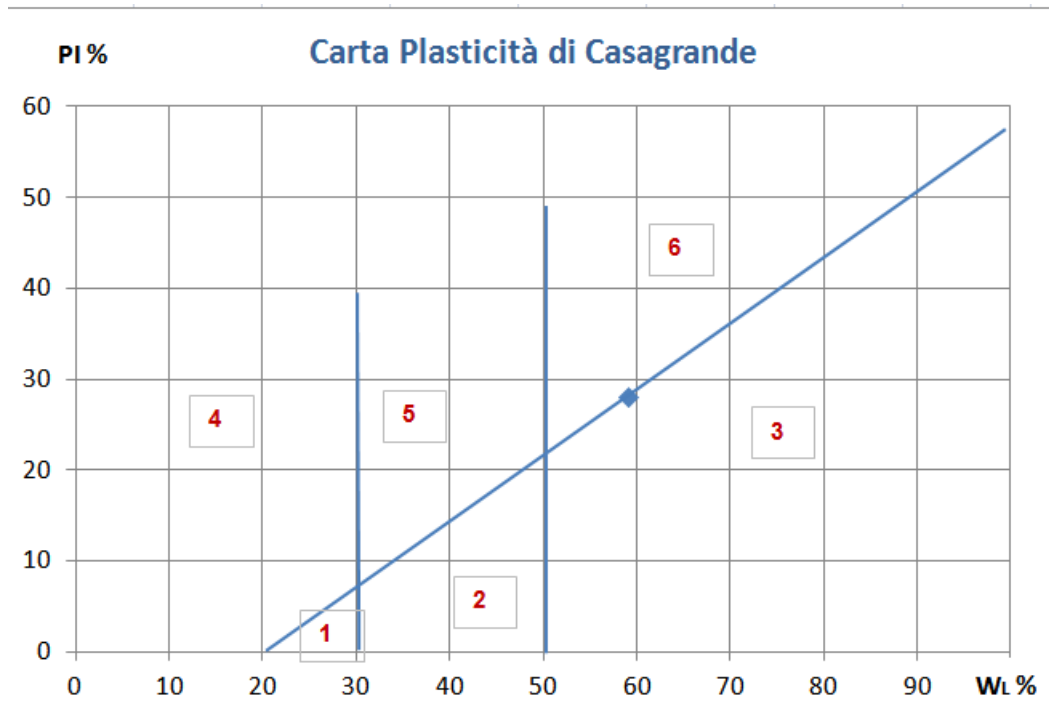
LEGENDA:

- 1) Limi Inorganici di bassa compressibilità
- 2) Limi inorganici di media compressibilità e limi organici
- 3) Limi inorganici di alta compressibilità ed argille organiche
- 4) Argille inorganiche di bassa plasticità
- 5) Argille inorganiche di media plasticità
- 6) Argille inorganiche di alta plasticità

LIMITI DI ATTERBERG			
W _L	48	Limite liquido	
W _P	28	Limite plastico	
PI	20	Indice Plasticità	

SONDAGGIO 4

Campione C5



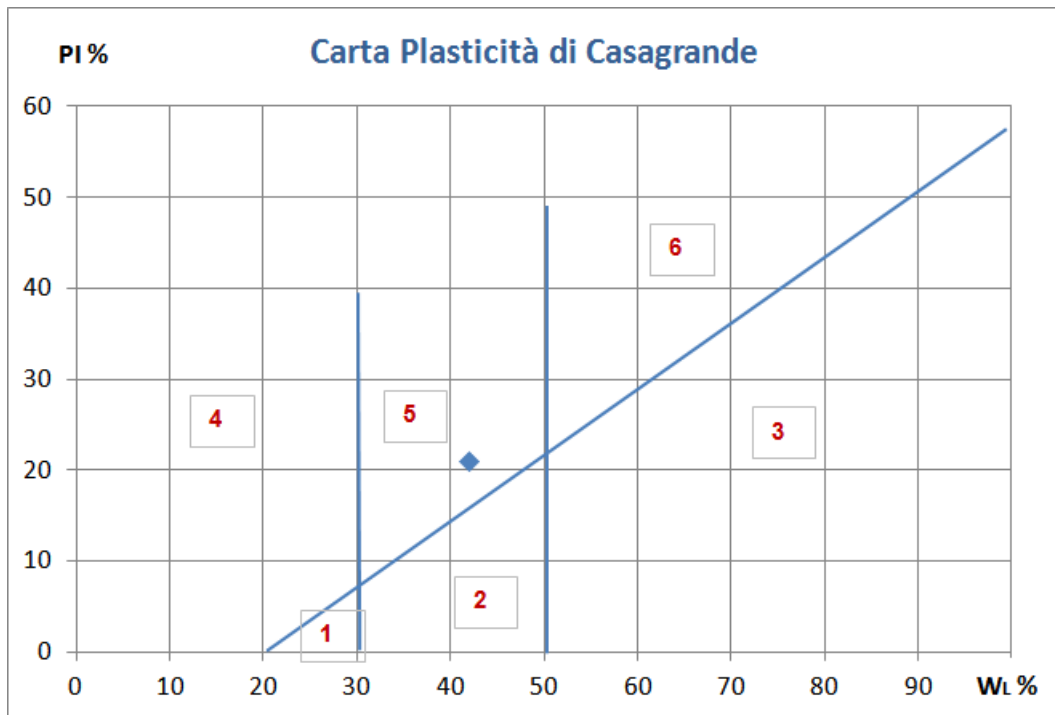
LEGENDA:

- 1) Limi Inorganici di bassa compressibilità
- 2) Limi inorganici di media compressibilità e limi organici
- 3) Limi inorganici di alta compressibilità ed argille organiche
- 4) Argille inorganiche di bassa plasticità
- 5) Argille inorganiche di media plasticità
- 6) Argille inorganiche di alta plasticità

LIMITI DI ATTEMBERG			
WL	59	Limite liquido	
W _P	31	Limite plastico	
PI	28	Indice Plasticità	

SONDAGGIO 4

Campione C6



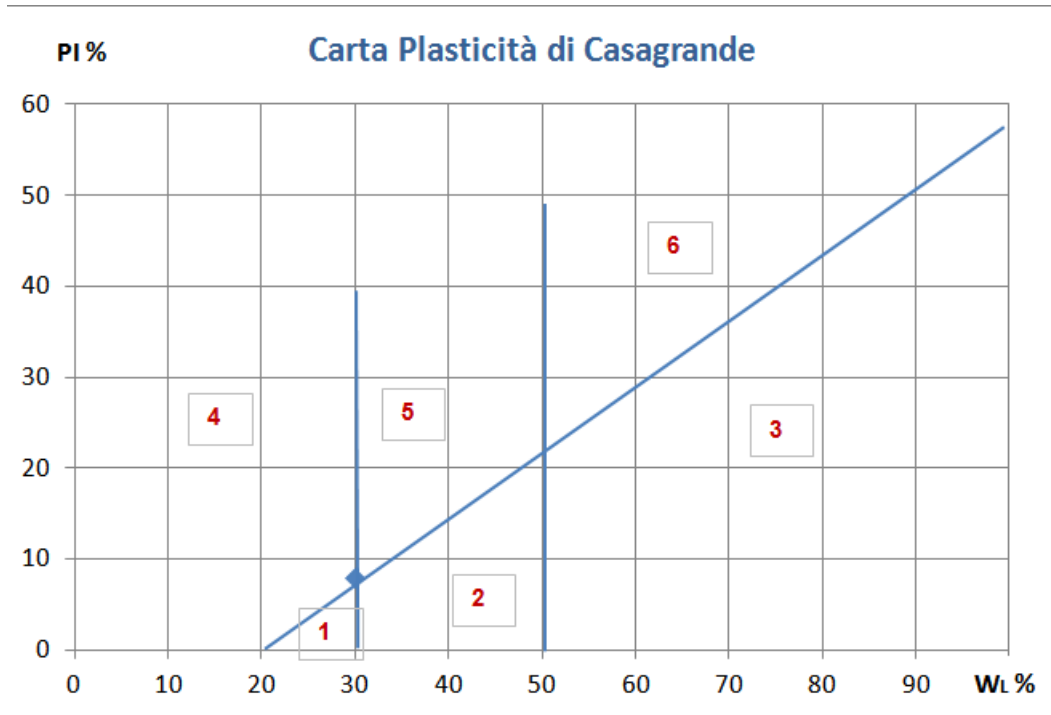
LEGENDA:

- 1) Limi Inorganici di bassa compressibilità
- 2) Limi inorganici di media compressibilità e limi organici
- 3) Limi inorganici di alta compressibilità ed argille organiche
- 4) Argille inorganiche di bassa plasticità
- 5) Argille inorganiche di media plasticità
- 6) Argille inorganiche di alta plasticità

LIMITI DI ATTEMBERG			
W _L	42	Limite liquido	
W _P	21	Limite plastico	
PI	21	Indice Plasticità	

SONDAGGIO 4

Campione C7



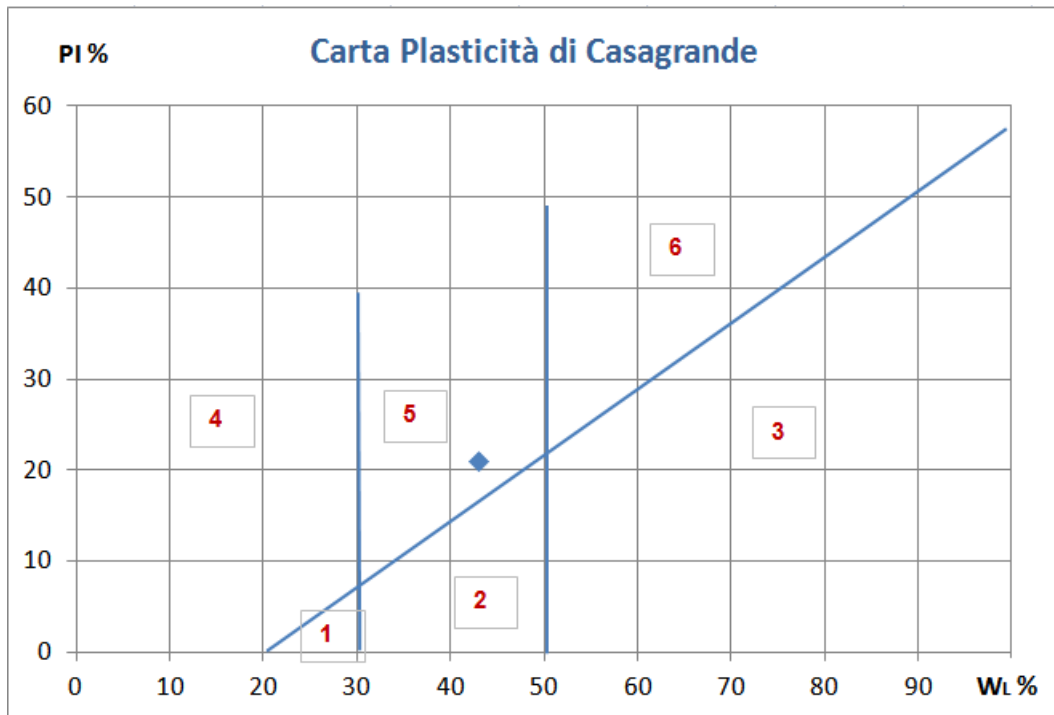
LEGENDA:

- 1) Limi Inorganici di bassa compressibilità
- 2) Limi inorganici di media compressibilità e limi organici
- 3) Limi inorganici di alta compressibilità ed argille organiche
- 4) Argille inorganiche di bassa plasticità
- 5) Argille inorganiche di media plasticità
- 6) Argille inorganiche di alta plasticità

LIMITI DI ATTERBERG			
W _L	30	Limite liquido	
W _P	22	Limite plastico	
PI	8	Indice Plasticità	

SONDAGGIO 5

Campione C1



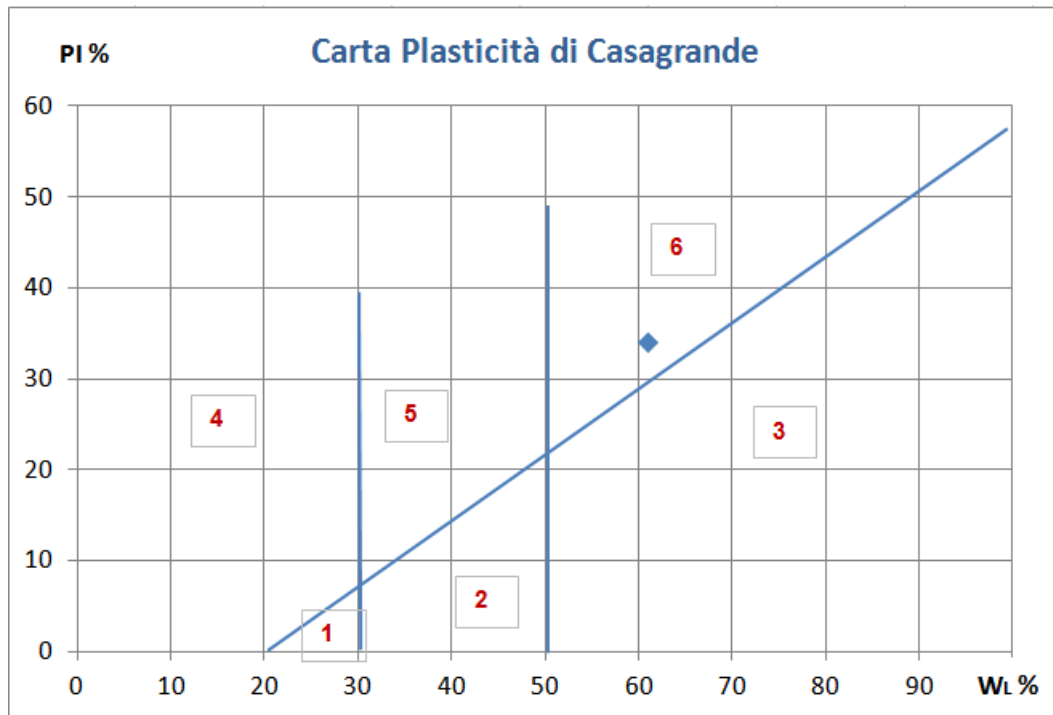
LEGENDA:

- 1) Limi Inorganici di bassa compressibilità
- 2) Limi inorganici di media compressibilità e limi organici
- 3) Limi inorganici di alta compressibilità ed argille organiche
- 4) Argille inorganiche di bassa plasticità
- 5) Argille inorganiche di media plasticità
- 6) Argille inorganiche di alta plasticità

LIMITI DI ATTEMBERG			
WL	43	Limite liquido	
WP	22	Limite plastico	
PI	21	Indice Plasticità	

SONDAGGIO 5

Campione C2



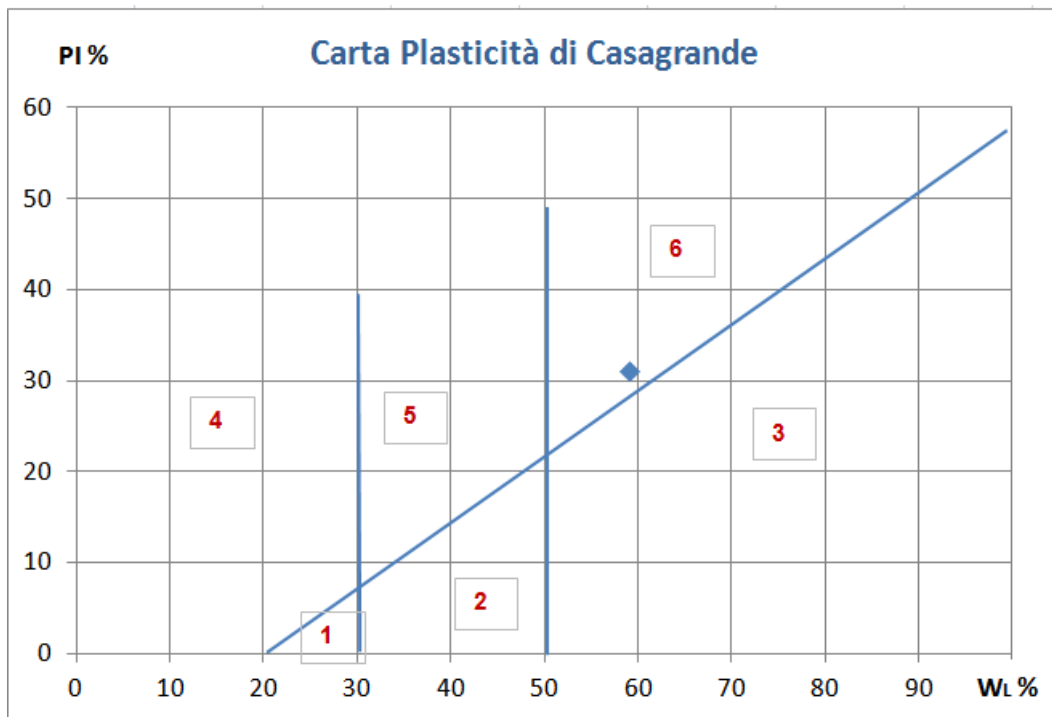
LEGENDA:

- 1) Limi Inorganici di bassa compressibilità
- 2) Limi inorganici di media compressibilità e limi organici
- 3) Limi inorganici di alta compressibilità ed argille organiche
- 4) Argille inorganiche di bassa plasticità
- 5) Argille inorganiche di media plasticità
- 6) Argille inorganiche di alta plasticità

LIMITI DI ATTERBERG		
WL	61	Limite liquido
Wp	27	Limite plastico
PI	34	Indice Plasticità

SONDAGGIO 5

Campione C3



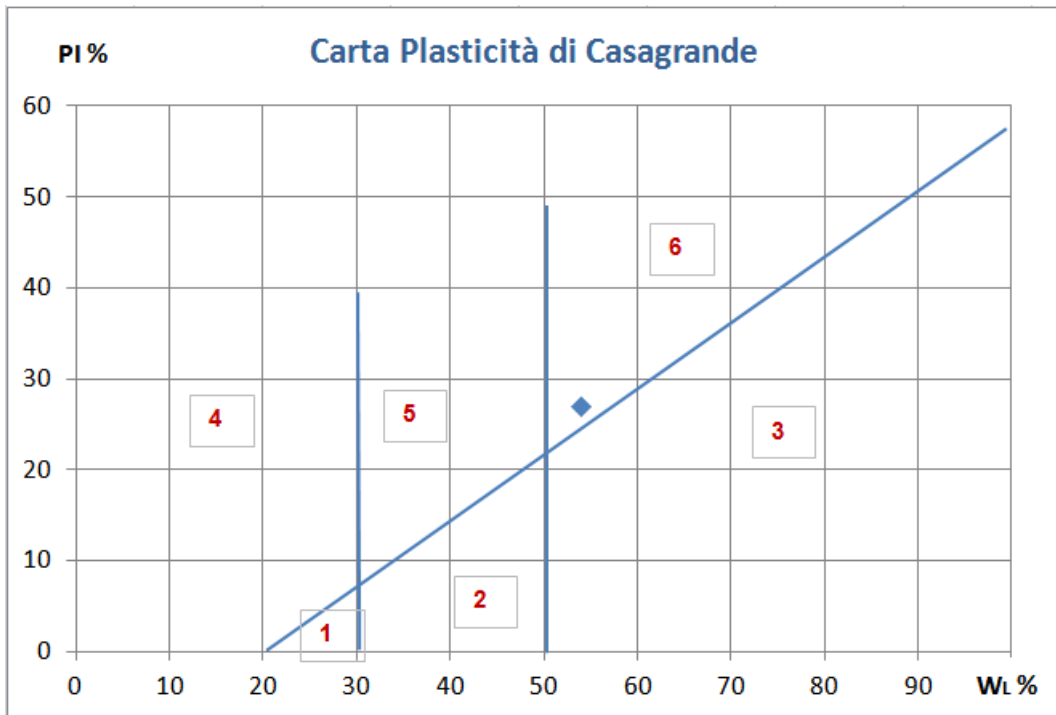
LEGENDA:

- 1) Limi Inorganici di bassa compressibilità
- 2) Limi inorganici di media compressibilità e limi organici
- 3) Limi inorganici di alta compressibilità ed argille organiche
- 4) Argille inorganiche di bassa plasticità
- 5) Argille inorganiche di media plasticità
- 6) Argille inorganiche di alta plasticità

LIMITI DI ATTEMBERG			
WL	59	Limite liquido	
WP	28	Limite plastico	
PI	31	Indice Plasticità	

SONDAGGIO 6

Campione C1



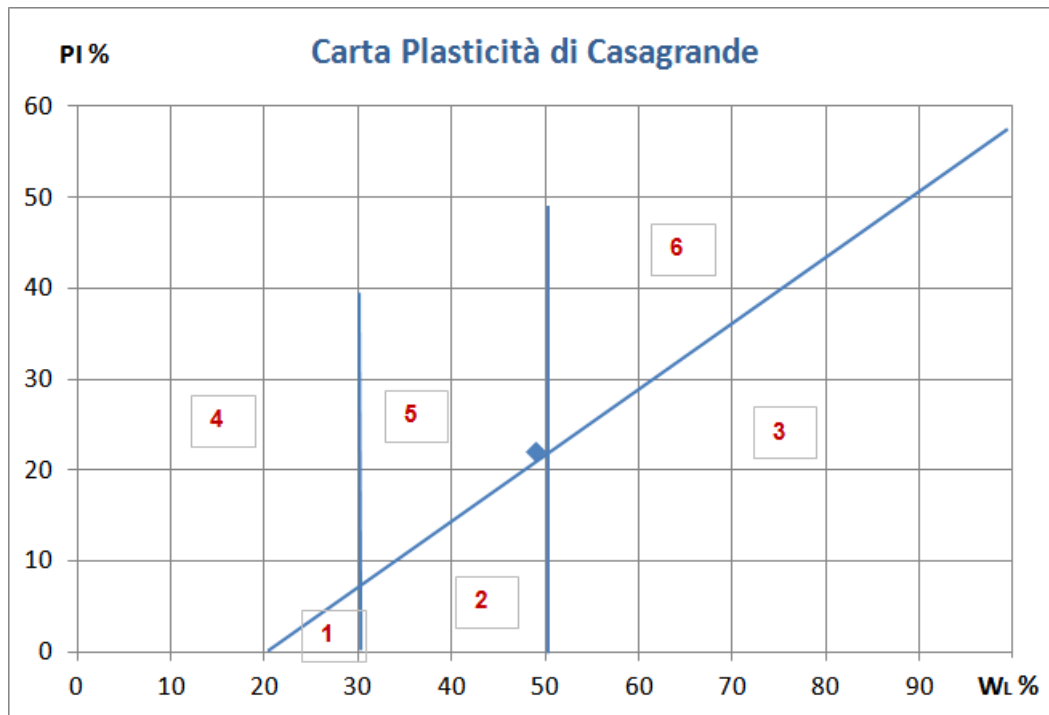
LEGENDA:

- 1) Limi Inorganici di bassa compressibilità
- 2) Limi inorganici di media compressibilità e limi organici
- 3) Limi inorganici di alta compressibilità ed argille organiche
- 4) Argille inorganiche di bassa plasticità
- 5) Argille inorganiche di media plasticità
- 6) Argille inorganiche di alta plasticità

LIMITI DI ATTEMBERG			
WL	54	Limite liquido	
W _P	27	Limite plastico	
PI	27	Indice Plasticità	

SONDAGGIO 6

Campione C2



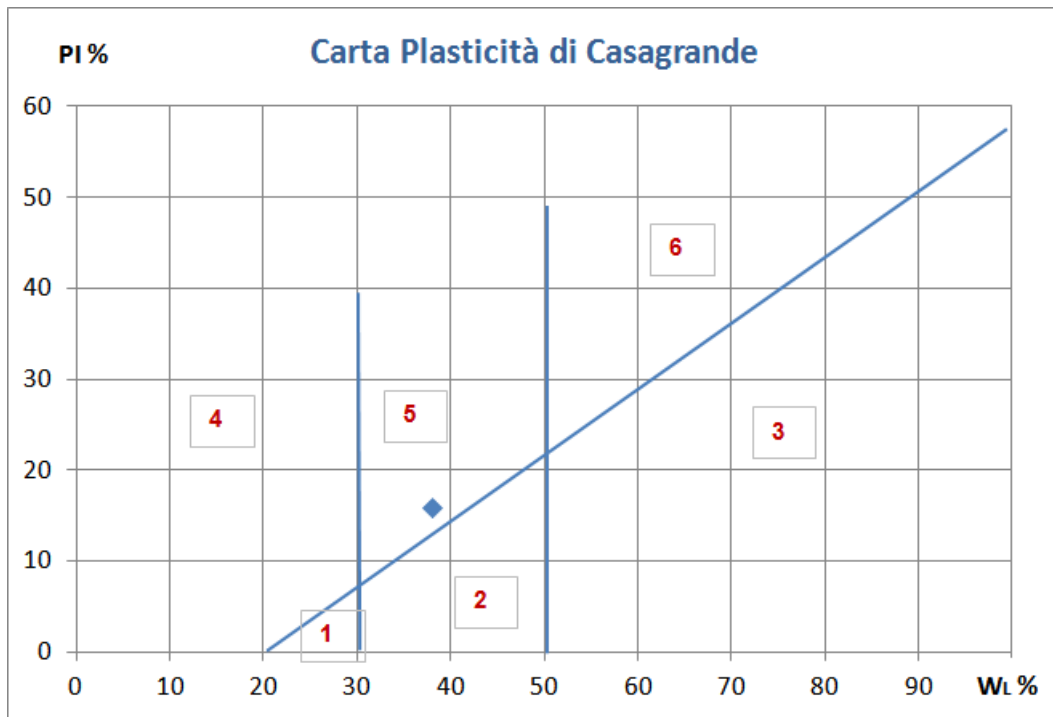
LEGENDA:

- 1) Limi Inorganici di bassa compressibilità
- 2) Limi inorganici di media compressibilità e limi organici
- 3) Limi inorganici di alta compressibilità ed argille organiche
- 4) Argille inorganiche di bassa plasticità
- 5) Argille inorganiche di media plasticità
- 6) Argille inorganiche di alta plasticità

LIMITI DI ATTERBERG			
WL	49	Limite liquido	
WP	27	Limite plastico	
PI	22	Indice Plasticità	

SONDAGGIO 6

Campione C3



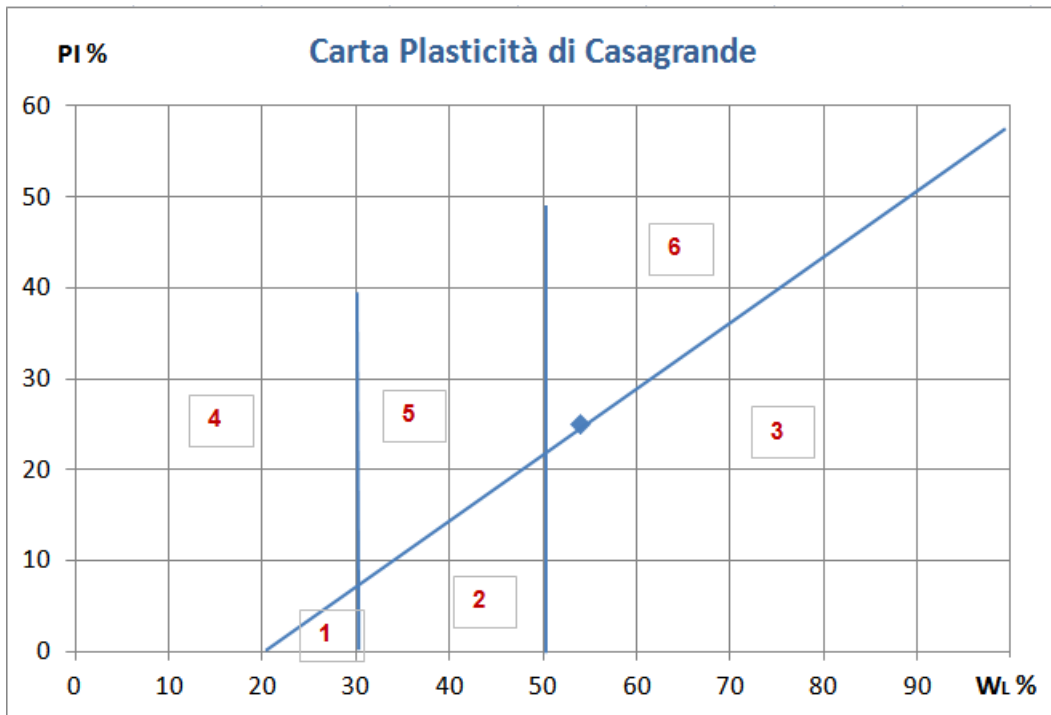
LEGENDA:

- 1) Limi Inorganici di bassa compressibilità
- 2) Limi inorganici di media compressibilità e limi organici
- 3) Limi inorganici di alta compressibilità ed argille organiche
- 4) Argille inorganiche di bassa plasticità
- 5) Argille inorganiche di media plasticità
- 6) Argille inorganiche di alta plasticità

LIMITI DI ATTEMBERG			
WL	38	Limite liquido	
WP	22	Limite plastico	
PI	16	Indice Plasticità	

SONDAGGIO 6

Campione C4



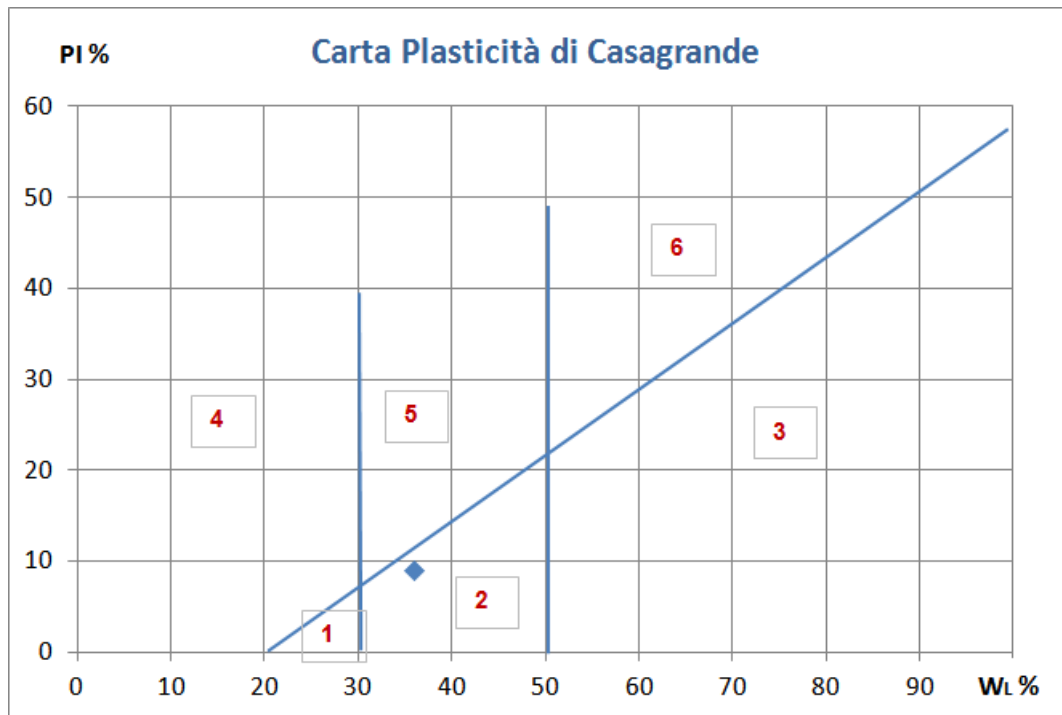
LEGENDA:

- 1) Limi Inorganici di bassa compressibilità
- 2) Limi inorganici di media compressibilità e limi organici
- 3) Limi inorganici di alta compressibilità ed argille organiche
- 4) Argille inorganiche di bassa plasticità
- 5) Argille inorganiche di media plasticità
- 6) Argille inorganiche di alta plasticità

LIMITI DI ATTERBERG			
WL	54	Limite liquido	
W _P	29	Limite plastico	
PI	25	Indice Plasticità	

SONDAGGIO 6

Campione C5



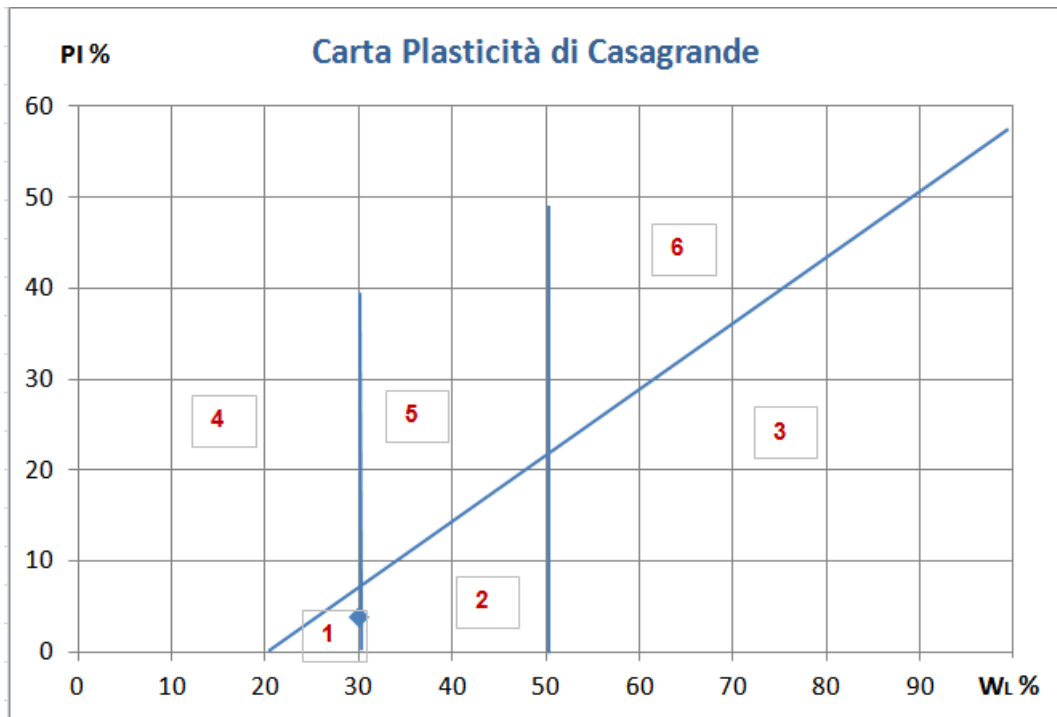
LEGENDA:

- 1) Limi Inorganici di bassa compressibilità
- 2) Limi inorganici di media compressibilità e limi organici
- 3) Limi inorganici di alta compressibilità ed argille organiche
- 4) Argille inorganiche di bassa plasticità
- 5) Argille inorganiche di media plasticità
- 6) Argille inorganiche di alta plasticità

LIMITI DI ATTEMBERG			
WL	36	Limite liquido	
WP	27	Limite plastico	
PI	9	Indice Plasticità	

SONDAGGIO 6

Campione C6



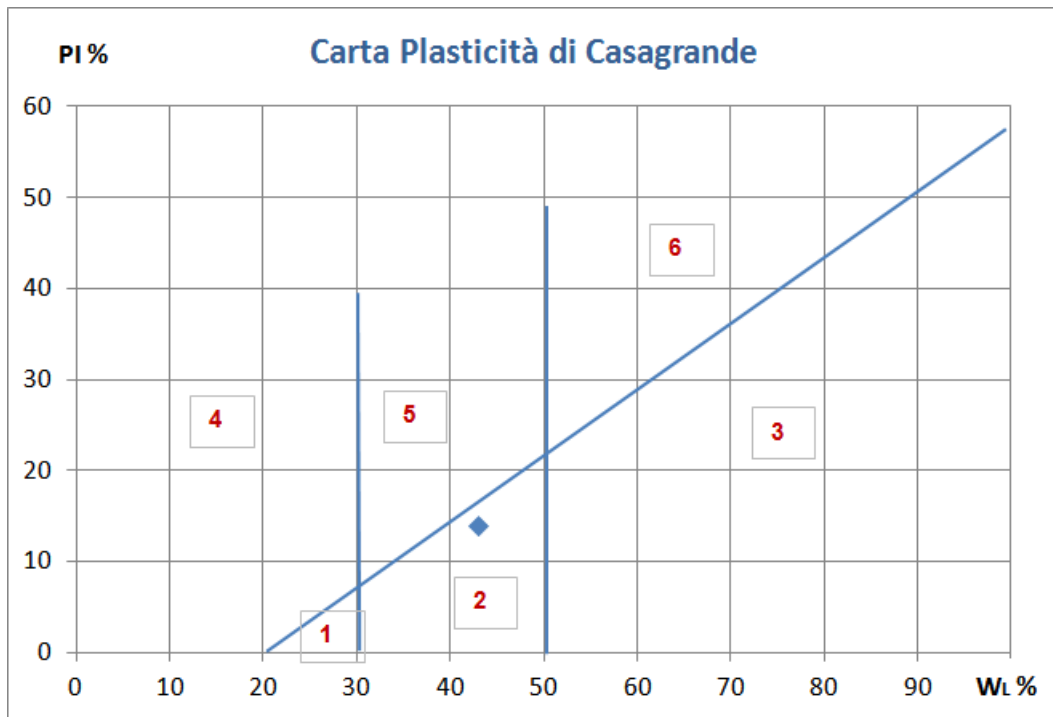
LEGENDA:

- 1) Limi Inorganici di bassa compressibilità
- 2) Limi inorganici di media compressibilità e limi organici
- 3) Limi inorganici di alta compressibilità ed argille organiche
- 4) Argille inorganiche di bassa plasticità
- 5) Argille inorganiche di media plasticità
- 6) Argille inorganiche di alta plasticità

LIMITI DI ATTERBERG			
WL	30	Limite liquido	
Wp	26	Limite plastico	
PI	4	Indice Plasticità	

SONDAGGIO 6

Campione C7



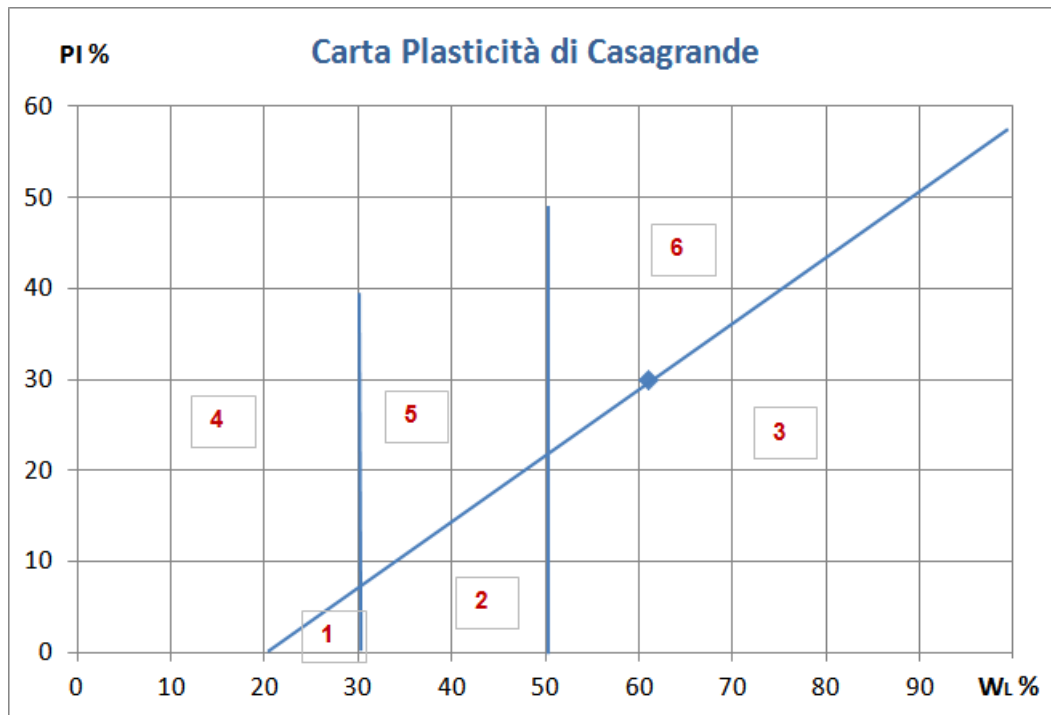
LEGENDA:

- 1) Limi Inorganici di bassa compressibilità
- 2) Limi inorganici di media compressibilità e limi organici
- 3) Limi inorganici di alta compressibilità ed argille organiche
- 4) Argille inorganiche di bassa plasticità
- 5) Argille inorganiche di media plasticità
- 6) Argille inorganiche di alta plasticità

LIMITI DI ATTEMBERG			
W _L	43	Limite liquido	
W _P	29	Limite plastico	
PI	14	Indice Plasticità	

SONDAGGIO 7

Campione C1



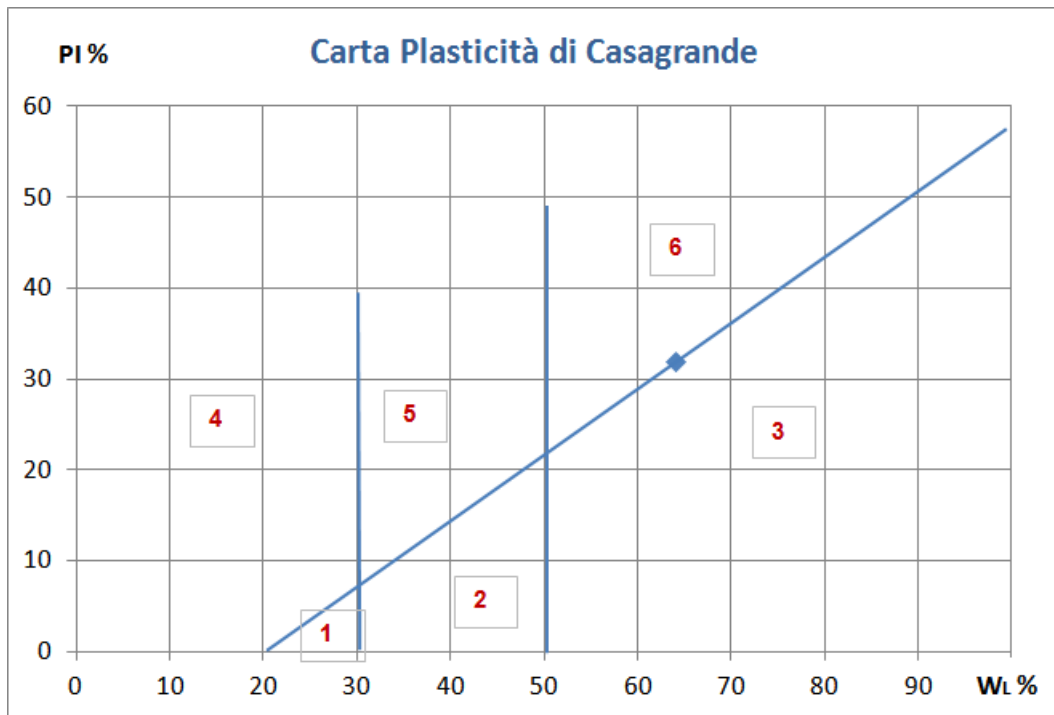
LEGENDA:

- 1) Limi Inorganici di bassa compressibilità
- 2) Limi inorganici di media compressibilità e limi organici
- 3) Limi inorganici di alta compressibilità ed argille organiche
- 4) Argille inorganiche di bassa plasticità
- 5) Argille inorganiche di media plasticità
- 6) Argille inorganiche di alta plasticità

LIMITI DI ATTEMBERG			
WL	61	Limite liquido	
Wp	31	Limite plastico	
PI	30	Indice Plasticità	

SONDAGGIO 7

Campione C2



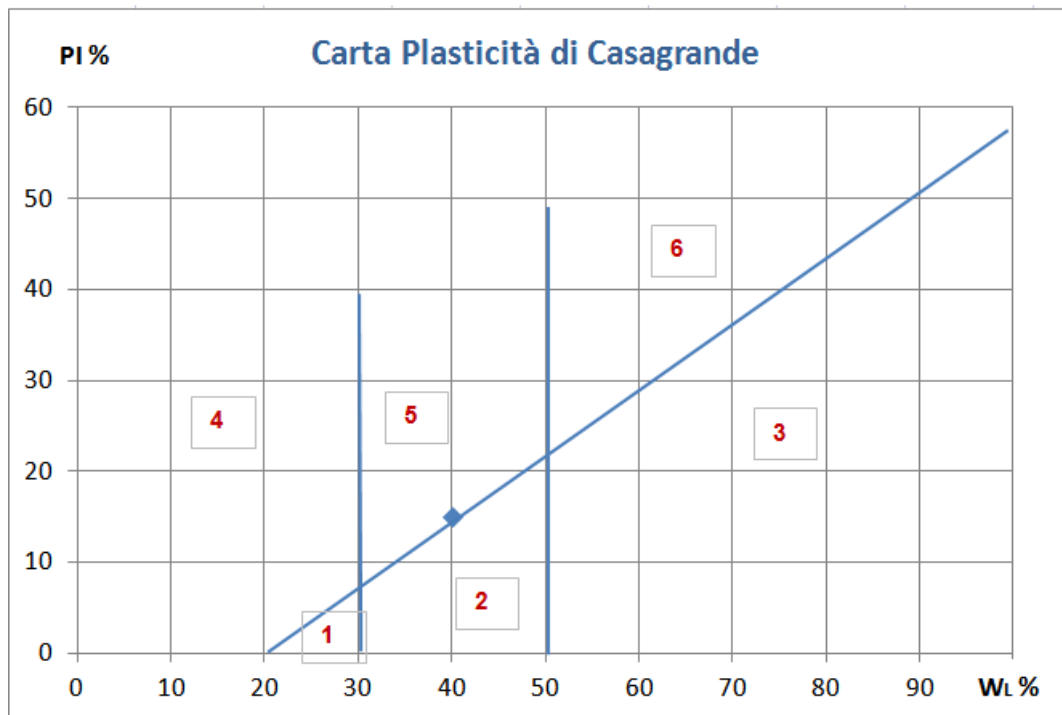
LEGENDA:

- 1) Limi Inorganici di bassa compressibilità
- 2) Limi inorganici di media compressibilità e limi organici
- 3) Limi inorganici di alta compressibilità ed argille organiche
- 4) Argille inorganiche di bassa plasticità
- 5) Argille inorganiche di media plasticità
- 6) Argille inorganiche di alta plasticità

LIMITI DI ATTEMBERG			
W _L	64	Limite liquido	
W _P	32	Limite plastico	
PI	32	Indice Plasticità	

SONDAGGIO 7

Campione C3



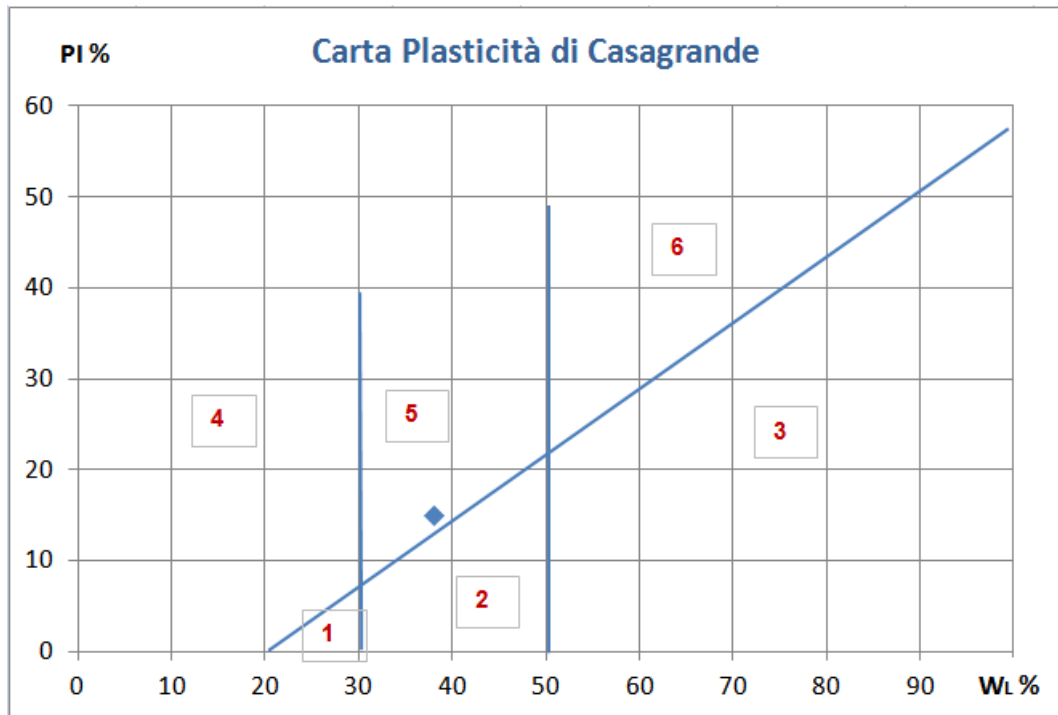
LEGENDA:

- 1) Limi Inorganici di bassa compressibilità
- 2) Limi inorganici di media compressibilità e limi organici
- 3) Limi inorganici di alta compressibilità ed argille organiche
- 4) Argille inorganiche di bassa plasticità
- 5) Argille inorganiche di media plasticità
- 6) Argille inorganiche di alta plasticità

LIMITI DI ATTEMBERG			
WL	40	Limite liquido	
W _P	25	Limite plastico	
PI	15	Indice Plasticità	

SONDAGGIO 7

Campione C4



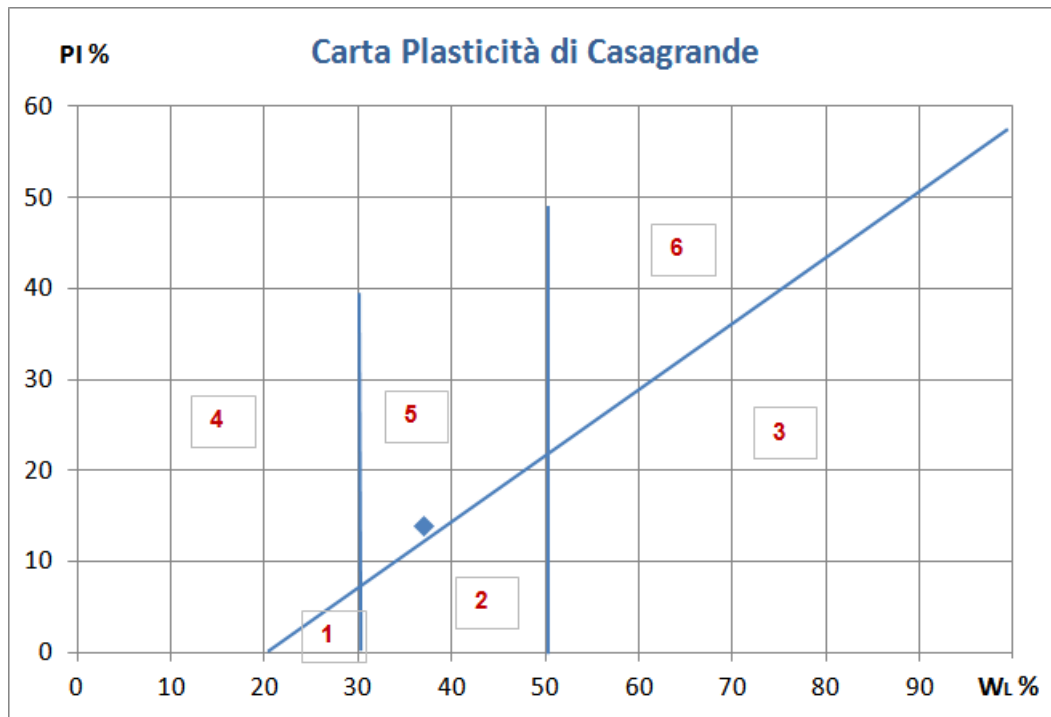
LEGENDA:

- 1) Limi Inorganici di bassa compressibilità
- 2) Limi inorganici di media compressibilità e limi organici
- 3) Limi inorganici di alta compressibilità ed argille organiche
- 4) Argille inorganiche di bassa plasticità
- 5) Argille inorganiche di media plasticità
- 6) Argille inorganiche di alta plasticità

LIMITI DI ATTEMBERG			
WL	38	Limite liquido	
Wp	23	Limite plastico	
PI	15	Indice Plasticità	

SONDAGGIO 8

Campione C1



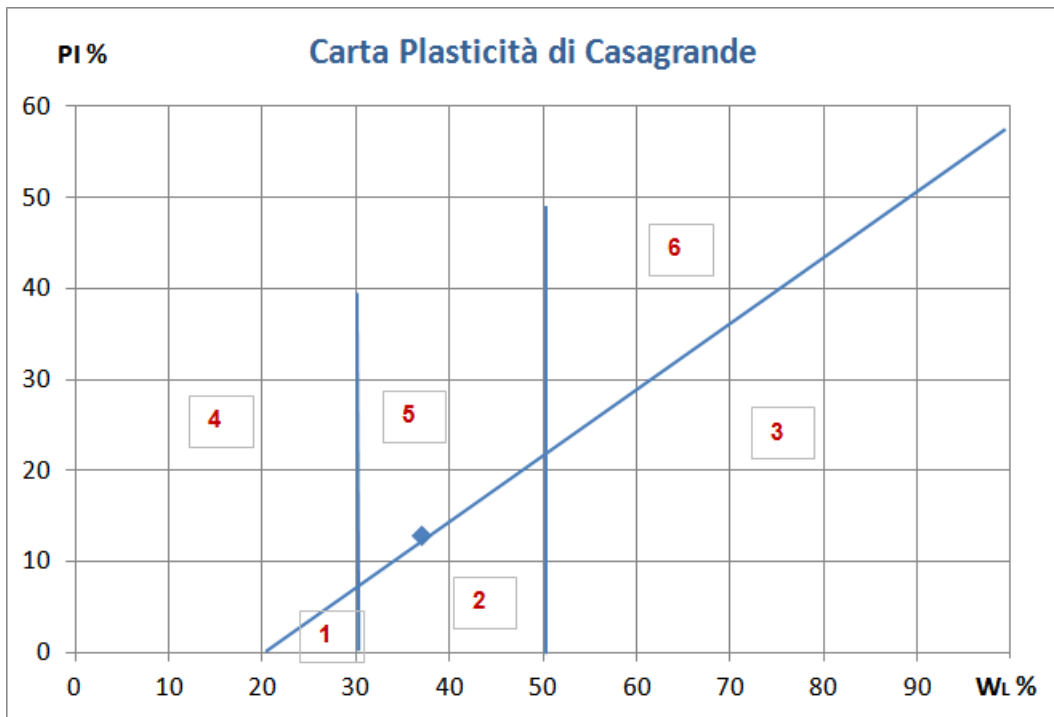
LEGENDA:

- 1) Limi Inorganici di bassa compressibilità
- 2) Limi inorganici di media compressibilità e limi organici
- 3) Limi inorganici di alta compressibilità ed argille organiche
- 4) Argille inorganiche di bassa plasticità
- 5) Argille inorganiche di media plasticità
- 6) Argille inorganiche di alta plasticità

LIMITI DI ATTEMBERG			
WL	37	Limite liquido	
WP	23	Limite plastico	
PI	14	Indice Plasticità	

SONDAGGIO 8

Campione C2



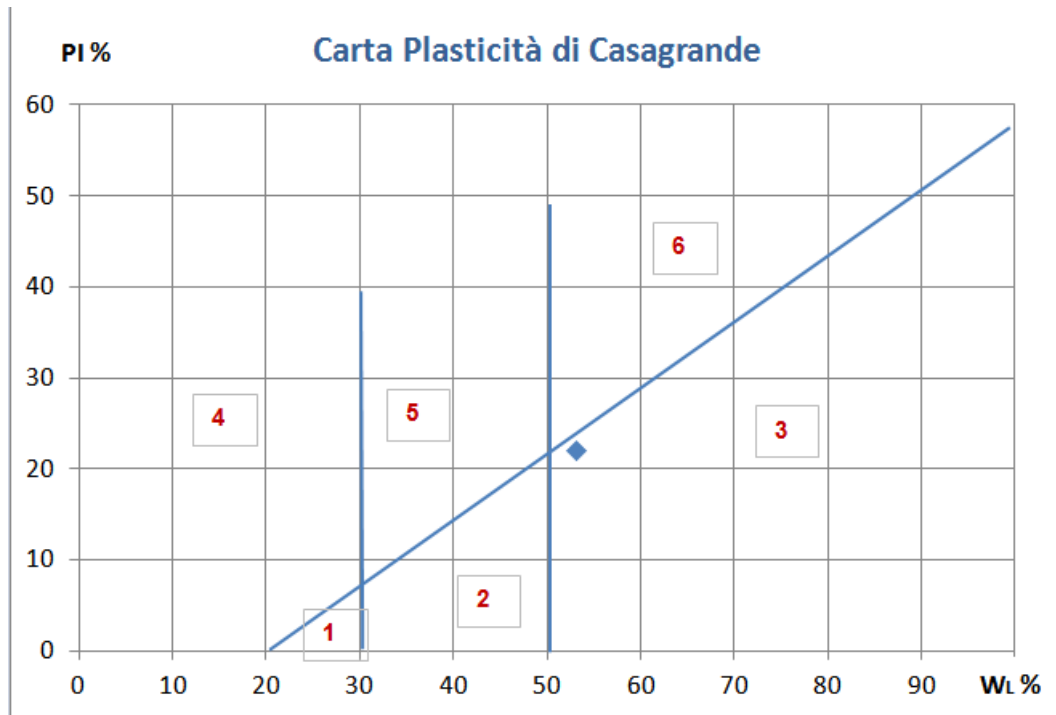
LEGENDA:

- 1) Limi Inorganici di bassa compressibilità
- 2) Limi inorganici di media compressibilità e limi organici
- 3) Limi inorganici di alta compressibilità ed argille organiche
- 4) Argille inorganiche di bassa plasticità
- 5) Argille inorganiche di media plasticità
- 6) Argille inorganiche di alta plasticità

LIMITI DI ATTEMBERG			
WL	37	Limite liquido	
WP	24	Limite plastico	
PI	13	Indice Plasticità	

SONDAGGIO 8

Campione C3



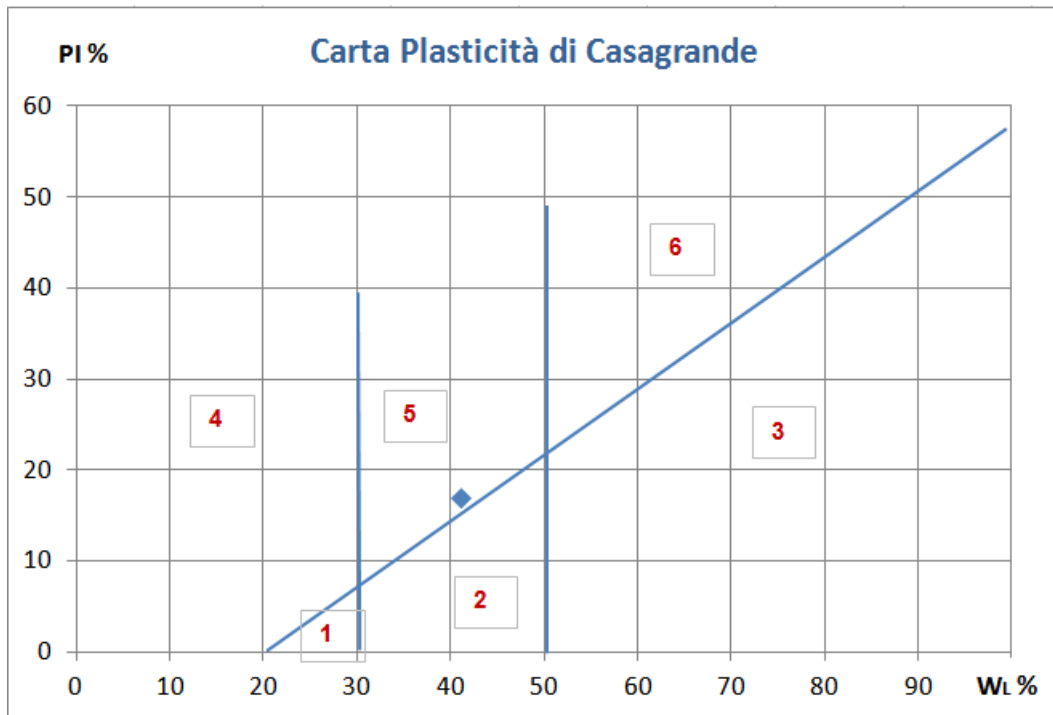
LEGENDA:

- 1) Limi Inorganici di bassa compressibilità
- 2) Limi inorganici di media compressibilità e limi organici
- 3) Limi inorganici di alta compressibilità ed argille organiche
- 4) Argille inorganiche di bassa plasticità
- 5) Argille inorganiche di media plasticità
- 6) Argille inorganiche di alta plasticità

LIMITI DI ATTEMBERG			
W _L	53	Limite liquido	
W _P	31	Limite plastico	
PI	22	Indice Plasticità	

SONDAGGIO 9

Campione C1



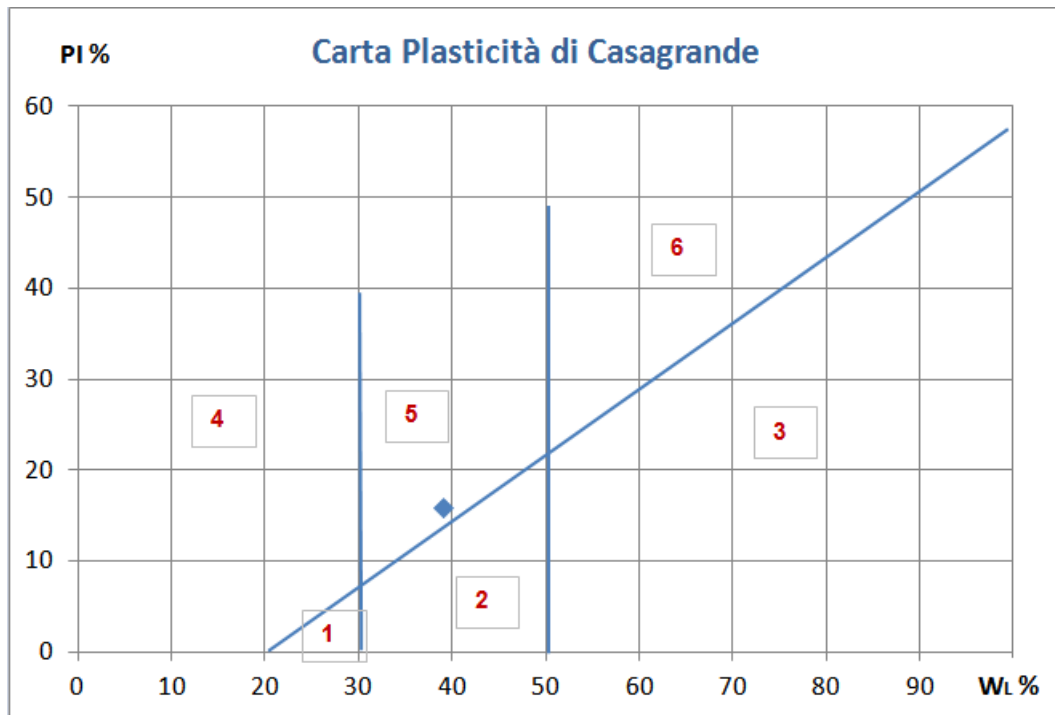
LEGENDA:

- 1) Limi Inorganici di bassa compressibilità
- 2) Limi inorganici di media compressibilità e limi organici
- 3) Limi inorganici di alta compressibilità ed argille organiche
- 4) Argille inorganiche di bassa plasticità
- 5) Argille inorganiche di media plasticità
- 6) Argille inorganiche di alta plasticità

LIMITI DI ATTEMBERG			
W _L	41	Limite liquido	
W _P	24	Limite plastico	
PI	17	Indice Plasticità	

SONDAGGIO 9

Campione C2



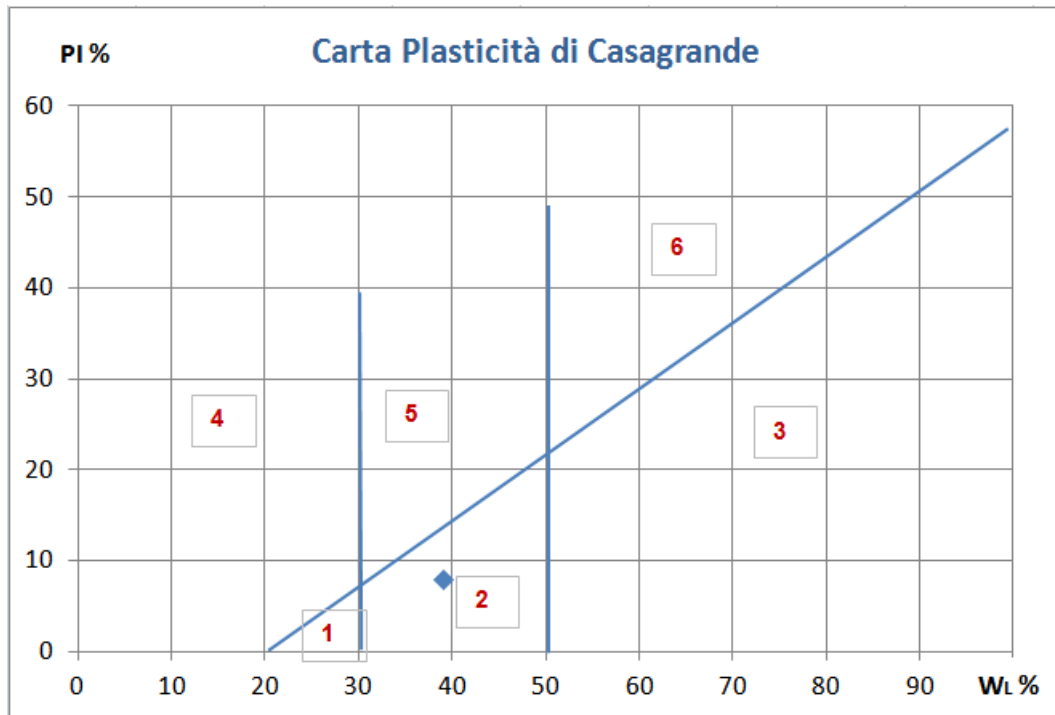
LEGENDA:

- 1) Limi Inorganici di bassa compressibilità
- 2) Limi inorganici di media compressibilità e limi organici
- 3) Limi inorganici di alta compressibilità ed argille organiche
- 4) Argille inorganiche di bassa plasticità
- 5) Argille inorganiche di media plasticità
- 6) Argille inorganiche di alta plasticità

LIMITI DI ATTEMBERG			
W _L	39	Limite liquido	
W _P	23	Limite plastico	
PI	16	Indice Plasticità	

SONDAGGIO 9

Campione C3



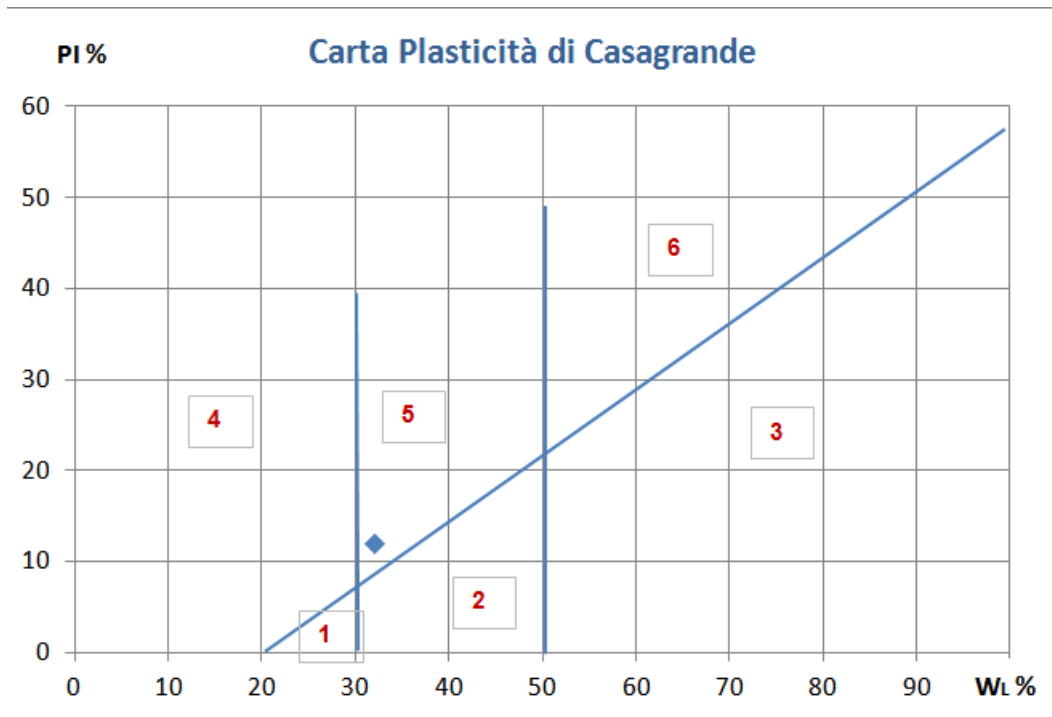
LEGENDA:

- 1) Limi Inorganici di bassa compressibilità
- 2) Limi inorganici di media compressibilità e limi organici
- 3) Limi inorganici di alta compressibilità ed argille organiche
- 4) Argille inorganiche di bassa plasticità
- 5) Argille inorganiche di media plasticità
- 6) Argille inorganiche di alta plasticità

LIMITI DI ATTEMBERG			
W _L	39	Limite liquido	
W _P	31	Limite plastico	
PI	8	Indice Plasticità	

SONDAGGIO 9

Campione C4



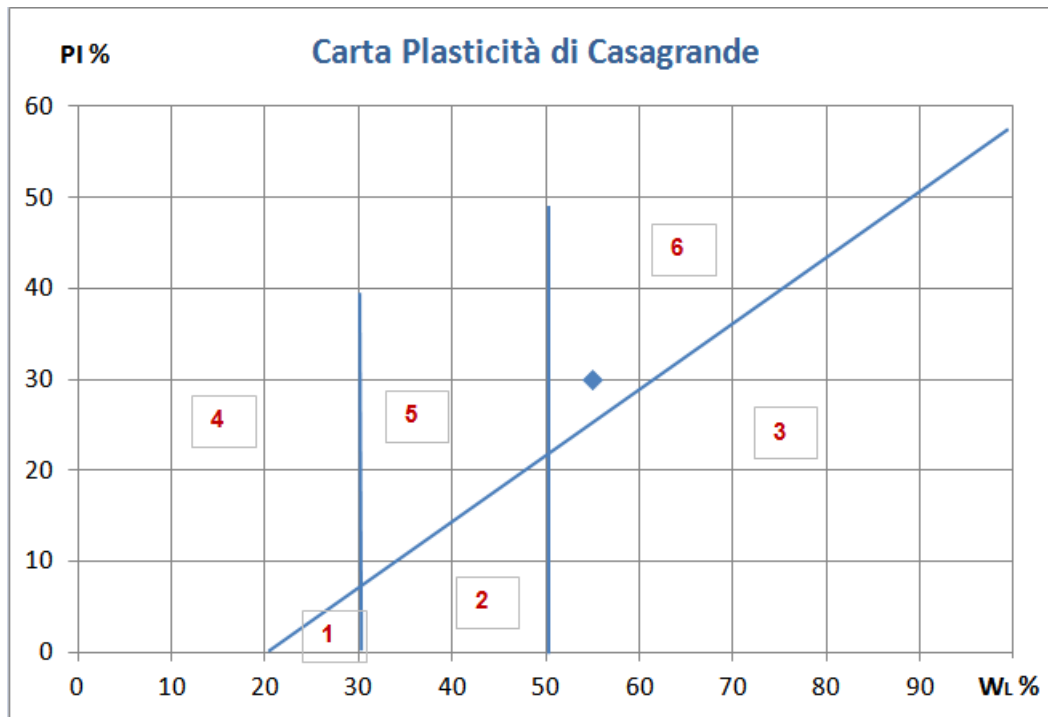
LEGENDA:

- 1) Limi Inorganici di bassa compressibilità
- 2) Limi inorganici di media compressibilità e limi organici
- 3) Limi inorganici di alta compressibilità ed argille organiche
- 4) Argille inorganiche di bassa plasticità
- 5) Argille inorganiche di media plasticità
- 6) Argille inorganiche di alta plasticità

LIMITI DI ATTEMBERG			
WL	32	Limite liquido	
W _P	20	Limite plastico	
PI	12	Indice Plasticità	

SONDAGGIO 9

Campione C5



LEGENDA:

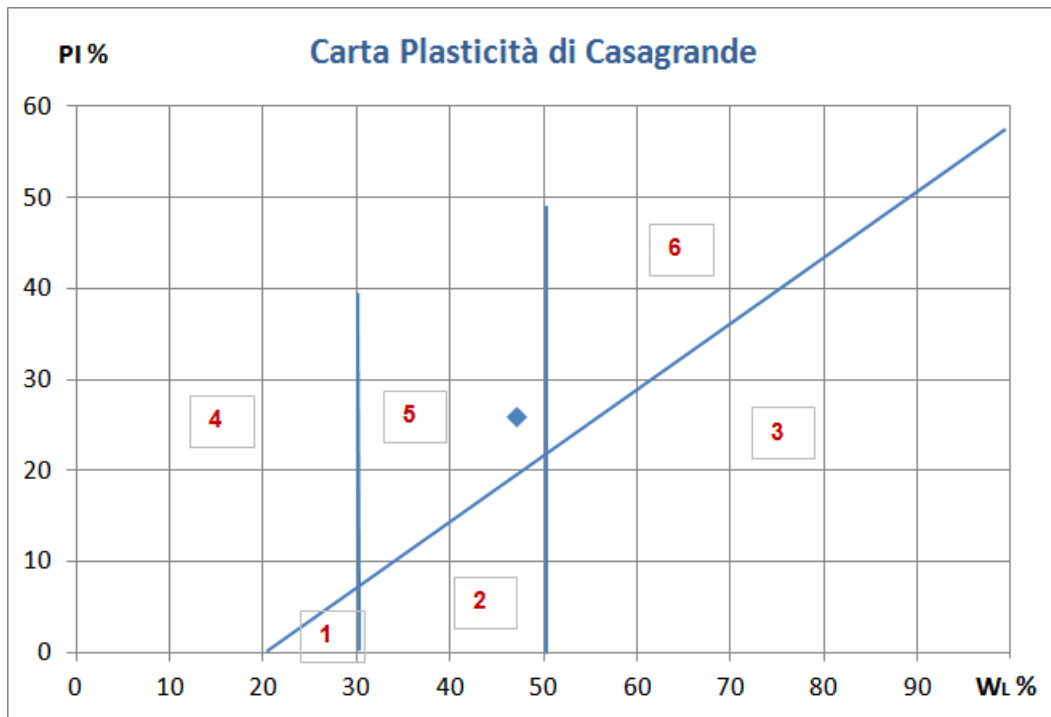
- 1) Limi Inorganici di bassa compressibilità
- 2) Limi inorganici di media compressibilità e limi organici
- 3) Limi inorganici di alta compressibilità ed argille organiche
- 4) Argille inorganiche di bassa plasticità
- 5) Argille inorganiche di media plasticità
- 6) Argille inorganiche di alta plasticità

LIMITI DI ATTEMBERG			
W _L	55	Limite liquido	
W _P	25	Limite plastico	
PI	30	Indice Plasticità	

LIMITI DI ATTERBERG

Fase 3 (Red)

SONDAGGIO SA
Campione C1

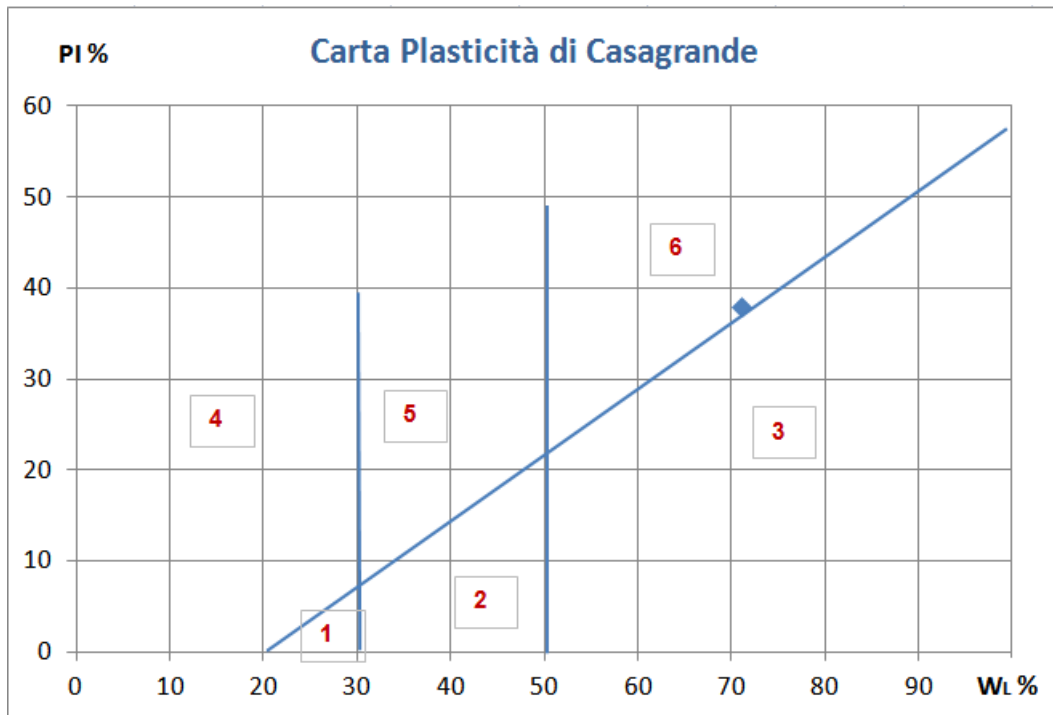


LEGENDA:

- 1) Limi Inorganici di bassa compressibilità
- 2) Limi inorganici di media compressibilità e limi organici
- 3) Limi inorganici di alta compressibilità ed argille organiche
- 4) Argille inorganiche di bassa plasticità
- 5) Argille inorganiche di media plasticità
- 6) Argille inorganiche di alta plasticità

LIMITI DI ATTEMBERG			
W _L	47	Limite liquido	
W _P	21	Limite plastico	
PI	26	Indice Plasticità	

SONDAGGIO SA
Campione C2

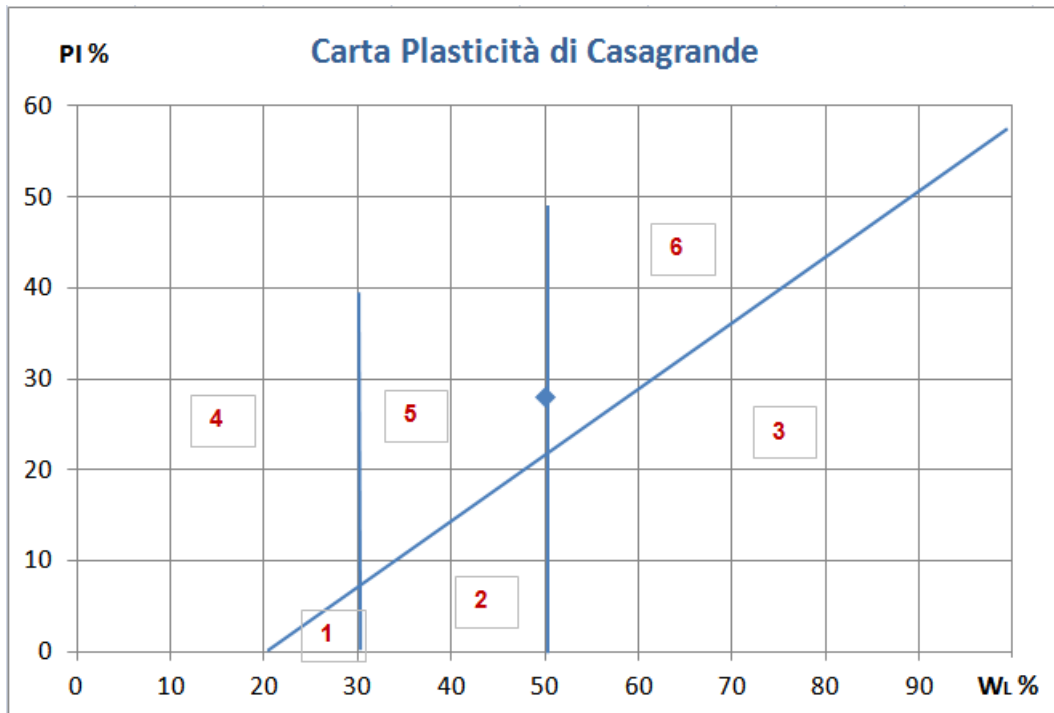


LEGENDA:

- 1) Limi Inorganici di bassa compressibilità
- 2) Limi inorganici di media compressibilità e limi organici
- 3) Limi inorganici di alta compressibilità ed argille organiche
- 4) Argille inorganiche di bassa plasticità
- 5) Argille inorganiche di media plasticità
- 6) Argille inorganiche di alta plasticità

LIMITI DI ATTEMBERG			
W _L	71	Limite liquido	
W _P	33	Limite plastico	
PI	38	Indice Plasticità	

SONDAGGIO SA
Campione C3

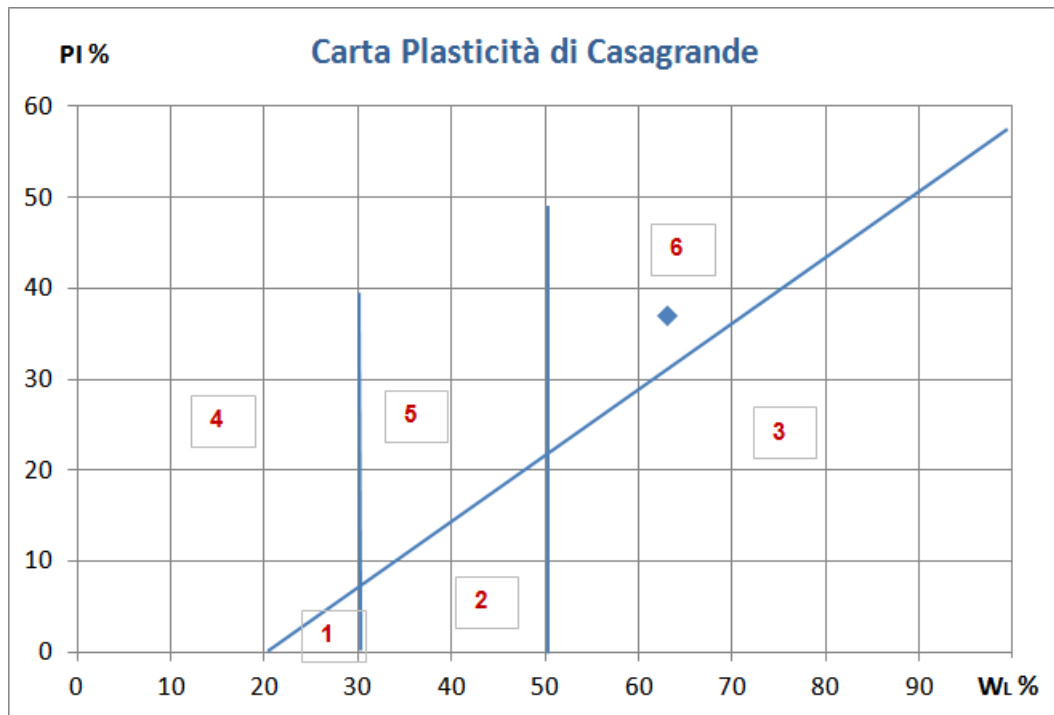


LEGENDA:

- 1) Limi Inorganici di bassa compressibilità
- 2) Limi inorganici di media compressibilità e limi organici
- 3) Limi inorganici di alta compressibilità ed argille organiche
- 4) Argille inorganiche di bassa plasticità
- 5) Argille inorganiche di media plasticità
- 6) Argille inorganiche di alta plasticità

LIMITI DI ATTEMBERG			
W _L	50	Limite liquido	
W _P	22	Limite plastico	
PI	28	Indice Plasticità	

SONDAGGIO SA
Campione C4

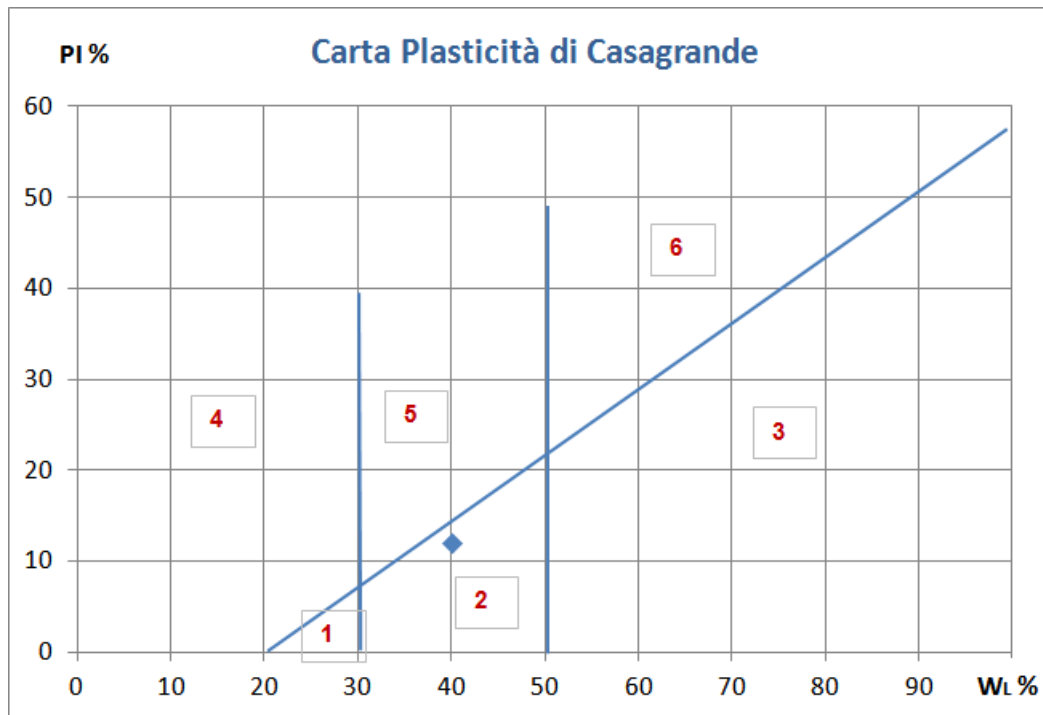


LEGENDA:

- 1) Limi Inorganici di bassa compressibilità
- 2) Limi inorganici di media compressibilità e limi organici
- 3) Limi inorganici di alta compressibilità ed argille organiche
- 4) Argille inorganiche di bassa plasticità
- 5) Argille inorganiche di media plasticità
- 6) Argille inorganiche di alta plasticità

LIMITI DI ATTEMBERG			
W _L	63	Limite liquido	
W _P	26	Limite plastico	
PI	37	Indice Plasticità	

SONDAGGIO SA
Campione C5



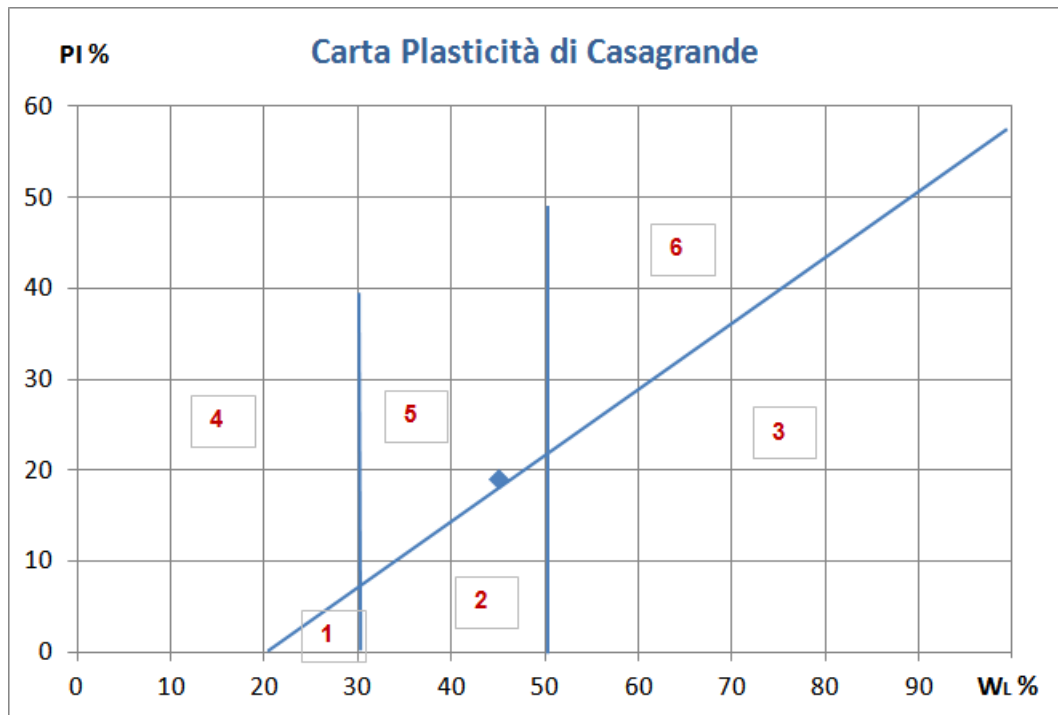
LEGENDA:

- 1) Limi Inorganici di bassa compressibilità
- 2) Limi inorganici di media compressibilità e limi organici
- 3) Limi inorganici di alta compressibilità ed argille organiche
- 4) Argille inorganiche di bassa plasticità
- 5) Argille inorganiche di media plasticità
- 6) Argille inorganiche di alta plasticità

LIMITI DI ATTEMBERG			
W _L	40	Limite liquido	
W _P	28	Limite plastico	
PI	12	Indice Plasticità	

SONDAGGIO SA

Campione C6

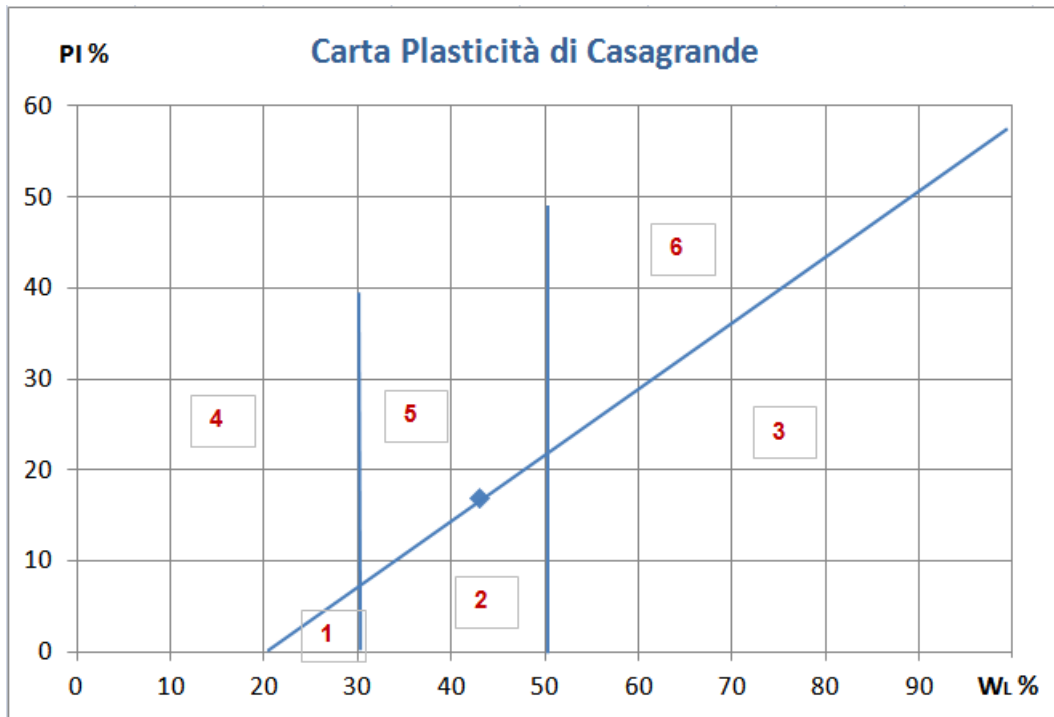


LEGENDA:

- 1) Limi Inorganici di bassa compressibilità
- 2) Limi inorganici di media compressibilità e limi organici
- 3) Limi inorganici di alta compressibilità ed argille organiche
- 4) Argille inorganiche di bassa plasticità
- 5) Argille inorganiche di media plasticità
- 6) Argille inorganiche di alta plasticità

LIMITI DI ATTEMBERG			
WL	45	Limite liquido	
W _P	26	Limite plastico	
PI	19	Indice Plasticità	

SONDAGGIO SB
Campione C1



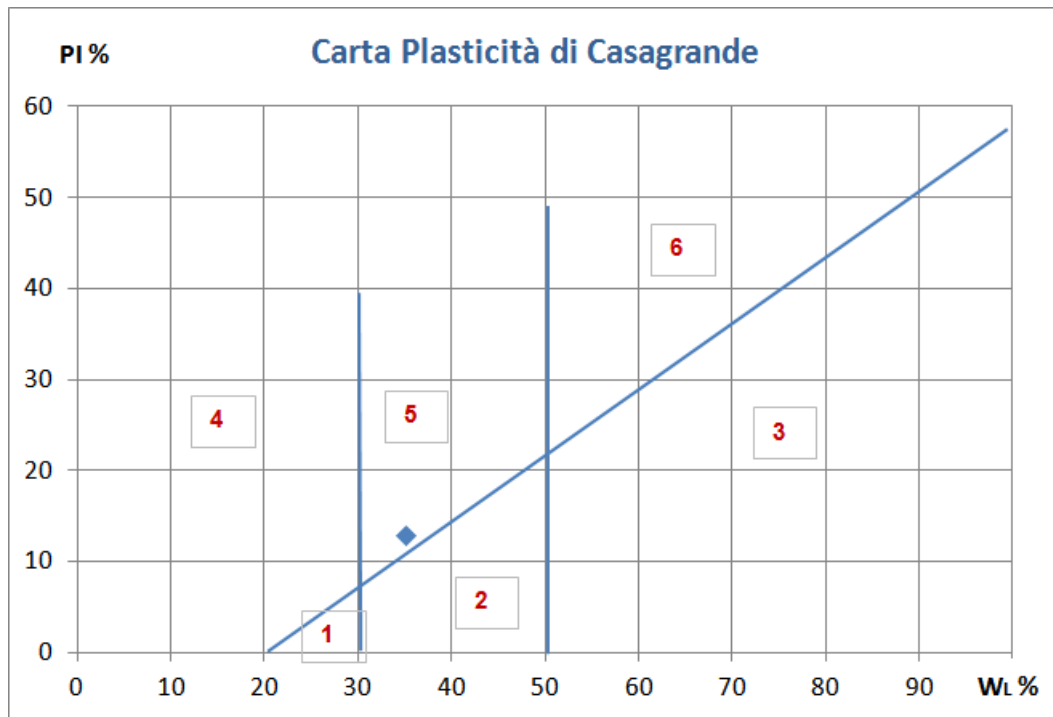
LEGENDA:

- 1) Limi Inorganici di bassa compressibilità
- 2) Limi inorganici di media compressibilità e limi organici
- 3) Limi inorganici di alta compressibilità ed argille organiche
- 4) Argille inorganiche di bassa plasticità
- 5) Argille inorganiche di media plasticità
- 6) Argille inorganiche di alta plasticità

LIMITI DI ATTEMBERG			
WL	43	Limite liquido	
WP	26	Limite plastico	
PI	17	Indice Plasticità	

SONDAGGIO SB

Campione C2



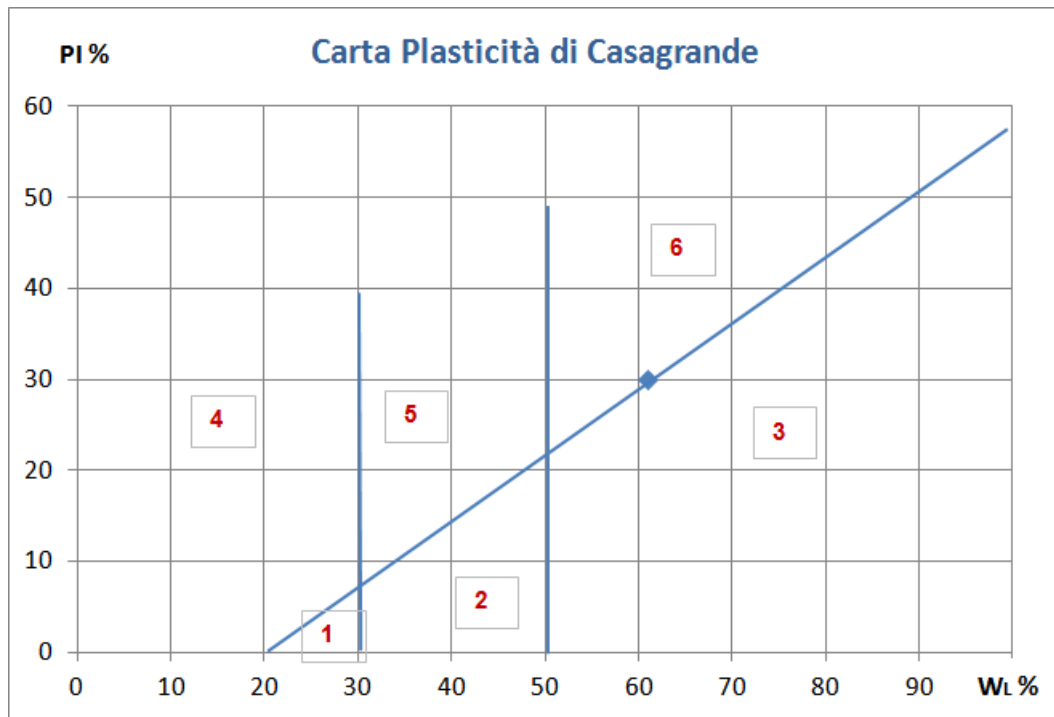
LEGENDA:

- 1) Limi Inorganici di bassa compressibilità
- 2) Limi inorganici di media compressibilità e limi organici
- 3) Limi inorganici di alta compressibilità ed argille organiche
- 4) Argille inorganiche di bassa plasticità
- 5) Argille inorganiche di media plasticità
- 6) Argille inorganiche di alta plasticità

LIMITI DI ATTERBERG			
WL	35	Limite liquido	
WP	22	Limite plastico	
PI	13	Indice Plasticità	

SONDAGGIO SB

Campione C3



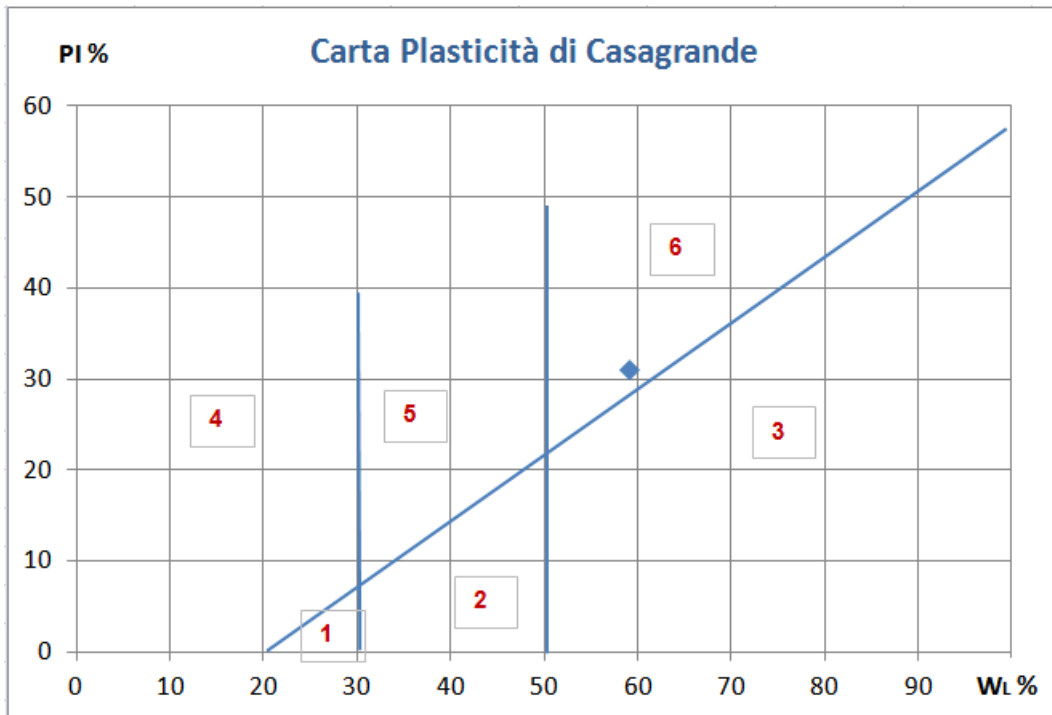
LEGENDA:

- 1) Limi Inorganici di bassa compressibilità
- 2) Limi inorganici di media compressibilità e limi organici
- 3) Limi inorganici di alta compressibilità ed argille organiche
- 4) Argille inorganiche di bassa plasticità
- 5) Argille inorganiche di media plasticità
- 6) Argille inorganiche di alta plasticità

LIMITI DI ATTEMBERG			
WL	61	Limite liquido	
WP	31	Limite plastico	
PI	30	Indice Plasticità	

SONDAGGIO SB

Campione C4

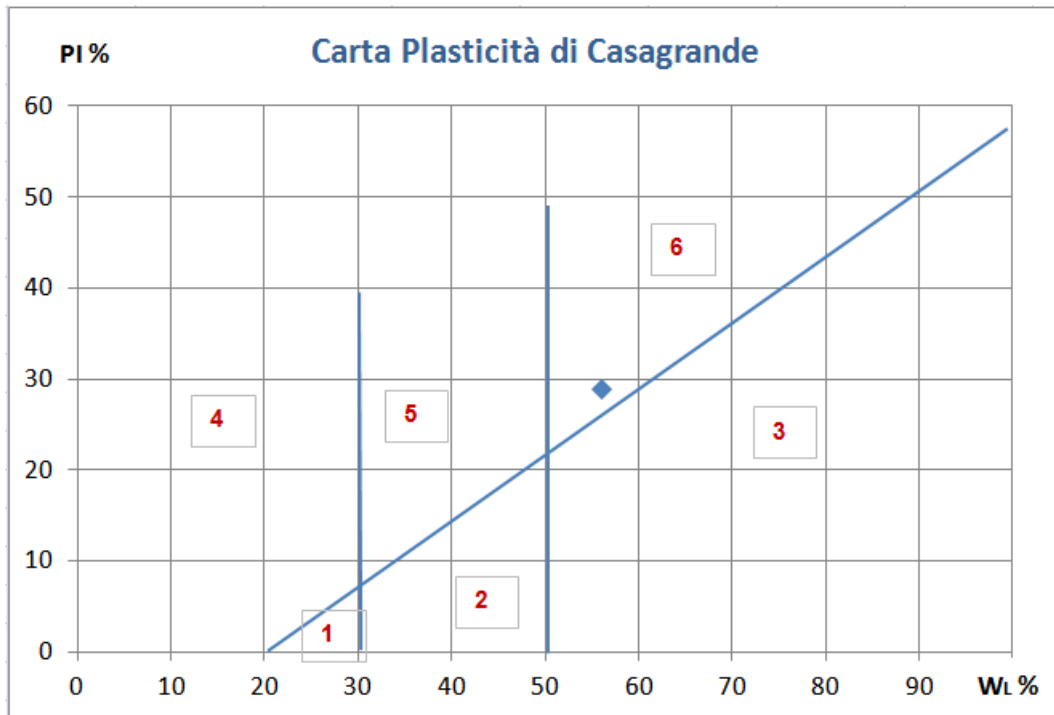


LEGENDA:

- 1) Limi Inorganici di bassa compressibilità
- 2) Limi inorganici di media compressibilità e limi organici
- 3) Limi inorganici di alta compressibilità ed argille organiche
- 4) Argille inorganiche di bassa plasticità
- 5) Argille inorganiche di media plasticità
- 6) Argille inorganiche di alta plasticità

LIMITI DI ATTEMBERG			
WL	59	Limite liquido	
W _P	28	Limite plastico	
PI	31	Indice Plasticità	

SONDAGGIO SD
Campione C1

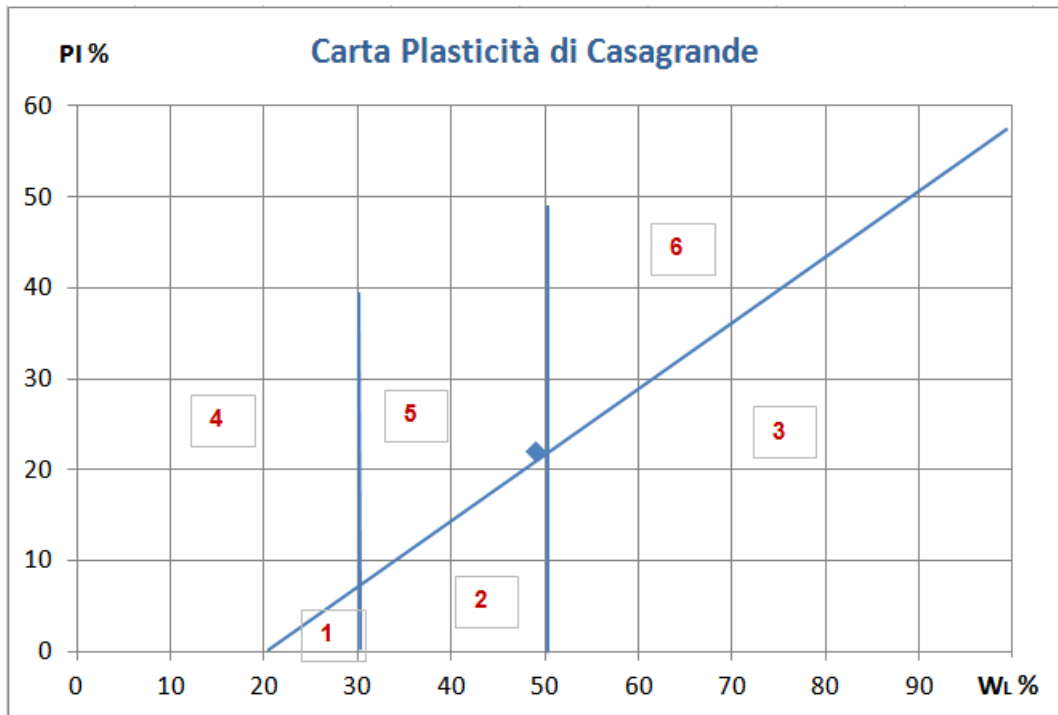


LEGENDA:

- 1) Limi Inorganici di bassa compressibilità
- 2) Limi inorganici di media compressibilità e limi organici
- 3) Limi inorganici di alta compressibilità ed argille organiche
- 4) Argille inorganiche di bassa plasticità
- 5) Argille inorganiche di media plasticità
- 6) Argille inorganiche di alta plasticità

LIMITI DI ATTEMBERG			
WL	56	Limite liquido	
WP	27	Limite plastico	
PI	29	Indice Plasticità	

SONDAGGIO SD
Campione C2

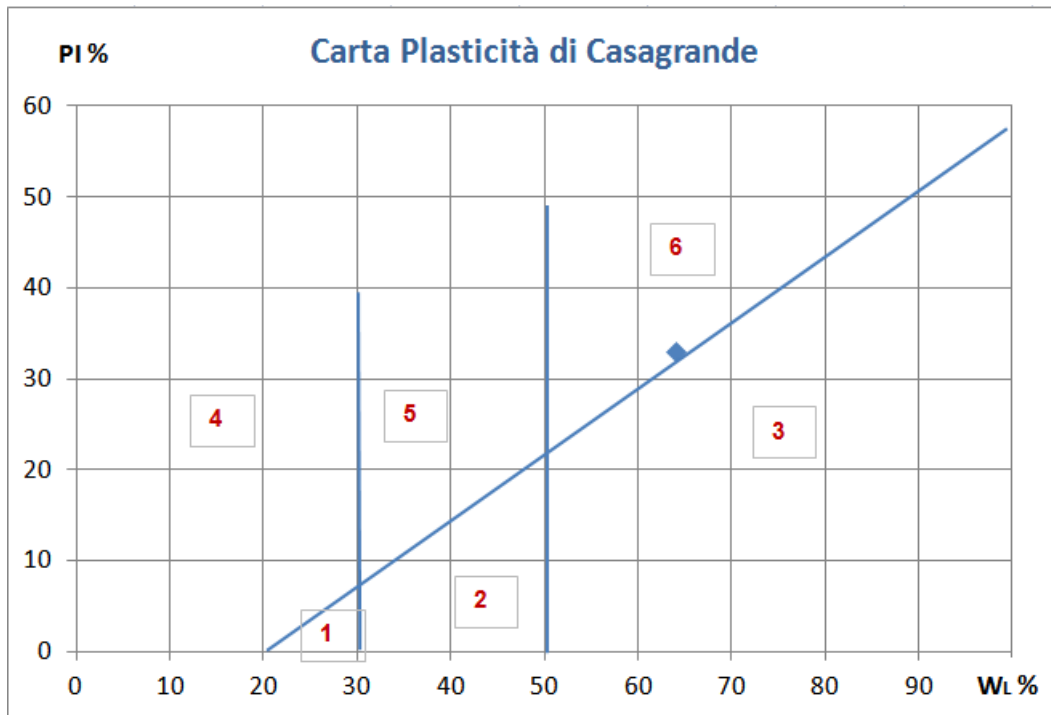


LEGENDA:

- 1) Limi Inorganici di bassa compressibilità
- 2) Limi inorganici di media compressibilità e limi organici
- 3) Limi inorganici di alta compressibilità ed argille organiche
- 4) Argille inorganiche di bassa plasticità
- 5) Argille inorganiche di media plasticità
- 6) Argille inorganiche di alta plasticità

LIMITI DI ATTEMBERG			
WL	49	Limite liquido	
WP	27	Limite plastico	
PI	22	Indice Plasticità	

SONDAGGIO SD
Campione C3



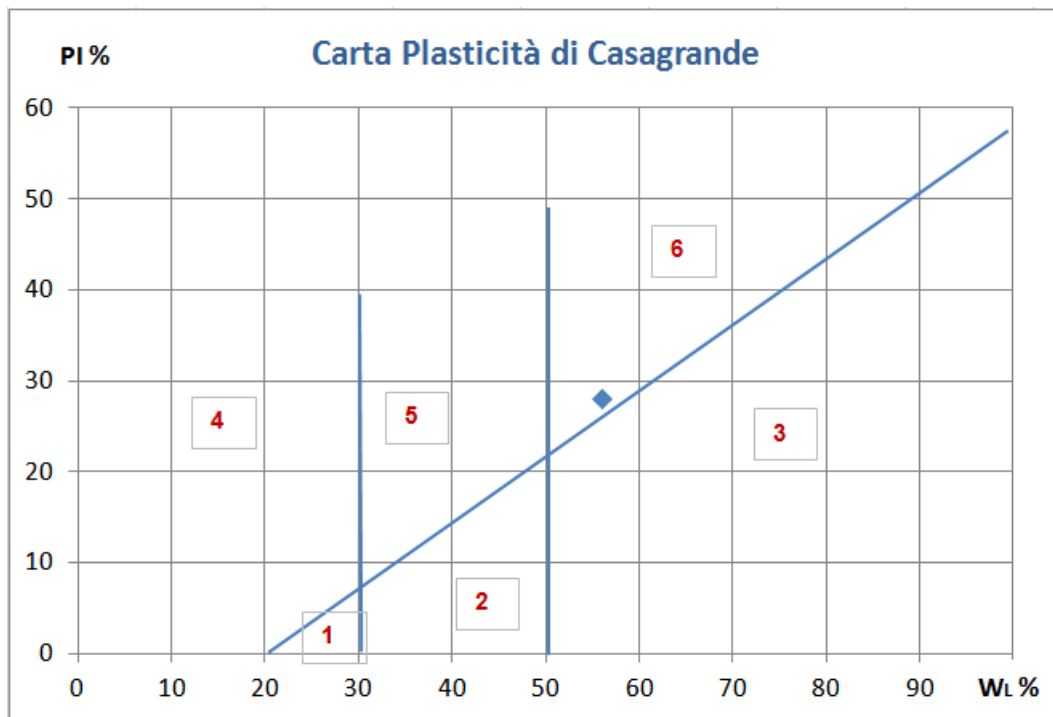
LEGENDA:

- 1) Limi Inorganici di bassa compressibilità
- 2) Limi inorganici di media compressibilità e limi organici
- 3) Limi inorganici di alta compressibilità ed argille organiche
- 4) Argille inorganiche di bassa plasticità
- 5) Argille inorganiche di media plasticità
- 6) Argille inorganiche di alta plasticità

LIMITI DI ATTEMBERG			
WL	64	Limite liquido	
WP	31	Limite plastico	
PI	33	Indice Plasticità	

SONDAGGIO SD

Campione C4



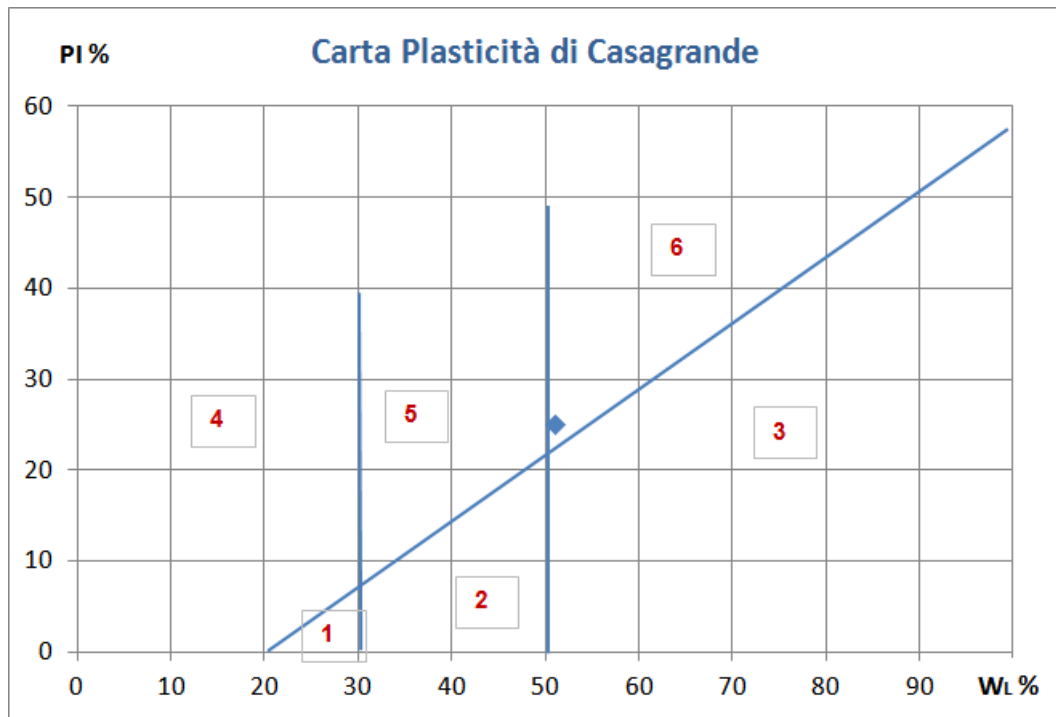
LEGENDA:

- 1) Limi Inorganici di bassa compressibilità
- 2) Limi inorganici di media compressibilità e limi organici
- 3) Limi inorganici di alta compressibilità ed argille organiche
- 4) Argille inorganiche di bassa plasticità
- 5) Argille inorganiche di media plasticità
- 6) Argille inorganiche di alta plasticità

LIMITI DI ATTEMBERG			
WL	56	Limite liquido	
Wp	28	Limite plastico	
PI	28	Indice Plasticità	

SONDAGGIO SD

Campione C5

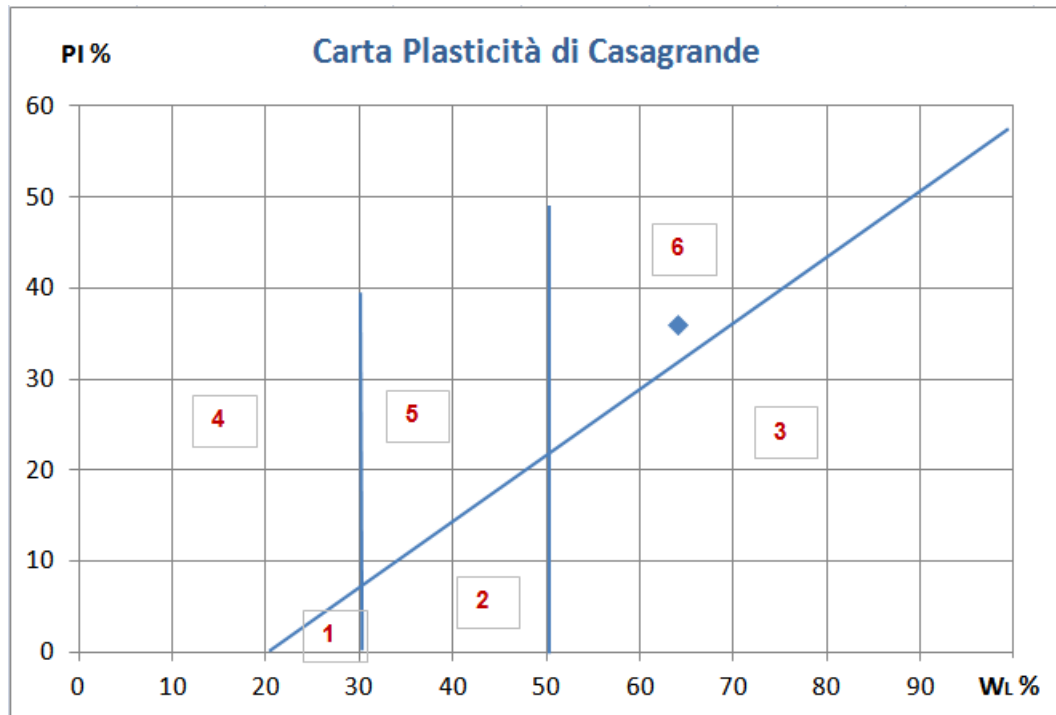


LEGENDA:

- 1) Limi Inorganici di bassa compressibilità
- 2) Limi inorganici di media compressibilità e limi organici
- 3) Limi inorganici di alta compressibilità ed argille organiche
- 4) Argille inorganiche di bassa plasticità
- 5) Argille inorganiche di media plasticità
- 6) Argille inorganiche di alta plasticità

LIMITI DI ATTEMBERG			
WL	51	Limite liquido	
WP	26	Limite plastico	
PI	25	Indice Plasticità	

SONDAGGIO SD
Campione C6

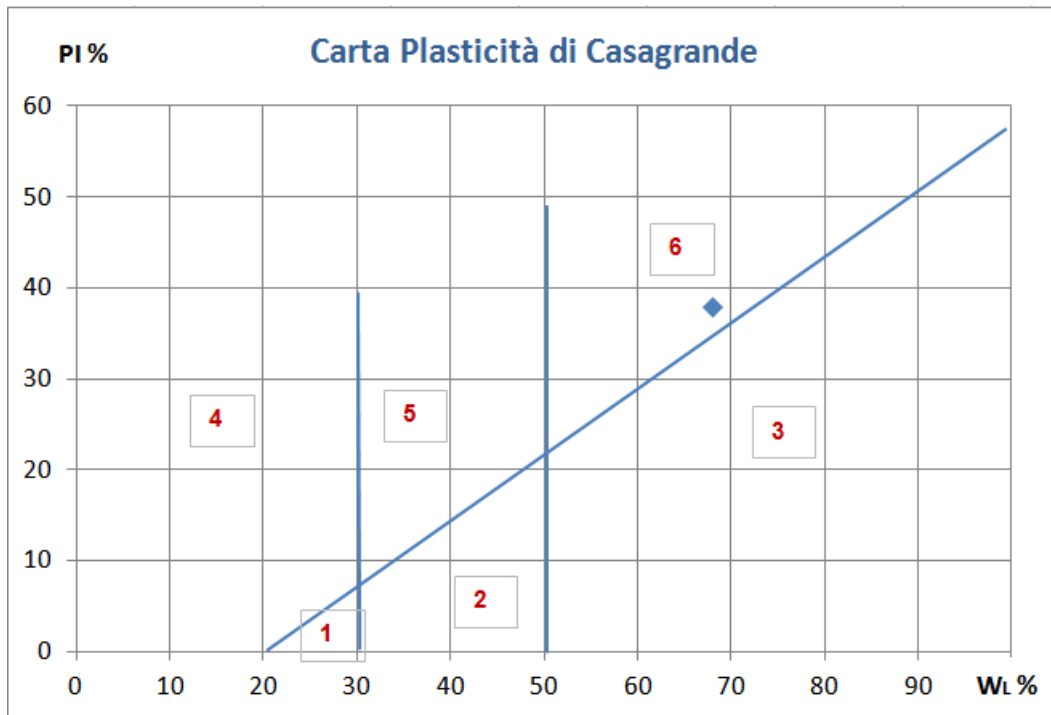


LEGENDA:

- 1) Limi Inorganici di bassa compressibilità
- 2) Limi inorganici di media compressibilità e limi organici
- 3) Limi inorganici di alta compressibilità ed argille organiche
- 4) Argille inorganiche di bassa plasticità
- 5) Argille inorganiche di media plasticità
- 6) Argille inorganiche di alta plasticità

LIMITI DI ATTEMBERG			
WL	64	Limite liquido	
WP	28	Limite plastico	
PI	36	Indice Plasticità	

SONDAGGIO SD
Campione C7



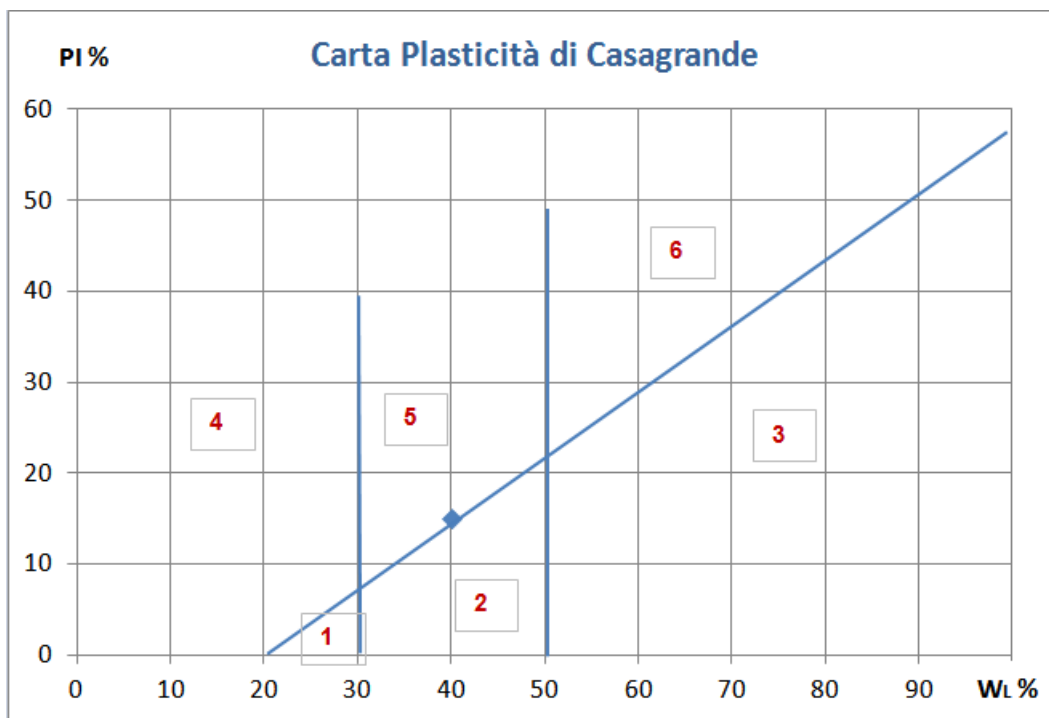
LEGENDA:

- 1) Limi Inorganici di bassa compressibilità
- 2) Limi inorganici di media compressibilità e limi organici
- 3) Limi inorganici di alta compressibilità ed argille organiche
- 4) Argille inorganiche di bassa plasticità
- 5) Argille inorganiche di media plasticità
- 6) Argille inorganiche di alta plasticità

LIMITI DI ATTEMBERG			
WL	68	Limite liquido	
WP	30	Limite plastico	
PI	38	Indice Plasticità	

SONDAGGIO SD

Campione C8



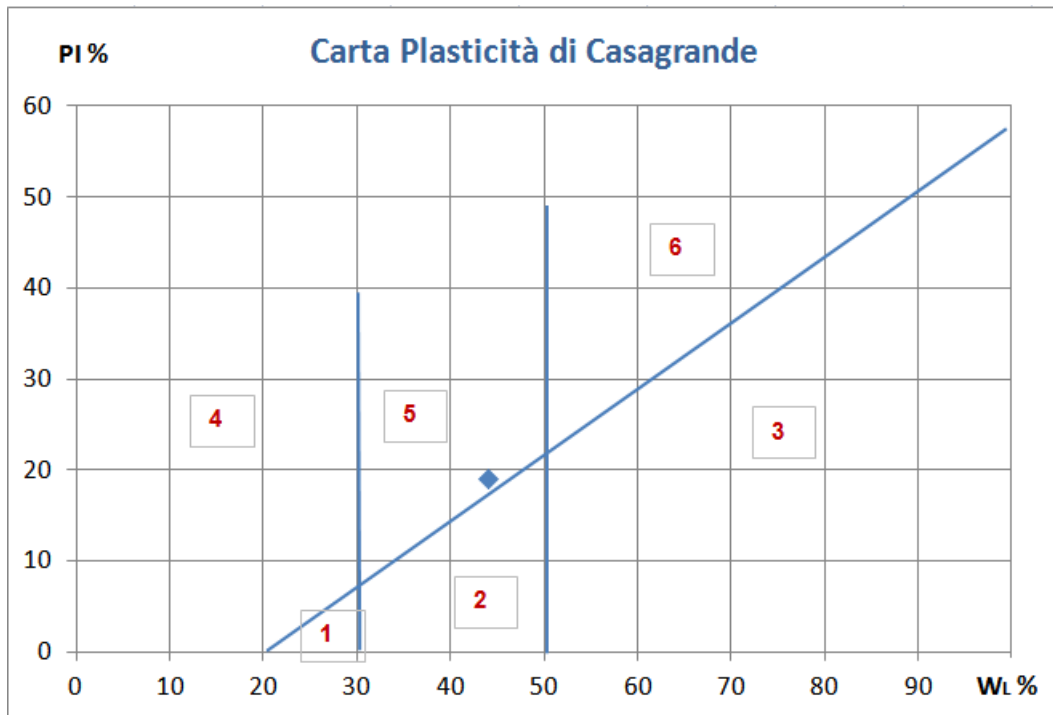
LEGENDA:

- 1) Limi Inorganici di bassa compressibilità
- 2) Limi inorganici di media compressibilità e limi organici
- 3) Limi inorganici di alta compressibilità ed argille organiche
- 4) Argille inorganiche di bassa plasticità
- 5) Argille inorganiche di media plasticità
- 6) Argille inorganiche di alta plasticità

LIMITI DI ATTEMBERG			
WL	40	Limite liquido	
Wp	25	Limite plastico	
PI	15	Indice Plasticità	

SONDAGGIO SE

Campione C1



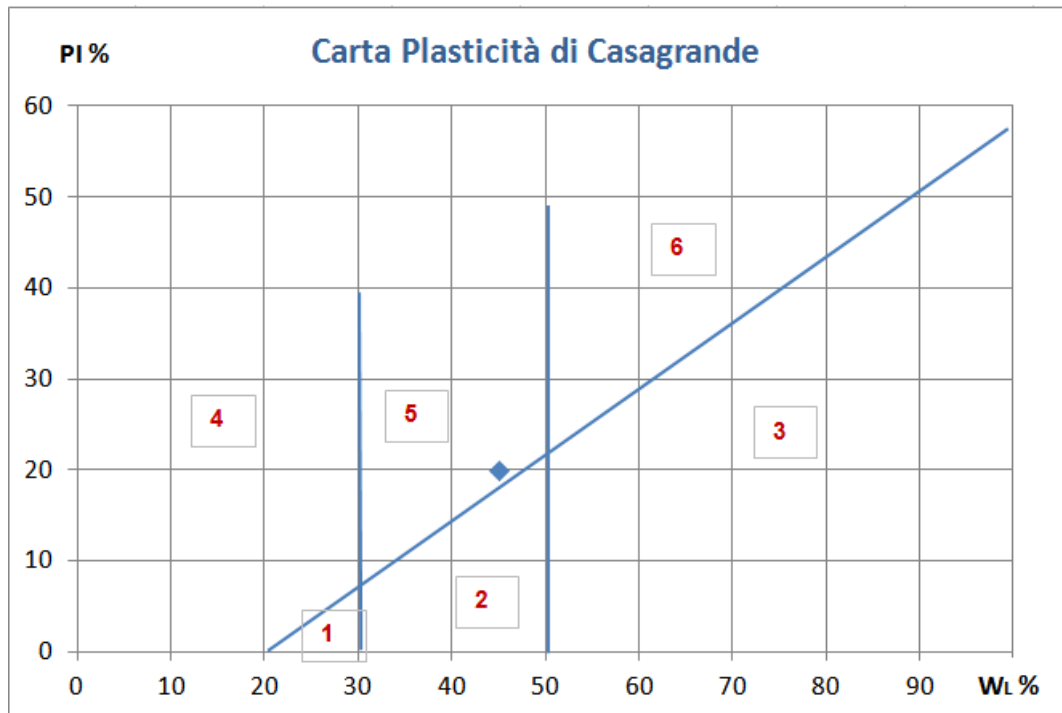
LEGENDA:

- 1) Limi Inorganici di bassa compressibilità
- 2) Limi inorganici di media compressibilità e limi organici
- 3) Limi inorganici di alta compressibilità ed argille organiche
- 4) Argille inorganiche di bassa plasticità
- 5) Argille inorganiche di media plasticità
- 6) Argille inorganiche di alta plasticità

LIMITI DI ATTEMBERG			
WL	44	Limite liquido	
W _P	25	Limite plastico	
PI	19	Indice Plasticità	

SONDAGGIO SE

Campione C3



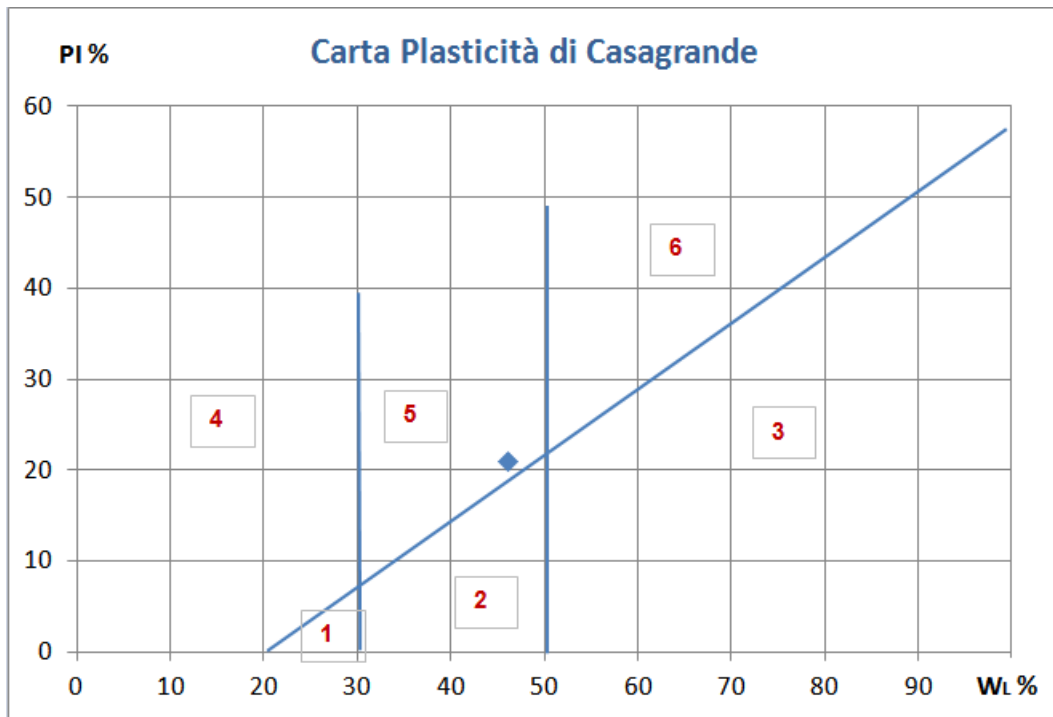
LEGENDA:

- 1) Limi Inorganici di bassa compressibilità
- 2) Limi inorganici di media compressibilità e limi organici
- 3) Limi inorganici di alta compressibilità ed argille organiche
- 4) Argille inorganiche di bassa plasticità
- 5) Argille inorganiche di media plasticità
- 6) Argille inorganiche di alta plasticità

LIMITI DI ATTEMBERG			
WL	45	Limite liquido	
WP	25	Limite plastico	
PI	20	Indice Plasticità	

SONDAGGIO SE

Campione C4



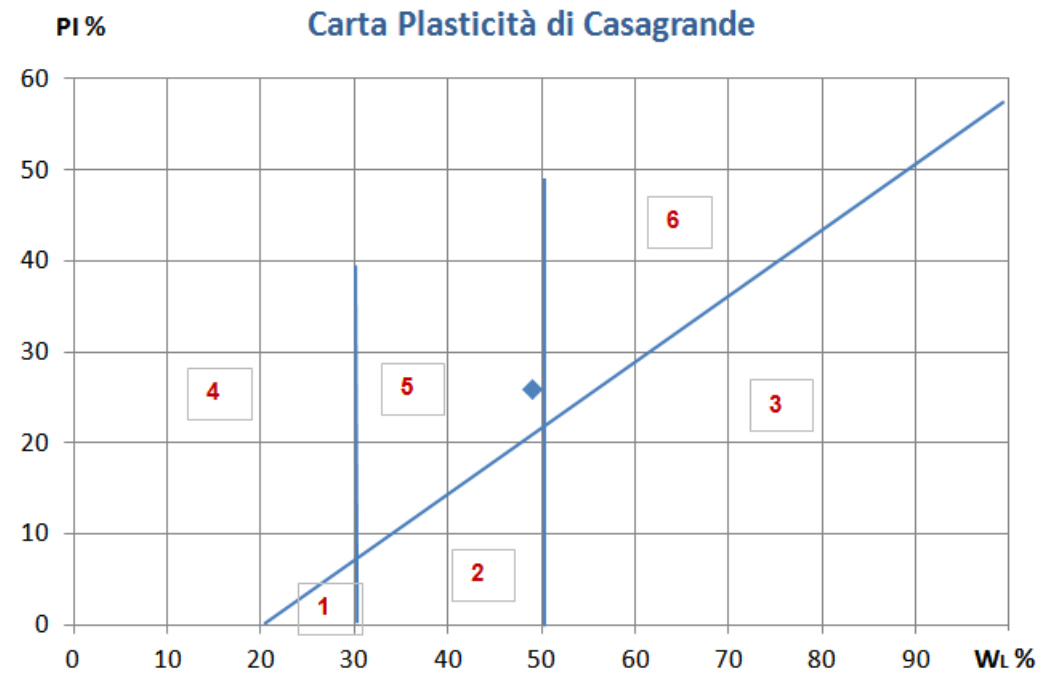
LEGENDA:

- 1) Limi Inorganici di bassa compressibilità
- 2) Limi inorganici di media compressibilità e limi organici
- 3) Limi inorganici di alta compressibilità ed argille organiche
- 4) Argille inorganiche di bassa plasticità
- 5) Argille inorganiche di media plasticità
- 6) Argille inorganiche di alta plasticità

LIMITI DI ATTERBERG			
W _L	46	Limite liquido	
W _P	25	Limite plastico	
PI	21	Indice Plasticità	

SONDAGGIO SE

Campione C5



LEGENDA:

- 1) Limi Inorganici di bassa compressibilità
- 2) Limi inorganici di media compressibilità e limi organici
- 3) Limi inorganici di alta compressibilità ed argille organiche
- 4) Argille inorganiche di bassa plasticità
- 5) Argille inorganiche di media plasticità
- 6) Argille inorganiche di alta plasticità

LIMITI DI ATTEMBERG			
W _L	49	Limite liquido	
W _P	23	Limite plastico	
PI	26	Indice Plasticità	

ELABORAZIONI PROVE TRIASSIALI

PROVA TRIASSIALE
SONDAGGIO S1 - CAMPIONE C1

h (falda)	h (provino)	γ	C'	ϕ'
(m)	(m)	(kN/m ³)	(kPa)	(°)
4	4.7	19.0	19	31.3

PROVA TRIASSIALE				
Cont.Press.	200			kPa
Press.Cell	300.00	400.00	500.00	kPa
Press.Rott.	246.74	286.82	393.67	kPa
U Rottura	220.10	293.00	353.52	kPa

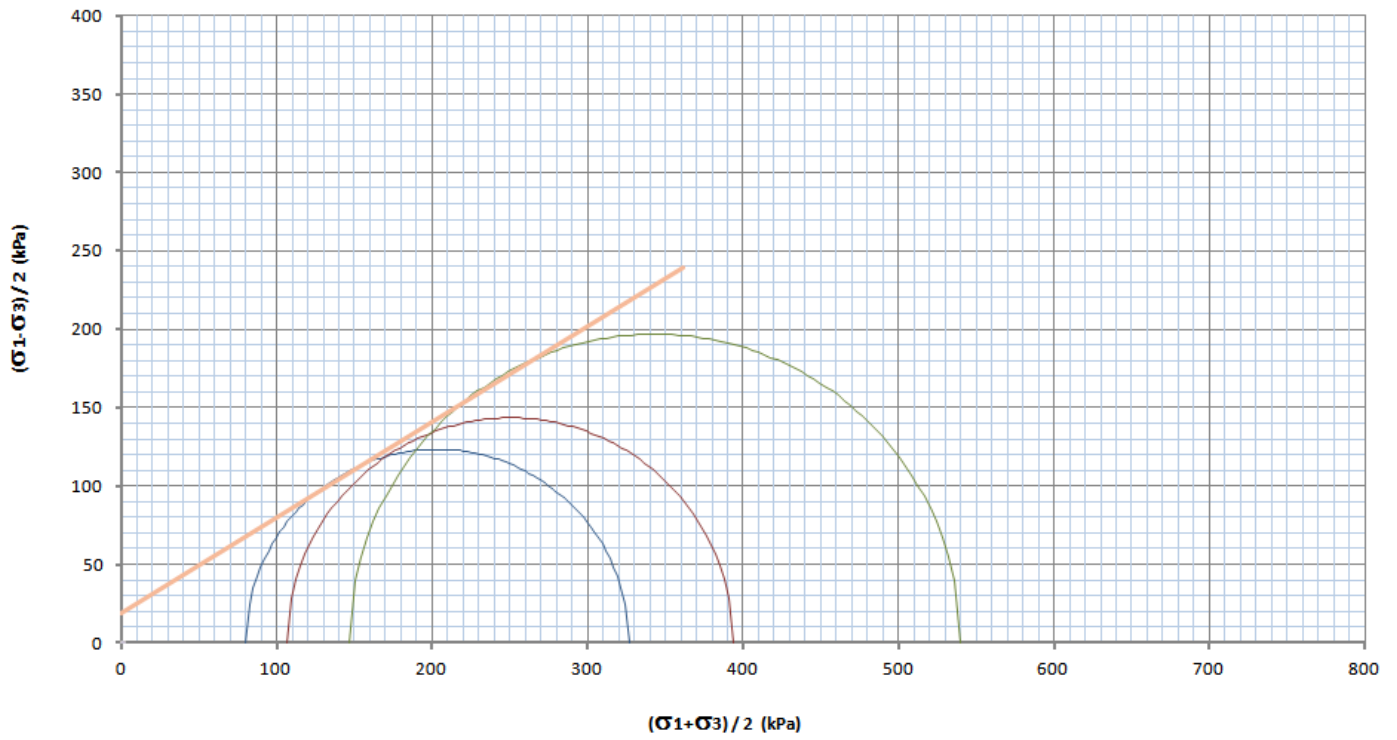
SFORZI EFFICACI			
	Minor Princ.Stress	Deviator stress	Major Princ.Stress
	(kPa)	(kPa)	(kPa)
	σ'_3	$(\sigma'_1 - \sigma'_3)$	σ'_1
Test 1	79.90	246.7	326.6
Test 2	107.00	286.8	393.8
Test 3	146.48	393.7	540.2

Cohesion =	19	kPa
phi =	31.3	°

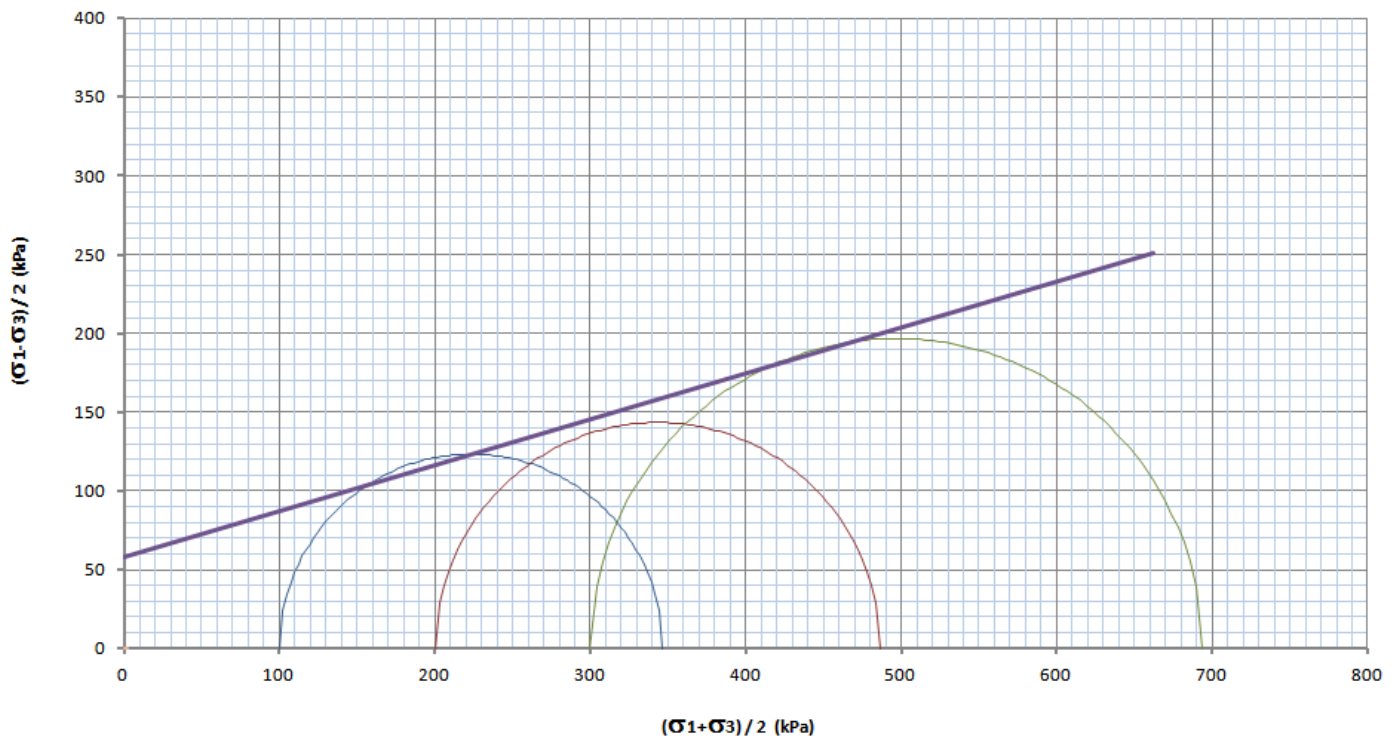
SFORZI TOTALI			
	Minor Princ.Stress	Deviator stress	Major Princ.Stress
	(kPa)	(kPa)	(kPa)
	σ_3	$(\sigma_1 - \sigma_3)$	σ_1
Test 1	100.00	246.7	346.7
Test 2	200.00	286.8	486.8
Test 3	300.00	393.7	693.7

Cohesion =	58	kPa
phi =	16.3	°

PROVA TRIASSIALE C.I.U. - PIANO DI MOHR - SFORZI EFFETTIVI



PROVA TRIASSIALE C.I.U. - PIANO DI MOHR - SFORZI TOTALI



PROVA TRIASSIALE
SONDAGGIO S1 - CAMPIONE C2

h (falda)	h (provino)	γ	C'	ϕ'
(m)	(m)	(kN/m ³)	(kPa)	(°)
4	9.7	19.5	21	24.8

PROVA TRIASSIALE				
Cont.Press.	300			kPa
Press.Cell	400.00	500.00	600.00	kPa
Press.Rott.	163.96	293.51	343.60	kPa
U Rottura	330.30	349.60	406.53	kPa

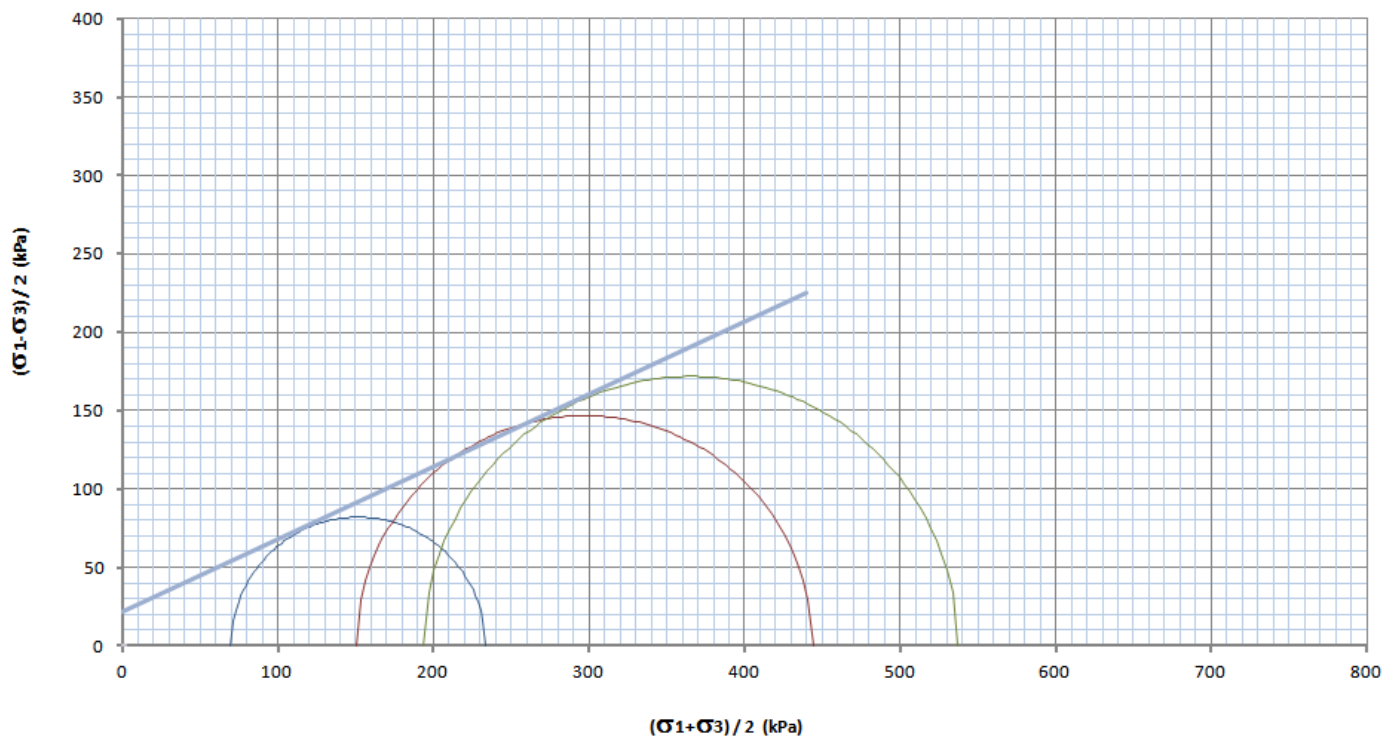
SFORZI EFFICACI			
	Minor Princ.Stress	Deviator stress	Major Princ.Stress
	(kPa)	(kPa)	(kPa)
	σ'_3	$(\sigma'_1 - \sigma'_3)$	σ'_1
Test 1	69.70	164.0	233.7
Test 2	150.40	293.5	443.9
Test 3	193.47	343.6	537.1

Cohesion =	21	kPa
phi =	24.8	°

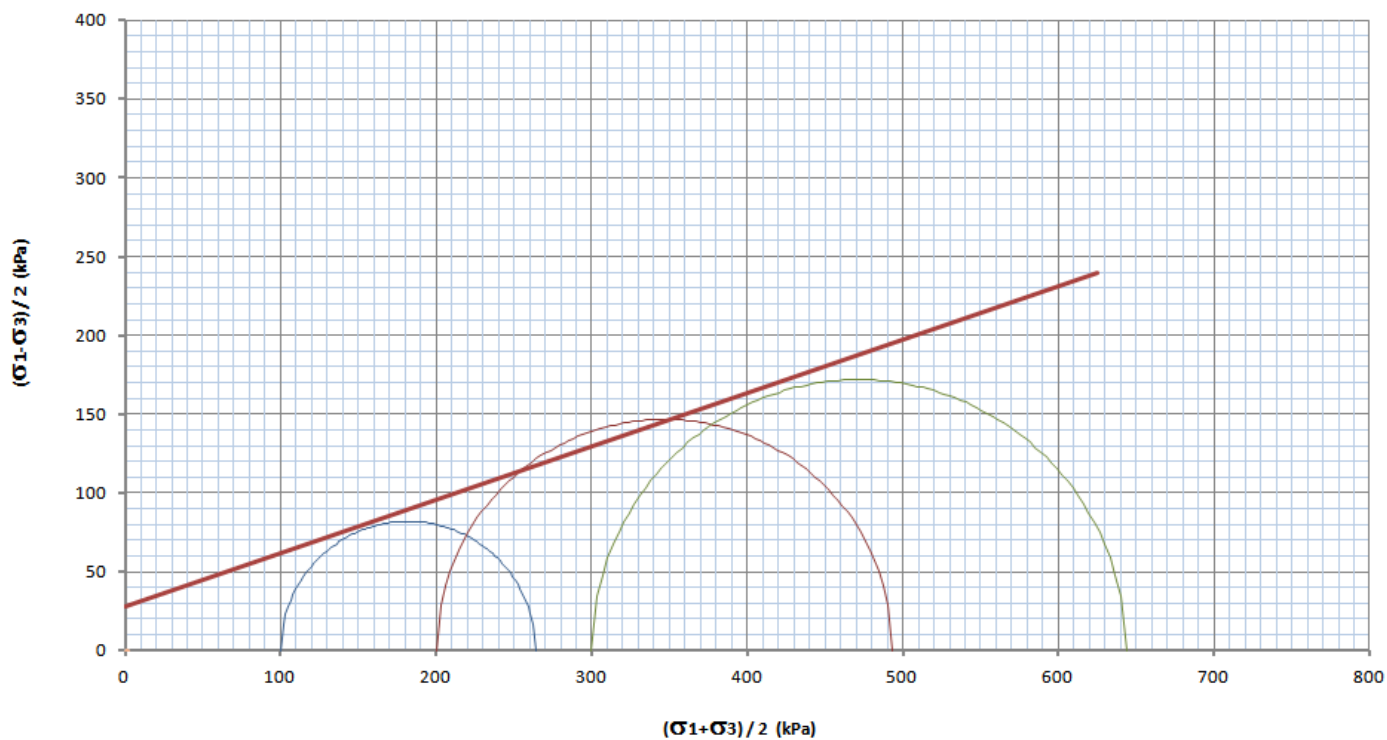
SFORZI TOTALI			
	Minor Princ.Stress	Deviator stress	Major Princ.Stress
	(kPa)	(kPa)	(kPa)
	σ_3	$(\sigma_1 - \sigma_3)$	σ_1
Test 1	100.00	164.0	264.0
Test 2	200.00	293.5	493.5
Test 3	300.00	343.6	643.6

Cohesion =	28	kPa
phi =	18.7	°

PROVA TRIASSIALE C.I.U. - PIANO DI MOHR - SFORZI EFFETTIVI



PROVA TRIASSIALE C.I.U. - PIANI DI MOHR - SFORZI TOTALI



PROVA TRIASSIALE
SONDAGGIO S1 - CAMPIONE C3

h (falda)	h (provino)	γ	C'	ϕ'
(m)	(m)	(kN/m ³)	(kPa)	(°)
4	14.9	18.8	11	34.1

PROVA TRIASSIALE				
Cont.Press.	200			kPa
Press.Cell	400.00	500.00	700.00	kPa
Press.Rott.	347.25	266.99	391.18	kPa
U Rottura	284.40	409.50	558.90	kPa

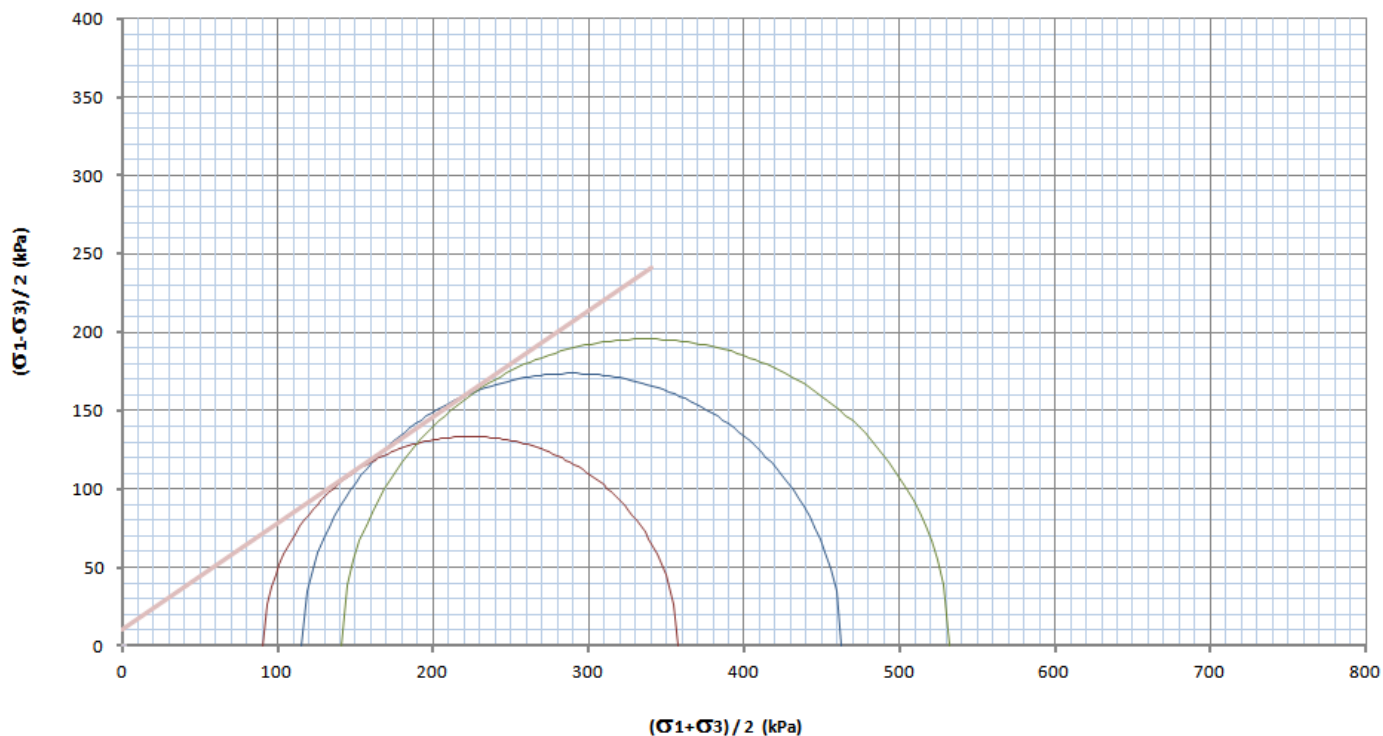
SFORZI EFFICACI			
	Minor Princ.Stress	Deviator stress	Major Princ.Stress
	(kPa)	(kPa)	(kPa)
	σ'_3	$(\sigma'_1 - \sigma'_3)$	σ'_1
Test 1	115.60	347.3	462.9
Test 2	90.50	267.0	357.5
Test 3	141.10	391.2	532.3

Cohesion = <input type="text" value="11"/> kPa phi = <input type="text" value="34.1"/> °

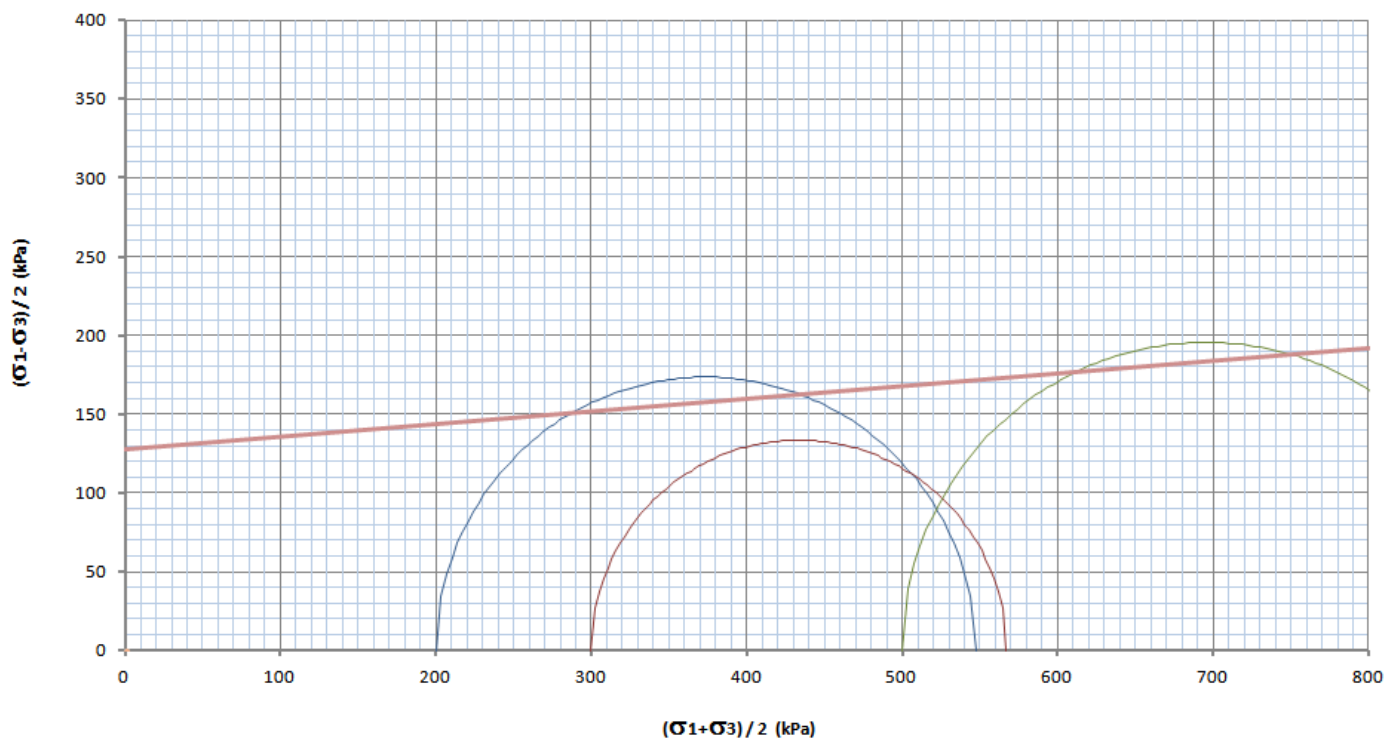
SFORZI TOTALI			
	Minor Princ.Stress	Deviator stress	Major Princ.Stress
	(kPa)	(kPa)	(kPa)
	σ_3	$(\sigma_1 - \sigma_3)$	σ_1
Test 1	200.00	347.3	547.3
Test 2	300.00	267.0	567.0
Test 3	500.00	391.2	891.2

Cohesion = <input type="text" value="128"/> kPa phi = <input type="text" value="4.6"/> °

PROVA TRIASSIALE C.I.U. - PIANO DI MOHR - SFORZI EFFETTIVI



PROVA TRIASSIALE C.I.U. - PIANO DI MOHR - SFORZI TOTALI



PROVA TRIASSIALE
SONDAGGIO S1 - CAMPIONE C4

h (falda)	h (provino)	γ	C'	ϕ'
(m)	(m)	(kN/m ³)	(kPa)	(°)
4	24.9	19.7	28	31.3

PROVA TRIASSIALE				
Cont.Press.	200			kPa
Press.Cell	500.00	600.00	800.00	kPa
Press.Rott.	443.62	510.46	671.08	kPa
U Rottura	350.10	386.60	548.50	kPa

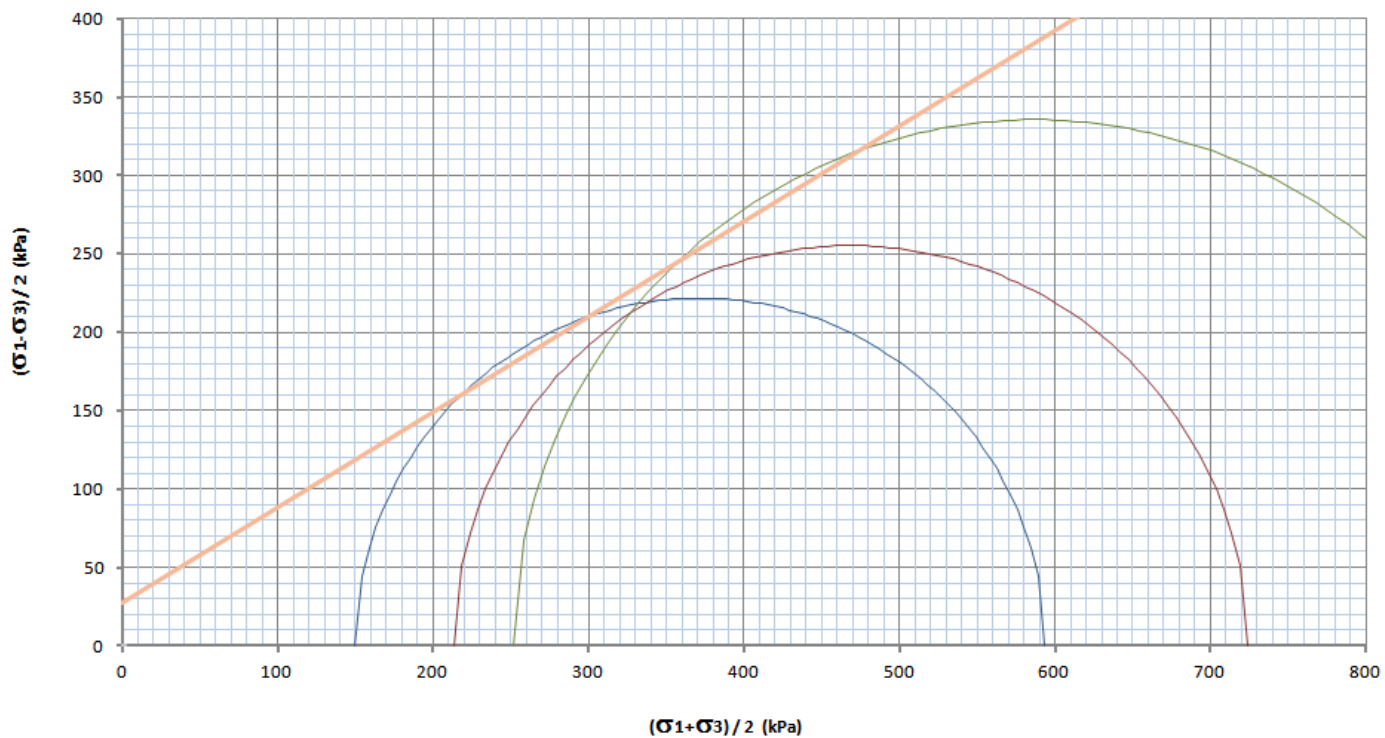
SFORZI EFFICACI			
	Minor Princ.Stress	Deviator stress	Major Princ.Stress
	(kPa)	(kPa)	(kPa)
	σ'_3	$(\sigma'_1 - \sigma'_3)$	σ'_1
Test 1	149.90	443.6	593.5
Test 2	213.40	510.5	723.9
Test 3	251.50	671.1	922.6

Cohesion =	28	kPa
phi =	31.3	°

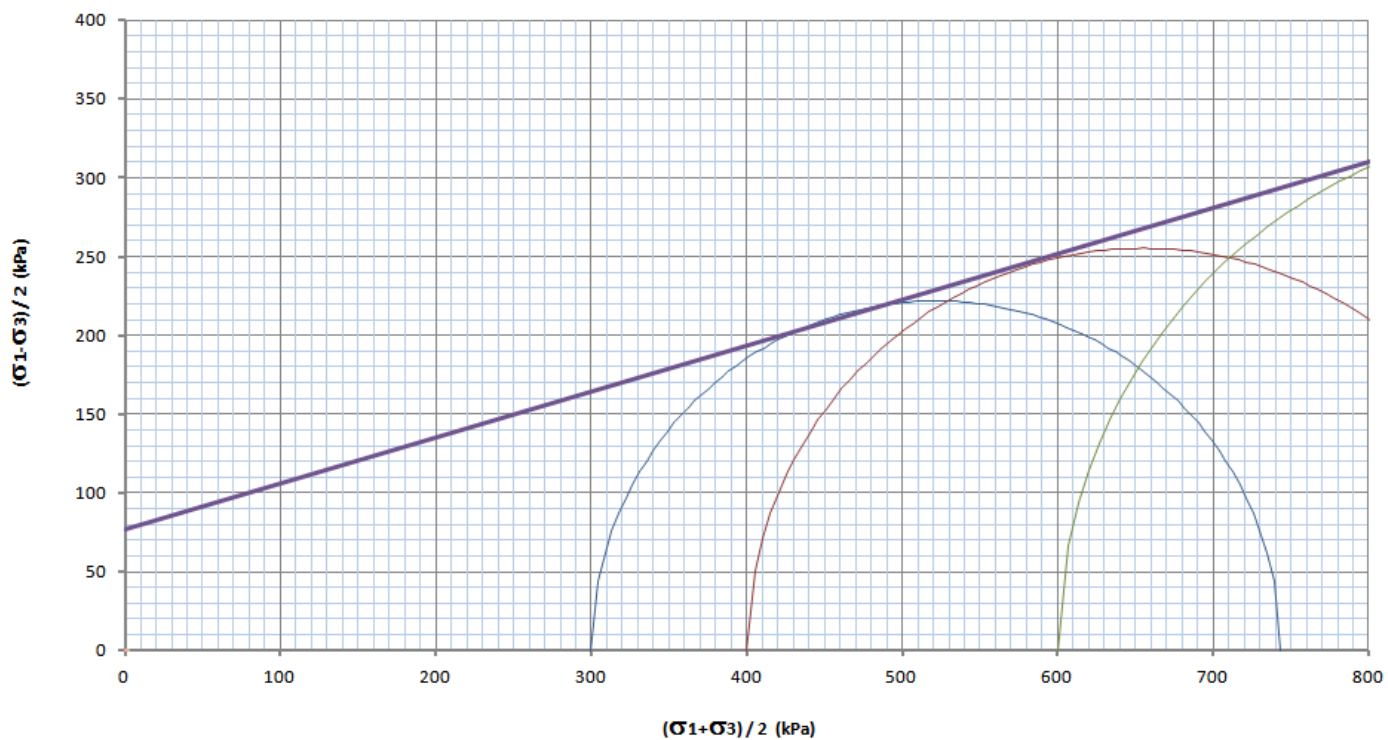
SFORZI TOTALI			
	Minor Princ.Stress	Deviator stress	Major Princ.Stress
	(kPa)	(kPa)	(kPa)
	σ_3	$(\sigma_1 - \sigma_3)$	σ_1
Test 1	300.00	443.6	743.6
Test 2	400.00	510.5	910.5
Test 3	600.00	671.1	1271.1

Cohesion =	77	kPa
phi =	16.3	°

PROVA TRIASSIALE C.I.U. - PIANO DI MOHR - SFORZI EFFETTIVI



PROVA TRIASSIALE C.I.U. - PIANO DI MOHR - SFORZI TOTALI



PROVA TRIASSIALE
SONDAGGIO S1 - CAMPIONE C5

h (falda)	h (provino)	γ	C'	ϕ'
(m)	(m)	(kN/m ³)	(kPa)	(°)
4	31.2	18.6	53	18.7

PROVA TRIASSIALE				
Cont.Press.	200			kPa
Press.Cell	550.00	650.00	850.00	kPa
Press.Rott.	312.20	402.28	476.47	kPa
U Rottura	362.26	394.20	496.00	kPa

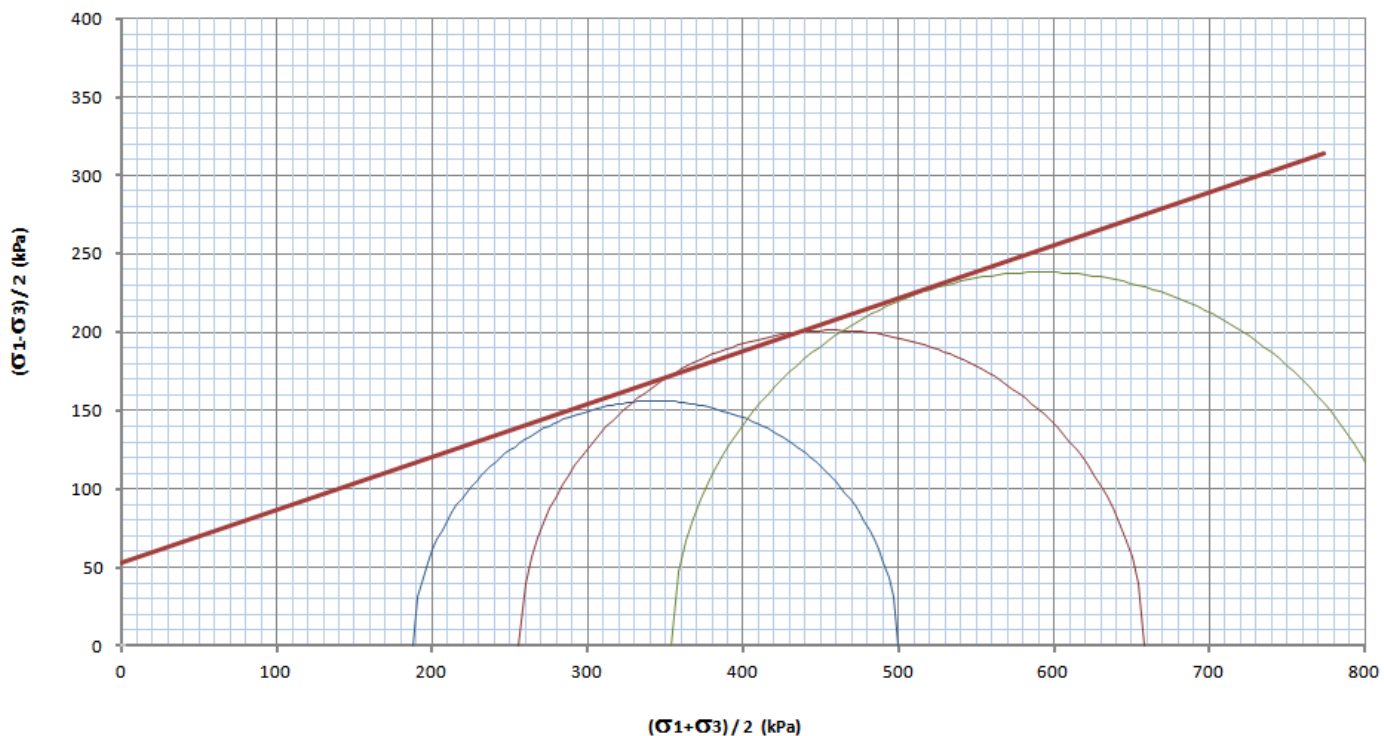
SFORZI EFFICACI			
	Minor Princ.Stress	Deviator stress	Major Princ.Stress
	(kPa)	(kPa)	(kPa)
	σ'_3	$(\sigma'_1 - \sigma'_3)$	σ'_1
Test 1	187.74	312.2	499.9
Test 2	255.80	402.3	658.1
Test 3	354.00	476.5	830.5

Cohesion =	53	kPa
phi =	18.7	°

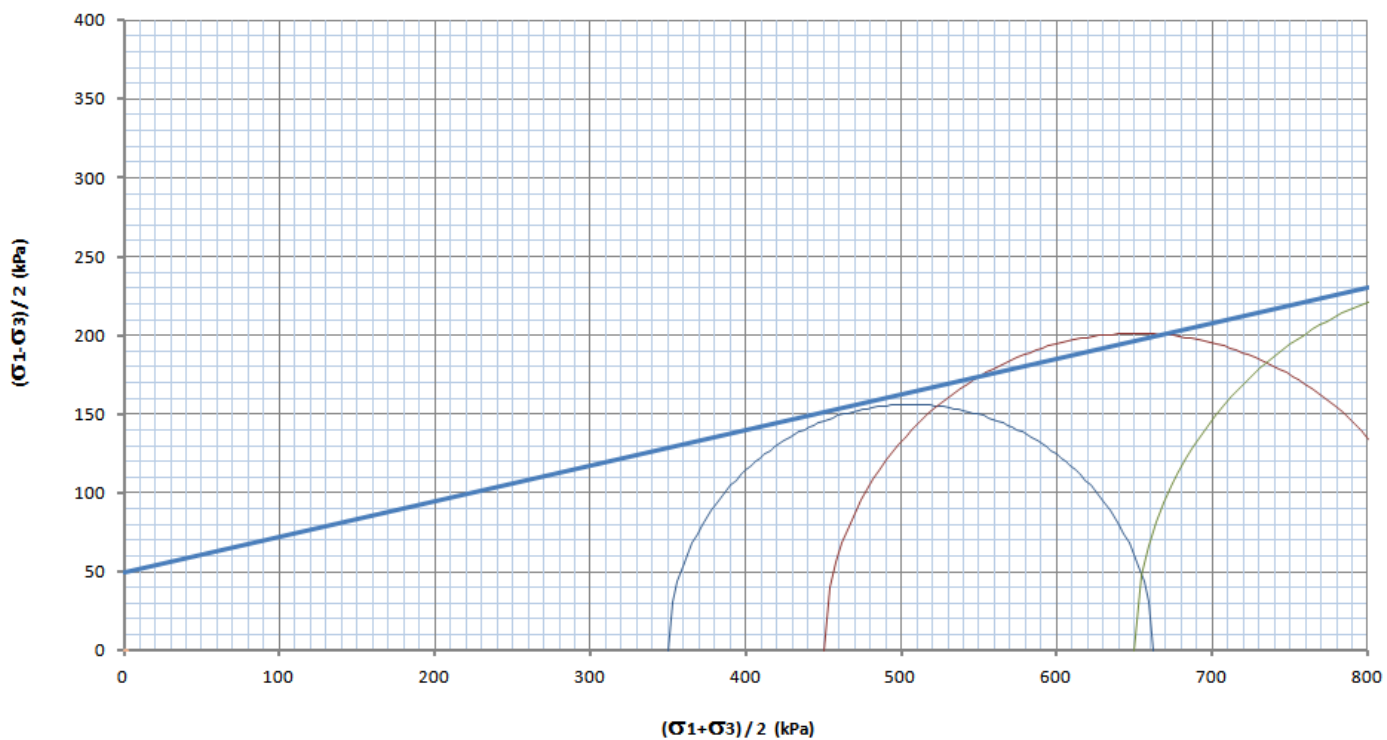
SFORZI TOTALI			
	Minor Princ.Stress	Deviator stress	Major Princ.Stress
	(kPa)	(kPa)	(kPa)
	σ_3	$(\sigma_1 - \sigma_3)$	σ_1
Test 1	350.00	312.2	662.2
Test 2	450.00	402.3	852.3
Test 3	650.00	476.5	1126.5

Cohesion =	50	kPa
phi =	12.7	°

PROVA TRIASSIALE C.I.U. - PIANO DI MOHR - SFORZI EFFETTIVI



PROVA TRIASSIALE C.I.U. - PIANO DI MOHR - SFORZI TOTALI



PROVA TRIASSIALE
SONDAGGIO S1 - CAMPIONE C6

h (falda)	h (provino)	γ	C'	ϕ'
(m)	(m)	(kN/m ³)	(kPa)	(°)
4	37.2	19.4	10	30.0

PROVA TRIASSIALE				
Cont.Press.	200			kPa
Press.Cell	550.00	650.00	850.00	kPa
Press.Rott.	371.58	474.46	597.38	kPa
U Rottura	372.90	441.60	568.10	kPa

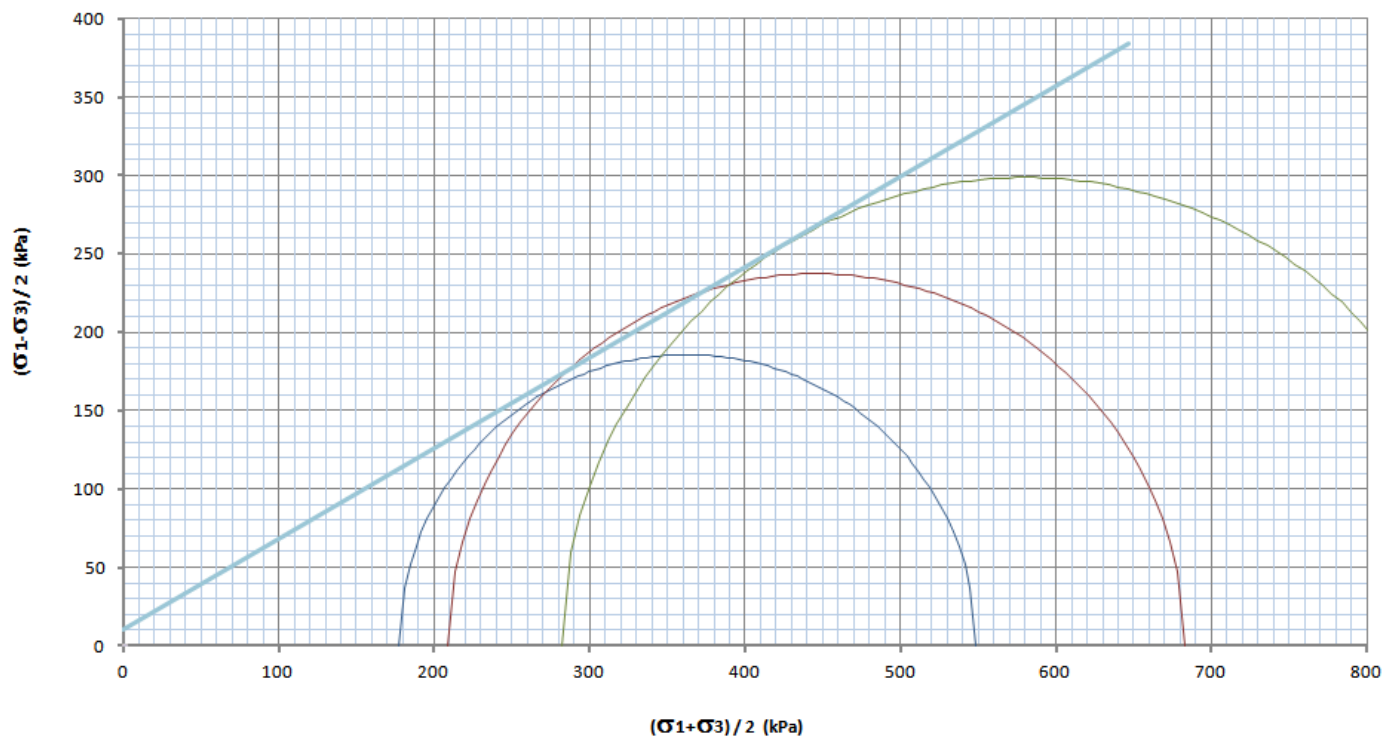
SFORZI EFFICACI			
	Minor Princ.Stress	Deviator stress	Major Princ.Stress
	(kPa)	(kPa)	(kPa)
	σ'_3	$(\sigma'_1 - \sigma'_3)$	σ'_1
Test 1	177.10	371.6	548.7
Test 2	208.40	474.5	682.9
Test 3	281.90	597.4	879.3

Cohesion =	10	kPa
phi =	30.0	°

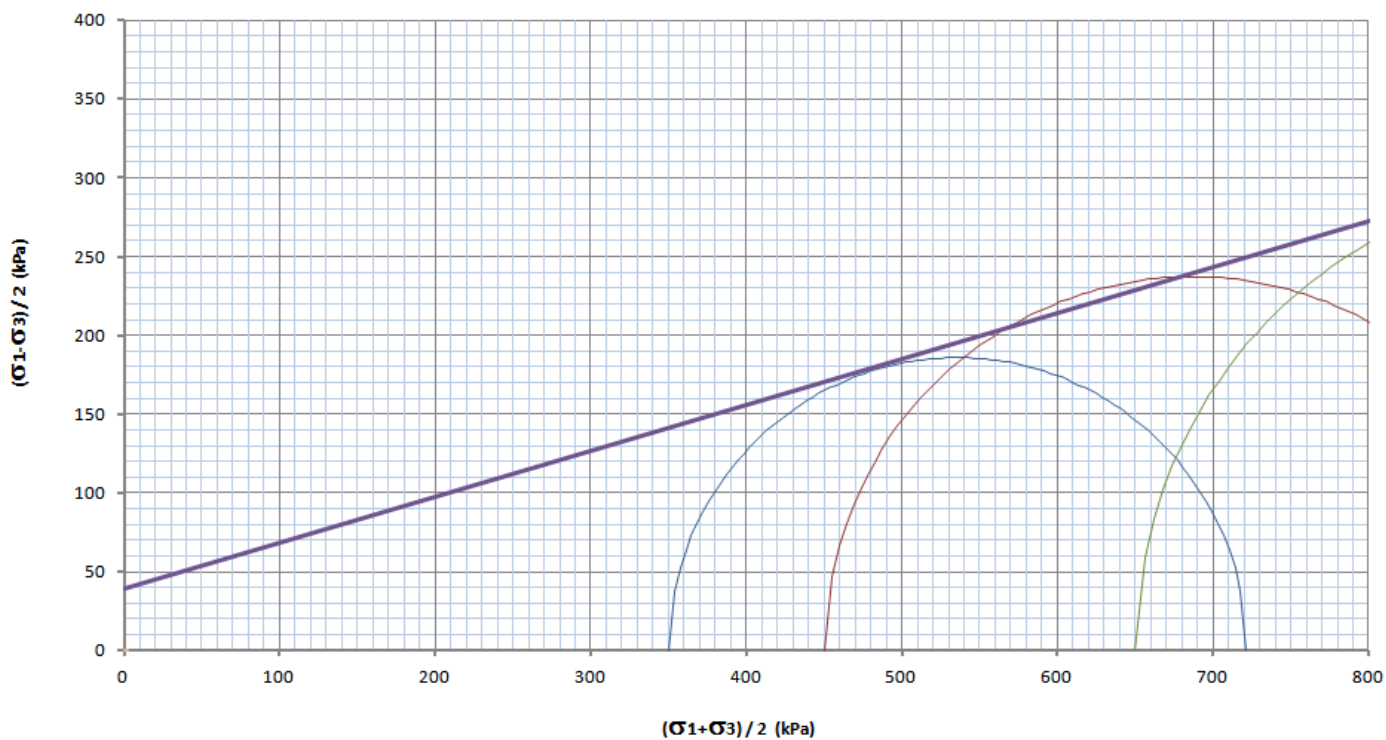
SFORZI TOTALI			
	Minor Princ.Stress	Deviator stress	Major Princ.Stress
	(kPa)	(kPa)	(kPa)
	σ_3	$(\sigma_1 - \sigma_3)$	σ_1
Test 1	350.00	371.6	721.6
Test 2	450.00	474.5	924.5
Test 3	650.00	597.4	1247.4

Cohesion =	40	kPa
phi =	16.3	°

PROVA TRIASSIALE C.I.U. - PIANO DI MOHR - SFORZI EFFETTIVI



PROVA TRIASSIALE C.I.U. - PIANO DI MOHR - SFORZI TOTALI



PROVA TRIASSIALE
SONDAGGIO S2 - CAMPIONE C1

h (falda)	h (provino)	γ	C'	ϕ'
(m)	(m)	(kN/m ³)	(kPa)	(°)
3.9	5.4	19.0	4	31.3

PROVA TRIASSIALE				
Cont.Press.	300			kPa
Press.Cell	400.00	500.00	600.00	kPa
Press.Rott.	120.91	229.53	295.91	kPa
U Rottura	345.32	409.60	468.3	kPa

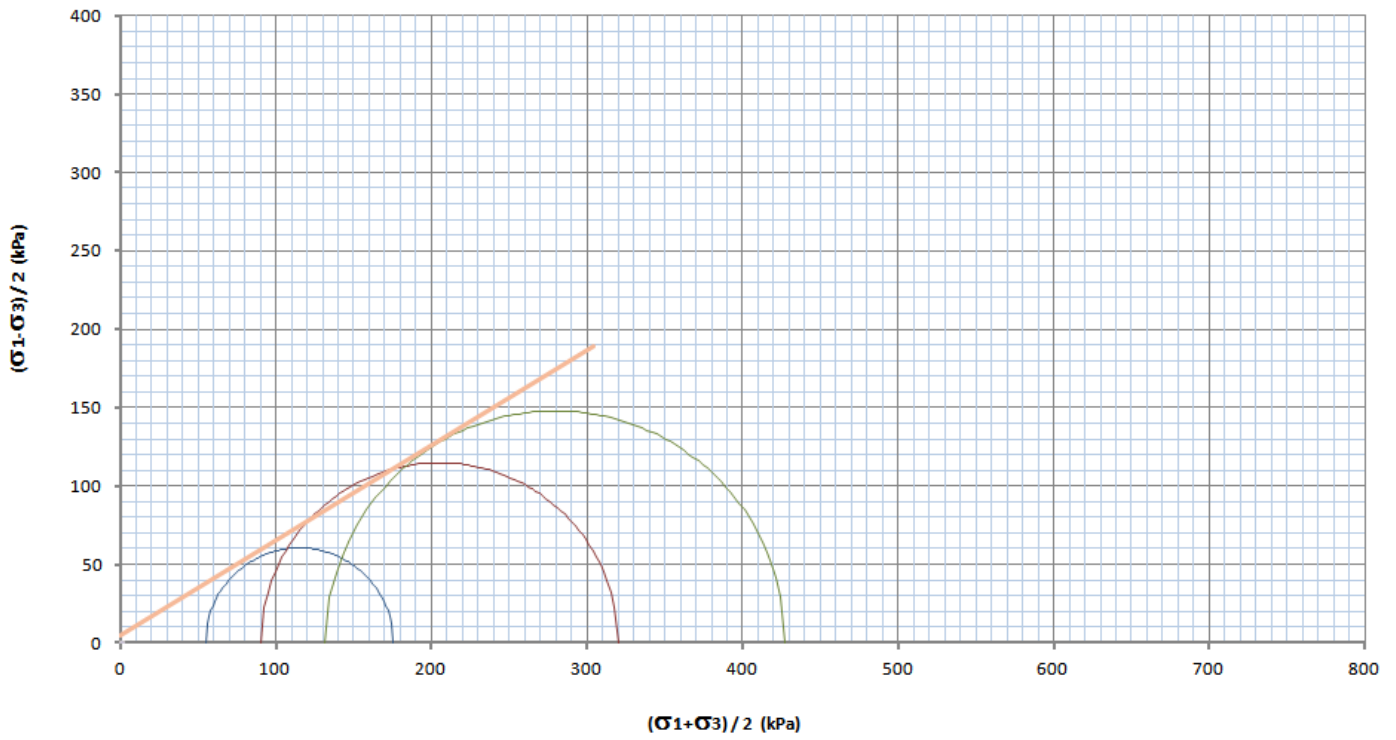
SFORZI EFFICACI			
	Minor Princ.Stress	Deviator stress	Major Princ.Stress
	(kPa)	(kPa)	(kPa)
	σ'_3	$(\sigma'_1 - \sigma'_3)$	σ'_1
Test 1	54.68	120.9	175.6
Test 2	90.40	229.5	319.9
Test 3	131.70	295.9	427.6

Cohesion =	4	kPa
phi =	31.3	°

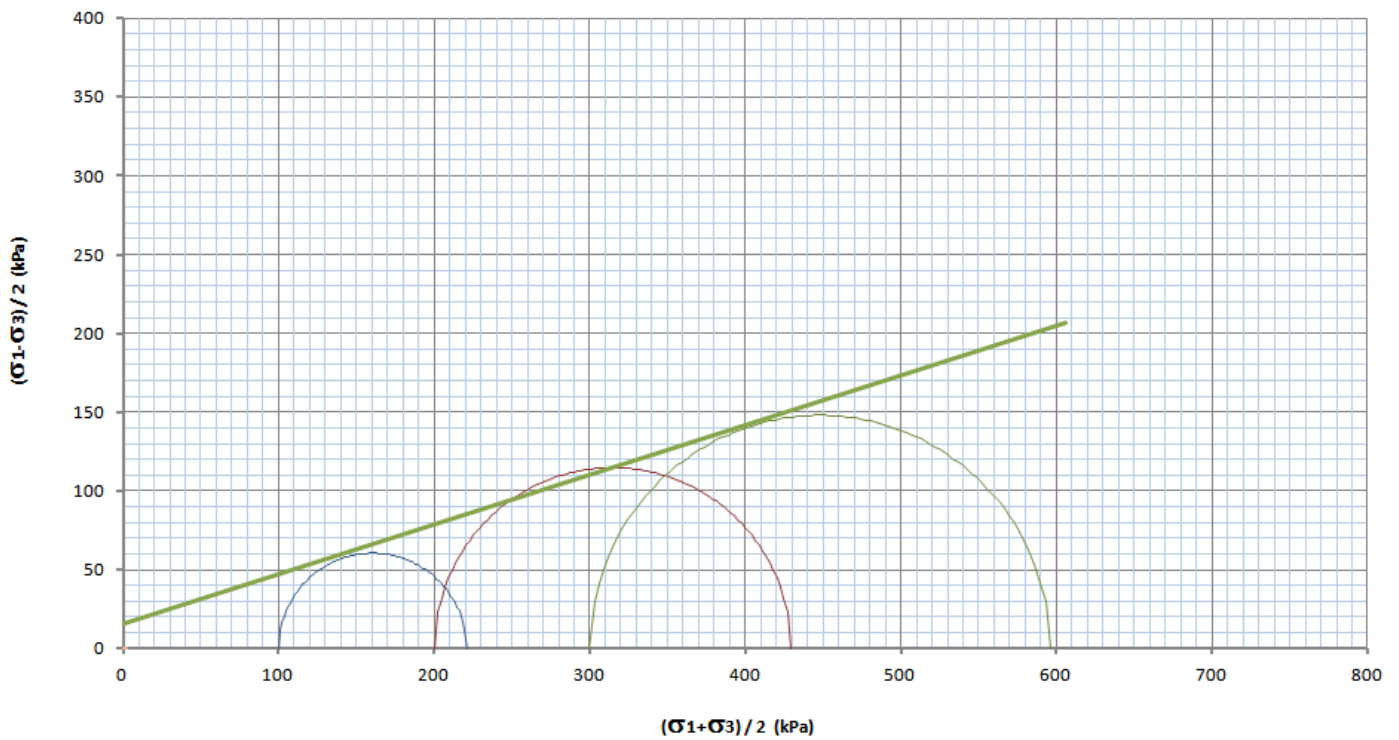
SFORZI TOTALI			
	Minor Princ.Stress	Deviator stress	Major Princ.Stress
	(kPa)	(kPa)	(kPa)
	σ_3	$(\sigma_1 - \sigma_3)$	σ_1
Test 1	100.00	120.9	220.9
Test 2	200.00	229.5	429.5
Test 3	300.00	295.9	595.9

Cohesion =	16	kPa
phi =	17.5	°

PROVA TRIASSIALE C.I.U. - PIANO DI MOHR - SFORZI EFFETTIVI



PROVA TRIASSIALE C.I.U. - PIANO DI MOHR - SFORZI TOTALI



PROVA TRIASSIALE
SONDAGGIO S2 - CAMPIONE C2

h (falda)	h (provino)	γ	C'	ϕ'
(m)	(m)	(kN/m ³)	(kPa)	(°)
3.9	11.3	19.4	1	31.3

PROVA TRIASSIALE				
Cont.Press.	250			kPa
Press.Cell	350.00	450.00	650.00	kPa
Press.Rott.	118.54	262.56	386.68	kPa
U Rottura	292.10	341.10	466.30	kPa

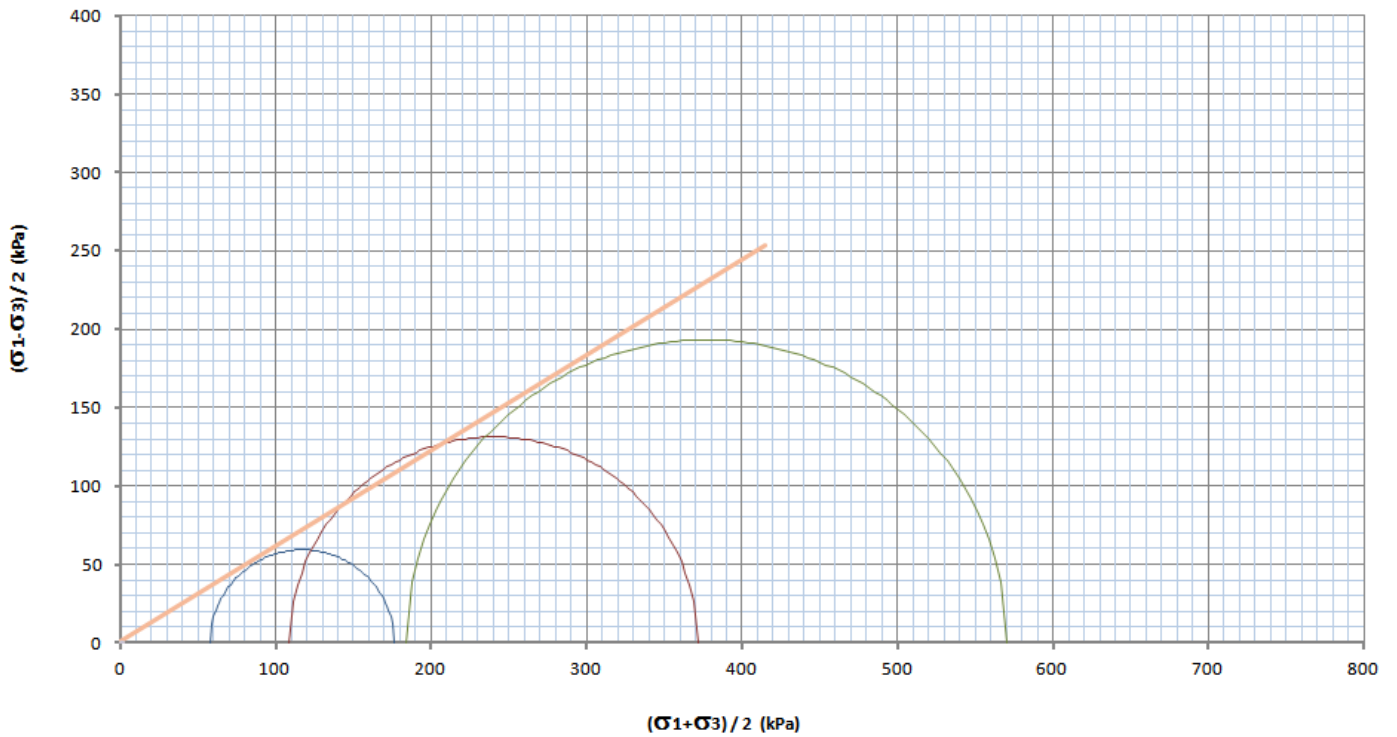
SFORZI EFFICACI			
	Minor Princ.Stress	Deviator stress	Major Princ.Stress
	(kPa)	(kPa)	(kPa)
	σ'_3	$(\sigma'_1 - \sigma'_3)$	σ'_1
Test 1	57.90	118.5	176.4
Test 2	108.90	262.6	371.5
Test 3	183.70	386.7	570.4

Cohesion =	1	kPa
phi =	31.3	°

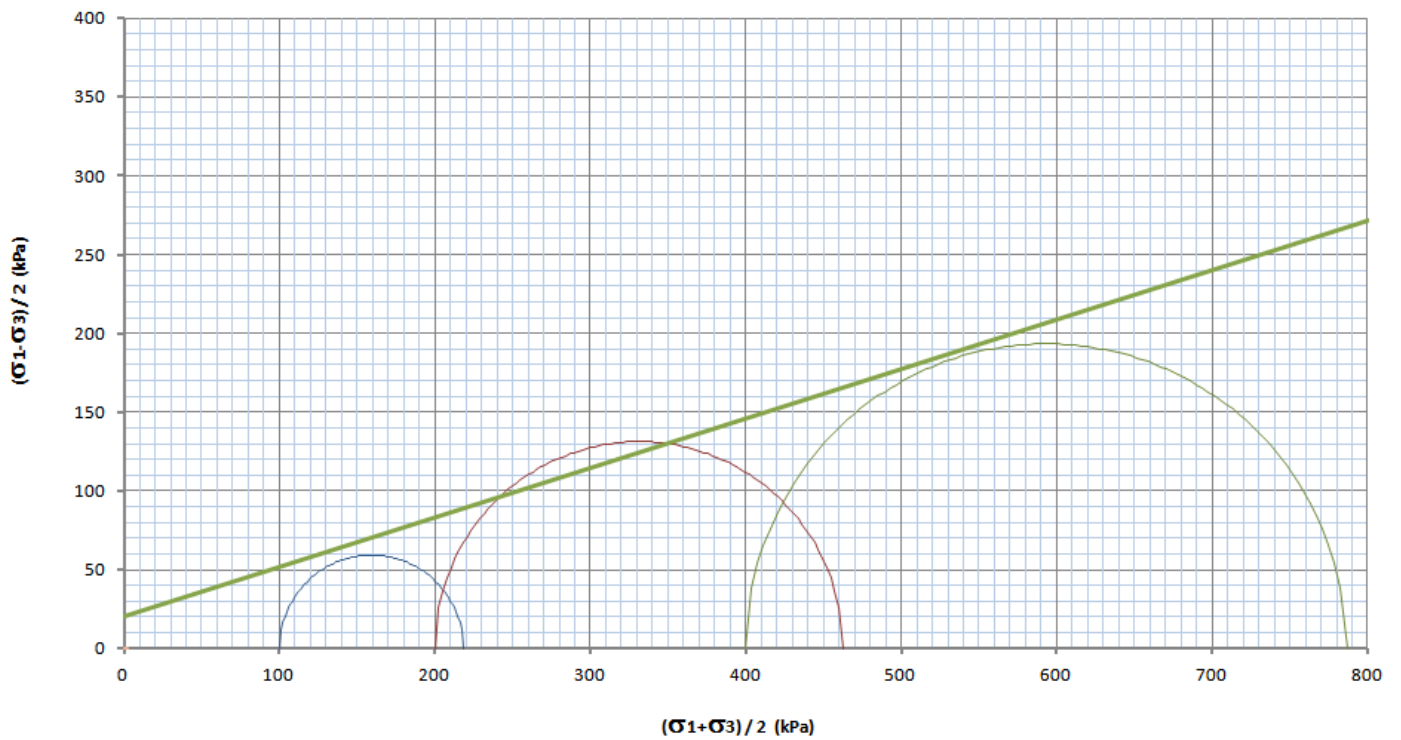
SFORZI TOTALI			
	Minor Princ.Stress	Deviator stress	Major Princ.Stress
	(kPa)	(kPa)	(kPa)
	σ_3	$(\sigma_1 - \sigma_3)$	σ_1
Test 1	100.00	118.5	218.5
Test 2	200.00	262.6	462.6
Test 3	400.00	386.7	786.7

Cohesion =	20	kPa
phi =	17.5	°

PROVA TRIASSIALE C.I.U. - PIANO DI MOHR - SFORZI EFFETTIVI



PROVA TRIASSIALE C.I.U. - PIANO DI MOHR - SFORZI TOTALI



PROVA TRIASSIALE
SONDAGGIO S2 - CAMPIONE C3

h (falda)	h (provino)	γ	C'	ϕ'
(m)	(m)	(kN/m ³)	(kPa)	(°)
3.9	21.3	19.8	5	26.1

PROVA TRIASSIALE				
Cont.Press.	250			kPa
Press.Cell	450.00	550.00	750.00	kPa
Press.Rott.	176.90	247.00	371.55	kPa
U Rottura	348.32	398.80	529.00	kPa

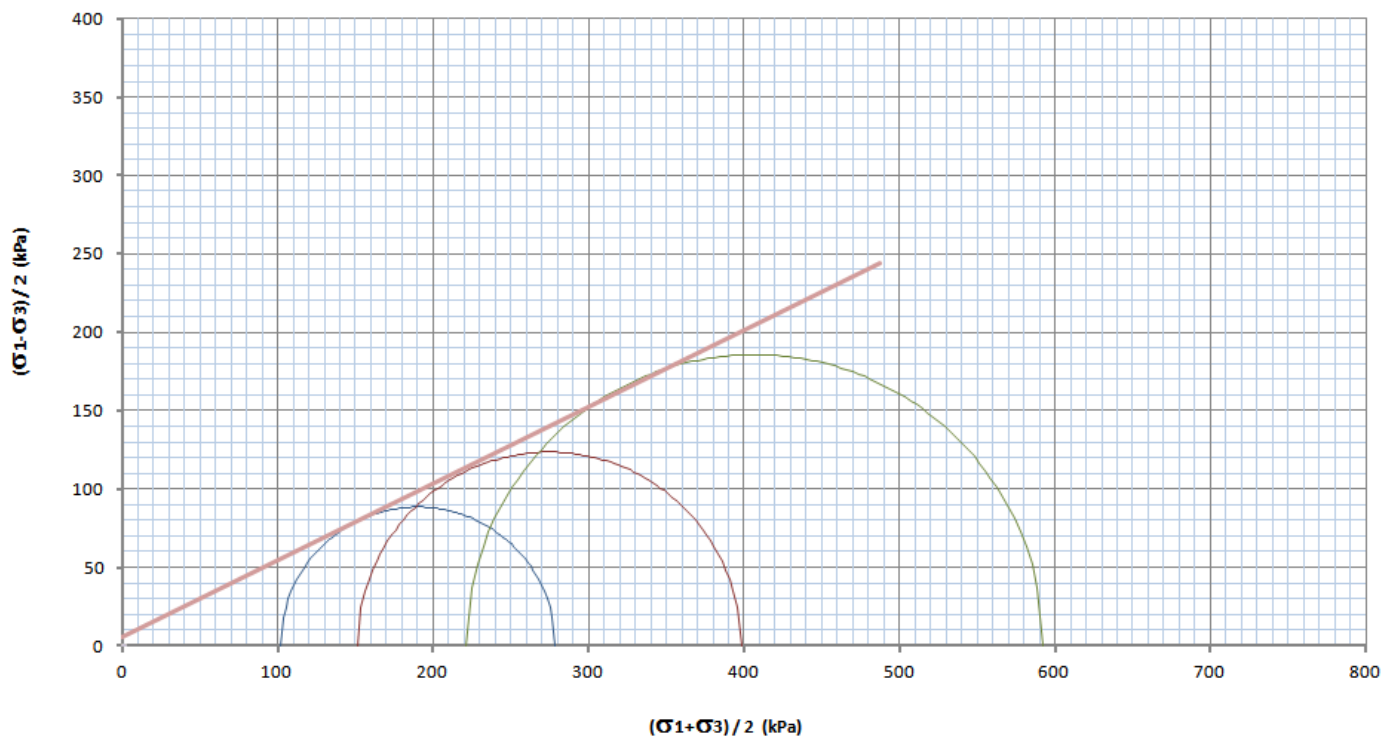
SFORZI EFFICACI			
	Minor Princ.Stress	Deviator stress	Major Princ.Stress
	(kPa)	(kPa)	(kPa)
	σ'_3	$(\sigma'_1 - \sigma'_3)$	σ'_1
Test 1	101.68	176.9	278.6
Test 2	151.20	247.0	398.2
Test 3	221.00	371.6	592.6

Cohesion =	5	kPa
phi =	26.1	°

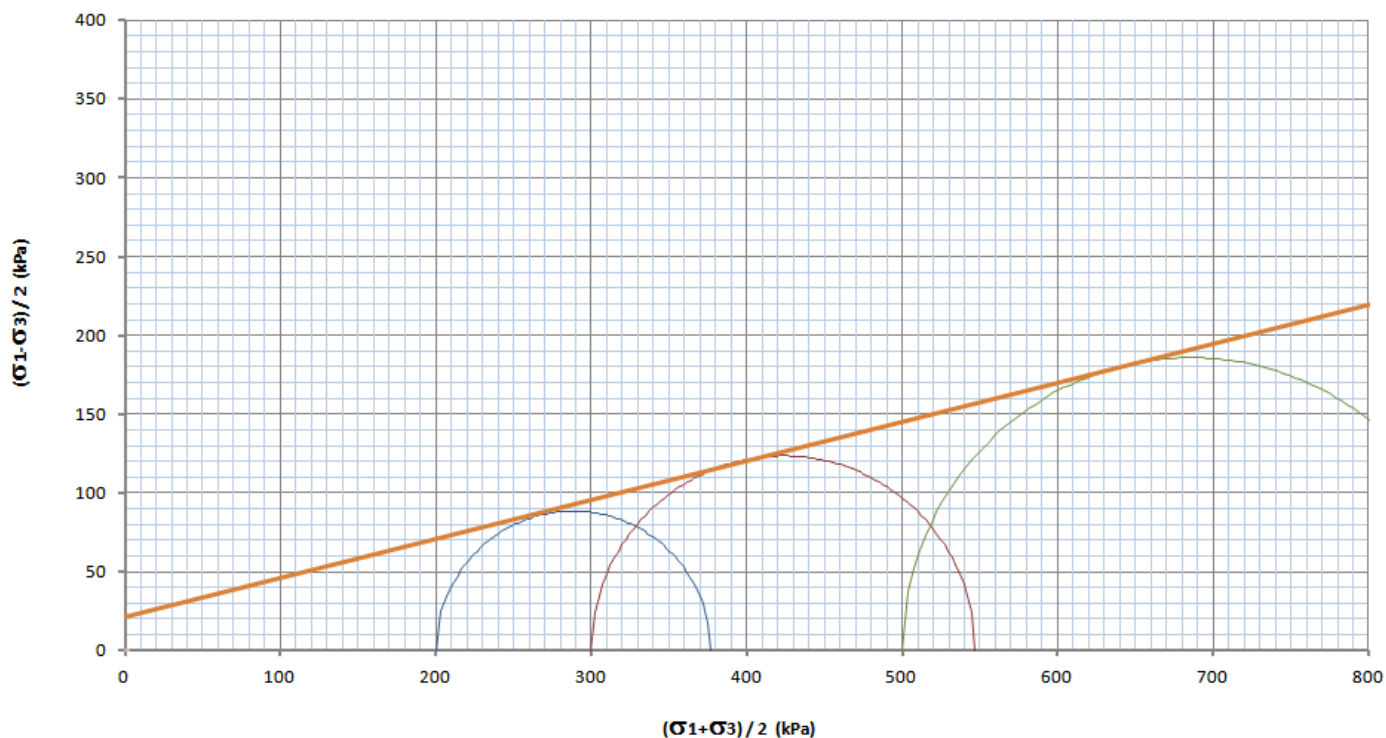
SFORZI TOTALI			
	Minor Princ.Stress	Deviator stress	Major Princ.Stress
	(kPa)	(kPa)	(kPa)
	σ_3	$(\sigma_1 - \sigma_3)$	σ_1
Test 1	200.00	176.9	376.9
Test 2	300.00	247.0	547.0
Test 3	500.00	371.6	871.6

Cohesion =	21	kPa
phi =	13.9	°

PROVA TRIASSIALE C.I.U. - PIANO DI MOHR - SFORZI EFFETTIVI



PROVA TRIASSIALE C.I.U. - PIANO DI MOHR - SFORZI TOTALI



PROVA TRIASSIALE
SONDAGGIO S2 - CAMPIONE C4

h (falda)	h (provino)	γ	C'	ϕ'
(m)	(m)	(kN/m ³)	(kPa)	(°)
3.9	28.2	19.2	28	23.6

PROVA TRIASSIALE				
Cont.Press.	250			kPa
Press.Cell	500.00	600.00	800.00	kPa
Press.Rott.	308.90	407.82	440.55	kPa
U Rottura	327.54	364.70	530.61	kPa

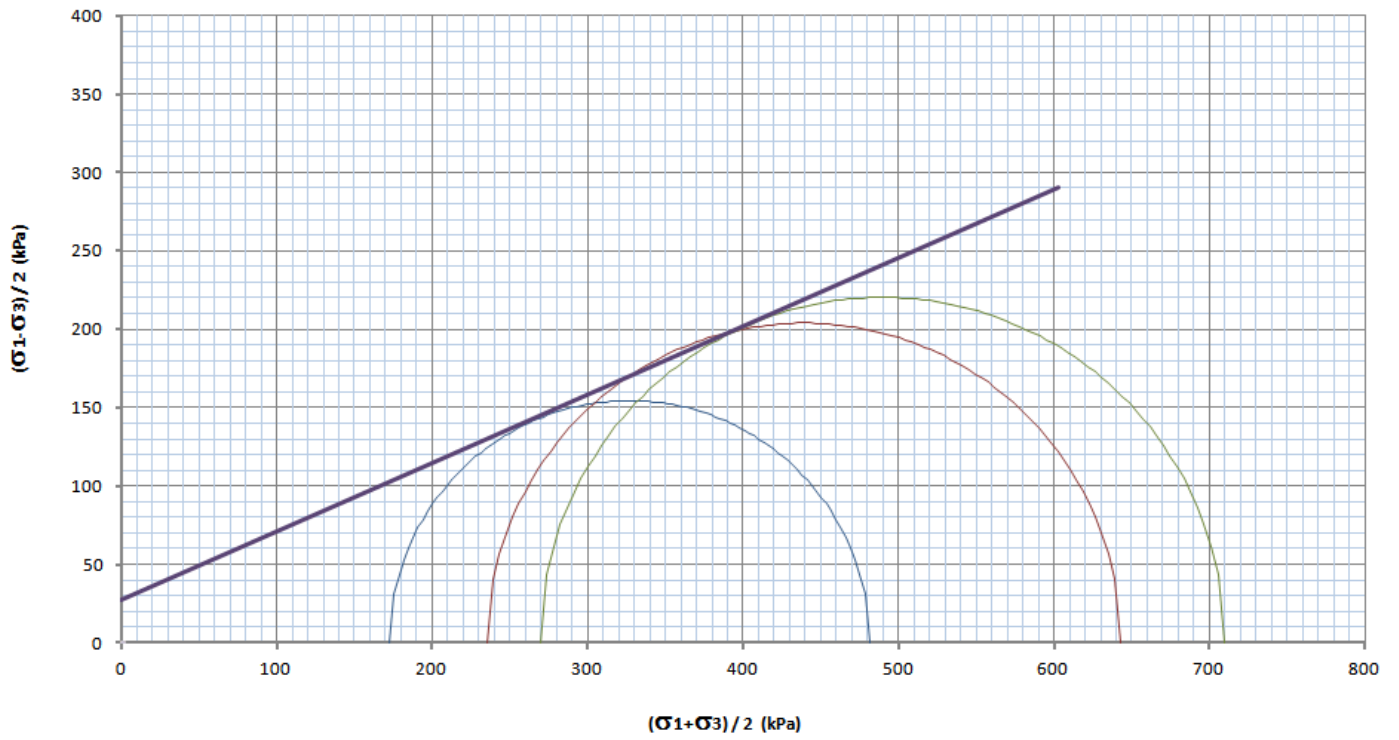
SFORZI EFFICACI			
	Minor Princ.Stress	Deviator stress	Major Princ.Stress
	(kPa)	(kPa)	(kPa)
	σ'_3	$(\sigma'_1 - \sigma'_3)$	σ'_1
Test 1	172.46	308.9	481.4
Test 2	235.30	407.8	643.1
Test 3	269.39	440.6	709.9

Cohesion =	28	kPa
phi =	23.6	°

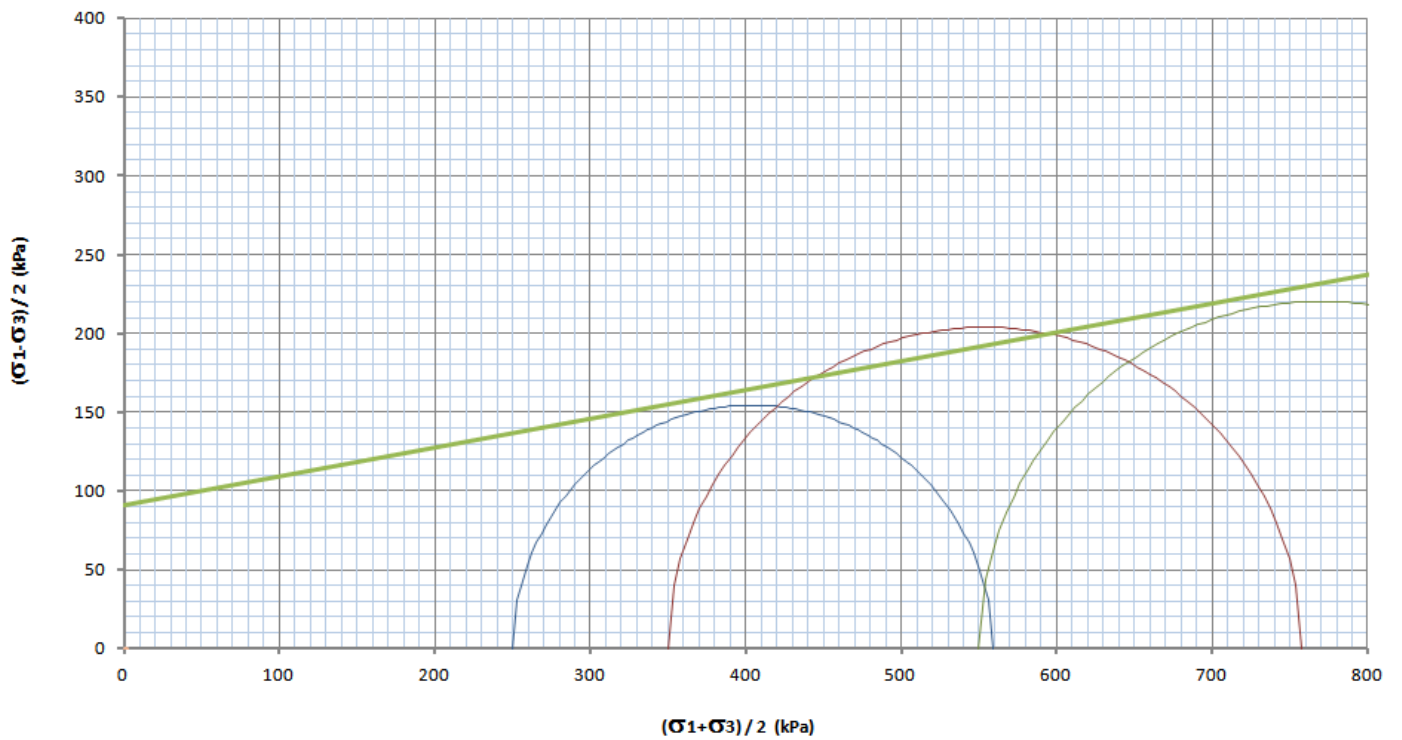
SFORZI TOTALI			
	Minor Princ.Stress	Deviator stress	Major Princ.Stress
	(kPa)	(kPa)	(kPa)
	σ_3	$(\sigma_1 - \sigma_3)$	σ_1
Test 1	250.00	308.9	558.9
Test 2	350.00	407.8	757.8
Test 3	550.00	440.6	990.6

Cohesion =	91	kPa
phi =	10.4	°

PROVA TRIASSIALE C.I.U. - PIANO DI MOHR - SFORZI EFFETTIVI



PROVA TRIASSIALE C.I.U. - PIANO DI MOHR - SFORZI TOTALI



PROVA TRIASSIALE
SONDAGGIO S2 - CAMPIONE C5

h (falda)	h (provino)	γ	C'	ϕ'
(m)	(m)	(kN/m ³)	(kPa)	(°)
3.9	34.2	20.2	6	31.3

PROVA TRIASSIALE				
Cont.Press.	250			kPa
Press.Cell	550.00	650.00	900.00	kPa
Press.Rott.	386.19	472.28	615.99	kPa
U Rottura	385.50	434.10	631.38	kPa

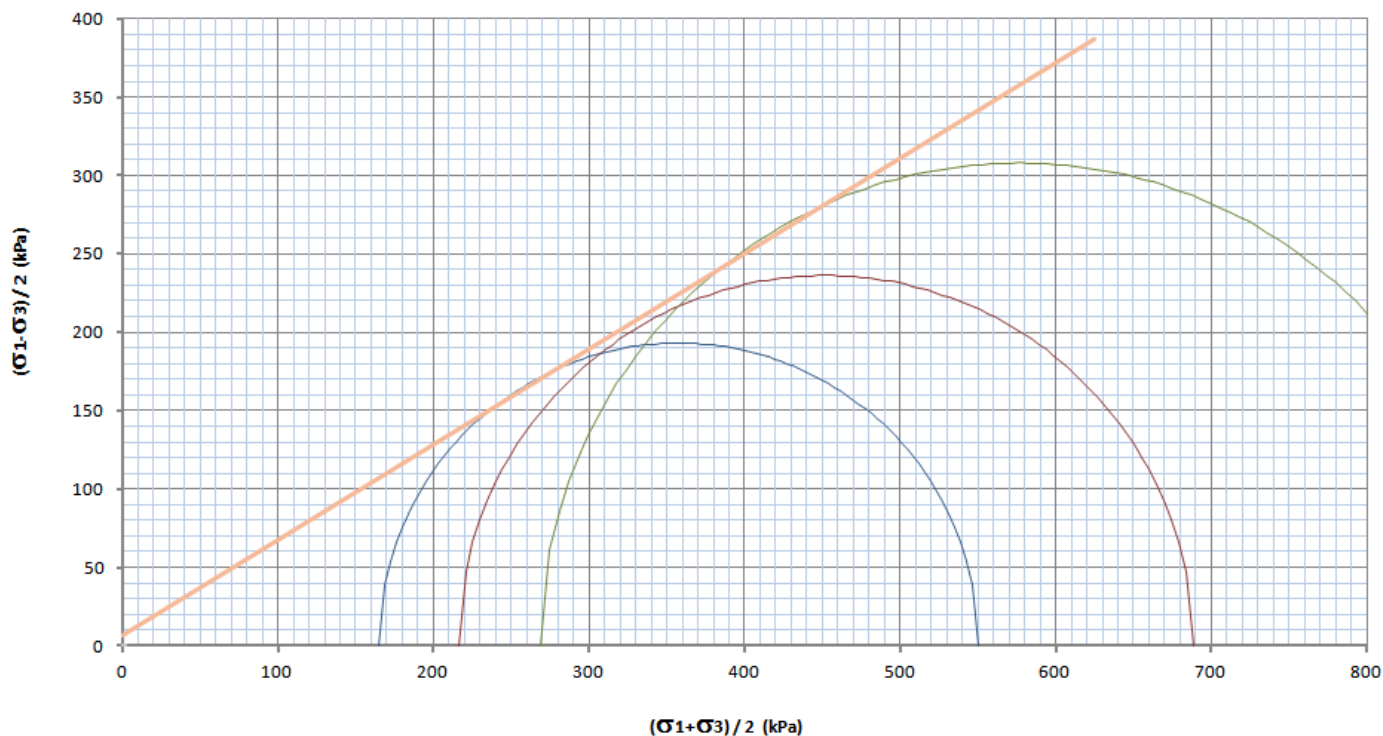
SFORZI EFFICACI			
	Minor Princ.Stress	Deviator stress	Major Princ.Stress
	(kPa)	(kPa)	(kPa)
	σ'_3	$(\sigma'_1 - \sigma'_3)$	σ'_1
Test 1	164.50	386.2	550.7
Test 2	215.90	472.3	688.2
Test 3	268.62	616.0	884.6

Cohesion =	6	kPa
phi =	31.3	°

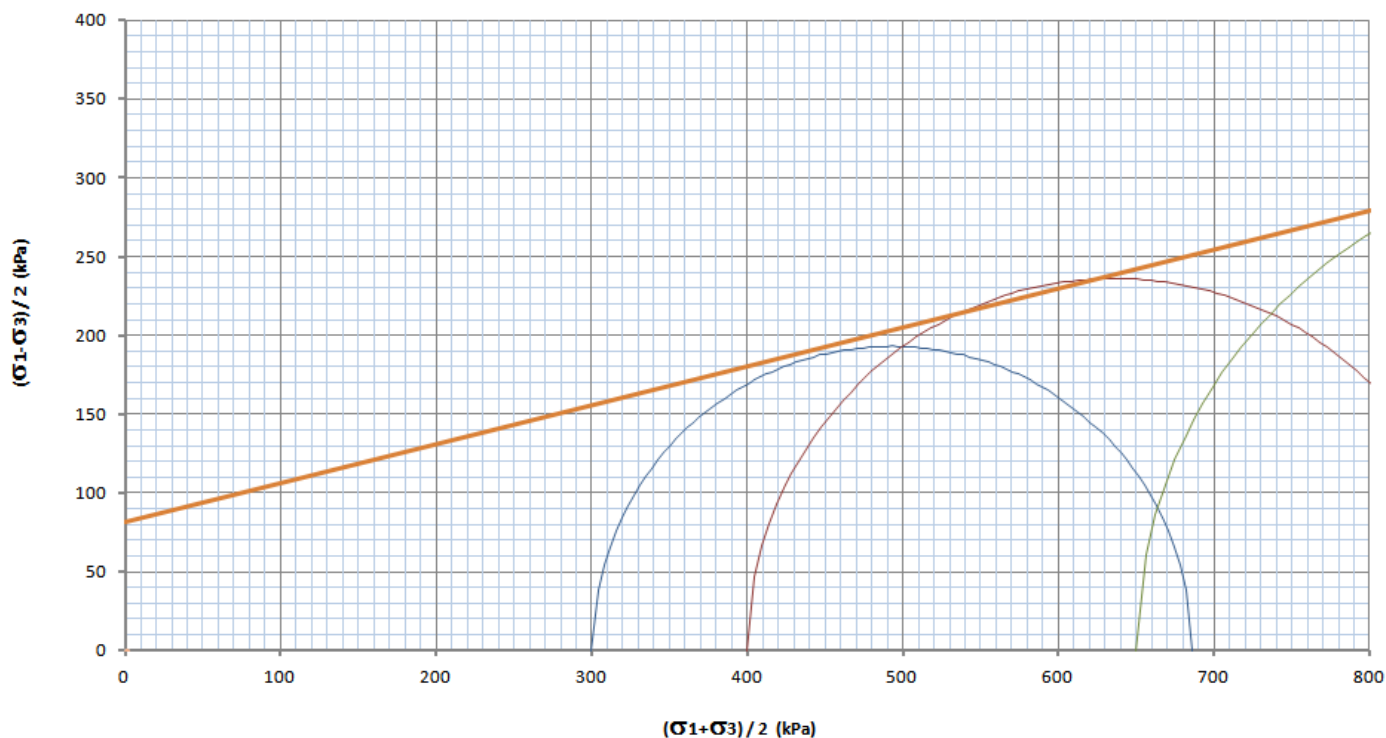
SFORZI TOTALI			
	Minor Princ.Stress	Deviator stress	Major Princ.Stress
	(kPa)	(kPa)	(kPa)
	σ_3	$(\sigma_1 - \sigma_3)$	σ_1
Test 1	300.00	386.2	686.2
Test 2	400.00	472.3	872.3
Test 3	650.00	616.0	1266.0

Cohesion =	81	kPa
phi =	13.9	°

PROVA TRIASSIALE C.I.U. - PIANO DI MOHR - SFORZI EFFETTIVI



PROVA TRIASSIALE C.I.U. - PIANO DI MOHR - SFORZI TOTALI



PROVA TRIASSIALE
SONDAGGIO S3 - CAMPIONE C1

h (falda)	h (provino)	γ	C'	ϕ'
(m)	(m)	(kN/m ³)	(kPa)	(°)
2.2	4.2	17.9	0	28.7

PROVA TRIASSIALE				
Cont.Press.	250			kPa
Press.Cell	350.00	450.00	650.00	kPa
Press.Rott.	100.94	190.74	331.02	kPa
U Rottura	292.60	354.60	468.2	kPa

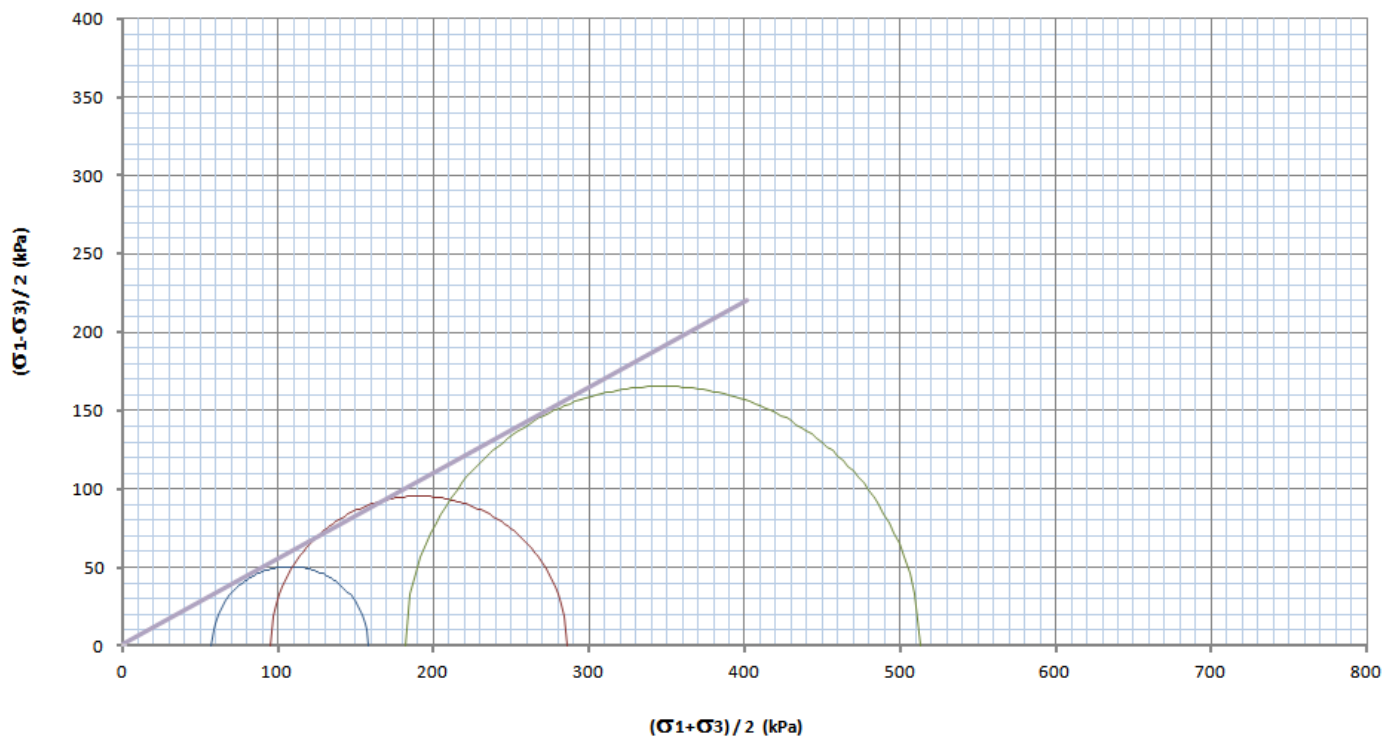
SFORZI EFFICACI			
	Minor Princ.Stress	Deviator stress	Major Princ.Stress
	(kPa)	(kPa)	(kPa)
	σ'_3	$(\sigma'_1 - \sigma'_3)$	σ'_1
Test 1	57.40	100.9	158.3
Test 2	95.40	190.7	286.1
Test 3	181.80	331.0	512.8

Cohesion =	0	kPa
phi =	28.7	°

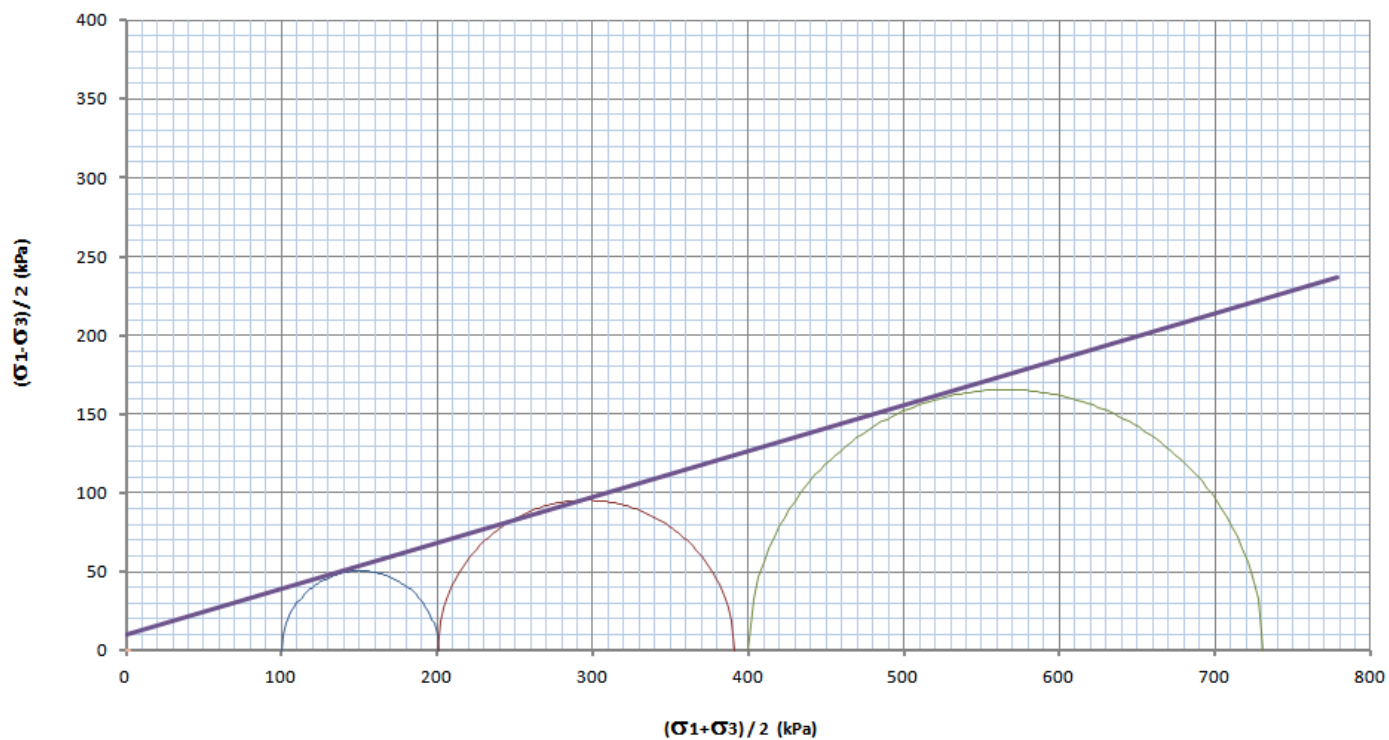
SFORZI TOTALI			
	Minor Princ.Stress	Deviator stress	Major Princ.Stress
	(kPa)	(kPa)	(kPa)
	σ_3	$(\sigma_1 - \sigma_3)$	σ_1
Test 1	100.00	100.9	200.9
Test 2	200.00	190.7	390.7
Test 3	400.00	331.0	731.0

Cohesion =	10	kPa
phi =	16.2	°

PROVA TRIASSIALE C.I.U. - PIANO DI MOHR - SFORZI EFFETTIVI



PROVA TRIASSIALE C.I.U. - PIANO DI MOHR - SFORZI TOTALI



PROVA TRIASSIALE
SONDAGGIO S3 - CAMPIONE C2

h (falda)	h (provino)	γ	C'	ϕ'
(m)	(m)	(kN/m ³)	(kPa)	(°)
2.2	7.35	18.7	4	19.9

PROVA TRIASSIALE				
Cont.Press.	250			kPa
Press.Cell	350.00	450.00	650.00	kPa
Press.Rott.	65.42	153.28	273.14	kPa
U Rottura	284.70	320.70	397.9	kPa

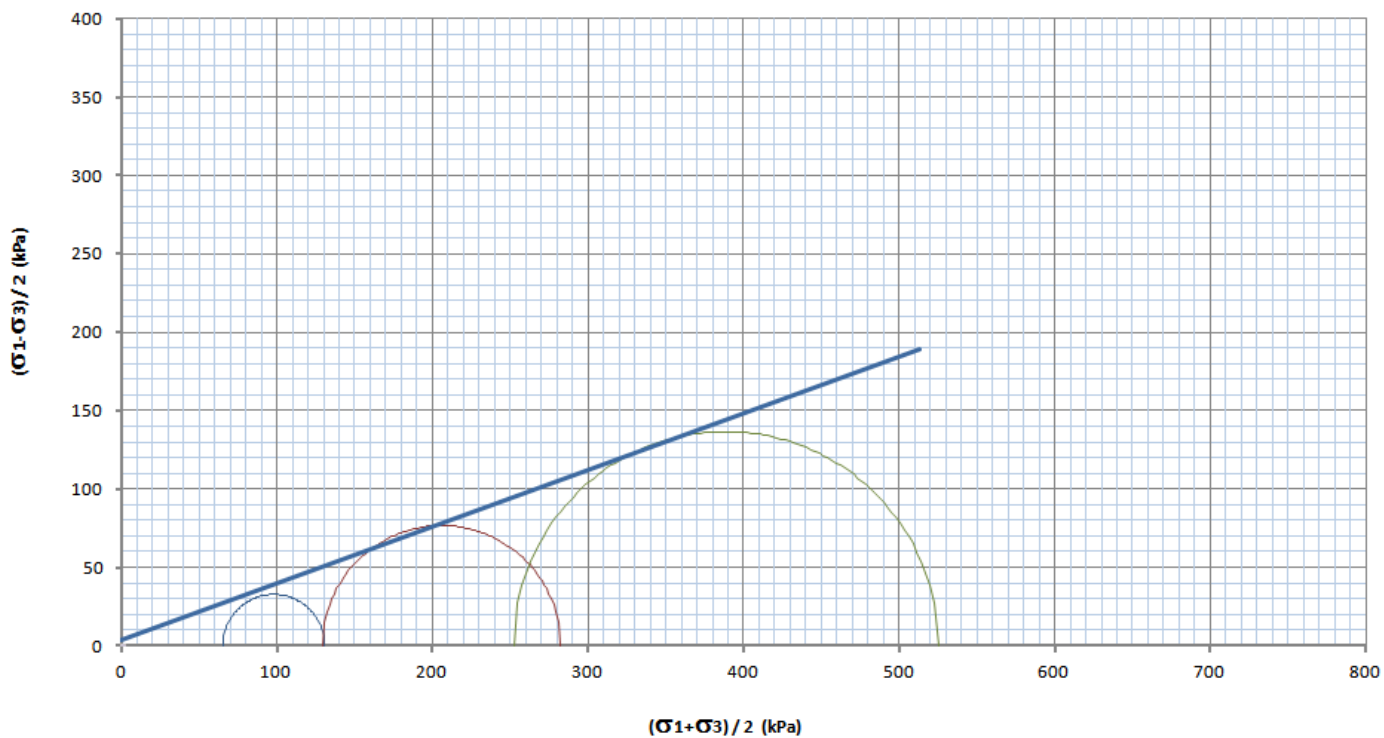
SFORZI EFFICACI			
	Minor Princ.Stress	Deviator stress	Major Princ.Stress
	(kPa)	(kPa)	(kPa)
	σ'_3	$(\sigma'_1 - \sigma'_3)$	σ'_1
Test 1	65.30	65.4	130.7
Test 2	129.30	153.3	282.6
Test 3	252.10	273.1	525.2

Cohesion =	4	kPa
phi =	19.9	°

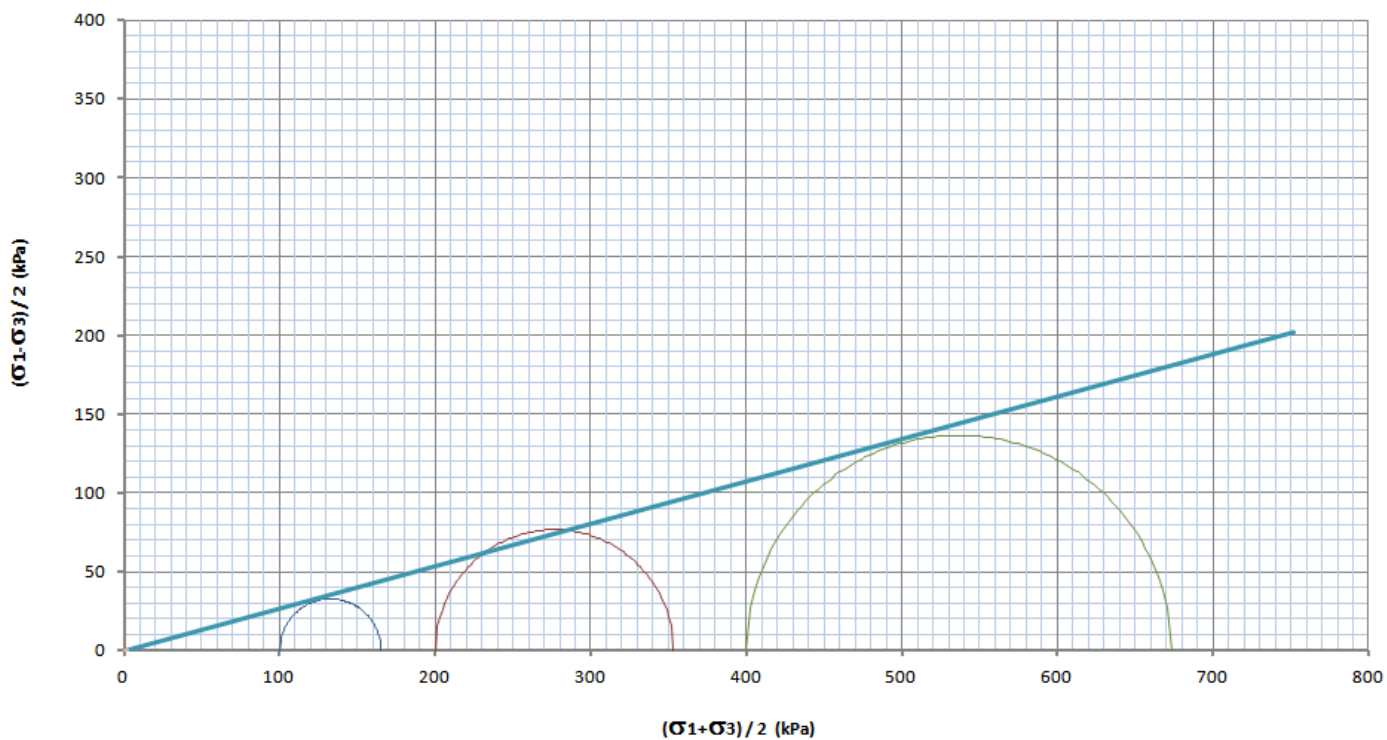
SFORZI TOTALI			
	Minor Princ.Stress	Deviator stress	Major Princ.Stress
	(kPa)	(kPa)	(kPa)
	σ_3	$(\sigma_1 - \sigma_3)$	σ_1
Test 1	100.00	65.4	165.4
Test 2	200.00	153.3	353.3
Test 3	400.00	273.1	673.1

Cohesion =	0	kPa
phi =	15.1	°

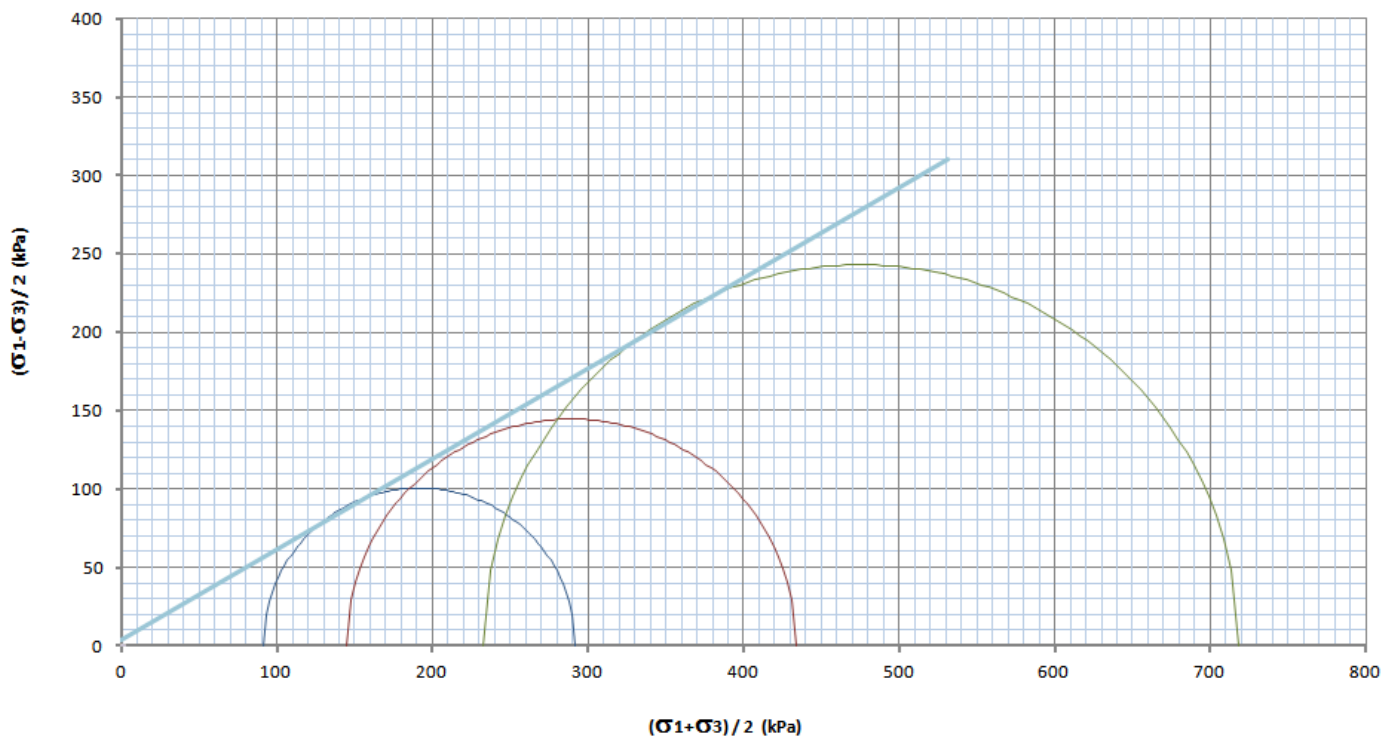
PROVA TRIASSIALE C.I.U. - PIANO DI MOHR - SFORZI EFFETTIVI



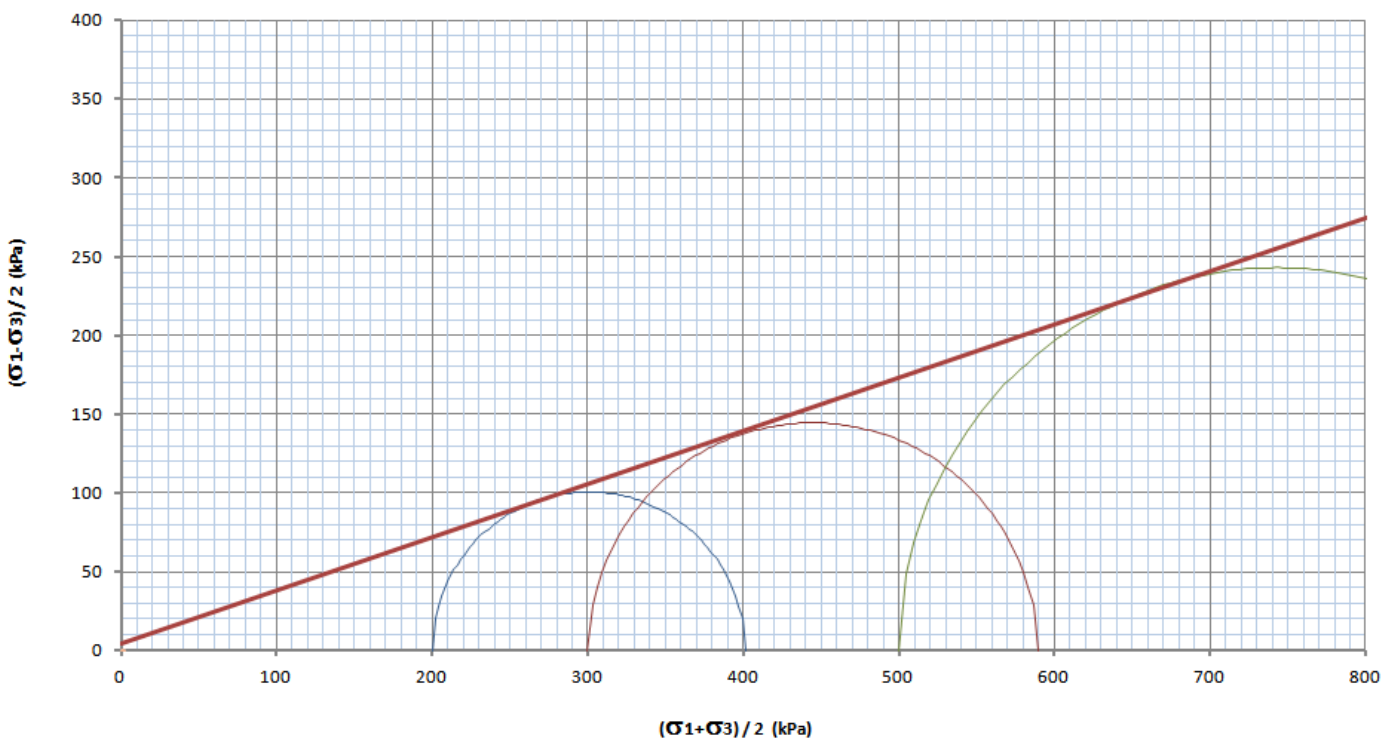
PROVA TRIASSIALE C.I.U. - PIANO DI MOHR - SFORZI TOTALI



PROVA TRIASSIALE C.I.U. - PIANO DI MOHR - SFORZI EFFETTIVI



PROVA TRIASSIALE C.I.U. - PIANO DI MOHR - SFORZI TOTALI



PROVA TRIASSIALE
SONDAGGIO S3 - CAMPIONE C3

h (falda)	h (provino)	γ	C'	ϕ'
(m)	(m)	(kN/m ³)	(kPa)	(°)
2.2	14.3	20.1	4	30.0

PROVA TRIASSIALE				
Cont.Press.	250			kPa
Press.Cell	450.00	550.00	750.00	kPa
Press.Rott.	201.25	289.16	486.03	kPa
U Rottura	359.10	405.20	517.6	kPa

SFORZI EFFICACI			
	Minor Princ.Stress	Deviator stress	Major Princ.Stress
	(kPa)	(kPa)	(kPa)
	σ'_3	$(\sigma'_1 - \sigma'_3)$	σ'_1
Test 1	90.90	201.3	292.2
Test 2	144.80	289.2	434.0
Test 3	232.40	486.0	718.4

Cohesion =	4	kPa
phi =	30.0	°

SFORZI TOTALI			
	Minor Princ.Stress	Deviator stress	Major Princ.Stress
	(kPa)	(kPa)	(kPa)
	σ_3	$(\sigma_1 - \sigma_3)$	σ_1
Test 1	200.00	201.3	401.3
Test 2	300.00	289.2	589.2
Test 3	500.00	486.0	986.0

Cohesion =	4	kPa
phi =	18.7	°

PROVA TRIASSIALE
SONDAGGIO S3 - CAMPIONE C4

h (falda)	h (provino)	γ	C'	ϕ'
(m)	(m)	(kN/m ³)	(kPa)	(°)
2.2	20.25	19.2	7	23.6

PROVA TRIASSIALE				
Cont.Press.	250			kPa
Press.Cell	500.00	600.00	800.00	kPa
Press.Rott.	194.18	287.62	433.74	kPa
U Rottura	358.28	409.10	494.3	kPa

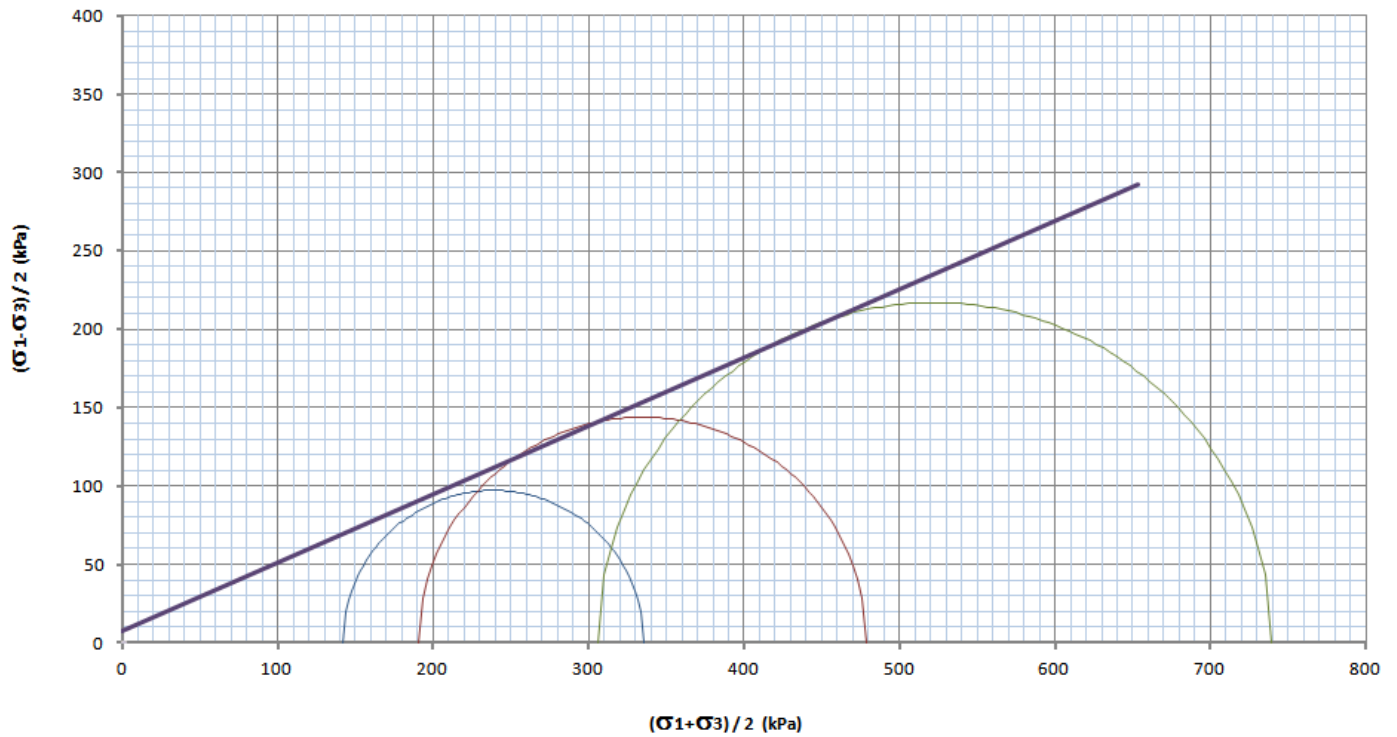
SFORZI EFFICACI			
	Minor Princ.Stress	Deviator stress	Major Princ.Stress
	(kPa)	(kPa)	(kPa)
	σ'_3	$(\sigma'_1 - \sigma'_3)$	σ'_1
Test 1	141.72	194.2	335.9
Test 2	190.90	287.6	478.5
Test 3	305.70	433.7	739.4

Cohesion =	7	kPa
phi =	23.6	°

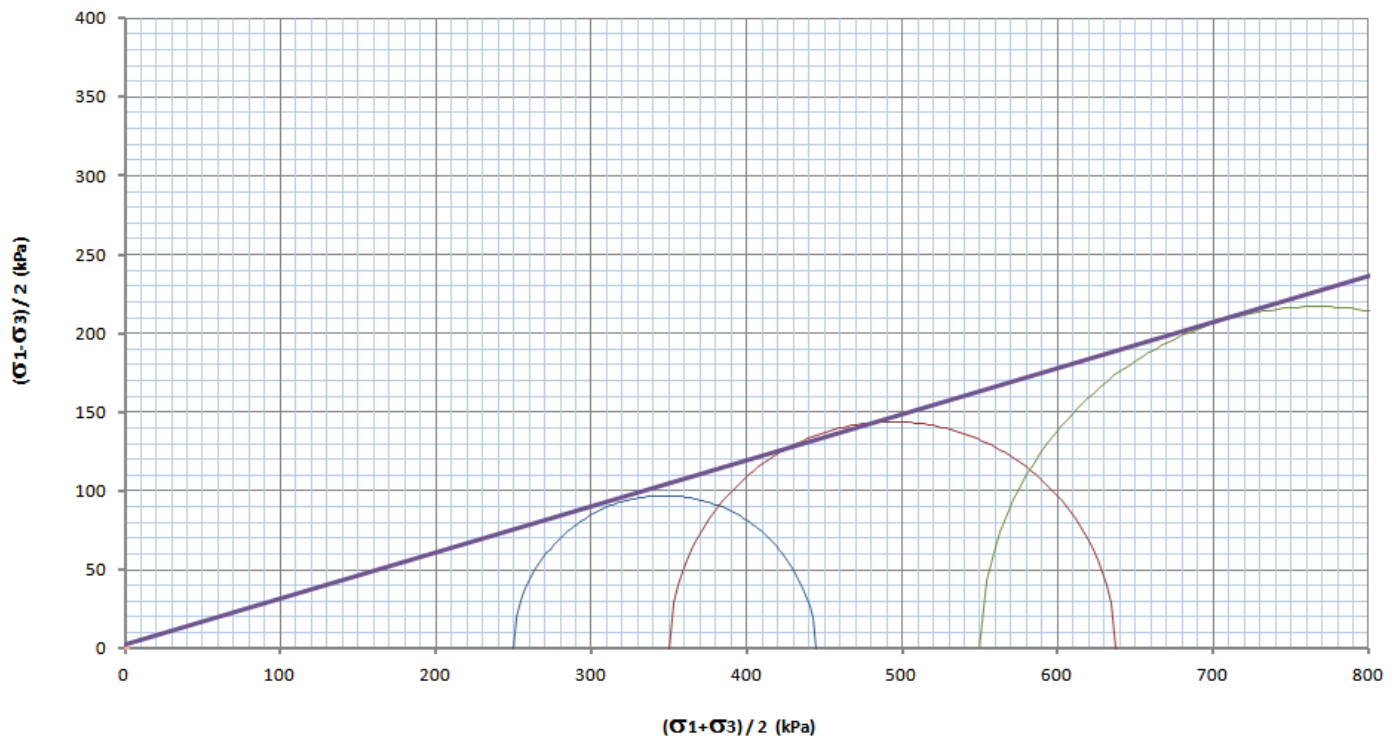
SFORZI TOTALI			
	Minor Princ.Stress	Deviator stress	Major Princ.Stress
	(kPa)	(kPa)	(kPa)
	σ_3	$(\sigma_1 - \sigma_3)$	σ_1
Test 1	250.00	194.2	444.2
Test 2	350.00	287.6	637.6
Test 3	550.00	433.7	983.7

Cohesion =	3	kPa
phi =	16.3	°

PROVA TRIASSIALE C.I.U. - PIANO DI MOHR - SFORZI EFFETTIVI



PROVA TRIASSIALE C.I.U. - PIANO DI MOHR - SFORZI TOTALI



PROVA TRIASSIALE
SONDAGGIO S3 - CAMPIONE C5

h (falda)	h (provino)	γ	C'	ϕ'
(m)	(m)	(kN/m ³)	(kPa)	(°)
2.2	30.6	17.9	23	21.1

PROVA TRIASSIALE				
Cont.Press.	200			kPa
Press.Cell	550.00	650.00	850.00	kPa
Press.Rott.	316.57	397.65	495.10	kPa
U Rottura	324.40	364.00	465.9	kPa

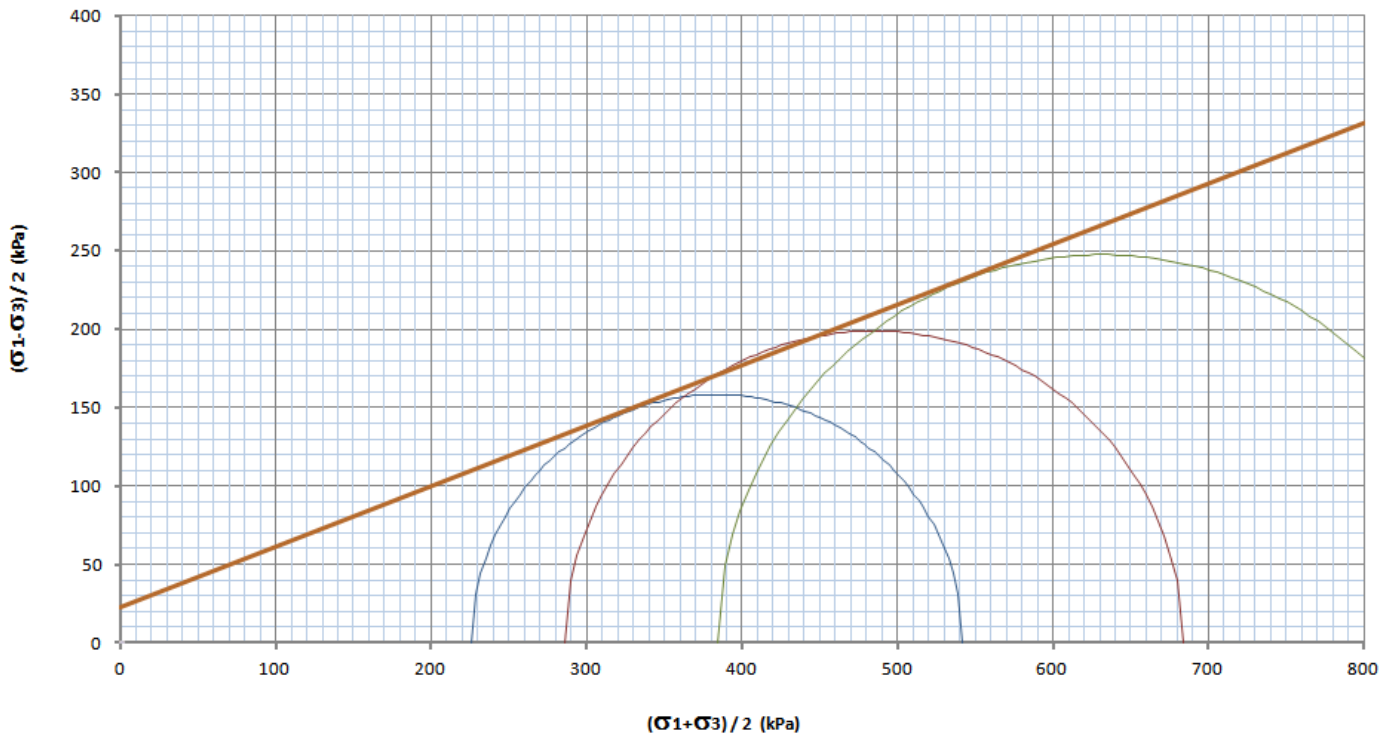
SFORZI EFFICACI			
	Minor Princ.Stress	Deviator stress	Major Princ.Stress
	(kPa)	(kPa)	(kPa)
	σ'_3	$(\sigma'_1 - \sigma'_3)$	σ'_1
Test 1	225.60	316.6	542.2
Test 2	286.00	397.7	683.7
Test 3	384.10	495.1	879.2

Cohesion =	23	kPa
phi =	21.1	°

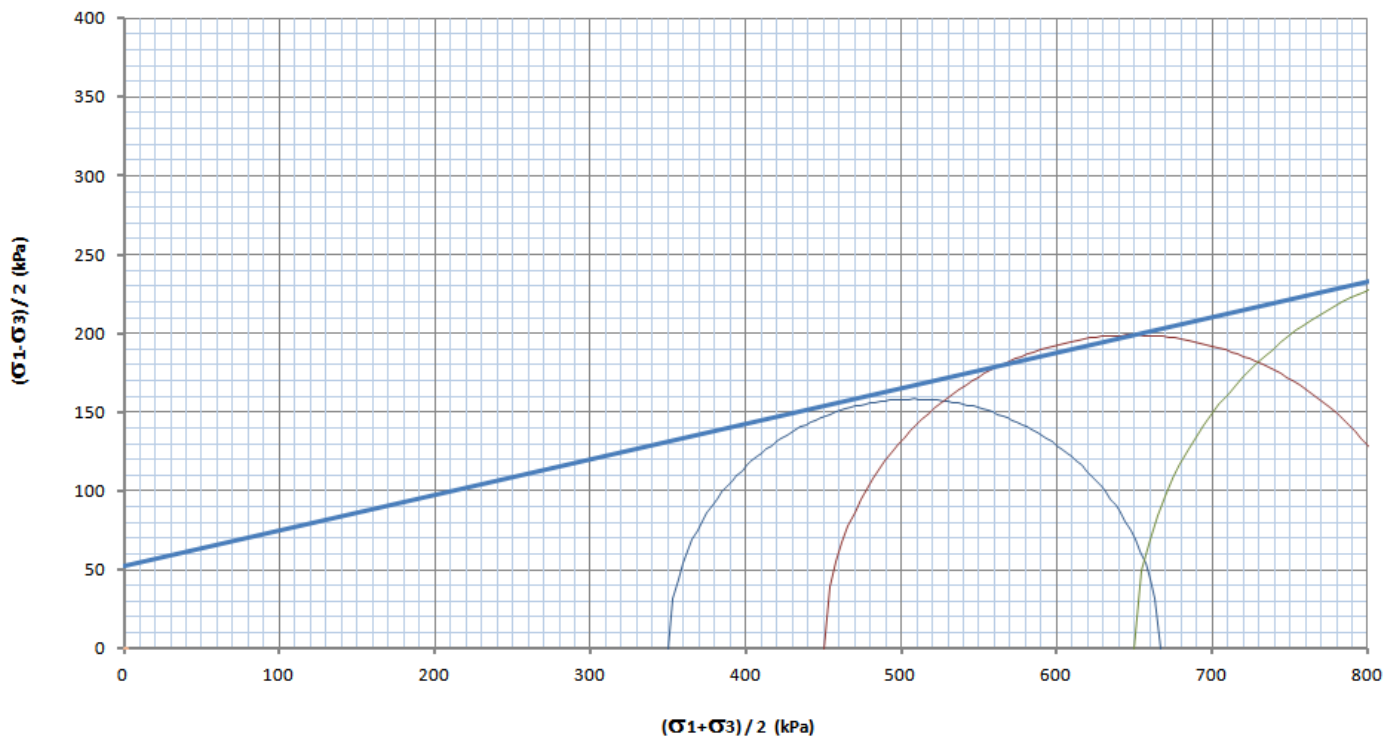
SFORZI TOTALI			
	Minor Princ.Stress	Deviator stress	Major Princ.Stress
	(kPa)	(kPa)	(kPa)
	σ_3	$(\sigma_1 - \sigma_3)$	σ_1
Test 1	350.00	316.6	666.6
Test 2	450.00	397.7	847.7
Test 3	650.00	495.1	1145.1

Cohesion =	52	kPa
phi =	12.7	°

PROVA TRIASSIALE C.I.U. - PIANO DI MOHR - SFORZI EFFETTIVI



PROVA TRIASSIALE C.I.U. - PIANO DI MOHR - SFORZI TOTALI



PROVA TRIASSIALE
SONDAGGIO S3 - CAMPIONE C6

h (falda)	h (provino)	γ	C'	ϕ'
(m)	(m)	(kN/m ³)	(kPa)	(°)
2.2	36.3	19.6	17	22.4

PROVA TRIASSIALE				
Cont.Press.	250			kPa
Press.Cell	700.00	800.00	1000.00	kPa
Press.Rott.	393.39	446.33	518.52	kPa
U Rottura	417.47	482.50	619.21	kPa

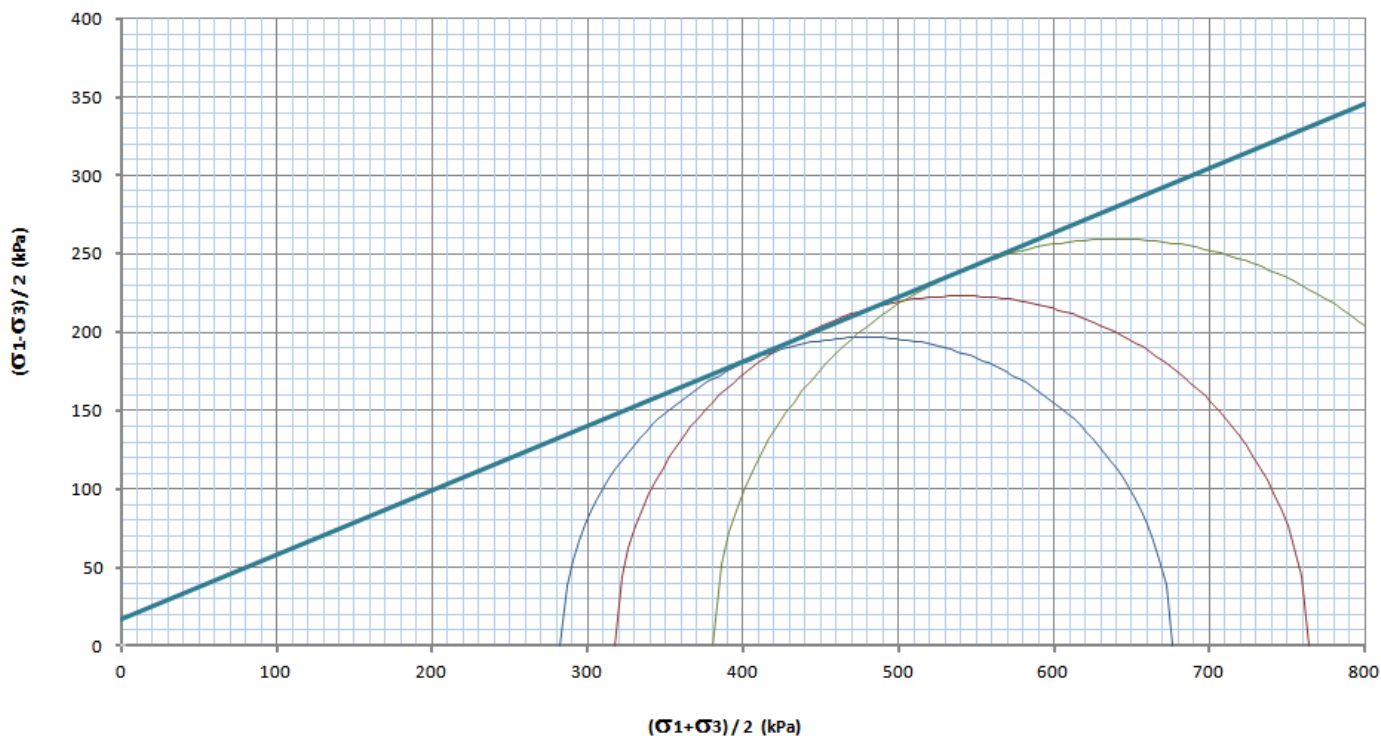
SFORZI EFFICACI			
	Minor Princ.Stress	Deviator stress	Major Princ.Stress
	(kPa)	(kPa)	(kPa)
	σ'_3	$(\sigma'_1 - \sigma'_3)$	σ'_1
Test 1	282.53	393.4	675.9
Test 2	317.50	446.3	763.8
Test 3	380.79	518.5	899.3

Cohesion =	17	kPa
phi =	22.4	°

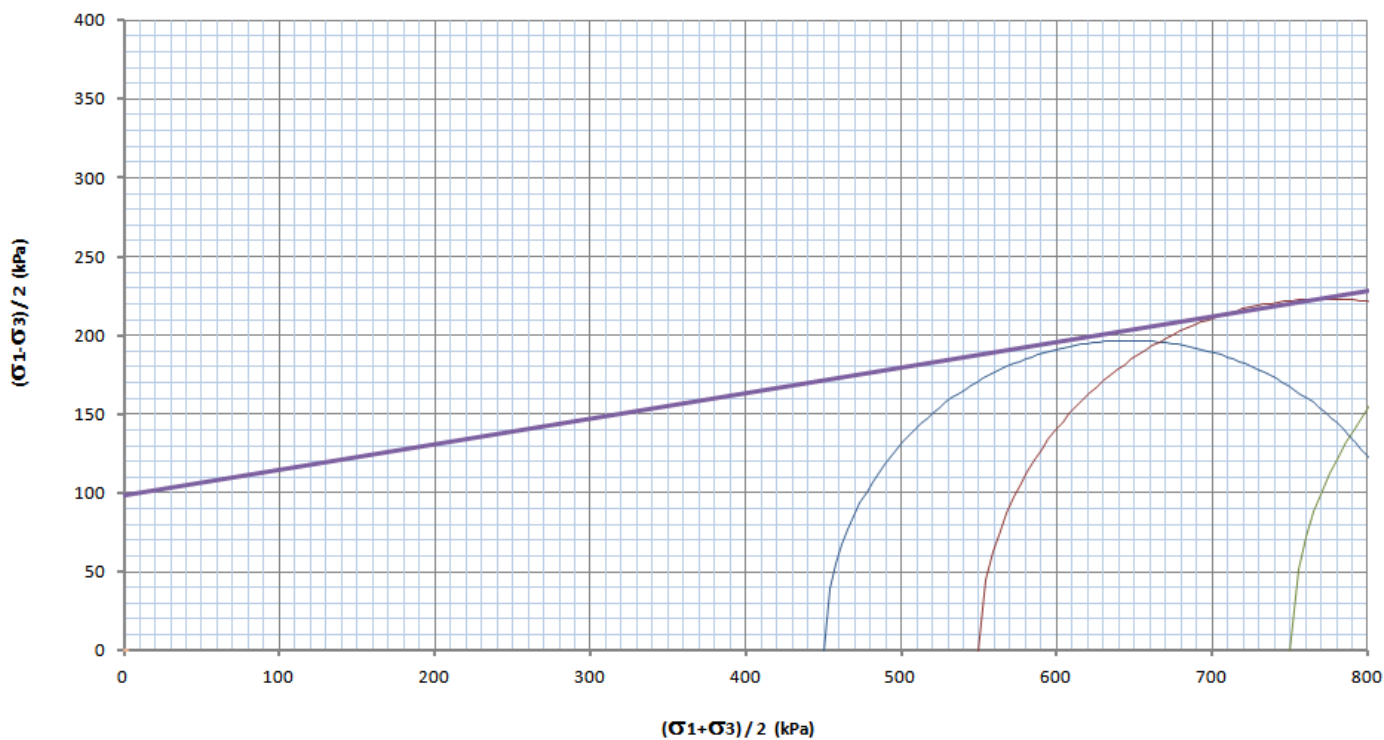
SFORZI TOTALI			
	Minor Princ.Stress	Deviator stress	Major Princ.Stress
	(kPa)	(kPa)	(kPa)
	σ_3	$(\sigma_1 - \sigma_3)$	σ_1
Test 1	450.00	393.4	843.4
Test 2	550.00	446.3	996.3
Test 3	750.00	518.5	1268.5

Cohesion =	98	kPa
phi =	9.2	°

PROVA TRIASSIALE C.I.U. - PIANO DI MOHR - SFORZI EFFETTIVI



PROVA TRIASSIALE C.I.U. - PIANO DI MOHR - SFORZI TOTALI



PROVA TRIASSIALE
SONDAGGIO S4 - CAMPIONE C1

h (falda)	h (provino)	γ	C'	ϕ'
(m)	(m)	(kN/m ³)	(kPa)	(°)
1.2	2.75	19.8	31	15.1

PROVA TRIASSIALE				
Cont.Press.	400			kPa
Press.Cell	500.00	600.00	700.00	kPa
Press.Rott.	129.84	183.46	301.96	kPa
U Rottura	443.10	424.43	401.4	kPa

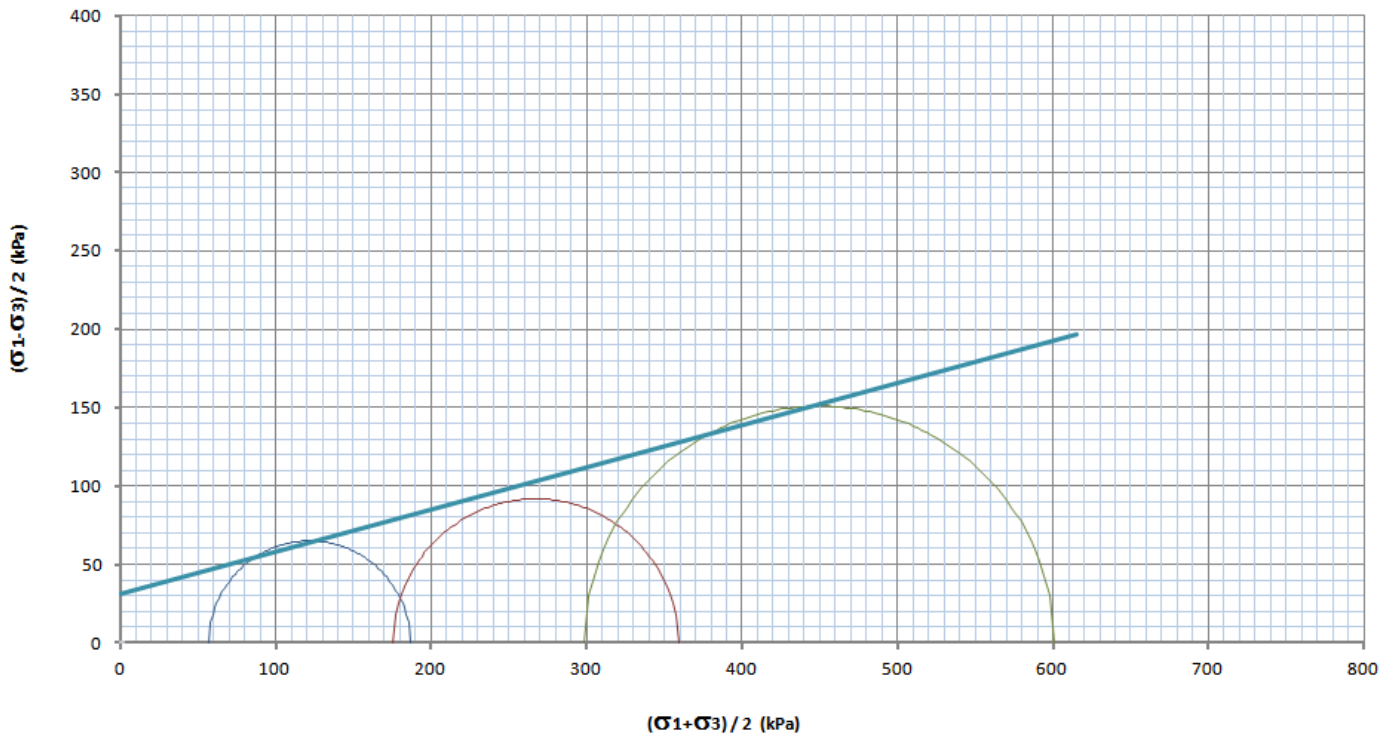
SFORZI EFFICACI			
	Minor Princ.Stress	Deviator stress	Major Princ.Stress
	(kPa)	(kPa)	(kPa)
	σ'_3	$(\sigma'_1 - \sigma'_3)$	σ'_1
Test 1	56.90	129.8	186.7
Test 2	175.57	183.5	359.0
Test 3	298.60	302.0	600.6

Cohesion =	31	kPa
phi =	15.1	°

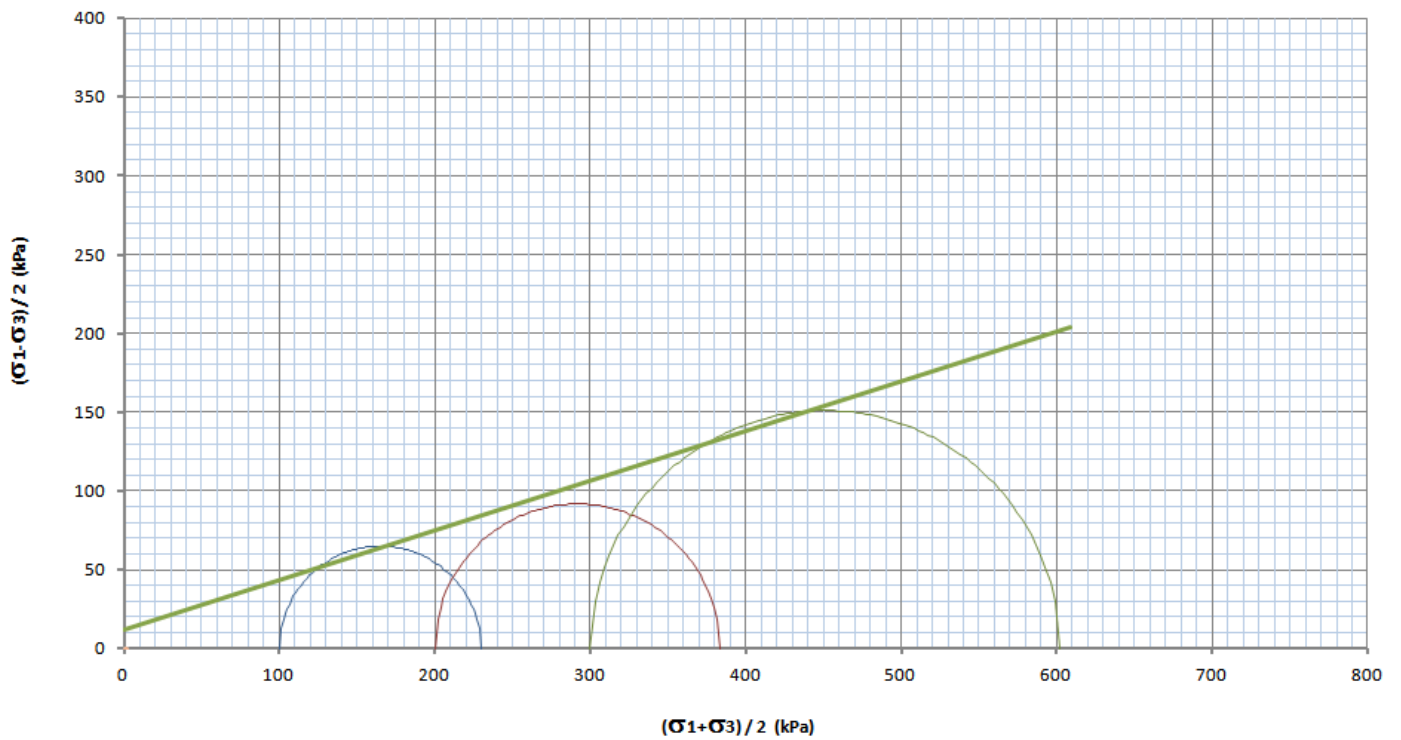
SFORZI TOTALI			
	Minor Princ.Stress	Deviator stress	Major Princ.Stress
	(kPa)	(kPa)	(kPa)
	σ_3	$(\sigma_1 - \sigma_3)$	σ_1
Test 1	100.00	129.8	229.8
Test 2	200.00	183.5	383.5
Test 3	300.00	302.0	602.0

Cohesion =	12	kPa
phi =	17.5	°

PROVA TRIASSIALE C.I.U. - PIANO DI MOHR - SFORZI EFFETTIVI



PROVA TRIASSIALE C.I.U. - PIANO DI MOHR - SFORZI TOTALI



PROVA TRIASSIALE
SONDAGGIO S4 - CAMPIONE C2

h (falda)	h (provino)	γ	C'	ϕ'
(m)	(m)	(kN/m ³)	(kPa)	(°)
1.2	5.75	18.8	11	16.3

PROVA TRIASSIALE				
Cont.Press.	400			kPa
Press.Cell	500.00	600.00	700.00	kPa
Press.Rott.	110.10	157.16	235.04	kPa
U Rottura	395.23	445.52	430.52	kPa

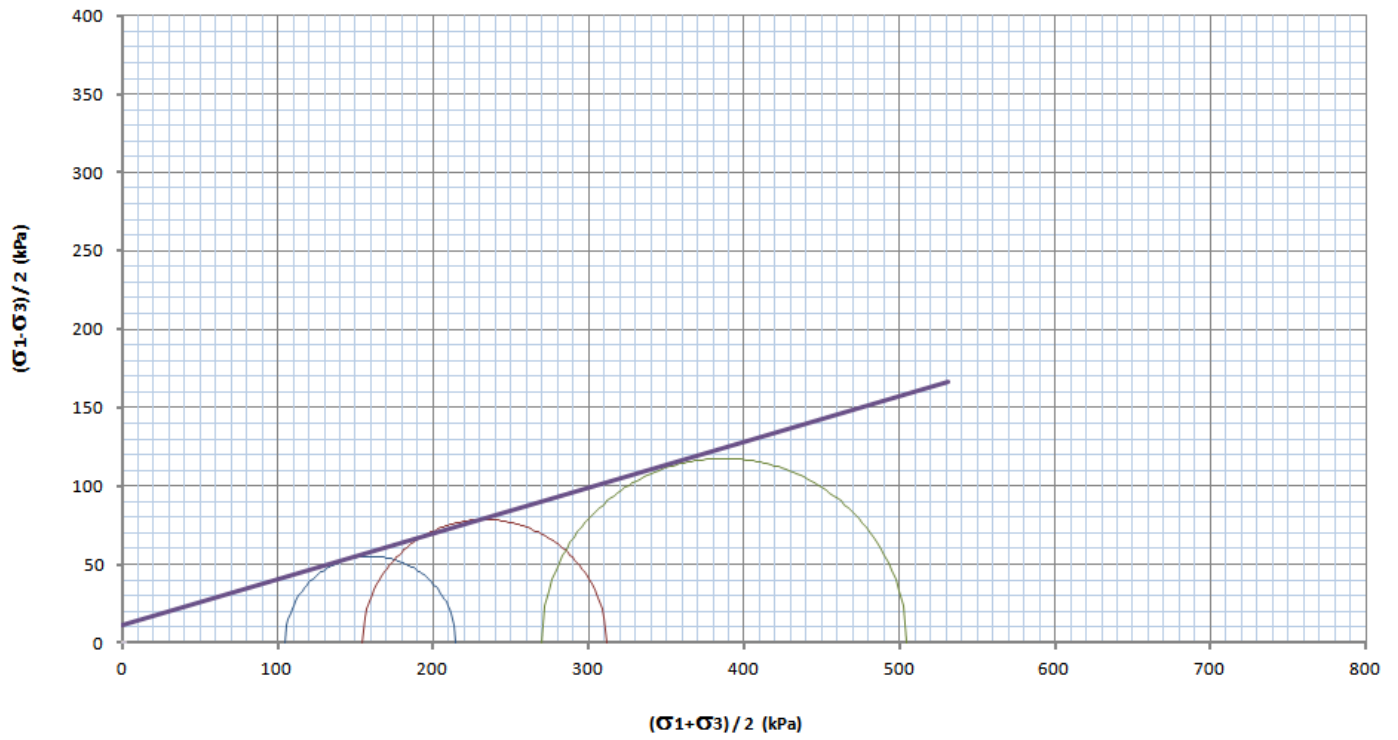
SFORZI EFFICACI			
	Minor Princ.Stress	Deviator stress	Major Princ.Stress
	(kPa)	(kPa)	(kPa)
	σ'_3	$(\sigma'_1 - \sigma'_3)$	σ'_1
Test 1	104.77	110.1	214.9
Test 2	154.48	157.2	311.6
Test 3	269.48	235.0	504.5

Cohesion = <input type="text" value="11"/> kPa
phi = <input type="text" value="16.3"/> °

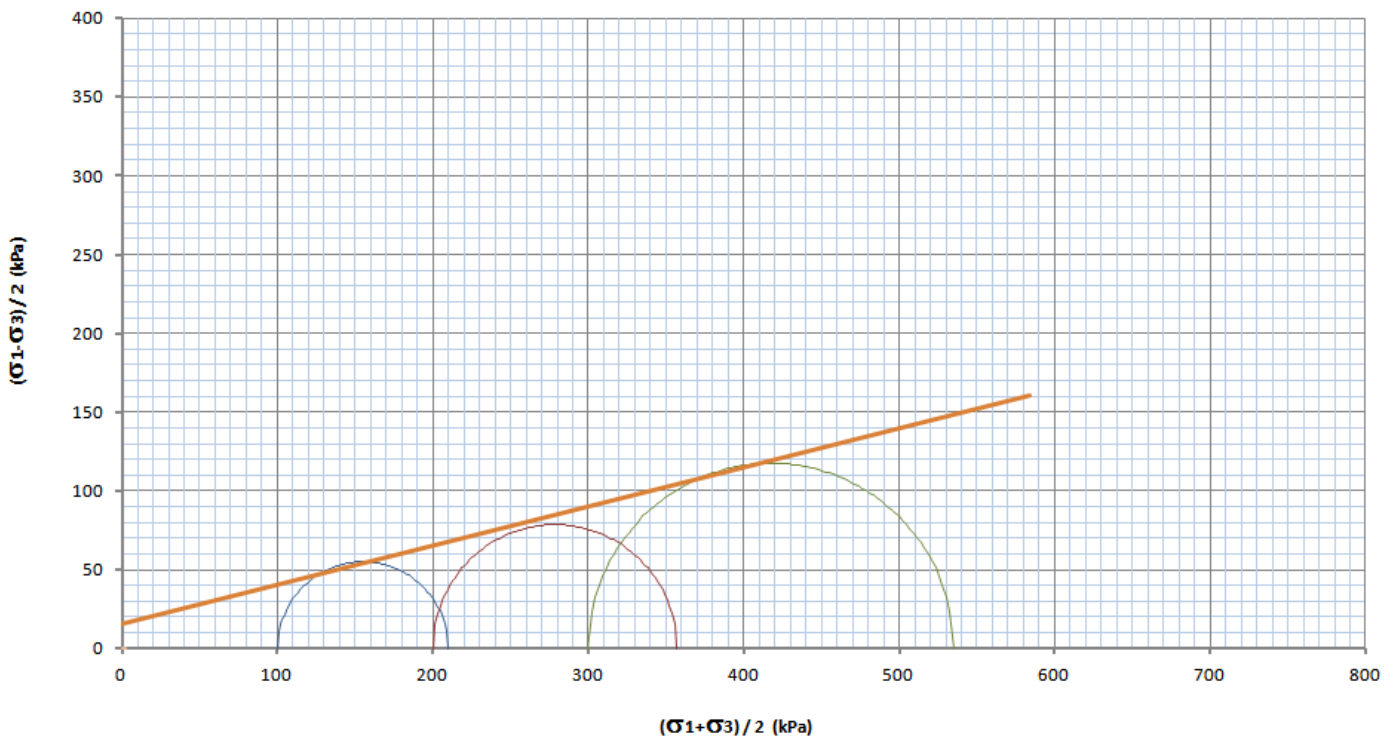
SFORZI TOTALI			
	Minor Princ.Stress	Deviator stress	Major Princ.Stress
	(kPa)	(kPa)	(kPa)
	σ_3	$(\sigma_1 - \sigma_3)$	σ_1
Test 1	100.00	110.1	210.1
Test 2	200.00	157.2	357.2
Test 3	300.00	235.0	535.0

Cohesion = <input type="text" value="16"/> kPa
phi = <input type="text" value="13.9"/> °

PROVA TRIASSIALE C.I.U. - PIANO DI MOHR - SFORZI EFFETTIVI



PROVA TRIASSIALE C.I.U. - PIANO DI MOHR - SFORZI TOTALI



PROVA TRIASSIALE
SONDAGGIO S4 - CAMPIONE C3

h (falda)	h (provino)	γ	C'	ϕ'
(m)	(m)	(kN/m ³)	(kPa)	(°)
1.2	8.25	20.1	21	23.6

PROVA TRIASSIALE				
Cont.Press.	500			kPa
Press.Cell	600.00	700.00	800.00	kPa
Press.Rott.	147.95	231.55	269.19	kPa
U Rottura	534.20	581.80	643.9	kPa

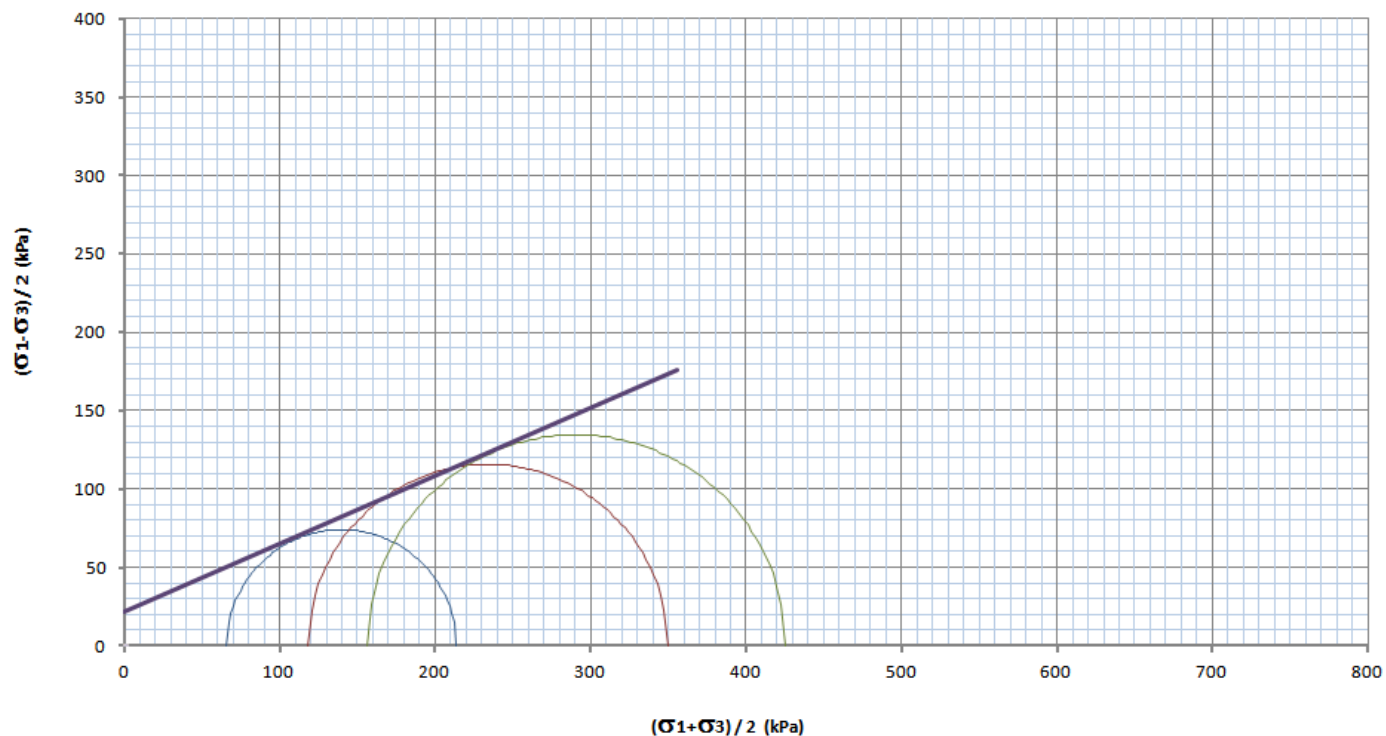
SFORZI EFFICACI			
	Minor Princ.Stress	Deviator stress	Major Princ.Stress
	(kPa)	(kPa)	(kPa)
	σ'_3	$(\sigma'_1 - \sigma'_3)$	σ'_1
Test 1	65.80	148.0	213.8
Test 2	118.20	231.6	349.8
Test 3	156.10	269.2	425.3

Cohesion =	21	kPa
phi =	23.6	°

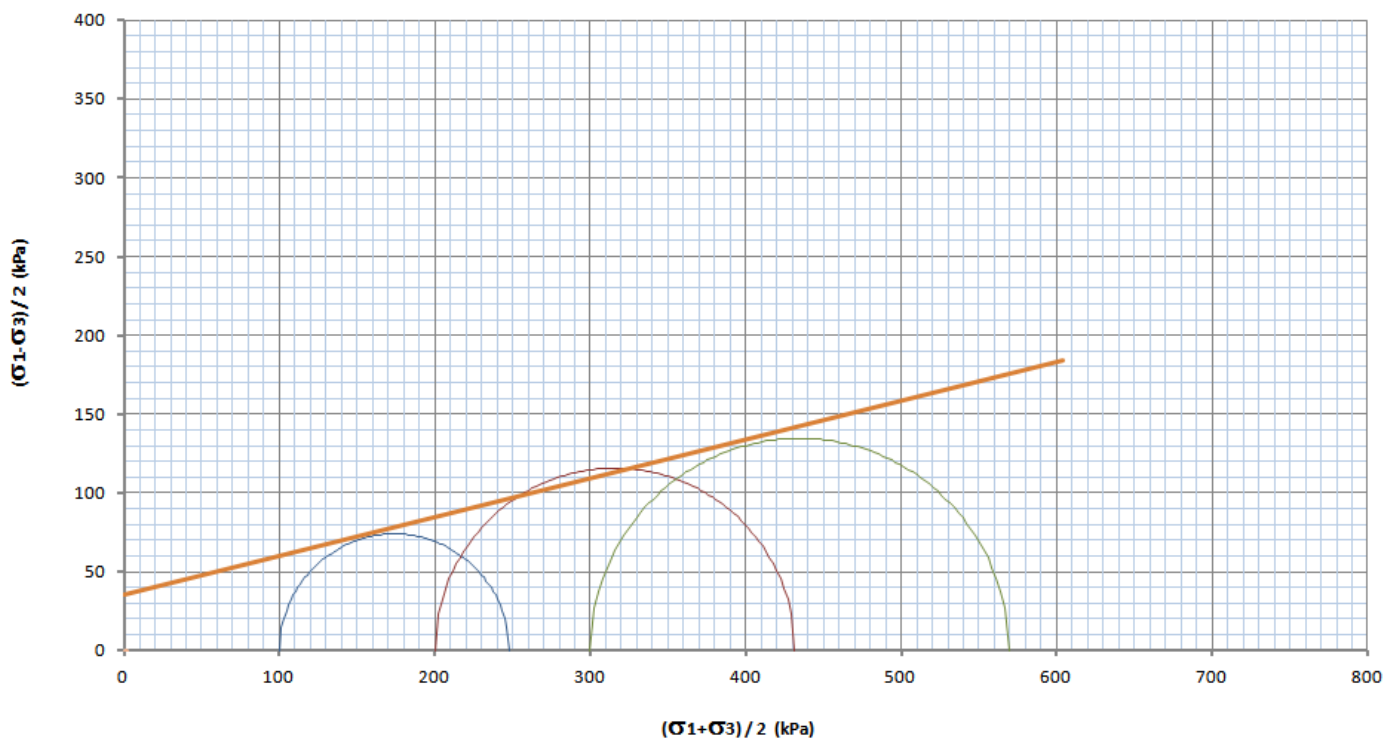
SFORZI TOTALI			
	Minor Princ.Stress	Deviator stress	Major Princ.Stress
	(kPa)	(kPa)	(kPa)
	σ_3	$(\sigma_1 - \sigma_3)$	σ_1
Test 1	100.00	148.0	248.0
Test 2	200.00	231.6	431.6
Test 3	300.00	269.2	569.2

Cohesion =	35	kPa
phi =	13.9	°

PROVA TRIASSIALE C.I.U. - PIANO DI MOHR - SFORZI EFFETTIVI



PROVA TRIASSIALE C.I.U. - PIANO DI MOHR - SFORZI TOTALI



PROVA TRIASSIALE
SONDAGGIO S4 - CAMPIONE C4

h (falda)	h (provino)	γ	C'	ϕ'
(m)	(m)	(kN/m ³)	(kPa)	(°)
1.2	23.25	19.3	16	27.4

PROVA TRIASSIALE				
Cont.Press.	300			kPa
Press.Cell	500.00	600.00	700.00	kPa
Press.Rott.	215.62	329.49	366.42	kPa
U Rottura	399.30	450.20	508.6	kPa

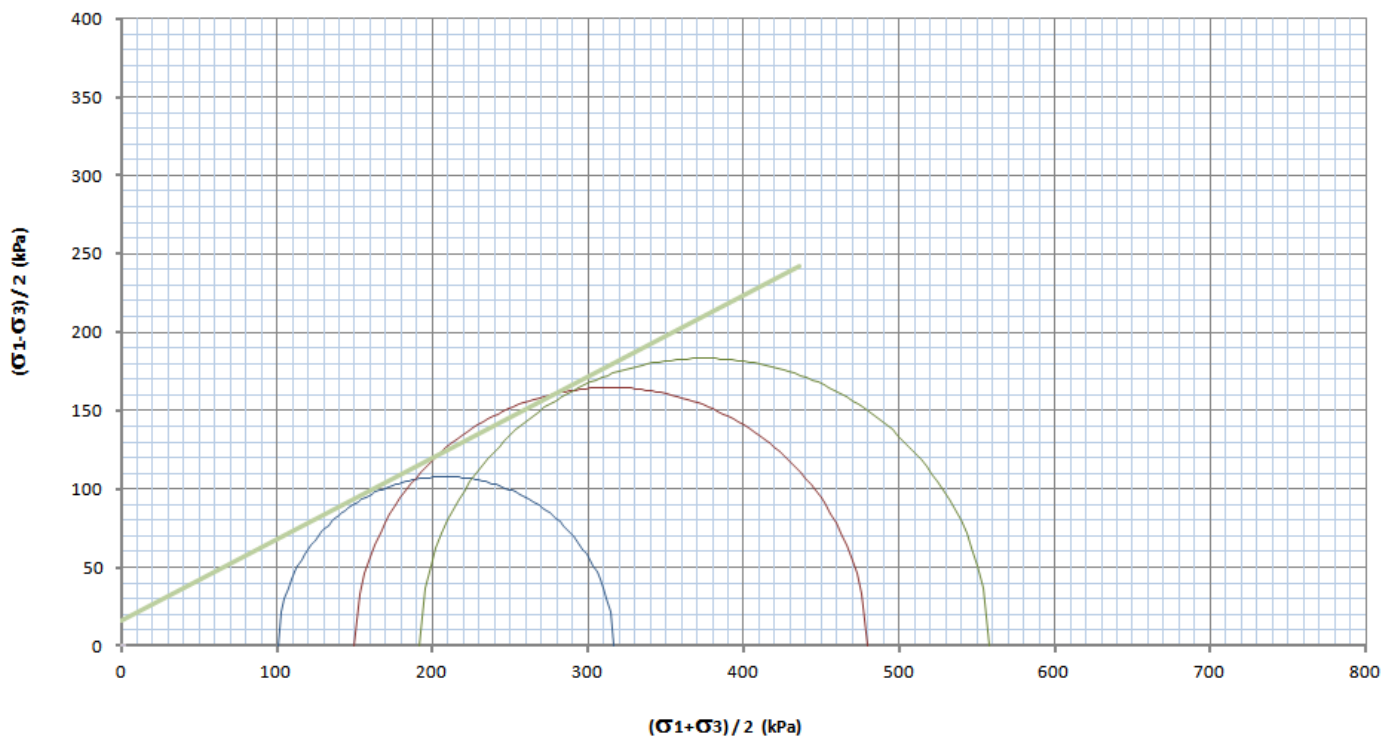
SFORZI EFFICACI			
	Minor Princ.Stress	Deviator stress	Major Princ.Stress
	(kPa)	(kPa)	(kPa)
	σ'_3	$(\sigma'_1 - \sigma'_3)$	σ'_1
Test 1	100.70	215.6	316.3
Test 2	149.80	329.5	479.3
Test 3	191.40	366.4	557.8

Cohesion =	16	kPa
phi =	27.4	°

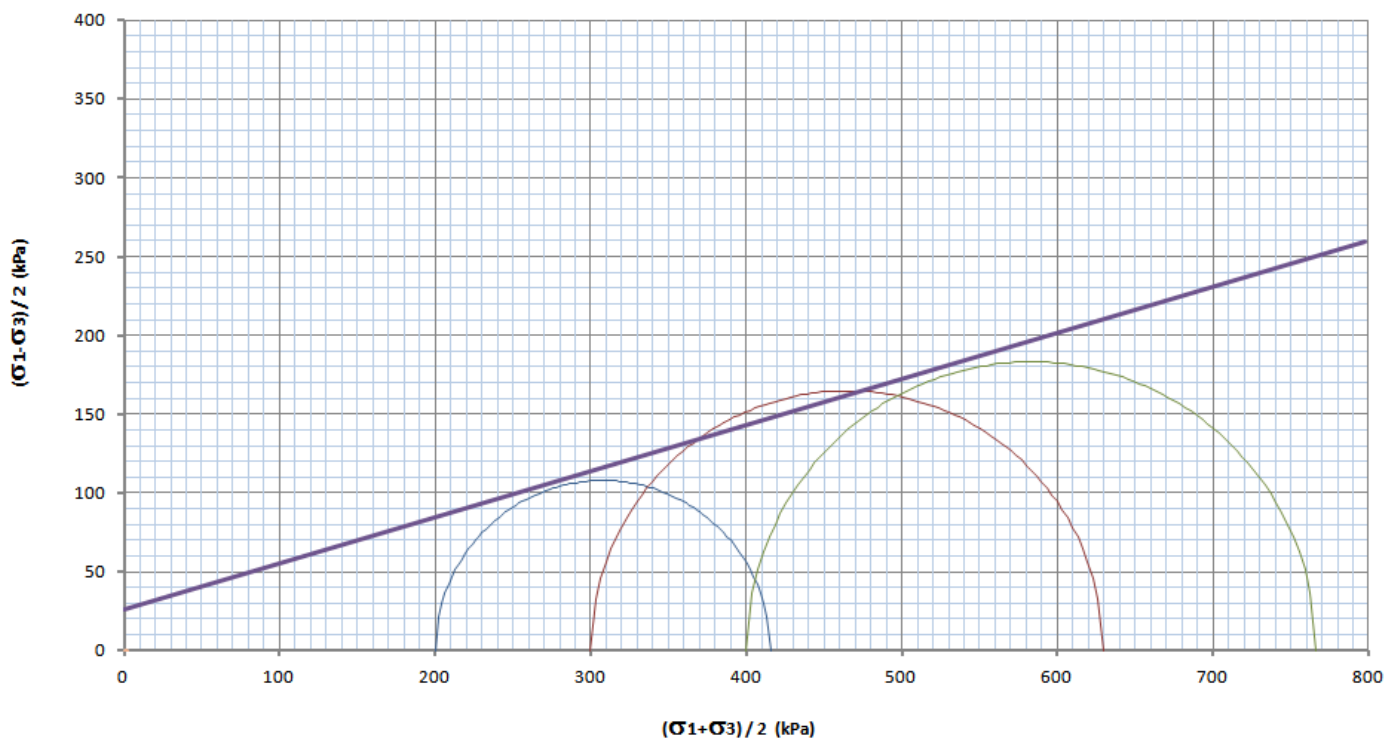
SFORZI TOTALI			
	Minor Princ.Stress	Deviator stress	Major Princ.Stress
	(kPa)	(kPa)	(kPa)
	σ_3	$(\sigma_1 - \sigma_3)$	σ_1
Test 1	200.00	215.6	415.6
Test 2	300.00	329.5	629.5
Test 3	400.00	366.4	766.4

Cohesion =	26	kPa
phi =	16.3	°

PROVA TRIASSIALE C.I.U. - PIANO DI MOHR - SFORZI EFFETTIVI



PROVA TRIASSIALE C.I.U. - PIANO DI MOHR - SFORZI TOTALI



PROVA TRIASSIALE
SONDAGGIO S4 - CAMPIONE C5

h (falda)	h (provino)	γ	C'	ϕ'
(m)	(m)	(kN/m ³)	(kPa)	(°)
1.2	26.45	19	1	27.4

PROVA TRIASSIALE				
Cont.Press.	300.00			kPa
Press.Cell	550.00	650.00	750.00	kPa
Press.Rott.	264.93	350.75	447.70	kPa
U Rottura	386.50	467.70	480.50	kPa

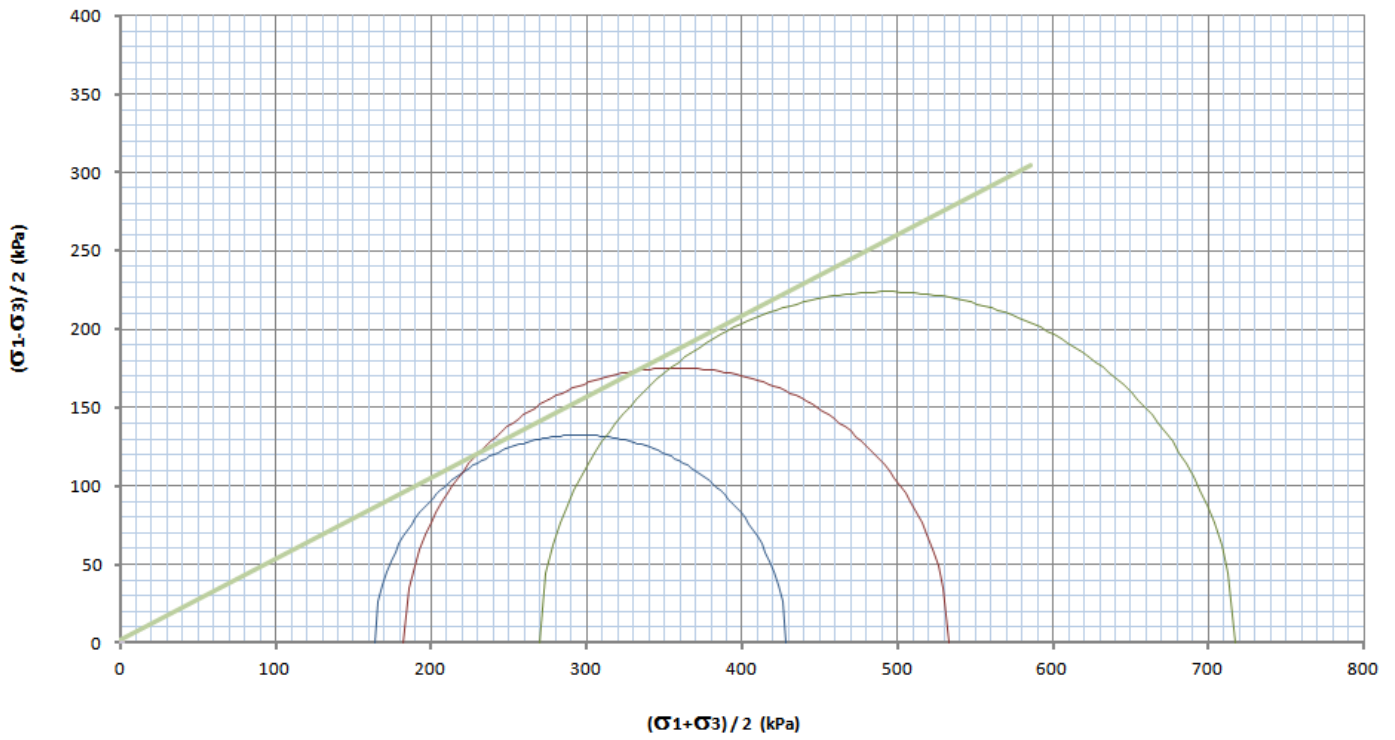
SFORZI EFFICACI			
	Minor Princ.Stress	Deviator stress	Major Princ.Stress
	(kPa)	(kPa)	(kPa)
	σ'_3	$(\sigma'_1 - \sigma'_3)$	σ'_1
Test 1	163.50	264.9	428.4
Test 2	182.30	350.8	533.1
Test 3	269.50	447.7	717.2

Cohesion =	1	kPa
phi =	27.4	°

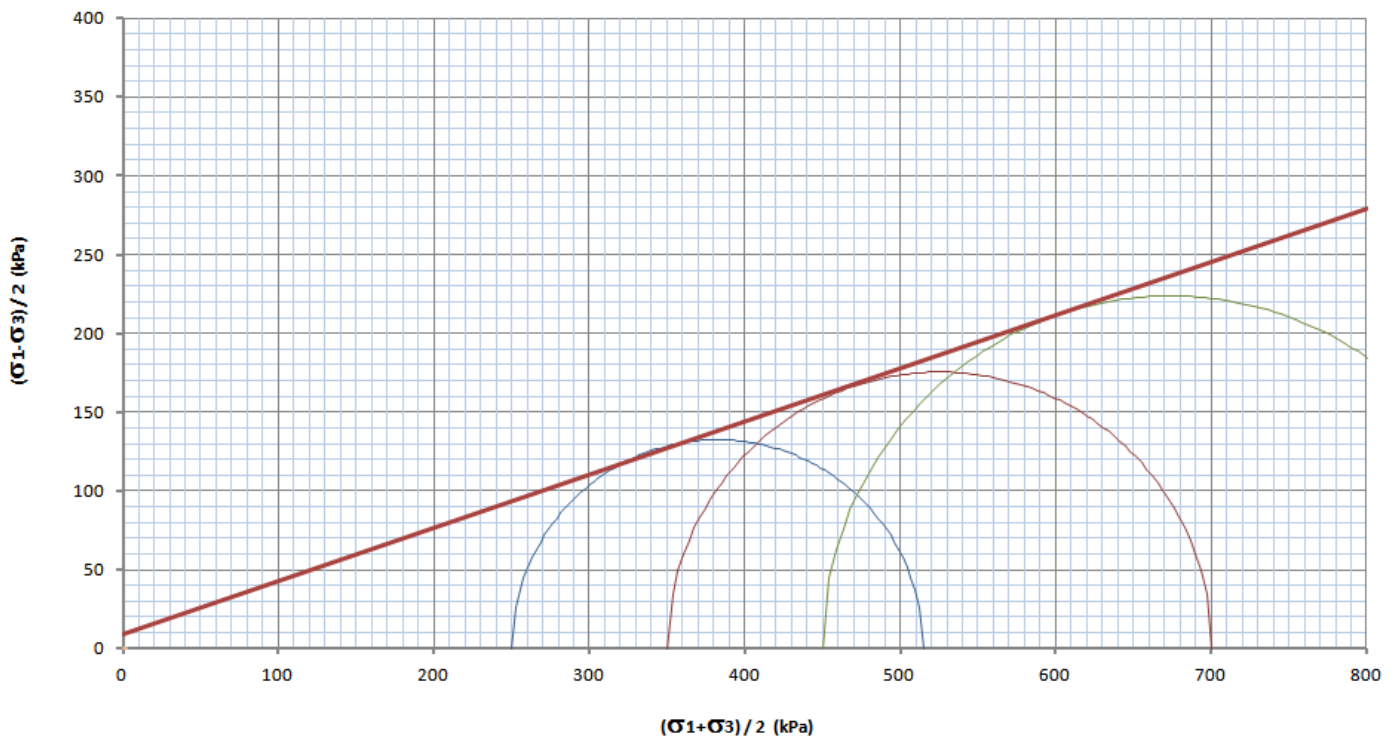
SFORZI TOTALI			
	Minor Princ.Stress	Deviator stress	Major Princ.Stress
	(kPa)	(kPa)	(kPa)
	σ_3	$(\sigma_1 - \sigma_3)$	σ_1
Test 1	250.00	264.9	514.9
Test 2	350.00	350.8	700.8
Test 3	450.00	447.7	897.7

Cohesion =	9	kPa
phi =	18.7	°

PROVA TRIASSIALE C.I.U. - PIANO DI MOHR - SFORZI EFFETTIVI



PROVA TRIASSIALE C.I.U. - PIANI DI MOHR - SFORZI TOTALI



PROVA TRIASSIALE
SONDAGGIO S4 - CAMPIONE C6

h (falda)	h (provino)	γ	C'	ϕ'
(m)	(m)	(kN/m ³)	(kPa)	(°)
1.2	30.3	19.9	17	28.7

PROVA TRIASSIALE				
Cont.Press.	300.00			kPa
Press.Cell	550.00	650.00	750.00	kPa
Press.Rott.	310.25	379.70	461.57	kPa
U Rottura	415.40	475.10	531.00	kPa

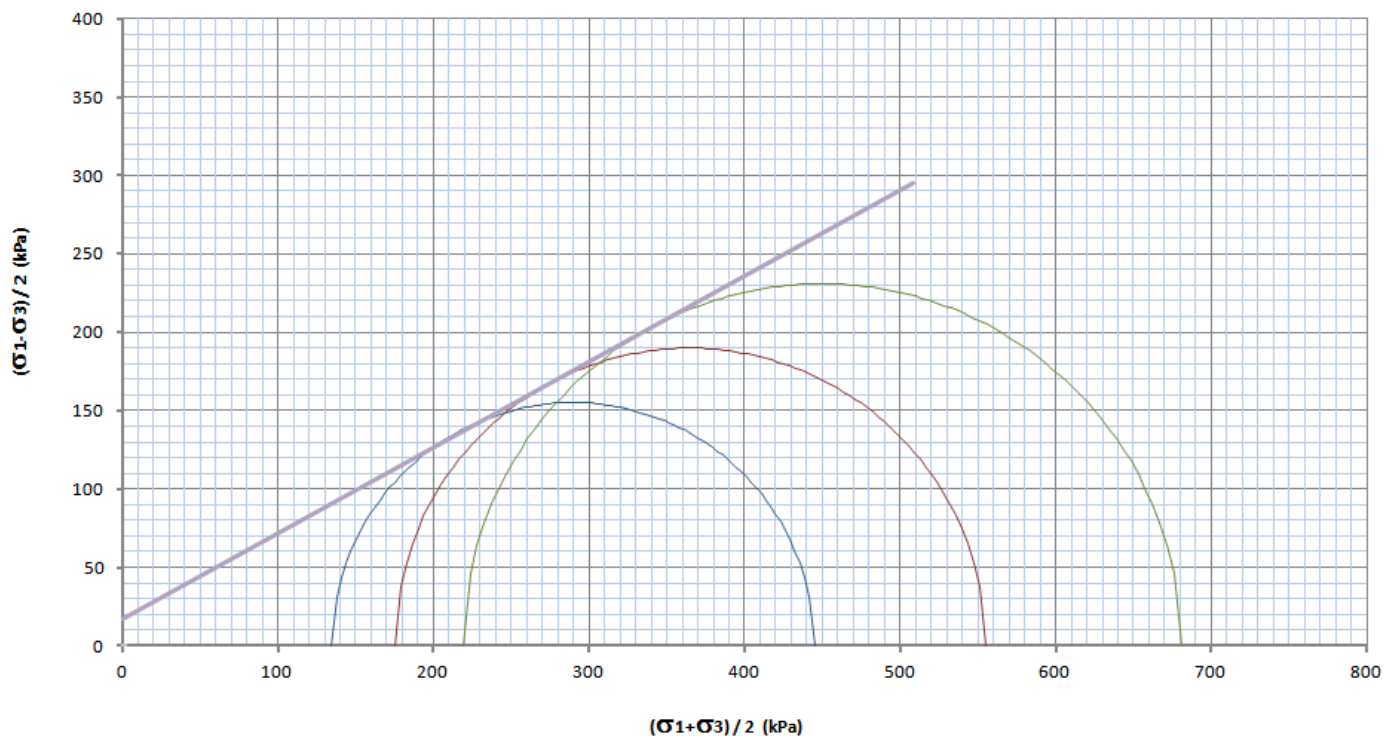
SFORZI EFFICACI			
	Minor Princ.Stress	Deviator stress	Major Princ.Stress
	(kPa)	(kPa)	(kPa)
	σ'_3	$(\sigma'_1 - \sigma'_3)$	σ'_1
Test 1	134.60	310.3	444.9
Test 2	174.90	379.7	554.6
Test 3	219.00	461.6	680.6

Cohesion =	17	kPa
phi =	28.7	°

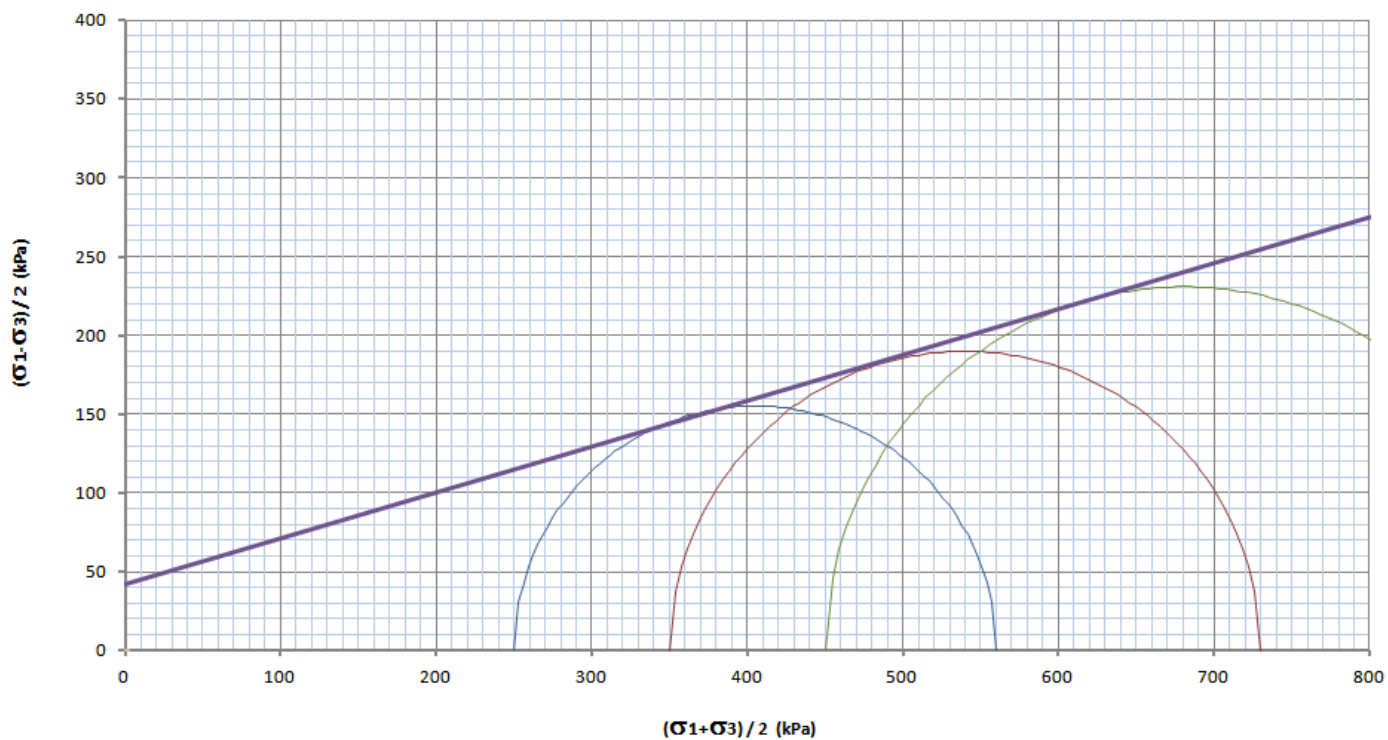
SFORZI TOTALI			
	Minor Princ.Stress	Deviator stress	Major Princ.Stress
	(kPa)	(kPa)	(kPa)
	σ_3	$(\sigma_1 - \sigma_3)$	σ_1
Test 1	250.00	310.3	560.3
Test 2	350.00	379.7	729.7
Test 3	450.00	461.6	911.6

Cohesion =	42	kPa
phi =	16.3	°

PROVA TRIASSIALE C.I.U. - PIANO DI MOHR - SFORZI EFFETTIVI



PROVA TRIASSIALE C.I.U. - PIANO DI MOHR - SFORZI TOTALI



PROVA TRIASSIALE
SONDAGGIO S4 - CAMPIONE C7

h (falda)	h (provino)	γ	C'	ϕ'
(m)	(m)	(kN/m ³)	(kPa)	(°)
1.2	30.3	19.9	13	30.0

PROVA TRIASSIALE				
Cont.Press.	300.00			kPa
Press.Cell	500.00	650.00	800.00	kPa
Press.Rott.	271.29	363.73	452.52	kPa
U Rottura	388.80	482.59	602.60	kPa

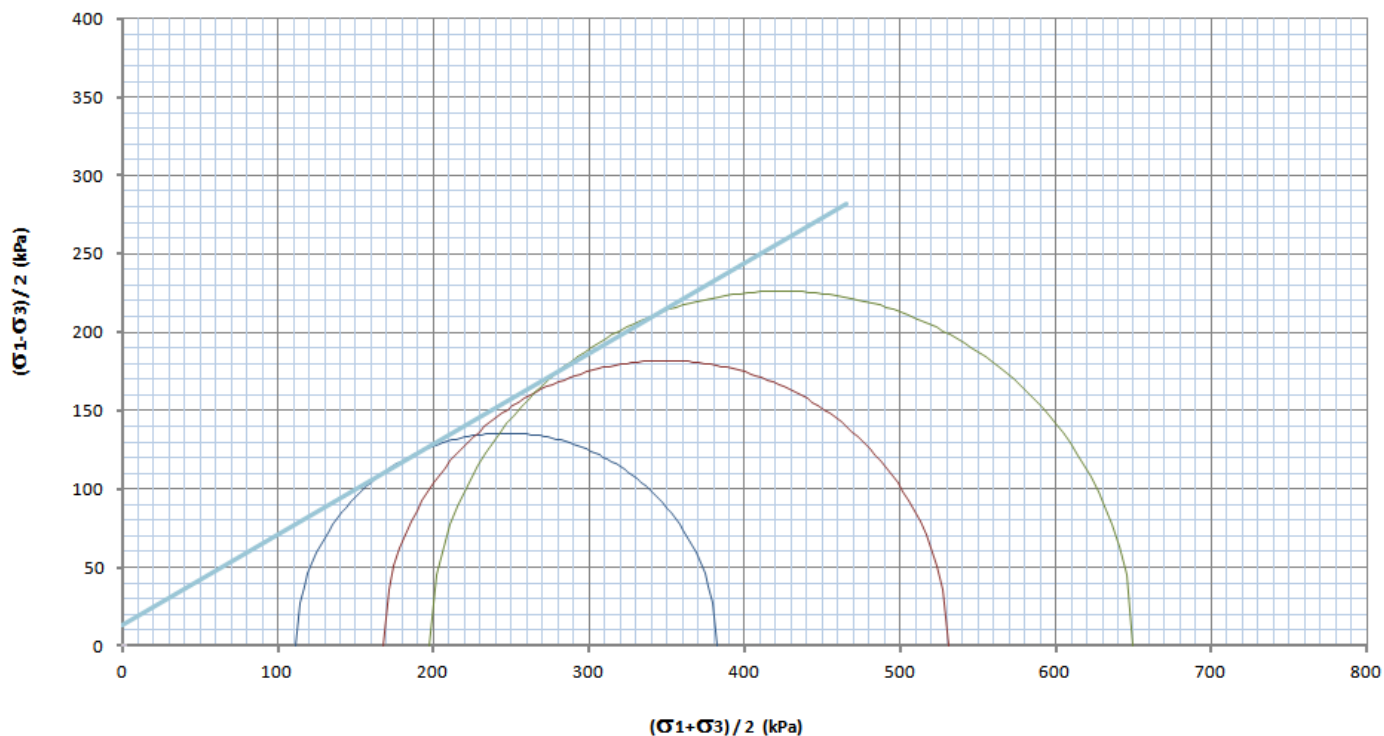
SFORZI EFFICACI			
	Minor Princ.Stress	Deviator stress	Major Princ.Stress
	(kPa)	(kPa)	(kPa)
	σ'_3	$(\sigma'_1 - \sigma'_3)$	σ'_1
Test 1	111.20	271.3	382.5
Test 2	167.41	363.7	531.1
Test 3	197.40	452.5	649.9

Cohesion =	13	kPa
phi =	30.0	°

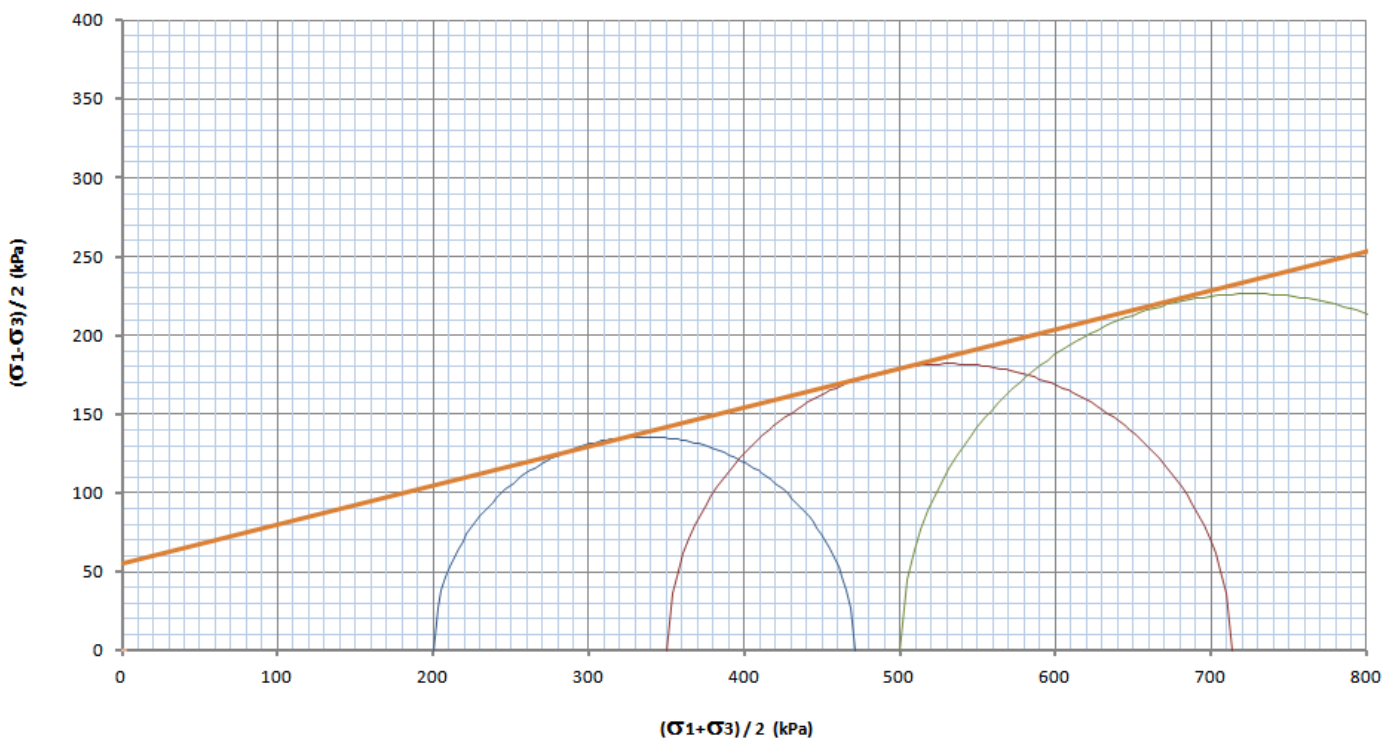
SFORZI TOTALI			
	Minor Princ.Stress	Deviator stress	Major Princ.Stress
	(kPa)	(kPa)	(kPa)
	σ_3	$(\sigma_1 - \sigma_3)$	σ_1
Test 1	200.00	271.3	471.3
Test 2	350.00	363.7	713.7
Test 3	500.00	452.5	952.5

Cohesion =	55	kPa
phi =	13.9	°

PROVA TRIASSIALE C.I.U. - PIANO DI MOHR - SFORZI EFFETTIVI



PROVA TRIASSIALE C.I.U. - PIANO DI MOHR - SFORZI TOTALI



PROVA TRIASSIALE
SONDAGGIO S5 - CAMPIONE C1

h (falda)	h (provino)	γ	C'	ϕ'
(m)	(m)	(kN/m ³)	(kPa)	(°)
2.9	2.25	19.6	9	27.4

PROVA TRIASSIALE				
Cont.Press.	400			kPa
Press.Cell	500.00	600.00	700.00	kPa
Press.Rott.	252.80	307.34	382.05	kPa
U Rottura	367.38	438.80	493.60	kPa

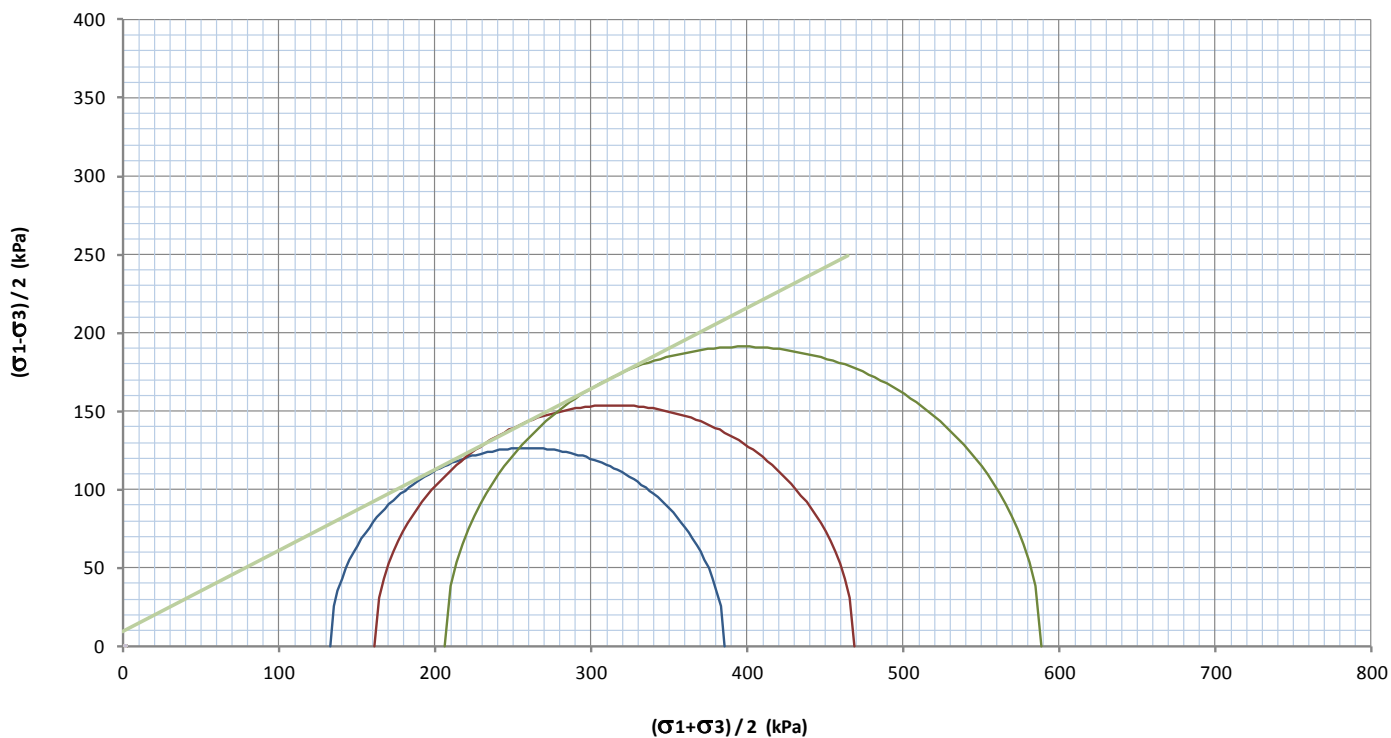
SFORZI EFFICACI			
	Minor Princ.Stress	Deviator stress	Major Princ.Stress
	(kPa)	(kPa)	(kPa)
	σ'_3	$(\sigma'_1 - \sigma'_3)$	σ'_1
Test 1	132.62	252.8	385.4
Test 2	161.20	307.3	468.5
Test 3	206.40	382.1	588.5

Cohesion =	9	kPa
phi =	27.4	°

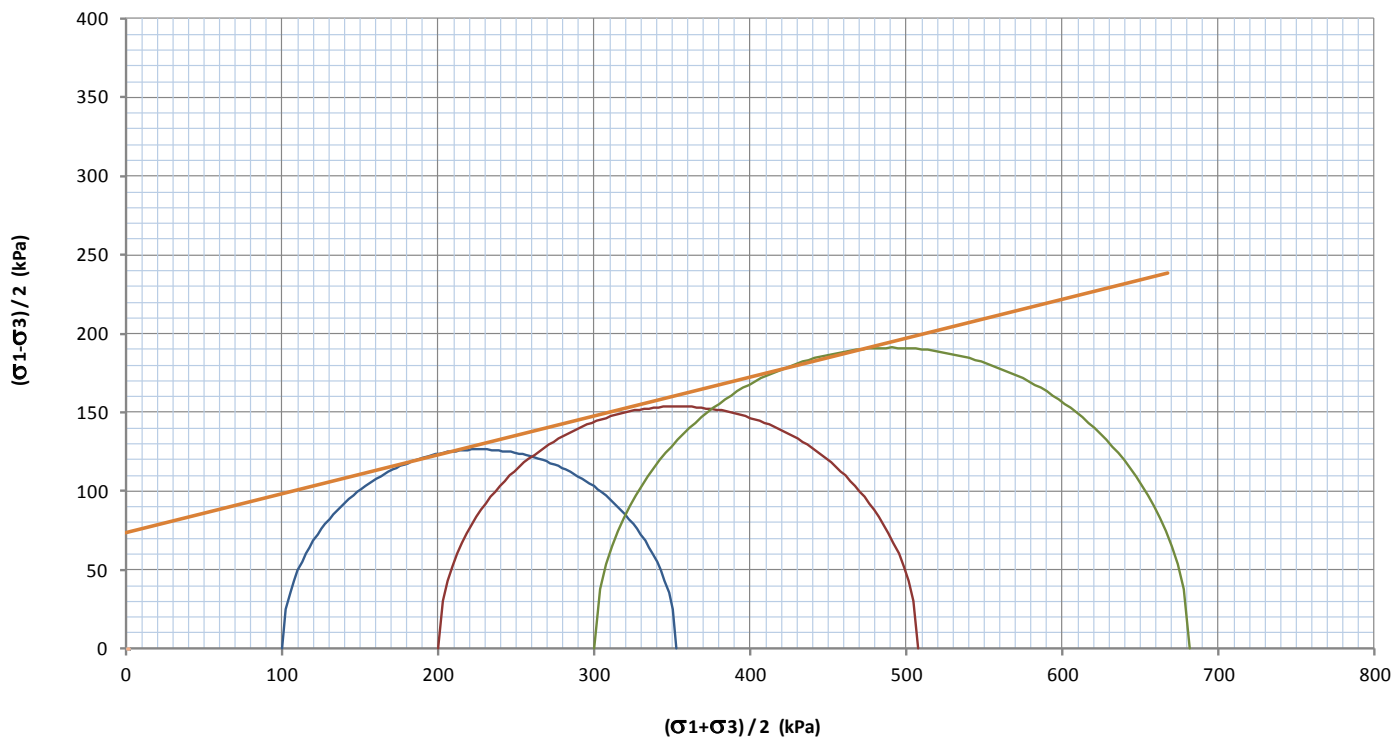
SFORZI TOTALI			
	Minor Princ.Stress	Deviator stress	Major Princ.Stress
	(kPa)	(kPa)	(kPa)
	σ_3	$(\sigma_1 - \sigma_3)$	σ_1
Test 1	100.00	252.8	352.8
Test 2	200.00	307.3	507.3
Test 3	300.00	382.1	682.1

Cohesion =	74	kPa
phi =	13.9	°

PROVA TRIASSIALE C.I.U. - PIANO DI MOHR - SFORZI EFFETTIVI



PROVA TRIASSIALE C.I.U. - PIANO DI MOHR - SFORZI TOTALI



PROVA TRIASSIALE
SONDAGGIO S5 - CAMPIONE C2

h (falda)	h (provino)	γ	C'	ϕ'
(m)	(m)	(kN/m ³)	(kPa)	(°)
2.9	5.75	18.8	18	21.1

PROVA TRIASSIALE				
Cont.Press.	300.00			kPa
Press.Cell	400.00	500.00	600.00	kPa
Press.Rott.	112.70	178.83	247.30	kPa
U Rottura	345.00	389.70	429.50	kPa

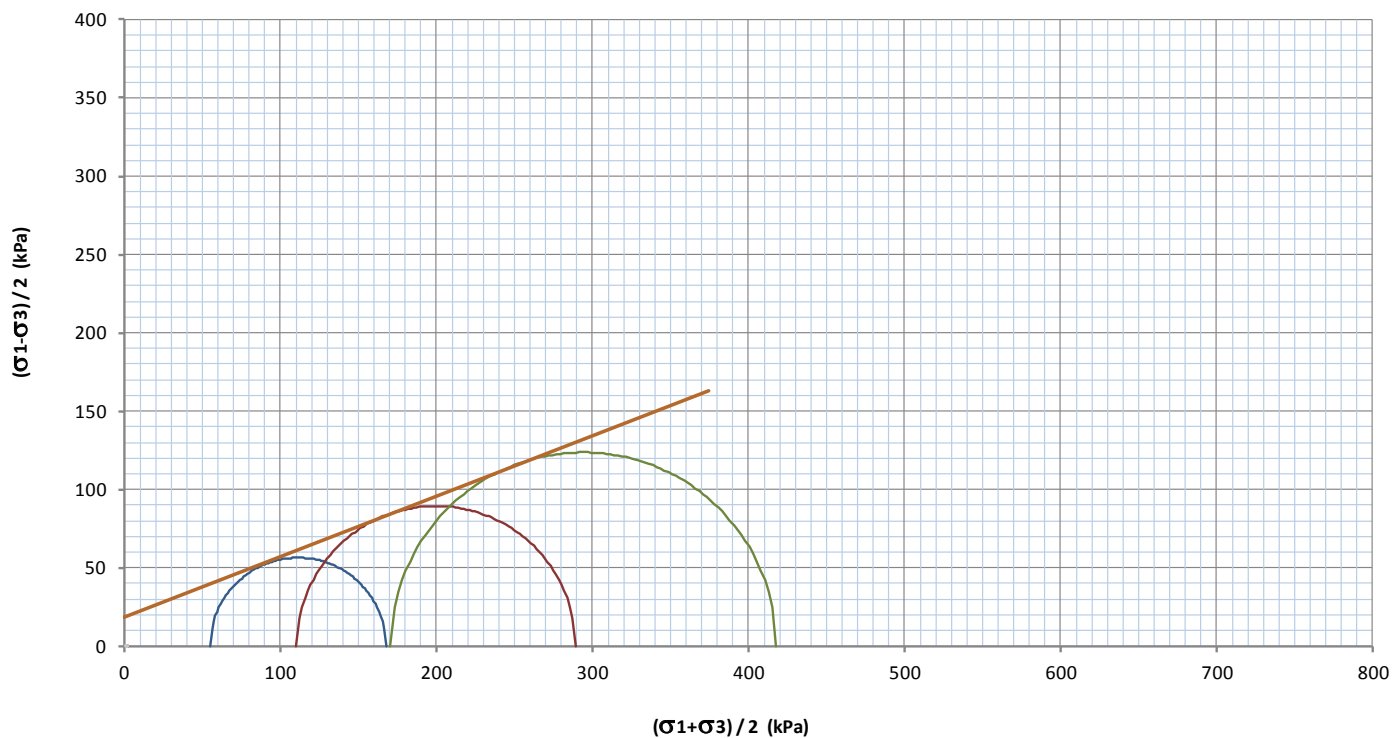
SFORZI EFFICACI			
	Minor Princ. Stress	Deviator stress	Major Princ. Stress
	(kPa)	(kPa)	(kPa)
	σ'_3	$(\sigma'_1 - \sigma'_3)$	σ'_1
Test 1	55.00	112.7	167.7
Test 2	110.30	178.8	289.1
Test 3	170.50	247.3	417.8

Cohesion =	18	kPa
phi =	21.1	°

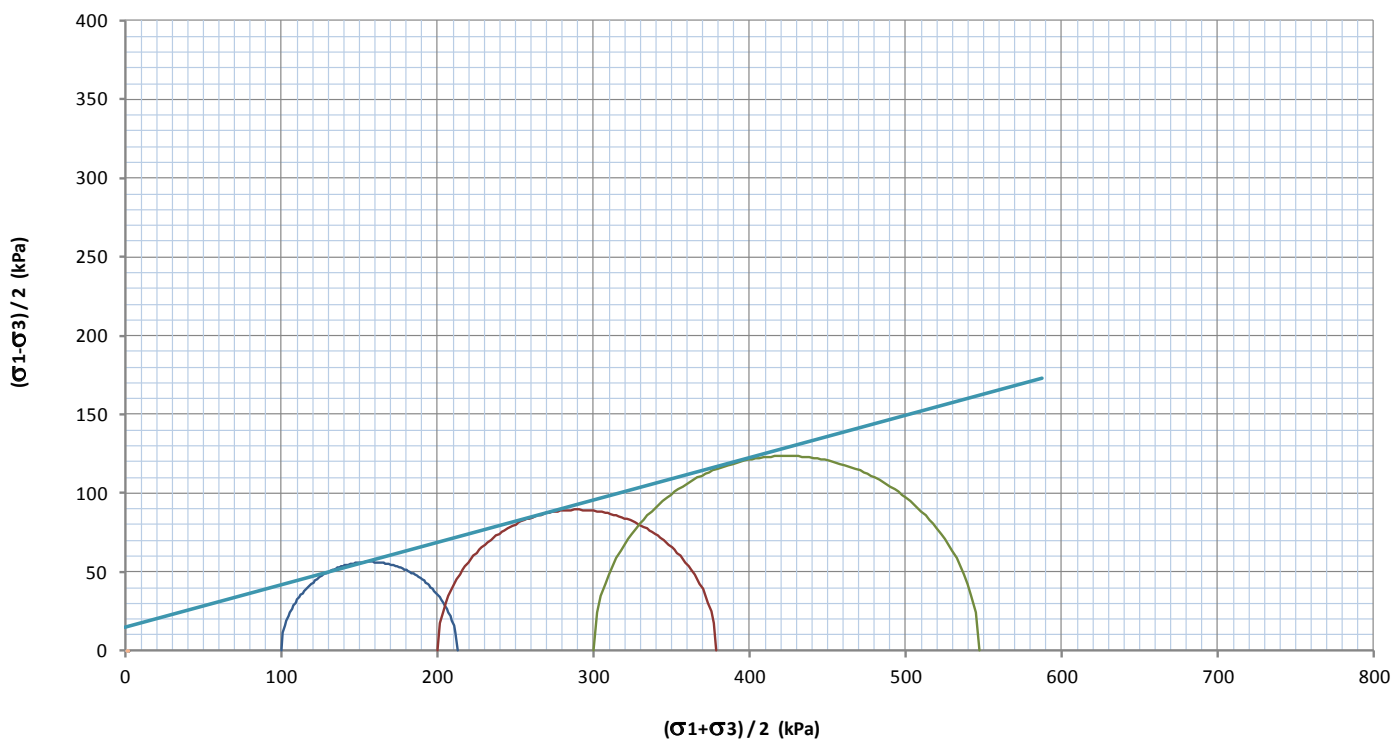
SFORZI TOTALI			
	Minor Princ. Stress	Deviator stress	Major Princ. Stress
	(kPa)	(kPa)	(kPa)
	σ_3	$(\sigma_1 - \sigma_3)$	σ_1
Test 1	100.00	112.7	212.7
Test 2	200.00	178.8	378.8
Test 3	300.00	247.3	547.3

Cohesion =	15	kPa
phi =	15.1	°

PROVA TRIASSIALE C.I.U. - PIANO DI MOHR - SFORZI EFFETTIVI



PROVA TRIASSIALE C.I.U. - PIANO DI MOHR - SFORZI TOTALI



PROVA TRIASSIALE
SONDAGGIO S5 - CAMPIONE C3

h (falda)	h (provino)	γ	C'	ϕ'
(m)	(m)	(kN/m ³)	(kPa)	(°)
2.9	7.25	19.7	67	22.3

PROVA TRIASSIALE				
Cont.Press.	300.00			kPa
Press.Cell	400.00	500.00	600.00	kPa
Press.Rott.	314.81	410.38	456.00	kPa
U Rottura	303.12	338.47	384.60	kPa

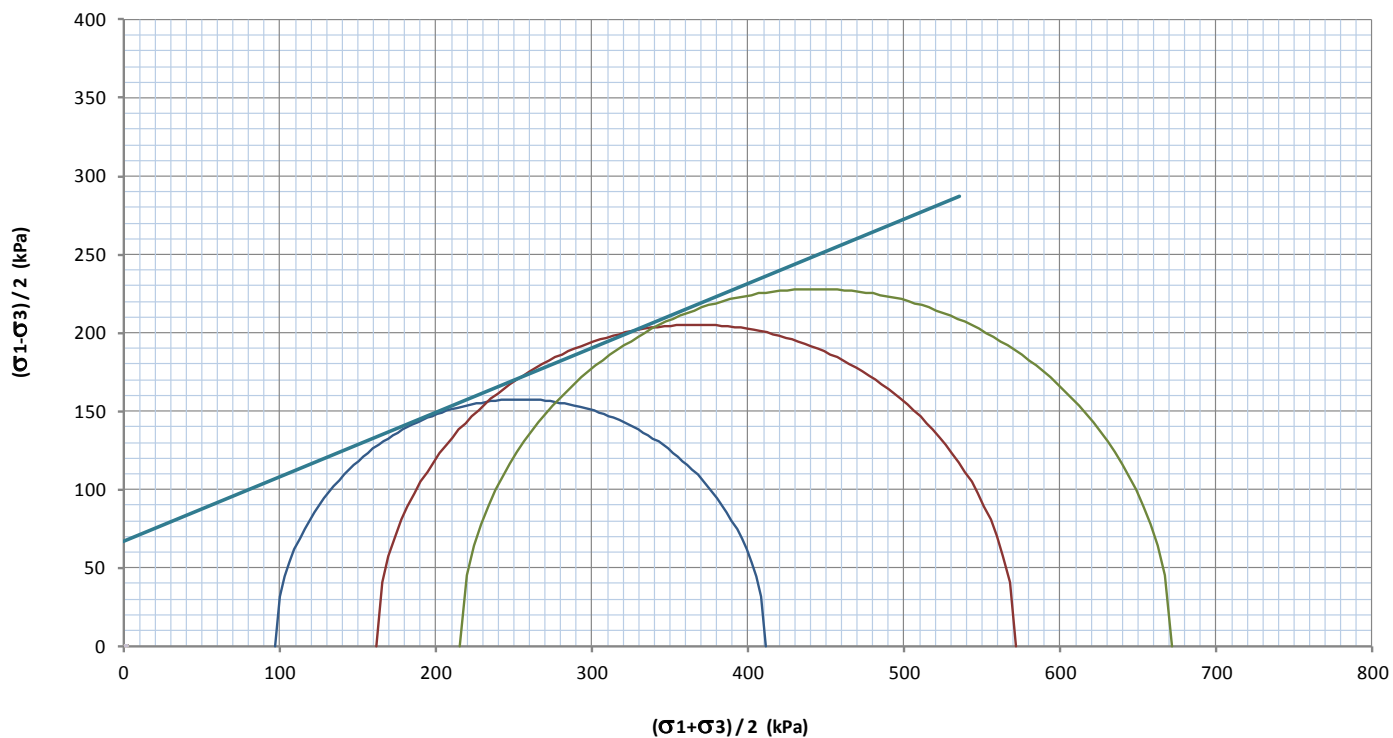
SFORZI EFFICACI			
	Minor Princ.Stress	Deviator stress	Major Princ.Stress
	(kPa)	(kPa)	(kPa)
	σ'_3	$(\sigma'_1 - \sigma'_3)$	σ'_1
Test 1	96.88	314.8	411.7
Test 2	161.53	410.4	571.9
Test 3	215.40	456.0	671.4

Cohesion =	67	kPa
phi =	22.3	°

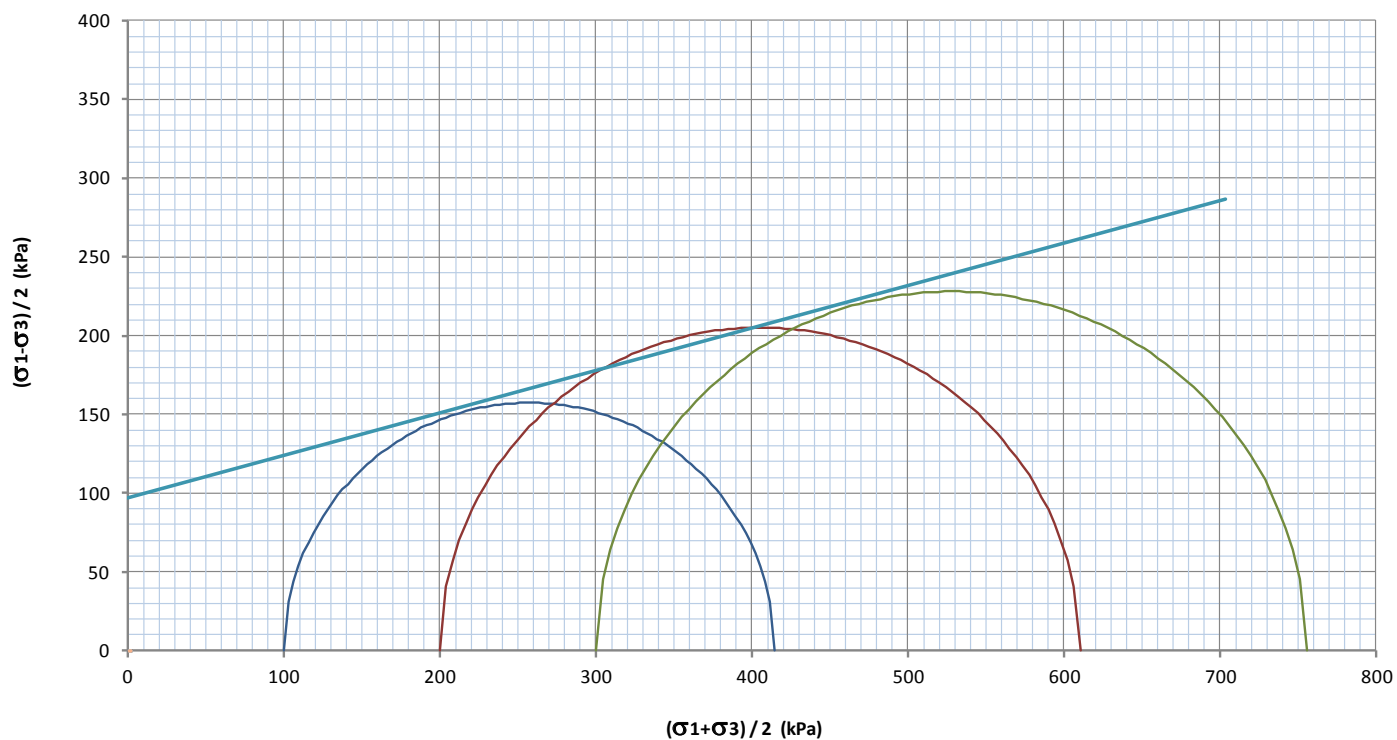
SFORZI TOTALI			
	Minor Princ.Stress	Deviator stress	Major Princ.Stress
	(kPa)	(kPa)	(kPa)
	σ_3	$(\sigma_1 - \sigma_3)$	σ_1
Test 1	100.00	314.8	414.8
Test 2	200.00	410.4	610.4
Test 3	300.00	456.0	756.0

Cohesion =	97	kPa
phi =	15.1	°

PROVA TRIASSIALE C.I.U. - PIANO DI MOHR - SFORZI EFFETTIVI



PROVA TRIASSIALE C.I.U. - PIANO DI MOHR - SFORZI TOTALI



PROVA TRIASSIALE
SONDAGGIO S6 - CAMPIONE C1

h (falda)	h (provino)	γ	C'	ϕ'
(m)	(m)	(kN/m ³)	(kPa)	(°)
4.4	3.75	18.2	1	34.1

PROVA TRIASSIALE				
Cont.Press.	300			kPa
Press.Cell	400.00	500.00	600.00	kPa
Press.Rott.	143.44	221.91	282.48	kPa
U Rottura	341.30	420.40	487.00	kPa

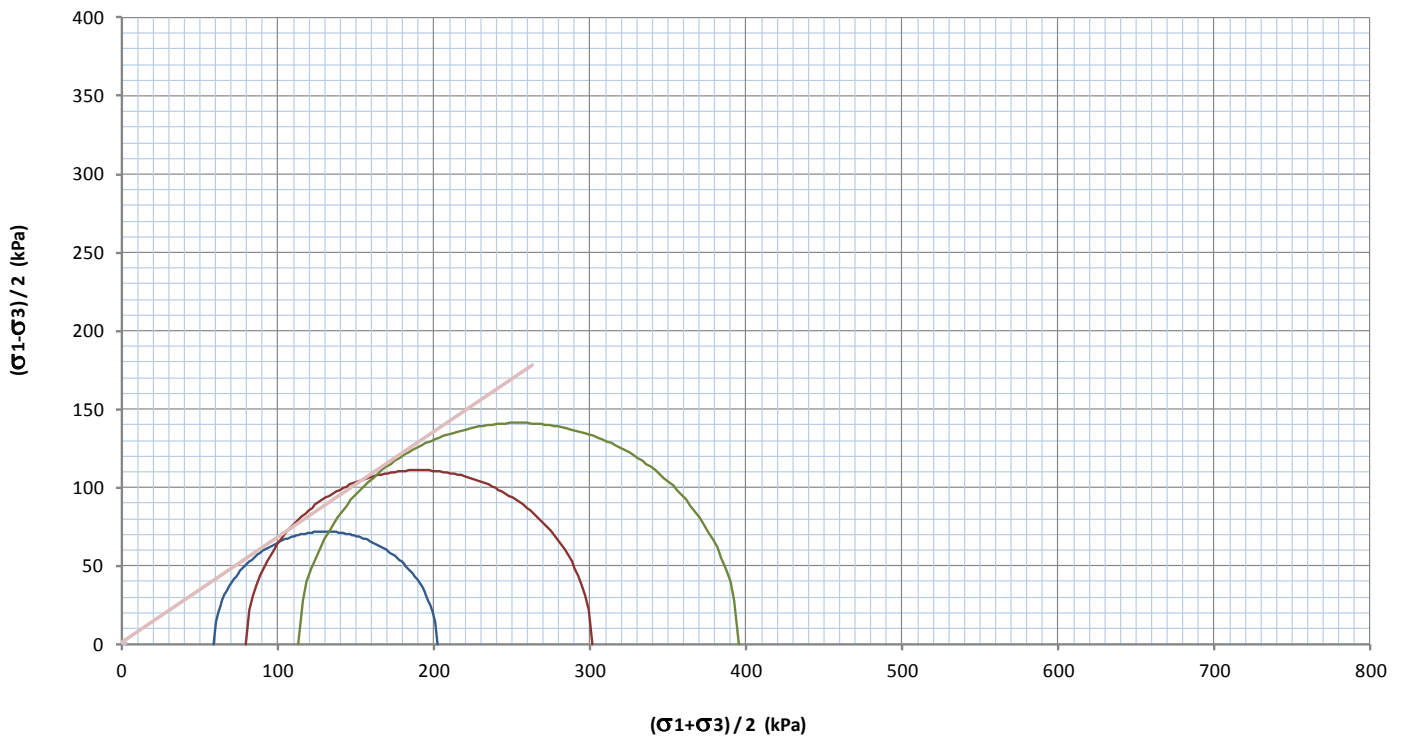
SFORZI EFFICACI			
	Minor Princ.Stress	Deviator stress	Major Princ.Stress
	(kPa)	(kPa)	(kPa)
	σ'_3	$(\sigma'_1 - \sigma'_3)$	σ'_1
Test 1	58.70	143.4	202.1
Test 2	79.60	221.9	301.5
Test 3	113.00	282.5	395.5

Cohesion =	1	kPa
phi =	34.1	°

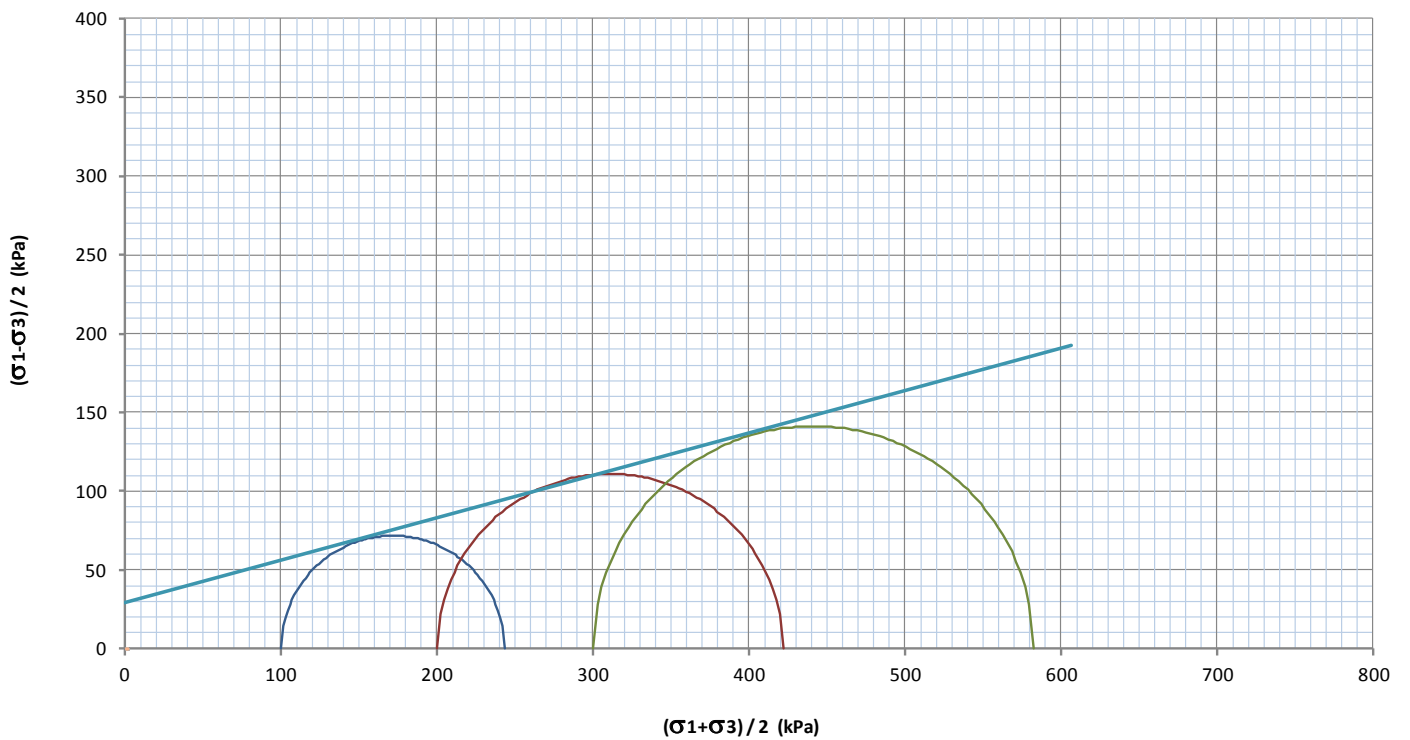
SFORZI TOTALI			
	Minor Princ.Stress	Deviator stress	Major Princ.Stress
	(kPa)	(kPa)	(kPa)
	σ_3	$(\sigma_1 - \sigma_3)$	σ_1
Test 1	100.00	143.4	243.4
Test 2	200.00	221.9	421.9
Test 3	300.00	282.5	582.5

Cohesion =	29	kPa
phi =	15.1	°

PROVA TRIASSIALE C.I.U. - PIANO DI MOHR - SFORZI EFFETTIVI



PROVA TRIASSIALE C.I.U. - PIANO DI MOHR - SFORZI TOTALI



PROVA TRIASSIALE
SONDAGGIO S6 - CAMPIONE C2

h (falda)	h (provino)	γ	C'	ϕ'
(m)	(m)	(kN/m ³)	(kPa)	(°)
4.4	6.75	18.8	17	24.9
PROVA TRIASSIALE				
Cont.Press.	300			kPa
Press.Cell	400.00	500.00	600.00	kPa
Press.Rott.	140.14	190.20	259.70	kPa
U Rottura	338.30	405.31	459.10	kPa

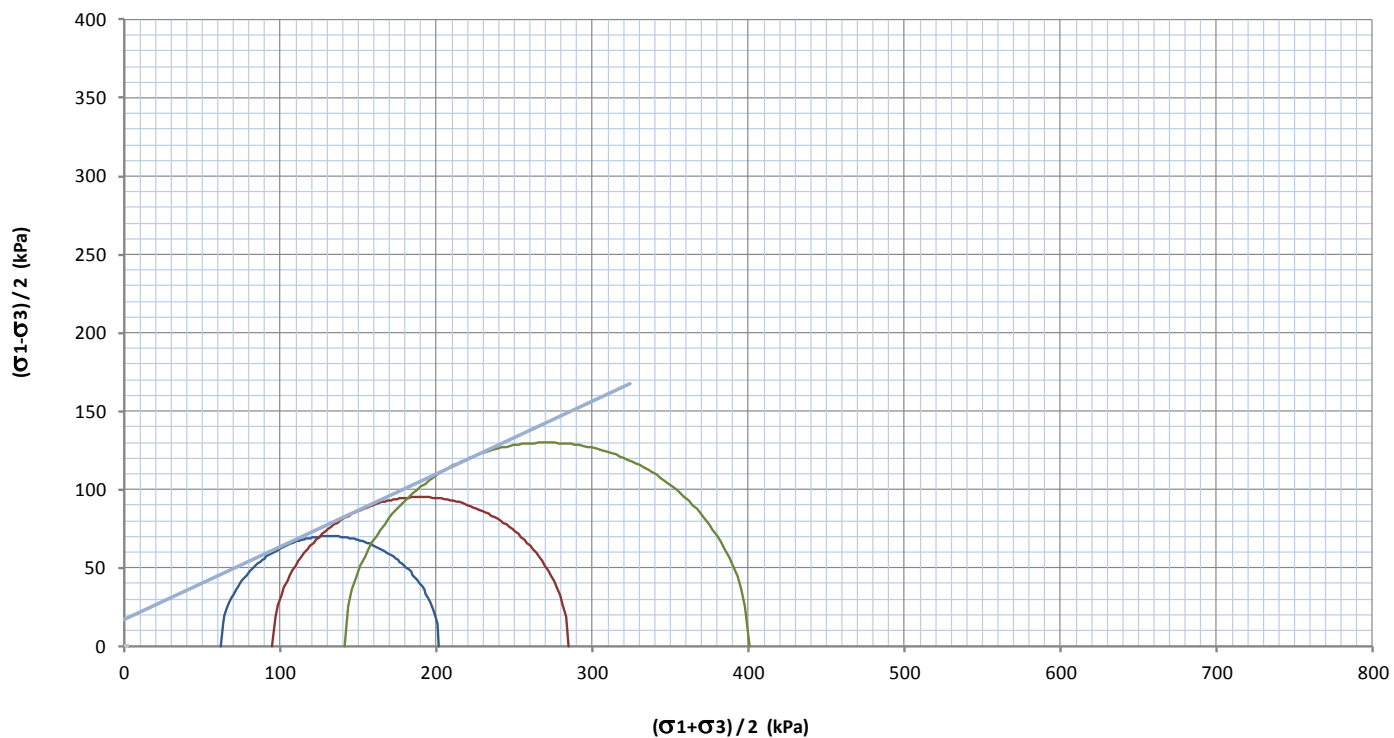
SFORZI EFFICACI			
	Minor Princ.Stress	Deviator stress	Major Princ.Stress
	(kPa)	(kPa)	(kPa)
	σ'_3	$(\sigma'_1 - \sigma'_3)$	σ'_1
Test 1	61.70	140.1	201.8
Test 2	94.69	190.2	284.9
Test 3	140.90	259.7	400.6

Cohesion = 17 kPa
phi = 24.9 °

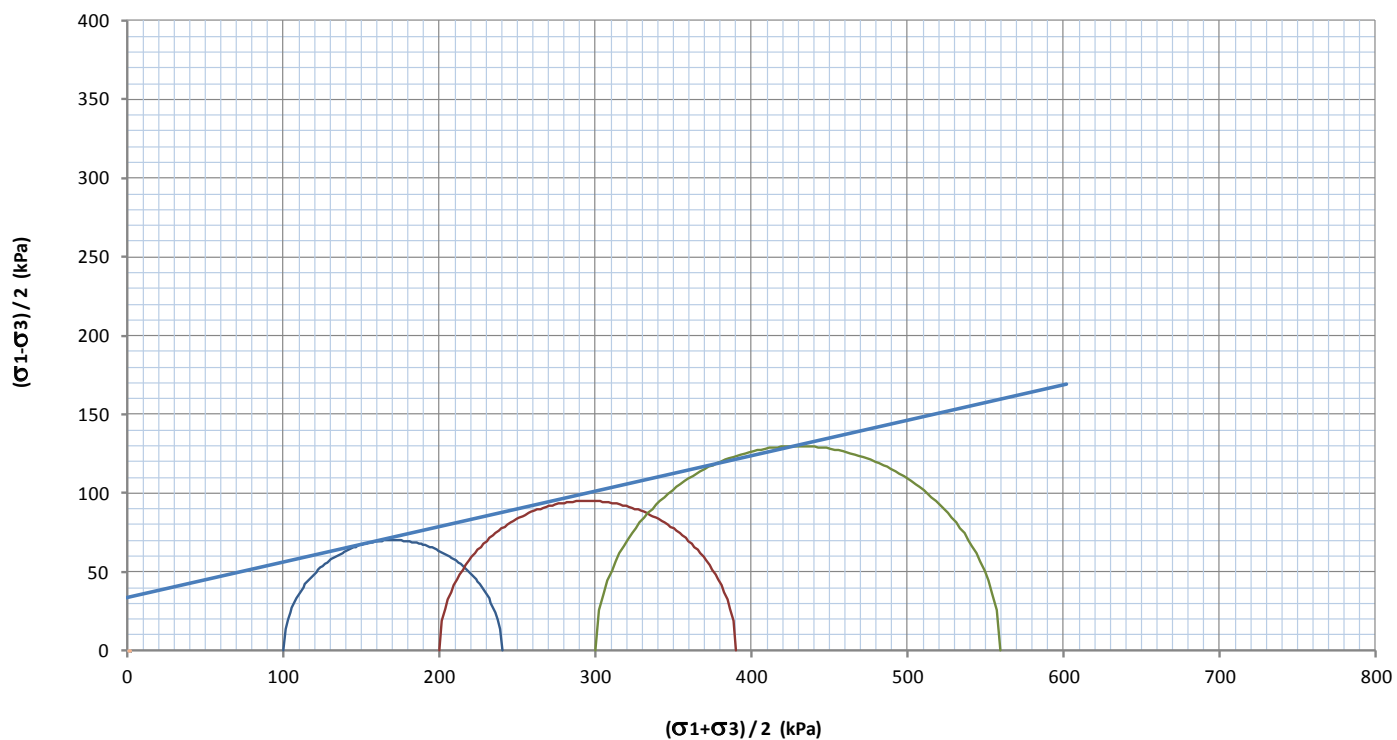
SFORZI TOTALI			
	Minor Princ.Stress	Deviator stress	Major Princ.Stress
	(kPa)	(kPa)	(kPa)
	σ_3	$(\sigma_1 - \sigma_3)$	σ_1
Test 1	100.00	140.1	240.1
Test 2	200.00	190.2	390.2
Test 3	300.00	259.7	559.7

Cohesion = 34 kPa
phi = 12.7 °

PROVA TRIASSIALE C.I.U. - PIANO DI MOHR - SFORZI EFFETTIVI



PROVA TRIASSIALE C.I.U. - PIANO DI MOHR - SFORZI TOTALI



PROVA TRIASSIALE
SONDAGGIO S6 - CAMPIONE C3

h (falda)	h (provino)	γ	C'	ϕ'
(m)	(m)	(kN/m ³)	(kPa)	(°)
4.4	10.25	18.9	22	23.6

PROVA TRIASSIALE				
Cont.Press.	300			kPa
Press.Cell	400.00	500.00	600.00	kPa
Press.Rott.	165.15	253.10	302.31	kPa
U Rottura	318.70	377.90	418.20	kPa

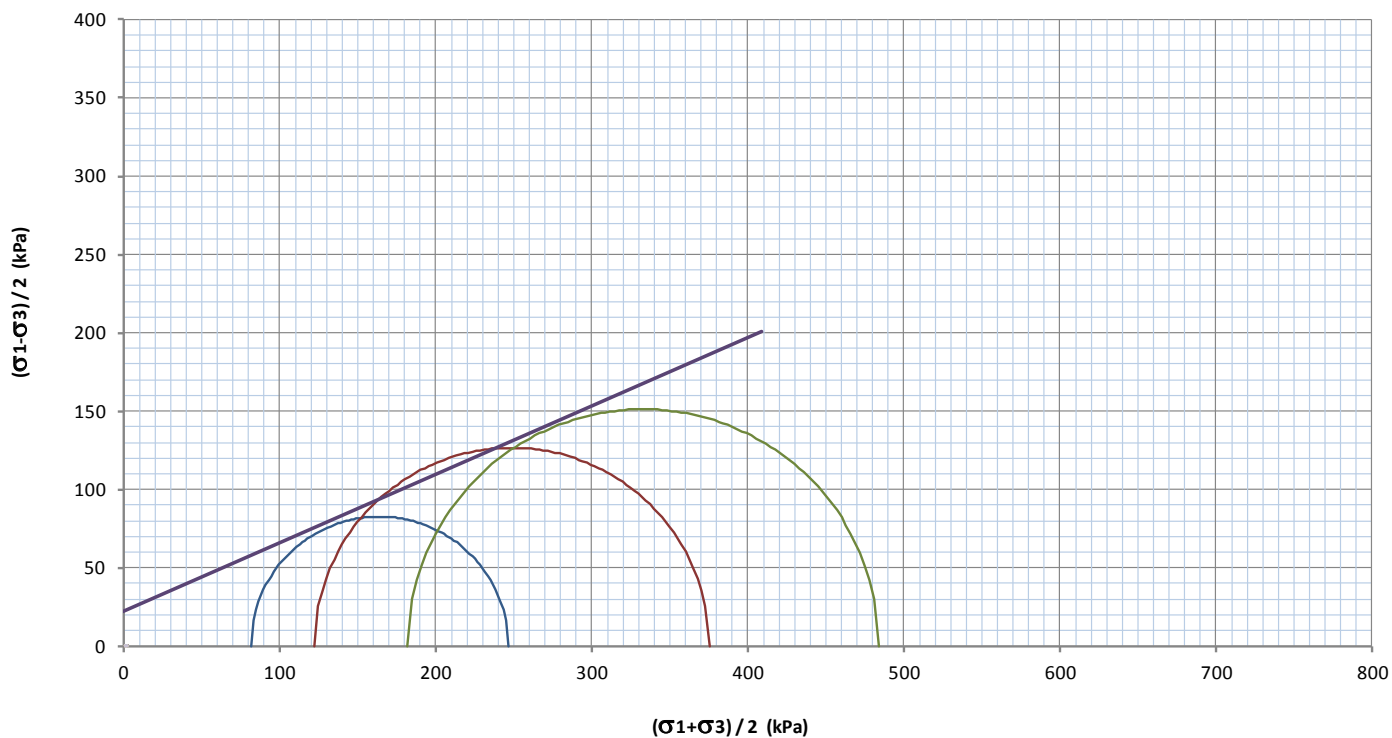
SFORZI EFFICACI			
	Minor Princ.Stress	Deviator stress	Major Princ.Stress
	(kPa)	(kPa)	(kPa)
	σ'_3	$(\sigma'_1 - \sigma'_3)$	σ'_1
Test 1	81.30	165.2	246.5
Test 2	122.10	253.1	375.2
Test 3	181.80	302.3	484.1

Cohesion =	22	kPa
phi =	23.6	°

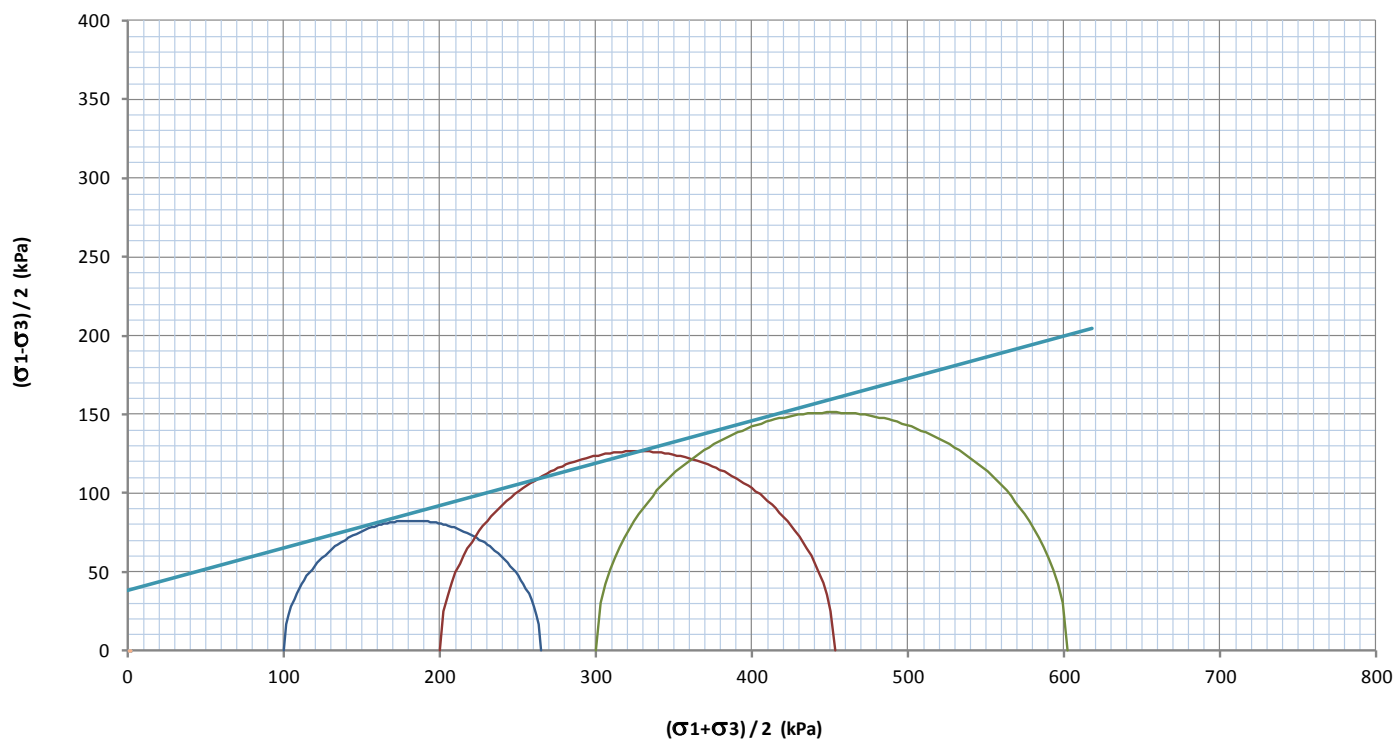
SFORZI TOTALI			
	Minor Princ.Stress	Deviator stress	Major Princ.Stress
	(kPa)	(kPa)	(kPa)
	σ_3	$(\sigma_1 - \sigma_3)$	σ_1
Test 1	100.00	165.2	265.2
Test 2	200.00	253.1	453.1
Test 3	300.00	302.3	602.3

Cohesion =	38	kPa
phi =	15.1	°

PROVA TRIASSIALE C.I.U. - PIANO DI MOHR - SFORZI EFFETTIVI



PROVA TRIASSIALE C.I.U. - PIANO DI MOHR - SFORZI TOTALI



PROVA TRIASSIALE
SONDAGGIO S6 - CAMPIONE C4

h (falda)	h (provino)	γ	C'	ϕ'
(m)	(m)	(kN/m ³)	(kPa)	(°)
4.4	13.75	19.6	57	23.6

PROVA TRIASSIALE				
Cont.Press.	300			kPa
Press.Cell	400.00	500.00	600.00	kPa
Press.Rott.	240.94	285.77	359.72	kPa
U Rottura	347.53	418.80	458.40	kPa

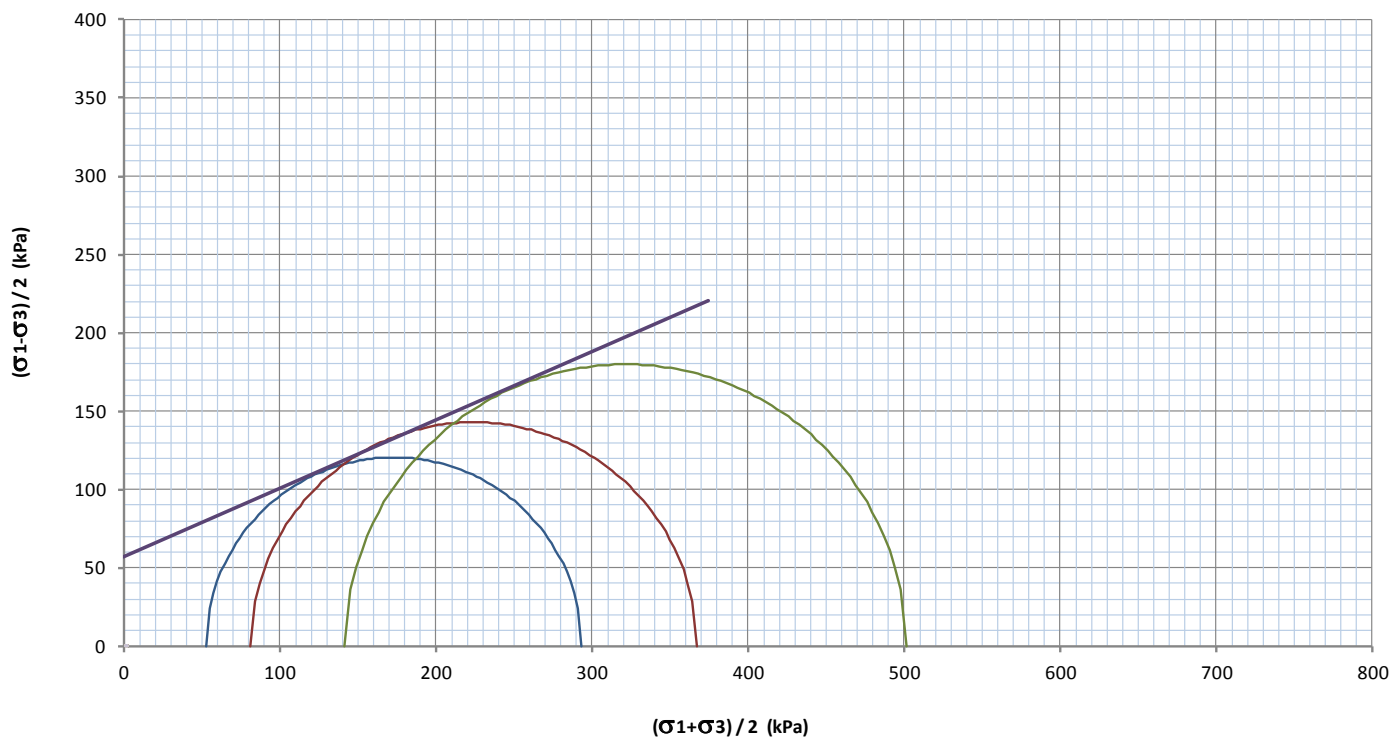
SFORZI EFFICACI			
	Minor Princ.Stress	Deviator stress	Major Princ.Stress
	(kPa)	(kPa)	(kPa)
	σ'_3	$(\sigma'_1 - \sigma'_3)$	σ'_1
Test 1	52.47	240.9	293.4
Test 2	81.20	285.8	367.0
Test 3	141.60	359.7	501.3

Cohesion =	57	kPa
phi =	23.6	°

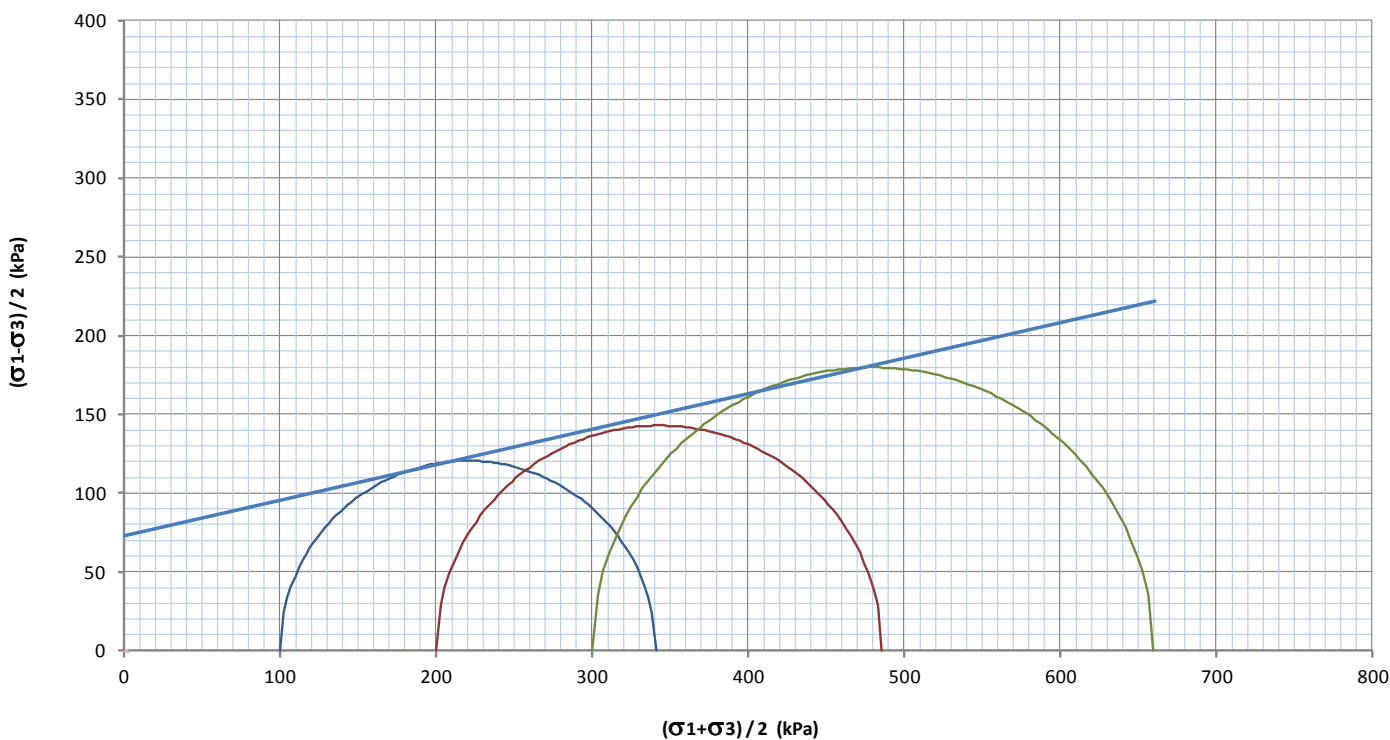
SFORZI TOTALI			
	Minor Princ.Stress	Deviator stress	Major Princ.Stress
	(kPa)	(kPa)	(kPa)
	σ_3	$(\sigma_1 - \sigma_3)$	σ_1
Test 1	100.00	240.9	340.9
Test 2	200.00	285.8	485.8
Test 3	300.00	359.7	659.7

Cohesion =	73	kPa
phi =	12.7	°

PROVA TRIASSIALE C.I.U. - PIANO DI MOHR - SFORZI EFFETTIVI



PROVA TRIASSIALE C.I.U. - PIANO DI MOHR - SFORZI TOTALI



PROVA TRIASSIALE
SONDAGGIO S6 - CAMPIONE C5

h (falda)	h (provino)	γ	C'	ϕ'
(m)	(m)	(kN/m ³)	(kPa)	(°)
4.4	19.1	18.4	11	27.4

PROVA TRIASSIALE				
Cont.Press.	200			kPa
Press.Cell	400.00	500.00	600.00	kPa
Press.Rott.	198.13	300.21	355.40	kPa
U Rottura	291.52	365.90	402.10	kPa

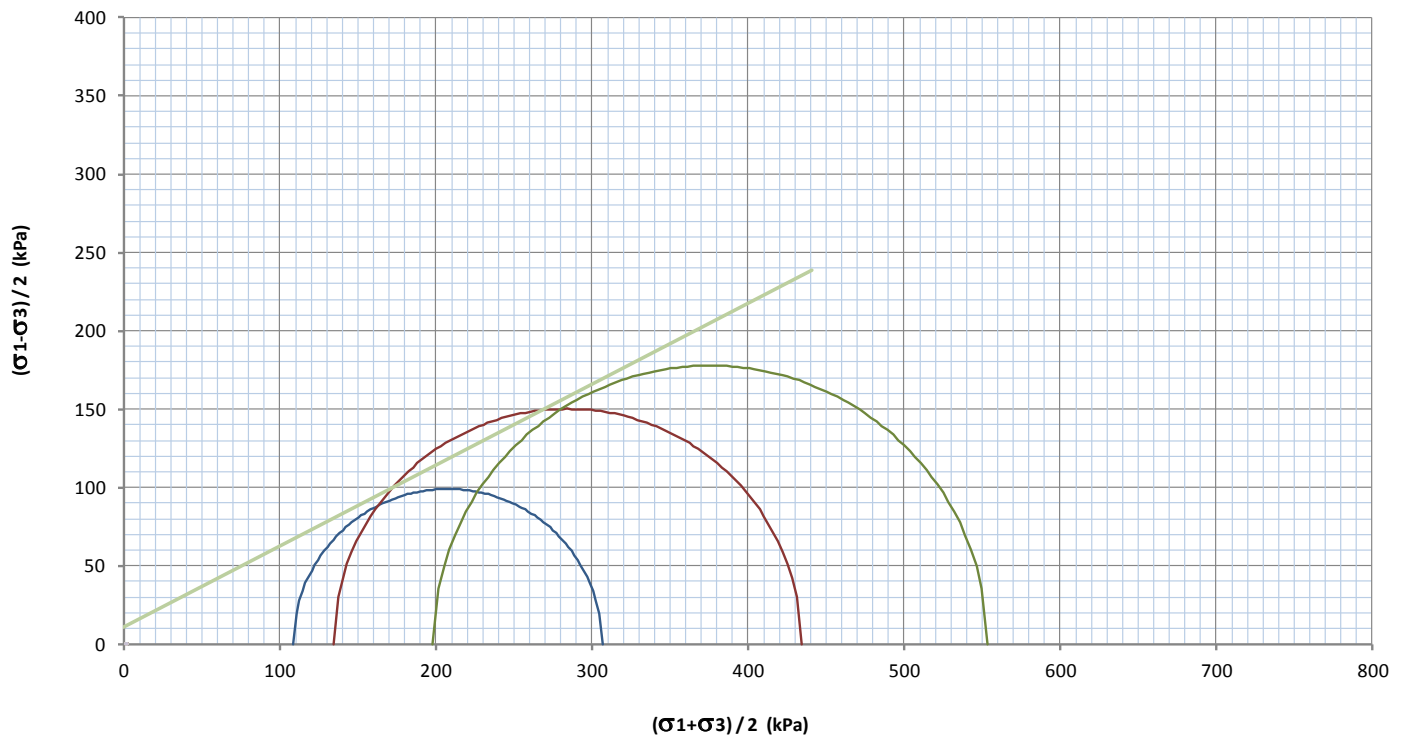
SFORZI EFFICACI			
	Minor Princ.Stress	Deviator stress	Major Princ.Stress
	(kPa)	(kPa)	(kPa)
	σ'_3	$(\sigma'_1 - \sigma'_3)$	σ'_1
Test 1	108.48	198.1	306.6
Test 2	134.10	300.2	434.3
Test 3	197.90	355.4	553.3

Cohesion =	11	kPa
phi =	27.4	°

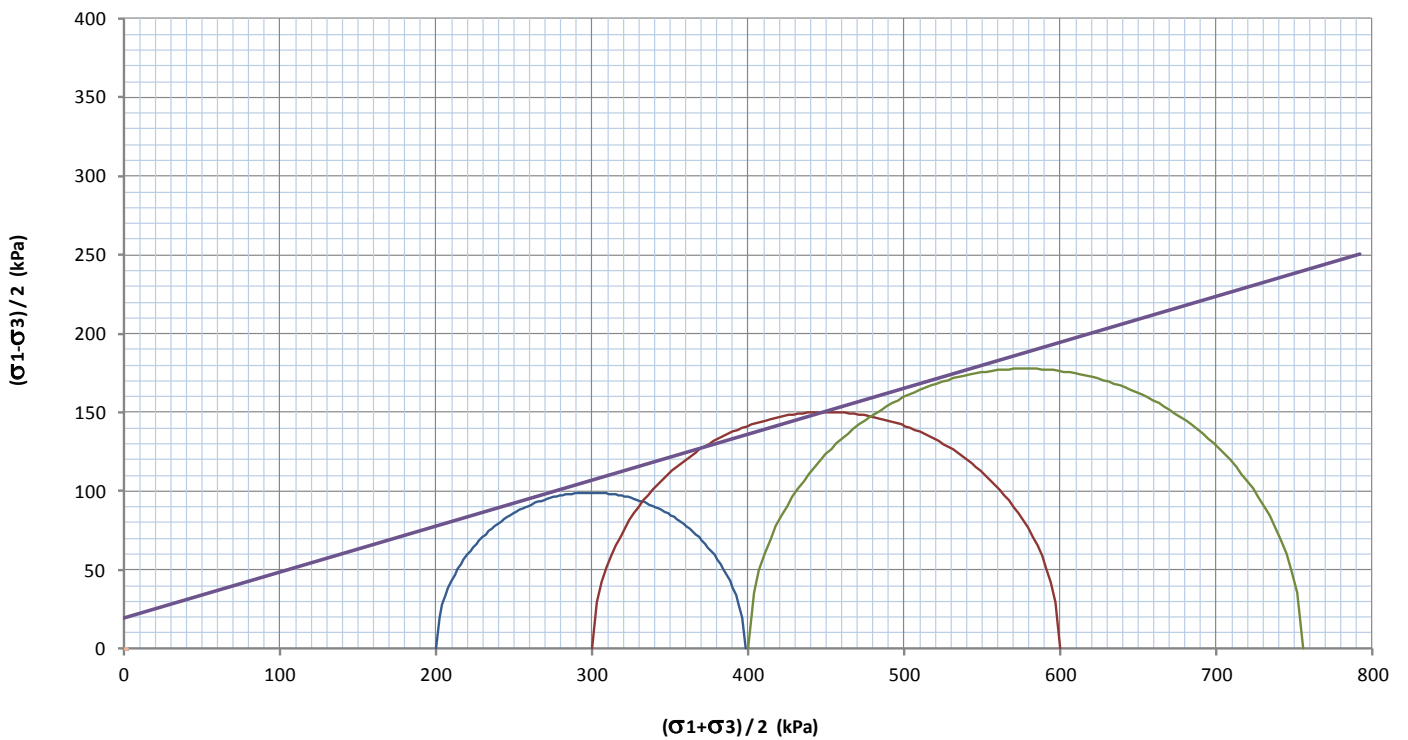
SFORZI TOTALI			
	Minor Princ.Stress	Deviator stress	Major Princ.Stress
	(kPa)	(kPa)	(kPa)
	σ_3	$(\sigma_1 - \sigma_3)$	σ_1
Test 1	200.00	198.1	398.1
Test 2	300.00	300.2	600.2
Test 3	400.00	355.4	755.4

Cohesion =	19	kPa
phi =	16.3	°

PROVA TRIASSIALE C.I.U. - PIANO DI MOHR - SFORZI EFFETTIVI



PROVA TRIASSIALE C.I.U. - PIANO DI MOHR - SFORZI TOTALI



PROVA TRIASSIALE
SONDAGGIO S6 - CAMPIONE C6

h (falda)	h (provino)	γ	C'	ϕ'
(m)	(m)	(kN/m ³)	(kPa)	(°)
4.4	29.3	19	19	32.7

PROVA TRIASSIALE				
Cont.Press.	200			kPa
Press.Cell	450.00	550.00	650.00	kPa
Press.Rott.	299.12	372.42	489.24	kPa
U Rottura	359.59	400.30	482.4	kPa

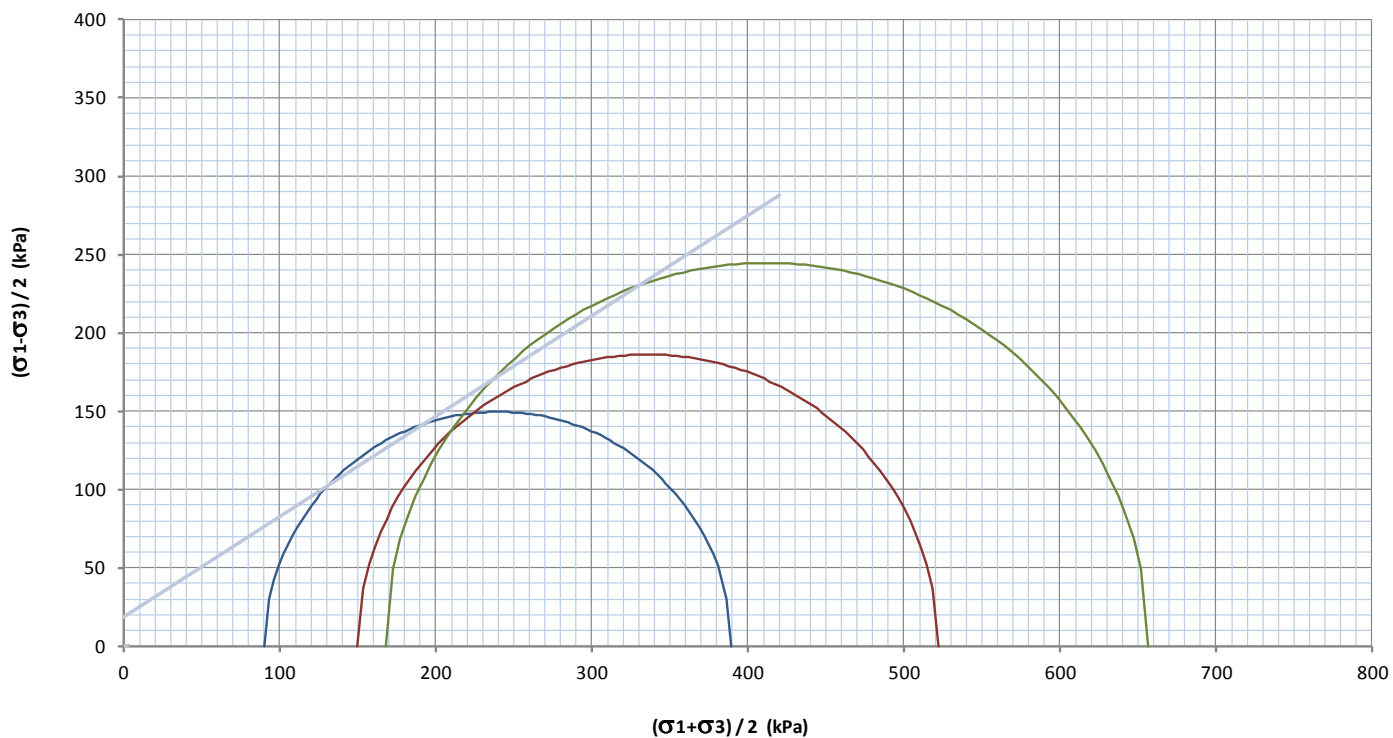
SFORZI EFFICACI			
	Minor Princ.Stress	Deviator stress	Major Princ.Stress
	(kPa)	(kPa)	(kPa)
	σ'_3	$(\sigma'_1 - \sigma'_3)$	σ'_1
Test 1	90.41	299.1	389.5
Test 2	149.70	372.4	522.1
Test 3	167.60	489.2	656.8

Cohesion =	19	kPa
phi =	32.7	°

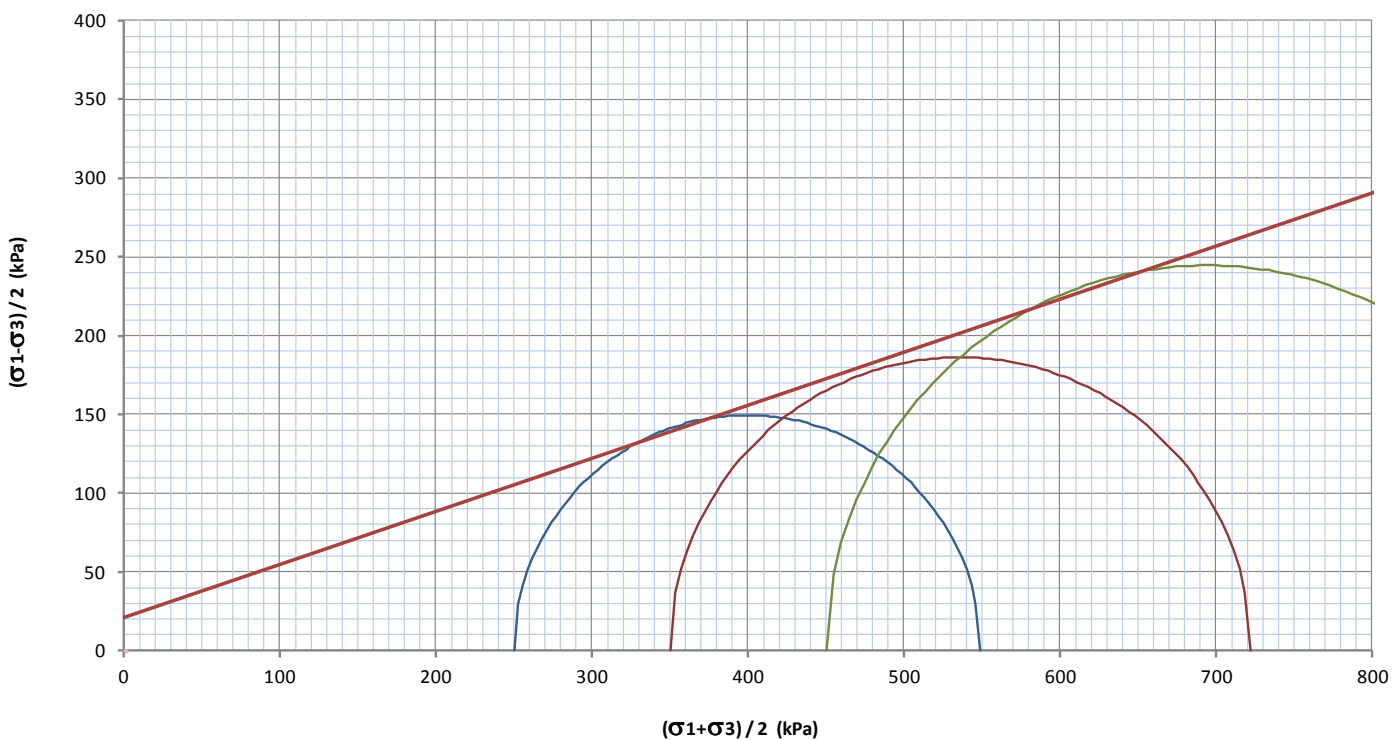
SFORZI TOTALI			
	Minor Princ.Stress	Deviator stress	Major Princ.Stress
	(kPa)	(kPa)	(kPa)
	σ_3	$(\sigma_1 - \sigma_3)$	σ_1
Test 1	250.00	299.1	549.1
Test 2	350.00	372.4	722.4
Test 3	450.00	489.2	939.2

Cohesion =	21	kPa
phi =	18.7	°

PROVA TRIASSIALE C.I.U. - PIANO DI MOHR - SFORZI EFFETTIVI



PROVA TRIASSIALE C.I.U. - PIANO DI MOHR - SFORZI TOTALI



PROVA TRIASSIALE
SONDAGGIO S6 - CAMPIONE C7

h (falda)	h (provino)	γ	C'	ϕ'
(m)	(m)	(kN/m ³)	(kPa)	(°)
4.4	33.35	19	3	30.0

PROVA TRIASSIALE				
Cont.Press.	200			kPa
Press.Cell	500.00	600.00	700.00	kPa
Press.Rott.	271.29	363.73	452.52	kPa
U Rottura	335.95	457.77	475.82	kPa

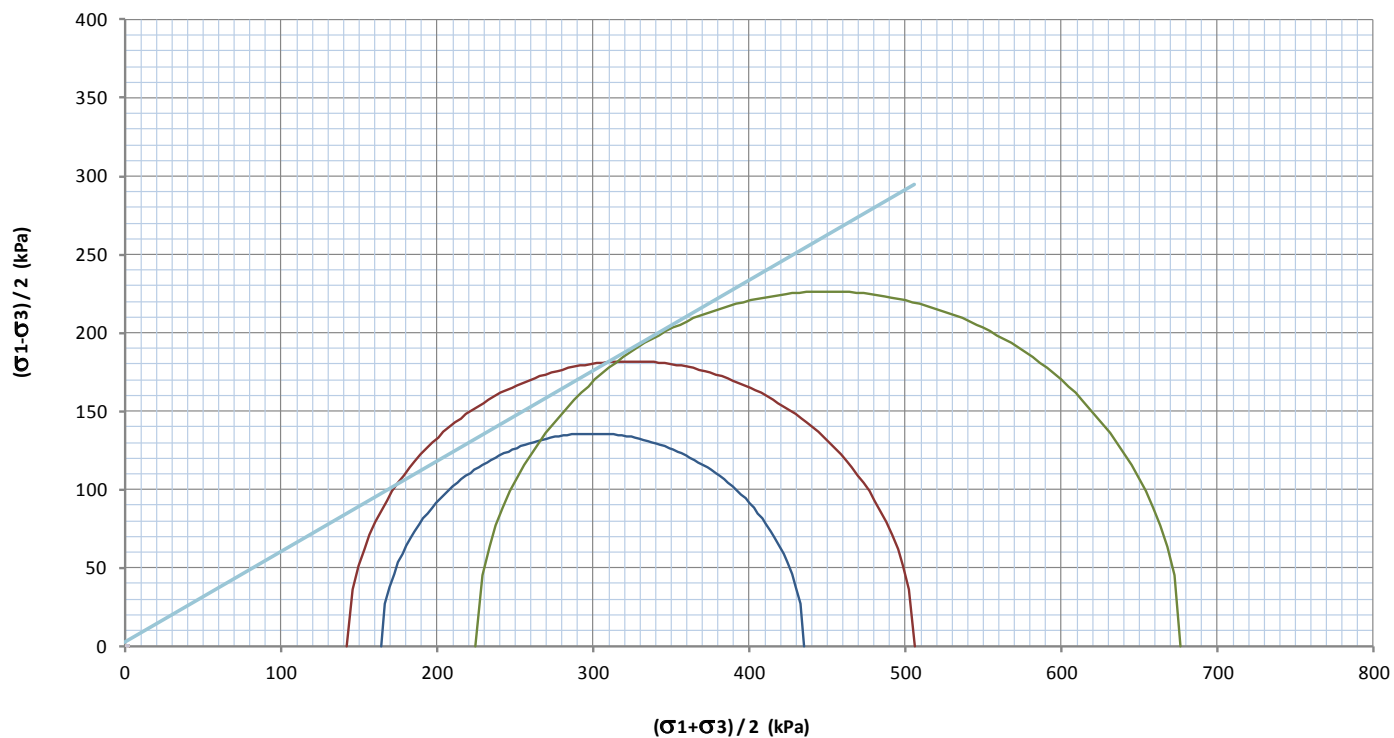
SFORZI EFFICACI			
	Minor Princ.Stress	Deviator stress	Major Princ.Stress
	(kPa)	(kPa)	(kPa)
	σ'_3	$(\sigma'_1 - \sigma'_3)$	σ'_1
Test 1	164.05	271.3	435.3
Test 2	142.23	363.7	506.0
Test 3	224.18	452.5	676.7

Cohesion = <input type="text" value="3"/> kPa phi = <input type="text" value="30.0"/> °
--

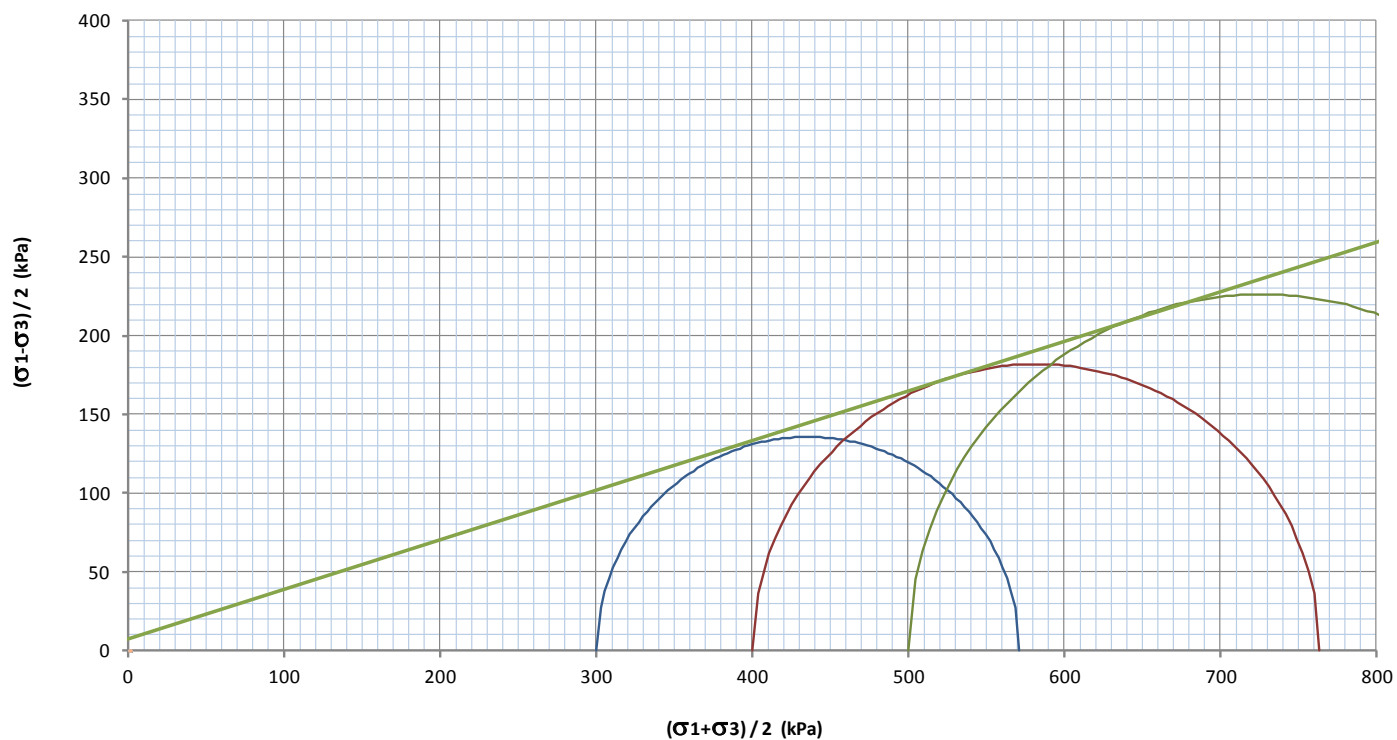
SFORZI TOTALI			
	Minor Princ.Stress	Deviator stress	Major Princ.Stress
	(kPa)	(kPa)	(kPa)
	σ_3	$(\sigma_1 - \sigma_3)$	σ_1
Test 1	300.00	271.3	571.3
Test 2	400.00	363.7	763.7
Test 3	500.00	452.5	952.5

Cohesion = <input type="text" value="7"/> kPa phi = <input type="text" value="17.5"/> °
--

PROVA TRIASSIALE C.I.U. - PIANO DI MOHR - SFORZI EFFETTIVI



PROVA TRIASSIALE C.I.U. - PIANO DI MOHR - SFORZI TOTALI



PROVA TRIASSIALE
SONDAGGIO S7 - CAMPIONE C1

h (falda)	h (provino)	γ	C'	ϕ'
(m)	(m)	(kN/m ³)	(kPa)	(°)
4	2.5	18.9	24	22.3
PROVA TRIASSIALE				
Cont.Press.	300			kPa
Press.Cell	400.00	500.00	600.00	kPa
Press.Rott.	148.47	266.08	285.00	kPa
U Rottura	327.50	361.70	411.30	kPa

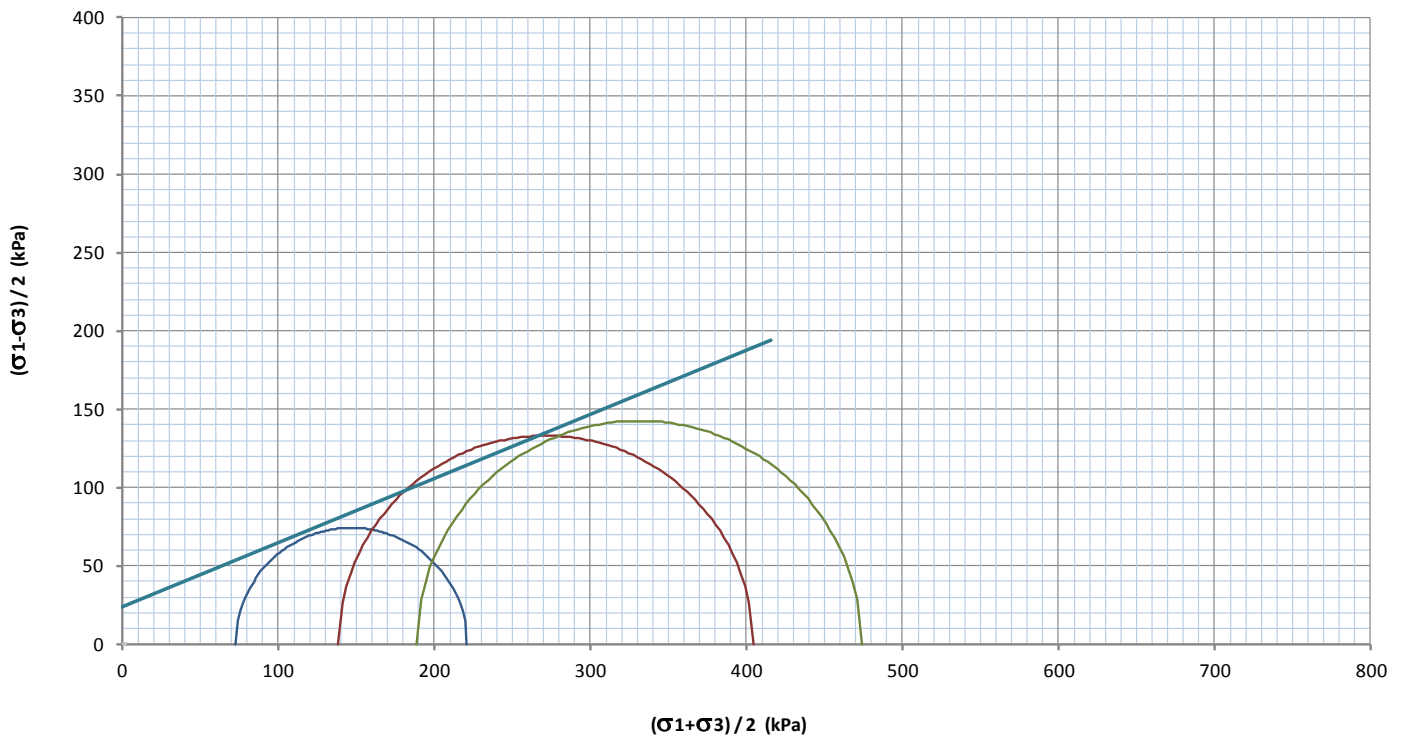
SFORZI EFFICACI			
	Minor Princ.Stress	Deviator stress	Major Princ.Stress
	(kPa)	(kPa)	(kPa)
	σ'_3	$(\sigma'_1 - \sigma'_3)$	σ'_1
Test 1	72.50	148.5	221.0
Test 2	138.30	266.1	404.4
Test 3	188.70	285.0	473.7

Cohesion =	24	kPa
phi =	22.3	°

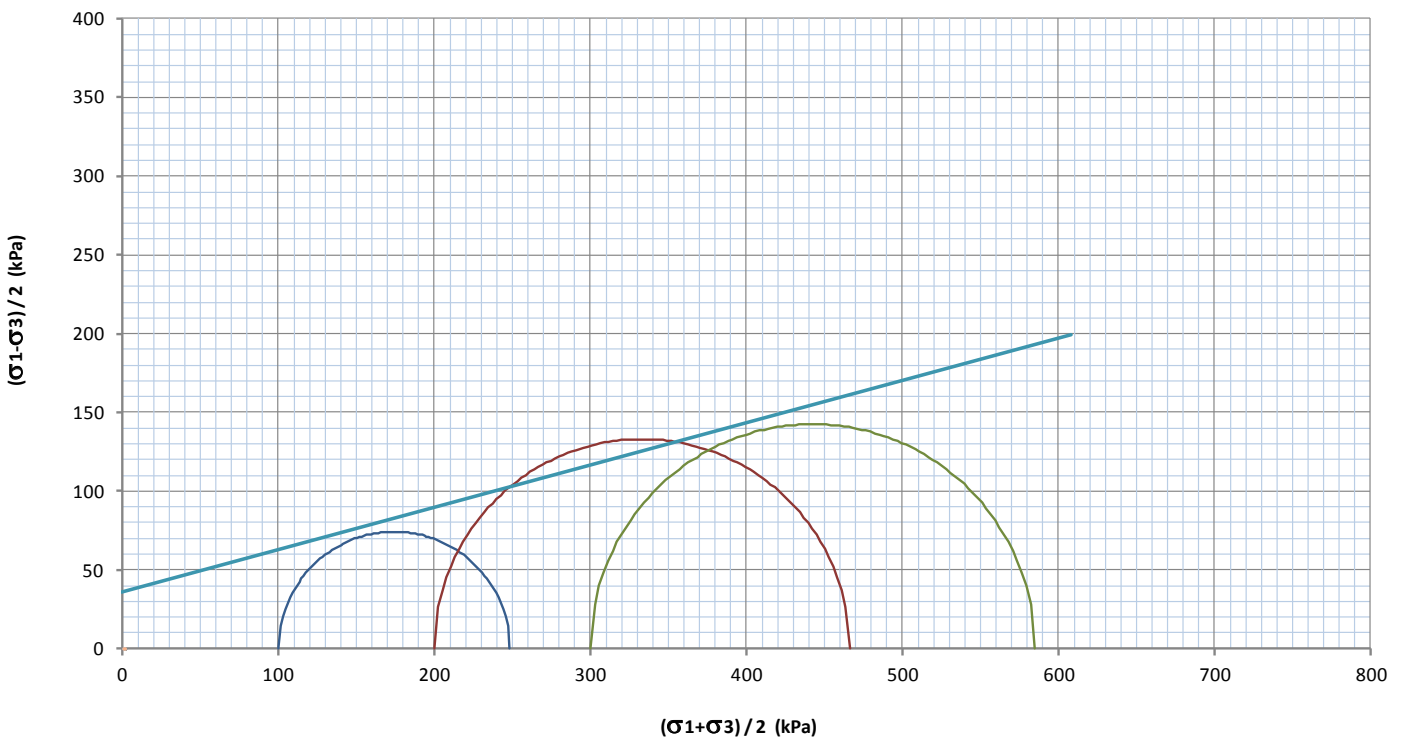
SFORZI TOTALI			
	Minor Princ.Stress	Deviator stress	Major Princ.Stress
	(kPa)	(kPa)	(kPa)
	σ_3	$(\sigma_1 - \sigma_3)$	σ_1
Test 1	100.00	148.5	248.5
Test 2	200.00	266.1	466.1
Test 3	300.00	285.0	585.0

Cohesion =	36	kPa
phi =	15.1	°

PROVA TRIASSIALE C.I.U. - PIANO DI MOHR - SFORZI EFFETTIVI



PROVA TRIASSIALE C.I.U. - PIANO DI MOHR - SFORZI TOTALI



PROVA TRIASSIALE
SONDAGGIO S7 - CAMPIONE C2

h (falda)	h (provino)	γ	C'	ϕ'
(m)	(m)	(kN/m ³)	(kPa)	(°)
4	10.3	18.6	18	26.1

PROVA TRIASSIALE				
Cont.Press.	400			kPa
Press.Cell	500.00	600.00	700.00	kPa
Press.Rott.	159.10	261.93	322.60	kPa
U Rottura	429.30	477.88	527.30	kPa

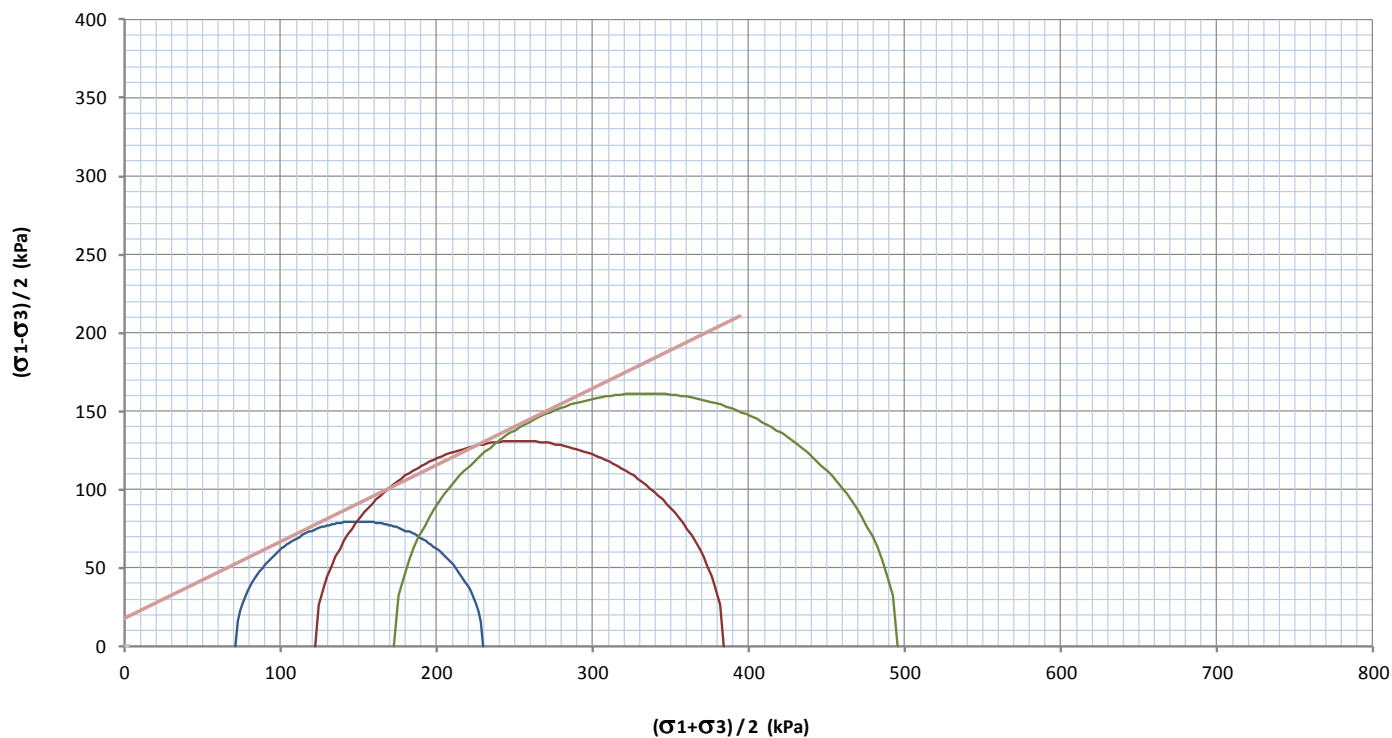
SFORZI EFFICACI			
	Minor Princ.Stress	Deviator stress	Major Princ.Stress
	(kPa)	(kPa)	(kPa)
	σ'_3	$(\sigma'_1 - \sigma'_3)$	σ'_1
Test 1	70.70	159.1	229.8
Test 2	122.12	261.9	384.1
Test 3	172.70	322.6	495.3

Cohesion = <table border="1" style="display: inline-table; vertical-align: middle;"><tr><td style="text-align: center;">18</td></tr></table> kPa	18
18	
phi = <table border="1" style="display: inline-table; vertical-align: middle;"><tr><td style="text-align: center;">26.1</td></tr></table> °	26.1
26.1	

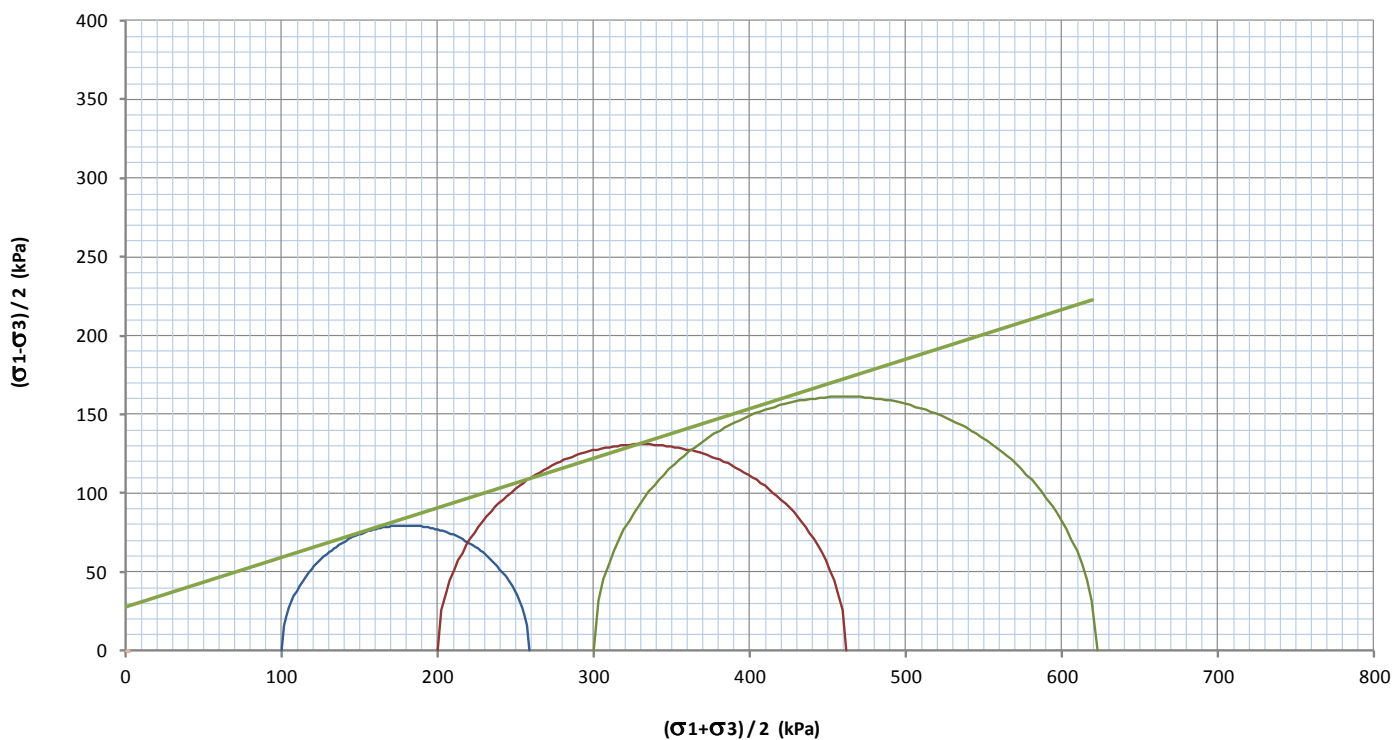
SFORZI TOTALI			
	Minor Princ.Stress	Deviator stress	Major Princ.Stress
	(kPa)	(kPa)	(kPa)
	σ_3	$(\sigma_1 - \sigma_3)$	σ_1
Test 1	100.00	159.1	259.1
Test 2	200.00	261.9	461.9
Test 3	300.00	322.6	622.6

Cohesion = <table border="1" style="display: inline-table; vertical-align: middle;"><tr><td style="text-align: center;">28</td></tr></table> kPa	28
28	
phi = <table border="1" style="display: inline-table; vertical-align: middle;"><tr><td style="text-align: center;">17.5</td></tr></table> °	17.5
17.5	

PROVA TRIASSIALE C.I.U. - PIANO DI MOHR - SFORZI EFFETTIVI



PROVA TRIASSIALE C.I.U. - PIANO DI MOHR - SFORZI TOTALI



PROVA TRIASSIALE
SONDAGGIO S7 - CAMPIONE C3

h (falda)	h (provino)	γ	C'	ϕ'
(m)	(m)	(kN/m ³)	(kPa)	(°)
4	27.2	19.4	16	31.3

PROVA TRIASSIALE				
Cont.Press.	200			kPa
Press.Cell	400.00	550.00	700.00	kPa
Press.Rott.	345.59	439.10	559.01	kPa
U Rottura	270.30	367.90	473.13	kPa

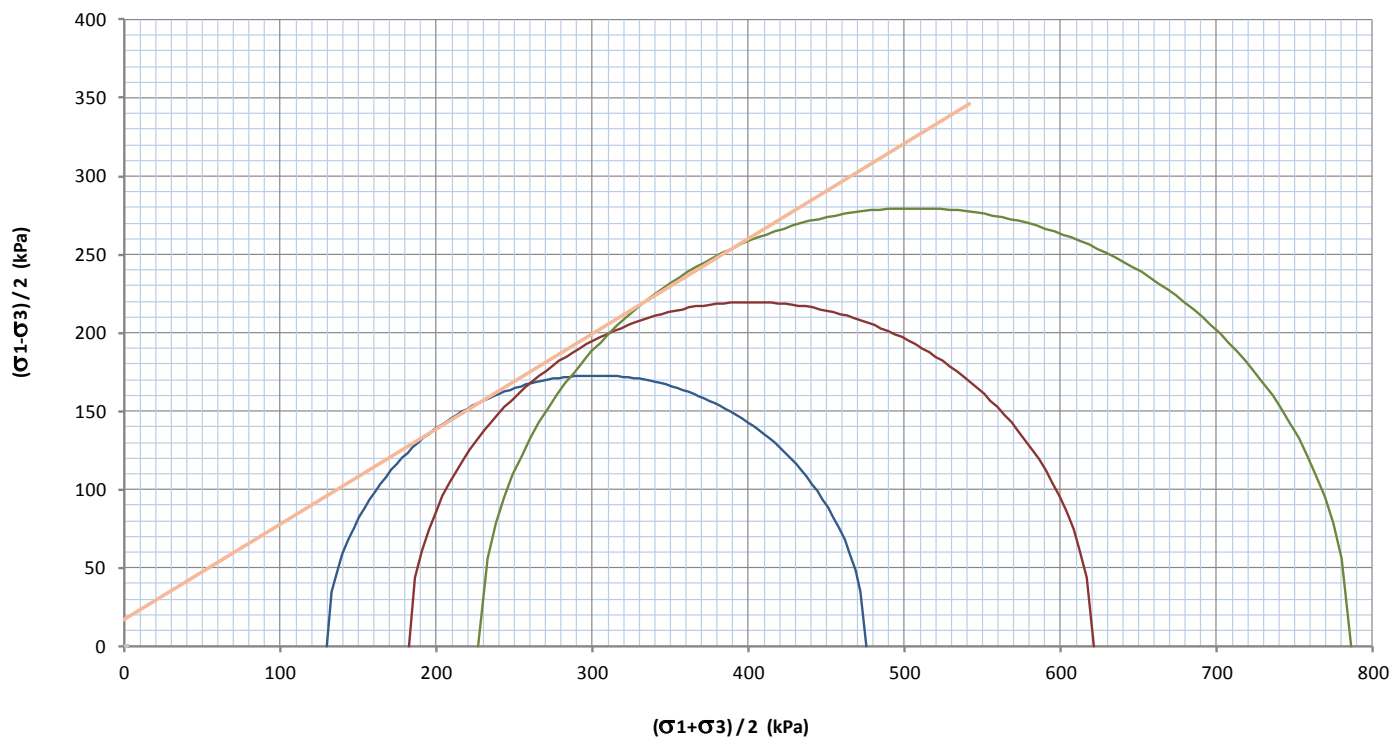
SFORZI EFFICACI			
	Minor Princ.Stress	Deviator stress	Major Princ.Stress
	(kPa)	(kPa)	(kPa)
	σ'_3	$(\sigma'_1 - \sigma'_3)$	σ'_1
Test 1	129.70	345.6	475.3
Test 2	182.10	439.1	621.2
Test 3	226.87	559.0	785.9

Cohesion =	16	kPa
phi =	31.3	°

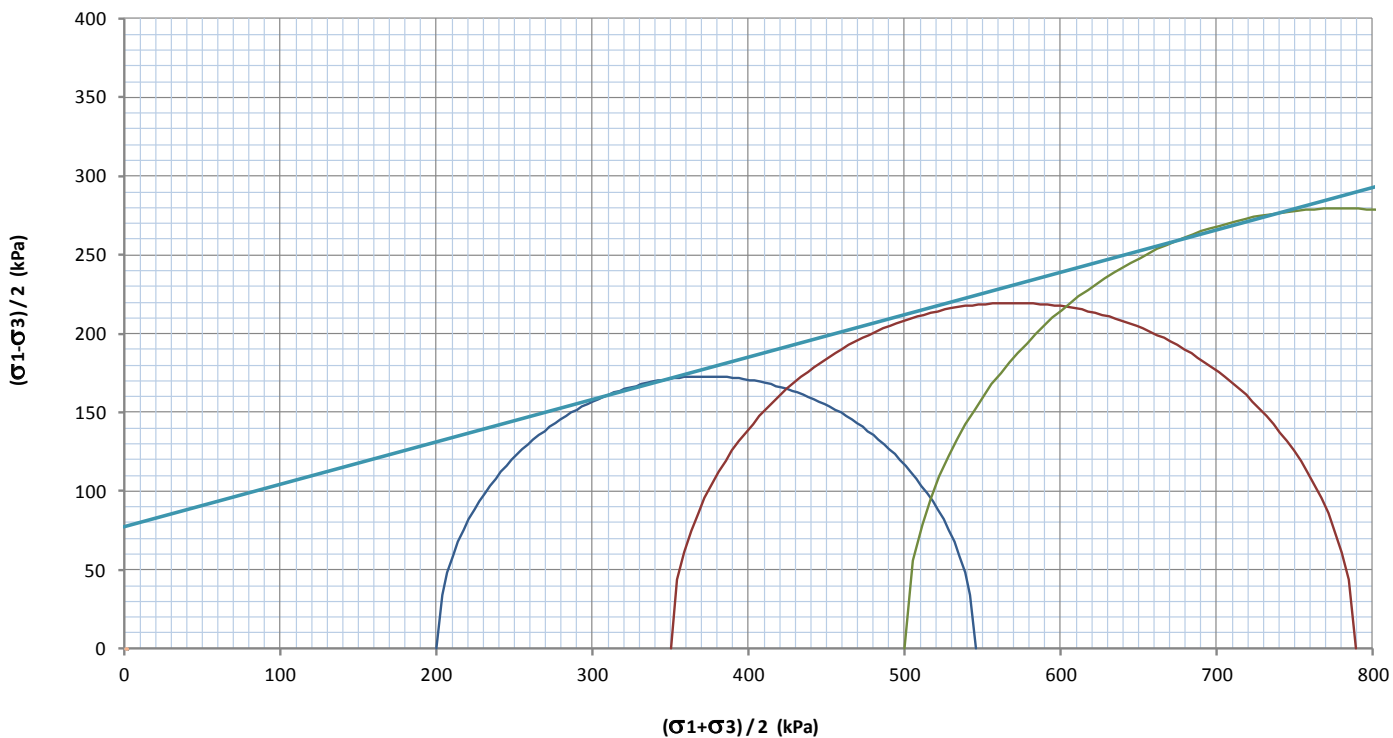
SFORZI TOTALI			
	Minor Princ.Stress	Deviator stress	Major Princ.Stress
	(kPa)	(kPa)	(kPa)
	σ_3	$(\sigma_1 - \sigma_3)$	σ_1
Test 1	200.00	345.6	545.6
Test 2	350.00	439.1	789.1
Test 3	500.00	559.0	1059.0

Cohesion =	77	kPa
phi =	15.1	°

PROVA TRIASSIALE C.I.U. - PIANO DI MOHR - SFORZI EFFETTIVI



PROVA TRIASSIALE C.I.U. - PIANO DI MOHR - SFORZI TOTALI



PROVA TRIASSIALE
SONDAGGIO S7 - CAMPIONE C4

h (falda)	h (provino)	γ	C'	ϕ'
(m)	(m)	(kN/m ³)	(kPa)	(°)
4	31.2	19.5	36	36.9

PROVA TRIASSIALE				
Cont.Press.	300			kPa
Press.Cell	500.00	650.00	800.00	kPa
Press.Rott.	236.59	536.18	600.68	kPa
U Rottura	443.74	540.38	651.95	kPa

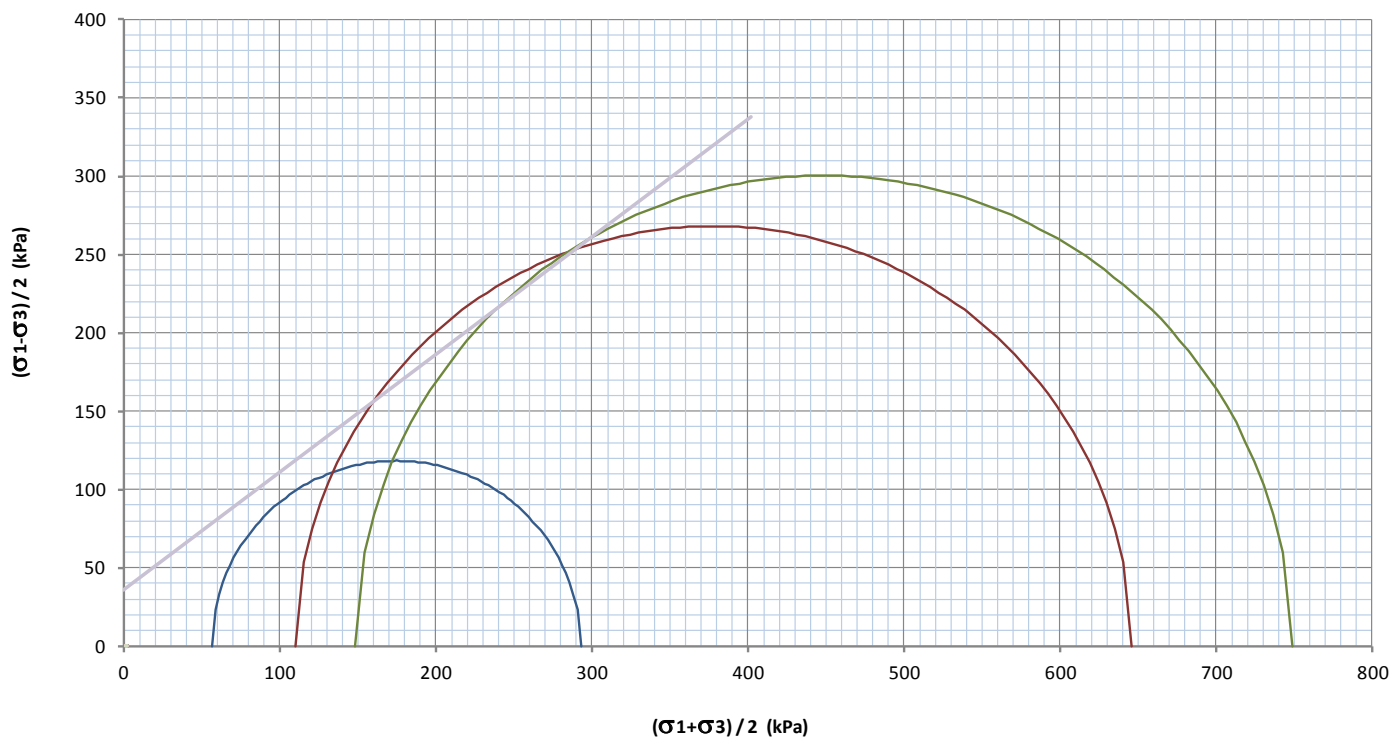
SFORZI EFFICACI			
	Minor Princ.Stress	Deviator stress	Major Princ.Stress
	(kPa)	(kPa)	(kPa)
	σ'_3	$(\sigma'_1 - \sigma'_3)$	σ'_1
Test 1	56.26	236.6	292.9
Test 2	109.62	536.2	645.8
Test 3	148.05	600.7	748.7

Cohesion =	36	kPa
phi =	36.9	°

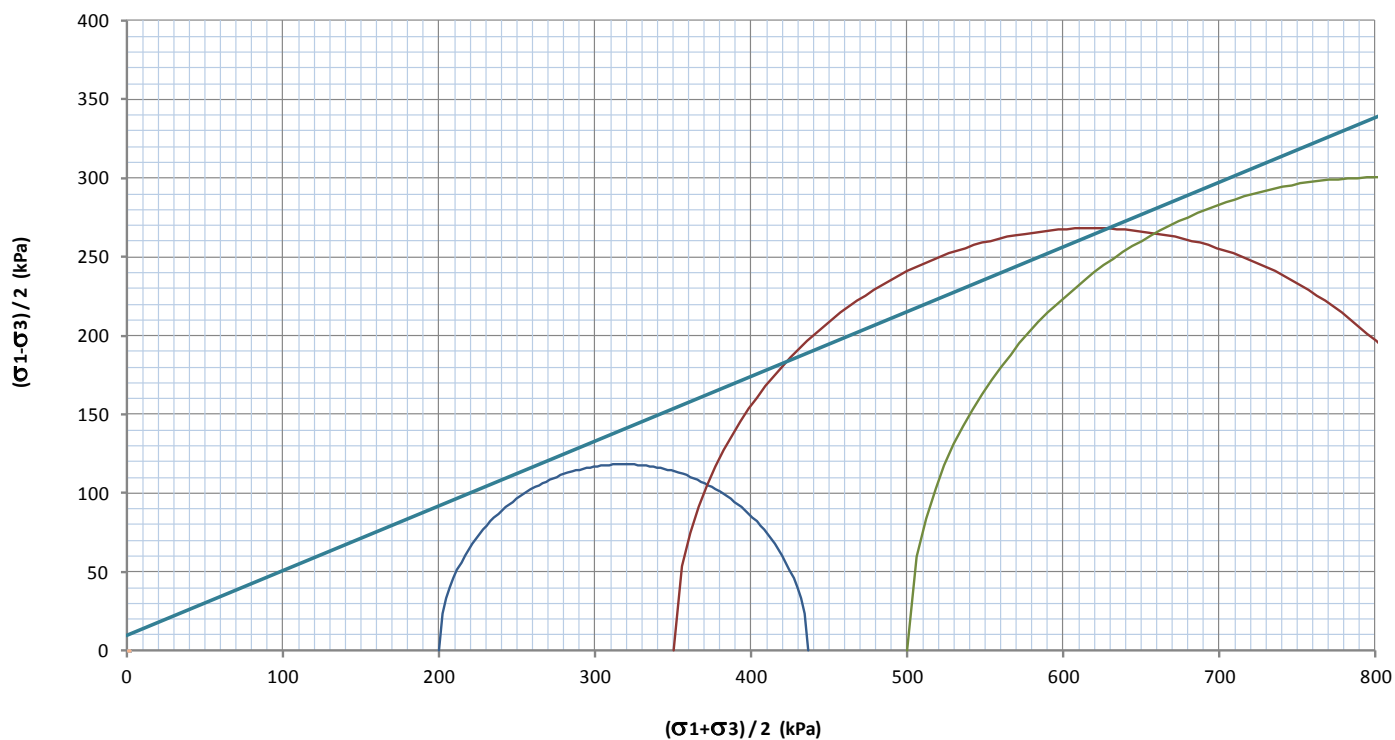
SFORZI TOTALI			
	Minor Princ.Stress	Deviator stress	Major Princ.Stress
	(kPa)	(kPa)	(kPa)
	σ_3	$(\sigma_1 - \sigma_3)$	σ_1
Test 1	200.00	236.6	436.6
Test 2	350.00	536.2	886.2
Test 3	500.00	600.7	1100.7

Cohesion =	10	kPa
phi =	22.3	°

PROVA TRIASSIALE C.I.U. - PIANO DI MOHR - SFORZI EFFETTIVI



PROVA TRIASSIALE C.I.U. - PIANO DI MOHR - SFORZI TOTALI



PROVA TRIASSIALE
SONDAGGIO S8 - CAMPIONE C1

h (falda)	h (provino)	γ	C'	ϕ'
(m)	(m)	(kN/m ³)	(kPa)	(°)
4	2.75	19.3	12	28.7

PROVA TRIASSIALE				
Cont.Press.	300			kPa
Press.Cell	400.00	500.00	600.00	kPa
Press.Rott.	146.84	233.84	284.69	kPa
U Rottura	339.90	395.85	468.00	kPa

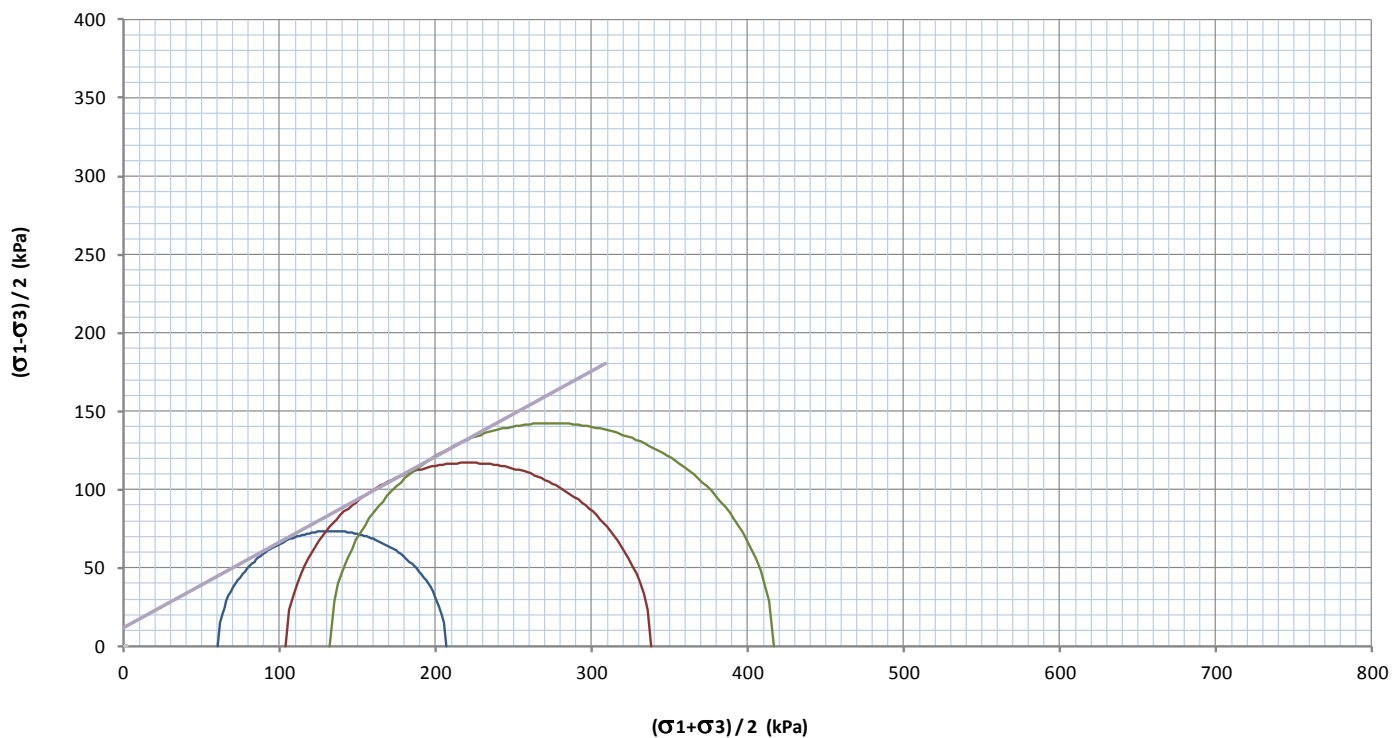
SFORZI EFFICACI			
	Minor Princ.Stress	Deviator stress	Major Princ.Stress
	(kPa)	(kPa)	(kPa)
	σ'_3	$(\sigma'_1 - \sigma'_3)$	σ'_1
Test 1	60.10	146.8	206.9
Test 2	104.15	233.8	338.0
Test 3	132.00	284.7	416.7

Cohesion =	12	kPa
phi =	28.7	°

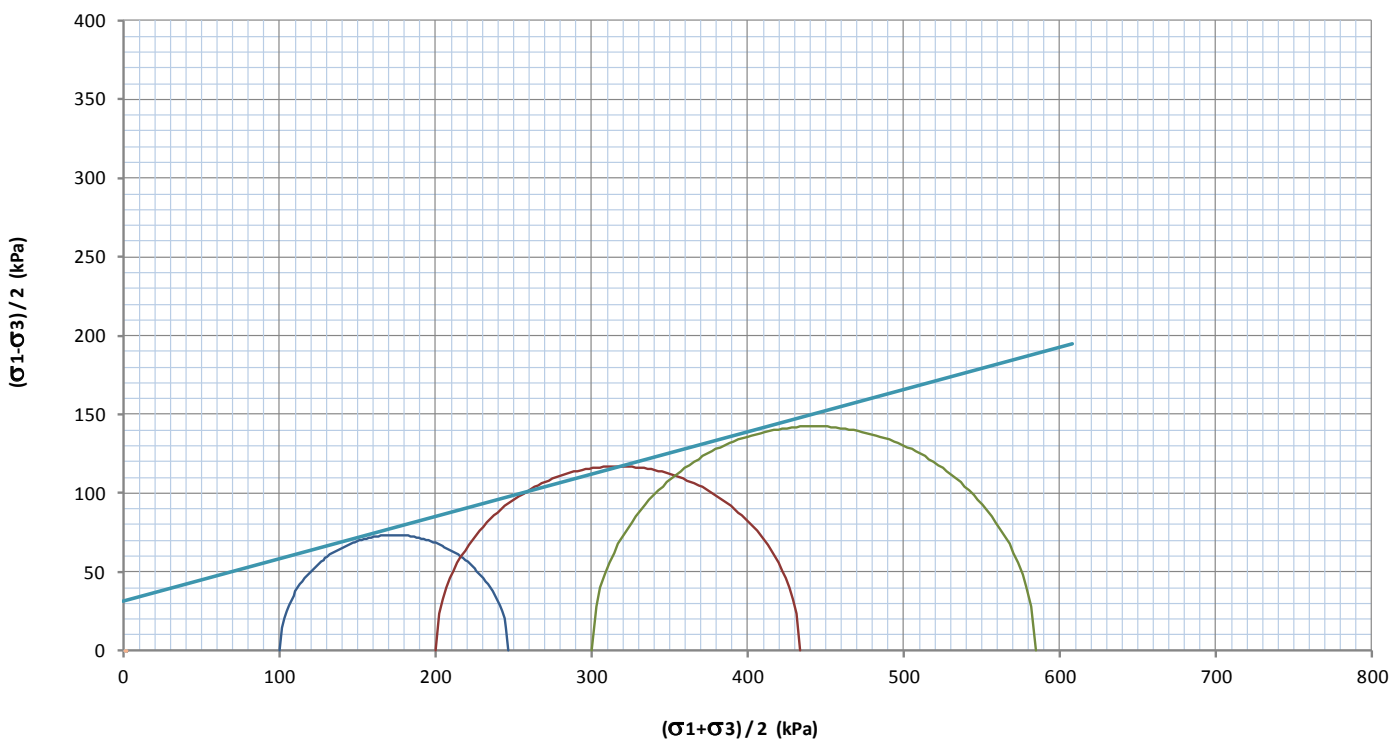
SFORZI TOTALI			
	Minor Princ.Stress	Deviator stress	Major Princ.Stress
	(kPa)	(kPa)	(kPa)
	σ_3	$(\sigma_1 - \sigma_3)$	σ_1
Test 1	100.00	146.8	246.8
Test 2	200.00	233.8	433.8
Test 3	300.00	284.7	584.7

Cohesion =	31	kPa
phi =	15.1	°

PROVA TRIASSIALE C.I.U. - PIANO DI MOHR - SFORZI EFFETTIVI



PROVA TRIASSIALE C.I.U. - PIANO DI MOHR - SFORZI TOTALI



PROVA TRIASSIALE
SONDAGGIO S8 - CAMPIONE C2

h (falda)	h (provino)	γ	C'	ϕ'
(m)	(m)	(kN/m ³)	(kPa)	(°)
4	5.25	19.1	42	27.4

PROVA TRIASSIALE				
Cont.Press.	400			kPa
Press.Cell	500.00	600.00	700.00	kPa
Press.Rott.	247.20	302.76	356.53	kPa
U Rottura	434.83	504.00	570.60	kPa

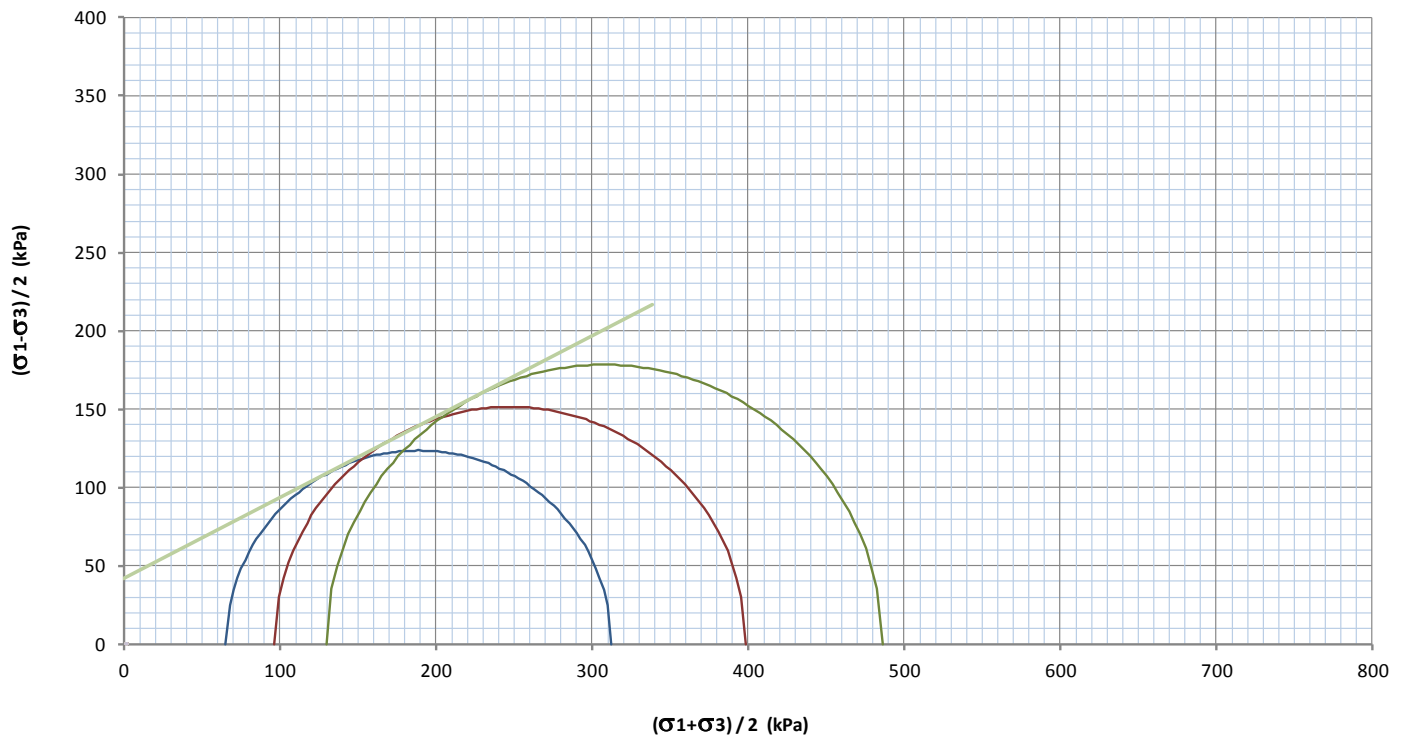
SFORZI EFFICACI			
	Minor Princ.Stress	Deviator stress	Major Princ.Stress
	(kPa)	(kPa)	(kPa)
	σ'_3	$(\sigma'_1 - \sigma'_3)$	σ'_1
Test 1	65.17	247.2	312.4
Test 2	96.00	302.8	398.8
Test 3	129.40	356.5	485.9

Cohesion =	42	kPa
phi =	27.4	°

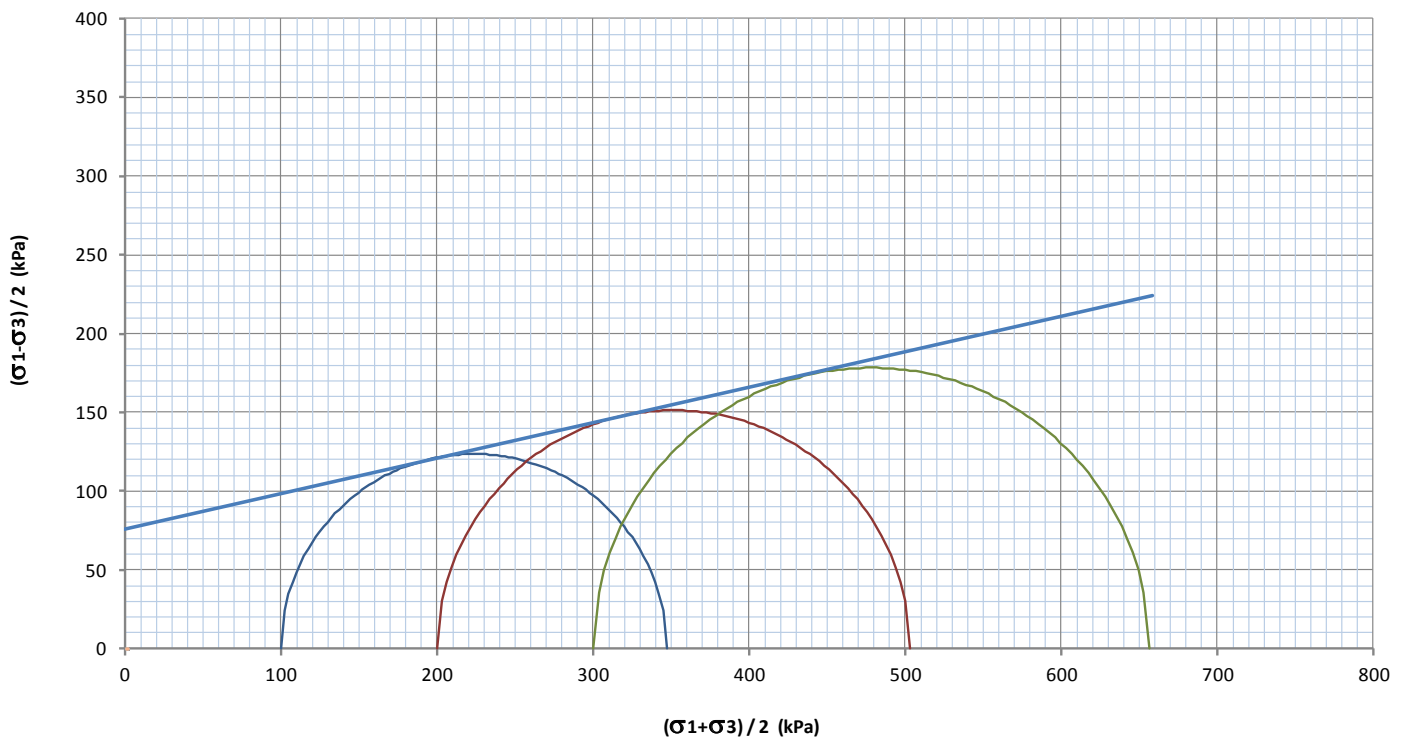
SFORZI TOTALI			
	Minor Princ.Stress	Deviator stress	Major Princ.Stress
	(kPa)	(kPa)	(kPa)
	σ_3	$(\sigma_1 - \sigma_3)$	σ_1
Test 1	100.00	247.2	347.2
Test 2	200.00	302.8	502.8
Test 3	300.00	356.5	656.5

Cohesion =	76	kPa
phi =	12.7	°

PROVA TRIASSIALE C.I.U. - PIANO DI MOHR - SFORZI EFFETTIVI



PROVA TRIASSIALE C.I.U. - PIANO DI MOHR - SFORZI TOTALI



PROVA TRIASSIALE
SONDAGGIO S8 - CAMPIONE C3

h (falda)	h (provino)	γ	C'	ϕ'
(m)	(m)	(kN/m ³)	(kPa)	(°)
4	7.25	18.5	24	26.1

PROVA TRIASSIALE				
Cont.Press.	200			kPa
Press.Cell	300.00	400.00	500.00	kPa
Press.Rott.	140.82	230.53	265.11	kPa
U Rottura	251.40	313.80	374.80	kPa

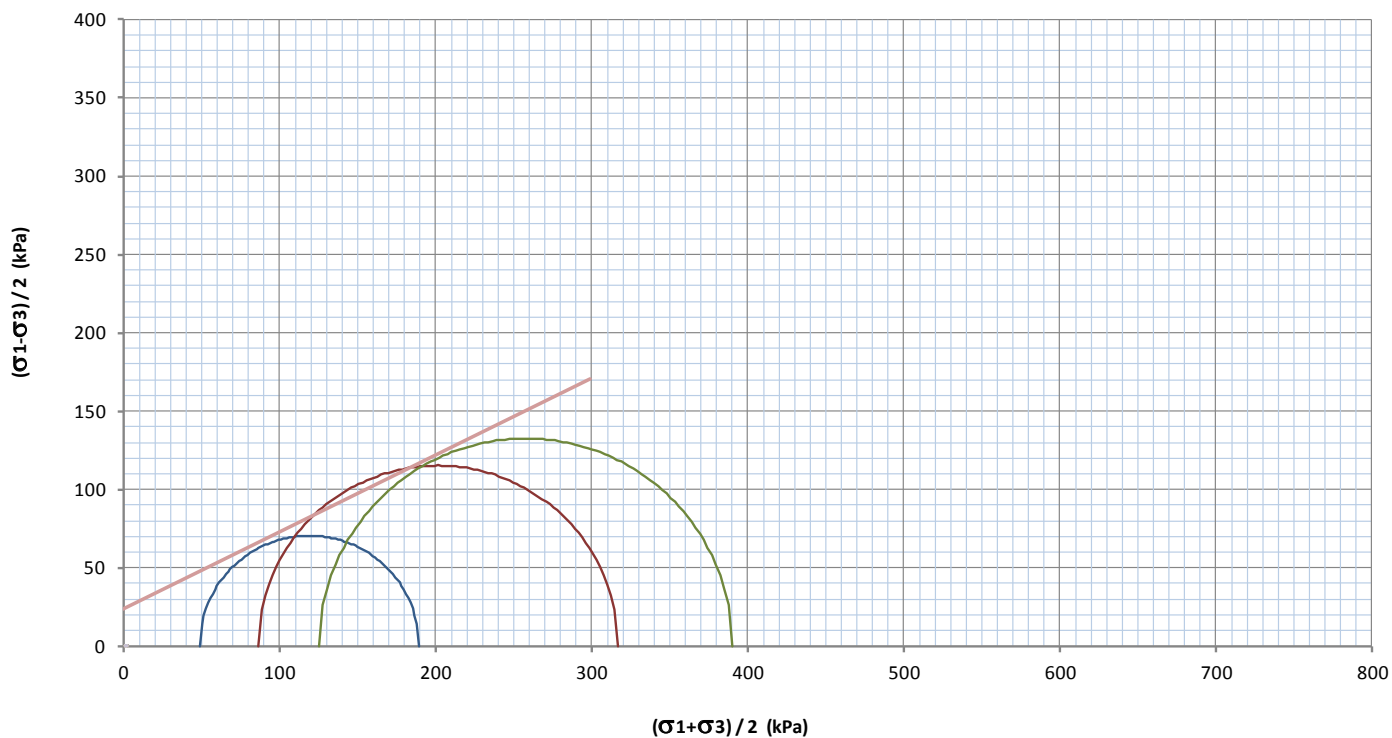
SFORZI EFFICACI			
	Minor Princ.Stress	Deviator stress	Major Princ.Stress
	(kPa)	(kPa)	(kPa)
	σ'_3	$(\sigma'_1 - \sigma'_3)$	σ'_1
Test 1	48.60	140.8	189.4
Test 2	86.20	230.5	316.7
Test 3	125.20	265.1	390.3

Cohesion =	24	kPa
phi =	26.1	°

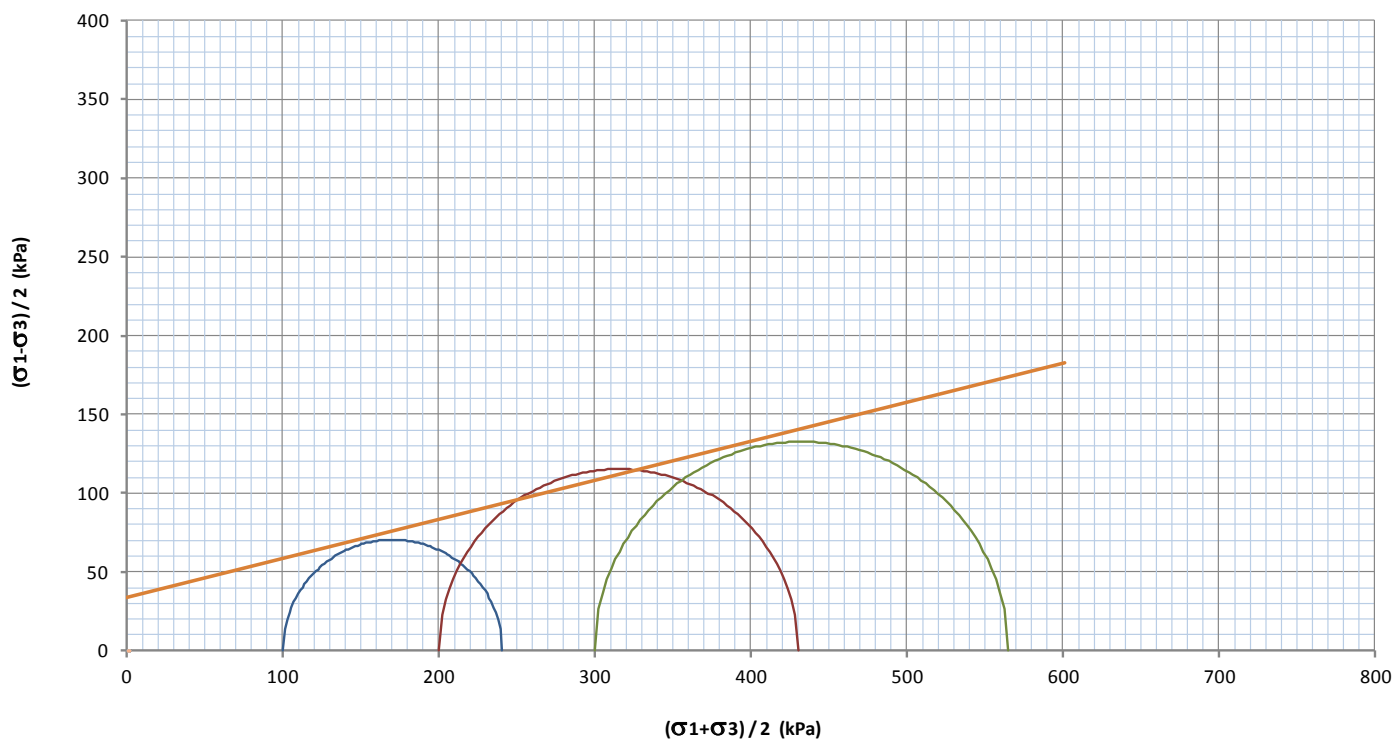
SFORZI TOTALI			
	Minor Princ.Stress	Deviator stress	Major Princ.Stress
	(kPa)	(kPa)	(kPa)
	σ_3	$(\sigma_1 - \sigma_3)$	σ_1
Test 1	100.00	140.8	240.8
Test 2	200.00	230.5	430.5
Test 3	300.00	265.1	565.1

Cohesion =	33	kPa
phi =	13.9	°

PROVA TRIASSIALE C.I.U. - PIANO DI MOHR - SFORZI EFFETTIVI



PROVA TRIASSIALE C.I.U. - PIANO DI MOHR - SFORZI TOTALI



PROVA TRIASSIALE
SONDAGGIO S9- CAMPIONE C1

h (falda)	h (provino)	γ	C'	ϕ'
(m)	(m)	(kN/m ³)	(kPa)	(°)
6	2.7	18.7	25	26.1

PROVA TRIASSIALE				
Cont.Press.	300			kPa
Press.Cell	400.00	500.00	600.00	kPa
Press.Rott.	168.98	229.57	269.29	kPa
U Rottura	337.40	412.60	475.90	kPa

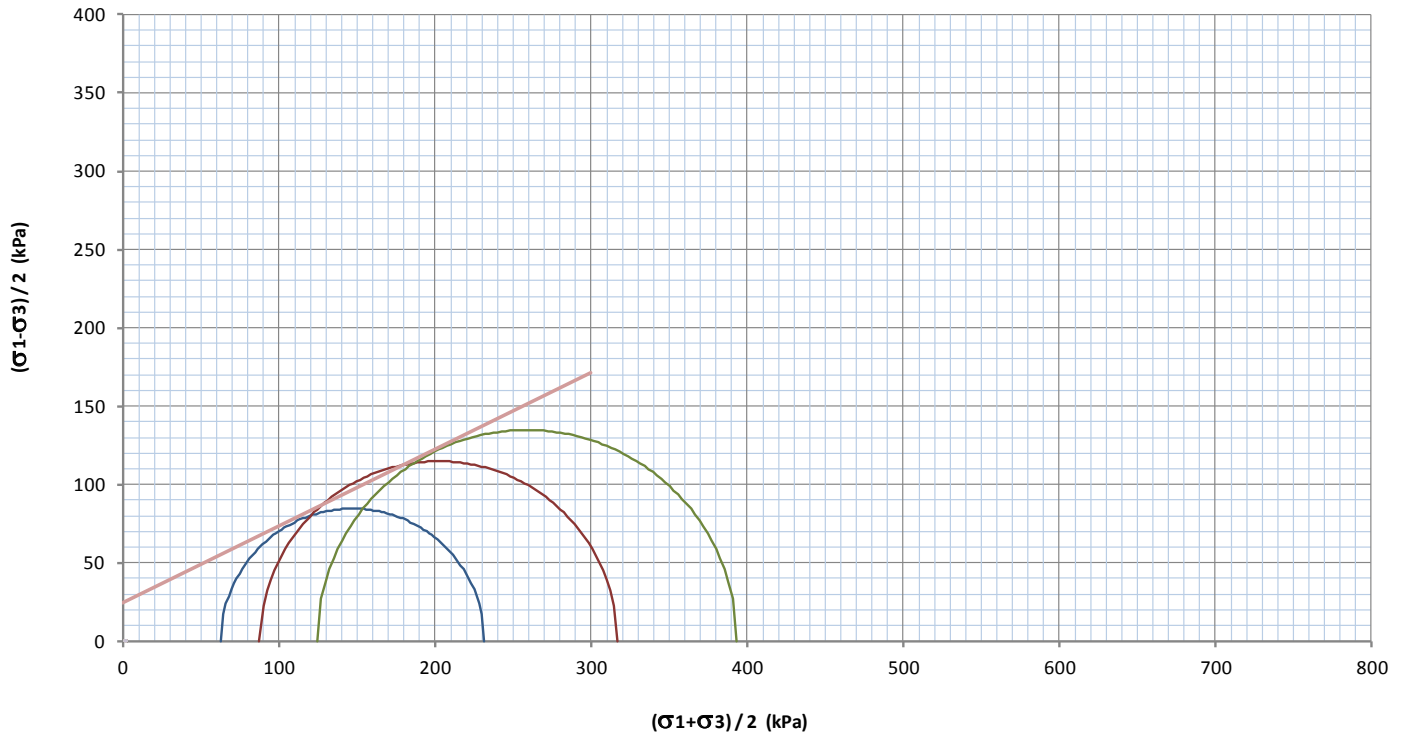
SFORZI EFFICACI			
	Minor Princ.Stress	Deviator stress	Major Princ.Stress
	(kPa)	(kPa)	(kPa)
	σ'_3	$(\sigma'_1 - \sigma'_3)$	σ'_1
Test 1	62.60	169.0	231.6
Test 2	87.40	229.6	317.0
Test 3	124.10	269.3	393.4

Cohesion =	25	kPa
phi =	26.1	°

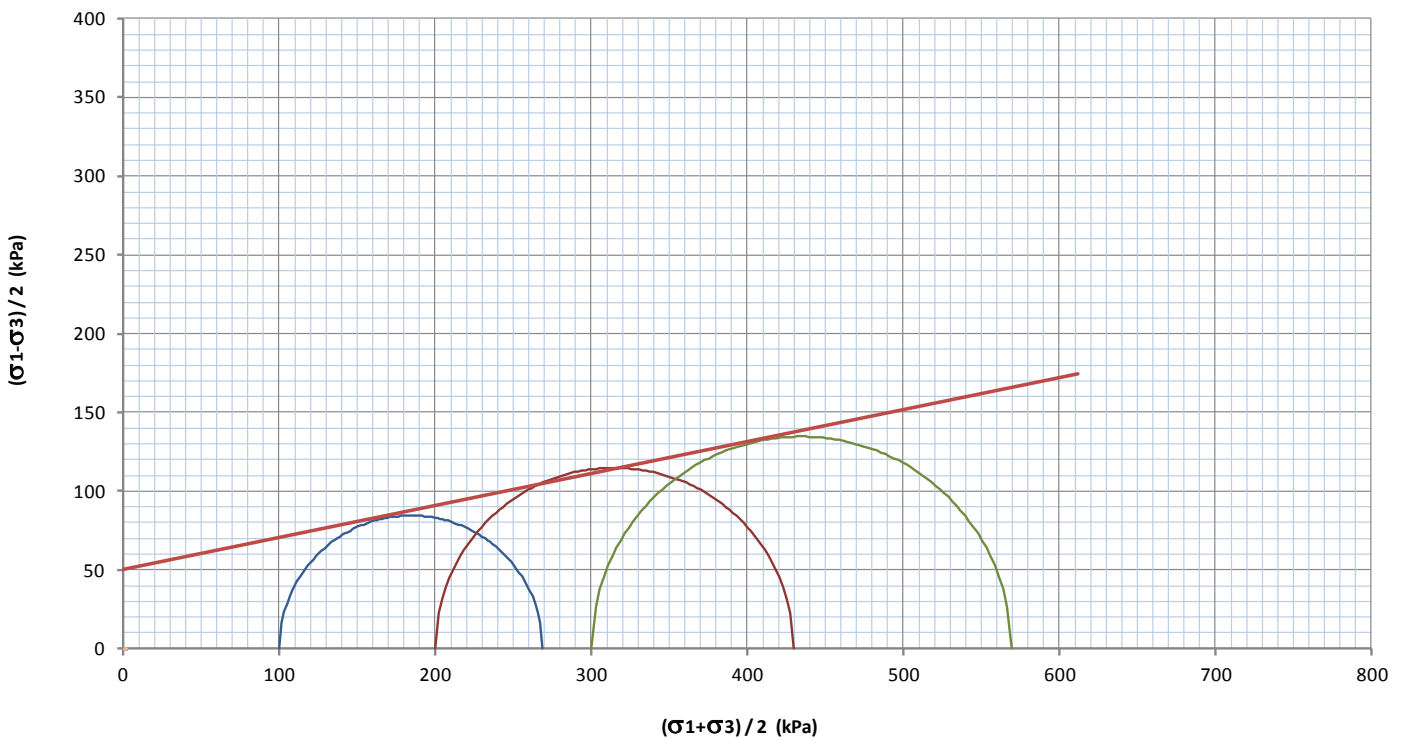
SFORZI TOTALI			
	Minor Princ.Stress	Deviator stress	Major Princ.Stress
	(kPa)	(kPa)	(kPa)
	σ_3	$(\sigma_1 - \sigma_3)$	σ_1
Test 1	100.00	169.0	269.0
Test 2	200.00	229.6	429.6
Test 3	300.00	269.3	569.3

Cohesion =	50	kPa
phi =	11.5	°

PROVA TRIASSIALE C.I.U. - PIANO DI MOHR - SFORZI EFFETTIVI



PROVA TRIASSIALE C.I.U. - PIANO DI MOHR - SFORZI TOTALI



PROVA TRIASSIALE
SONDAGGIO S9- CAMPIONE C2

h (falda)	h (provino)	γ	C'	ϕ'
(m)	(m)	(kN/m ³)	(kPa)	(°)
6	5.9	18.8	10	30.0

PROVA TRIASSIALE				
Cont.Press.	400			kPa
Press.Cell	500.00	600.00	700.00	kPa
Press.Rott.	218.11	327.06	387.79	kPa
U Rottura	409.50	448.10	526.40	kPa

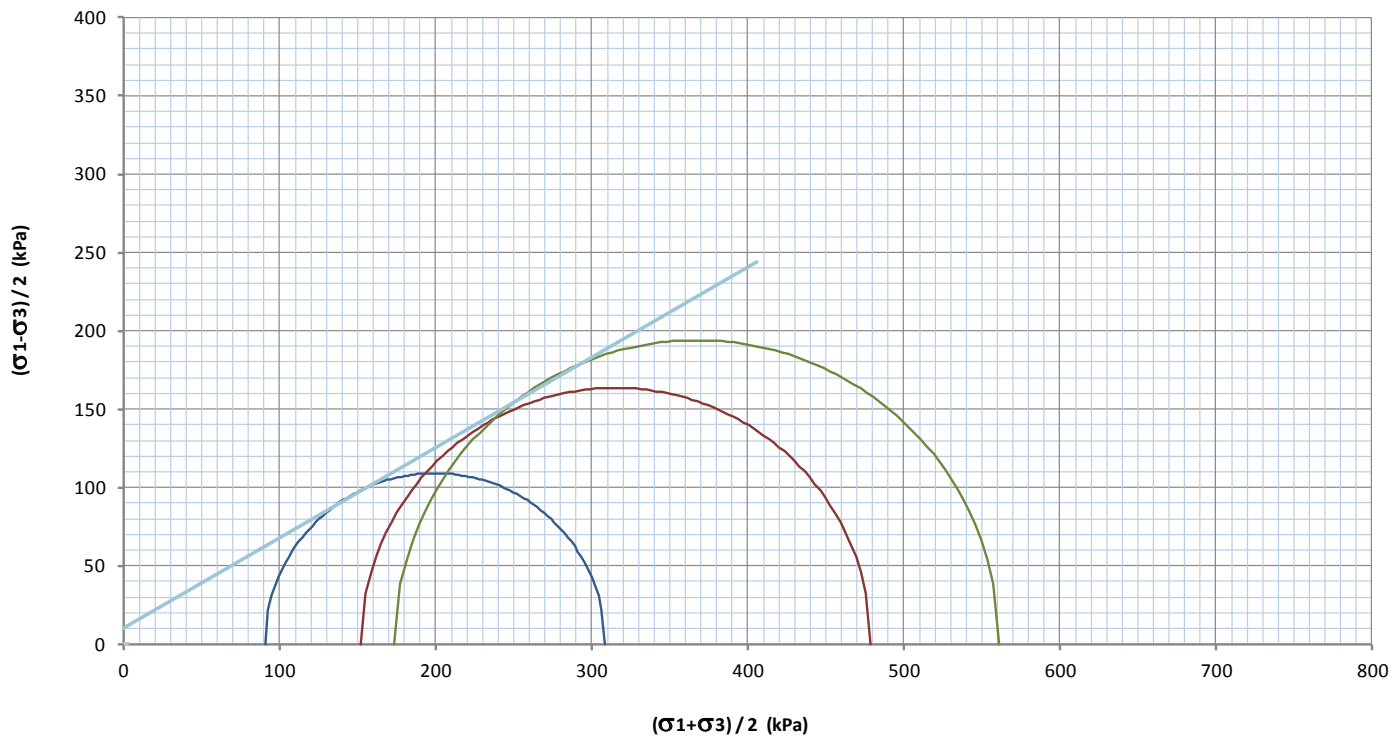
SFORZI EFFICACI			
	Minor Princ.Stress	Deviator stress	Major Princ.Stress
	(kPa)	(kPa)	(kPa)
	σ'_3	$(\sigma'_1 - \sigma'_3)$	σ'_1
Test 1	90.50	218.1	308.6
Test 2	151.90	327.1	479.0
Test 3	173.60	387.8	561.4

Cohesion = <input type="text" value="10"/> kPa
phi = <input type="text" value="30.0"/> °

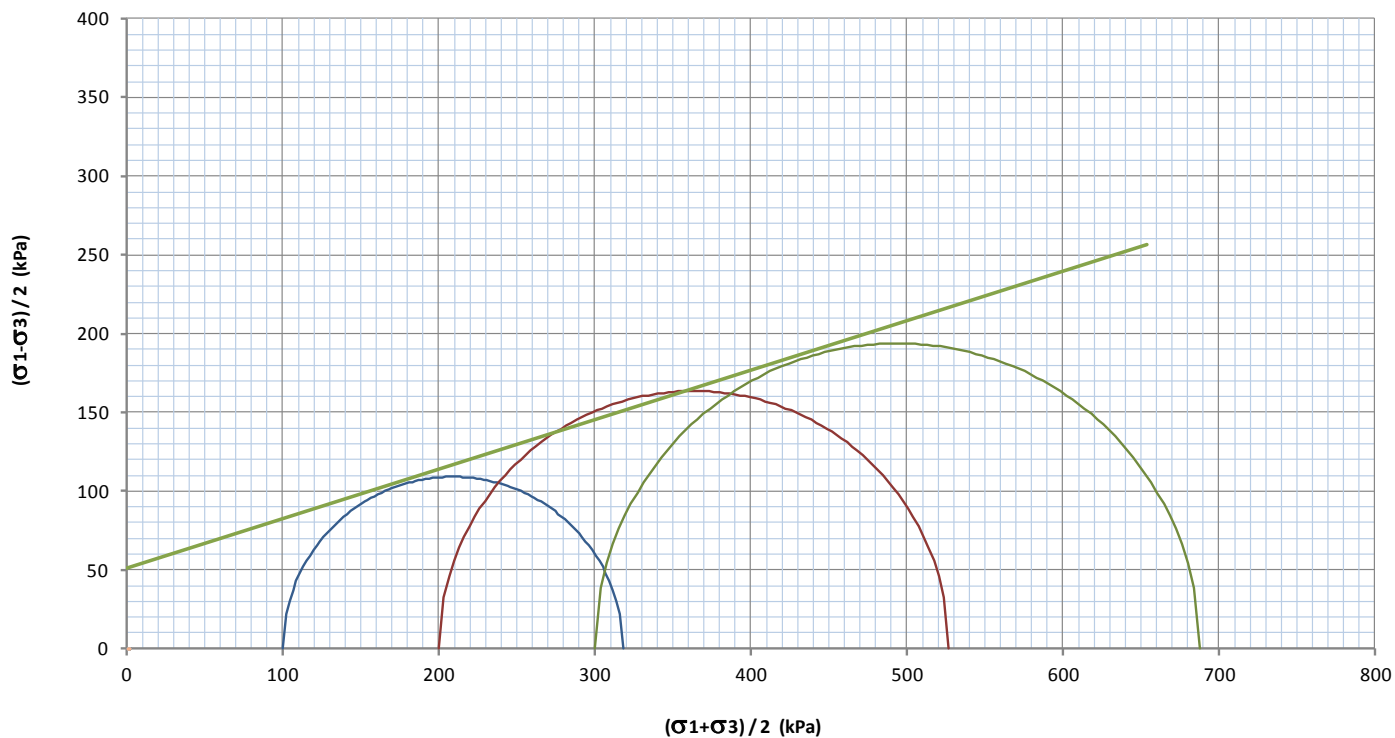
SFORZI TOTALI			
	Minor Princ.Stress	Deviator stress	Major Princ.Stress
	(kPa)	(kPa)	(kPa)
	σ_3	$(\sigma_1 - \sigma_3)$	σ_1
Test 1	100.00	218.1	318.1
Test 2	200.00	327.1	527.1
Test 3	300.00	387.8	687.8

Cohesion = <input type="text" value="51"/> kPa
phi = <input type="text" value="17.5"/> °

PROVA TRIASSIALE C.I.U. - PIANO DI MOHR - SFORZI EFFETTIVI



PROVA TRIASSIALE C.I.U. - PIANO DI MOHR - SFORZI TOTALI



PROVA TRIASSIALE
SONDAGGIO S9- CAMPIONE C3

h (falda)	h (provino)	γ	C'	ϕ'
(m)	(m)	(kN/m ³)	(kPa)	(°)
6	9.3	19.1	16	31.3

PROVA TRIASSIALE				
Cont.Press.	200			kPa
Press.Cell	300.00	400.00	500.00	kPa
Press.Rott.	146.98	205.45	274.22	kPa
U Rottura	259.07	329.46	399.90	kPa

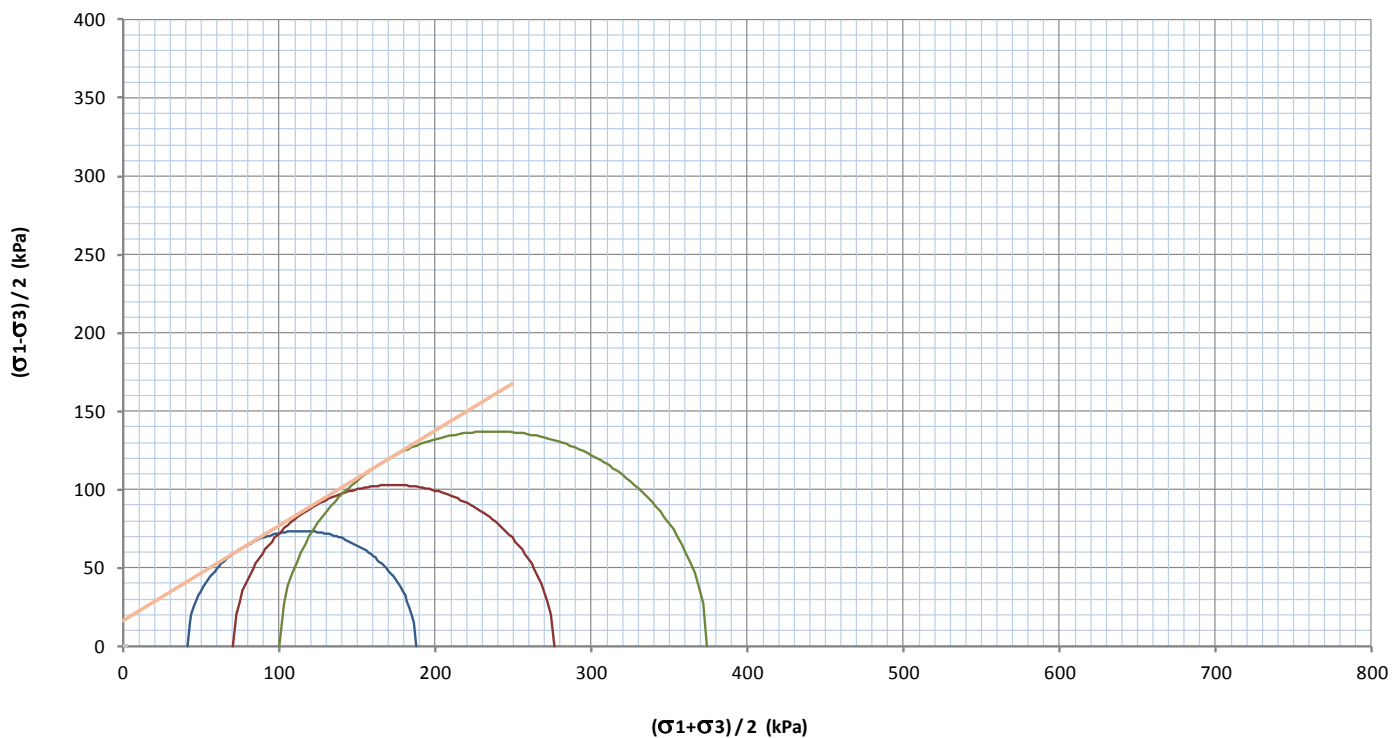
SFORZI EFFICACI			
	Minor Princ.Stress	Deviator stress	Major Princ.Stress
	(kPa)	(kPa)	(kPa)
	σ'_3	$(\sigma'_1 - \sigma'_3)$	σ'_1
Test 1	40.93	147.0	187.9
Test 2	70.54	205.5	276.0
Test 3	100.10	274.2	374.3

Cohesion =	16	kPa
phi =	31.3	°

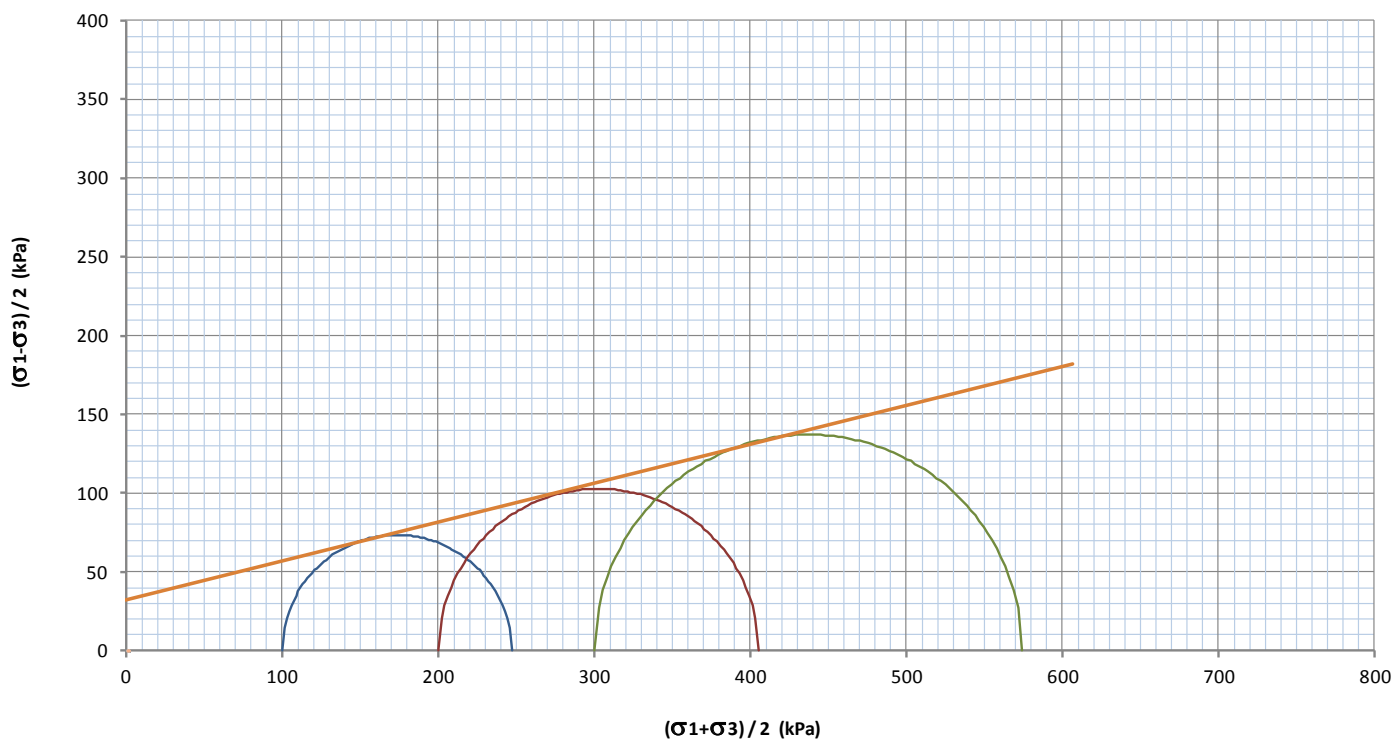
SFORZI TOTALI			
	Minor Princ.Stress	Deviator stress	Major Princ.Stress
	(kPa)	(kPa)	(kPa)
	σ_3	$(\sigma_1 - \sigma_3)$	σ_1
Test 1	100.00	147.0	247.0
Test 2	200.00	205.5	405.5
Test 3	300.00	274.2	574.2

Cohesion =	32	kPa
phi =	13.9	°

PROVA TRIASSIALE C.I.U. - PIANO DI MOHR - SFORZI EFFETTIVI



PROVA TRIASSIALE C.I.U. - PIANO DI MOHR - SFORZI TOTALI



PROVA TRIASSIALE
SONDAGGIO S9- CAMPIONE C4

h (falda)	h (provino)	γ	C'	ϕ'
(m)	(m)	(kN/m ³)	(kPa)	(°)
6	23.4	20.1	20	26.1

PROVA TRIASSIALE				
Cont.Press.	200			kPa
Press.Cell	500.00	600.00	700.00	kPa
Press.Rott.	266.43	347.57	407.77	kPa
U Rottura	370.00	417.30	483.50	kPa

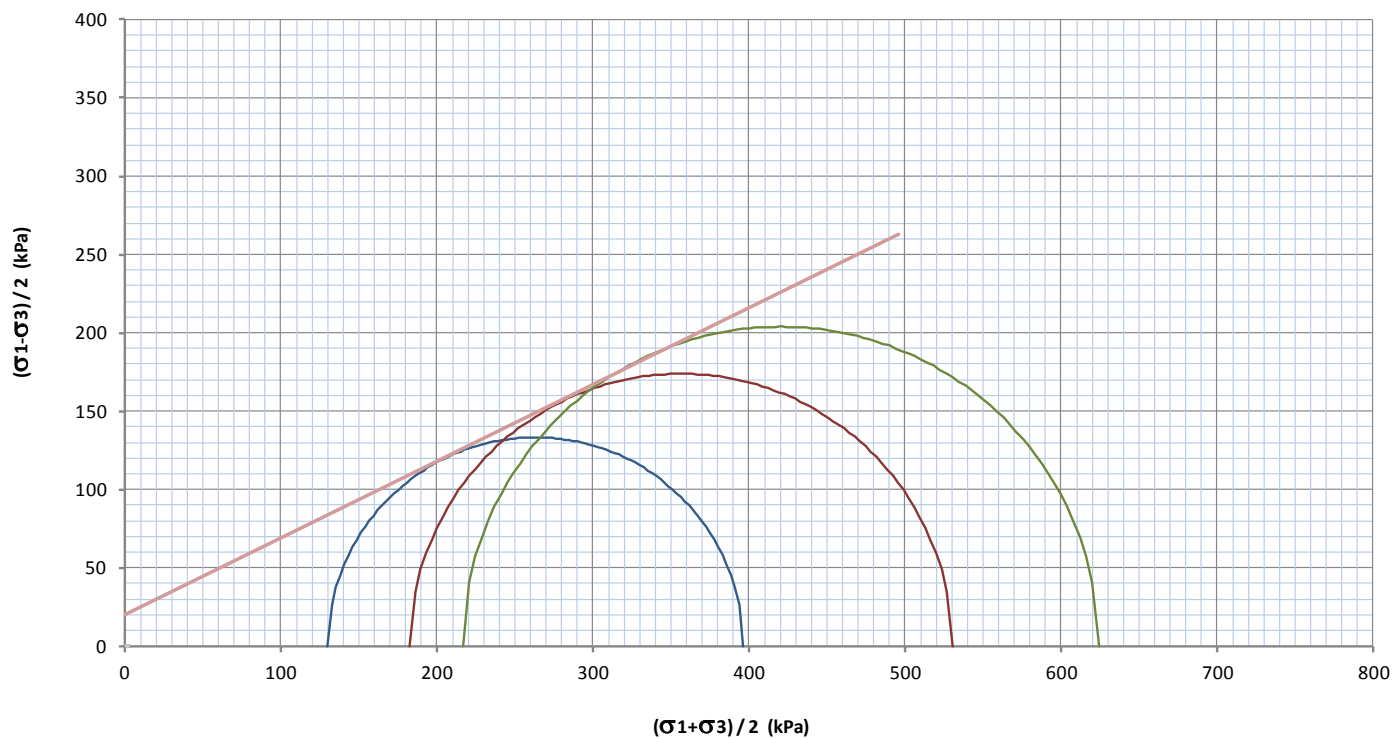
SFORZI EFFICACI			
	Minor Princ.Stress	Deviator stress	Major Princ.Stress
	(kPa)	(kPa)	(kPa)
	σ'_3	$(\sigma'_1 - \sigma'_3)$	σ'_1
Test 1	130.00	266.4	396.4
Test 2	182.70	347.6	530.3
Test 3	216.50	407.8	624.3

Cohesion =	20	kPa
phi =	26.1	°

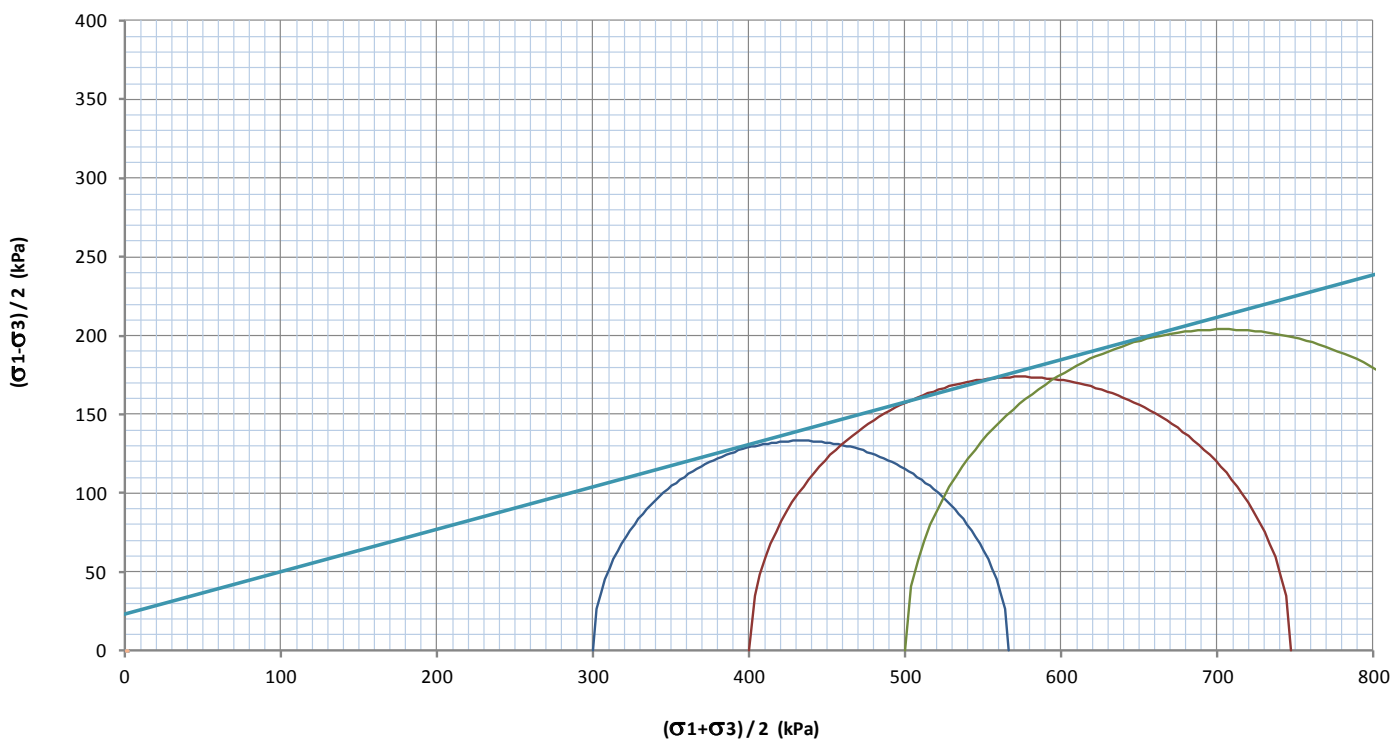
SFORZI TOTALI			
	Minor Princ.Stress	Deviator stress	Major Princ.Stress
	(kPa)	(kPa)	(kPa)
	σ_3	$(\sigma_1 - \sigma_3)$	σ_1
Test 1	300.00	266.4	566.4
Test 2	400.00	347.6	747.6
Test 3	500.00	407.8	907.8

Cohesion =	23	kPa
phi =	15.1	°

PROVA TRIASSIALE C.I.U. - PIANO DI MOHR - SFORZI EFFETTIVI



PROVA TRIASSIALE C.I.U. - PIANO DI MOHR - SFORZI TOTALI



PROVA TRIASSIALE
SONDAGGIO S9- CAMPIONE C5

h (falda)	h (provino)	γ	C'	ϕ'
(m)	(m)	(kN/m ³)	(kPa)	(°)
6	27.9	18.9	10	23.6

PROVA TRIASSIALE				
Cont.Press.	300			kPa
Press.Cell	550.00	650.00	750.00	kPa
Press.Rott.	233.44	285.97	330.77	kPa
U Rottura	398.48	460.60	523.00	kPa

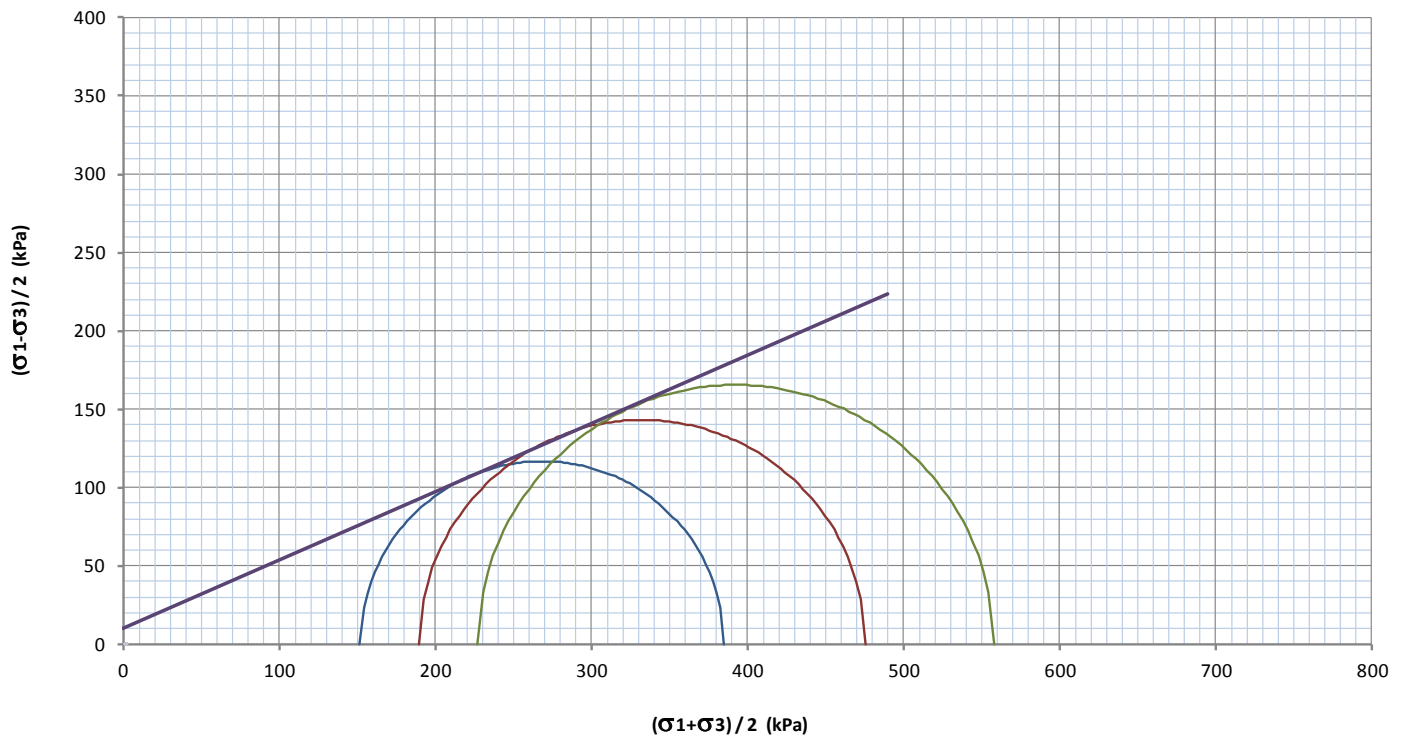
SFORZI EFFICACI			
	Minor Princ.Stress	Deviator stress	Major Princ.Stress
	(kPa)	(kPa)	(kPa)
	σ'_3	$(\sigma'_1 - \sigma'_3)$	σ'_1
Test 1	151.52	233.4	385.0
Test 2	189.40	286.0	475.4
Test 3	227.00	330.8	557.8

Cohesion =	10	kPa
phi =	23.6	°

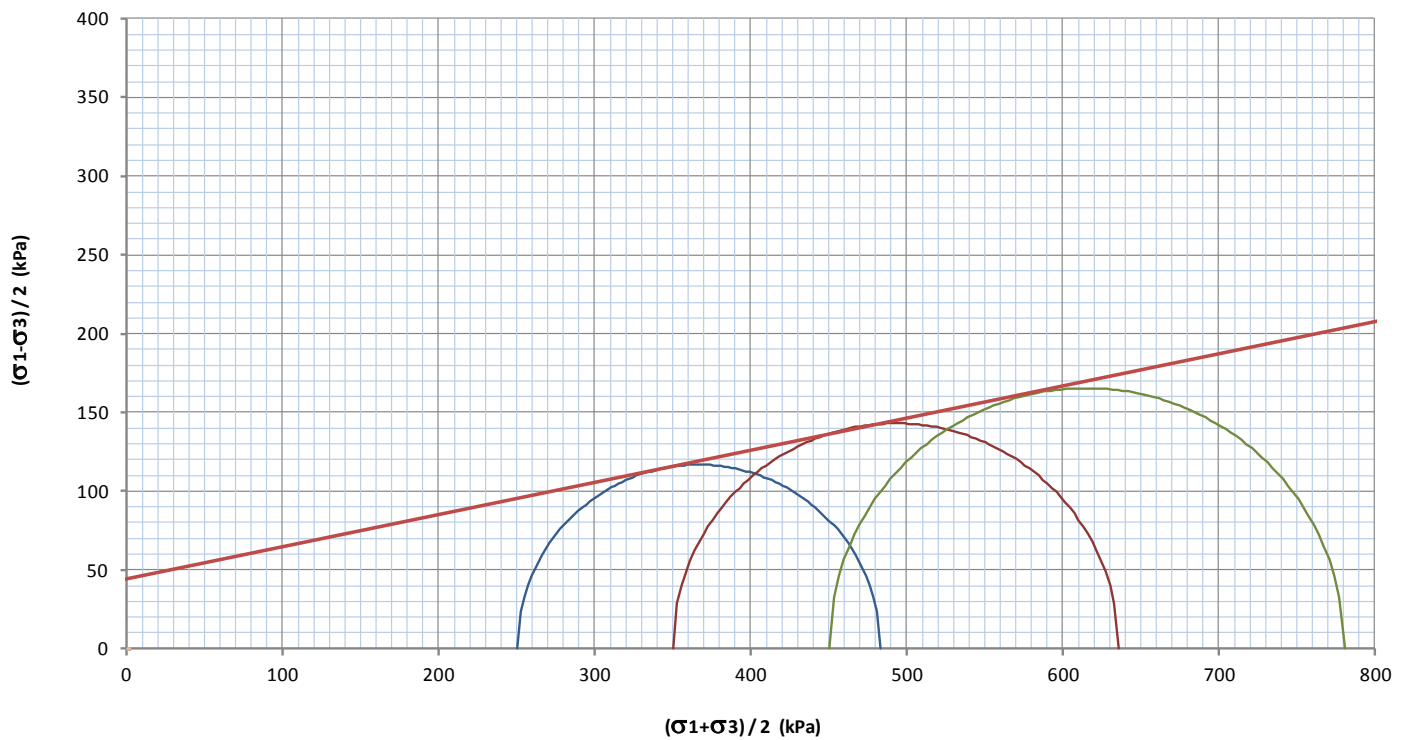
SFORZI TOTALI			
	Minor Princ.Stress	Deviator stress	Major Princ.Stress
	(kPa)	(kPa)	(kPa)
	σ_3	$(\sigma_1 - \sigma_3)$	σ_1
Test 1	250.00	233.4	483.4
Test 2	350.00	286.0	636.0
Test 3	450.00	330.8	780.8

Cohesion =	44	kPa
phi =	11.5	°

PROVA TRIASSIALE C.I.U. - PIANO DI MOHR - SFORZI EFFETTIVI



PROVA TRIASSIALE C.I.U. - PIANO DI MOHR - SFORZI TOTALI



PROVA TRIASSIALE
SONDAGGIO SA- CAMPIONE C1

h (falda)	h (provino)	γ	C'	ϕ'
(m)	(m)	(kN/m ³)	(kPa)	(°)
0.5	2.9	17.9	21	24.8
PROVA TRIASSIALE				
Cont.Press.	100			kPa
Press.Cell	160.00	260.00	360.00	kPa
Press.Rott.	97.39	182.54	250.71	kPa
U Rottura	138.30	177.50	236.30	kPa

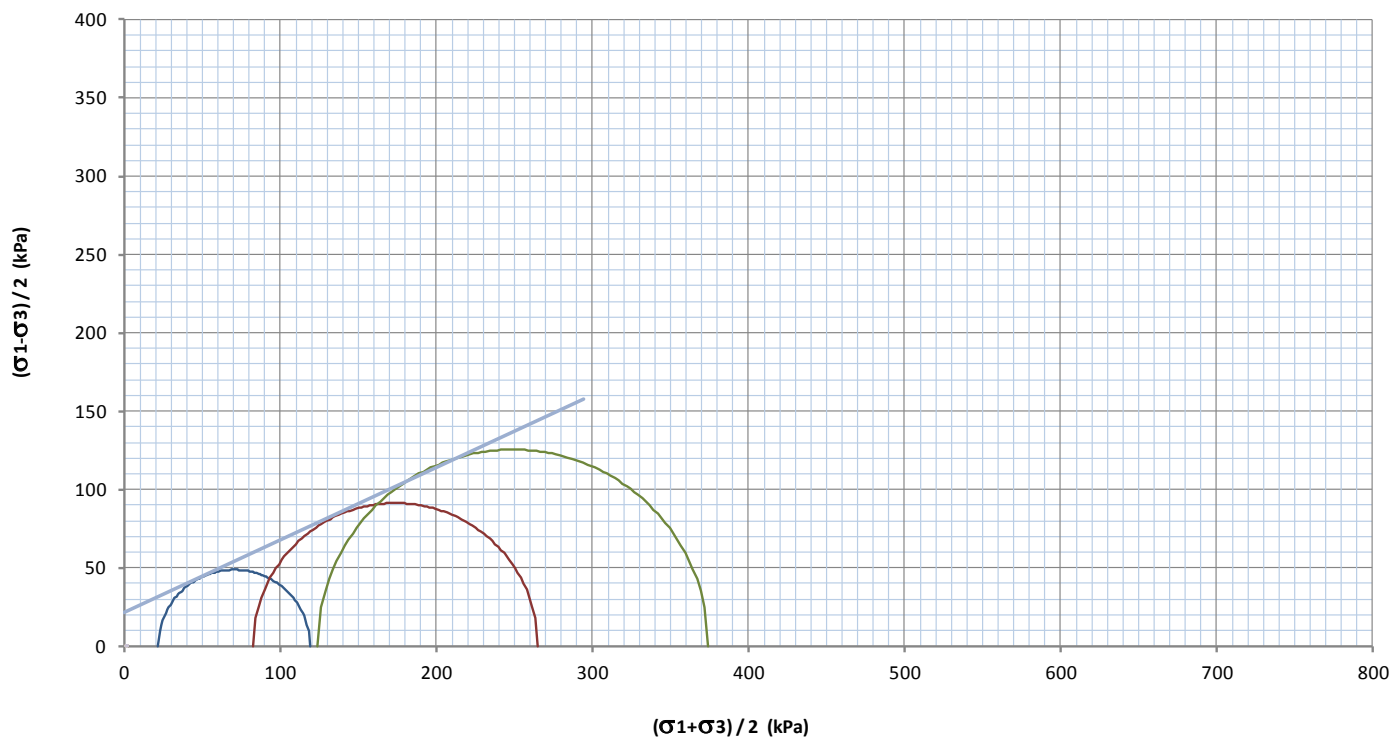
SFORZI EFFICACI			
	Minor Princ.Stress	Deviator stress	Major Princ.Stress
	(kPa)	(kPa)	(kPa)
	σ'_3	$(\sigma'_1 - \sigma'_3)$	σ'_1
Test 1	21.70	97.4	119.1
Test 2	82.50	182.5	265.0
Test 3	123.70	250.7	374.4

Cohesion = <input type="text" value="21"/> kPa
phi = <input type="text" value="24.8"/> °

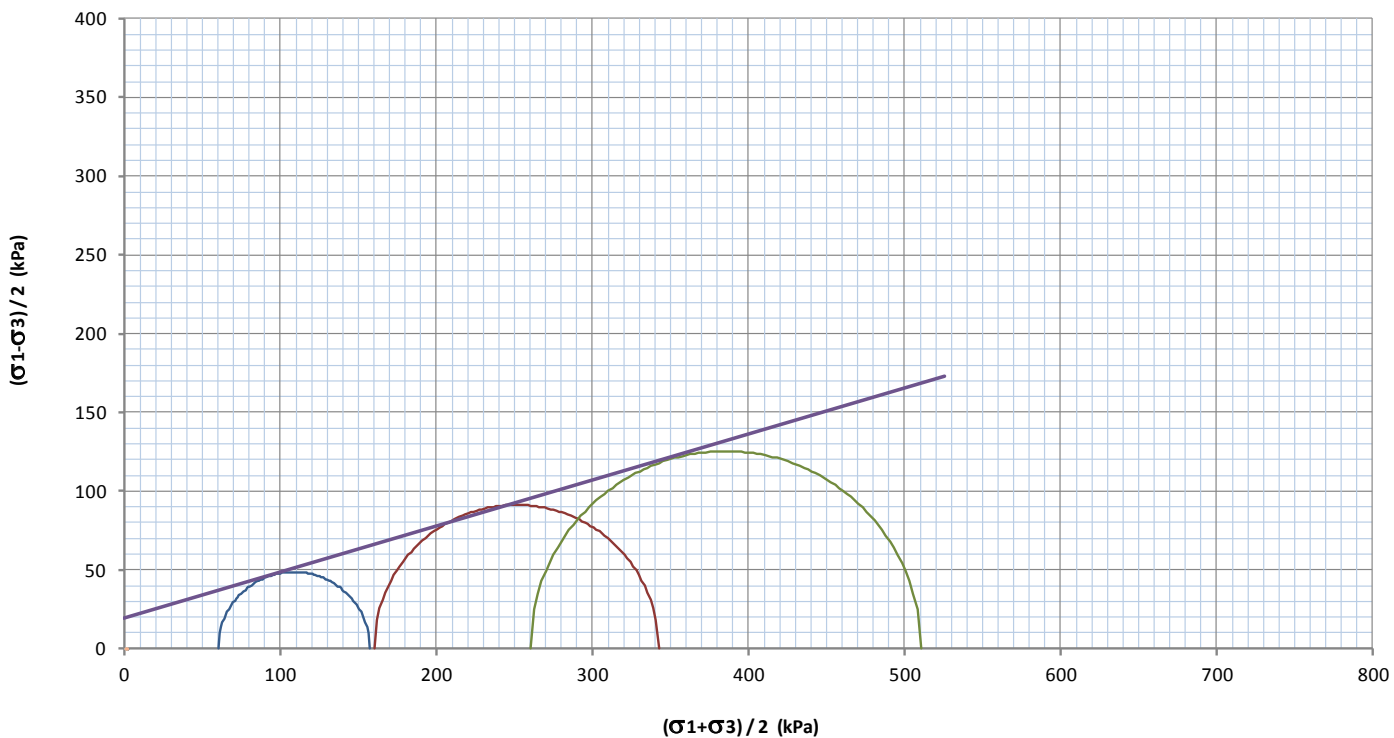
SFORZI TOTALI			
	Minor Princ.Stress	Deviator stress	Major Princ.Stress
	(kPa)	(kPa)	(kPa)
	σ_3	$(\sigma_1 - \sigma_3)$	σ_1
Test 1	60.00	97.4	157.4
Test 2	160.00	182.5	342.5
Test 3	260.00	250.7	510.7

Cohesion = <input type="text" value="20"/> kPa
phi = <input type="text" value="16.3"/> °

PROVA TRIASSIALE C.I.U. - PIANO DI MOHR - SFORZI EFFETTIVI



PROVA TRIASSIALE C.I.U. - PIANO DI MOHR - SFORZI TOTALI



PROVA TRIASSIALE
SONDAGGIO SA- CAMPIONE C2

h (falda)	h (provino)	γ	C'	ϕ'
(m)	(m)	(kN/m ³)	(kPa)	(°)
0.5	5.2	18.8	34	24.8
PROVA TRIASSIALE				
Cont.Press.	200			kPa
Press.Cell	300.00	400.00	500.00	kPa
Press.Rott.	225.81	316.42	458.11	kPa
U Rottura	226.50	234.30	267.70	kPa

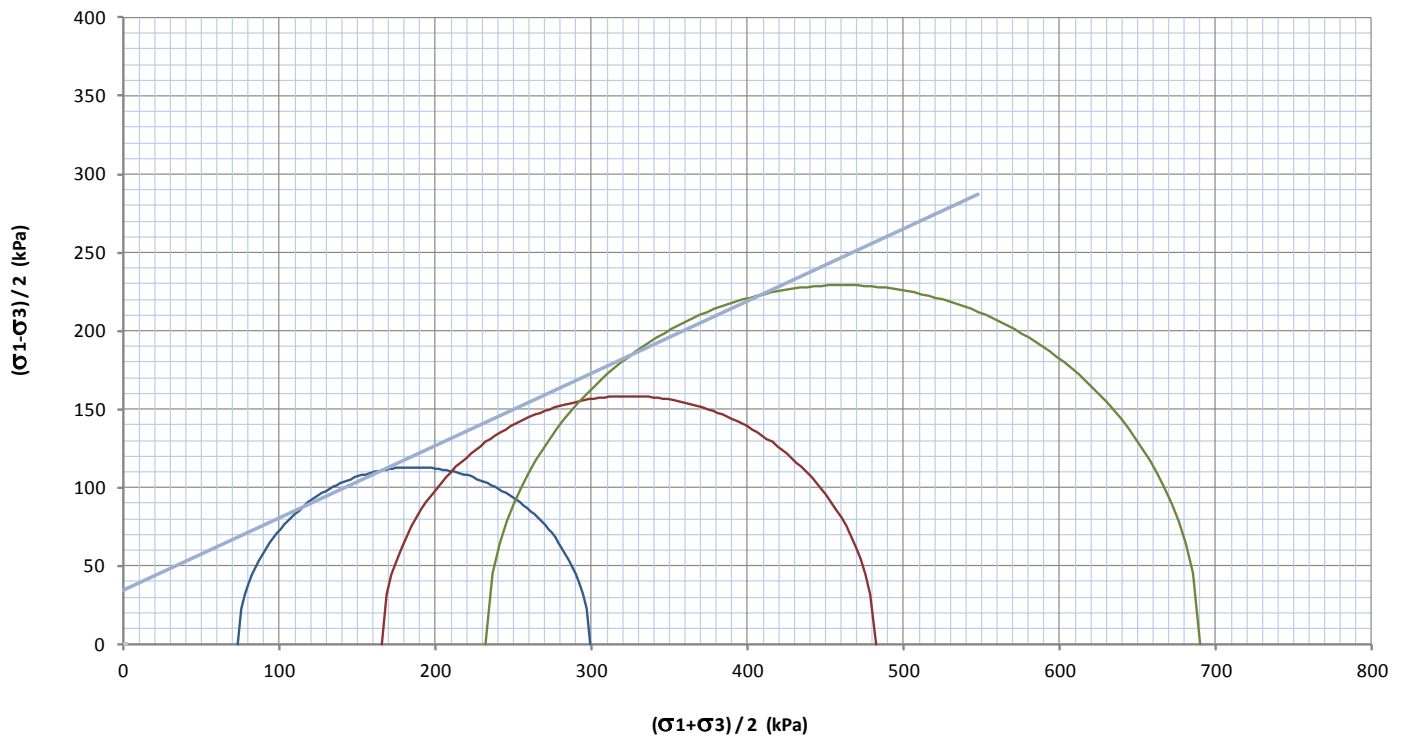
SFORZI EFFICACI			
	Minor Princ.Stress	Deviator stress	Major Princ.Stress
	(kPa)	(kPa)	(kPa)
	σ'_3	$(\sigma'_1 - \sigma'_3)$	σ'_1
Test 1	73.50	225.8	299.3
Test 2	165.70	316.4	482.1
Test 3	232.30	458.1	690.4

Cohesion = <input style="width: 80px;" type="text" value="34"/> kPa
phi = <input style="width: 80px;" type="text" value="24.8"/> °

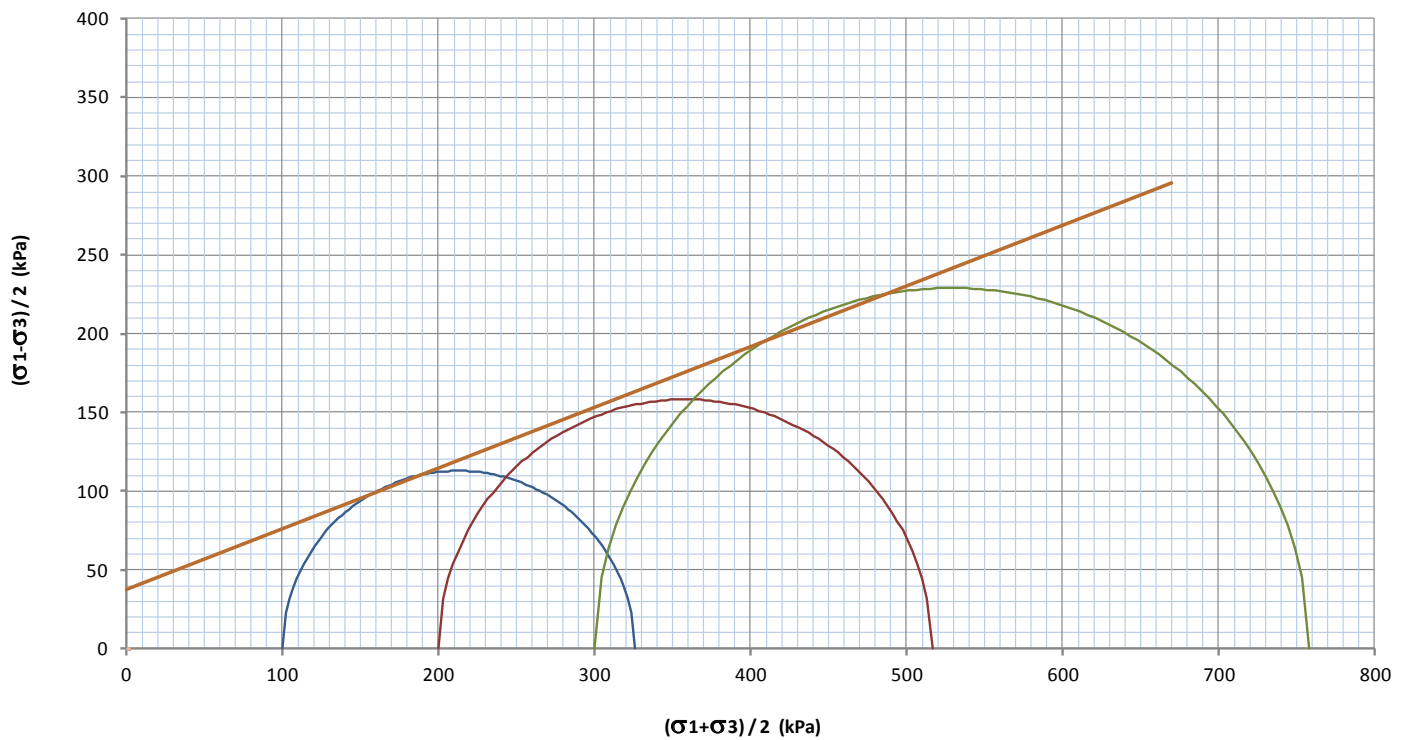
SFORZI TOTALI			
	Minor Princ.Stress	Deviator stress	Major Princ.Stress
	(kPa)	(kPa)	(kPa)
	σ_3	$(\sigma_1 - \sigma_3)$	σ_1
Test 1	100.00	225.8	325.8
Test 2	200.00	316.4	516.4
Test 3	300.00	458.1	758.1

Cohesion = <input style="width: 80px;" type="text" value="37"/> kPa
phi = <input style="width: 80px;" type="text" value="21.1"/> °

PROVA TRIASSIALE C.I.U. - PIANO DI MOHR - SFORZI EFFETTIVI



PROVA TRIASSIALE C.I.U. - PIANO DI MOHR - SFORZI TOTALI



PROVA TRIASSIALE
SONDAGGIO SA- CAMPIONE C3

h (falda)	h (provino)	γ	C'	ϕ'
(m)	(m)	(kN/m ³)	(kPa)	(°)
0.5	7.8	19.0	28	30.0

PROVA TRIASSIALE				
Cont.Press.	200			kPa
Press.Cell	350.00	450.00	550.00	kPa
Press.Rott.	263.59	362.29	454.35	kPa
U Rottura	262.80	323.60	366.70	kPa

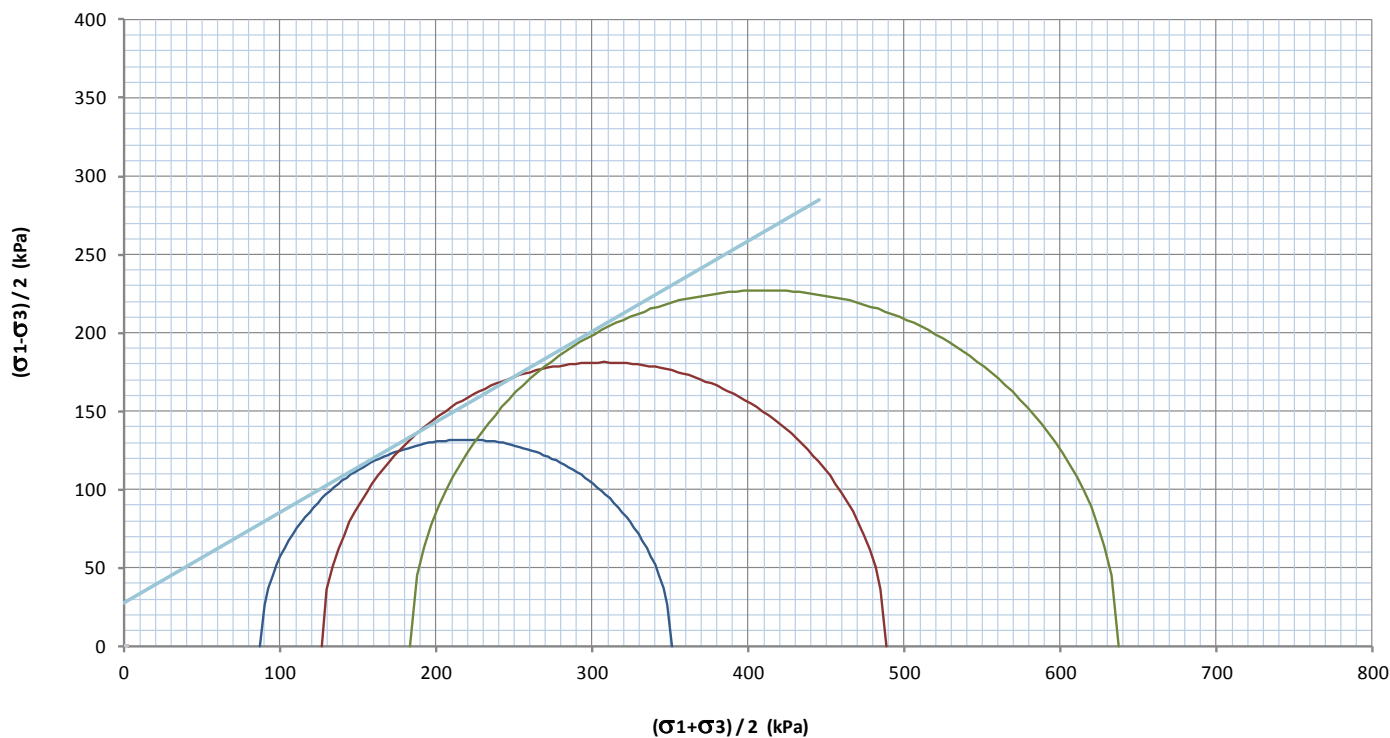
SFORZI EFFICACI			
	Minor Princ.Stress	Deviator stress	Major Princ.Stress
	(kPa)	(kPa)	(kPa)
	σ'_3	$(\sigma'_1 - \sigma'_3)$	σ'_1
Test 1	87.20	263.6	350.8
Test 2	126.40	362.3	488.7
Test 3	183.30	454.4	637.7

Cohesion =	28	kPa
phi =	30.0	°

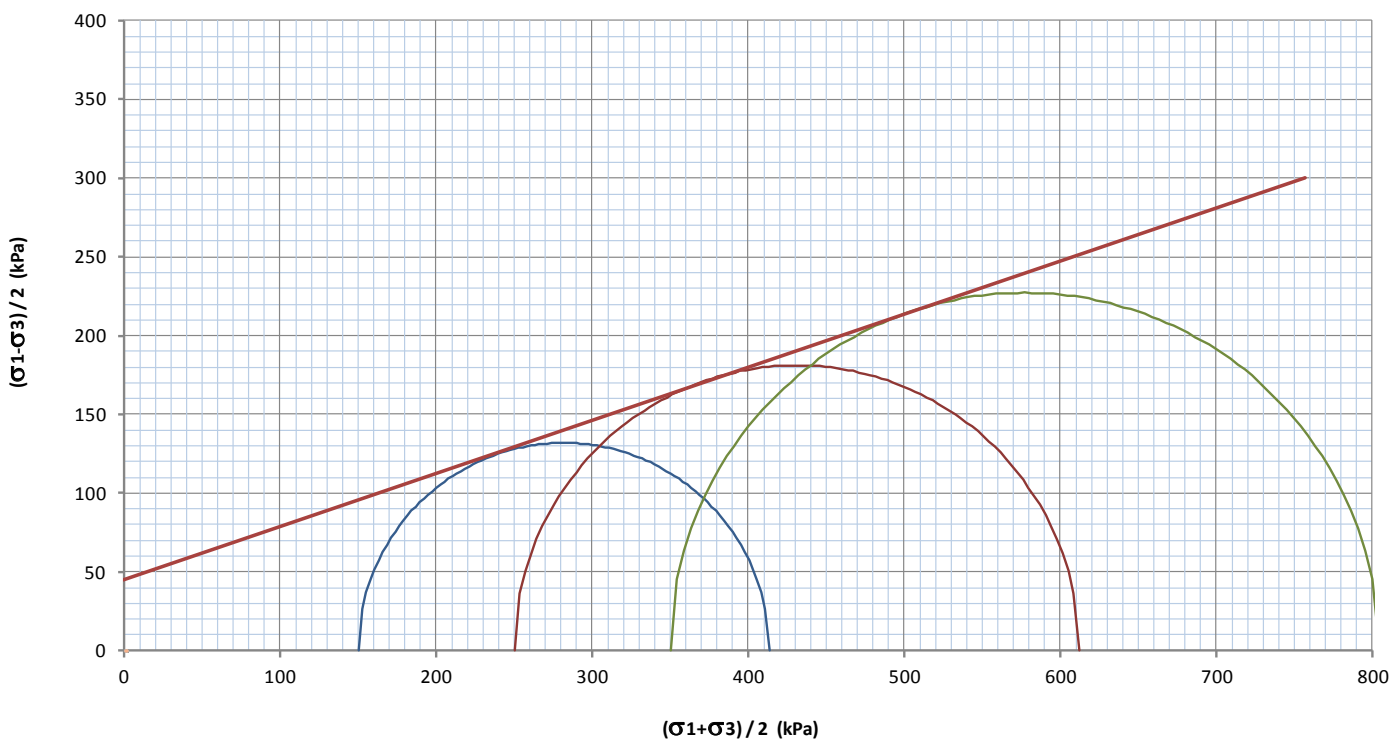
SFORZI TOTALI			
	Minor Princ.Stress	Deviator stress	Major Princ.Stress
	(kPa)	(kPa)	(kPa)
	σ_3	$(\sigma_1 - \sigma_3)$	σ_1
Test 1	150.00	263.6	413.6
Test 2	250.00	362.3	612.3
Test 3	350.00	454.4	804.4

Cohesion =	45	kPa
phi =	18.7	°

PROVA TRIASSIALE C.I.U. - PIANO DI MOHR - SFORZI EFFETTIVI



PROVA TRIASSIALE C.I.U. - PIANO DI MOHR - SFORZI TOTALI



PROVA TRIASSIALE
SONDAGGIO SA- CAMPIONE C4

h (falda)	h (provino)	γ	C'	ϕ'
(m)	(m)	(kN/m ³)	(kPa)	(°)
0.5	10.6	19.1	47	28.7

PROVA TRIASSIALE				
Cont.Press.	200			kPa
Press.Cell	400.00	500.00	600.00	kPa
Press.Rott.	435.44	514.48	670.24	kPa
U Rottura	259.80	289.20	332.40	kPa

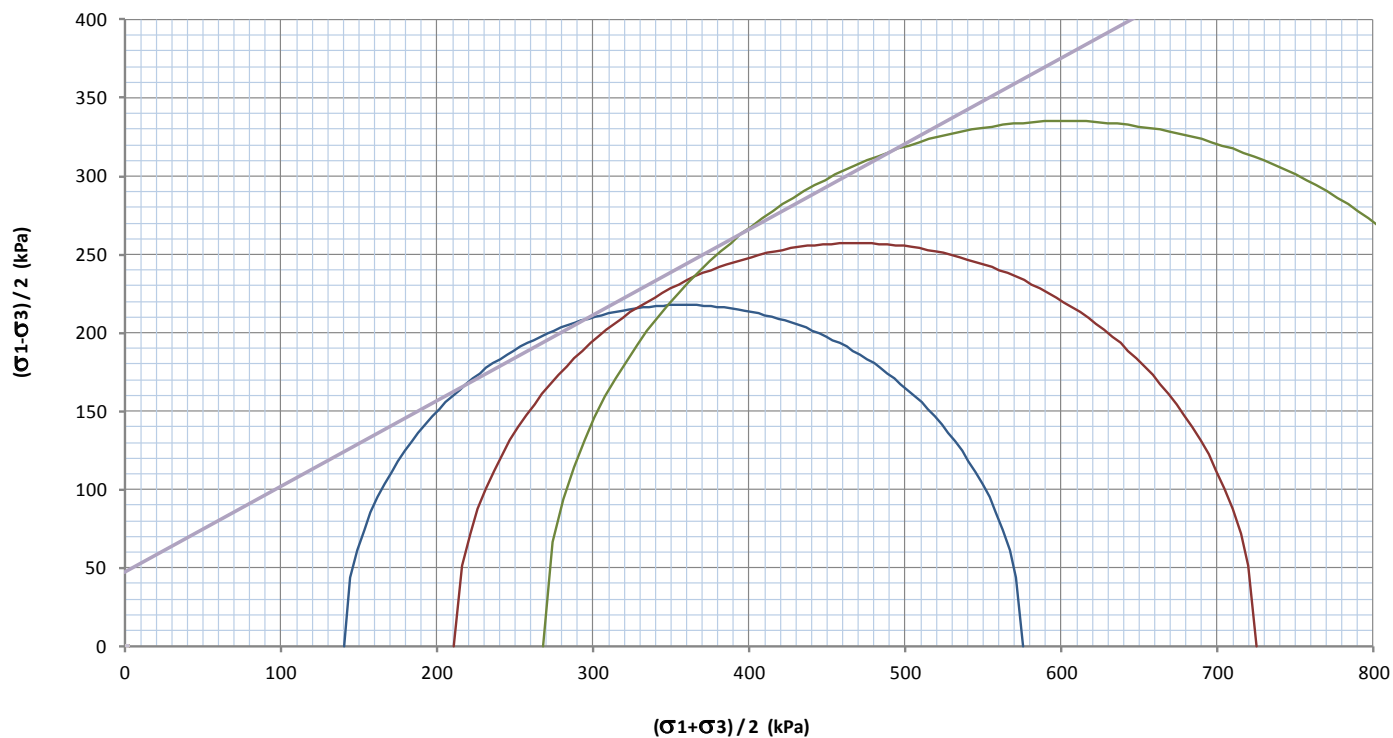
SFORZI EFFICACI			
	Minor Princ.Stress	Deviator stress	Major Princ.Stress
	(kPa)	(kPa)	(kPa)
	σ'_3	$(\sigma'_1 - \sigma'_3)$	σ'_1
Test 1	140.20	435.4	575.6
Test 2	210.80	514.5	725.3
Test 3	267.60	670.2	937.8

Cohesion =	47	kPa
phi =	28.7	°

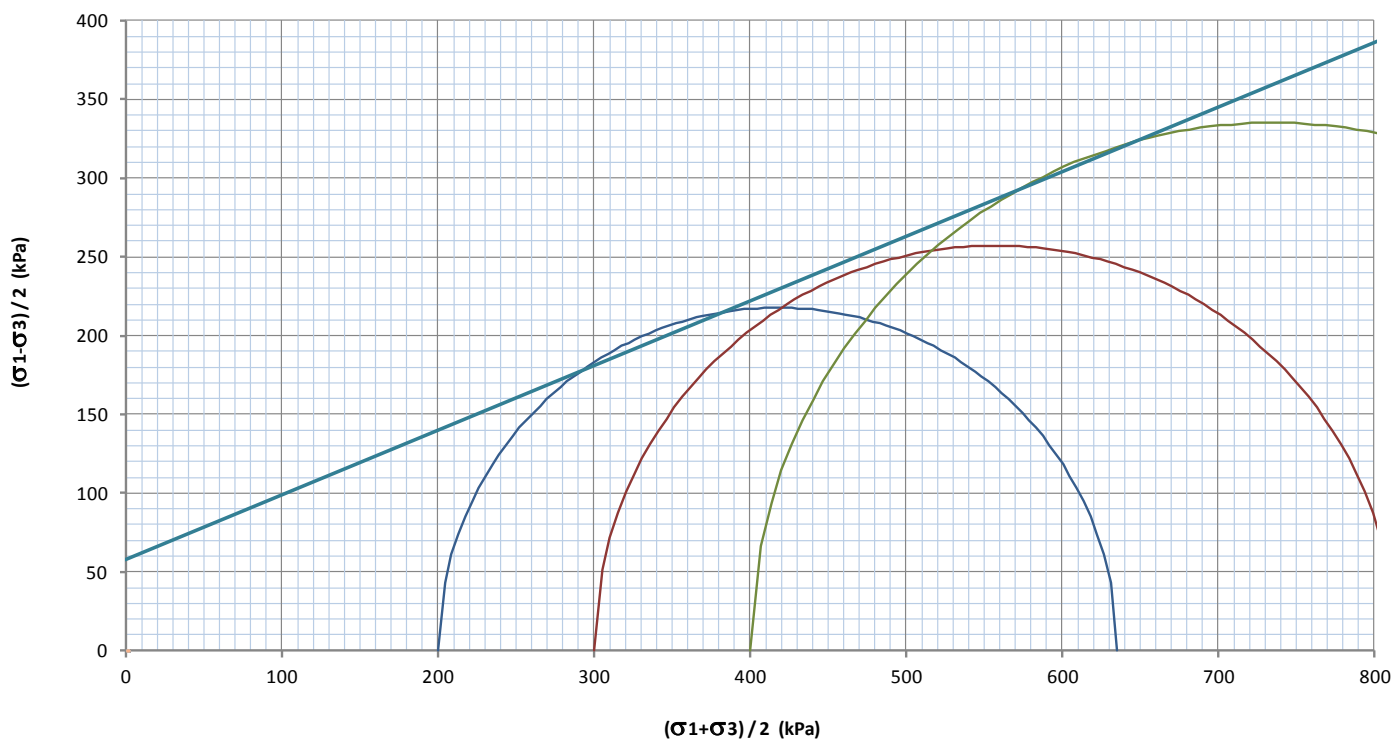
SFORZI TOTALI			
	Minor Princ.Stress	Deviator stress	Major Princ.Stress
	(kPa)	(kPa)	(kPa)
	σ_3	$(\sigma_1 - \sigma_3)$	σ_1
Test 1	200.00	435.4	635.4
Test 2	300.00	514.5	814.5
Test 3	400.00	670.2	1070.2

Cohesion =	58	kPa
phi =	22.3	°

PROVA TRIASSIALE C.I.U. - PIANO DI MOHR - SFORZI EFFETTIVI



PROVA TRIASSIALE C.I.U. - PIANO DI MOHR - SFORZI TOTALI



PROVA TRIASSIALE
SONDAGGIO SB- CAMPIONE C1

h (falda)	h (provino)	γ	C'	ϕ'
(m)	(m)	(kN/m ³)	(kPa)	(°)
3.2	2.4	19.5	28	23.6

PROVA TRIASSIALE				
Cont.Press.	300			kPa
Press.Cell	400.00	500.00	600.00	kPa
Press.Rott.	239.99	281.15	332.00	kPa
U Rottura	287.10	348.20	421.00	kPa

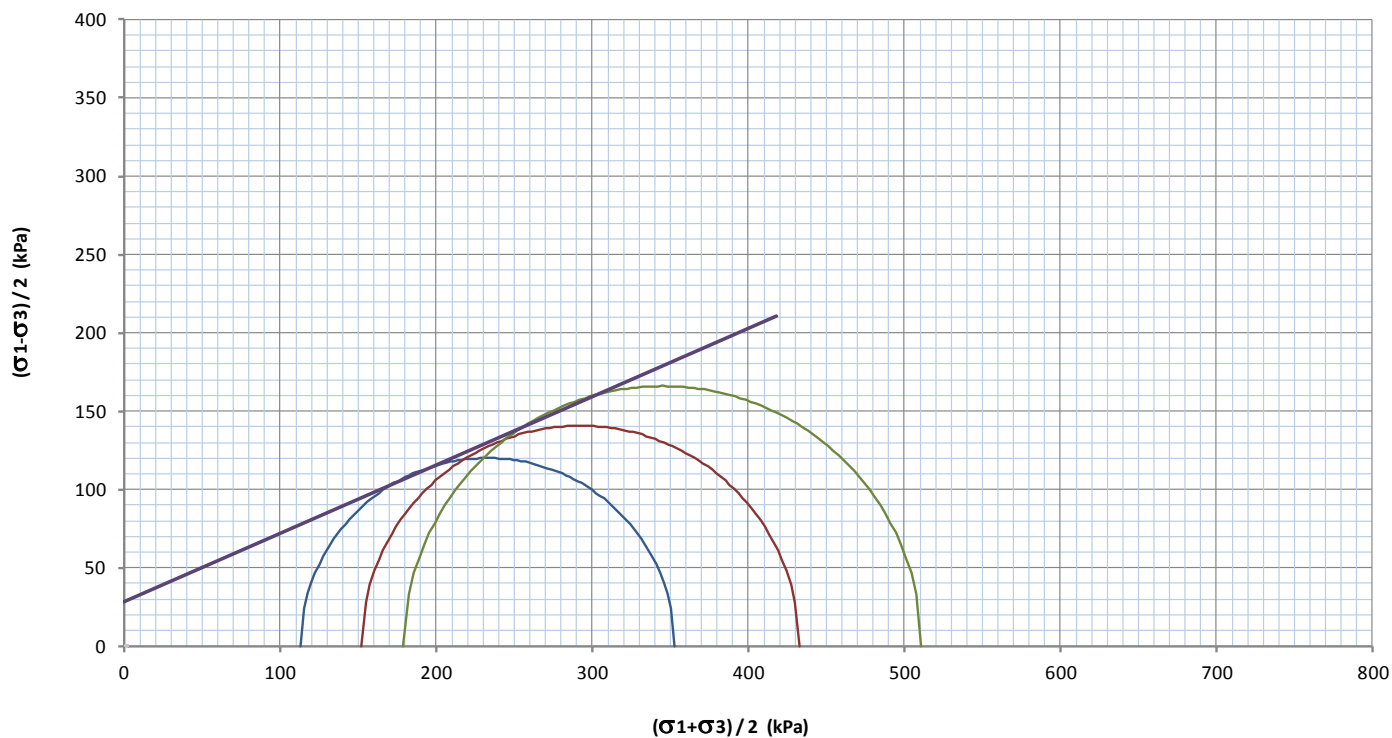
SFORZI EFFICACI			
	Minor Princ.Stress	Deviator stress	Major Princ.Stress
	(kPa)	(kPa)	(kPa)
	σ'_3	$(\sigma'_1 - \sigma'_3)$	σ'_1
Test 1	112.90	240.0	352.9
Test 2	151.80	281.2	433.0
Test 3	179.00	332.0	511.0

Cohesion =	28	kPa
phi =	23.6	°

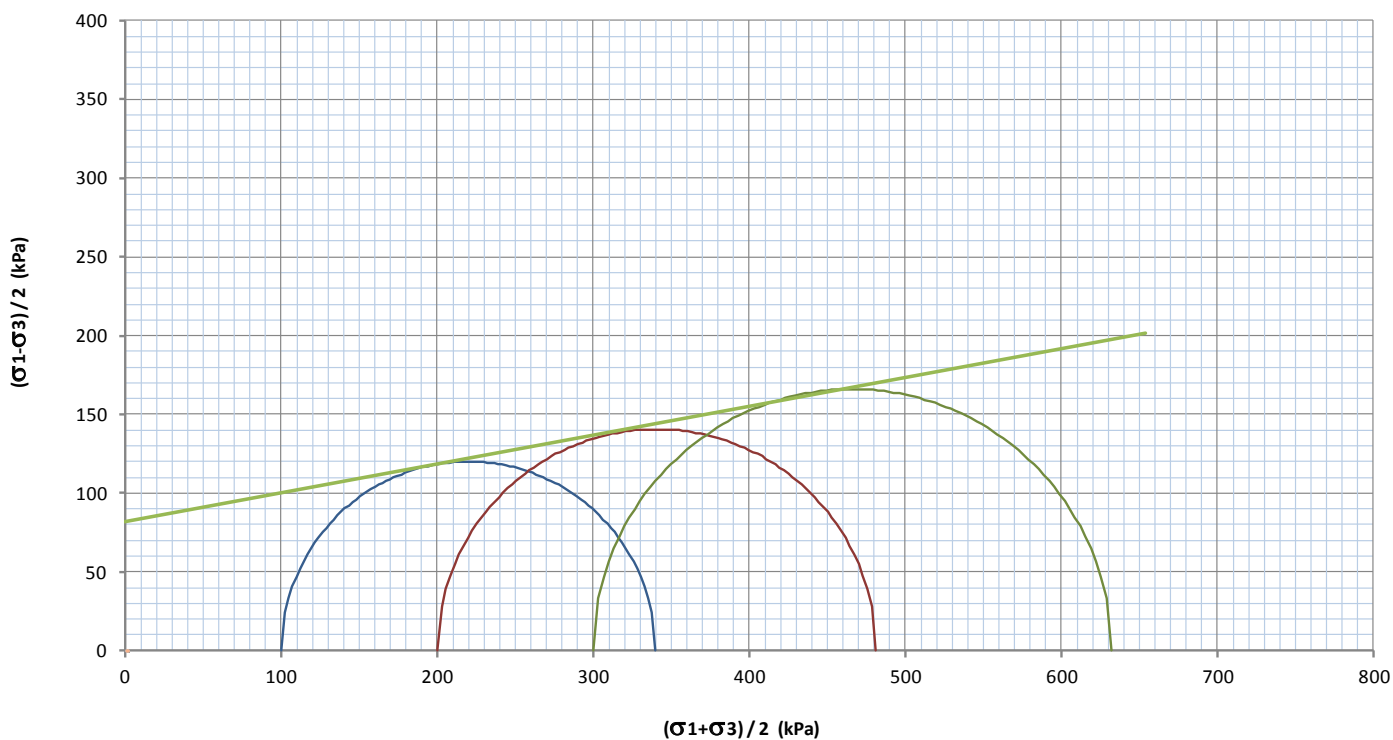
SFORZI TOTALI			
	Minor Princ.Stress	Deviator stress	Major Princ.Stress
	(kPa)	(kPa)	(kPa)
	σ_3	$(\sigma_1 - \sigma_3)$	σ_1
Test 1	100.00	240.0	340.0
Test 2	200.00	281.2	481.2
Test 3	300.00	332.0	632.0

Cohesion =	82	kPa
phi =	10.4	°

PROVA TRIASSIALE C.I.U. - PIANO DI MOHR - SFORZI EFFETTIVI



PROVA TRIASSIALE C.I.U. - PIANO DI MOHR - SFORZI TOTALI



PROVA TRIASSIALE
SONDAGGIO SB- CAMPIONE C2

h (falda)	h (provino)	γ	C'	ϕ'
(m)	(m)	(kN/m ³)	(kPa)	(°)
3.2	5.2	19.3	1	31.4
PROVA TRIASSIALE				
Cont.Press.	200			kPa
Press.Cell	300.00	400.00	500.00	kPa
Press.Rott.	141.81	238.07	308.91	kPa
U Rottura	231.70	295.00	359.90	kPa

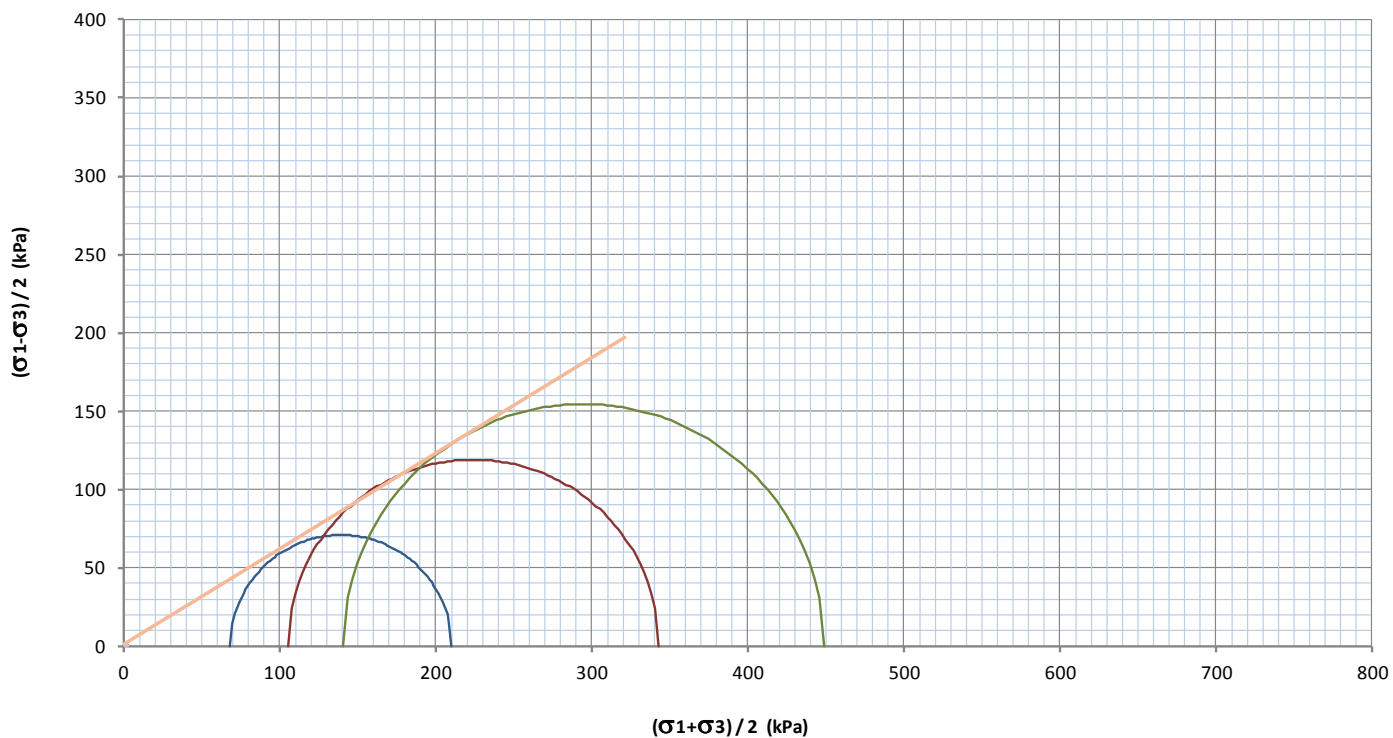
SFORZI EFFICACI			
	Minor Princ.Stress	Deviator stress	Major Princ.Stress
	(kPa)	(kPa)	(kPa)
	σ'_3	$(\sigma'_1 - \sigma'_3)$	σ'_1
Test 1	68.30	141.8	210.1
Test 2	105.00	238.1	343.1
Test 3	140.10	308.9	449.0

Cohesion = <input type="text" value="1"/> kPa
phi = <input type="text" value="31.4"/> °

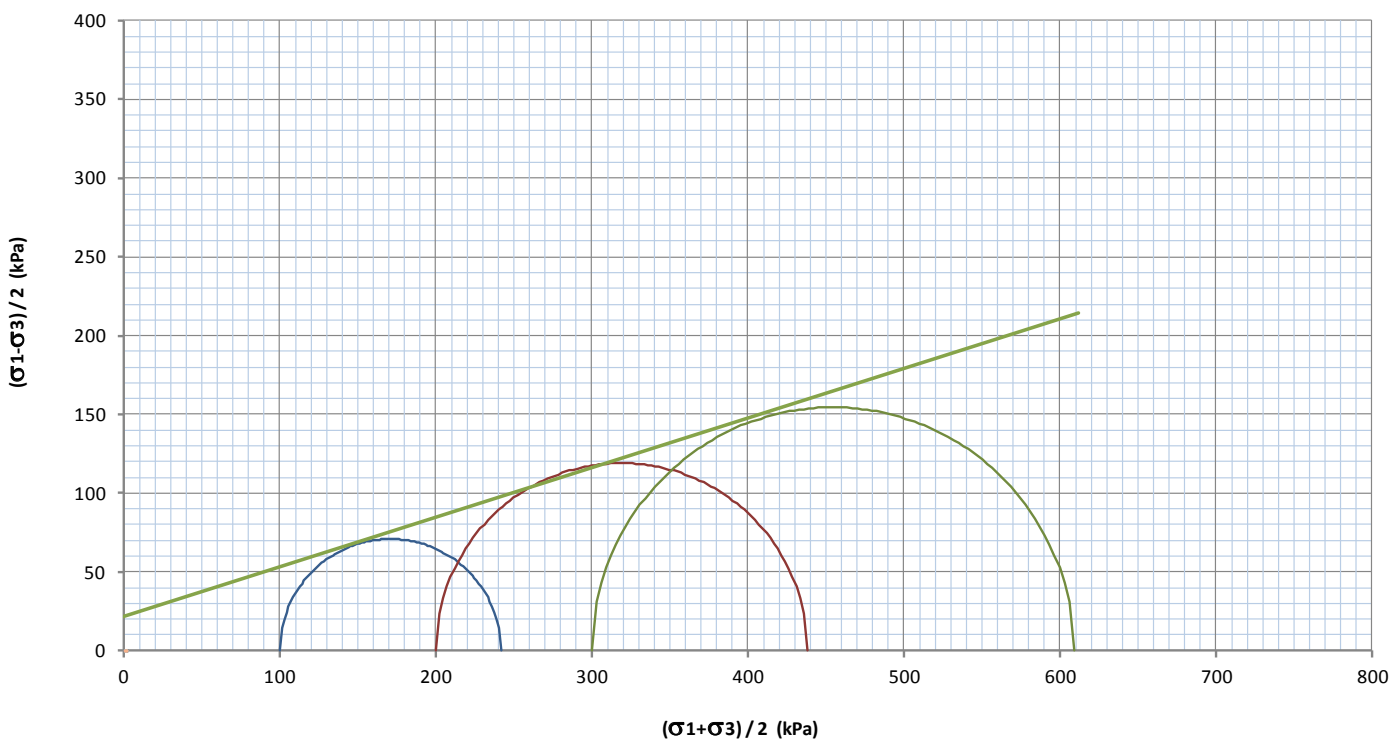
SFORZI TOTALI			
	Minor Princ.Stress	Deviator stress	Major Princ.Stress
	(kPa)	(kPa)	(kPa)
	σ_3	$(\sigma_1 - \sigma_3)$	σ_1
Test 1	100.00	141.8	241.8
Test 2	200.00	238.1	438.1
Test 3	300.00	308.9	608.9

Cohesion = <input type="text" value="21"/> kPa
phi = <input type="text" value="17.5"/> °

PROVA TRIASSIALE C.I.U. - PIANO DI MOHR - SFORZI EFFETTIVI



PROVA TRIASSIALE C.I.U. - PIANO DI MOHR - SFORZI TOTALI



PROVA TRIASSIALE
SONDAGGIO SB- CAMPIONE C3

h (falda)	h (provino)	γ	C'	ϕ'
(m)	(m)	(kN/m ³)	(kPa)	(°)
3.2	7.7	19.4	3	28.7

PROVA TRIASSIALE				
Cont.Press.	200			kPa
Press.Cell	300.00	400.00	500.00	kPa
Press.Rott.	211.26	334.72	417.34	kPa
U Rottura	195.60	215.80	283.00	kPa

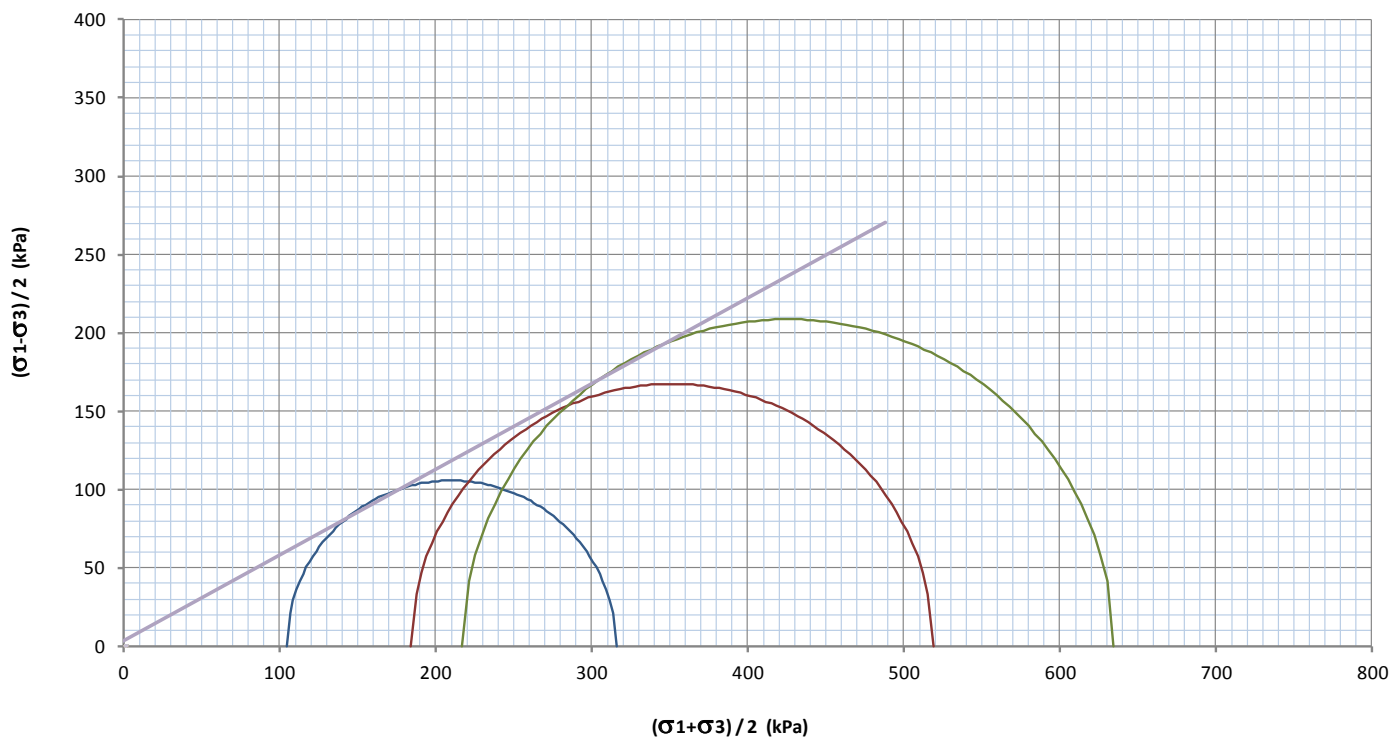
SFORZI EFFICACI			
	Minor Princ.Stress	Deviator stress	Major Princ.Stress
	(kPa)	(kPa)	(kPa)
	σ'_3	$(\sigma'_1 - \sigma'_3)$	σ'_1
Test 1	104.40	211.3	315.7
Test 2	184.20	334.7	518.9
Test 3	217.00	417.3	634.3

Cohesion = <input type="text" value="3"/> kPa phi = <input type="text" value="28.7"/> °
--

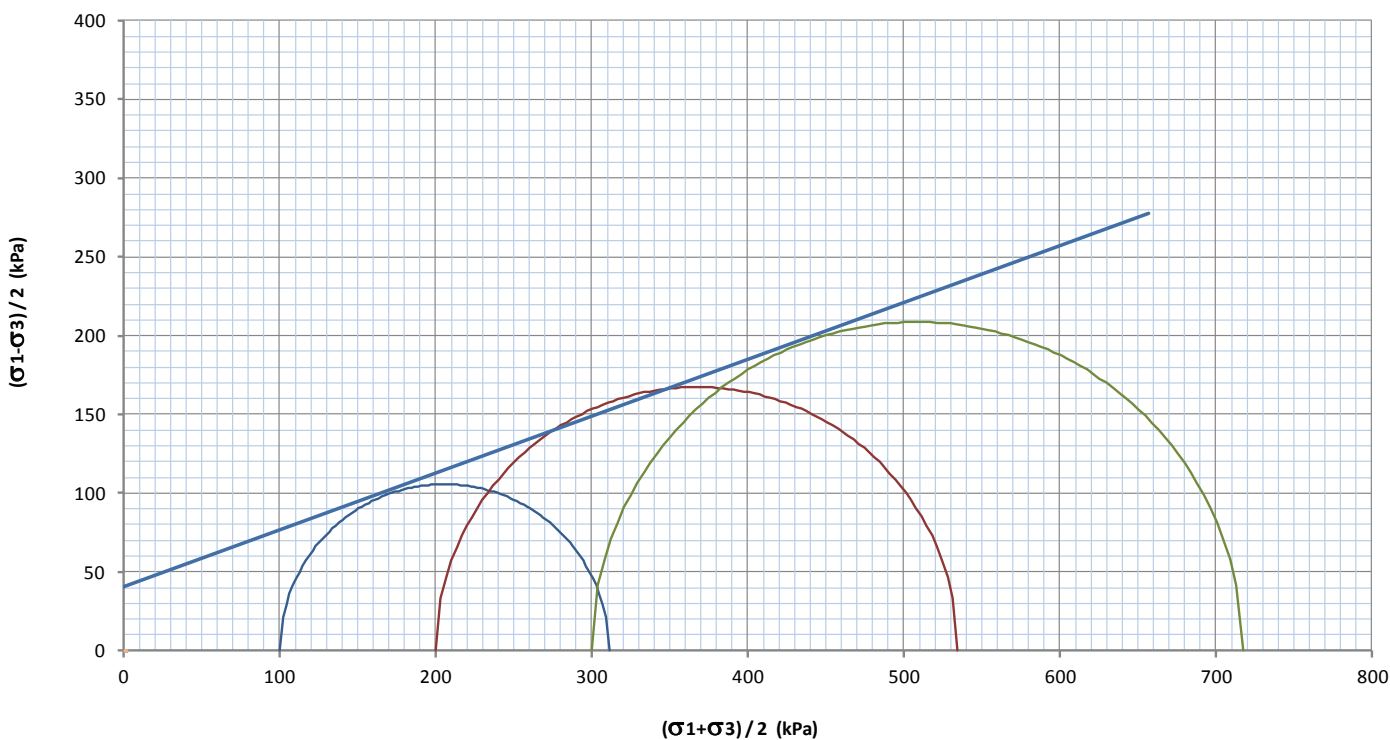
SFORZI TOTALI			
	Minor Princ.Stress	Deviator stress	Major Princ.Stress
	(kPa)	(kPa)	(kPa)
	σ_3	$(\sigma_1 - \sigma_3)$	σ_1
Test 1	100.00	211.3	311.3
Test 2	200.00	334.7	534.7
Test 3	300.00	417.3	717.3

Cohesion = <input type="text" value="40"/> kPa phi = <input type="text" value="19.9"/> °

PROVA TRIASSIALE C.I.U. - PIANO DI MOHR - SFORZI EFFETTIVI



PROVA TRIASSIALE C.I.U. - PIANO DI MOHR - SFORZI TOTALI



PROVA TRIASSIALE
SONDAGGIO SD- CAMPIONE C1

h (falda)	h (provino)	γ	C'	ϕ'
(m)	(m)	(kN/m ³)	(kPa)	(°)
2.8	2.8	19.5	9	24.8

PROVA TRIASSIALE				
Cont.Press.	300			kPa
Press.Cell	400.00	500.00	600.00	kPa
Press.Rott.	144.80	231.29	356.77	kPa
U Rottura	320.50	359.90	372.60	kPa

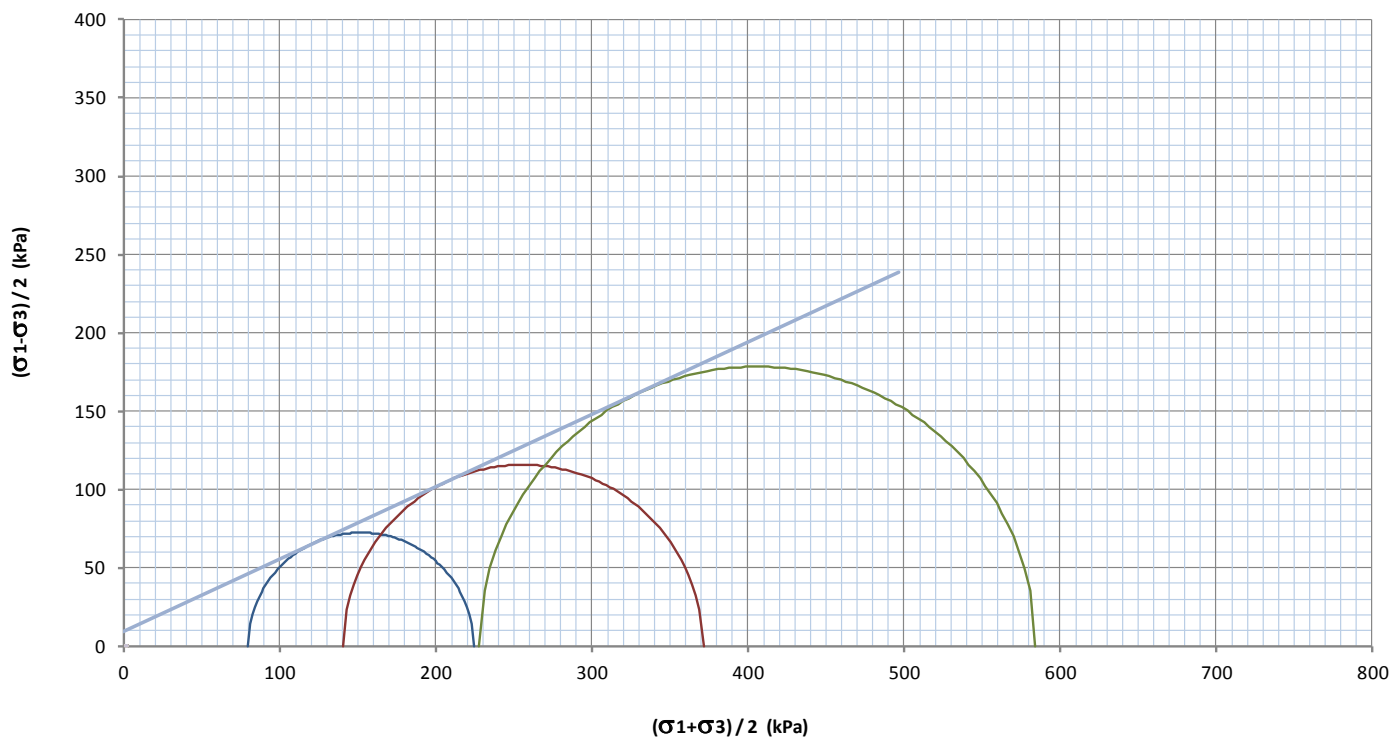
SFORZI EFFICACI			
	Minor Princ.Stress	Deviator stress	Major Princ.Stress
	(kPa)	(kPa)	(kPa)
	σ'_3	$(\sigma'_1 - \sigma'_3)$	σ'_1
Test 1	79.50	144.8	224.3
Test 2	140.10	231.3	371.4
Test 3	227.40	356.8	584.2

Cohesion =	9	kPa
phi =	24.8	°

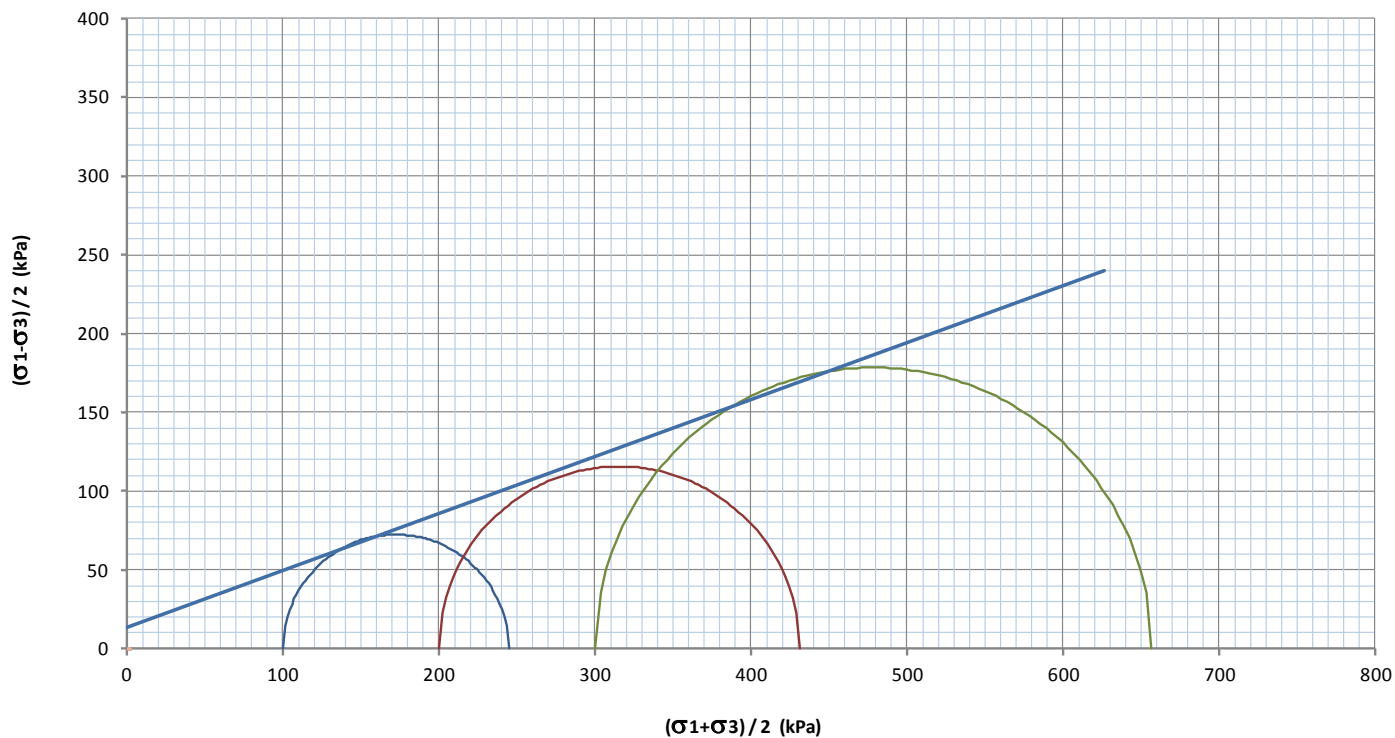
SFORZI TOTALI			
	Minor Princ.Stress	Deviator stress	Major Princ.Stress
	(kPa)	(kPa)	(kPa)
	σ_3	$(\sigma_1 - \sigma_3)$	σ_1
Test 1	100.00	144.8	244.8
Test 2	200.00	231.3	431.3
Test 3	300.00	356.8	656.8

Cohesion =	13	kPa
phi =	19.9	°

PROVA TRIASSIALE C.I.U. - PIANO DI MOHR - SFORZI EFFETTIVI



PROVA TRIASSIALE C.I.U. - PIANO DI MOHR - SFORZI TOTALI



PROVA TRIASSIALE
SONDAGGIO SD- CAMPIONE C2

h (falda)	h (provino)	γ	C'	ϕ'
(m)	(m)	(kN/m ³)	(kPa)	(°)
2.8	5.7	19.5	12	26.1
PROVA TRIASSIALE				
Cont.Press.	150			kPa
Press.Cell	250.00	350.00	450.00	kPa
Press.Rott.	208.33	315.64	414.96	kPa
U Rottura	150.50	158.40	219.50	kPa

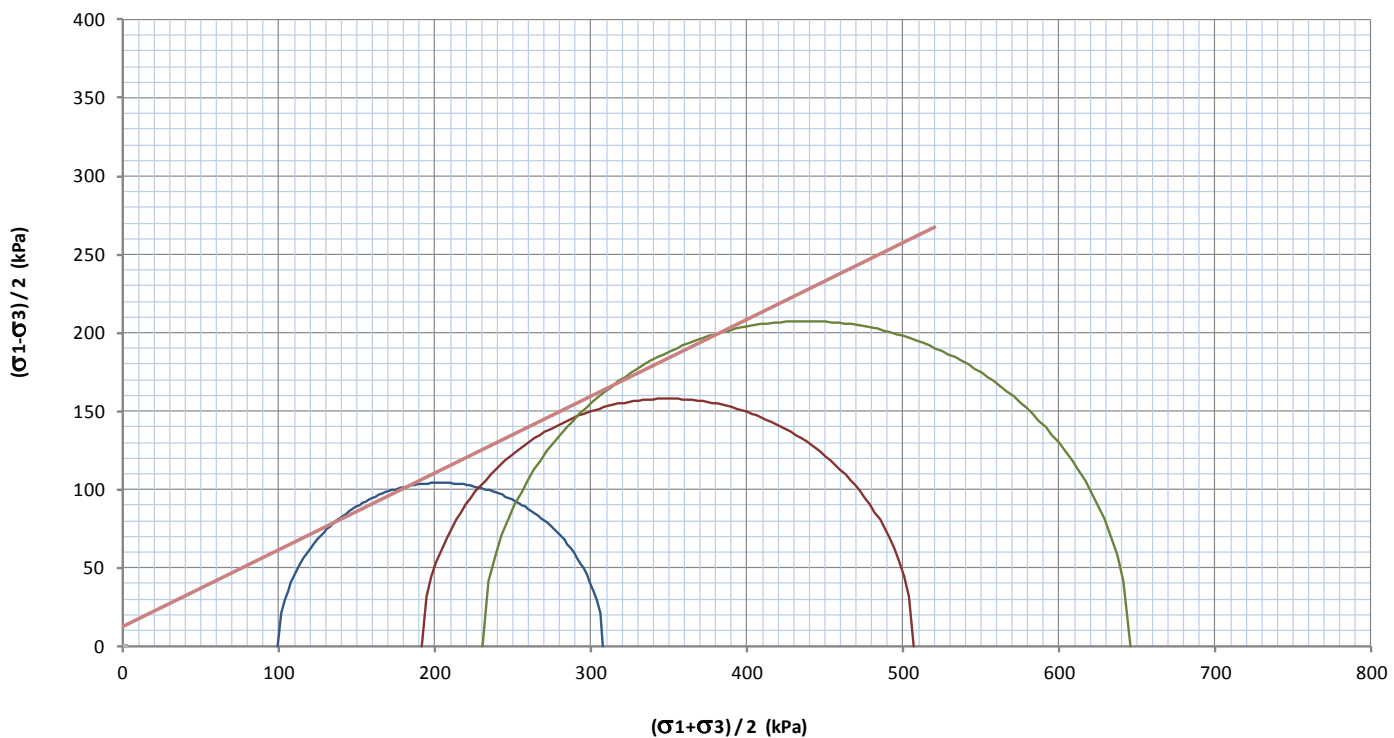
SFORZI EFFICACI			
	Minor Princ.Stress	Deviator stress	Major Princ.Stress
	(kPa)	(kPa)	(kPa)
	σ'_3	$(\sigma'_1 - \sigma'_3)$	σ'_1
Test 1	99.50	208.3	307.8
Test 2	191.60	315.6	507.2
Test 3	230.50	415.0	645.5

Cohesion = <input type="text" value="12"/> kPa
phi = <input type="text" value="26.1"/> °

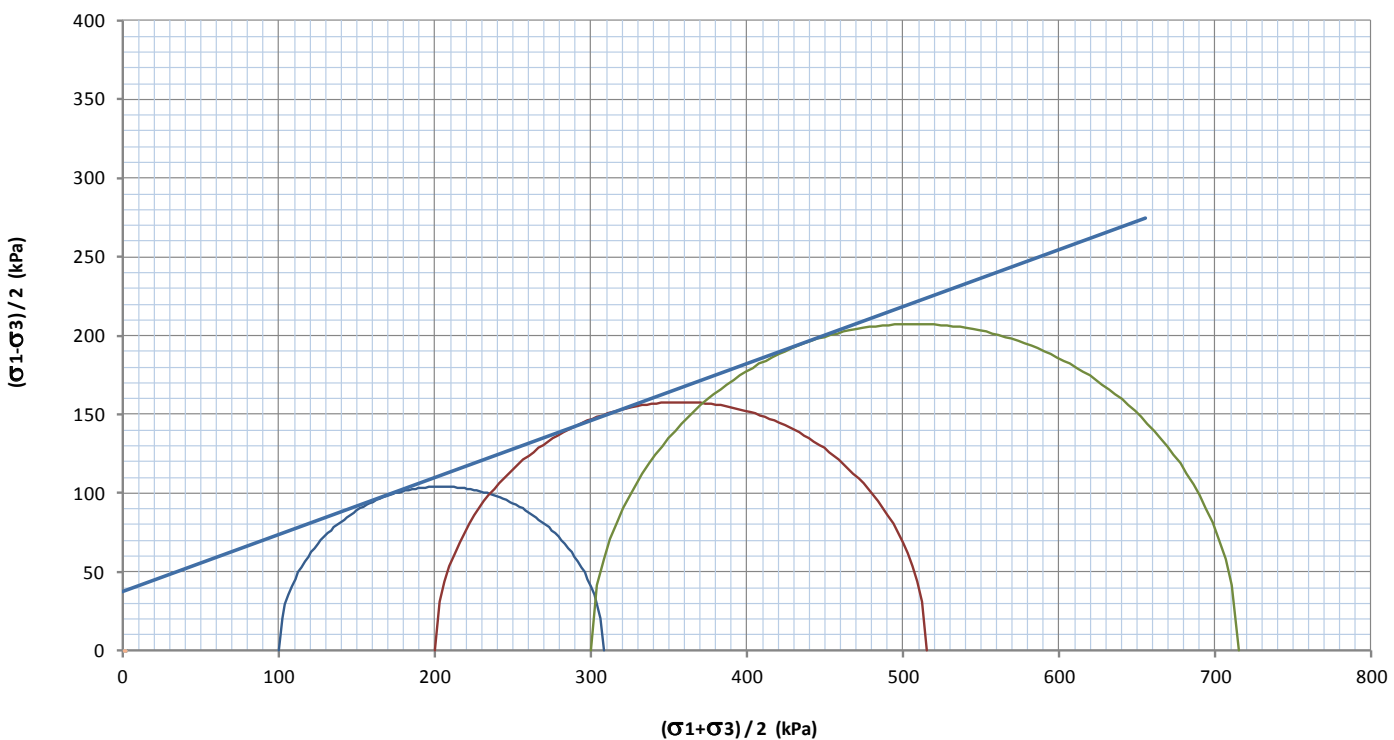
SFORZI TOTALI			
	Minor Princ.Stress	Deviator stress	Major Princ.Stress
	(kPa)	(kPa)	(kPa)
	σ_3	$(\sigma_1 - \sigma_3)$	σ_1
Test 1	100.00	208.3	308.3
Test 2	200.00	315.6	515.6
Test 3	300.00	415.0	715.0

Cohesion = <input type="text" value="37"/> kPa
phi = <input type="text" value="19.9"/> °

PROVA TRIASSIALE C.I.U. - PIANO DI MOHR - SFORZI EFFETTIVI



PROVA TRIASSIALE C.I.U. - PIANO DI MOHR - SFORZI TOTALI



PROVA TRIASSIALE
SONDAGGIO SD- CAMPIONE C3

h (falda)	h (provino)	γ	C'	ϕ'
(m)	(m)	(kN/m ³)	(kPa)	(°)
2.8	7.7	18.8	46	22.4

PROVA TRIASSIALE				
Cont.Press.	200			kPa
Press.Cell	300.00	400.00	500.00	kPa
Press.Rott.	214.34	339.62	422.71	kPa
U Rottura	233.30	241.80	264.40	kPa

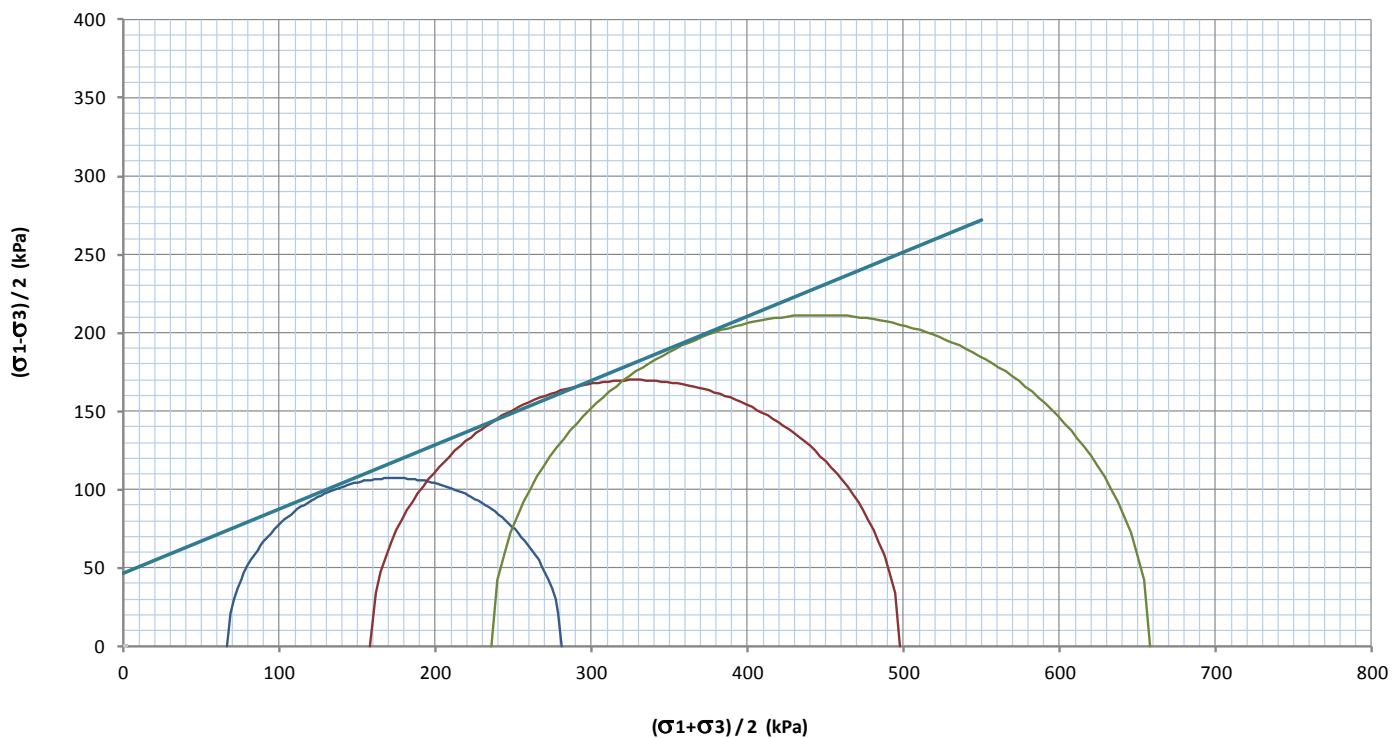
SFORZI EFFICACI			
	Minor Princ.Stress	Deviator stress	Major Princ.Stress
	(kPa)	(kPa)	(kPa)
	σ'_3	$(\sigma'_1 - \sigma'_3)$	σ'_1
Test 1	66.70	214.3	281.0
Test 2	158.20	339.6	497.8
Test 3	235.60	422.7	658.3

Cohesion =	46	kPa
phi =	22.4	°

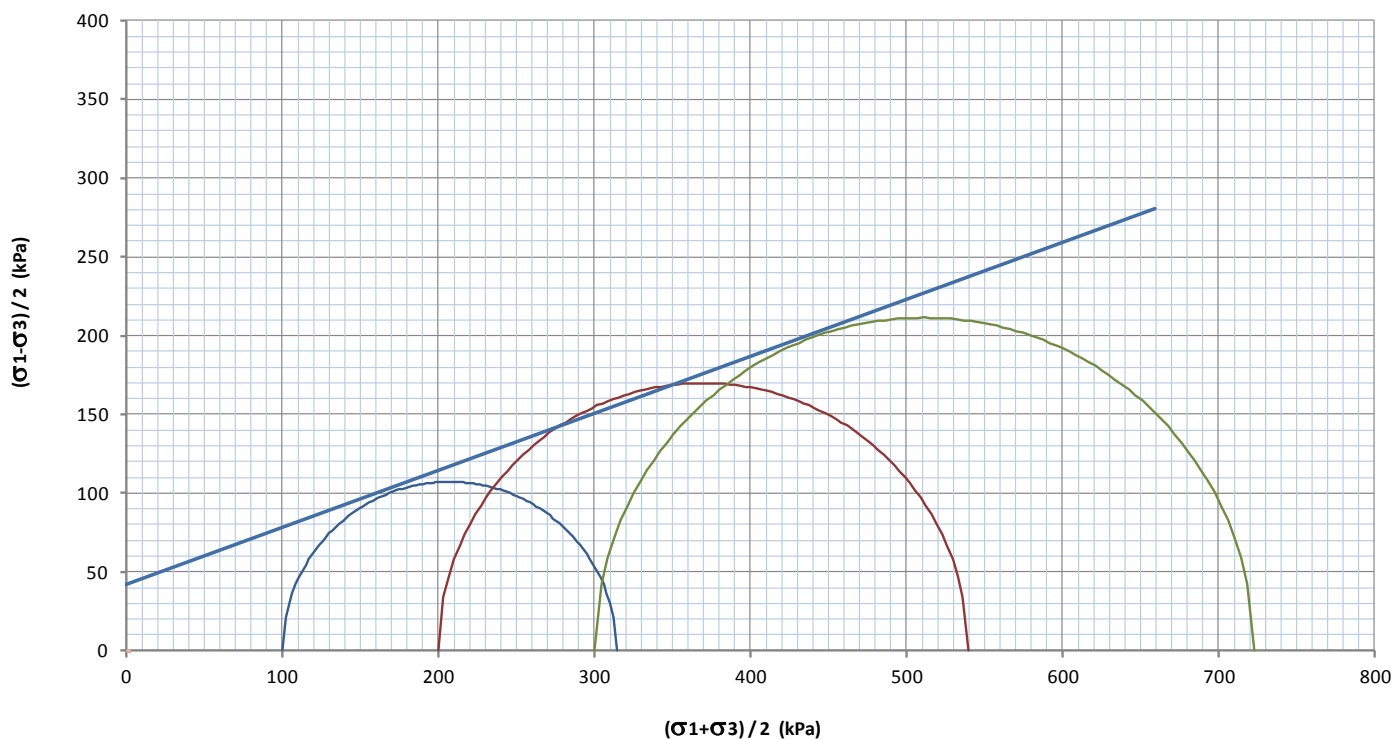
SFORZI TOTALI			
	Minor Princ.Stress	Deviator stress	Major Princ.Stress
	(kPa)	(kPa)	(kPa)
	σ_3	$(\sigma_1 - \sigma_3)$	σ_1
Test 1	100.00	214.3	314.3
Test 2	200.00	339.6	539.6
Test 3	300.00	422.7	722.7

Cohesion =	42	kPa
phi =	19.9	°

PROVA TRIASSIALE C.I.U. - PIANO DI MOHR - SFORZI EFFETTIVI



PROVA TRIASSIALE C.I.U. - PIANO DI MOHR - SFORZI TOTALI



PROVA TRIASSIALE
SONDAGGIO SD- CAMPIONE C4

h (falda)	h (provino)	γ	C'	ϕ'
(m)	(m)	(kN/m ³)	(kPa)	(°)
2.8	10.0	17.7	6	24.8

PROVA TRIASSIALE				
Cont.Press.	200			kPa
Press.Cell	300.00	400.00	500.00	kPa
Press.Rott.	93.24	153.13	225.84	kPa
U Rottura	247.50	304.60	358.20	kPa

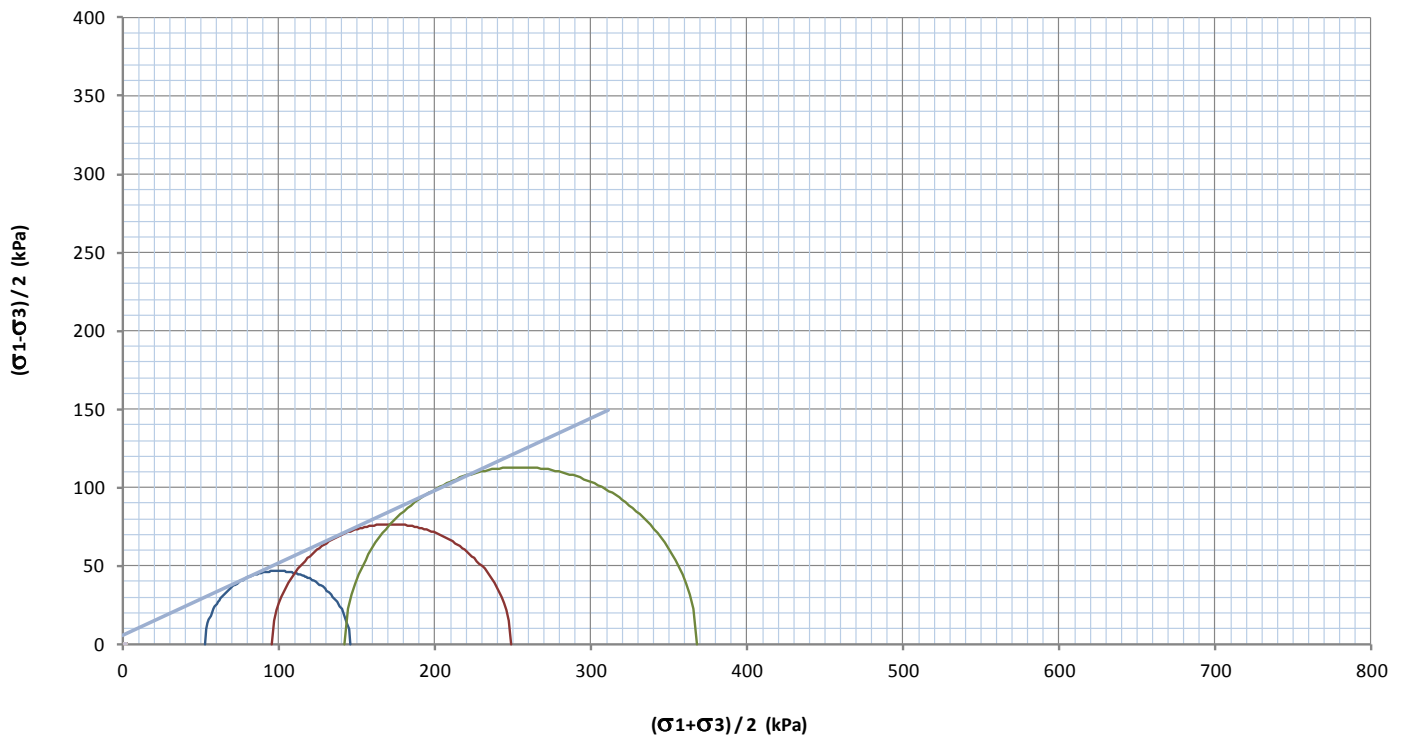
SFORZI EFFICACI			
	Minor Princ.Stress	Deviator stress	Major Princ.Stress
	(kPa)	(kPa)	(kPa)
	σ'_3	$(\sigma'_1 - \sigma'_3)$	σ'_1
Test 1	52.50	93.2	145.7
Test 2	95.40	153.1	248.5
Test 3	141.80	225.8	367.6

Cohesion =	6	kPa
phi =	24.8	°

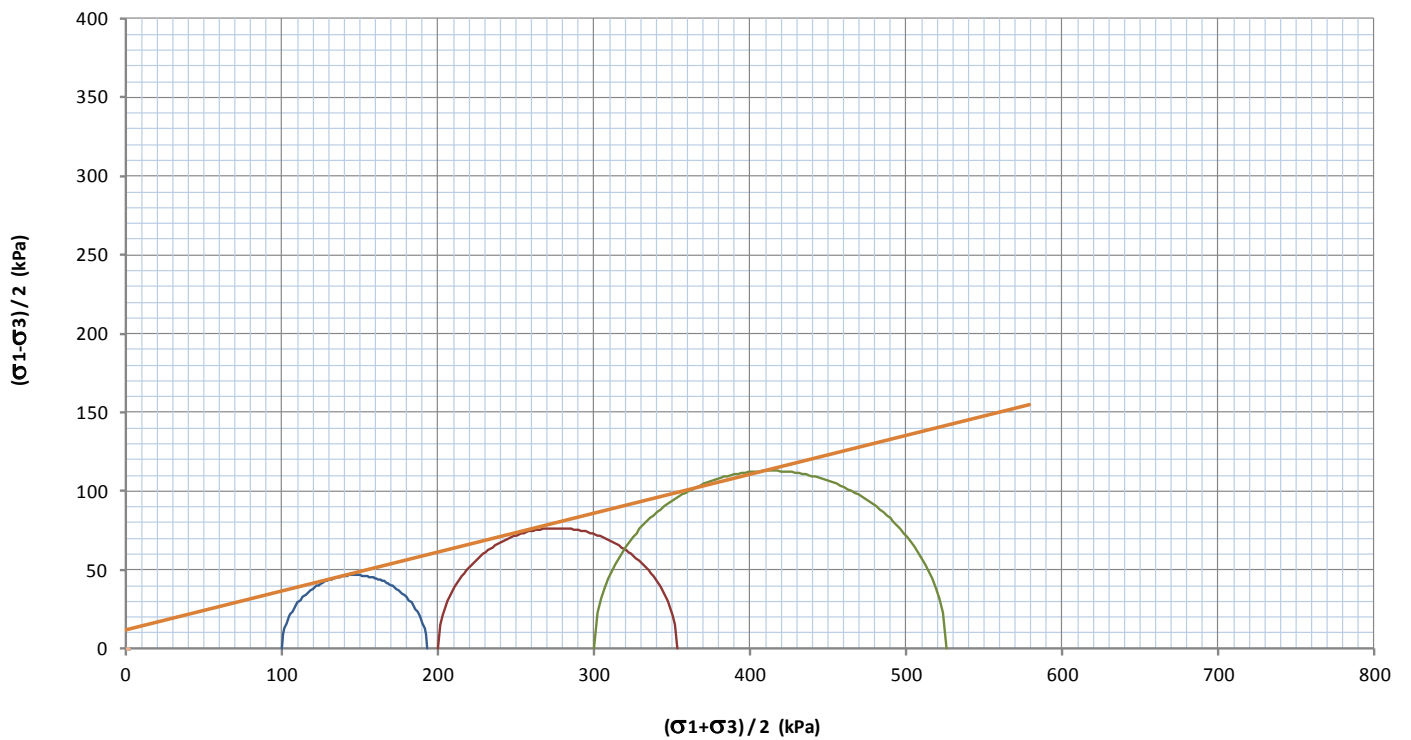
SFORZI TOTALI			
	Minor Princ.Stress	Deviator stress	Major Princ.Stress
	(kPa)	(kPa)	(kPa)
	σ_3	$(\sigma_1 - \sigma_3)$	σ_1
Test 1	100.00	93.2	193.2
Test 2	200.00	153.1	353.1
Test 3	300.00	225.8	525.8

Cohesion =	12	kPa
phi =	13.9	°

PROVA TRIASSIALE C.I.U. - PIANO DI MOHR - SFORZI EFFETTIVI



PROVA TRIASSIALE C.I.U. - PIANO DI MOHR - SFORZI TOTALI



PROVA TRIASSIALE
SONDAGGIO SE- CAMPIONE C1

h (falda)	h (provino)	γ	C'	ϕ'
(m)	(m)	(kN/m ³)	(kPa)	(°)
2.5	2.8	19.2	3	31.3
PROVA TRIASSIALE				
Cont.Press.	200			kPa
Press.Cell	300.00	400.00	500.00	kPa
Press.Rott.	197.15	301.85	395.63	kPa
U Rottura	187.80	265.50	335.40	kPa

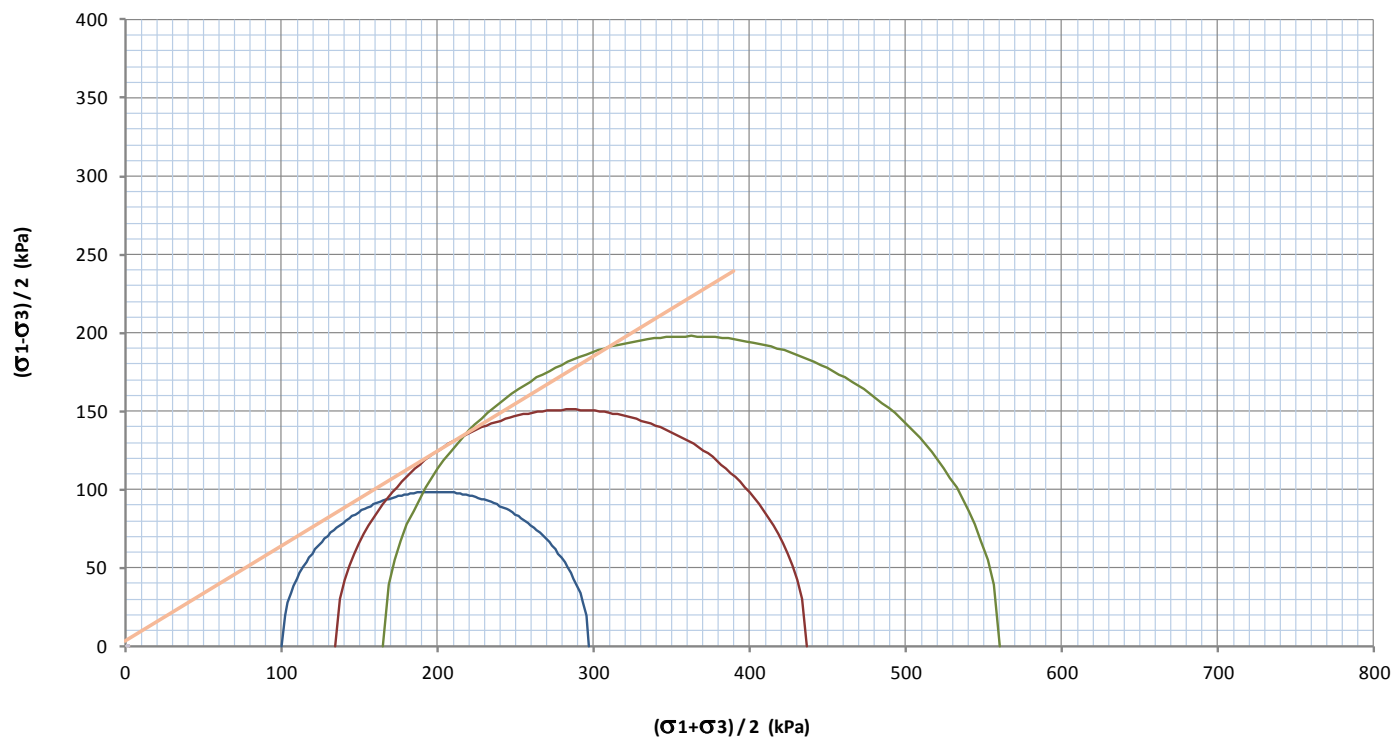
SFORZI EFFICACI			
	Minor Princ.Stress	Deviator stress	Major Princ.Stress
	(kPa)	(kPa)	(kPa)
	σ'_3	$(\sigma'_1 - \sigma'_3)$	σ'_1
Test 1	100.00	197.2	297.2
Test 2	134.50	301.9	436.4
Test 3	164.60	395.6	560.2

Cohesion = <input type="text" value="3"/> kPa
phi = <input type="text" value="31.3"/> °

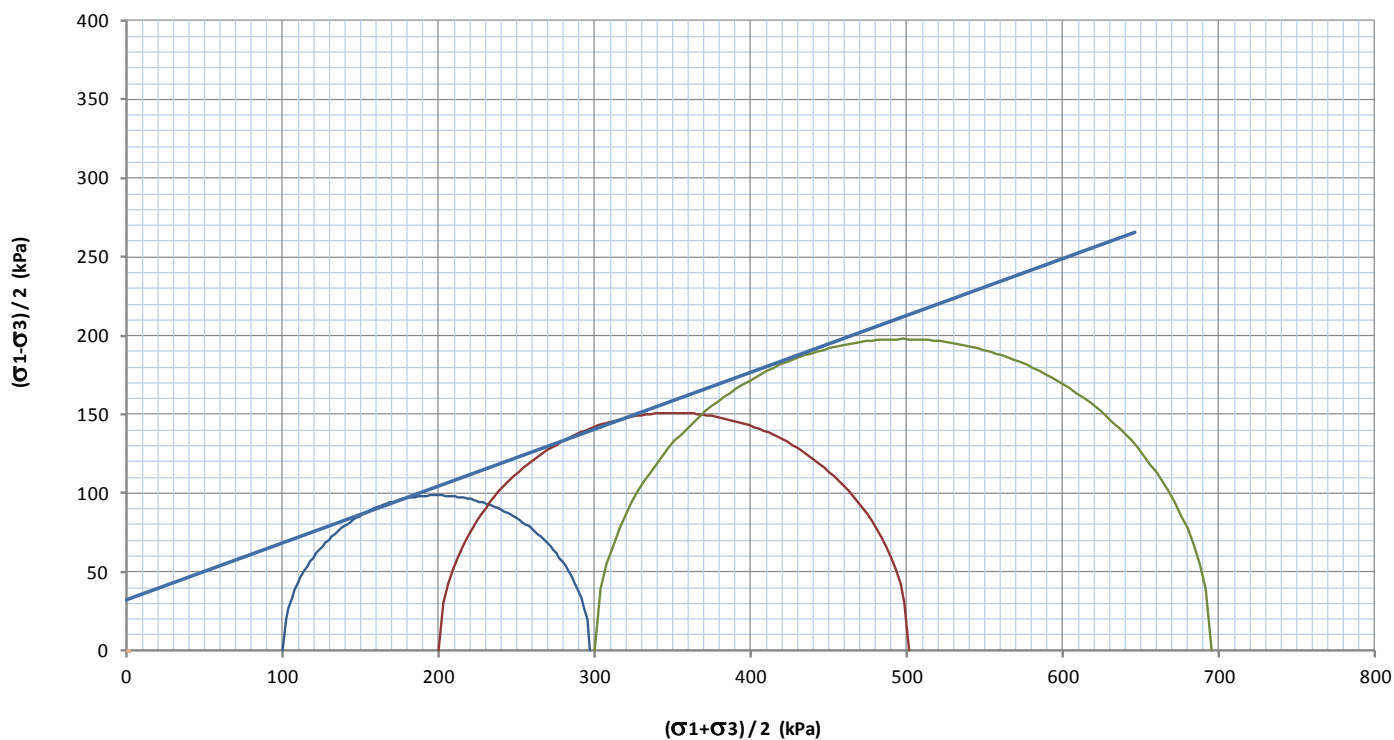
SFORZI TOTALI			
	Minor Princ.Stress	Deviator stress	Major Princ.Stress
	(kPa)	(kPa)	(kPa)
	σ_3	$(\sigma_1 - \sigma_3)$	σ_1
Test 1	100.00	197.2	297.2
Test 2	200.00	301.9	501.9
Test 3	300.00	395.6	695.6

Cohesion = <input type="text" value="32"/> kPa
phi = <input type="text" value="19.9"/> °

PROVA TRIASSIALE C.I.U. - PIANO DI MOHR - SFORZI EFFETTIVI



PROVA TRIASSIALE C.I.U. - PIANO DI MOHR - SFORZI TOTALI



PROVA TRIASSIALE
SONDAGGIO SE- CAMPIONE C3

h (falda)	h (provino)	γ	C'	ϕ'
(m)	(m)	(kN/m ³)	(kPa)	(°)
2.8	7.2	18.6	3	30.0

PROVA TRIASSIALE				
Cont.Press.	200			kPa
Press.Cell	300.00	400.00	500.00	kPa
Press.Rott.	191.06	274.72	373.16	kPa
U Rottura	204.10	266.50	323.00	kPa

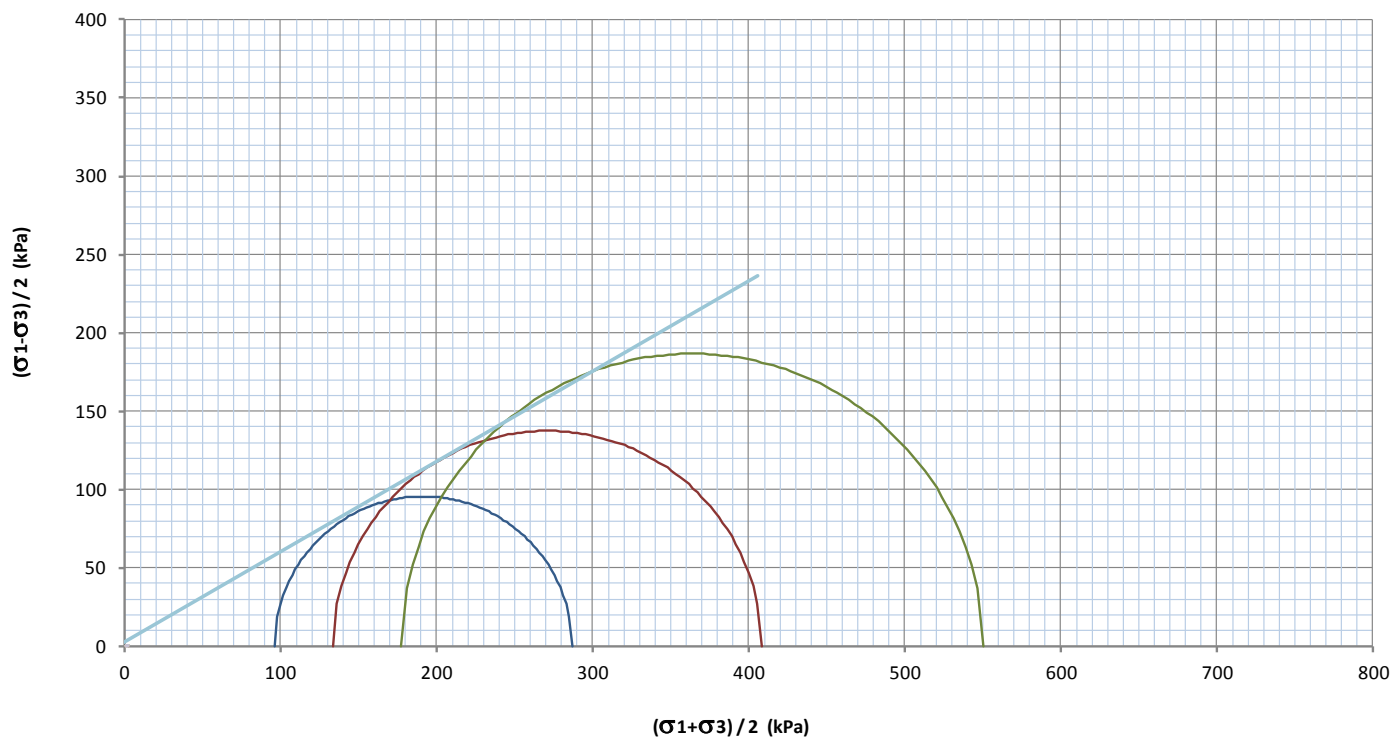
SFORZI EFFICACI			
	Minor Princ.Stress	Deviator stress	Major Princ.Stress
	(kPa)	(kPa)	(kPa)
	σ'_3	$(\sigma'_1 - \sigma'_3)$	σ'_1
Test 1	95.90	191.1	287.0
Test 2	133.50	274.7	408.2
Test 3	177.00	373.2	550.2

Cohesion =	3	kPa
phi =	30.0	°

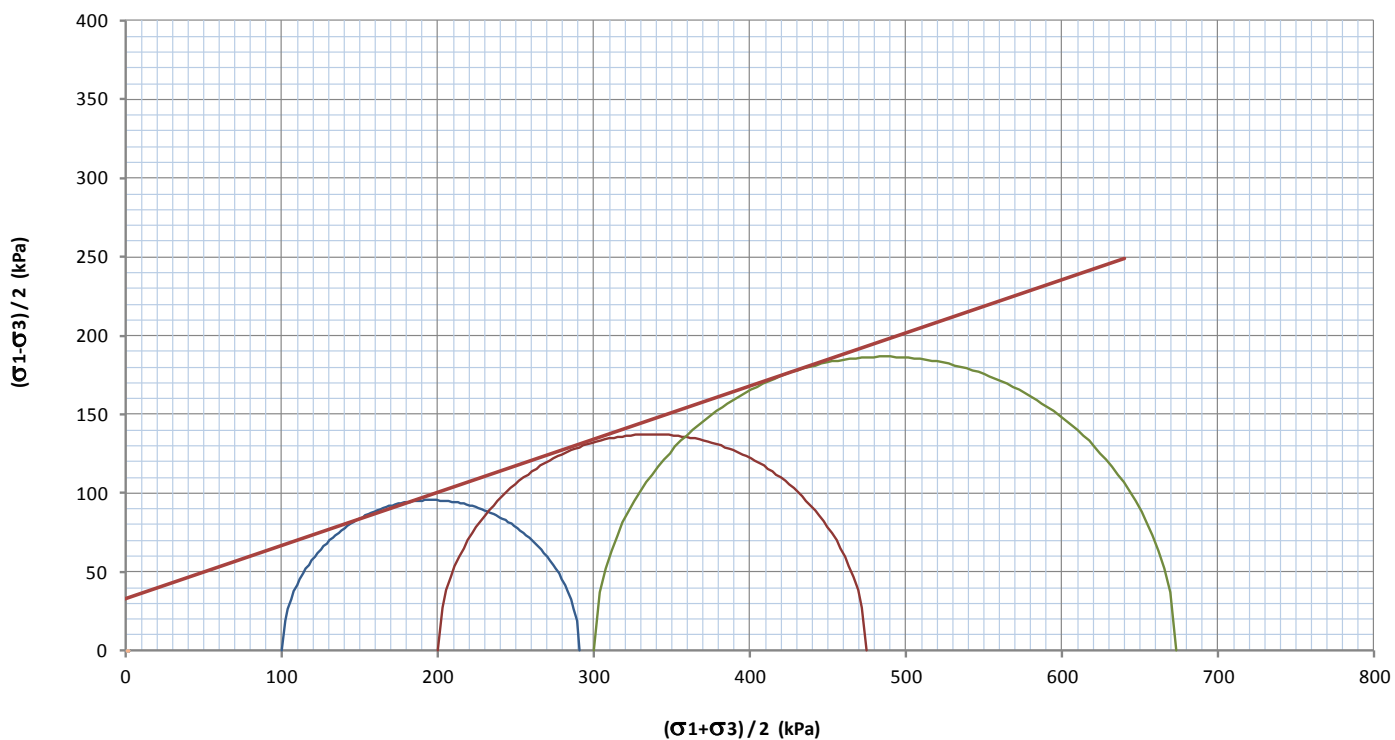
SFORZI TOTALI			
	Minor Princ.Stress	Deviator stress	Major Princ.Stress
	(kPa)	(kPa)	(kPa)
	σ_3	$(\sigma_1 - \sigma_3)$	σ_1
Test 1	100.00	191.1	291.1
Test 2	200.00	274.7	474.7
Test 3	300.00	373.2	673.2

Cohesion =	33	kPa
phi =	18.7	°

PROVA TRIASSIALE C.I.U. - PIANO DI MOHR - SFORZI EFFETTIVI



PROVA TRIASSIALE C.I.U. - PIANO DI MOHR - SFORZI TOTALI



PROVA TRIASSIALE
SONDAGGIO SE- CAMPIONE C4

h (falda)	h (provino)	γ	C'	ϕ'
(m)	(m)	(kN/m ³)	(kPa)	(°)
2.5	10.2	19.8	14	24.8

PROVA TRIASSIALE				
Cont.Press.	200			kPa
Press.Cell	400.00	500.00	600.00	kPa
Press.Rott.	285.94	306.65	462.98	kPa
U Rottura	254.50	276.20	331.10	kPa

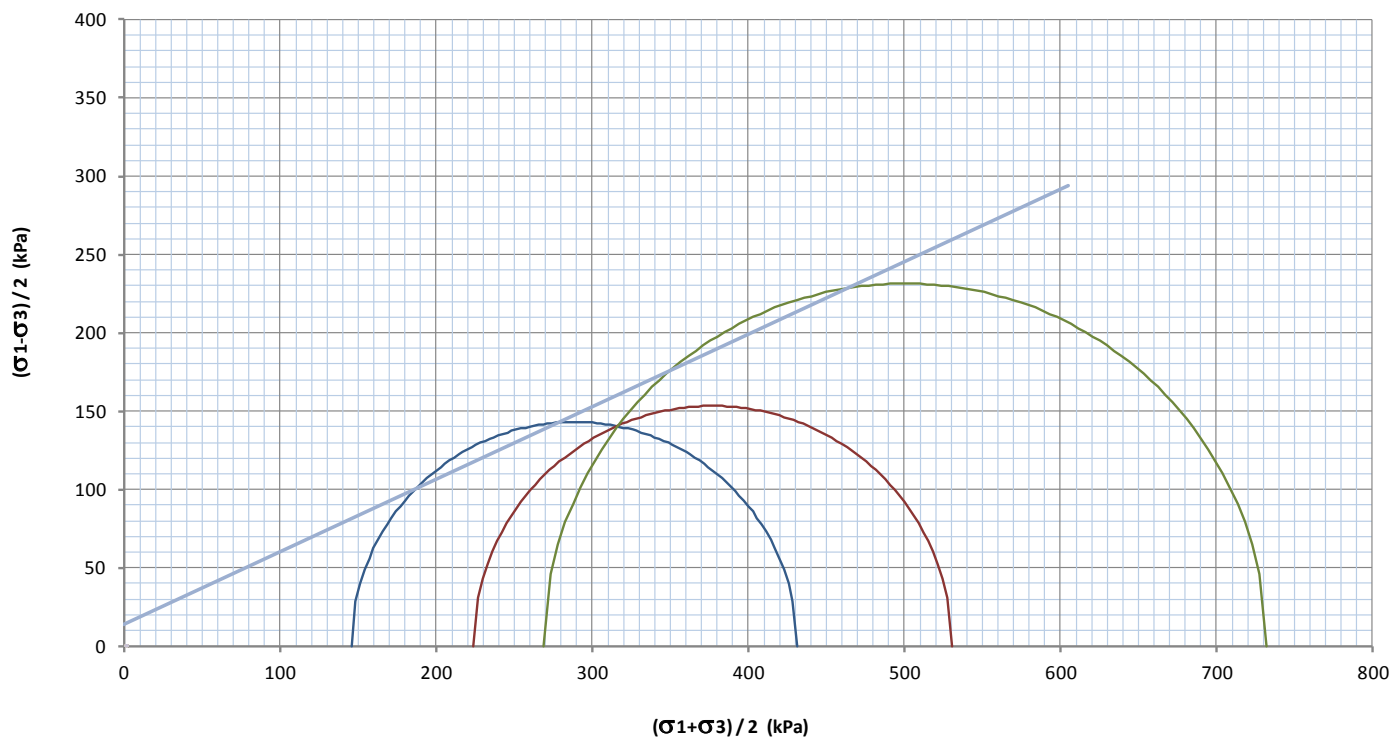
SFORZI EFFICACI			
	Minor Princ.Stress	Deviator stress	Major Princ.Stress
	(kPa)	(kPa)	(kPa)
	σ'_3	$(\sigma'_1 - \sigma'_3)$	σ'_1
Test 1	145.50	285.9	431.4
Test 2	223.80	306.7	530.5
Test 3	268.90	463.0	731.9

Cohesion =	14	kPa
phi =	24.8	°

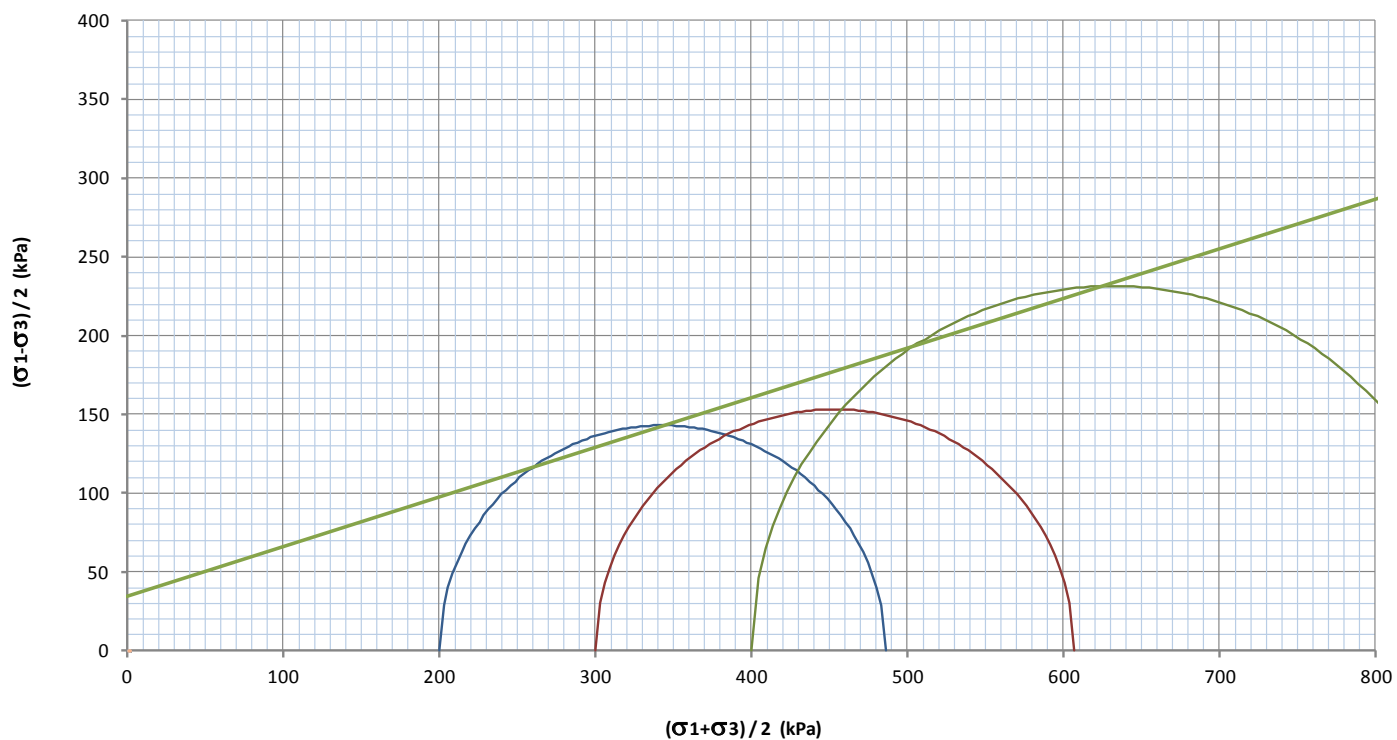
SFORZI TOTALI			
	Minor Princ.Stress	Deviator stress	Major Princ.Stress
	(kPa)	(kPa)	(kPa)
	σ_3	$(\sigma_1 - \sigma_3)$	σ_1
Test 1	200.00	285.9	485.9
Test 2	300.00	306.7	606.7
Test 3	400.00	463.0	863.0

Cohesion =	35	kPa
phi =	17.5	°

PROVA TRIASSIALE C.I.U. - PIANO DI MOHR - SFORZI EFFETTIVI



PROVA TRIASSIALE C.I.U. - PIANO DI MOHR - SFORZI TOTALI



ELABORAZIONI PROVE EDOMETRICHE

PROVE EDOMETRICHE	
SONDAGGIO N°	S2
CAMPIONI	C1-C2-C3-C4-C5
PROFONDITA' FALDA	3.9 m
ALTEZZA RILEVATO	7 m
LARG. RIL SOMMITA'	27 m
LARG. RIL BASE	50 m 52
PESO VOL. RILEV.	18 kN/m ³

SONDAGGIO S2

Campione C1

ELABORAZIONE PROVA EDOMETRICA

Dh =-3.9m		Dp =5.4		$\gamma =19.0$		$\sigma'_{vo} = 87.6$		Ho =2.00		$e_o =0.840$		
Fase	H	ΔH	σ_v	$\Delta\sigma_v$	e	Δe	ϵ_v	$\Delta\epsilon_v$	M	mv	RR/CR	Cr/Cc
	cm	cm	Kpa	Kpa					kPa	m ² /Mn		
1	0.0178		12.26		0.824		0.009					
2	0.0240	0.006	24.52	12.26	0.819	0.005	0.012	0.003	3955	0.2529	0.0103	0.0166
3	0.0408	0.017	49.04	24.52	0.803	0.016	0.020	0.008	2919	0.3426	0.0279	0.0532
4	0.0659	0.025	98.07	49.03	0.780	0.023	0.033	0.013	3907	0.2560	0.0417	0.0764
5	0.1024	0.037	196.14	98.07	0.747	0.033	0.051	0.018	5374	0.1861	0.0606	0.1096
6	0.0983	-0.004	49.03	-147.11	0.750	-0.003	0.049	-0.002				
7	0.0909	-0.007	12.26	-36.77	0.757	-0.007	0.045	-0.004				
8	0.0920	0.001	24.52	12.26	0.756	0.001	0.046	0.001	22291	0.0449	0.0018	0.0033
9	0.0941	0.002	49.03	24.51	0.754	0.002	0.047	0.001	23343	0.0428	0.0035	0.0066
10	0.0972	0.003	98.07	49.04	0.751	0.003	0.049	0.002	31639	0.0316	0.0051	0.0100
11	0.1087	0.012	196.13	98.06	0.741	0.010	0.054	0.006	17054	0.0586	0.0191	0.0332
12	0.1537	0.045	392.27	196.14	0.699	0.042	0.077	0.023	8717	0.1147	0.0747	0.1395
13	0.2164	0.063	784.53	392.26	0.642	0.057	0.108	0.031	12512	0.0799	0.1041	0.1894
14	0.2843	0.068	1569.06	784.53	0.579	0.063	0.142	0.034	23108	0.0433	0.1128	0.2093
15	0.3679	0.084	3138.13	1569.07	0.502	0.077	0.184	0.042	37538	0.0266	0.1389	0.2558

$\sigma'_{vo} =$	87.6	kPa
$\sigma'_p =$	128.5	kPa
OCR =	1.5	-
$\sigma'_{vo+\Delta\sigma_v}$	212.5	kPa

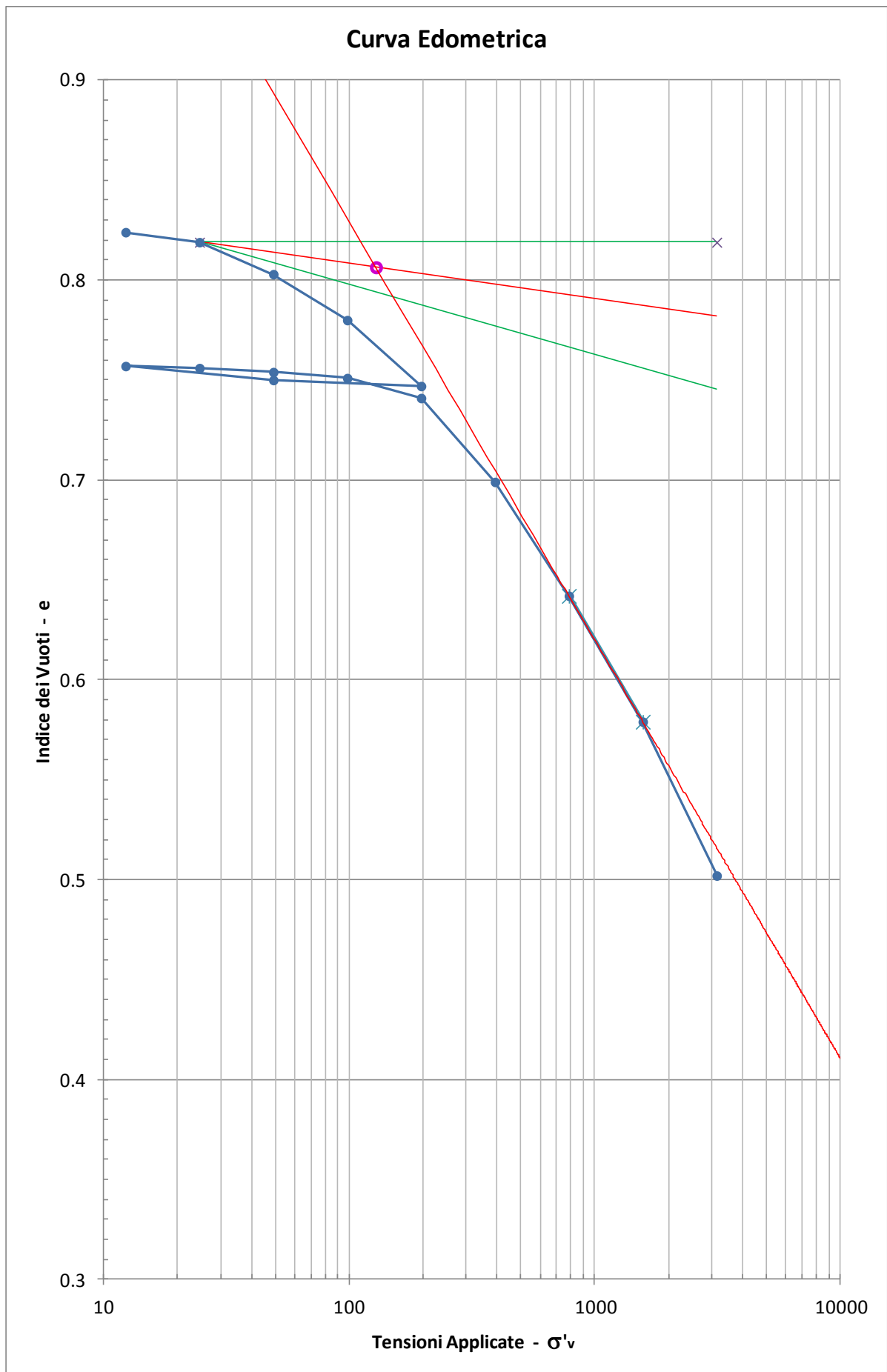
$\sigma'_{vo+\Delta\sigma_v} =$	212.5		kPa
$M_2 =$	98.07	3922	5703
	196.14	5448	

$\sigma'_{vo} =$	87.6	kPa	
$M_1 =$	49.04	2885	3701
	98.07	3922	

$(\sigma'_{vo+\Delta\sigma_v}/2)$	150.0		kPa
$M_m =$	98.07	3922	4731
	196.14	5448	

SONDAGGIO S2

Campione C1



SONDAGGIO S2

Campione C2

ELABORAZIONE PROVA EDOMETRICA

Dh = -3.9m		Dc = 11.3		$\gamma = 19.4$		$\sigma'_{vo} = 145.2$			Ho = 2.00		$e_o = 0.710$	
Fase	H	ΔH	σ_v	$\Delta\sigma_v$	e	Δe	ϵ_v	$\Delta\epsilon_v$	M	mv	RR/CR	Cr/Cc
	cm	cm	Kpa	Kpa					kPa	m ² /Mn		
1	0.0094		12.26		0.699		0.005					
2	0.0157	0.006	24.52	12.26	0.694	0.005	0.008	0.003	3892	0.2569	0.0105	0.0166
3	0.0336	0.018	49.04	24.52	0.679	0.015	0.017	0.009	2740	0.3650	0.0297	0.0498
4	0.0587	0.025	98.07	49.03	0.657	0.022	0.029	0.013	3907	0.2560	0.0417	0.0731
5	0.0955	0.037	196.14	98.07	0.626	0.031	0.048	0.018	5330	0.1876	0.0611	0.1030
6	0.0850	-0.011	49.03	-147.11	0.635	-0.009	0.043	-0.005				
7	0.0724	-0.013	12.26	-36.77	0.645	-0.010	0.036	-0.006				
8	0.0734	0.001	24.52	12.26	0.645	0.000	0.037	0.001	24520	0.0408	0.0017	0.0000
9	0.0766	0.003	49.03	24.51	0.642	0.003	0.038	0.002	15319	0.0653	0.0053	0.0100
10	0.0860	0.009	98.07	49.04	0.634	0.008	0.043	0.005	10434	0.0958	0.0156	0.0266
11	0.9970	0.911	196.13	98.06	0.622	0.012	0.499	0.456	215	4.6451	1.5132	0.0399
12	0.1490	-0.848	392.27	196.14	0.580	0.042	0.075	-0.424	-463	-2.1617	-1.4084	0.1395
13	0.2234	0.074	784.53	392.26	0.517	0.063	0.112	0.037	10545	0.0948	0.1236	0.2093
14	0.3115	0.088	1569.06	784.53	0.441	0.076	0.156	0.044	17810	0.0561	0.1463	0.2525
15	0.3997	0.088	3138.13	1569.07	0.366	0.075	0.200	0.044	35580	0.0281	0.1465	0.2491

$\sigma'_{vo} =$	145.2	kPa
$\sigma'_p =$	177.9	kPa
OCR =	1.2	-
$\sigma'_{vo+\Delta\sigma_v}$	263.4	kPa

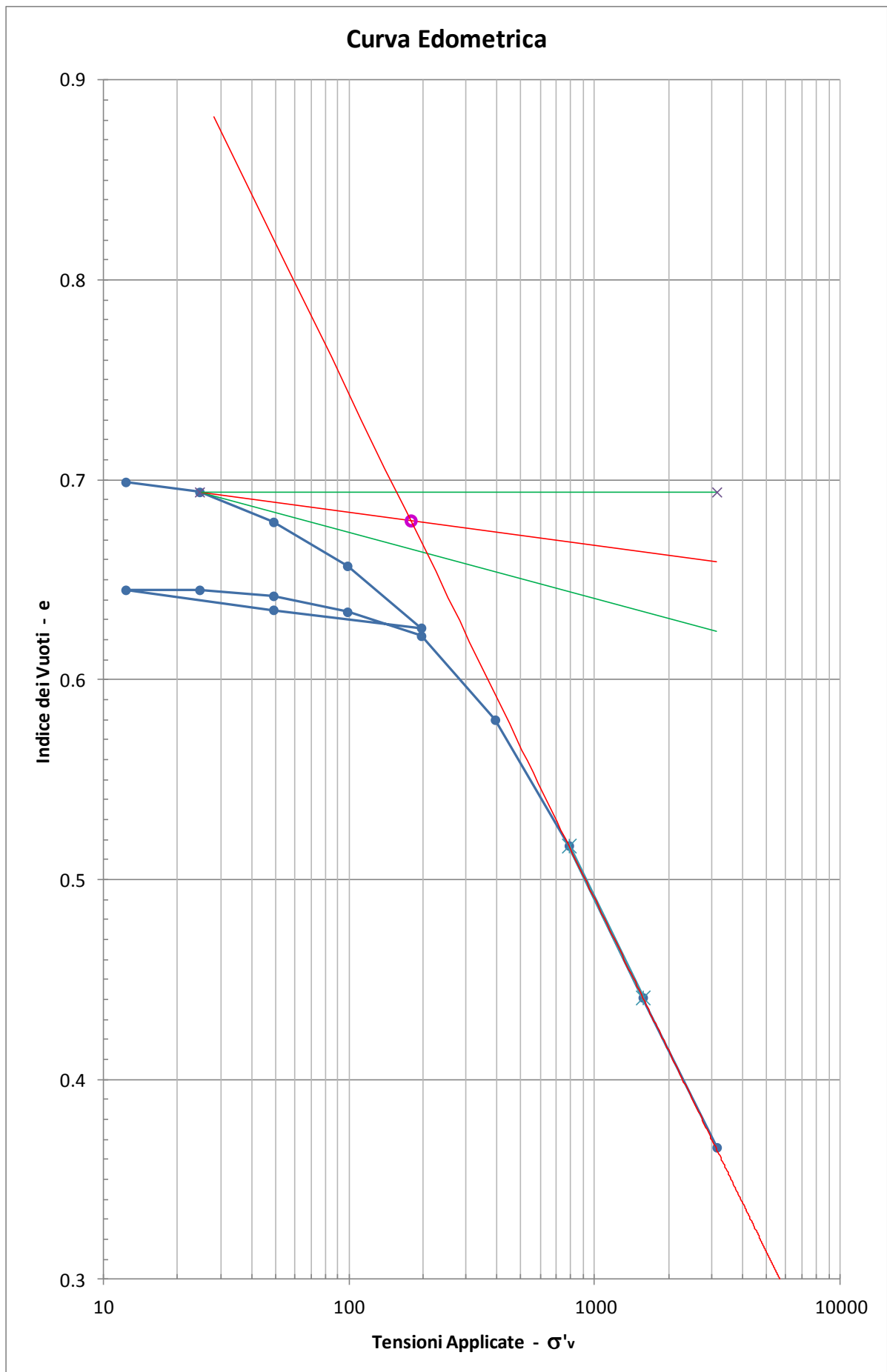
$\sigma'_{vo+\Delta\sigma_v} =$	263.4	kPa	
$M_2 =$	98.07	3922	6495
	196.14	5448	

$\sigma'_{vo} =$	145.2	kPa	
$M_1 =$	49.04	2885	4920
	98.07	3922	

$(\sigma'_{vo+\Delta\sigma_v}/2)$	204.3	kPa	
$M_m =$	98.07	3922	5576
	196.14	5448	

SONDAGGIO S2

Campione C2



SONDAGGIO S2

Campione C3

ELABORAZIONE PROVA EDOMETRICA

Dh = -3.9m		Dc = 21.3		$\gamma = 19.8$		$\sigma'_{vo} = 247.7$			Ho = 2.00		$e_o = 0.670$	
Fase	H	ΔH	σ_v	$\Delta\sigma_v$	e	Δe	ϵ_v	$\Delta\epsilon_v$	M	mv	RR/CR	Cr/Cc
	cm	cm	Kpa	Kpa					kPa	m ² /Mn		
1	0.0097		12.26		0.659		0.005					
2	0.0129	0.003	24.52	12.26	0.656	0.003	0.006	0.002	7663	0.1305	0.0053	0.0100
3	0.0237	0.011	49.04	24.52	0.647	0.009	0.012	0.005	4541	0.2202	0.0179	0.0299
4	0.0464	0.023	98.07	49.03	0.628	0.019	0.023	0.011	4320	0.2315	0.0377	0.0631
5	0.0820	0.036	196.14	98.07	0.598	0.030	0.041	0.018	5510	0.1815	0.0591	0.0997
6	0.1414	0.059	392.27	196.13	0.549	0.049	0.071	0.030	6604	0.1514	0.0987	0.1628
7	0.1252	-0.016	98.07	-294.20	0.562	-0.013	0.063	-0.008				
8	0.0993	-0.026	24.52	-73.55	0.584	-0.022	0.050	-0.013				
9	0.1014	0.002	49.03	24.51	0.582	0.002	0.051	0.001	23343	0.0428	0.0035	0.0066
10	0.1112	0.010	98.07	49.04	0.574	0.008	0.056	0.005	10008	0.0999	0.0163	0.0266
11	0.1252	0.014	196.13	98.06	0.562	0.012	0.063	0.007	14009	0.0714	0.0233	0.0399
12	0.1489	0.024	392.27	196.14	0.543	0.019	0.074	0.012	16552	0.0604	0.0394	0.0631
13	0.2255	0.077	784.53	392.26	0.479	0.064	0.113	0.038	10242	0.0976	0.1272	0.2126
14	0.3227	0.097	1569.06	784.53	0.398	0.081	0.161	0.049	16143	0.0619	0.1614	0.2691
15	0.4155	0.093	3138.13	1569.07	0.320	0.078	0.208	0.046	33816	0.0296	0.1541	0.2591

$\sigma'_{vo} =$	247.7	kPa
$\sigma'_p =$	318.8	kPa
OCR =	1.3	-
$\sigma'_{vo+\Delta\sigma_v}$	345.3	kPa

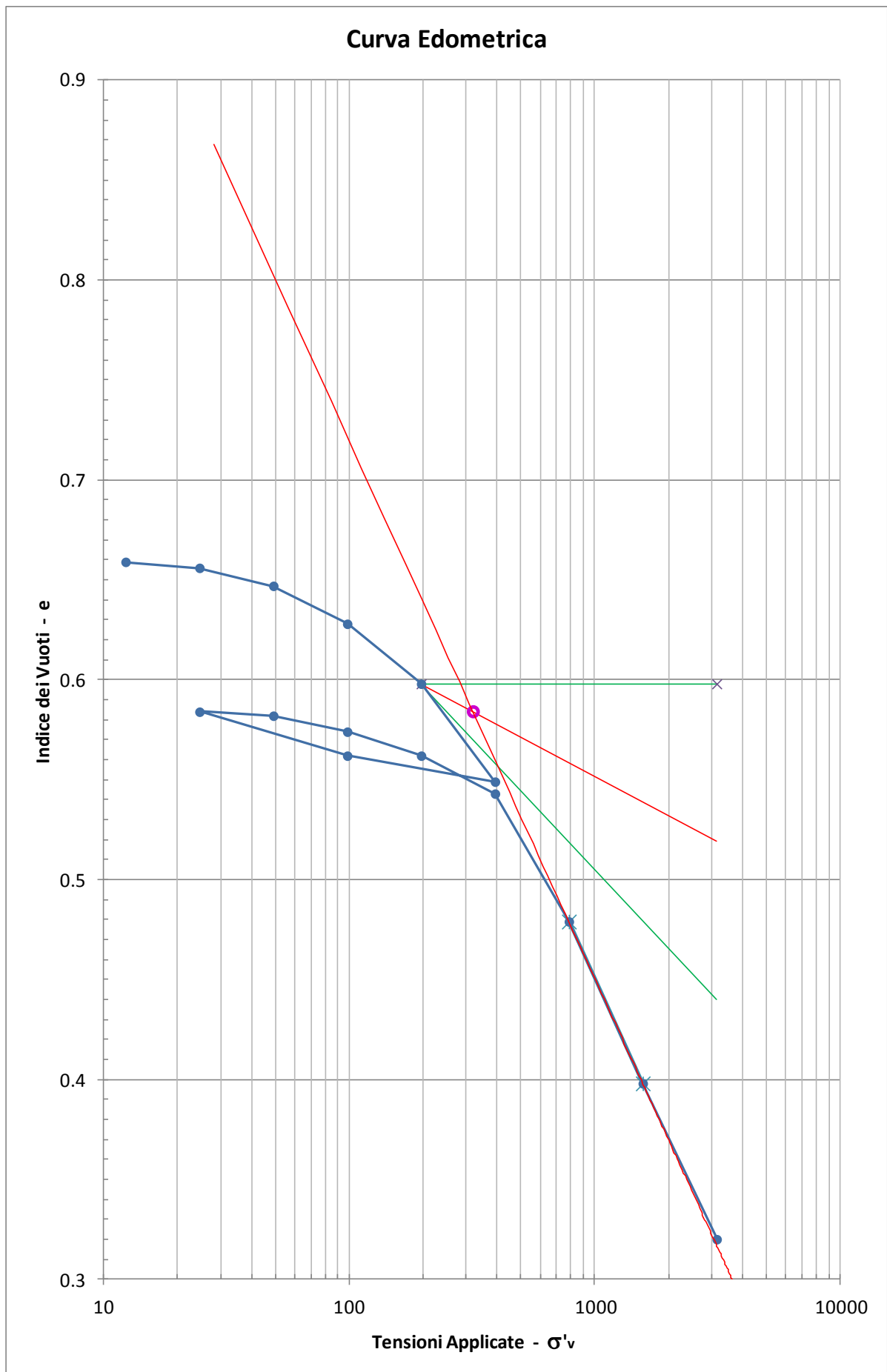
$\sigma'_{vo+\Delta\sigma_v} =$	345.3	kPa	
M ₂ =	196.14	5448	6361
	392.27	6648	

$\sigma'_{vo} =$	247.7	kPa	
M ₁ =	196.14	5448	5764
	392.27	6648	

$(\sigma'_{vo+\Delta\sigma_v}/2)$	296.5	kPa	
M _m =	196.14	5448	6063
	392.27	6648	

SONDAGGIO S2

Campione C3



SONDAGGIO S2

Campione C4

ELABORAZIONE PROVA EDOMETRICA

Dh = -3.9m		Dc = 28.2		$\gamma = 19.2$		$\sigma'_{vo} = 298.4$			Ho = 2.00		$e_o = 0.760$	
Fase	H	ΔH	σ_v	$\Delta\sigma_v$	e	Δe	ϵ_v	$\Delta\epsilon_v$	M	mv	RR/CR	Cr/Cc
	cm	cm	Kpa	Kpa					kPa	m ² /Mn		
1	0.0085		12.26		0.750		0.004					
2	0.0139	0.005	24.52	12.26	0.746	0.004	0.007	0.003	4541	0.2202	0.0090	0.0133
3	0.0246	0.011	49.04	24.52	0.736	0.010	0.012	0.005	4583	0.2182	0.0178	0.0332
4	0.0480	0.023	98.07	49.03	0.716	0.020	0.024	0.012	4191	0.2386	0.0389	0.0664
5	0.0982	0.050	196.14	98.07	0.672	0.044	0.049	0.025	3907	0.2559	0.0834	0.1462
6	0.1633	0.065	392.27	196.13	0.614	0.058	0.082	0.033	6025	0.1660	0.1081	0.1927
7	0.1377	-0.026	98.07	-294.20	0.637	-0.023	0.069	-0.013				
8	0.1046	-0.033	24.52	-73.55	0.666	-0.029	0.052	-0.017				
9	0.1078	0.003	49.03	24.51	0.663	0.003	0.054	0.002	15319	0.0653	0.0053	0.0100
10	0.1164	0.009	98.07	49.04	0.656	0.007	0.058	0.004	11405	0.0877	0.0143	0.0233
11	0.1367	0.020	196.13	98.06	0.638	0.018	0.068	0.010	9661	0.1035	0.0337	0.0598
12	0.1698	0.033	392.27	196.14	0.609	0.029	0.085	0.017	11851	0.0844	0.0550	0.0963
13	0.2402	0.070	784.53	392.26	0.547	0.062	0.120	0.035	11144	0.0897	0.1169	0.2060
14	0.3278	0.088	1569.06	784.53	0.470	0.077	0.164	0.044	17912	0.0558	0.1455	0.2558
15	0.4238	0.096	3138.13	1569.07	0.385	0.085	0.212	0.048	32689	0.0306	0.1595	0.2824

$\sigma'_{vo} =$	298.4	kPa
$\sigma'_p =$	198.2	kPa
OCR =	0.7	-
$\sigma'_{vo+\Delta\sigma_v}$	381.4	kPa

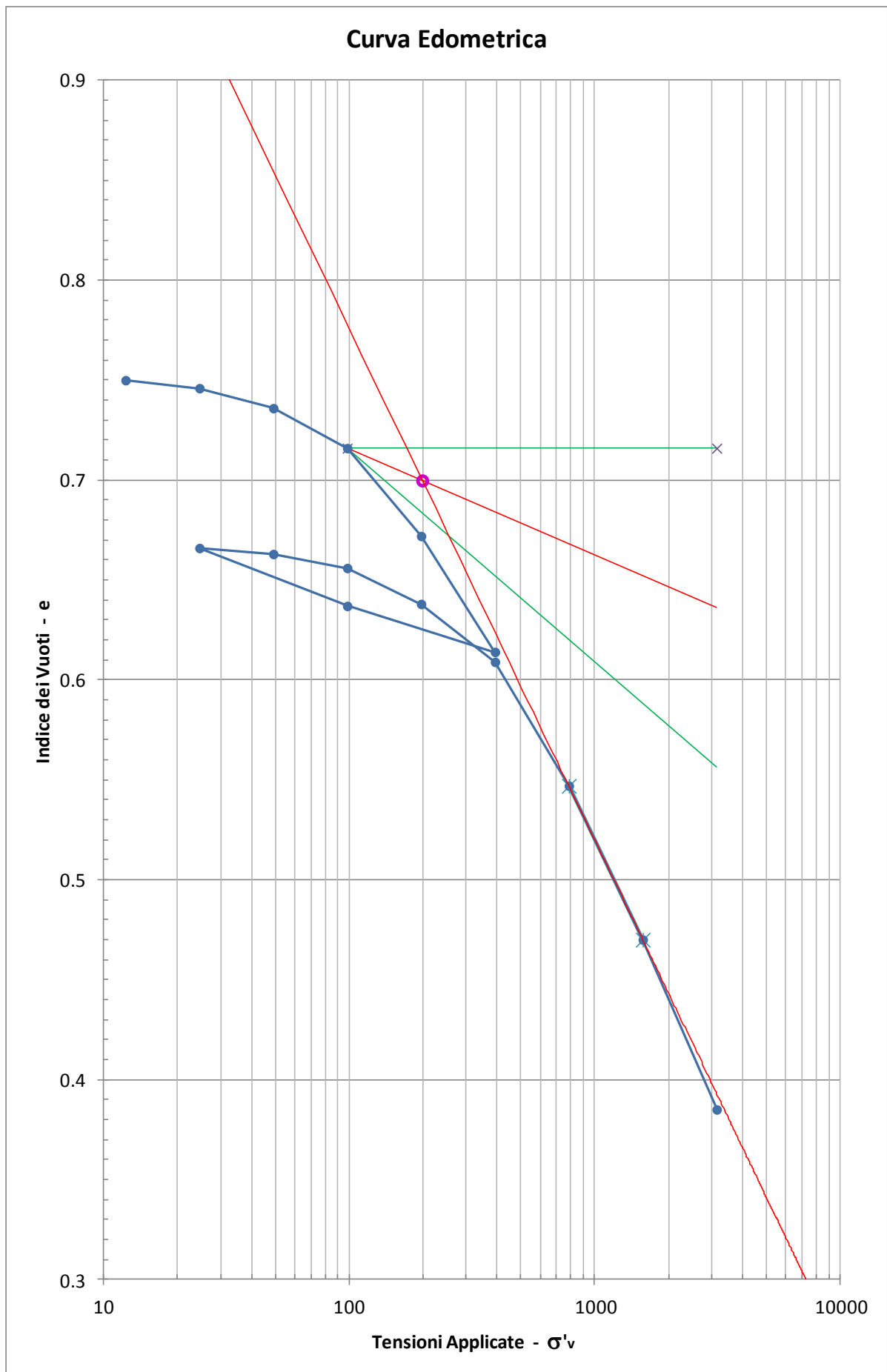
$\sigma'_{vo+\Delta\sigma_v} = 381.4$ kPa			
M ₂ =	196.14	5448	6582
	392.27	6648	

$\sigma'_{vo} = 298.4$ kPa			
M ₁ =	196.14	5448	6074
	392.27	6648	

$(\sigma'_{vo+\Delta\sigma_v}/2) 339.9$ kPa			
M _m =	196.14	5448	6328
	392.27	6648	

SONDAGGIO S2

Campione C4



SONDAGGIO S2

Campione C5

ELABORAZIONE PROVA EDOMETRICA

Dh =-3.9m		Dc = 34.2		$\gamma =$ 20.2		$\sigma'_{vo} = 387.8$			Ho =2.00		$e_o =$ 0.690	
Fase	H	ΔH	σ_v	$\Delta\sigma_v$	e	Δe	ϵ_v	$\Delta\epsilon_v$	M	mv	RR/CR	Cr/Cc
	cm	cm	Kpa	Kpa					kPa	m ² /Mn		
1	0.0127		12.26		0.683		0.006					
2	0.0180	0.005	24.52	12.26	0.678	0.005	0.009	0.003	4626	0.2162	0.0088	0.0166
3	0.0306	0.013	49.04	24.52	0.667	0.011	0.015	0.006	3892	0.2569	0.0209	0.0365
4	0.0518	0.021	98.07	49.03	0.649	0.018	0.026	0.011	4625	0.2162	0.0352	0.0598
5	0.0824	0.031	196.14	98.07	0.624	0.025	0.041	0.015	6410	0.1560	0.0508	0.0830
6	0.1246	0.042	392.27	196.13	0.588	0.036	0.062	0.021	9295	0.1076	0.0701	0.1196
7	0.1902	0.066	784.53	392.26	0.532	0.056	0.095	0.033	11959	0.0836	0.1090	0.1860
8	0.1754	-0.015	196.00	-588.53	0.545	-0.013	0.088	-0.007				
9	0.1585	-0.017	49.03	-146.97	0.559	-0.014	0.079	-0.008	17393	0.0575	0.0140	0.0233
10	0.1616	0.003	98.07	49.04	0.557	0.002	0.081	0.002	31639	0.0316	0.0051	0.0066
11	0.1690	0.007	196.13	98.06	0.550	0.007	0.085	0.004	26503	0.0377	0.0123	0.0233
12	0.1785	0.009	392.27	196.14	0.542	0.008	0.089	0.005	41293	0.0242	0.0158	0.0266
13	0.1986	0.020	784.53	392.26	0.525	0.017	0.099	0.010	39031	0.0256	0.0334	0.0565
14	0.2778	0.079	1569.06	784.53	0.458	0.067	0.139	0.040	19811	0.0505	0.1315	0.2226
15	0.3697	0.092	3138.13	1569.07	0.380	0.078	0.185	0.046	34147	0.0293	0.1526	0.2591

$\sigma'_{vo} =$	387.8	kPa
$\sigma'_p =$	543.8	kPa
OCR =	1.4	-
$\sigma'_{vo+\Delta\sigma_v}$	459.6	kPa

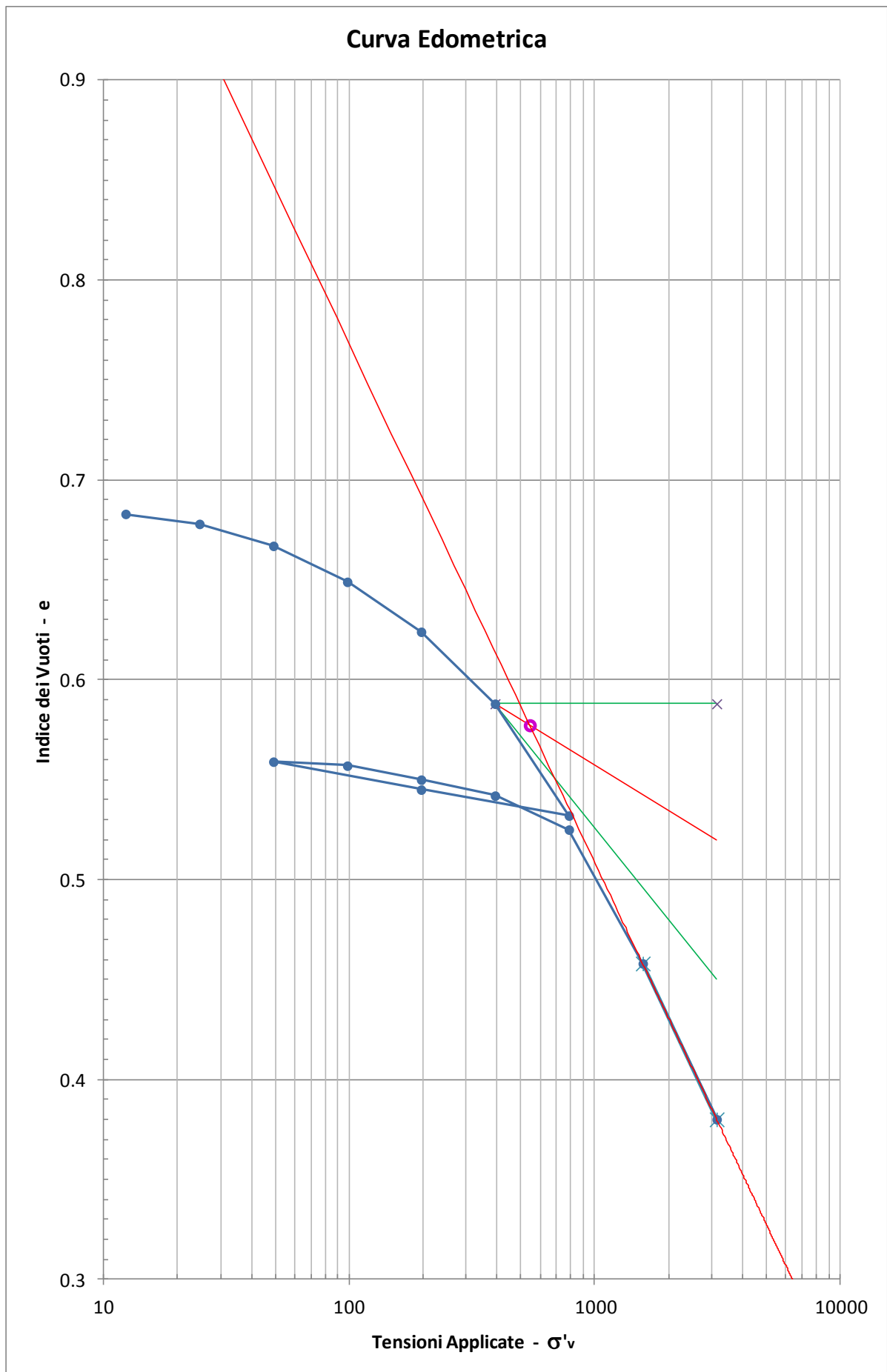
$\sigma'_{vo+\Delta\sigma_v} =$	459.6	kPa	
$M_2 =$	392.27	9122	9628
	784.53	12070	

$\sigma'_{vo} =$	387.8	kPa	
$M_1 =$	196.14	6538	9064
	392.27	9122	

$(\sigma'_{vo+\Delta\sigma_v}/2)$	423.7	kPa	
$M_m =$	392.27	9122	9359
	784.53	12070	

SONDAGGIO S2

Campione C5



PROVE EDOMETRICHE	
SONDAGGIO N°	S3
CAMPIONI	C1-C2-C3-C4-C5-C6
PROFONDITA' FALDA	2.2 m
ALTEZZA RILEVATO	5 m
LARG. RIL SOMMITA'	35 m
LARG. RIL BASE	50 m 54
PESO VOL. RILEV.	18 kN/m ³

SONDAGGIO S3

Campione C1

ELABORAZIONE PROVA EDOMETRICA

Dh = -2.2m		Dc = 4.2		$\gamma = 17.9$		$\sigma'_{vo} = 55.2$		Ho = 2.00		$e_o = 1.050$		
Fase	H	ΔH	σ_v	$\Delta\sigma_v$	e	Δe	ϵ_v	$\Delta\epsilon_v$	M	mv	RR/CR	Cr/Cc
	cm	cm	Kpa	Kpa					kPa	m ² /Mn		
1	0.0278		12.26		1.019		0.014					
2	0.0442	0.016	24.52	12.26	1.002	0.017	0.022	0.008	1495	0.6688	0.0272	0.0565
3	0.0685	0.024	49.03	24.51	0.977	0.025	0.034	0.012	2017	0.4957	0.0404	0.0831
4	0.1055	0.037	98.07	49.04	0.939	0.038	0.053	0.019	2651	0.3772	0.0614	0.1262
5	0.1613	0.056	196.13	98.06	0.882	0.057	0.081	0.028	3515	0.2845	0.0927	0.1894
6	0.1421	-0.019	49.03	-147.10	0.902	-0.020	0.071	-0.010				
7	0.1195	-0.023	12.26	-36.77	0.925	-0.023	0.060	-0.011				
8	0.1219	0.002	24.52	12.26	0.922	0.003	0.061	0.001	10217	0.0979	0.0040	0.0100
9	0.1289	0.007	49.03	24.51	0.915	0.007	0.064	0.004	7003	0.1428	0.0116	0.0233
10	0.1438	0.015	98.07	49.04	0.900	0.015	0.072	0.007	6583	0.1519	0.0247	0.0498
11	0.1705	0.027	196.13	98.06	0.872	0.028	0.085	0.013	7345	0.1361	0.0444	0.0930
12	0.2475	0.077	392.27	196.14	0.794	0.078	0.124	0.039	5095	0.1963	0.1279	0.2591
13	0.3550	0.108	784.53	392.26	0.684	0.110	0.178	0.054	7298	0.1370	0.1786	0.3654
14	0.4677	0.113	1569.06	784.53	0.568	0.116	0.234	0.056	13922	0.0718	0.1872	0.3853
15	0.5834	0.116	3138.13	1569.07	0.450	0.118	0.292	0.058	27123	0.0369	0.1922	0.3920

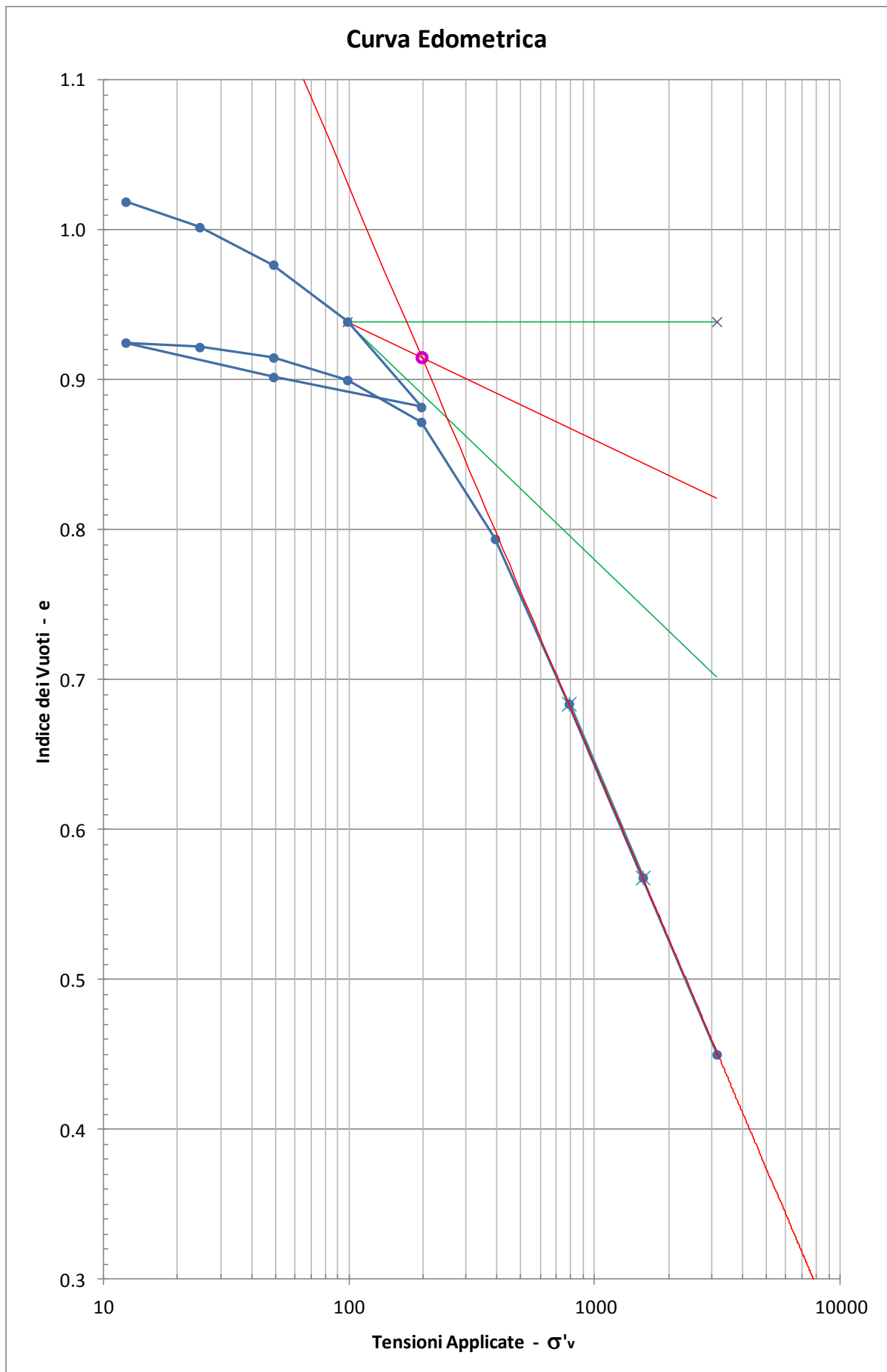
$\sigma'_{vo} =$	55.2	kPa
$\sigma'_p =$	197.0	kPa
OCR =	3.6	-
$\sigma'_{vo+\Delta\sigma_v}$	144.9	kPa

$\sigma'_{vo+\Delta\sigma_v} =$	144.9	kPa	
$M_2 =$	98.07	2724	3096
	196.14	3502	

$\sigma'_{vo} =$	55.2	kPa	
$M_1 =$	49.04	1961	2056
	98.07	2724	

$(\sigma'_{vo+\Delta\sigma_v}/2)$	100.0	kPa	
$M_m =$	98.07	2724	2740
	196.14	3502	

SONDAGGIO S3
Campione C1



SONDAGGIO S3

Campione C2

ELABORAZIONE PROVA EDOMETRICA

Dh = -2.2m		Dc = 7.3		$\gamma = 18.7$		$\sigma'_{vo} = 85.5$			Ho = 2.00		$e_o = 0.940$	
Fase	H	ΔH	σ_v	$\Delta\sigma_v$	e	Δe	ϵ_v	$\Delta\epsilon_v$	M	mv	RR/CR	Cr/Cc
	cm	cm	Kpa	Kpa					kPa	m ² /Mn		
1	0.0084		12.26		0.931		0.004					
2	0.0136	0.005	24.52	12.26	0.926	0.005	0.007	0.003	4715	0.2121	0.0086	0.0166
3	0.0288	0.015	49.03	24.51	0.911	0.015	0.014	0.008	3225	0.3101	0.0253	0.0498
4	0.0582	0.029	98.07	49.04	0.883	0.028	0.029	0.015	3336	0.2998	0.0488	0.0930
5	0.1046	0.046	196.13	98.06	0.838	0.045	0.052	0.023	4227	0.2366	0.0771	0.1495
6	0.0854	-0.019	49.03	-147.10	0.856	-0.018	0.043	-0.010				
7	0.0719	-0.014	12.26	-36.77	0.870	-0.014	0.036	-0.007				
8	0.0732	0.001	24.52	12.26	0.868	0.002	0.037	0.001	18862	0.0530	0.0022	0.0066
9	0.0766	0.003	49.03	24.51	0.865	0.003	0.038	0.002	14418	0.0694	0.0056	0.0100
10	0.0861	0.009	98.07	49.04	0.856	0.009	0.043	0.005	10324	0.0969	0.0158	0.0299
11	0.1087	0.023	196.13	98.06	0.834	0.022	0.054	0.011	8678	0.1152	0.0375	0.0731
12	0.1801	0.071	392.27	196.14	0.765	0.069	0.090	0.036	5494	0.1820	0.1186	0.2292
13	0.2696	0.090	784.53	392.26	0.678	0.087	0.135	0.045	8766	0.1141	0.1487	0.2890
14	0.3621	0.093	1569.06	784.53	0.588	0.090	0.181	0.046	16963	0.0590	0.1536	0.2990
15	0.4590	0.097	3138.13	1569.07	0.494	0.094	0.230	0.048	32385	0.0309	0.1609	0.3123

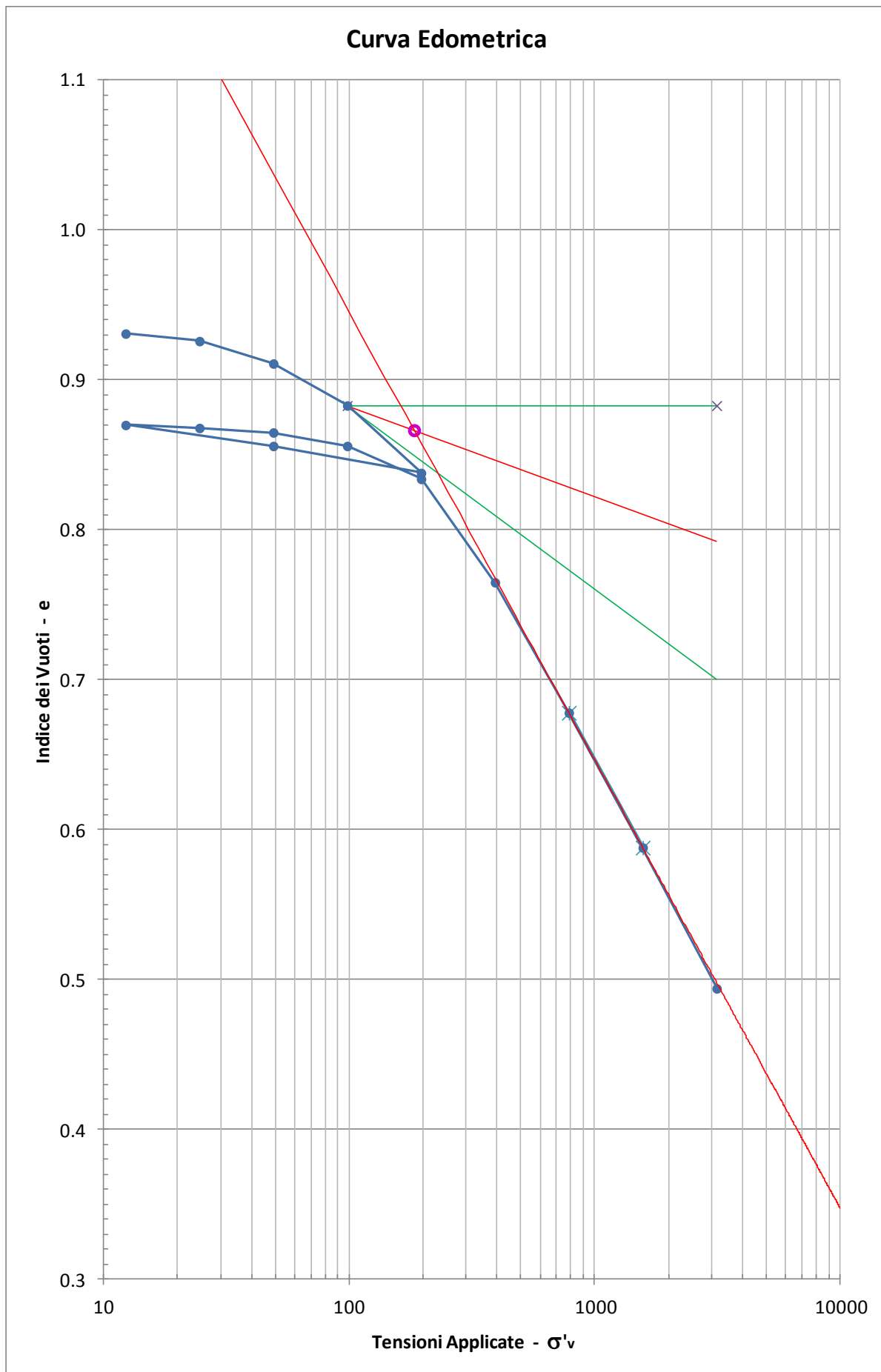
$\sigma'_{vo} =$	85.5	kPa
$\sigma'_p =$	183.6	kPa
OCR =	2.1	-
$\sigma'_{vo+\Delta\sigma_v}$	174.1	kPa

$\sigma'_{vo+\Delta\sigma_v} =$	174.1	kPa	
$M_2 =$	98.07	3382	3995
	196.14	4173	

$\sigma'_{vo} =$	85.5	kPa	
$M_1 =$	49.04	3268	3353
	98.07	3382	

$(\sigma'_{vo+\Delta\sigma_v}/2)$	129.8	kPa	
$M_m =$	98.07	3382	3638
	196.14	4173	

SONDAGGIO S3
Campione C2



SONDAGGIO S3

Campione C3

ELABORAZIONE PROVA EDOMETRICA

Dh =-2.2m		Dc = 14.3		$\gamma =$ 20.1		$\sigma'_{vo} = 166.4$			Ho =2.00		$e_o =$ 0.710	
Fase	H	ΔH	σ_v	$\Delta\sigma_v$	e	Δe	ϵ_v	$\Delta\epsilon_v$	M	mv	RR/CR	Cr/Cc
	cm	cm	Kpa	Kpa					kPa	m ² /Mn		
1	0.0104		12.26		0.705		0.005					
2	0.0174	0.007	24.52	12.26	0.699	0.006	0.009	0.004	3503	0.2855	0.0116	0.0199
3	0.0385	0.021	49.03	24.51	0.681	0.018	0.019	0.011	2323	0.4304	0.0351	0.0598
4	0.0786	0.040	98.07	49.04	0.647	0.034	0.039	0.020	2446	0.4088	0.0666	0.1129
5	0.1351	0.057	196.13	98.06	0.598	0.049	0.068	0.028	3471	0.2881	0.0939	0.1628
6	0.2572	0.122	588.39	392.26	0.494	0.104	0.129	0.061	6425	0.1556	0.1280	0.2180
7	0.2457	-0.012	98.07	-490.32	0.504	-0.010	0.123	-0.006				
8	0.2252	-0.021	24.52	-73.55	0.521	-0.017	0.113	-0.010				
9	0.2269	0.002	49.03	24.51	0.520	0.001	0.113	0.001	28835	0.0347	0.0028	0.0033
10	0.2328	0.006	98.07	49.04	0.515	0.005	0.116	0.003	16624	0.0602	0.0098	0.0166
11	0.2443	0.012	196.13	98.06	0.505	0.010	0.122	0.006	17054	0.0586	0.0191	0.0332
12	0.2595	0.015	392.27	196.14	0.492	0.013	0.130	0.008	25808	0.0387	0.0252	0.0432
13	0.3011	0.042	784.53	392.26	0.456	0.036	0.151	0.021	18859	0.0530	0.0691	0.1196
14	0.3817	0.081	1569.06	784.53	0.387	0.069	0.191	0.040	19467	0.0514	0.1339	0.2292
15	0.4698	0.088	3138.13	1569.07	0.312	0.075	0.235	0.044	35620	0.0281	0.1463	0.2491

$\sigma'_{vo} =$	166.4	kPa
$\sigma'_p =$	92.1	kPa
OCR =	0.6	-
$\sigma'_{vo+\Delta\sigma_v}$	248.7	kPa

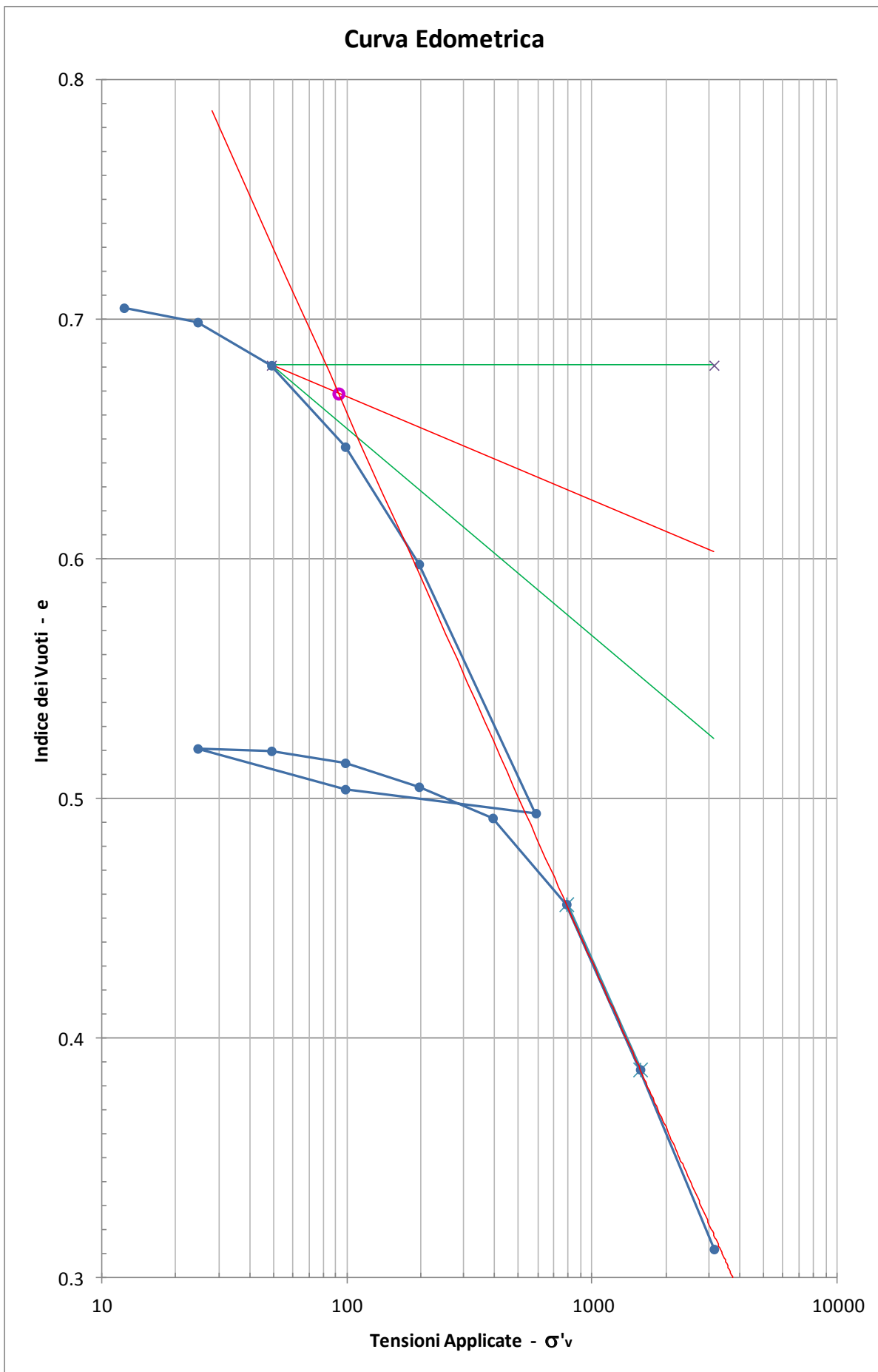
$\sigma'_{vo+\Delta\sigma_v} =$	248.7	kPa	
$M_2 =$	196.13	3502	3894
	588.39	6430	

$\sigma'_{vo} =$	166.4	kPa	
$M_1 =$	98.07	2392	3166
	196.13	3502	

$(\sigma'_{vo+\Delta\sigma_v}/2)$	207.6	kPa	
$M_m =$	196.13	3502	3587
	588.39	6430	

SONDAGGIO S3

Campione C3



SONDAGGIO S3

Campione C4

ELABORAZIONE PROVA EDOMETRICA

Dh = -2.2m		Dc = 20.3		$\gamma = 19.2$		$\sigma'_{vo} = 208.8$			Ho = 2.00		$e_o = 0.900$	
Fase	H	ΔH	σ_v	$\Delta\sigma_v$	e	Δe	ϵ_v	$\Delta\epsilon_v$	M	mv	RR/CR	Cr/Cc
	cm	cm	Kpa	Kpa					kPa	m ² /Mn		
1	0.0074		12.26		0.893		0.004					
2	0.0118	0.004	24.52	12.26	0.889	0.004	0.006	0.002	5573	0.1794	0.0073	0.0133
3	0.0219	0.010	49.03	24.51	0.879	0.010	0.011	0.005	4853	0.2060	0.0168	0.0332
4	0.0475	0.026	98.07	49.04	0.855	0.024	0.024	0.013	3831	0.2610	0.0425	0.0797
5	0.0755	0.028	196.13	98.06	0.828	0.027	0.038	0.014	7004	0.1428	0.0465	0.0897
6	0.2099	0.134	588.39	392.26	0.701	0.127	0.105	0.067	5837	0.1713	0.1408	0.2662
7	0.1855	-0.024	98.07	-490.32	0.724	-0.023	0.093	-0.012				
8	0.1567	-0.029	24.52	-73.55	0.751	-0.027	0.078	-0.014				
9	0.1578	0.001	49.03	24.51	0.750	0.001	0.079	0.001	44564	0.0224	0.0018	0.0033
10	0.1634	0.006	98.07	49.04	0.745	0.005	0.082	0.003	17514	0.0571	0.0093	0.0166
11	0.1802	0.017	196.13	98.06	0.729	0.016	0.090	0.008	11674	0.0857	0.0279	0.0532
12	0.2110	0.031	392.27	196.14	0.700	0.029	0.106	0.015	12736	0.0785	0.0512	0.0963
13	0.2772	0.066	784.53	392.26	0.637	0.063	0.139	0.033	11851	0.0844	0.1100	0.2093
14	0.3838	0.107	1569.06	784.53	0.535	0.102	0.192	0.053	14719	0.0679	0.1771	0.3388
15	0.4880	0.104	3138.13	1569.07	0.436	0.099	0.244	0.052	30117	0.0332	0.1731	0.3289

$\sigma'_{vo} =$	208.8	kPa
$\sigma'_p =$	221.0	kPa
OCR =	1.1	-
$\sigma'_{vo} + \Delta\sigma_v$	282.8	kPa

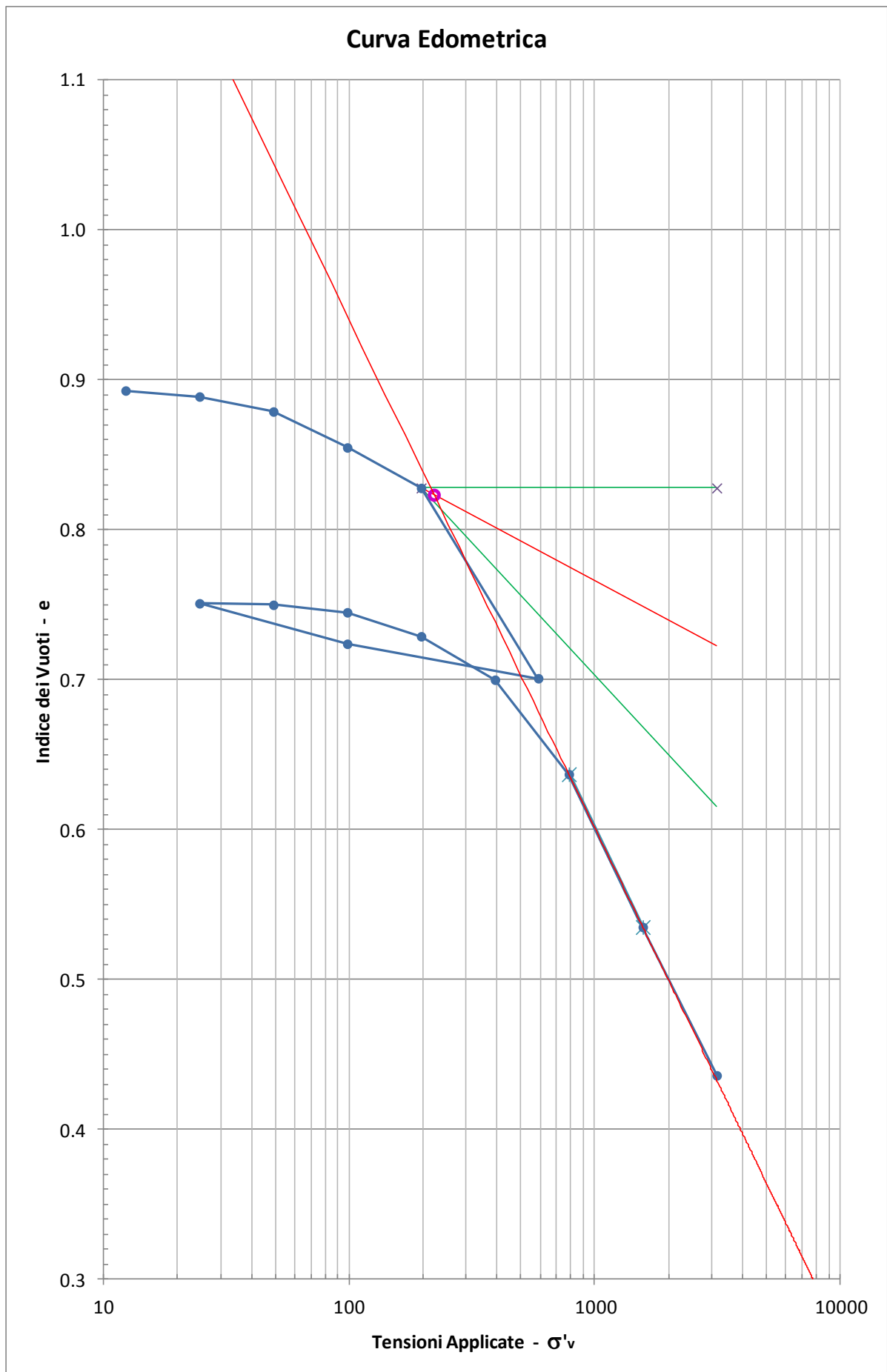
$\sigma'_{vo} + \Delta\sigma_v =$	282.8	kPa	
$M_2 =$	196.13	7004	6746
	588.39	5837	

$\sigma'_{vo} =$	208.8	kPa	
$M_1 =$	196.13	7004	6967
	588.39	5837	

$(\sigma'_{vo} + \Delta\sigma_v / 2)$	245.8	kPa	
$M_m =$	196.13	7004	6857
	588.39	5837	

SONDAGGIO S3

Campione C4



SONDAGGIO S3

Campione C5

ELABORAZIONE PROVA EDOMETRICA

Dh = -2.2m		Dc = 30.6		$\gamma = 17.9$		$\sigma'_{vo} = 263.7$		Ho = 2.00		$e_o = 0.710$		
Fase	H	ΔH	σ_v	$\Delta\sigma_v$	e	Δe	ϵ_v	$\Delta\epsilon_v$	M	mv	RR/CR	Cr/Cc
	cm	cm	Kpa	Kpa					kPa	m ² /Mn		
1	0.0033		12.26		1.098		0.002					
2	0.0048	0.002	24.52	12.26	1.097	0.001	0.002	0.001	16347	0.0612	0.0025	0.0033
3	0.0102	0.005	49.03	24.51	1.091	0.006	0.005	0.003	9078	0.1102	0.0090	0.0199
4	0.0292	0.019	98.07	49.04	1.071	0.020	0.015	0.010	5162	0.1937	0.0316	0.0664
5	0.0617	0.033	196.13	98.06	1.037	0.034	0.031	0.016	6034	0.1657	0.0540	0.1130
6	0.1796	0.118	588.39	392.26	0.913	0.124	0.090	0.059	6654	0.1503	0.1236	0.2599
7	0.2338	0.054	784.53	196.14	0.856	0.057	0.117	0.027	7238	0.1382	0.2169	0.4562
8	0.1912	-0.043	196.13	-588.40	0.901	-0.045	0.096	-0.021				
9	0.1444	-0.047	49.03	-147.10	0.950	-0.049	0.072	-0.023				
10	0.1476	0.003	98.07	49.04	0.946	0.004	0.074	0.002	30650	0.0326	0.0053	0.0133
11	0.1603	0.013	196.13	98.06	0.933	0.013	0.080	0.006	15443	0.0648	0.0211	0.0432
12	0.1927	0.032	392.27	196.14	0.899	0.034	0.096	0.016	12107	0.0826	0.0538	0.1129
13	0.2490	0.056	784.53	392.26	0.840	0.059	0.125	0.028	13935	0.0718	0.0935	0.1960
14	0.3669	0.118	1569.06	784.53	0.716	0.124	0.183	0.059	13308	0.0751	0.1958	0.4119
15	0.4948	0.128	3138.13	1569.07	0.582	0.134	0.247	0.064	24536	0.0408	0.2124	0.4451

$\sigma'_{vo} =$	263.7	kPa
$\sigma'_p =$	332.6	kPa
OCR =	1.3	-
$\sigma'_{vo+\Delta\sigma_v}$	323.1	kPa

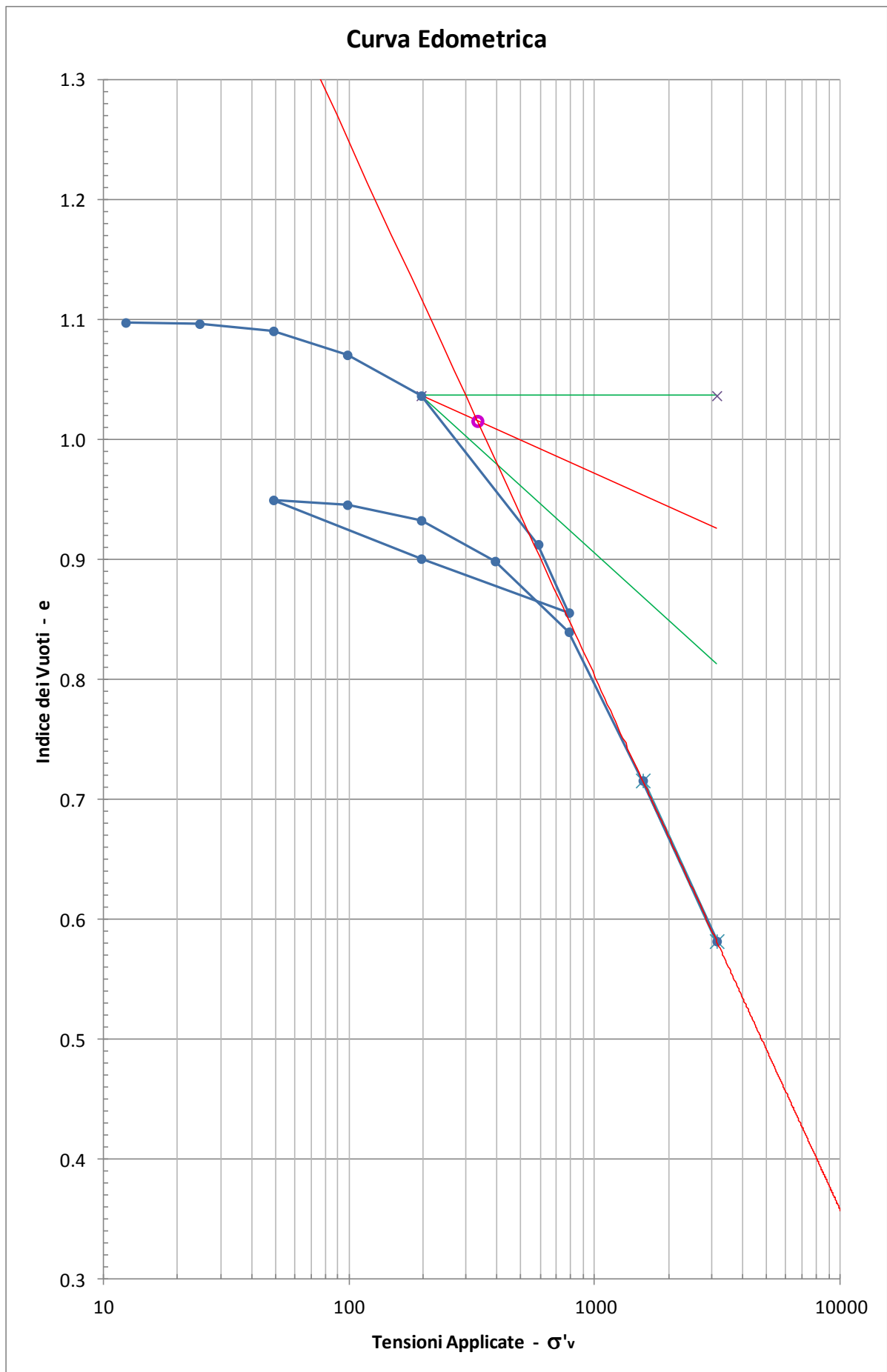
$\sigma'_{vo+\Delta\sigma_v} =$	323.1 kPa	
$M_2 =$	392.27	9122
	784.53	12070
	8602	

$\sigma'_{vo} =$	263.7 kPa	
$M_1 =$	196.14	6538
	392.27	9122
	7429	

$(\sigma'_{vo+\Delta\sigma_v}/2)$	293.4 kPa	
$M_m =$	392.27	9122
	784.53	12070
	8380	

SONDAGGIO S3

Campione C5



SONDAGGIO S3

Campione C6

ELABORAZIONE PROVA EDOMETRICA

Dh =-2.2m		Dc = 36.3		$\gamma =$ 19.6		$\sigma'_{vo} = 370.5$			Ho =2.00		$e_o =$ 0.780	
Fase	H	ΔH	σ_v	$\Delta\sigma_v$	e	Δe	ϵ_v	$\Delta\epsilon_v$	M	mv	RR/CR	Cr/Cc
	cm	cm	Kpa	Kpa					kPa	m ² /Mn		
1	0.0090		12.26		0.772		0.005					
2	0.0159	0.007	24.52	12.26	0.765	0.007	0.008	0.003	3554	0.2814	0.0115	0.0233
3	0.0321	0.016	49.03	24.51	0.751	0.014	0.016	0.008	3026	0.3305	0.0269	0.0465
4	0.0580	0.026	98.07	49.04	0.728	0.023	0.029	0.013	3787	0.2641	0.0430	0.0764
5	0.0972	0.039	196.13	98.06	0.693	0.035	0.049	0.020	5003	0.1999	0.0651	0.1163
6	0.2021	0.105	588.39	392.26	0.600	0.093	0.101	0.052	7479	0.1337	0.1099	0.1949
7	0.2404	0.038	784.53	196.14	0.566	0.034	0.120	0.019	10242	0.0976	0.1533	0.2721
8	0.2085	-0.032	196.13	-588.40	0.594	-0.028	0.104	-0.016				
9	0.1666	-0.042	49.03	-147.10	0.631	-0.037	0.083	-0.021				
10	0.1703	0.004	98.07	49.04	0.628	0.003	0.085	0.002	26508	0.0377	0.0061	0.0100
11	0.1844	0.014	196.13	98.06	0.615	0.013	0.092	0.007	13909	0.0719	0.0234	0.0432
12	0.2108	0.026	392.27	196.14	0.592	0.023	0.105	0.013	14859	0.0673	0.0438	0.0764
13	0.2525	0.042	784.53	392.26	0.555	0.037	0.126	0.021	18813	0.0532	0.0693	0.1229
14	0.3503	0.098	1569.06	784.53	0.468	0.087	0.175	0.049	16044	0.0623	0.1624	0.2890
15	0.4612	0.111	3138.13	1569.07	0.369	0.099	0.231	0.055	28297	0.0353	0.1842	0.3289

$\sigma'_{vo} =$	370.5	kPa
$\sigma'_p =$	379.0	kPa
OCR =	1.0	-
$\sigma'_{vo+\Delta\sigma_v}$	422.6	kPa

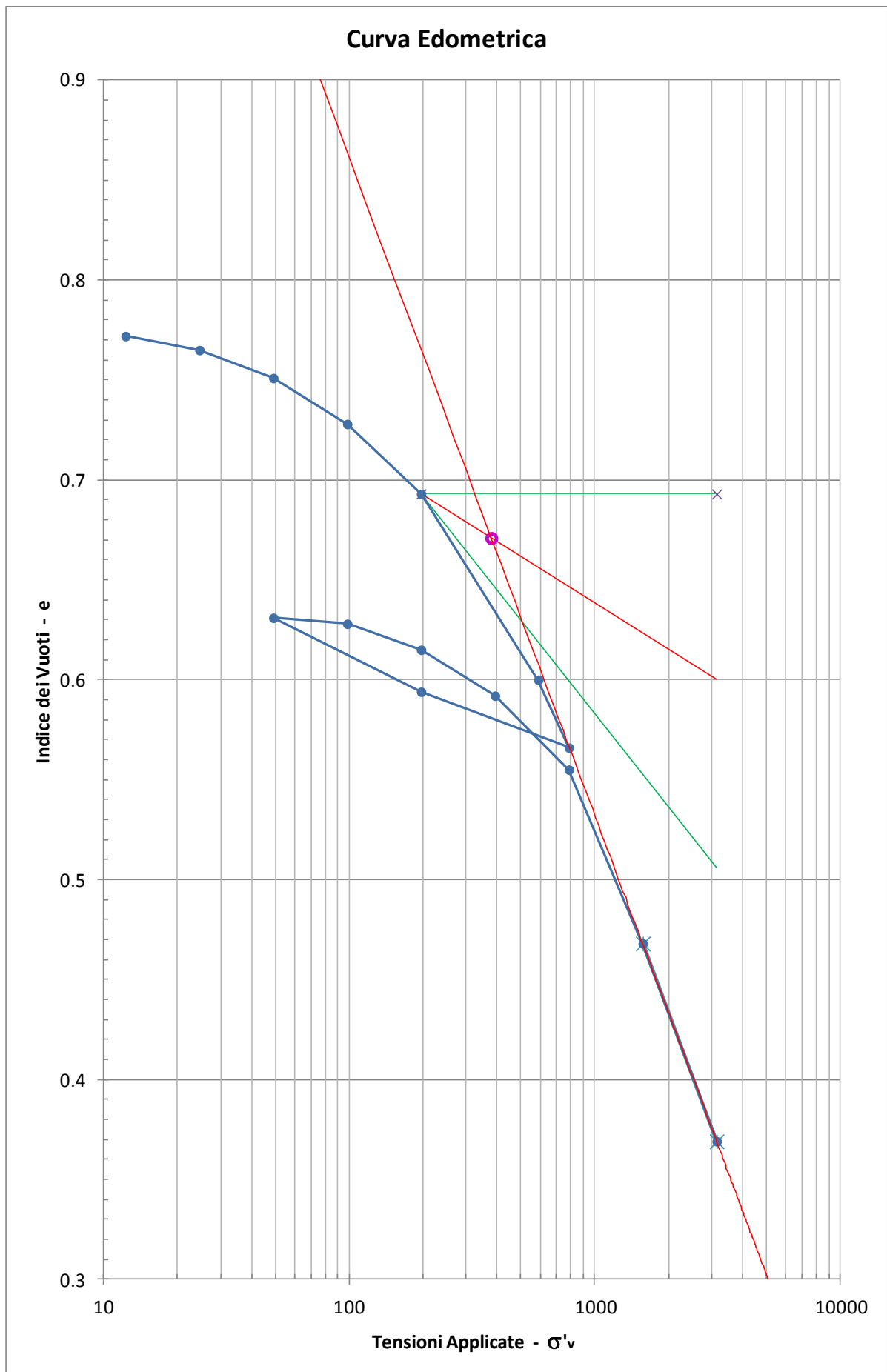
$\sigma'_{vo+\Delta\sigma_v} =$	422.6	kPa	
$M_2 =$	392.27	9122	9350
	784.53	12070	

$\sigma'_{vo} =$	370.5	kPa	
$M_1 =$	196.14	6538	8835
	392.27	9122	

$(\sigma'_{vo+\Delta\sigma_v}/2)$	396.5	kPa	
$M_m =$	392.27	9122	9154
	784.53	12070	

SONDAGGIO S3

Campione C6



PROVE EDOMETRICHE	
SONDAGGIO N°	S-4
CAMPIONI	C1-C2-C3-C4-C5-C6-C7
PROFONDITA' FALDA	1.3 m
ALTEZZA RILEVATO	4 m
LARG. RIL SOMMITA'	29 m
LARG. RIL BASE	51 m 41
PESO VOL. RILEV.	18 kN/m ³

SONDAGGIO S4

Campione C1

ELABORAZIONE PROVA EDOMETRICA

Dh = -1.3m		Dc = 2.7		$\gamma = 19.8$		$\sigma'_{vo} = 39.5$			Ho = 2.00		$e_o = 0.690$	
Fase	H	ΔH	σ_v	$\Delta\sigma_v$	e	Δe	ϵ_v	$\Delta\epsilon_v$	M	mv	RR/CR	Cr/Cc
	cm	cm	Kpa	Kpa					kPa	m ² /Mn		
1	0.0000		0.00		0.690		0.000					
2	0.0371	0.037	12.26	12.26	0.657	0.033	0.019	0.019	661	1.5131		
3	0.0683	0.031	24.52	12.26	0.631	0.026	0.034	0.016	786	1.2724	0.0518	0.0864
4	0.0858	0.018	49.03	24.51	0.616	0.015	0.043	0.009	2801	0.3570	0.0291	0.0498
5	0.1098	0.024	98.07	49.04	0.596	0.020	0.055	0.012	4087	0.2447	0.0399	0.0664
6	0.1408	0.031	196.13	98.06	0.570	0.026	0.070	0.016	6326	0.1581	0.0515	0.0864
7	0.1378	-0.003	98.07	-98.06	0.572							
8	0.1263	-0.012	49.03	-49.04	0.582							
9	0.1188	-0.007	24.52	-24.51	0.588							
10	0.1191	0.000	49.03	24.51	0.588	0.000	0.060	0.060	412	2.4296	0.1979	0.0000
11	0.1221	0.003	98.07	49.04	0.585	0.003	0.061	0.002	32693	0.0306	0.0050	0.0100
12	0.1504	0.028	196.13	98.06	0.562	0.023	0.075	0.014	6930	0.1443	0.0470	0.0764
13	0.2270	0.077	392.27	196.14	0.497	0.065	0.114	0.038	5121	0.1953	0.1272	0.2159
14	0.3094	0.082	784.53	392.26	0.427	0.070	0.155	0.041	9521	0.1050	0.1369	0.2325
15	0.3945	0.085	1569.06	784.53	0.355	0.072	0.197	0.043	18438	0.0542	0.1413	0.2392
16	0.4782	0.084	3138.12	1569.06	0.285	0.070	0.239	0.042	37492	0.0267	0.1390	0.2325
17												
18												

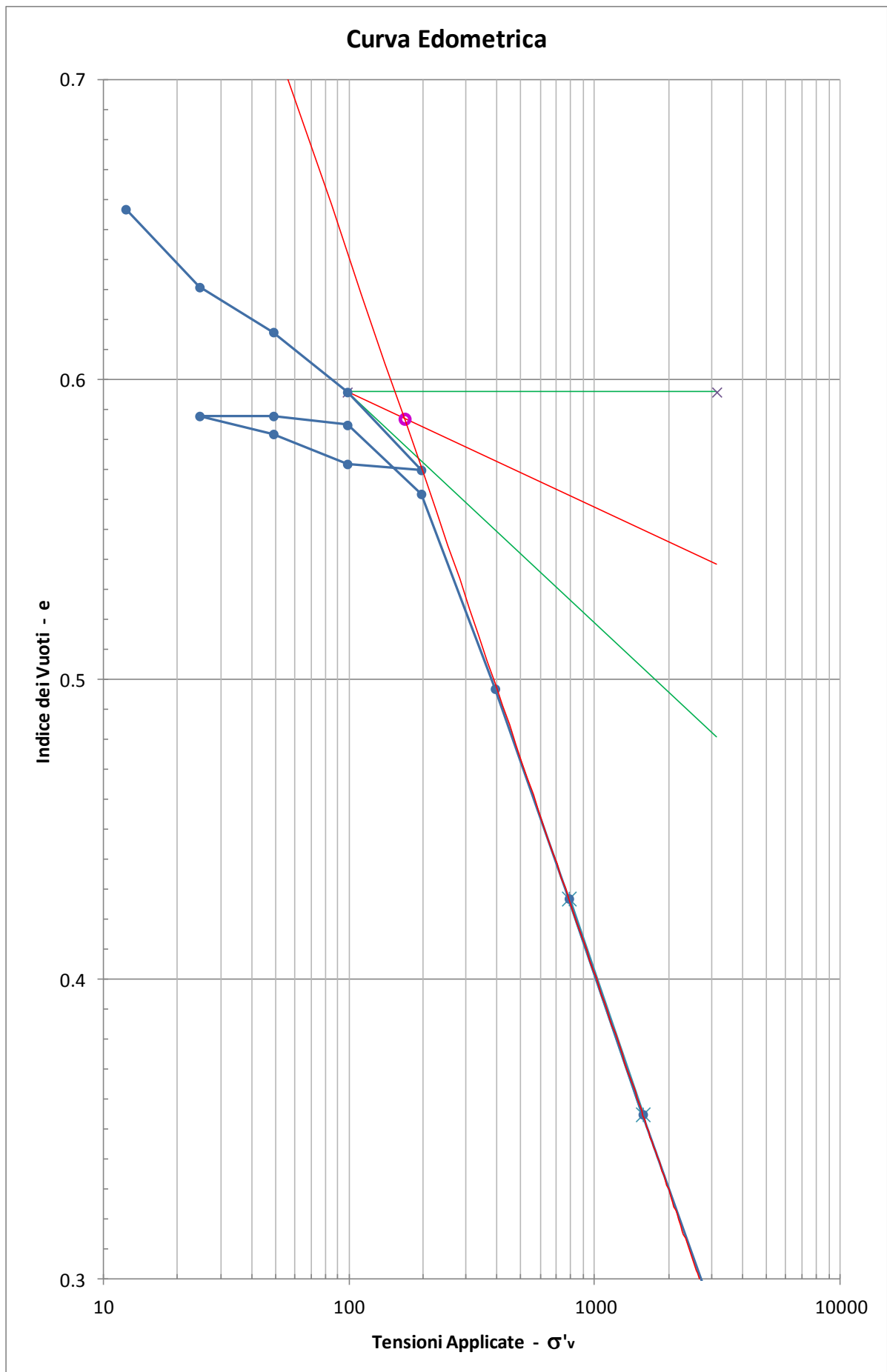
$\sigma'_{vo} =$	39.5	kPa
$\sigma'_p =$	168.0	kPa
OCR =	4.3	-
$\sigma'_{vo+\Delta\sigma_v}$	111.4	kPa

$\sigma'_{vo+\Delta\sigma_v} =$	111.4	kPa	
$M_2 =$	98.07	4087	4391
	196.13	6326	

$\sigma'_{vo} =$	39.5	kPa	
$M_1 =$	24.52	786	2014
	49.03	2801	

$(\sigma'_{vo+\Delta\sigma_v}/2)$	75.4	kPa	
$M_m =$	49.03	2801	3493
	98.07	4087	

SONDAGGIO S4
Campione C1



SONDAGGIO S4

Campione C2

ELABORAZIONE PROVA EDOMETRICA

Dh = -1.3m		Dc = 5.7		$\gamma = \mathbf{18.8}$		$\sigma'_{vo} = 63.2$		Ho = 2.00		$e_o = \mathbf{0.880}$		
Fase	H	ΔH	σ_v	$\Delta\sigma_v$	e	Δe	ϵ_v	$\Delta\epsilon_v$	M	mv	RR/CR	Cr/Cc
	cm	cm	Kpa	Kpa					kPa	m ² /Mn		
1	0.0000		0.00		0.880		0.000					
2	0.0112	0.011	12.26	12.26	0.865	0.015	0.006	0.006				
3	0.0186	0.007	24.52	12.26	0.858	0.007	0.009	0.004	3314	0.3018	0.0123	0.0233
4	0.0324	0.014	49.03	24.51	0.845	0.013	0.016	0.007	3552	0.2815	0.0229	0.0432
5	0.0712	0.039	98.07	49.04	0.808	0.037	0.036	0.019	2528	0.3956	0.0644	0.1229
6	0.1227	0.052	196.13	98.06	0.760	0.048	0.061	0.026	3808	0.2626	0.0855	0.1595
7	0.1180	-0.005	98.07	-98.06	0.764							
8	0.1077	-0.010	49.03	-49.04	0.774							
9	0.0955	-0.012	24.52	-24.51	0.785							
10	0.0985	0.003	49.03	24.51	0.783	0.002	0.049	0.049	498	2.0094	0.1637	0.0066
11	0.1080	0.009	98.07	49.04	0.774	0.009	0.054	0.005	10324	0.0969	0.0158	0.0299
12	0.1267	0.019	196.13	98.06	0.756	0.018	0.063	0.009	10488	0.0953	0.0311	0.0598
13	0.1814	0.055	392.27	196.14	0.705	0.051	0.091	0.027	7171	0.1394	0.0909	0.1694
14	0.2583	0.077	784.53	392.26	0.633	0.072	0.129	0.038	10202	0.0980	0.1277	0.2392
15	0.3338	0.076	1569.06	784.53	0.562	0.071	0.167	0.038	20782	0.0481	0.1254	0.2359
16	0.4204	0.087	3138.12	1569.06	0.481	0.081	0.210	0.043	36237	0.0276	0.1438	0.2691
17												
18												

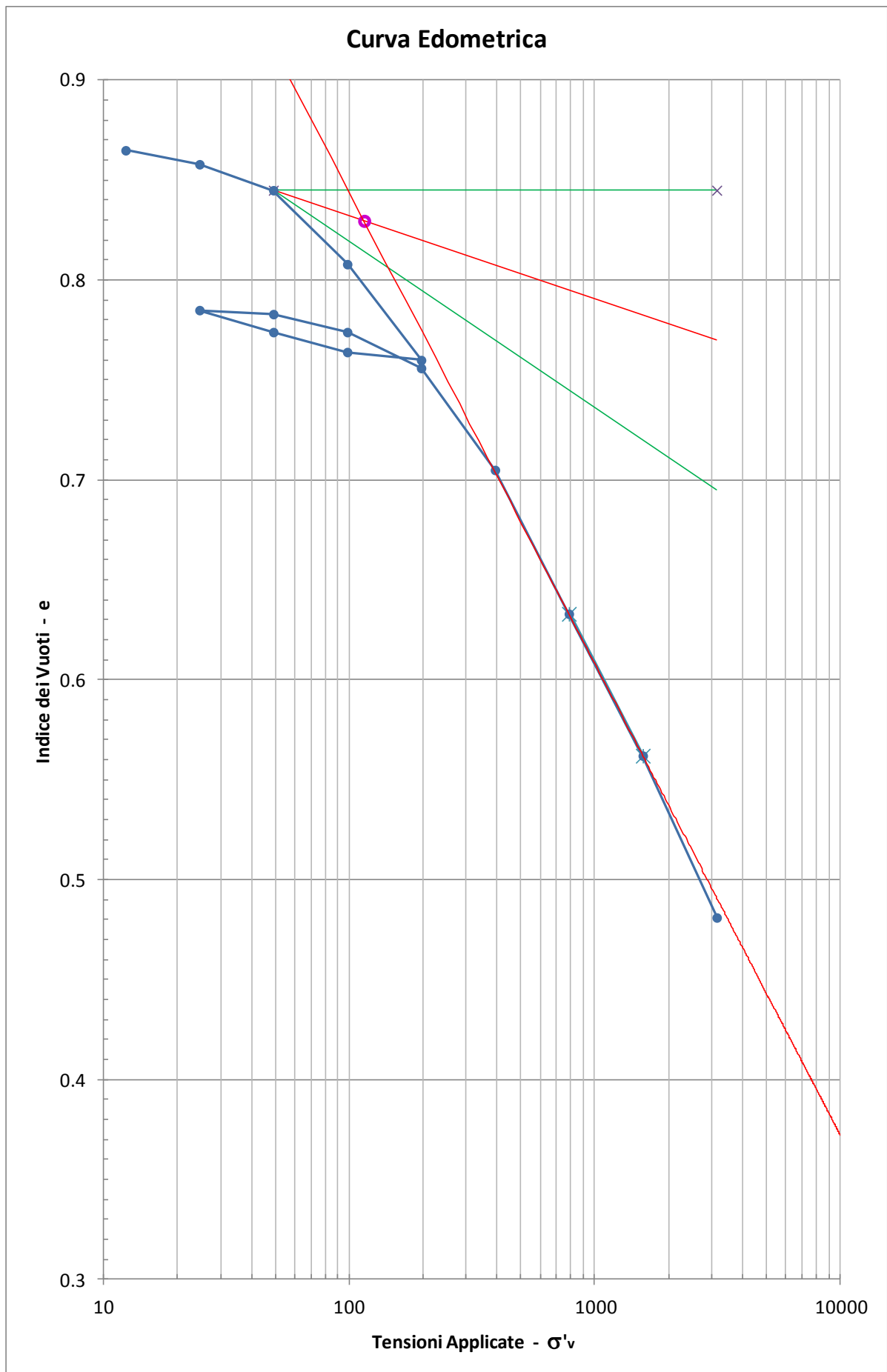
$\sigma'_{vo} =$	63.2	kPa
$\sigma'_p =$	115.0	kPa
OCR =	1.8	-
$\sigma'_{vo+\Delta\sigma_v}$	134.5	kPa

$\sigma'_{vo+\Delta\sigma_v} =$	134.5	kPa	
$M_2 =$	98.07	2528	3003
	196.13	3808	

$\sigma'_{vo} =$	63.2	kPa	
$M_1 =$	49.03	3552	3257
	98.07	2528	

$(\sigma'_{vo+\Delta\sigma_v}/2)$	98.8	kPa	
$M_m =$	98.07	2528	2538
	196.13	3808	

SONDAGGIO S4
Campione C2



SONDAGGIO S4

Campione C3

ELABORAZIONE PROVA EDOMETRICA

Dh = -1.3m		Dc = 8.2		$\gamma = 19.0$		$\sigma'_{vo} = 86.8$			Ho = 2.00		$e_o = 0.850$	
Fase	H	ΔH	σ_v	$\Delta\sigma_v$	e	Δe	ϵ_v	$\Delta\epsilon_v$	M	mv	RR/CR	Cr/Cc
	cm	cm	Kpa	Kpa					kPa	m ² /Mn		
1	0.0000		0.00		0.850		0.000					
2	0.0083	0.008	12.26	12.26	0.840	0.010	0.004	0.004				
3	0.0159	0.008	24.52	12.26	0.833	0.007	0.008	0.004	3226	0.3100	0.0126	0.0233
4	0.0487	0.033	49.03	24.51	0.802	0.031	0.024	0.016	1495	0.6691	0.0545	0.1030
5	0.0820	0.033	98.07	49.04	0.772	0.030	0.041	0.017	2945	0.3395	0.0553	0.0996
6	0.1249	0.043	196.13	98.06	0.732	0.040	0.062	0.021	4572	0.2187	0.0713	0.1329
7	0.1208	-0.004	98.07	-98.06	0.736							
8	0.1137	-0.007	49.03	-49.04	0.742							
9	0.1064	-0.007	24.52	-24.51	0.749							
10	0.1083	0.002	49.03	24.51	0.747	0.002	0.054	0.054	453	2.2093	0.1799	0.0066
11	0.1151	0.007	98.07	49.04	0.741	0.006	0.058	0.003	14424	0.0693	0.0113	0.0199
12	0.1332	0.018	196.13	98.06	0.724	0.017	0.067	0.009	10835	0.0923	0.0301	0.0565
13	0.1919	0.059	392.27	196.14	0.670	0.054	0.096	0.029	6683	0.1496	0.0975	0.1794
14	0.2768	0.085	784.53	392.26	0.592	0.078	0.138	0.042	9241	0.1082	0.1410	0.2591
15	0.3733	0.097	1569.06	784.53	0.503	0.089	0.187	0.048	16260	0.0615	0.1603	0.2957
16	0.4780	0.105	3138.12	1569.06	0.406	0.097	0.239	0.052	29972	0.0334	0.1739	0.3222
17												
18												

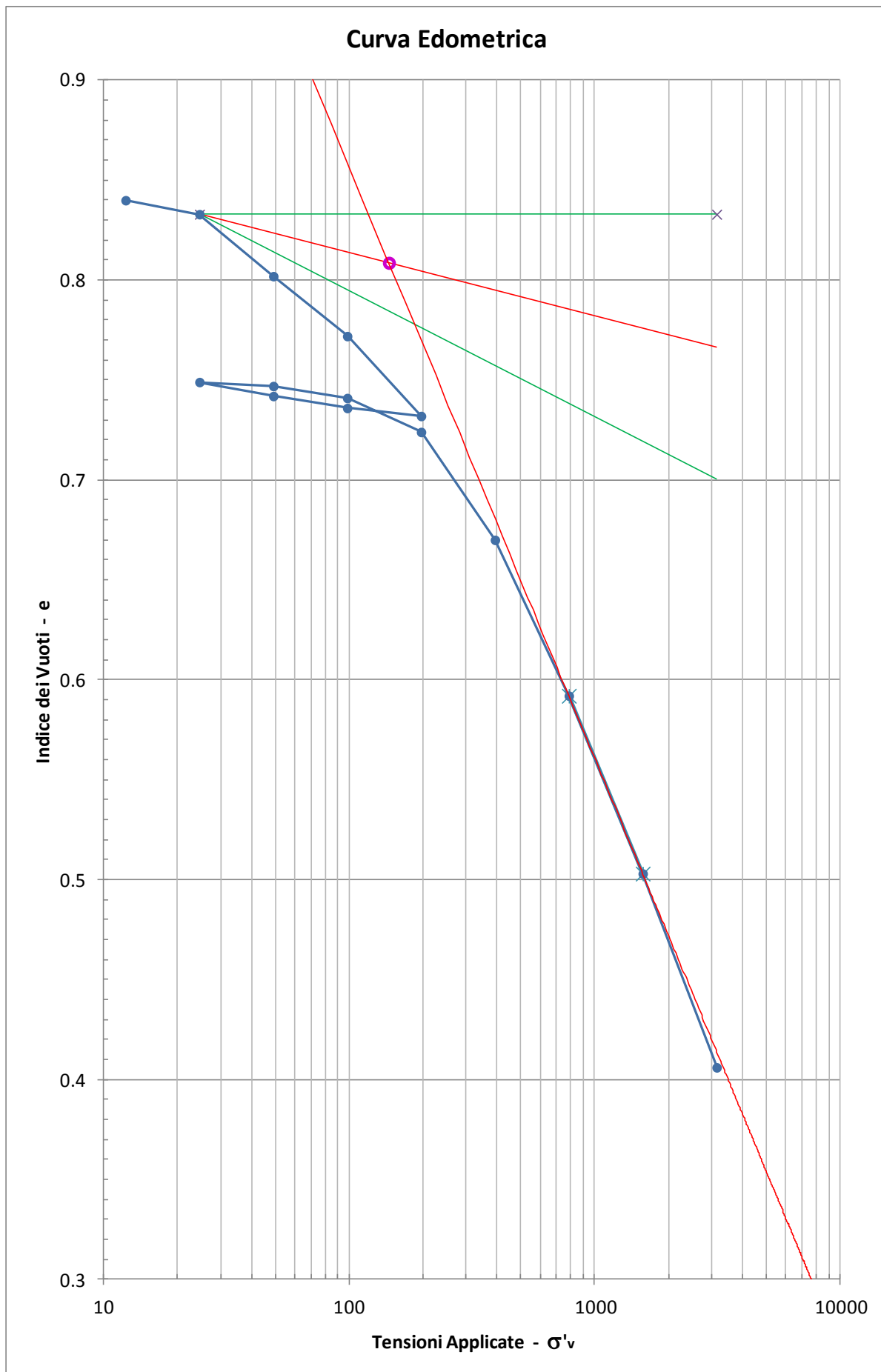
$\sigma'_{vo} =$	86.8	kPa
$\sigma'_p =$	145.1	kPa
OCR =	1.7	-
$\sigma'_{vo+\Delta\sigma_v}$	157.0	kPa

$\sigma'_{vo+\Delta\sigma_v} =$	157.0	kPa	
$M_2 =$	98.07	2945	3923
	196.13	4572	

$\sigma'_{vo} =$	86.8	kPa	
$M_1 =$	49.03	1495	2612
	98.07	2945	

$(\sigma'_{vo+\Delta\sigma_v}/2)$	121.9	kPa	
$M_m =$	98.07	2945	3341
	196.13	4572	

SONDAGGIO S4
Campione C3



SONDAGGIO S4

Campione C4

ELABORAZIONE PROVA EDOMETRICA

Dh = -1.3m		Dc = 23.2		$\gamma = 19.5$		$\sigma'_{vo} = 233.4$			Ho = 2.00		$e_o = 0.760$	
Fase	H	ΔH	σ_v	$\Delta\sigma_v$	e	Δe	ϵ_v	$\Delta\epsilon_v$	M	mv	RR/CR	Cr/Cc
	cm	cm	Kpa	Kpa					kPa	m ² /Mn		
1	0.0000		0.00		0.760		0.000					
2	0.0078	0.008	12.26	12.26	0.757	0.003	0.004	0.004				
3	0.0142	0.006	24.52	12.26	0.752	0.005	0.007	0.003	3831	0.2610	0.0106	0.0166
4	0.0348	0.021	49.03	24.51	0.733	0.019	0.017	0.010	2380	0.4202	0.0342	0.0631
5	0.0810	0.046	98.07	49.04	0.693	0.040	0.041	0.023	2123	0.4710	0.0767	0.1329
6	0.1432	0.062	196.13	98.06	0.638	0.055	0.072	0.031	3153	0.3172	0.1033	0.1827
7	0.2169	0.074	392.27	196.14	0.573	0.065	0.108	0.037	5323	0.1879	0.1224	0.2159
8	0.2088	-0.008	196.13	-196.14	0.580							
9	0.1933	-0.016	98.07	-98.06	0.594							
10	0.1755	-0.018	49.03	-49.04	0.609							
11	0.1804	0.005	98.07	49.04	0.605	0.004	0.090	0.090	544	1.8393	0.2996	0.0133
12	0.1961	0.016	196.13	98.06	0.591	0.014	0.098	0.008	12492	0.0801	0.0261	0.0465
13	0.2270	0.031	392.27	196.14	0.564	0.027	0.114	0.015	12695	0.0788	0.0513	0.0897
14	0.3046	0.078	784.53	392.26	0.495	0.069	0.152	0.039	10110	0.0989	0.1289	0.2292
15	0.3938	0.089	1569.06	784.53	0.417	0.078	0.197	0.045	17590	0.0568	0.1482	0.2591
16	0.4861	0.092	3138.12	1569.06	0.335	0.082	0.243	0.046	33999	0.0294	0.1533	0.2724
17												
18												

$\sigma'_{vo} =$	233.4	kPa
$\sigma'_p =$	129.1	kPa
OCR =	0.6	-
$\sigma'_{vo+\Delta\sigma_v}$	287.8	kPa

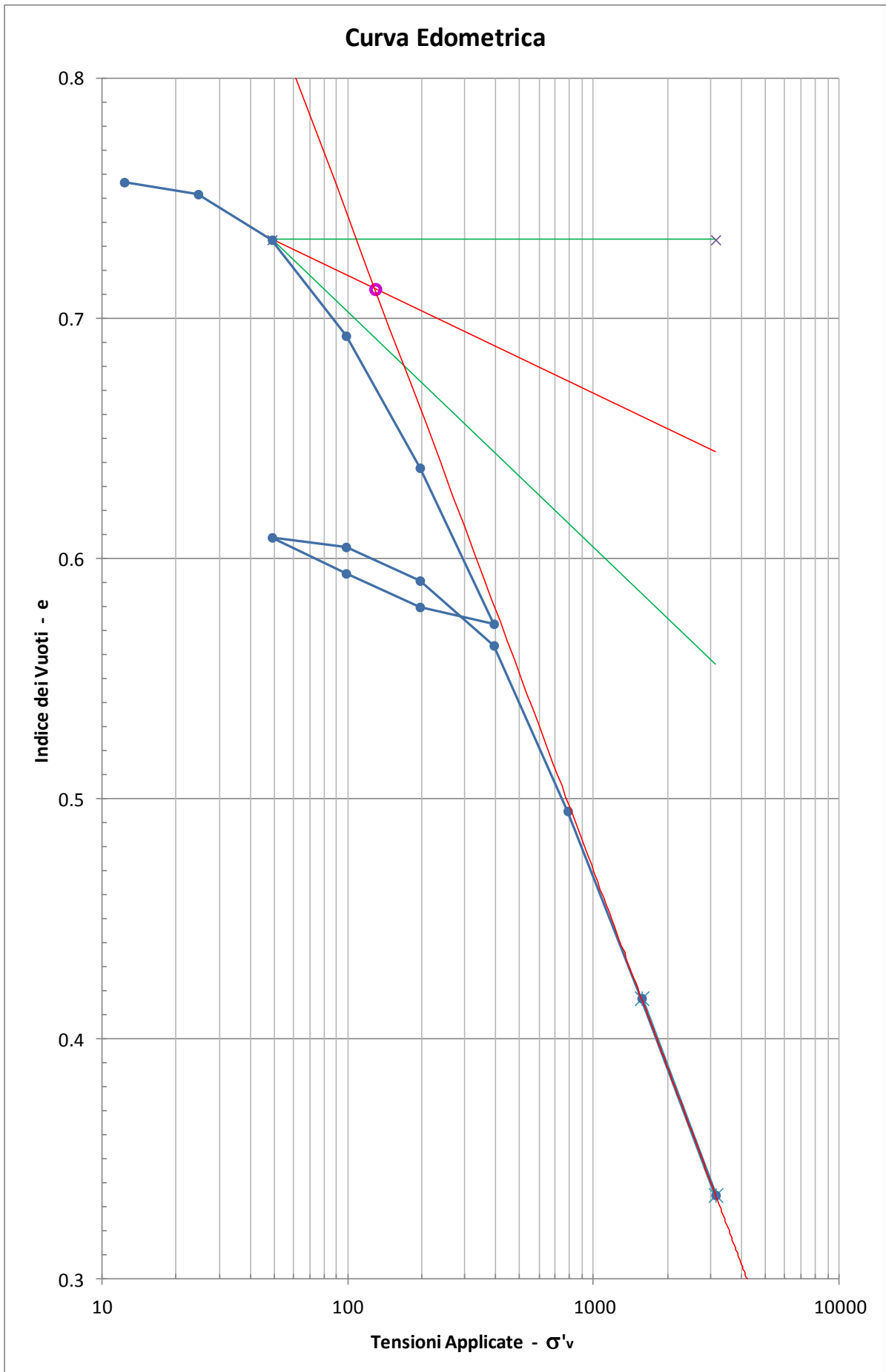
$\sigma'_{vo+\Delta\sigma_v} =$	287.8	kPa	
$M_2 =$	196.13	3153	4167
	392.27	5323	

$\sigma'_{vo} =$	233.4	kPa	
$M_1 =$	196.13	3153	3565
	392.27	5323	

$(\sigma'_{vo+\Delta\sigma_v/2})$	260.6	kPa	
$M_m =$	196.13	3153	3866
	392.27	5323	

SONDAGGIO S4

Campione C4



SONDAGGIO S4

Campione C5

ELABORAZIONE PROVA EDOMETRICA

Dh = -1.3m		Dc = 26.4		$\gamma = 19.0$		$\sigma'_{vo} = 250.6$			Ho = 2.00		$e_o = 0.880$	
Fase	H	ΔH	σ_v	$\Delta\sigma_v$	e	Δe	ϵ_v	$\Delta\epsilon_v$	M	mv	RR/CR	Cr/Cc
	cm	cm	Kpa	Kpa					kPa	m ² /Mn		
1	0.000		0.00		0.880		0.000					
2	0.008	0.008	12.26	12.26	0.870	0.010	0.004	0.004				
3	0.014	0.006	24.52	12.26	0.864	0.006	0.007	0.003	4087	0.2447	0.0100	0.0199
4	0.035	0.021	49.03	24.51	0.845	0.019	0.018	0.011	2334	0.4284	0.0349	0.0631
5	0.081	0.046	98.07	49.04	0.802	0.043	0.041	0.023	2132	0.4690	0.0764	0.1428
6	0.143	0.062	196.13	98.06	0.743	0.059	0.072	0.031	3163	0.3161	0.1030	0.1960
7	0.217	0.074	392.27	196.14	0.674	0.069	0.109	0.037	5301	0.1886	0.1229	0.2292
8	0.209	-0.008	196.13	-196.14	0.682							
9	0.193	-0.016	98.07	-98.06	0.696							
10	0.175	-0.018	49.03	-49.04	0.713							
11	0.180	0.005	98.07	49.04	0.708	0.005	0.090	0.090	545	1.8352	0.2989	0.0166
12	0.196	0.016	196.13	98.06	0.694	0.014	0.098	0.008	12258	0.0816	0.0266	0.0465
13	0.227	0.031	392.27	196.14	0.664	0.030	0.114	0.016	12654	0.0790	0.0515	0.0997
14	0.305	0.078	784.53	392.26	0.592	0.072	0.153	0.039	10058	0.0994	0.1296	0.2392
15	0.394	0.089	1569.06	784.53	0.508	0.084	0.197	0.045	17630	0.0567	0.1478	0.2790
16	0.486	0.092	3138.12	1569.06	0.421	0.087	0.243	0.046	34110	0.0293	0.1528	0.2890
17												
18												

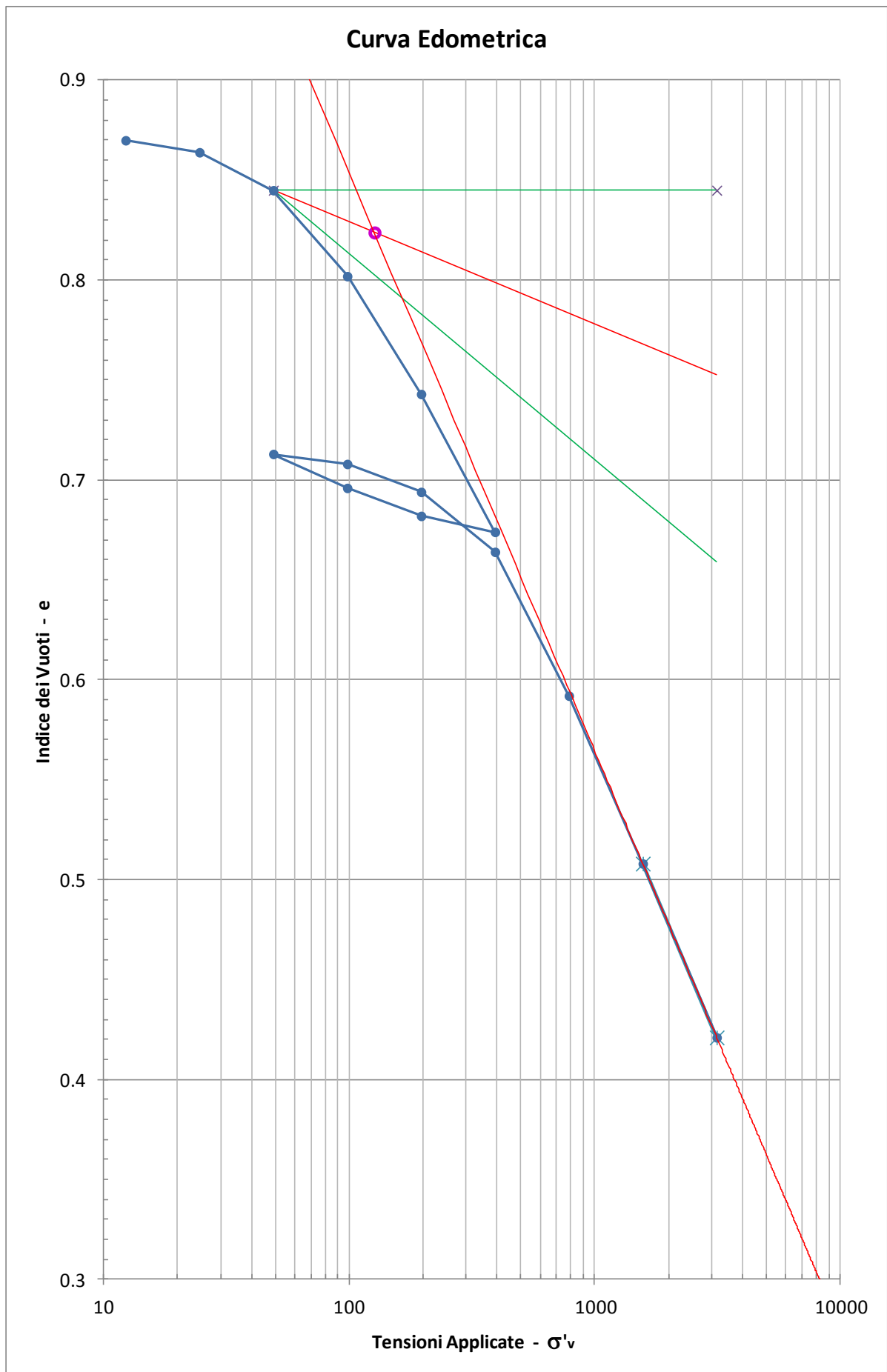
$\sigma'_{vo} =$	250.6	kPa
$\sigma'_p =$	126.7	kPa
OCR =	0.5	-
$\sigma'_{vo+\Delta\sigma_v}$	301.1	kPa

$\sigma'_{vo+\Delta\sigma_v} =$	301.1	kPa	
$M_2 =$	196.13	3163	4308
	392.27	5301	

$\sigma'_{vo} =$	250.6	kPa	
$M_1 =$	196.13	3163	3757
	392.27	5301	

$(\sigma'_{vo+\Delta\sigma_v}/2)$	275.9	kPa	
$M_m =$	196.13	3163	4032
	392.27	5301	

SONDAGGIO S4
Campione C5



SONDAGGIO S4

Campione C6

ELABORAZIONE PROVA EDOMETRICA

Dh = -1.3m		Dc = 30.3		$\gamma = \mathbf{20.0}$		$\sigma'_{vo} = 316.0$			Ho = 2.00		$e_o = \mathbf{0.680}$	
Fase	H	ΔH	σ_v	$\Delta\sigma_v$	e	Δe	ε_v	$\Delta\varepsilon_v$	M	mv	RR/CR	Cr/Cc
	cm	cm	Kpa	Kpa					kPa	m ² /Mn		
1	0.0000		0.00		0.680		0.000					
2	0.0063	0.006	12.26	12.26	0.676	0.004	0.003	0.003				
3	0.0094	0.003	24.52	12.26	0.673	0.003	0.005	0.002	7910	0.1264	0.0051	0.0100
4	0.0199	0.011	49.03	24.51	0.664	0.009	0.010	0.005	4669	0.2142	0.0174	0.0299
5	0.0449	0.025	98.07	49.04	0.643	0.021	0.022	0.013	3923	0.2549	0.0415	0.0698
6	0.0815	0.037	196.13	98.06	0.612	0.031	0.041	0.018	5358	0.1866	0.0608	0.1030
7	0.1401	0.059	392.27	196.14	0.563	0.049	0.070	0.029	6694	0.1494	0.0973	0.1628
8	0.1328	-0.007	196.13	-196.14	0.569							
9	0.1223	-0.011	98.07	-98.06	0.578							
10	0.1108	-0.012	49.03	-49.04	0.588							
11	0.1139	0.003	98.07	49.04	0.585	0.003	0.057	0.057	861	1.1613	0.1892	0.0100
12	0.1233	0.009	196.13	98.06	0.577	0.008	0.062	0.005	20864	0.0479	0.0156	0.0266
13	0.1453	0.022	392.27	196.14	0.559	0.018	0.073	0.011	17831	0.0561	0.0365	0.0598
14	0.2247	0.079	784.53	392.26	0.492	0.067	0.112	0.040	9881	0.1012	0.1319	0.2226
15	0.3240	0.099	1569.06	784.53	0.409	0.083	0.162	0.050	15801	0.0633	0.1649	0.2757
16	0.3836	0.060	3138.12	1569.06	0.323	0.086	0.192	0.030	52653	0.0190	0.0990	0.2857
17												
18												

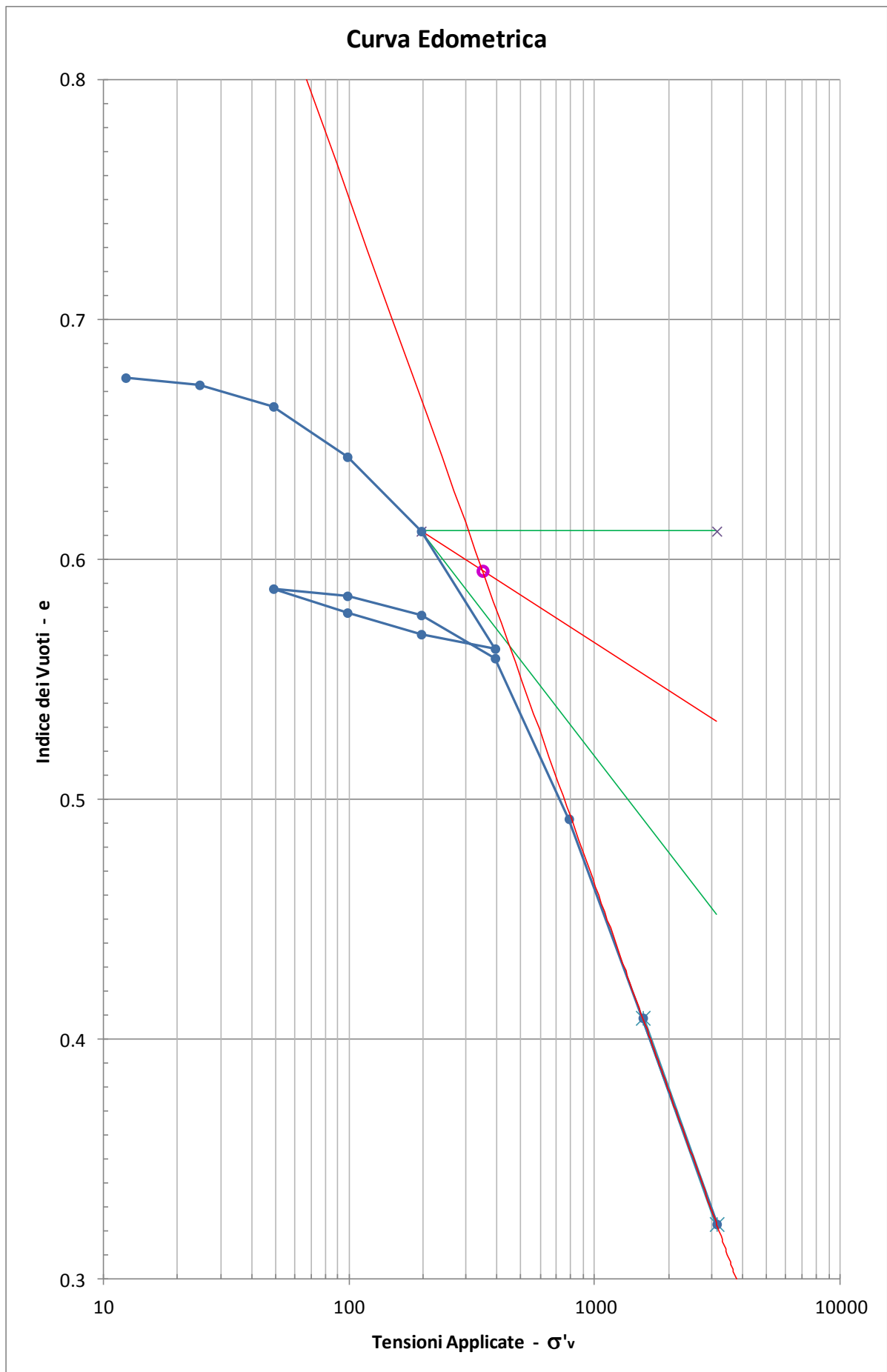
$\sigma'_{vo} =$	316.0	kPa
$\sigma'_p =$	349.2	kPa
OCR =	1.1	-
$\sigma'_{vo+\Delta\sigma_v}$	362.1	kPa

$\sigma'_{vo+\Delta\sigma_v} =$	362.1	kPa	
$M_2 =$	196.13	5358	6489
	392.27	6694	

$\sigma'_{vo} =$	316.0	kPa	
$M_1 =$	196.13	5358	6175
	392.27	6694	

$(\sigma'_{vo+\Delta\sigma_v}/2)$	339.1	kPa	
$M_m =$	196.13	5358	6332
	392.27	6694	

SONDAGGIO S4
Campione C6



SONDAGGIO S4

Campione C7

ELABORAZIONE PROVA EDOMETRICA

Dh = -1.3m		Dc = 32.5		$\gamma = \mathbf{20.1}$		$\sigma'_{vo} = 341.3$			Ho = 2.00		$e_o = \mathbf{0.730}$	
Fase	H	ΔH	σ_v	$\Delta\sigma_v$	e	Δe	ϵ_v	$\Delta\epsilon_v$	M	mv	RR/CR	Cr/Cc
	cm	cm	Kpa	Kpa					kPa	m ² /Mn		
1	0.0000		0.00		0.730		0.000					
2	0.0094	0.009	12.26	12.26	0.724	0.006	0.005	0.005				
3	0.0136	0.004	24.52	12.26	0.720	0.004	0.007	0.002	5838	0.1713	0.0070	0.0133
4	0.0252	0.012	49.03	24.51	0.710	0.010	0.013	0.006	4226	0.2366	0.0193	0.0332
5	0.0441	0.019	98.07	49.04	0.694	0.016	0.022	0.009	5189	0.1927	0.0314	0.0531
6	0.0713	0.027	196.13	98.06	0.670	0.024	0.036	0.014	7210	0.1387	0.0452	0.0797
7	0.1080	0.037	392.27	196.14	0.638	0.032	0.054	0.018	10689	0.0936	0.0610	0.1063
8	0.1049	-0.003	196.13	-196.14	0.641							
9	0.0976	-0.007	98.07	-98.06	0.647							
10	0.0902	-0.007	49.03	-49.04	0.654							
11	0.0923	0.002	98.07	49.04	0.652	0.002	0.046	0.046	1063	0.9411	0.1533	0.0066
12	0.0997	0.007	196.13	98.06	0.646	0.006	0.050	0.004	26503	0.0377	0.0123	0.0199
13	0.1122	0.013	392.27	196.14	0.635	0.011	0.056	0.006	31382	0.0319	0.0208	0.0365
14	0.1699	0.058	784.53	392.26	0.585	0.050	0.085	0.029	13597	0.0735	0.0958	0.1661
15	0.2580	0.088	1569.06	784.53	0.508	0.077	0.129	0.044	17810	0.0561	0.1463	0.2558
16	0.3535	0.096	3138.12	1569.06	0.426	0.082	0.177	0.048	32860	0.0304	0.1586	0.2724
17												
18												

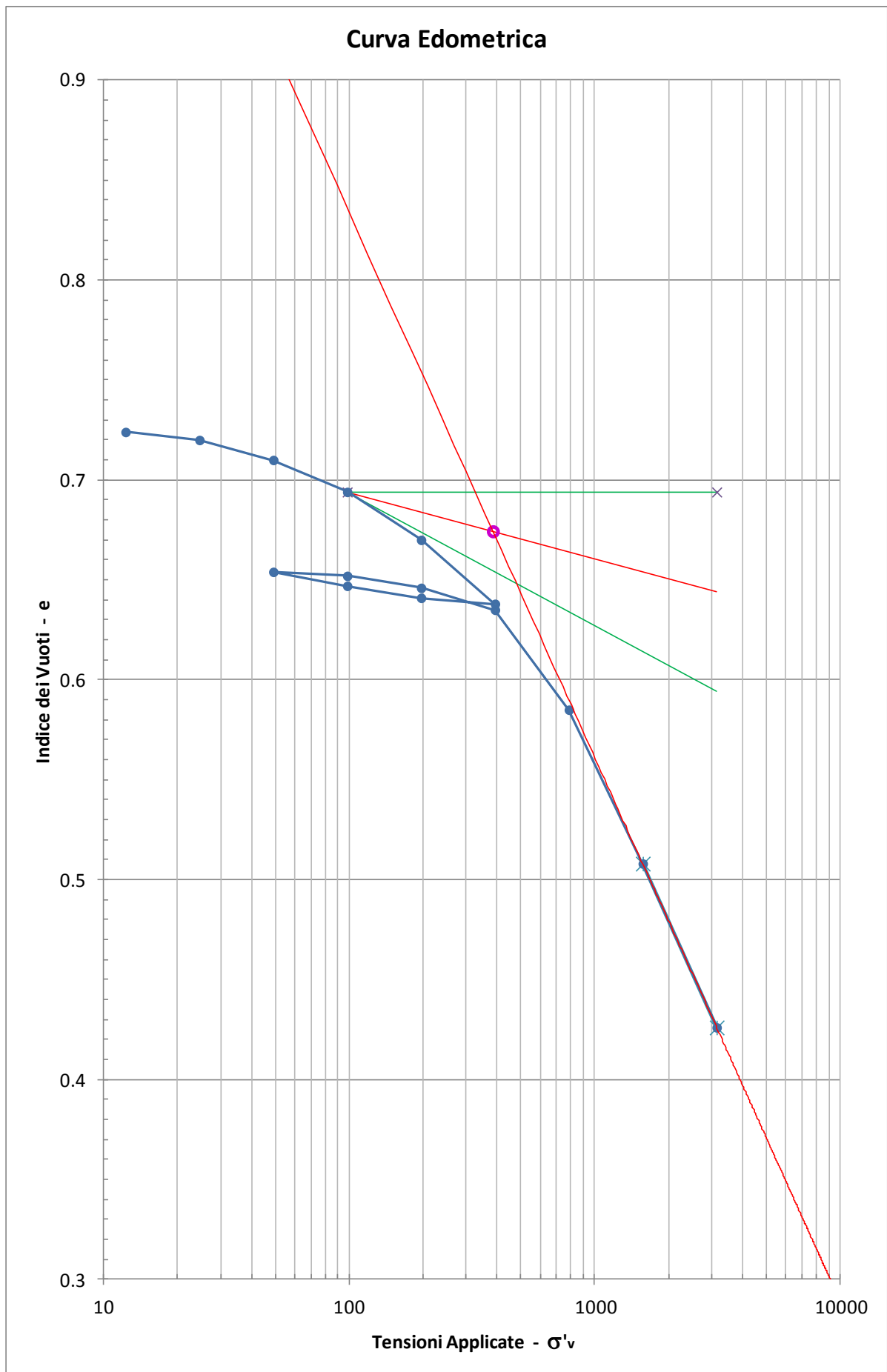
$\sigma'_{vo} =$	341.3	kPa
$\sigma'_p =$	384.7	kPa
OCR =	1.1	-
$\sigma'_{vo+\Delta\sigma_v} =$	385.0	kPa

$\sigma'_{vo+\Delta\sigma_v} =$	385.0		kPa
$M_2 =$	196.13	7210	10560
	392.27	10689	

$\sigma'_{vo} =$	341.3		kPa
$M_1 =$	196.13	7210	9784
	392.27	10689	

$(\sigma'_{vo+\Delta\sigma_v}/2)$	363.1		kPa
$M_m =$	196.13	7210	10172
	392.27	10689	

SONDAGGIO S4
Campione C7



PROVE EDOMETRICHE	
SONDAGGIO N°	S-7
CAMPIONI	C1-C2-C3-C4
PROFONDITA' FALDA	4.0 m
ALTEZZA RILEVATO	4 m
LARG. RIL SOMMITA'	29 m
LARG. RIL BASE	51 m 41
PESO VOL. RILEV.	18 kN/m ³

SONDAGGIO S7

Campione C1

ELABORAZIONE PROVA EDOMETRICA

Dh =-4m		Dc = 2.5		$\gamma =$ 18.9		$\sigma'_{vo} =$ 47.3			Ho =2.00		$e_o =$ 0.890	
Fase	H	ΔH	σ_v	$\Delta\sigma_v$	e	Δe	ϵ_v	$\Delta\epsilon_v$	M	mv	RR/CR	Cr/Cc
	cm	cm	Kpa	Kpa					kPa	m ² /Mn		
1	0.0000		0.00		0.890		0.000					
2	0.0063	0.006	12.26	12.26	0.885	0.005	0.003	0.003	3892	0.2569		
3	0.0097	0.003	24.52	12.26	0.882	0.003	0.005	0.002	7212	0.1387	0.0056	0.0100
4	0.0183	0.009	49.03	24.51	0.873	0.009	0.009	0.004	5700	0.1754	0.0143	0.0299
5	0.0410	0.023	98.07	49.04	0.852	0.021	0.021	0.011	4321	0.2314	0.0377	0.0698
6	0.0799	0.039	196.13	98.06	0.815	0.037	0.040	0.019	5042	0.1983	0.0646	0.1229
7	0.0745	-0.005	98.07	-98.06	0.820							
8	0.0669	-0.008	49.03	-49.04	0.828							
9	0.0604	-0.007	24.52	-24.51	0.834							
10	0.0637	0.003	49.03	24.51	0.831	0.003	0.032	0.032	770	1.2995	0.1058	0.0100
11	0.0680	0.004	98.07	49.04	0.826	0.005	0.034	0.002	22809	0.0438	0.0071	0.0166
12	0.0831	0.015	196.13	98.06	0.812	0.014	0.042	0.008	12988	0.0770	0.0251	0.0465
13	0.1360	0.053	392.27	196.14	0.762	0.050	0.068	0.026	7416	0.1349	0.0879	0.1661
14	0.2147	0.079	784.53	392.26	0.688	0.074	0.107	0.039	9968	0.1003	0.1307	0.2458
15	0.3065	0.092	1569.06	784.53	0.601	0.087	0.153	0.046	17092	0.0585	0.1525	0.2890
16	0.4058	0.099	3138.12	1569.06	0.507	0.094	0.203	0.050	31602	0.0316	0.1649	0.3123
17												
18												

$\sigma'_{vo} =$	47.3	kPa
$\sigma'_p =$	247.8	kPa
OCR =	5.2	-
$\sigma'_{vo+\Delta\sigma_v}$	134.2	kPa

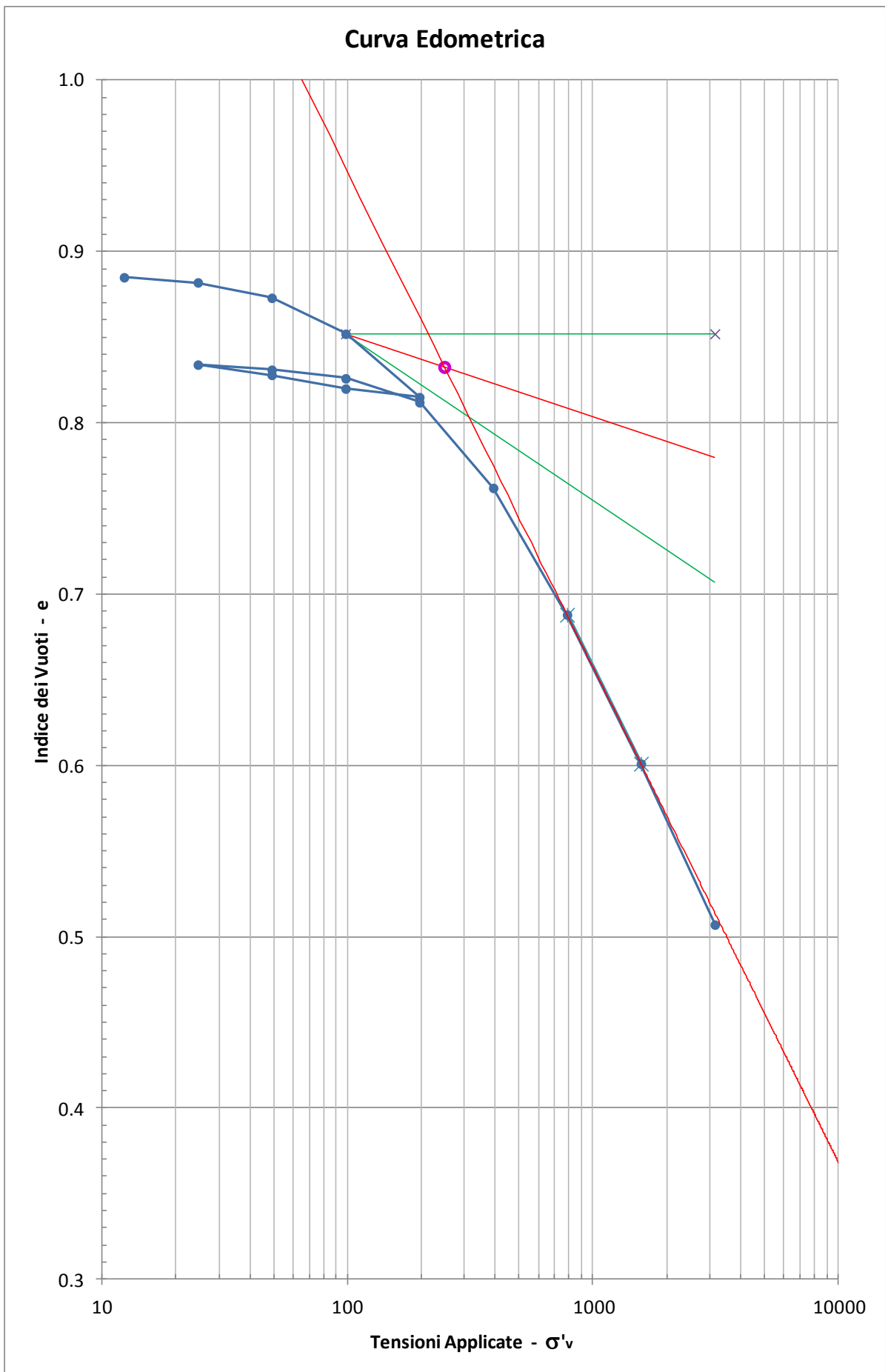
$\sigma'_{vo+\Delta\sigma_v} =$	134.2	kPa	
$M_2 =$	98.07	4321	4586
	196.13	5042	

$\sigma'_{vo} =$	47.3	kPa	
$M_1 =$	24.52	7212	5810
	49.03	5700	

$(\sigma'_{vo+\Delta\sigma_v}/2)$	83.2	kPa	
$M_m =$	49.03	5700	4738
	98.07	4321	

SONDAGGIO S7

Campione C1



SONDAGGIO S7

Campione C2

ELABORAZIONE PROVA EDOMETRICA

Dh =-4m		Dc = 10.3		$\gamma =$ 18.6		$\sigma'_{vo} = 128.6$			Ho =2.00		$e_o =$ 0.920	
Fase	H	ΔH	σ_v	$\Delta\sigma_v$	e	Δe	ϵ_v	$\Delta\epsilon_v$	M	mv	RR/CR	Cr/Cc
	cm	cm	Kpa	Kpa					kPa	m ² /Mn		
1	0.0000		0.00		0.920		0.000					
2	0.0043	0.004	12.26	12.26	0.919	0.001	0.002	0.002	5702	0.1754		
3	0.0075	0.003	24.52	12.26	0.916	0.003	0.004	0.002	7663	0.1305	0.0053	0.0100
4	0.0149	0.007	49.03	24.51	0.909	0.007	0.007	0.004	6624	0.1510	0.0123	0.0233
5	0.0374	0.023	98.07	49.04	0.887	0.022	0.019	0.011	4359	0.2294	0.0374	0.0731
6	0.0801	0.043	196.13	98.06	0.846	0.041	0.040	0.021	4593	0.2177	0.0709	0.1362
7	0.0726	-0.008	98.07	-98.06	0.854							
8	0.0619	-0.011	49.03	-49.04	0.864							
9	0.0523	-0.010	24.52	-24.51	0.873							
10	0.0544	0.002	49.03	24.51	0.871	0.002	0.027	0.027	901	1.1098	0.0904	0.0066
11	0.0630	0.009	98.07	49.04	0.863	0.008	0.032	0.004	11405	0.0877	0.0143	0.0266
12	0.0865	0.024	196.13	98.06	0.840	0.023	0.043	0.012	8346	0.1198	0.0390	0.0764
13	0.1580	0.072	392.27	196.14	0.771	0.069	0.079	0.036	5486	0.1823	0.1188	0.2292
14	0.2488	0.091	784.53	392.26	0.684	0.087	0.124	0.045	8640	0.1157	0.1508	0.2890
15	0.3416	0.093	1569.06	784.53	0.595	0.089	0.171	0.046	16908	0.0591	0.1541	0.2957
16	0.4367	0.095	3138.12	1569.06	0.503	0.092	0.218	0.048	32998	0.0303	0.1580	0.3056
17												
18												

$\sigma'_{vo} =$	128.6	kPa
$\sigma'_p =$	179.6	kPa
OCR =	1.4	-
$\sigma'_{vo+\Delta\sigma_v}$	197.3	kPa

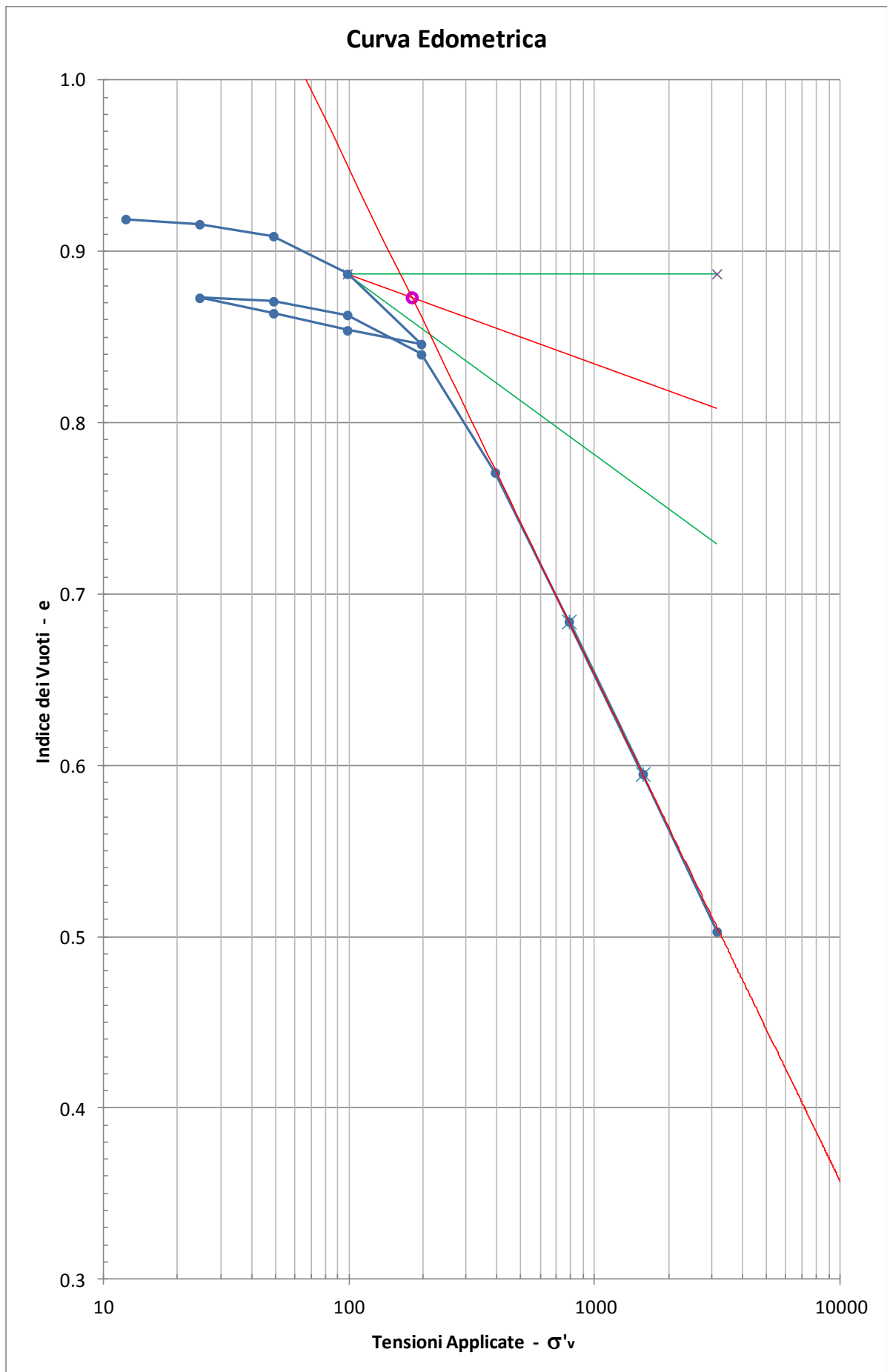
$\sigma'_{vo+\Delta\sigma_v} =$	197.3	kPa	
M ₂ =	98.07	4359	4596
	196.13	4593	

$\sigma'_{vo} =$	128.6	kPa	
M ₁ =	98.07	4359	4432
	196.13	4593	

$(\sigma'_{vo+\Delta\sigma_v}/2)$	163.0	kPa	
M _m =	98.07	4359	4514
	196.13	4593	

SONDAGGIO S7

Campione C2



SONDAGGIO S7

Campione C3

ELABORAZIONE PROVA EDOMETRICA

Dh = -4m		Dc = 27.2		$\gamma = 19.4$		$\sigma'_{vo} = 295.7$			Ho = 2.00		$e_o = 0.750$	
Fase	H	ΔH	σ_v	$\Delta\sigma_v$	e	Δe	ϵ_v	$\Delta\epsilon_v$	M	mv	RR/CR	Cr/Cc
	cm	cm	Kpa	Kpa					kPa	m ² /Mn		
1	0.0000		0.00		0.750		0.000					
2	0.0015	0.002	12.26	12.26	0.737	0.013	0.001	0.001				
3	0.0019	0.000	24.52	12.26	0.734	0.003	0.001	0.000	61300	0.0163	0.0007	0.0100
4	0.0306	0.029	49.03	24.51	0.724	0.010	0.015	0.014	1708	0.5855	0.0477	0.0332
5	0.0486	0.018	98.07	49.04	0.708	0.016	0.024	0.009	5449	0.1835	0.0299	0.0531
6	0.0771	0.029	196.13	98.06	0.683	0.025	0.039	0.014	6881	0.1453	0.0473	0.0831
7	0.1246	0.048	392.27	196.14	0.641	0.042	0.062	0.024	8259	0.1211	0.0789	0.1395
8	0.1183	-0.006	196.13	-196.14	0.647							
9	0.1109	-0.007	98.07	-98.06	0.653							
10	0.1035	-0.007	49.03	-49.04	0.660							
11	0.1077	0.004	98.07	49.04	0.656	0.004	0.054	0.054	911	1.0981	0.1789	0.0133
12	0.1151	0.007	196.13	98.06	0.650	0.006	0.058	0.004	26503	0.0377	0.0123	0.0199
13	0.1278	0.013	392.27	196.14	0.639	0.011	0.064	0.006	30888	0.0324	0.0211	0.0365
14	0.1986	0.071	784.53	392.26	0.577	0.062	0.099	0.035	11081	0.0902	0.1176	0.2060
15	0.2894	0.091	1569.06	784.53	0.497	0.080	0.145	0.045	17280	0.0579	0.1508	0.2658
16	0.3845	0.095	3138.12	1569.06	0.414	0.083	0.192	0.048	32998	0.0303	0.1580	0.2757
17												
18												

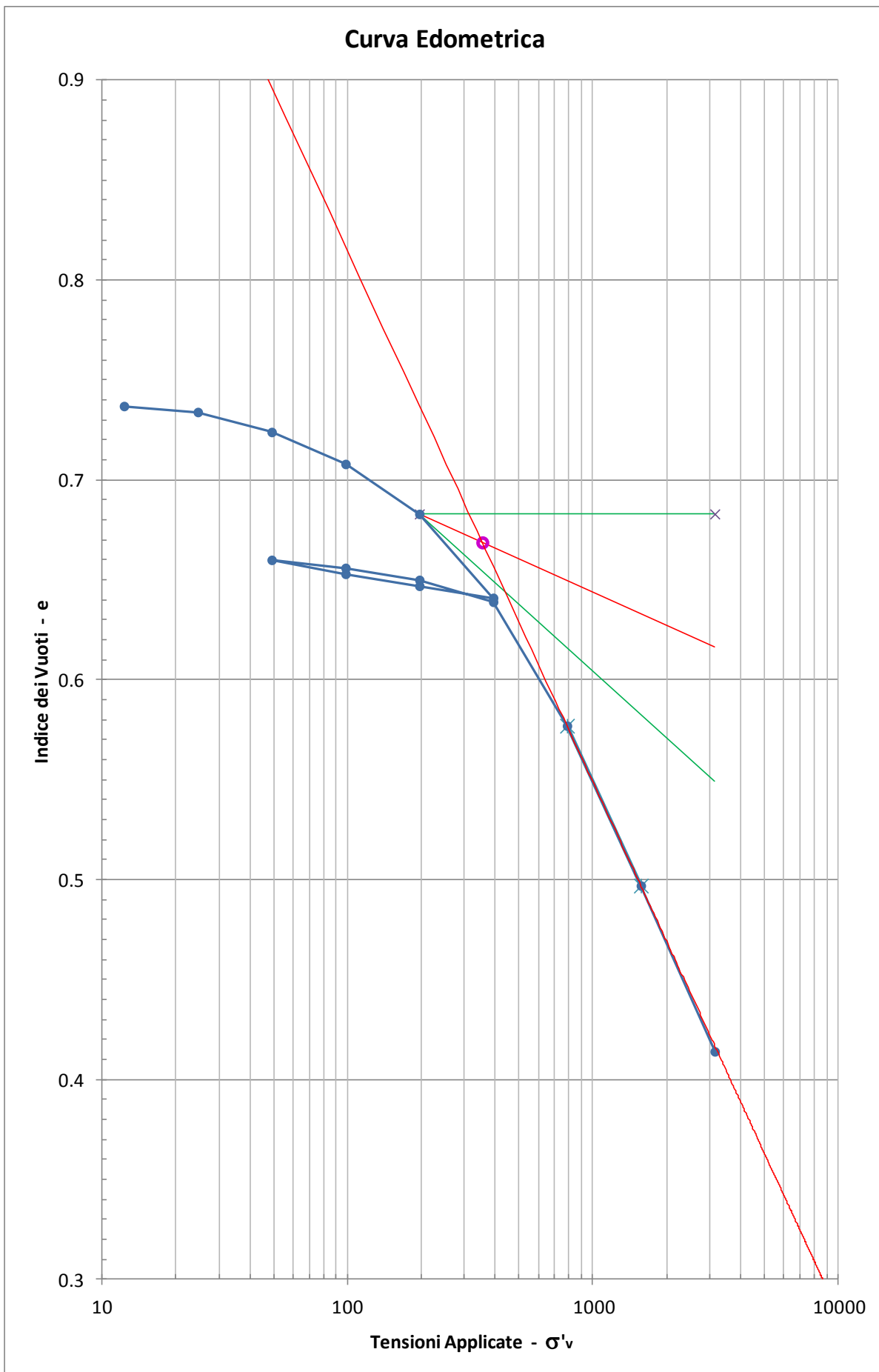
$\sigma'_{vo} =$	295.7	kPa
$\sigma'_p =$	354.2	kPa
OCR =	1.2	-
$\sigma'_{vo+\Delta\sigma_v}$	345.3	kPa

$\sigma'_{vo+\Delta\sigma_v} =$	345.3	kPa	
$M_2 =$	196.13	6881	7929
	392.27	8259	

$\sigma'_{vo} =$	295.7	kPa	
$M_1 =$	196.13	6881	7580
	392.27	8259	

$(\sigma'_{vo+\Delta\sigma_v}/2)$	320.5	kPa	
$M_m =$	196.13	6881	7754
	392.27	8259	

SONDAGGIO S7
Campione C3



SONDAGGIO S7

Campione C4

ELABORAZIONE PROVA EDOMETRICA

Dh =-4m		Dc = 31.2		$\gamma =$ 19.5		$\sigma'_{vo} = 336.4$			Ho =2.00		$e_o =$ 0.700	
Fase	H	ΔH	σ_v	$\Delta\sigma_v$	e	Δe	ϵ_v	$\Delta\epsilon_v$	M	mv	RR/CR	Cr/Cc
	cm	cm	Kpa	Kpa					kPa	m ² /Mn		
1	0.0000		0.00		0.700		0.000					
2	0.0015	0.002	12.26	12.26	0.681	0.019	0.001	0.001				
3	0.0019	0.000	24.52	12.26	0.670	0.011	0.001	0.000	61300	0.0163	0.0007	0.0365
4	0.0306	0.029	49.03	24.51	0.653	0.017	0.015	0.014	1708	0.5855	0.0477	0.0565
5	0.0486	0.018	98.07	49.04	0.628	0.025	0.024	0.009	5449	0.1835	0.0299	0.0830
6	0.0771	0.029	196.13	98.06	0.595	0.033	0.039	0.014	6881	0.1453	0.0473	0.1096
7	0.1246	0.048	392.27	196.14	0.553	0.042	0.062	0.024	8259	0.1211	0.0789	0.1395
8	0.1183	-0.006	196.13	-196.14	0.556							
9	0.1109	-0.007	98.07	-98.06	0.559							
10	0.1035	-0.007	49.03	-49.04	0.564							
11	0.1077	0.004	98.07	49.04	0.562	0.002	0.054	0.054	911	1.0981	0.1789	0.0066
12	0.1151	0.007	196.13	98.06	0.558	0.004	0.058	0.004	26503	0.0377	0.0123	0.0133
13	0.1278	0.013	392.27	196.14	0.549	0.009	0.064	0.006	30888	0.0324	0.0211	0.0299
14	0.1986	0.071	784.53	392.26	0.501	0.048	0.099	0.035	11081	0.0902	0.1176	0.1595
15	0.2894	0.091	1569.06	784.53	0.441	0.060	0.145	0.045	17280	0.0579	0.1508	0.1993
16	0.3845	0.095	3138.12	1569.06	0.374	0.067	0.192	0.048	32998	0.0303	0.1580	0.2226
17												
18												

$\sigma'_{vo} =$	336.4	kPa
$\sigma'_p =$	384.9	kPa
OCR =	1.1	-
$\sigma'_{vo+\Delta\sigma_v}$	381.5	kPa

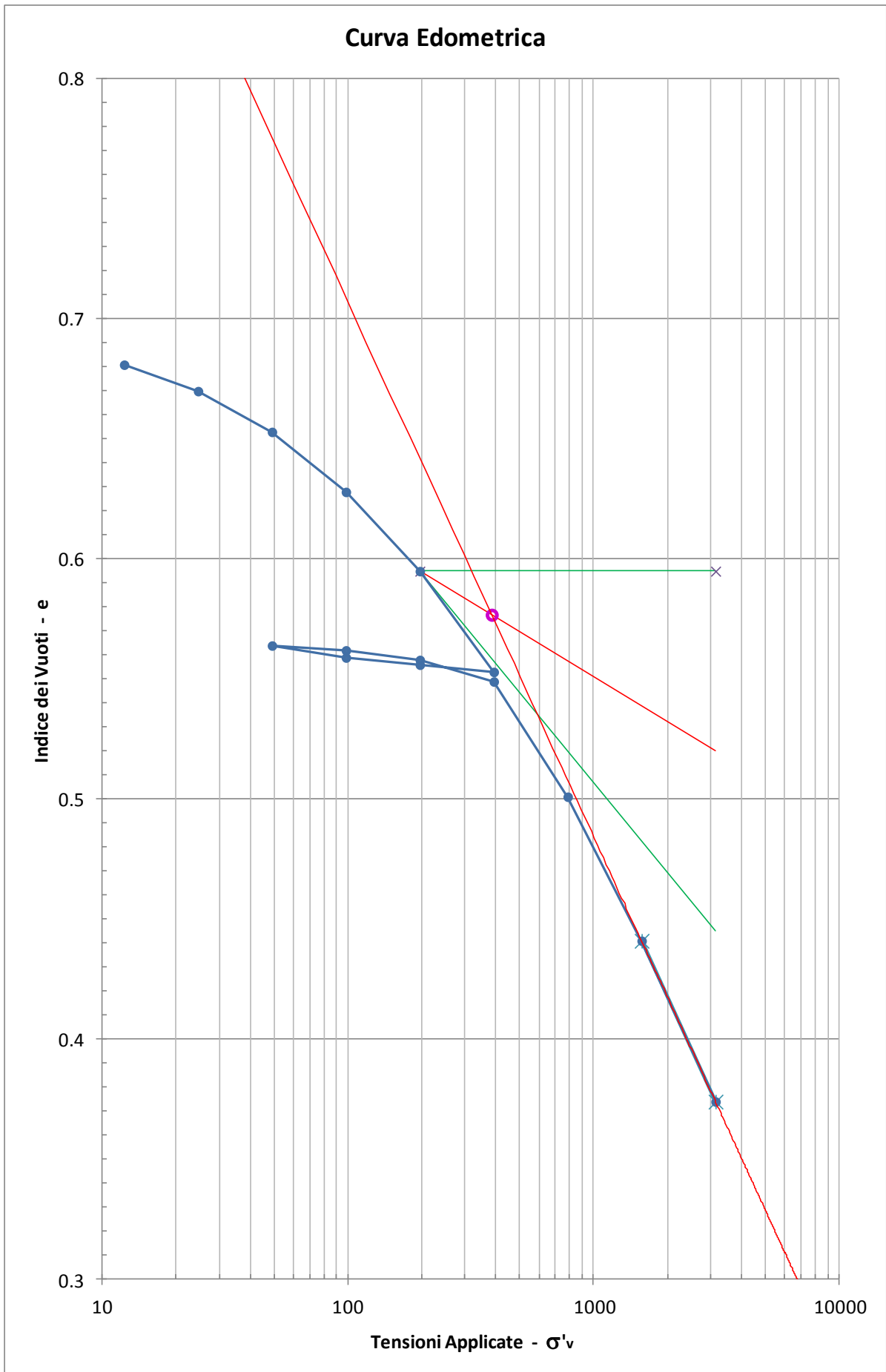
$\sigma'_{vo+\Delta\sigma_v} =$	381.5		kPa
$M_2 =$	196.13	6881	8183
	392.27	8259	

$\sigma'_{vo} =$	336.4		kPa
$M_1 =$	196.13	6881	7866
	392.27	8259	

$(\sigma'_{vo+\Delta\sigma_v}/2)$	359.0		kPa
$M_m =$	196.13	6881	8025
	392.27	8259	

SONDAGGIO S7

Campione C4



PROVE EDOMETRICHE			
SONDAGGIO N°	S-A		
CAMPIONI	C1-C2-C3-C4		
PROFONDITA' FALDA	0.5	m	
ALTEZZA RILEVATO	4	m	default
LARG. RIL SOMMITA'	29	m	
LARG. RIL BASE	51	m	41
PESO DI VOLUME	18	kN/m ³	

SONDAGGIO SA
Campione C1

ELABORAZIONE PROVA EDOMETRICA

Dh = -0.5m		Dc = 2.9		$\gamma = 18.5$		$\sigma'_{vo} = 29.7$			Ho = 2.00		$e_o = 0.948$	
Fase	H	ΔH	σ_v	$\Delta\sigma_v$	e	Δe	ϵ_v	$\Delta\epsilon_v$	M	mv	RR/CR	Cr/Cc
	cm	cm	Kpa	Kpa					kPa	m ² /Mn		
1	0.0000		0.00		0.948		0.000					
2	0.0742	0.074	40.00	40.00	0.875	0.073	0.037	0.037	1078	0.9275		
3	0.1221	0.048	80.00	40.00	0.829	0.046	0.061	0.024	1670	0.5988	0.0796	0.1528
4	0.1730	0.051	150.00	70.00	0.779	0.050	0.087	0.025	2750	0.3636	0.0932	0.1831
5	0.2399	0.067	300.00	150.00	0.714	0.065	0.120	0.033	4484	0.2230	0.1111	0.2159
6	0.3151	0.075	600.00	300.00	0.641	0.073	0.158	0.038	7979	0.1253	0.1249	0.2425
7	0.3850	0.070	1200.00	600.00	0.569	0.072	0.193	0.035	17167	0.0583	0.1161	0.2392
8	0.3890	0.004	2500.00	1300.00	0.490	0.079	0.195	0.002	650000	0.0015	0.0063	0.2478

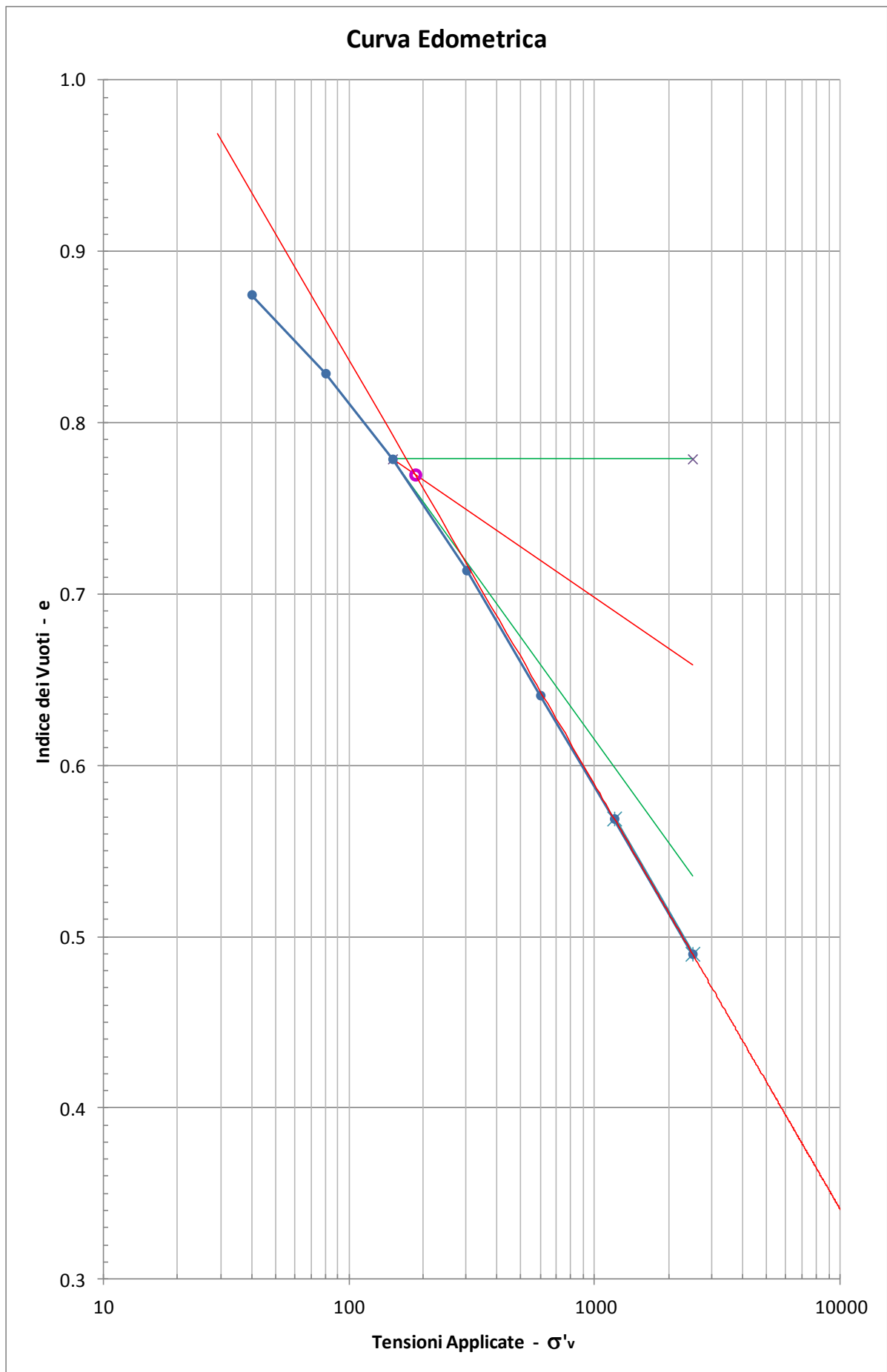
$\sigma'_{vo} =$	29.7	kPa
$\sigma'_p =$	185.7	kPa
OCR =	6.3	-
$\sigma'_{vo+\Delta\sigma_v}$	101.6	kPa

$\sigma'_{vo+\Delta\sigma_v} =$	101.6	kPa	
$M_2 =$	150.00	2750	2191
	300.00	4484	

$\sigma'_{vo} =$	29.7	kPa	
$M_1 =$	40.00	1078	925
	80.00	1670	

$(\sigma'_{vo+\Delta\sigma_v}/2)$	65.6	kPa	
$M_m =$	80.00	1670	1448
	150.00	2750	

SONDAGGIO SA
Campione C1



SONDAGGIO SA
Campione C2

ELABORAZIONE PROVA EDOMETRICA

Dh =-0.5m		Dc = 5.2		$\gamma =$ 18.9		$\sigma'_{vo} =$ 51.3			Ho =2.00		$e_o =$ 0.765	
Fase	H	ΔH	σ_v	$\Delta\sigma_v$	e	Δe	ϵ_v	$\Delta\epsilon_v$	M	mv	RR/CR	Cr/Cc
	cm	cm	Kpa	Kpa					kPa	m ² /Mn		
1	0.0000		0.00		0.765		0.000					
2	0.0050	0.005	25.00	25.00	0.761	0.004	0.003	0.003	10000	0.1000		
3	0.0099	0.005	50.00	25.00	0.756	0.005	0.005	0.002	10204	0.0980	0.0081	0.0166
4	0.0228	0.013	100.00	50.00	0.745	0.011	0.011	0.006	7752	0.1290	0.0214	0.0365
5	0.0570	0.034	200.00	100.00	0.715	0.030	0.029	0.017	5848	0.1710	0.0568	0.0997
6	0.1228	0.066	400.00	200.00	0.657	0.058	0.061	0.033	6079	0.1645	0.1093	0.1927
7	0.2043	0.082	800.00	400.00	0.585	0.072	0.102	0.041	9816	0.1019	0.1354	0.2392
8	0.2924	0.088	1600.00	800.00	0.507	0.078	0.146	0.044	18161	0.0551	0.1463	0.2591
9	0.3807	0.088	3200.00	1600.00	0.429	0.078	0.190	0.044	36240	0.0276	0.1467	0.2591

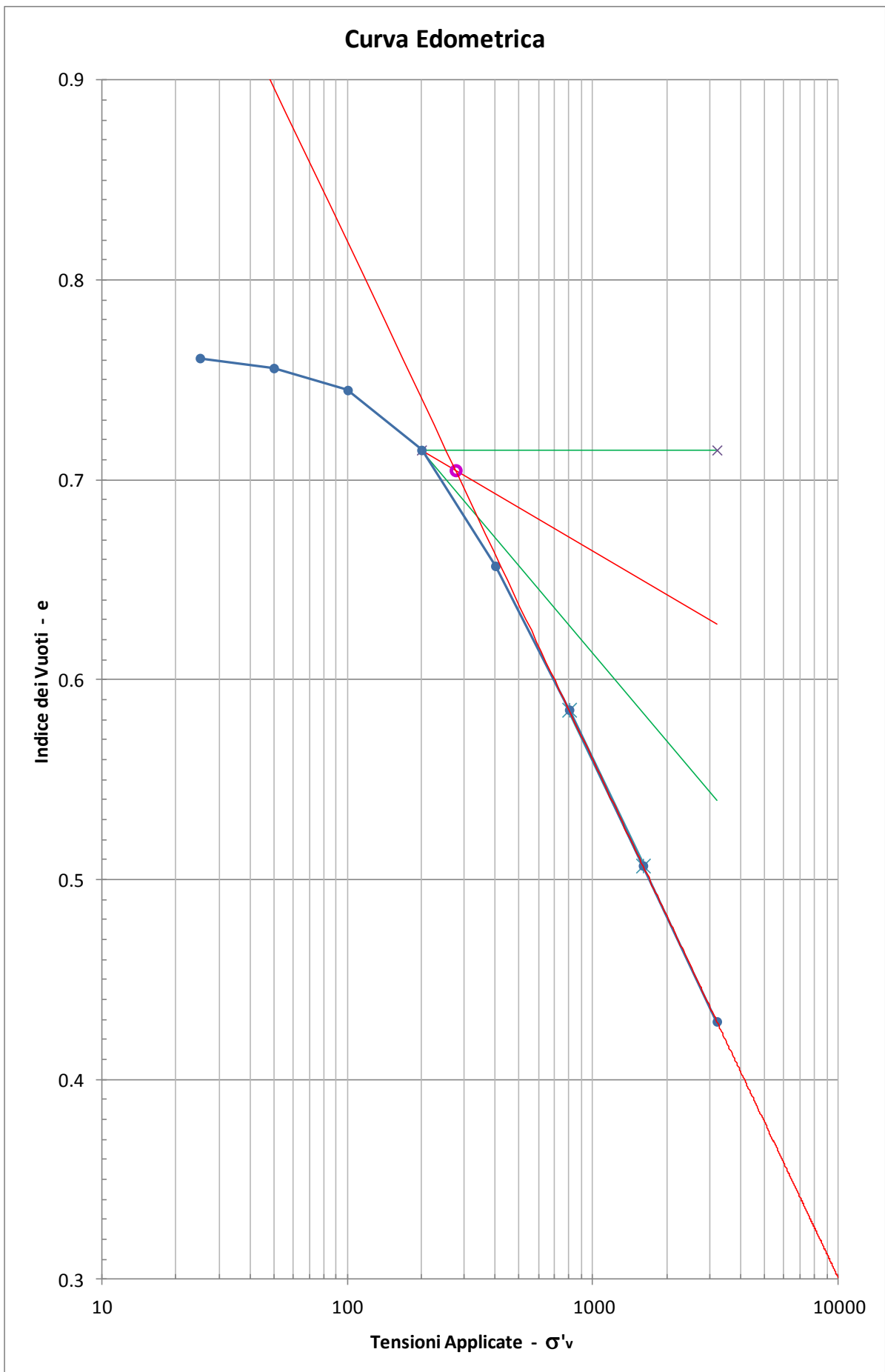
$\sigma'_{vo} =$	51.3	kPa
$\sigma'_p =$	275.7	kPa
OCR =	5.4	-
$\sigma'_{vo+\Delta\sigma_v}$	122.8	kPa

$\sigma'_{vo+\Delta\sigma_v} =$	122.8	kPa	
$M_2 =$	100.00	7752	7318
	200.00	5848	

$\sigma'_{vo} =$	51.3	kPa	
$M_1 =$	25.00	10000	10215
	50.00	10204	

$(\sigma'_{vo+\Delta\sigma_v}/2)$	87.0	kPa	
$M_m =$	50.00	10204	8388
	100.00	7752	

SONDAGGIO SA
Campione C2



SONDAGGIO SA
Campione C3

ELABORAZIONE PROVA EDOMETRICA

Dh = -0.5m		Dc = 7.9		$\gamma = 19.4$		$\sigma'_{vo} = 79.3$			Ho = 2.00		$e_o = 0.814$	
Fase	H	ΔH	σ_v	$\Delta\sigma_v$	e	Δe	ϵ_v	$\Delta\epsilon_v$	M	mv	RR/CR	Cr/Cc
	cm	cm	Kpa	Kpa					kPa	m ² /Mn		
1	0.0000		0.00		0.814		0.000					
2	0.0420	0.042	40.00	40.00	0.776	0.038	0.021	0.021	1905	0.5250		
3	0.0618	0.020	80.00	40.00	0.757	0.019	0.031	0.010	4040	0.2475	0.0329	0.0631
4	0.0838	0.022	150.00	70.00	0.738	0.019	0.042	0.011	6364	0.1571	0.0403	0.0696
5	0.1217	0.038	300.00	150.00	0.704	0.034	0.061	0.019	7916	0.1263	0.0630	0.1129
6	0.1694	0.048	600.00	300.00	0.661	0.043	0.085	0.024	12579	0.0795	0.0792	0.1428
7	0.2422	0.073	1200.00	600.00	0.595	0.066	0.121	0.036	16484	0.0607	0.1209	0.2192
8	0.3410	0.099	2500.00	1300.00	0.505	0.090	0.171	0.049	26316	0.0380	0.1550	0.2823

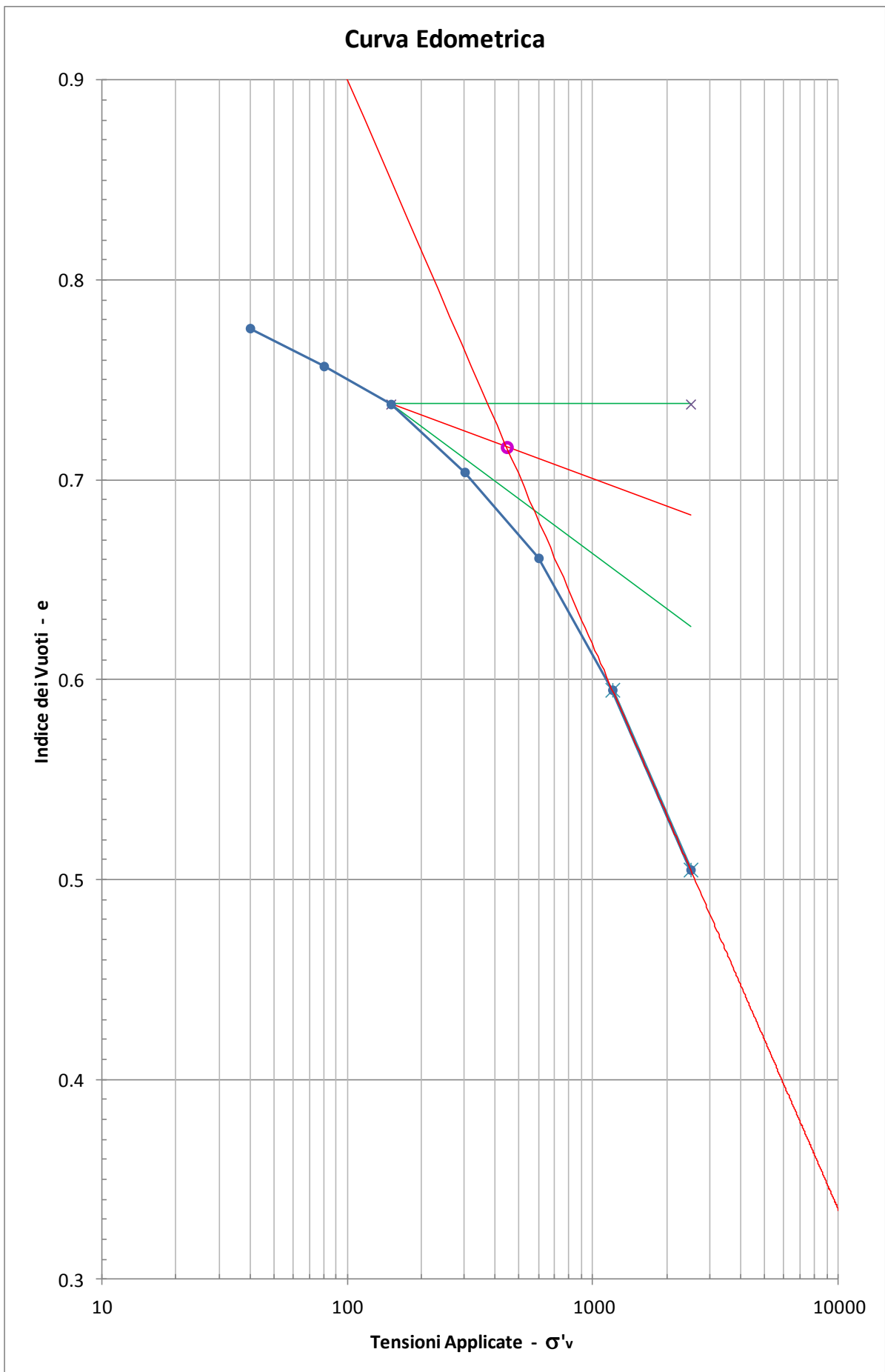
$\sigma'_{vo} =$	79.3	kPa
$\sigma'_p =$	445.6	kPa
OCR =	5.6	-
$\sigma'_{vo+\Delta\sigma_v}$	149.6	kPa

$\sigma'_{vo+\Delta\sigma_v} =$	149.6	kPa	
$M_2 =$	150.00	6364	6360
	300.00	7916	

$\sigma'_{vo} =$	79.3	kPa	
$M_1 =$	40.00	1905	4001
	80.00	4040	

$(\sigma'_{vo+\Delta\sigma_v}/2) =$	114.4	kPa	
$M_m =$	80.00	4040	5184
	150.00	6364	

SONDAGGIO SA
Campione C3



SONDAGGIO SA
Campione C4

ELABORAZIONE PROVA EDOMETRICA

Dh =-0.5m		Dc = 10.6		$\gamma =$ 19.1		$\sigma'_{vo} = 101.5$			Ho =2.00		$e_o =$ 0.803	
Fase	H	ΔH	σ_v	$\Delta\sigma_v$	e	Δe	ϵ_v	$\Delta\epsilon_v$	M	mv	RR/CR	Cr/Cc
	cm	cm	Kpa	Kpa					kPa	m ² /Mn		
1	0.0000		0.00		0.803		0.000					
2	0.0259	0.026	40.00	40.00	0.780	0.023	0.013	0.013	3089	0.3238		
3	0.0448	0.019	80.00	40.00	0.763	0.017	0.022	0.009	4233	0.2363	0.0314	0.0565
4	0.0785	0.034	150.00	70.00	0.732	0.031	0.039	0.017	4154	0.2407	0.0617	0.1136
5	0.1377	0.059	300.00	150.00	0.679	0.053	0.069	0.030	5068	0.1973	0.0983	0.1761
6	0.2128	0.075	600.00	300.00	0.611	0.068	0.106	0.038	7989	0.1252	0.1247	0.2259
7	0.2971	0.084	1200.00	600.00	0.535	0.076	0.149	0.042	14235	0.0703	0.1400	0.2525
8	0.3990	0.102	2500.00	1300.00	0.443	0.092	0.200	0.051	25515	0.0392	0.1598	0.2886

$\sigma'_{vo} =$	101.5	kPa
$\sigma'_p =$	295.0	kPa
OCR =	2.9	-
$\sigma'_{vo+\Delta\sigma_v}$	170.0	kPa

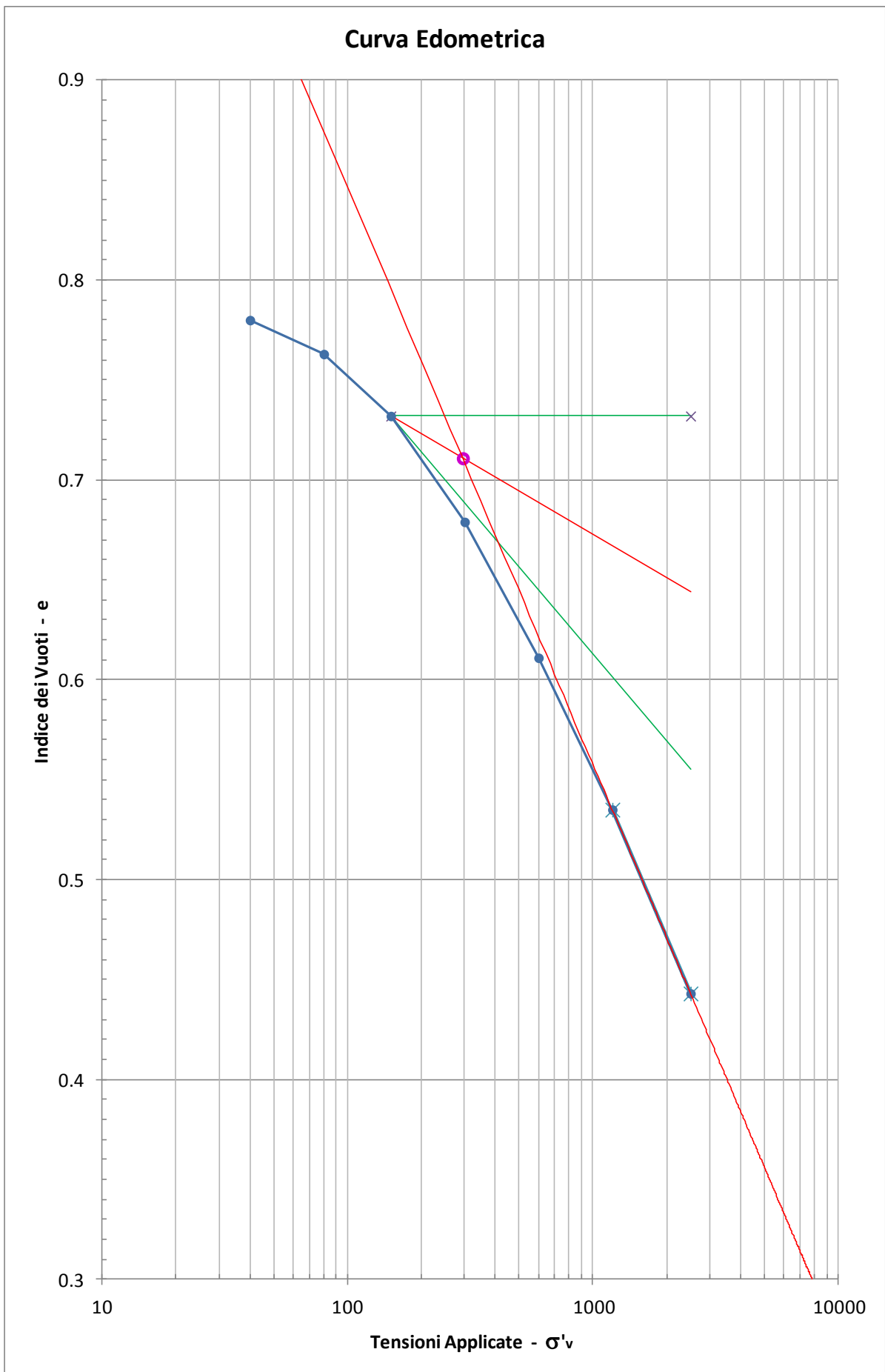
$\sigma'_{vo+\Delta\sigma_v} =$	170.0	kPa	
$M_2 =$	150.00	4154	4276
	300.00	5068	

$\sigma'_{vo} =$	101.5	kPa	
$M_1 =$	80.00	4233	4209
	150.00	4154	

$(\sigma'_{vo+\Delta\sigma_v}/2)$	135.7	kPa	
$M_m =$	80.00	4233	4170
	150.00	4154	

SONDAGGIO SA

Campione C4



PROVE EDOMETRICHE	
SONDAGGIO N°	S-B
CAMPIONI	C1-C2-C3
PROFONDITA' FALDA	3.2 m
ALTEZZA RILEVATO	4 m
LARG. RIL SOMMITA'	29 m
LARG. RIL BASE	51 m 41
PESO VOL. RILEV.	18 kN/m ³

SONDAGGIO SB

Campione C1

ELABORAZIONE PROVA EDOMETRICA

Dh = -3.2m		Dc = 2.4		$\gamma = 18.7$		$\sigma'_{vo} = 44.9$		Ho = 2.00		$e_o = 0.736$		
Fase	H	ΔH	σ_v	$\Delta\sigma_v$	e	Δe	ϵ_v	$\Delta\epsilon_v$	M	mv	RR/CR	Cr/Cc
	cm	cm	Kpa	Kpa					kPa	m ² /Mn		
1	0.0000		0.00		0.736		0.000					
2	0.0131	0.013	25.00	25.00	0.725	0.011	0.007	0.007	3817	0.2620		
3	0.0273	0.014	50.00	25.00	0.713	0.012	0.014	0.007	3521	0.2840	0.0236	0.0399
4	0.0587	0.031	100.00	50.00	0.686	0.027	0.029	0.016	3185	0.3140	0.0522	0.0897
5	0.1086	0.050	200.00	100.00	0.642	0.044	0.054	0.025	4008	0.2495	0.0829	0.1462
6	0.1752	0.067	400.00	200.00	0.584	0.058	0.088	0.033	6006	0.1665	0.1106	0.1927
7	0.2417	0.067	800.00	400.00	0.527	0.057	0.121	0.033	12030	0.0831	0.1105	0.1893
8	0.3096	0.068	1600.00	800.00	0.468	0.059	0.155	0.034	23564	0.0424	0.1128	0.1960
9	0.3814	0.072	3200.00	1600.00	0.405	0.063	0.191	0.036	44568	0.0224	0.1193	0.2093

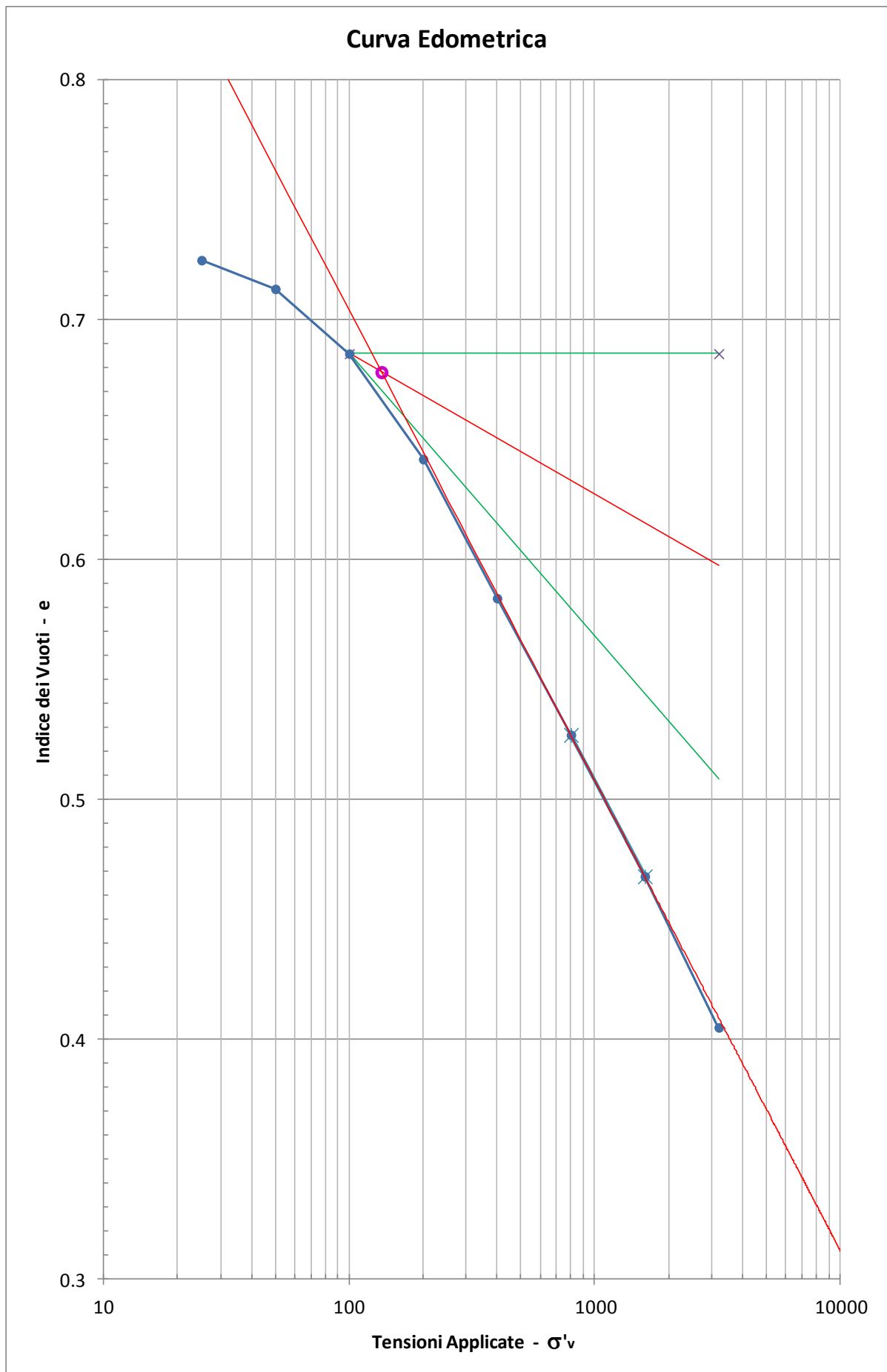
$\sigma'_{vo} =$	44.9	kPa
$\sigma'_p =$	135.2	kPa
OCR =	3.0	-
$\sigma'_{vo+\Delta\sigma_v} =$	124.8	kPa

$\sigma'_{vo+\Delta\sigma_v} = 124.8$ kPa			
$M_2 =$	100.00	3185	3389
	200.00	4008	

$\sigma'_{vo} = 44.9$ kPa			
$M_1 =$	50.00	3521	3556
	100.00	3185	

$(\sigma'_{vo+\Delta\sigma_v}/2) = 80.9$ kPa			
$M_m =$	50.00	3521	3314
	100.00	3185	

SONDAGGIO SB
Campione C1



SONDAGGIO SB

Campione C2

ELABORAZIONE PROVA EDOMETRICA

Dh = -3.2m		Dc = 5.2		$\gamma = 19.7$		$\sigma'_{vo} = 82.4$			Ho = 2.00		$e_o = 0.634$	
Fase	H	ΔH	σ_v	$\Delta\sigma_v$	e	Δe	ϵ_v	$\Delta\epsilon_v$	M	mv	RR/CR	Cr/Cc
	cm	cm	Kpa	Kpa					kPa	m ² /Mn		
1	0.0000		0.00		0.634		0.000					
2	0.0172	0.017	25.00	25.00	0.619	0.015	0.009	0.009	2907	0.3440		
3	0.0334	0.016	50.00	25.00	0.606	0.013	0.017	0.008	3086	0.3240	0.0269	0.0432
4	0.0658	0.032	100.00	50.00	0.580	0.026	0.033	0.016	3086	0.3240	0.0538	0.0864
5	0.1135	0.048	200.00	100.00	0.541	0.039	0.057	0.024	4193	0.2385	0.0792	0.1296
6	0.1697	0.056	400.00	200.00	0.495	0.046	0.085	0.028	7117	0.1405	0.0933	0.1528
7	0.2268	0.057	800.00	400.00	0.448	0.047	0.113	0.029	14011	0.0714	0.0948	0.1561
8	0.2902	0.063	1600.00	800.00	0.397	0.051	0.145	0.032	25237	0.0396	0.1053	0.1694
9	0.3557	0.066	3200.00	1600.00	0.343	0.054	0.178	0.033	48855	0.0205	0.1088	0.1794

$\sigma'_{vo} =$	82.4	kPa
$\sigma'_p =$	108.3	kPa
OCR =	1.3	-
$\sigma'_{vo+\Delta\sigma_v}$	153.9	kPa

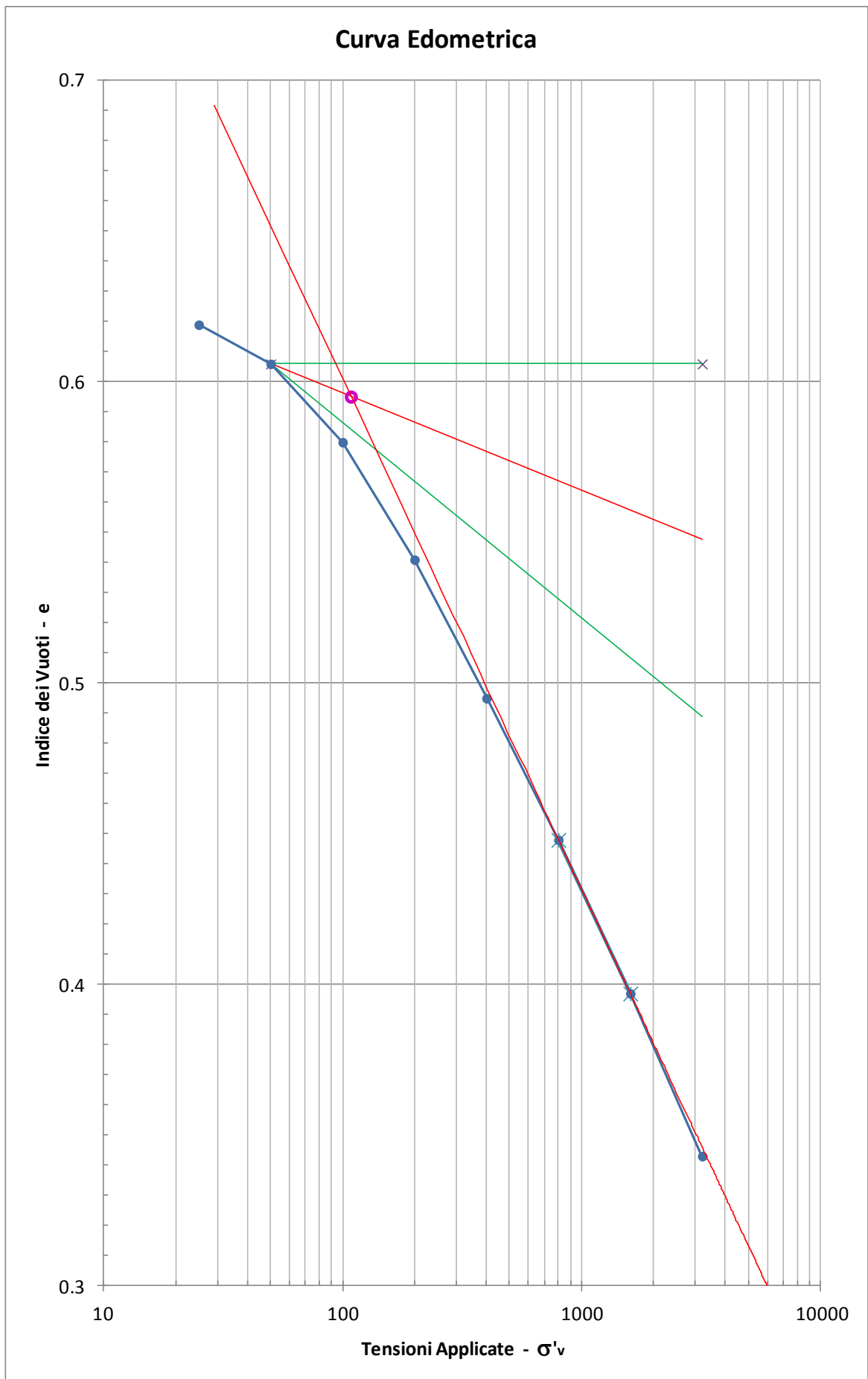
$\sigma'_{vo+\Delta\sigma_v} =$	153.9	kPa	
$M_2 =$	100.00	3086	3683
	200.00	4193	

$\sigma'_{vo} =$	82.4	kPa	
$M_1 =$	50.00	3086	3086
	100.00	3086	

$(\sigma'_{vo+\Delta\sigma_v}/2)$	118.2	kPa	
$M_m =$	100.00	3086	3288
	200.00	4193	

SONDAGGIO SB

Campione C2



SONDAGGIO SB
Campione C3

ELABORAZIONE PROVA EDOMETRICA

Dh = -3.2m		Dc = 7.7		$\gamma = 19.5$		$\sigma'_{vo} = 105.2$			Ho = 2.00		$e_o = 0.740$	
Fase	H	ΔH	σ_v	$\Delta\sigma_v$	e	Δe	ϵ_v	$\Delta\epsilon_v$	M	mv	RR/CR	Cr/Cc
	cm	cm	Kpa	Kpa					kPa	m ² /Mn		
1	0.0000		0.00		0.740		0.000					
2	0.0020	0.002	25.00	25.00	0.738	0.002	0.001	0.001	25000	0.0400		
3	0.0061	0.004	50.00	25.00	0.734	0.004	0.003	0.002	12195	0.0820	0.0068	0.0133
4	0.0157	0.010	100.00	50.00	0.726	0.008	0.008	0.005	10417	0.0960	0.0159	0.0266
5	0.0410	0.025	200.00	100.00	0.704	0.022	0.021	0.013	7905	0.1265	0.0420	0.0731
6	0.0764	0.035	400.00	200.00	0.673	0.031	0.038	0.018	11299	0.0885	0.0588	0.1030
7	0.1282	0.052	800.00	400.00	0.628	0.045	0.064	0.026	15444	0.0648	0.0860	0.1495
8	0.2009	0.073	1600.00	800.00	0.565	0.063	0.100	0.036	22008	0.0454	0.1208	0.2093
9	0.2797	0.079	3200.00	1600.00	0.496	0.069	0.140	0.039	40609	0.0246	0.1309	0.2292

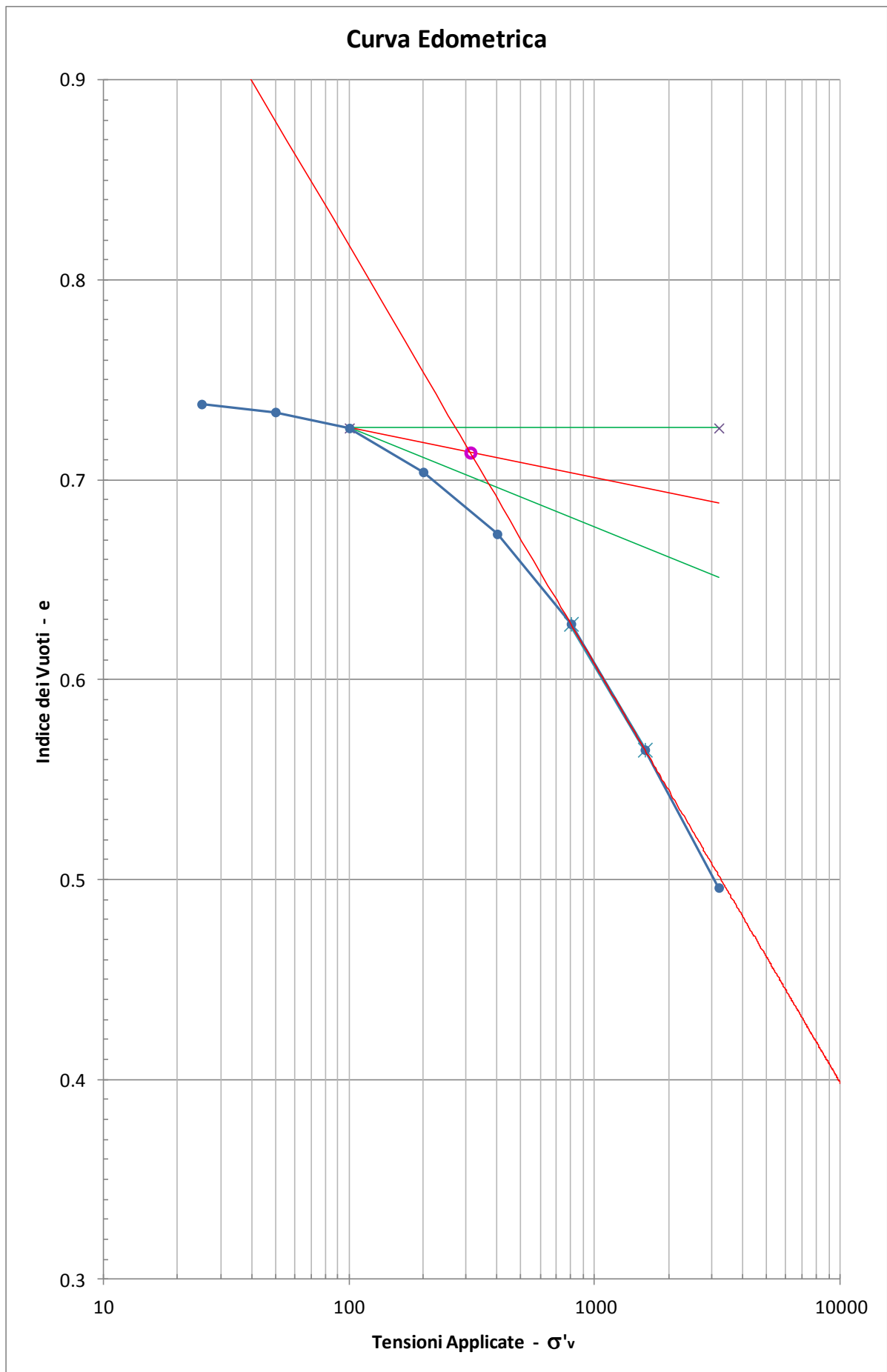
$\sigma'_{vo} =$	105.2	kPa
$\sigma'_p =$	311.5	kPa
OCR =	3.0	-
$\sigma'_{vo+\Delta\sigma_v}$	175.6	kPa

$\sigma'_{vo+\Delta\sigma_v} =$	175.6	kPa	
$M_2 =$	100.00	10417	8517
	200.00	7905	

$\sigma'_{vo} =$	105.2	kPa	
$M_1 =$	100.00	10417	10287
	200.00	7905	

$(\sigma'_{vo+\Delta\sigma_v}/2)$	140.4	kPa	
$M_m =$	100.00	10417	9402
	200.00	7905	

SONDAGGIO SB
Campione C3



PROVE EDOMETRICHE	
SONDAGGIO N°	S-D
CAMPIONI	C1-C2-C3-C4
PROFONDITA' FALDA	2.8 m
ALTEZZA RILEVATO	8 m
LARG. RIL SOMMITA'	29 m
LARG. RIL BASE	57 m 57
PESO VOL. RILEV.	18 kN/m ³

SONDAGGIO SD

Campione C1

ELABORAZIONE PROVA EDOMETRICA

Dh = -2.8m		Dc = 2.7		$\gamma = 19.7$		$\sigma'_{vo} = 53.2$		Ho = 2.00		$e_o = 0.647$		
Fase	H	ΔH	σ_v	$\Delta\sigma_v$	e	Δe	ϵ_v	$\Delta\epsilon_v$	M	mv	RR/CR	Cr/Cc
	cm	cm	Kpa	Kpa					kPa	m ² /Mn		
1	0.0000		0.00		0.647		0.000					
2	0.0112	0.011	25.00	25.00	0.637	0.010	0.006	0.006	4464	0.2240		
3	0.0219	0.011	50.00	25.00	0.629	0.008	0.011	0.005	4673	0.2140	0.0178	0.0266
4	0.0450	0.023	100.00	50.00	0.609	0.020	0.023	0.012	4329	0.2310	0.0384	0.0664
5	0.0821	0.037	200.00	100.00	0.579	0.030	0.041	0.019	5391	0.1855	0.0616	0.0997
6	0.1314	0.049	400.00	200.00	0.538	0.041	0.066	0.025	8114	0.1233	0.0819	0.1362
7	0.1956	0.064	800.00	400.00	0.486	0.052	0.098	0.032	12461	0.0803	0.1066	0.1727
8	0.2651	0.070	1600.00	800.00	0.428	0.058	0.133	0.035	23022	0.0434	0.1154	0.1927
9	0.3343	0.069	3200.00	1600.00	0.371	0.057	0.167	0.035	46243	0.0216	0.1149	0.1893

$\sigma'_{vo} =$	53.2	kPa
$\sigma'_p =$	160.2	kPa
OCR =	3.0	-
$\sigma'_{vo+\Delta\sigma_v}$	198.1	kPa

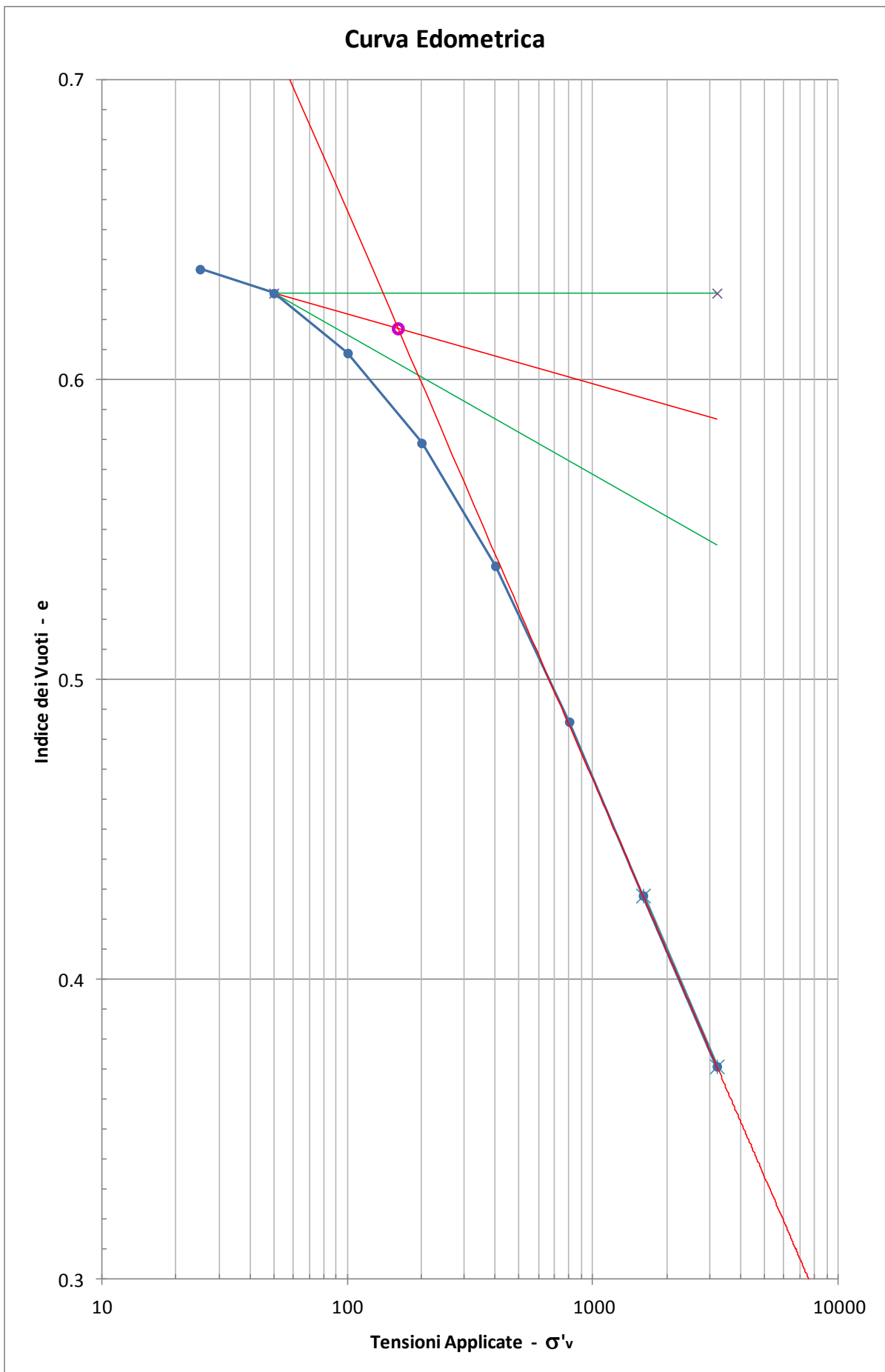
$\sigma'_{vo+\Delta\sigma_v} =$	198.1	kPa	
$M_2 =$	100.00	4329	5370
	200.00	5391	

$\sigma'_{vo} =$	53.2	kPa	
$M_1 =$	50.00	4673	4651
	100.00	4329	

$(\sigma'_{vo+\Delta\sigma_v}/2)$	125.1	kPa	
$M_m =$	100.00	4329	4596
	200.00	5391	

SONDAGGIO SD

Campione C1



SONDAGGIO SD

Campione C2

ELABORAZIONE PROVA EDOMETRICA

Dh = -2.8m		Dc = 5.7		$\gamma = 19.7$		$\sigma'_{vo} = 83.3$			Ho = 2.00		$e_o = 0.700$	
Fase	H	ΔH	σ_v	$\Delta\sigma_v$	e	Δe	ϵ_v	$\Delta\epsilon_v$	M	mv	RR/CR	Cr/Cc
	cm	cm	Kpa	Kpa					kPa	m ² /Mn		
1	0.0000		0.00		0.700		0.000					
2	0.0144	0.014	25.00	25.00	0.688	0.012	0.007	0.007	3472	0.2880		
3	0.0277	0.013	50.00	25.00	0.677	0.011	0.014	0.007	3759	0.2660	0.0221	0.0365
4	0.0476	0.020	100.00	50.00	0.666	0.011	0.024	0.010	5025	0.1990	0.0331	0.0365
5	0.0863	0.039	200.00	100.00	0.627	0.039	0.043	0.019	5168	0.1935	0.0643	0.1296
6	0.1368	0.051	400.00	200.00	0.584	0.043	0.068	0.025	7921	0.1263	0.0839	0.1428
7	0.1940	0.057	800.00	400.00	0.535	0.049	0.097	0.029	13986	0.0715	0.0950	0.1628
8	0.2615	0.068	1600.00	800.00	0.478	0.057	0.131	0.034	23704	0.0422	0.1121	0.1893
9	0.3357	0.074	3200.00	1600.00	0.415	0.063	0.168	0.037	43127	0.0232	0.1232	0.2093

$\sigma'_{vo} =$	83.3	kPa
$\sigma'_p =$	240.5	kPa
OCR =	2.9	-
$\sigma'_{vo} + \Delta\sigma_v$	226.2	kPa

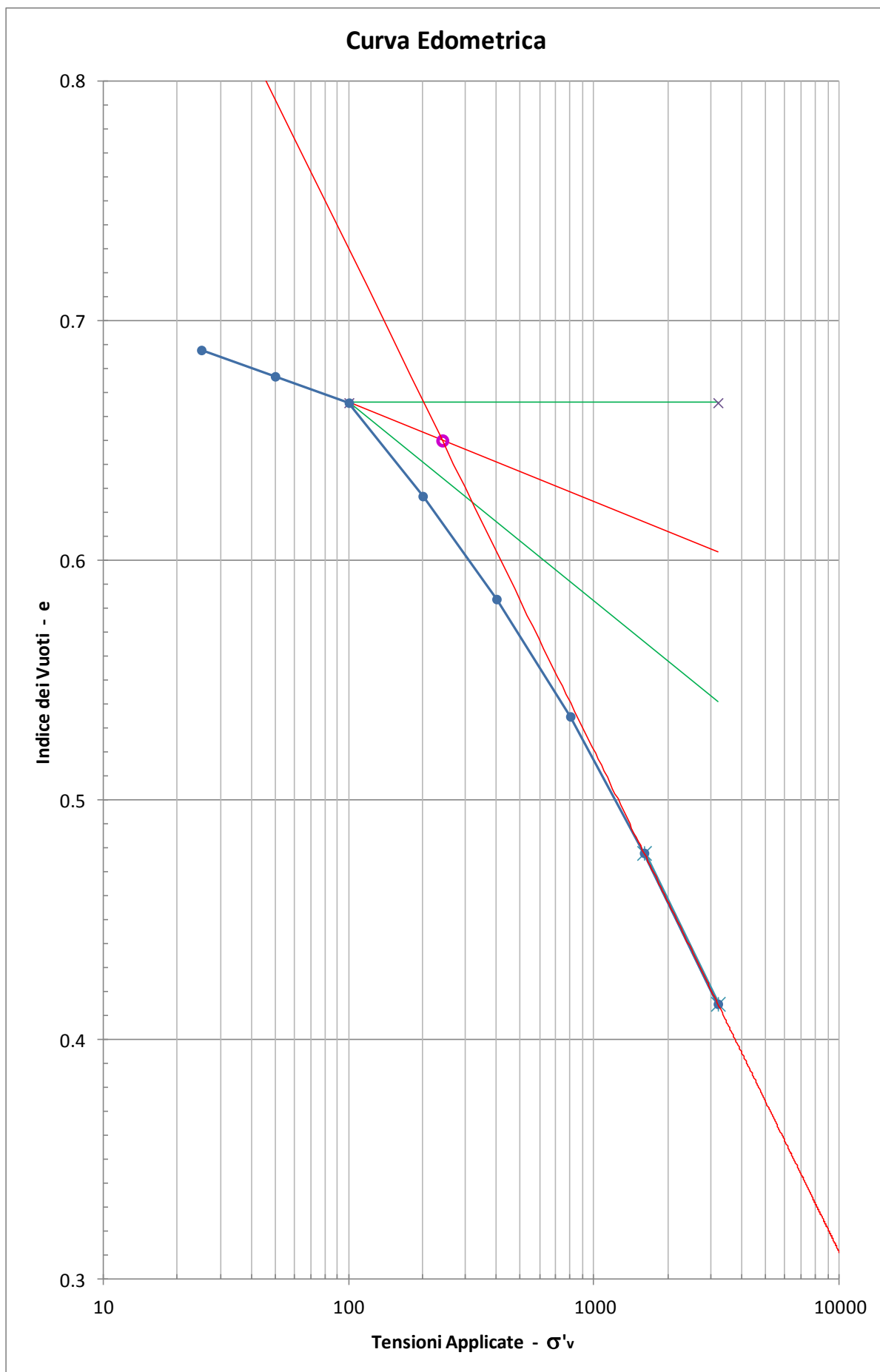
$\sigma'_{vo} + \Delta\sigma_v =$	226.2	kPa	
$M_2 =$	200.00	5168	5529
	400.00	7921	

$\sigma'_{vo} =$	83.3	kPa	
$M_1 =$	50.00	3759	4602
	100.00	5025	

$(\sigma'_{vo} + \Delta\sigma_v / 2)$	154.7	kPa	
$M_m =$	100.00	5025	5103
	200.00	5168	

SONDAGGIO SD

Campione C2



SONDAGGIO SD

Campione C3

ELABORAZIONE PROVA EDOMETRICA

Dh =-2.8m		Dc =7.7		$\gamma =19.5$		$\sigma'_{vo} = 101.2$		Ho =2.00		$e_o =0.675$		
Fase	H	ΔH	σ_v	$\Delta\sigma_v$	e	Δe	ϵ_v	$\Delta\epsilon_v$	M	mv	RR/CR	Cr/Cc
	cm	cm	Kpa	Kpa					kPa	m ² /Mn		
1	0.0000		0.00		0.675		0.000					
2	0.0122	0.012	25.00	25.00	0.665	0.010	0.006	0.006	4098	0.2440	#NUM!	#NUM!
3	0.0237	0.012	50.00	25.00	0.655	0.010	0.012	0.006	4348	0.2300	0.0191	0.0332
4	0.0481	0.024	100.00	50.00	0.635	0.020	0.024	0.012	4098	0.2440	0.0405	0.0664
5	0.0843	0.036	200.00	100.00	0.604	0.031	0.042	0.018	5525	0.1810	0.0601	0.1030
6	0.1319	0.048	400.00	200.00	0.564	0.040	0.066	0.024	8403	0.1190	0.0791	0.1329
7	0.1828	0.051	800.00	400.00	0.522	0.042	0.091	0.025	15717	0.0636	0.0845	0.1395
8	0.2421	0.059	1600.00	800.00	0.472	0.050	0.121	0.030	26981	0.0371	0.0985	0.1661
9	0.3096	0.068	3200.00	1600.00	0.416	0.056	0.155	0.034	47407	0.0211	0.1121	0.1860

$\sigma'_{vo} =$	101.2	kPa
$\sigma'_p =$	265.6	kPa
OCR =	2.6	-
$\sigma'_{vo+\Delta\sigma_v}$	242.6	kPa

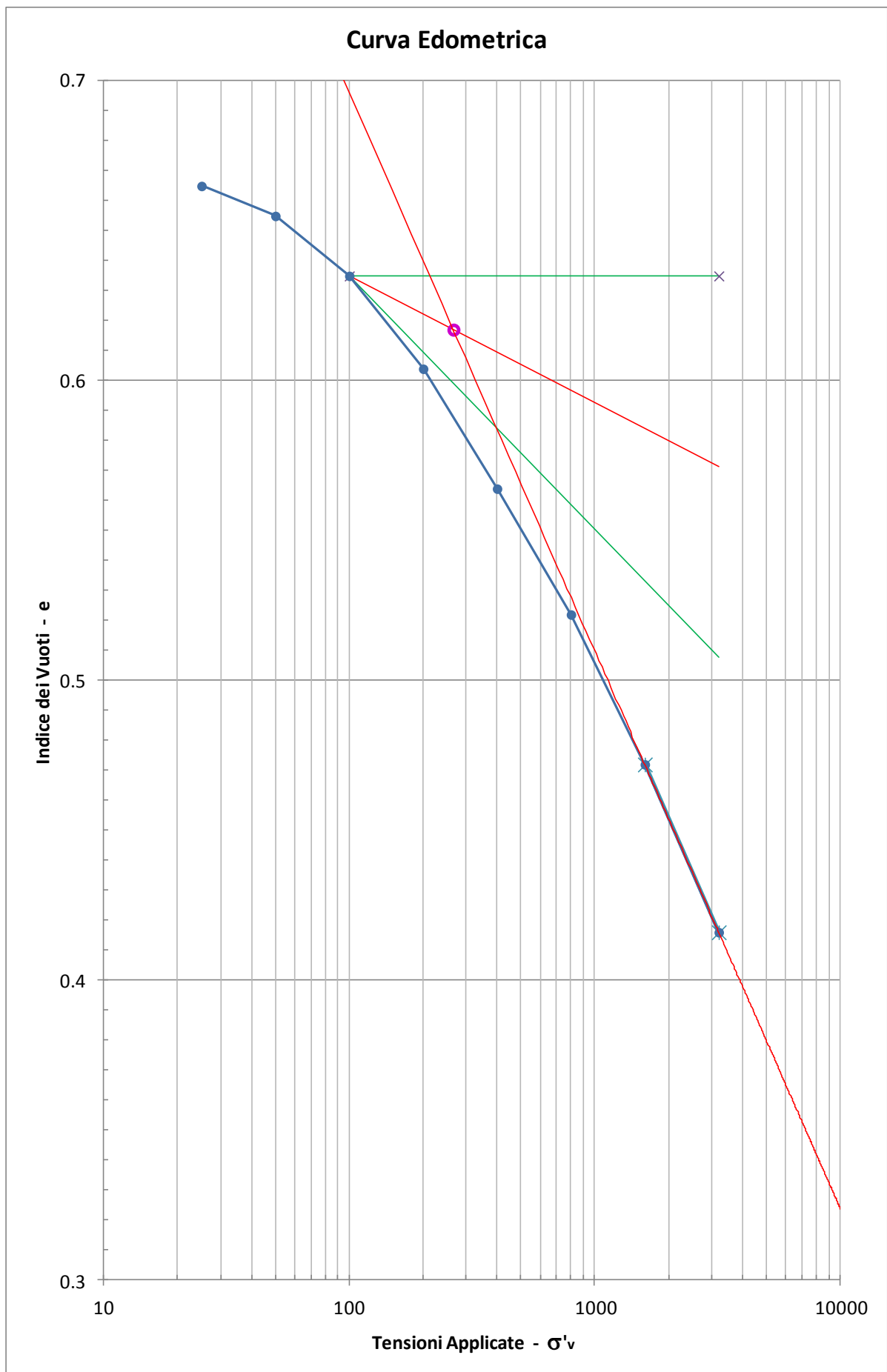
$\sigma'_{vo+\Delta\sigma_v} =$	242.6	kPa	
$M_2 =$	200.00	5525	6138
	400.00	8403	

$\sigma'_{vo} =$	101.2	kPa	
$M_1 =$	50.00	4348	4093
	100.00	4098	

$(\sigma'_{vo+\Delta\sigma_v}/2)$	171.9	kPa	
$M_m =$	100.00	4098	5124
	200.00	5525	

SONDAGGIO SD

Campione C3



SONDAGGIO SD

Campione C4

ELABORAZIONE PROVA EDOMETRICA

Dh = -2.8m		Dc = 10.1		$\gamma = 18.6$		$\sigma'_{vo} = 114.9$			Ho = 2.00		$e_o = 0.948$	
Fase	H	ΔH	σ_v	$\Delta\sigma_v$	e	Δe	ϵ_v	$\Delta\epsilon_v$	M	mv	RR/CR	Cr/Cc
	cm	cm	Kpa	Kpa					kPa	m ² /Mn		
1	0.0000		0.00		0.948							
2	0.0566	0.057	25.00	25.00	0.892	0.056	0.028	0.028	883	1.1320		
3	0.0980	0.041	50.00	25.00	0.852	0.040	0.049	0.021	1208	0.8280	0.0688	0.1329
4	0.1590	0.061	100.00	50.00	0.793	0.059	0.080	0.031	1639	0.6100	0.1013	0.1960
5	0.2310	0.072	200.00	100.00	0.723	0.070	0.116	0.036	2778	0.3600	0.1196	0.2325
6	0.3050	0.074	400.00	200.00	0.651	0.072	0.153	0.037	5405	0.1850	0.1229	0.2392
7	0.3820	0.077	800.00	400.00	0.576	0.075	0.191	0.039	10390	0.0963	0.1279	0.2491
8	0.4559	0.074	1600.00	800.00	0.504	0.072	0.228	0.037	21651	0.0462	0.1227	0.2392
9	0.5279	0.072	3200.00	1600.00	0.433	0.071	0.264	0.036	44444	0.0225	0.1196	0.2359

$\sigma'_{vo} =$	114.9	kPa
$\sigma'_p =$	69.5	kPa
OCR =	0.6	-
$\sigma'_{vo+\Delta\sigma_v}$	253.7	kPa

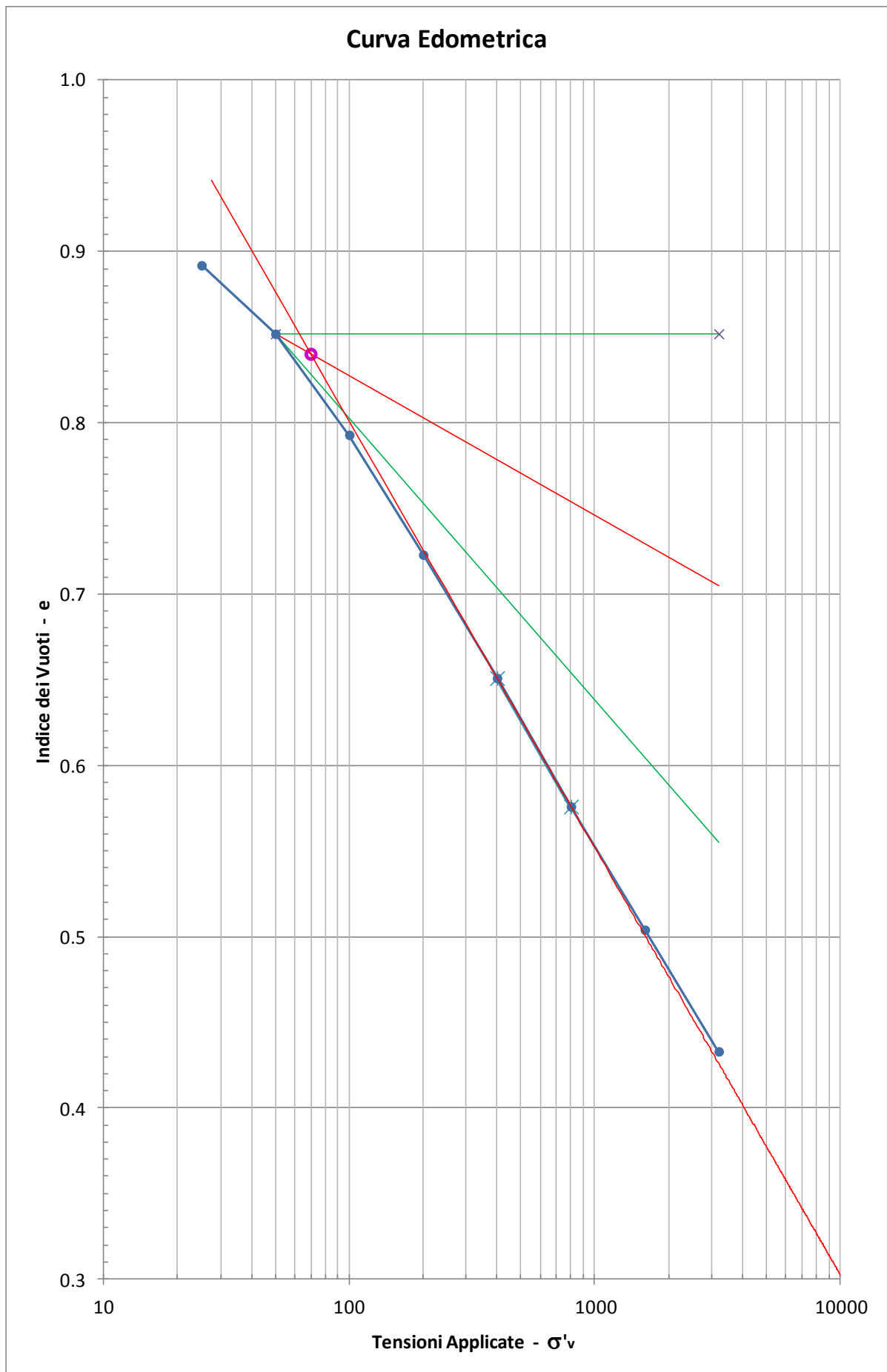
$\sigma'_{vo+\Delta\sigma_v} =$	253.7	kPa	
$M_2 =$	200.00	2778	3483
	400.00	5405	

$\sigma'_{vo} =$	114.9	kPa	
$M_1 =$	100.00	1639	1809
	200.00	2778	

$(\sigma'_{vo+\Delta\sigma_v}/2)$	184.3	kPa	
$M_m =$	100.00	1639	2599
	200.00	2778	

SONDAGGIO SD

Campione C4



PROVE EDOMETRICHE	
SONDAGGIO N°	S-E
CAMPIONI	C1-C2-C3-C4
PROFONDITA' FALDA	2.5 m
ALTEZZA RILEVATO	4 m
LARG. RIL SOMMITA'	29 m
LARG. RIL BASE	51 m 41
PESO VOL. RILEV.	18 kN/m ³

SONDAGGIO SE

Campione C1

ELABORAZIONE PROVA EDOMETRICA

Dh = -2.5m		Dc = 2.7		$\gamma = 19.2$		$\sigma'_{vo} = 49.8$		Ho = 2.00		$e_o = 0.661$		
Fase	H	ΔH	σ_v	$\Delta\sigma_v$	e	Δe	ϵ_v	$\Delta\epsilon_v$	M	mv	RR/CR	Cr/Cc
	cm	cm	Kpa	Kpa					kPa	m ² /Mn		
1	0.0000		0.00		0.661		0.000					
2	0.0114	0.011	25.00	25.00	0.652	0.009	0.006	0.006	4386	0.2280		
3	0.0280	0.017	50.00	25.00	0.638	0.014	0.014	0.008	3012	0.3320	0.0276	0.0465
4	0.0544	0.026	100.00	50.00	0.616	0.022	0.027	0.013	3788	0.2640	0.0438	0.0731
5	0.0894	0.035	200.00	100.00	0.587	0.029	0.045	0.018	5714	0.1750	0.0581	0.0963
6	0.1334	0.044	400.00	200.00	0.550	0.037	0.067	0.022	9091	0.1100	0.0731	0.1229
7	0.1935	0.060	800.00	400.00	0.500	0.050	0.097	0.030	13311	0.0751	0.0998	0.1661
8	0.2612	0.068	1600.00	800.00	0.444	0.056	0.131	0.034	23634	0.0423	0.1124	0.1860
9	0.3323	0.071	3200.00	1600.00	0.385	0.059	0.166	0.036	45007	0.0222	0.1181	0.1960

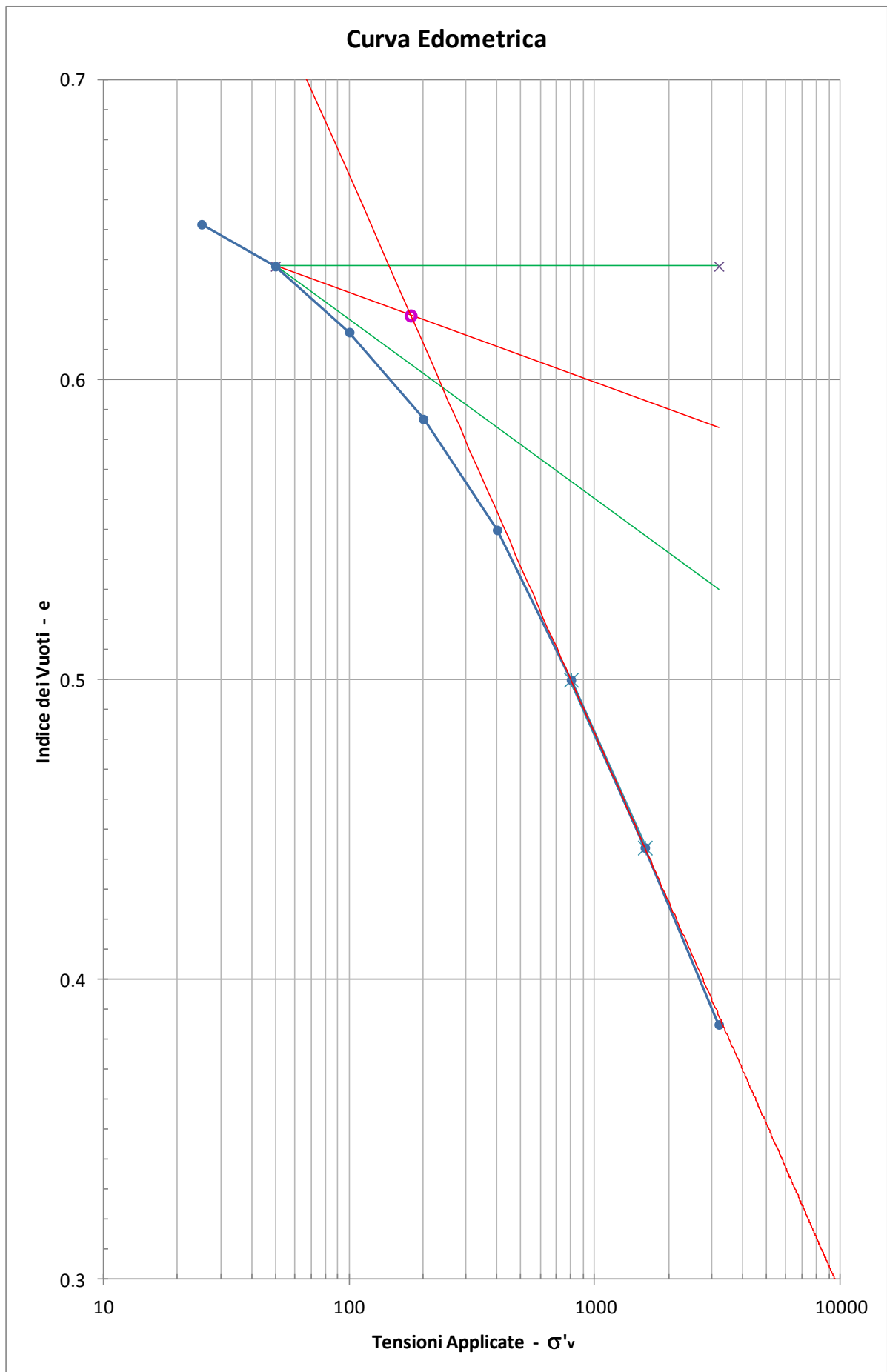
$\sigma'_{vo} =$	49.8	kPa
$\sigma'_p =$	177.7	kPa
OCR =	3.6	-
$\sigma'_{vo+\Delta\sigma_v}$	121.8	kPa

$\sigma'_{vo+\Delta\sigma_v} =$	121.8	kPa	
$M_2 =$	100.00	3788	4207
	200.00	5714	

$\sigma'_{vo} =$	49.8	kPa	
$M_1 =$	25.00	4386	3021
	50.00	3012	

$(\sigma'_{vo+\Delta\sigma_v}/2)$	85.8	kPa	
$M_m =$	50.00	3012	3568
	100.00	3788	

SONDAGGIO SE
Campione C1



SONDAGGIO SE
Campione C2

ELABORAZIONE PROVA EDOMETRICA

Dh = -2.5m		Dc = 5.2		$\gamma = 18.8$		$\sigma'_{vo} = 70.8$			Ho = 2.00		$e_o = 0.779$	
Fase	H	ΔH	σ_v	$\Delta\sigma_v$	e	Δe	ϵ_v	$\Delta\epsilon_v$	M	mv	RR/CR	Cr/Cc
	cm	cm	Kpa	Kpa					kPa	m ² /Mn		
1	0.0000		0.00		0.779		0.000					
2	0.1131	0.113	25.00	25.00	0.679	0.100	0.057	0.057	442	2.2620		
3	0.1373	0.024	50.00	25.00	0.657	0.022	0.069	0.012	2066	0.4840	0.0402	0.0731
4	0.1725	0.035	100.00	50.00	0.626	0.031	0.086	0.018	2841	0.3520	0.0585	0.1030
5	0.2117	0.039	200.00	100.00	0.591	0.035	0.106	0.020	5102	0.1960	0.0651	0.1163
6	0.2606	0.049	400.00	200.00	0.548	0.043	0.130	0.024	8180	0.1223	0.0812	0.1428
7	0.3098	0.049	800.00	400.00	0.504	0.044	0.155	0.025	16260	0.0615	0.0817	0.1462
8	0.3626	0.053	1600.00	800.00	0.457	0.047	0.181	0.026	30303	0.0330	0.0877	0.1561
9	0.4207	0.058	3200.00	1600.00	0.405	0.052	0.210	0.029	55077	0.0182	0.0965	0.1727

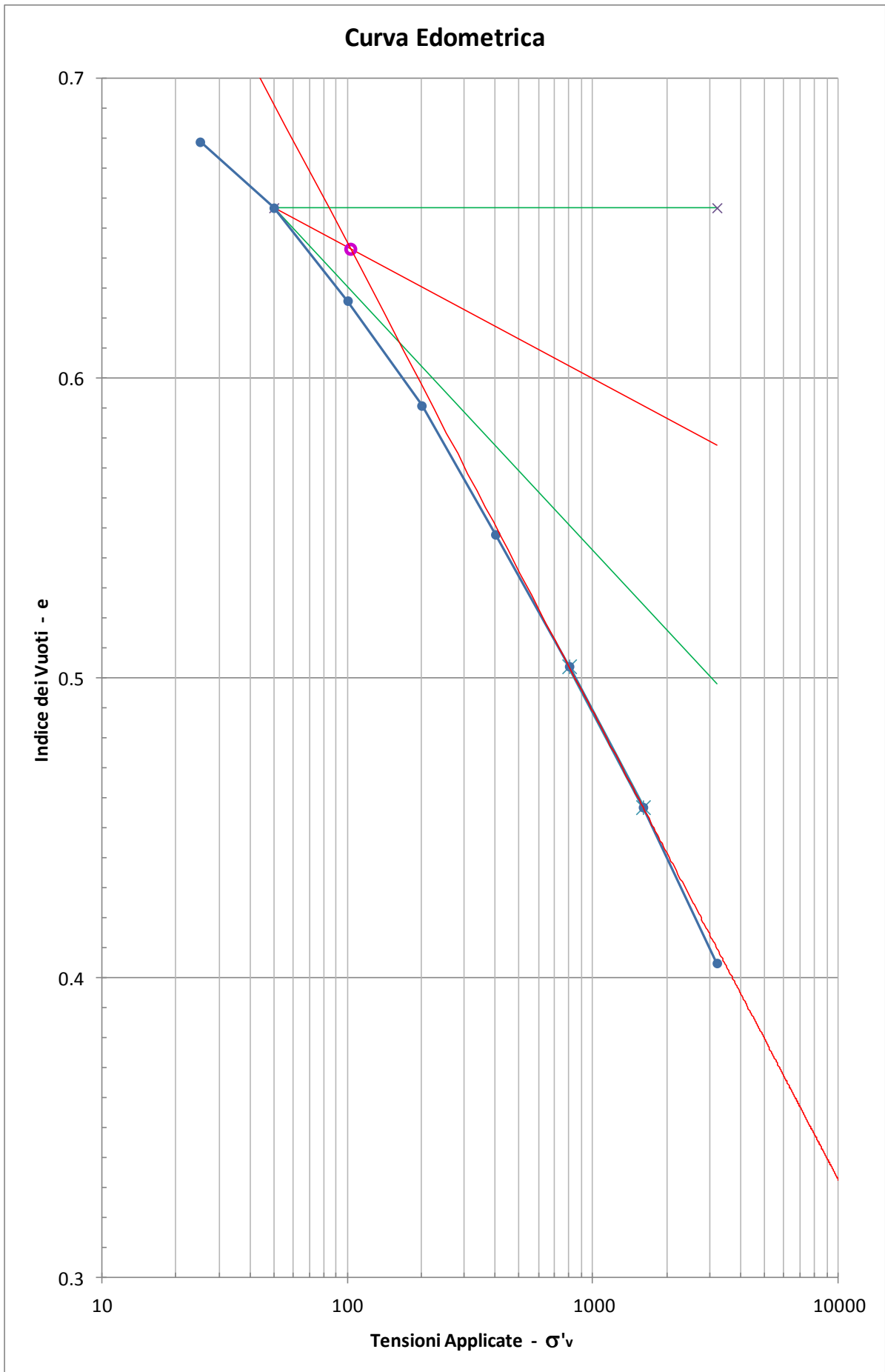
$\sigma'_{vo} =$	70.8	kPa
$\sigma'_p =$	102.5	kPa
OCR =	1.4	-
$\sigma'_{vo} + \Delta\sigma_v$	142.2	kPa

$\sigma'_{vo} + \Delta\sigma_v =$	142.2	kPa	
$M_2 =$	100.00	2841	3796
	200.00	5102	

$\sigma'_{vo} =$	70.8	kPa	
$M_1 =$	50.00	2066	2388
	100.00	2841	

$(\sigma'_{vo} + \Delta\sigma_v / 2)$	106.5	kPa	
$M_m =$	100.00	2841	2988
	200.00	5102	

SONDAGGIO SE
Campione C2



SONDAGGIO SE
Campione C3

ELABORAZIONE PROVA EDOMETRICA

Dh =-2.5m		Dc = 7.2		$\gamma =$ 18.6		$\sigma'_{vo} =$ 86.9			Ho =2.00		$e_o =$ 0.722	
Fase	H	ΔH	σ_v	$\Delta\sigma_v$	e	Δe	ϵ_v	$\Delta\epsilon_v$	M	mv	RR/CR	Cr/Cc
	cm	cm	Kpa	Kpa					kPa	m ² /Mn		
1	0.0000		0.00		0.772		0.000					
2	0.0235	0.024	25.00	25.00	0.702	0.070	0.012	0.012	2128	0.4700		
3	0.0365	0.013	50.00	25.00	0.691	0.011	0.018	0.007	3846	0.2600	0.0216	0.0365
4	0.0596	0.023	100.00	50.00	0.671	0.020	0.030	0.012	4329	0.2310	0.0384	0.0664
5	0.0954	0.036	200.00	100.00	0.640	0.031	0.048	0.018	5587	0.1790	0.0595	0.1030
6	0.1478	0.052	400.00	200.00	0.595	0.045	0.074	0.026	7634	0.1310	0.0870	0.1495
7	0.2140	0.066	800.00	400.00	0.538	0.057	0.107	0.033	12085	0.0828	0.1100	0.1893
8	0.2890	0.075	1600.00	800.00	0.473	0.065	0.145	0.038	21333	0.0469	0.1246	0.2159
9	0.3657	0.077	3200.00	1600.00	0.407	0.066	0.183	0.038	41721	0.0240	0.1274	0.2192

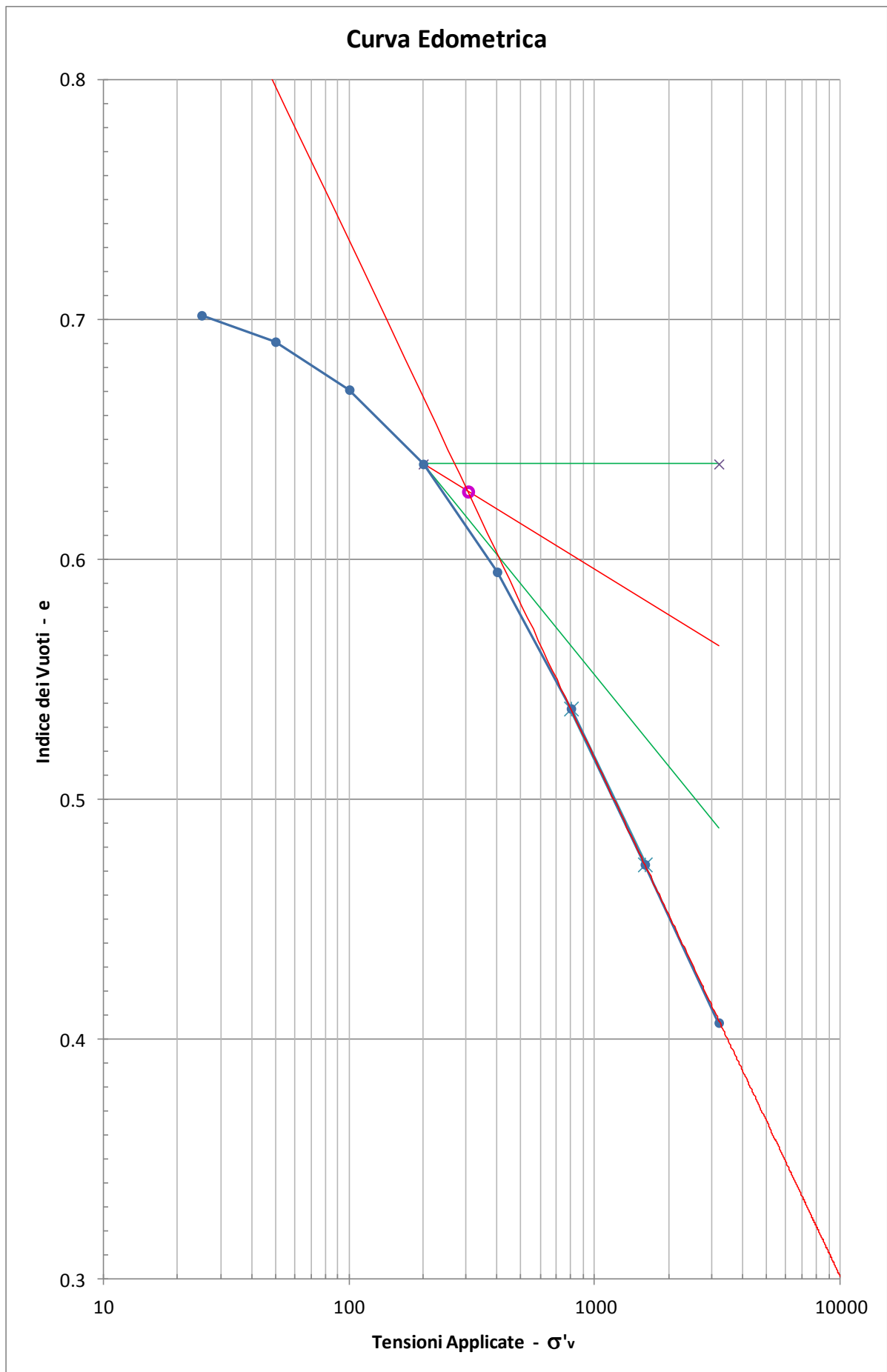
$\sigma'_{vo} =$	86.9	kPa
$\sigma'_p =$	304.7	kPa
OCR =	3.5	-
$\sigma'_{vo+\Delta\sigma_v}$	157.7	kPa

$\sigma'_{vo+\Delta\sigma_v} =$ 157.7 kPa			
$M_2 =$	100.00	4329	5054
	200.00	5587	

$\sigma'_{vo} =$ 86.9 kPa			
$M_1 =$	50.00	3846	4203
	100.00	4329	

$(\sigma'_{vo+\Delta\sigma_v}/2)$ 122.3 kPa			
$M_m =$	100.00	4329	4609
	200.00	5587	

SONDAGGIO SE
Campione C3



SONDAGGIO SE

Campione C4

ELABORAZIONE PROVA EDOMETRICA

Dh = -2.5m		Dc = 10.2		$\gamma = 19.8$		$\sigma'_{vo} = 125.0$			Ho = 2.00		$e_o = 0.577$	
Fase	H	ΔH	σ_v	$\Delta\sigma_v$	e	Δe	ϵ_v	$\Delta\epsilon_v$	M	mv	RR/CR	Cr/Cc
	cm	cm	Kpa	Kpa					kPa	m ² /Mn		
1	0.0000		0.00		0.577		0.000					
2	0.0537	0.054	25.00	25.00	0.535	0.042	0.027	0.027	931	1.0740		
3	0.0709	0.017	50.00	25.00	0.521	0.014	0.035	0.009	2907	0.3440	0.0286	0.0465
4	0.0988	0.028	100.00	50.00	0.499	0.022	0.049	0.014	3584	0.2790	0.0463	0.0731
5	0.1360	0.037	200.00	100.00	0.470	0.029	0.068	0.019	5376	0.1860	0.0618	0.0963
6	0.1800	0.044	400.00	200.00	0.435	0.035	0.090	0.022	9091	0.1100	0.0731	0.1163
7	0.2284	0.048	800.00	400.00	0.397	0.038	0.114	0.024	16529	0.0605	0.0804	0.1262
8	0.2797	0.051	1600.00	800.00	0.357	0.040	0.140	0.026	31189	0.0321	0.0852	0.1329
9	0.3303	0.051	3200.00	1600.00	0.317	0.040	0.165	0.025	63241	0.0158	0.0840	0.1329

$\sigma'_{vo} =$	125.0	kPa
$\sigma'_p =$	111.8	kPa
OCR =	0.9	-
$\sigma'_{vo+\Delta\sigma_v}$	193.8	kPa

$\sigma'_{vo+\Delta\sigma_v} =$	193.8	kPa	
$M_2 =$	100.00	3584	5265
	200.00	5376	

$\sigma'_{vo} =$	125.0	kPa	
$M_1 =$	50.00	2907	3922
	100.00	3584	

$(\sigma'_{vo+\Delta\sigma_v}/2)$	159.4	kPa	
$M_m =$	100.00	3584	4648
	200.00	5376	

SONDAGGIO SE
Campione C4

Curva Edometrica

